



Proyecto Arqueológico
L A C O R O N A

INFORME FINAL

Temporada 2016



Tomás Barrientos Q.
Marcello A. Canuto
Eduardo Bustamante

Guatemala, Marzo de 2017

© Proyecto Regional Arqueológico La Corona
17 Avenida "B" 0-76 Zona 15, Colonia El Maestro. 01015 Guatemala
lacorona.project@gmail.com
Edición General: Tomás Barrientos, Marcello Canuto y Eduardo Bustamante
Traducciones: Eduardo Bustamante, Marissa López y Tomás Barrientos
Edición electrónica en: <http://mari.tulane.edu/PRALC/research.html>
Figura de la portada: Elemento 59, La Corona
Fotografía por Maxime Lamoureux-St-Hilaire y Mary Kate Kelly

CONTENIDO

CAPÍTULO I	
Proyecto Regional Arqueológico La Corona: Objetivos y Antecedentes de la Temporada 2016	
<i>Tomás Barrientos Q. y Marcello A. Canuto</i>	1
CAPÍTULO II	
Operaciones CR20C y CR20E: Excavaciones de túneles en el Palacio de La Corona.	
<i>Eduardo Bustamante</i>	25
CAPÍTULO III	
Cuarta temporada de investigaciones en la sección norte del Palacio Real de La Corona	
<i>Maxime Lamoureux-St-Hilaire</i>	37
CAPÍTULO IV	
Operaciones CR20E, CR20D, y CR20O: Excavaciones en las secciones Sur y Suroeste del Palacio de La Corona	
<i>Eduardo Bustamante</i>	75
CAPÍTULO V	
Operación CR33: Excavaciones en la Estructura 13Q-3, Temporada 2016	
<i>Borislava Simova y Marissa López</i>	101
CAPÍTULO VI	
Operaciones CR112 y CR115: Excavaciones en las Estructuras 13R-1 y 13R-45 del Grupo Coronitas	
<i>Jocelyne Ponce</i>	137
CAPÍTULO VII	
Investigaciones Arqueológicas en La Cariba: Temporada 2016	
<i>David Chatelain y Alejandro González</i>	147
CAPÍTULO VIII	
Investigaciones Arqueológicas en El Jobillo: Temporada 2016	
<i>Jocelyne Ponce</i>	191
CAPÍTULO IX	
Nuevas investigaciones en la Estructura 5C-01 de El Achiotal: Excavaciones y Registro de Saqueos, Temporada 2016	
<i>Ernesto Arredondo Leiva</i>	213
CAPÍTULO X	
Operación ACH3: Excavaciones en la Estructura 5C-08 de El Achiotal	
<i>Luke Auld-Thomas</i>	293

CAPÍTULO XI	
Excavaciones de sondeo en las Estructuras 5C-05 y 5C-06: Operaciones ACH99-12 y ACH99-13	
<i>Pablo José Estrada Muralles</i>	329
CAPÍTULO XII	
Análisis de Isótopos Estables: Redes de Migración en La Corona. Muestras de Exportadas en 2013 y 2014	
<i>Erin Patterson y Carolyn Freiwald</i>	335
CAPÍTULO XIII	
Análisis de los restos humanos hallados en La Corona y El Achiotal, Temporada de Campo 2015	
<i>Erin Patterson</i>	343
CAPÍTULO XIV	
Análisis de restos Óseos de Fauna: Temporadas 2015 y 2016	
<i>Diana Fridberg</i>	351
CAPÍTULO XV	
Caracterización de Entomofauna, Mastofauna y listado de especies en el Sitio Arqueológico La Corona, Temporada de Campo 2016	
<i>Reynhold Gelera, Daniel Juárez y Camilo Rivera</i>	367
CAPÍTULO XVI	
Síntesis y Conclusiones de la Temporada de Campo 2016	
<i>Marcello Canuto, Tomás Barrientos y Eduardo Bustamante</i>	377
Bibliografía	387
ANEXO I	
Listado de Materiales arqueológicos hallados en la temporada 2016	399

ÍNDICE DE FIGURAS

Capítulo 1

Figura 1.1 Sitios principales en el área de PRALC	6
Figura 1.2 Mapa con elevaciones (zonas amarillas son las más altas) localizando los 46 sitios registrados en la zona de estudio PRALC hasta 2012	6
Figura 1.3 Ubicación de La Corona al oeste de la Altiplanicie Cárstica.....	7
Figura 1.4 Mapa tridimensional de La Corona, Temporada 2012	8
Figura 1.5 La Corona, Plaza Principal.....	9
Figura 1.6 La Corona, Grupo Coronitas	9
Figura 1.7 Cronología de La Corona y detalle de la “Era Dorada”	11
Figura 1.8 Secuencia dinástica de La Corona durante la “Era Dorada”.....	11
Figura 1.9 Relaciones de parentesco de dinastía de La Corona	12
Figura 1.10. Correlación cronológica de las fases constructivas del palacio real de La Corona.....	13
Figura 1.11 Zona de Estudio con límites aproximados	19
Figura 1.12 Mapa de la RBM con zonas naturales recuperadas desde 2008, donde se incluye el Corredor Biológico La Corona	20
Figura 1.13 Delimitación del sitio La Corona y ubicación del Campamento del PRALC.....	20
Figura 1.14 Edificios de oficina y bodega de materiales y herramientas, campamento PRALC	21
Figura 1.15 Ranchos para carpas de personal operativo y profesional, campamento PRALC.....	22
Figura 1.16 Organigrama del Proyecto	22
Figura 1.17 Personal Científico y Técnico PRALC, Temporada 2016.....	23
Figura 1.18 Personal completo PRALC, Temporada 2016.....	24

Capítulo 2

Figura 2.1. Planta de excavaciones. Mostrando Grupos Cocochan y Cocochan Noroeste	27
Figura 2.2. Unidad 13Q-4C-Sub 1. Vista al sur desde el norte	28
Figura 2.3. Fachada Este de Estructura 13Q-4C-Sub 1	29
Figura 2.4 Unidad CR20E-15. Vista al sur desde norte	30
Figura 2.5 Idealización de las subfases Cocochan-I (Derecha) y Cocochan-II (Izquierda).....	33

Capítulo 3

Figura 3.1 Localización del palacio en la Plaza Principal de La Corona	37
Figura 3.2 Localización de las unidades de la Temporada 2016.....	38
Figura 3.3. Unidad CR20B-1 tras excavaciones de 2016.....	40
Figura 3.4. Elevación de la Fachada Oeste de la Estructura 13Q-4B1	42
Figura 3.5. Planta de la Estructura 13Q-3B1	46
Figura 3.6. Elevación de la fachada este de la Estructura 13Q-4B1	47
Figura 3.7 Perfil Este de la Estructura 13Q-4G, o unidades CR20G-12 y CR20G - 13.....	51

Figura 3.8. Elevación del muro norte (pasaje bloqueado) en el Cuarto 4 de la Estructura 13Q-4G, Unidad CR20G-12.....	52
Figura 3.9. Planta de las Unidades CR20G-12, -13, y -14	54
Figura 3.10. Elevación del muro sur (pasaje bloqueado) del Cuarto 10 de la Estructura 13Q-4G, Unidad CR20G-14.....	55
Figura 3.11 Planta de las estructuras 13Q-4E y 4-F, y Patio Hundido.....	58
Figura 3.12 Planta del entierro de perro encontrado en el relleno de la plataforma posterior de la Estructura 13Q-4F.....	59
Figura 3.13. Perfil del límite norte de la Estructura 13Q-4E y la plataforma posterior de la Estructura 13Q-4F.....	60
Figura 3.14. Planta de la Estructura 13Q-27	62
Figura 3.15. Perfil Este de la Estructura 13Q-27.....	64
Figura 3.16. Perfil norte de las Estructuras 13Q-22 y 27	66
Figura 3.17. Planta de la sección Norte del palacio y su Fase Terminal con la localización de los 4 basureros	68
Figura 3.18. Planta de la Fase Terminal de la sección norte del Palacio con la localización de los monumentos	71
Figura 3.19. Fotografías de los Elementos 58 (izquierda) y 59 (derecha)	72

Capítulo 4

Figura 4.1 Mapa de ubicación de las unidades de la temporada 2016	76
Figura 4.2: Fachada norte del Cuarto 4, Estructura 13Q-4O.....	78
Figura 4.3 Izquierda, detalle de cortinero. Derecha, ubicación de cortinero.....	79
Figura 4.4 Gradas cortadas para acceder a sección noroeste.....	80
Figura 4.5. Ubicación de la Estructura 13Q-4O en el palacio. Las flechas indican la ubicación de entierros como ofrenda de abandono	81
Figura 4.6 Detalle de muro adherido en la Unidad CR20-8.....	83
Figura 4.7 Perfil E-O de la Unidad CR200-8, mostrando la plataforma, fachada oeste del Cuarto Norte y muro interno del mismo cuarto. Ver detalle de banca dentro de perfil.....	84
Figura 4.8 Detalles del interior de Cuarto Norte. Izquierda: vaso encontrado como ofrenda. Derecha: detalle de banca en muro	85
Figura 4.9. Banca del Cuarto Norte tras excavación	86
Figura 4.10. Perfil oeste y muro interno de la Estructura 13Q-3D.....	88
Figura 4.11: Perfil oeste de unidades CR20D-2 y CR20E-14. Se muestra la entrada al cuarto de la Estructura 13Q-4D, basamento de la Estructura 13Q-4E y Cuarto P-1	89
Figura 4.12. Cilindro de piedra encontrado al pie de basamento de Estructura 13Q-4E.....	90
Figura 4.13. Reconstrucción idealizada de Estructura 13Q-4D y Cuarto P-1	92
Figura 4.14. Materiales varios encontrados en el cuarto P-1. Superior izquierda: tableta de cerámica. Superior Derecha: fragmento de orejera de concha. Inferior: cuenta de obsidiana verde	93
Figura 4.15. Vista del Cuarto P-1. Se muestra banca, ubicación de bloques y cilindros de piedra y corte en el piso.....	94
Figura 4.16. Entierro encontrado en corte de piso de Cuarto P-1	95
Figura 4.17. Detalle de banca de Cuarto P-1. Se muestra sección adosada y franjas de color rojo pintadas alrededor del cuarto	95

Capítulo 5

Figura 5.1 Mapa de ubicación de la estructura 13Q-3 en la plaza principal	102
Figura 5.2 Mapa de ubicación de unidades	104
Figura 5.3 Remanentes del estuco del piso de plaza terminal. Unidad CR33A-29...	106
Figura 5.4. Sección expuesta del 2do piso de plaza con el muro de retención “Motmot” al fondo	107
Figura 5.5. Posible are de quema en la arcilla estéril, CR33A-29-12	108
Figura 5.6 Porción de la fachada de la plataforma Halcón localizada en CR33A-30	110
Figura 5.7. Perfil Oeste de CR33A-30	110
Figura 5.8 Muro de retención “Anhinga” de la estructura 13Q-3-2do.....	112
Figura 5.9. Escalones constructivos “Guacamaya” y “Puhuy”	114
Figura 5.10. Fachada de la plataforma y escalones de 13Q-3-2da.....	117
Figura 5.11 Perfil sur de las unidades CR 33 A-38, CR 33 A-6 y CR 33 A 20	121
Figura 5.12 Perfil sur de las unidades CR 33 A-39, destaca muro de Contención	123
Figura 5.13 Rasgo identificado en lote 4 de la unidad CR 33 A-38.....	124
Figura 5.14 Perfil Oeste de CR 33 A-38 y CR 33 A-41	124
Figura 5.15 Perfil Este de la Unidad CR 33 A-39 y CR 33 A-40	125

Capítulo 6

Figura 6.1. Mapa de los Grupos 13R-1 y 13R-II mostrando ubicación de la Estructura 13R-1	138
Figura 6.2. Esquema de ubicación de las unidades de excavación.....	138
Figura 6.3. Perfil Norte de la Unidad CR115A-1	141
Figura 6.4. Algunos artefactos recuperados en CR115A-1-2-2. A) Figurilla en forma de búho. B) Malacate. C) Fragmentos de pedernal	142
Figura 6.5. Fragmentos de cerámica y estuco in situ en CR115A-2-4.....	143
Figura 6.6. Cuerpos de mampostería de la Estructura 13R-1 vistos desde el	144
Figura 6.7. Algunos fragmentos de cerámica del depósito de CR115A-1-3-5 in situ.....	145
Figura 6.8. Fragmentos de artefactos recuperados como parte del depósito de CR115A-1-3-5. Concha (izquierda) y figurillas (derecha)	146
Figura 6.9. Planta de Rasgos encontrados en la Estructura 13R-45	147
Figura 6.10. Piedras de derrumbe y restos de estuco modelado in situ en la Unidad CR112A-2-1-1	148
Figura 6.11. Escalón encontrado en la Unidad CR112A-1-2-2.....	149
Figura 6.12. Vista desde el sur de posibles cuerpos de mampostería en las unidades CR112A-1 y CR112A-2	149
Figura 6.13. Fragmentos de cerámica recuperados en la Unidad CR112A-2-2-2.....	150
Figura 6.14. Escalón estucado y piedras de derrumbe en la Unidad CR112B-1.....	151
Figura 6. 15. Escalón estucado en las unidades CR112B-1 y CR112B-3.....	152
Figura 6.16. Algunos fragmentos de estuco modelado recuperados en la Unidad CR112B-1-2-3.....	152
Figura 6.17. Escalones y posible piso de plaza en las unidades A) CR112B-2 y B) CR112B-2 y CR112B-4	154
Figura 6.18. Venenera encontrada en la Unidad CR112B-4-2-2	155

Capítulo 7

Figura 7.1. Mapa de La Cariba, con ubicaciones de excavaciones	150
Figura 7.2. Ubicación de unidades, sub-operación CAR2A.....	151
Figura 7.3. Planta de arquitectura del Preclásico Tardío, sub-operación CAR2A	153
Figura 7.4. Planta de sub-operación CAR2A, 2015 y 2016	154
Figura 7.5. Perfil sur de sub-operación CAR2A	156
Figura 7.6. Foto de la arquitectura del Fase Ha', vista al sur	157
Figura 7.7. Planta de excavación, Unidad CAR2A-5.....	160
Figura 7.8. Perfil norte, Unidad CAR2A-5	160
Figura 7.9. Perfil oeste, Unidad CAR2A-5	161
Figura 7.10. Perfil norte de Unidad CAR2A-12.....	162
Figura 7.11. Planta de Unidad CAR2A-13.....	164
Figura 7.12. Perfil sur de Unidad CAR2A-13	164
Figura 7.13. Ubicación de unidades, sub-operación CAR3A.....	167
Figura 7.14. Planta de arquitectura de sub-operación CAR3A	168
Figura 7.15. Elevación de las fachadas frontales de las Estructuras A-3 y A-4.....	169
Figura 7.16. Elevación norte-sur de Estructura A-3.....	170
Figura 7.17. Posible monumento colocado en la puerta de Estructura A-3	170
Figura 7.18. Perfil este de Unidad CAR 3A-2.....	171
Figura 7.19. Arquitectura de las estructuras A-3 y A-4, viendo desde el sur al Norte.....	174
Figura 7.20. Ubicación de unidades, Sub-operación CAR11B	176
Figura 7.21. Perfiles oeste y norte de la Unidad CAR11B-20	177
Figura 7.22. Perfiles este, sur y oeste de la Unidad CAR11B-27	178
Figura 7.23. Planta de Unidad CAR11B-27	179
Figura 7.24. Ubicación de unidades, sub-operación CAR14A.....	180
Figura 7.25. Planta de arquitectura de sub-operación CAR14A	182
Figura 7.26. Arquitectura de la Sub-operación CAR14A, vista desde el norte al Sur	183
Figura 7.27. Perfil noreste del registro debajo del posible altar, Unidad CAR14A-1	184
Figura 7.28. Elevación este-oeste de las plataformas de la Sub-operación CAR14A.....	184
Figura 7.29. Perfil noroeste de Unidades CAR14A-7, 8, y 10.....	186

Capítulo 8

Figura 8.1. Mapa del sitio arqueológico El Jobillo.....	192
Figura 8.2. Esquema de ubicación de las unidades realizadas en el Grupo A.....	193
Figura 8.3. Perfiles de la Unidad JOB03-3.....	194
Figura 8.4. Plataforma encontrada en la plaza del Grupo A.....	195
Figura 8.5. Esquema de ubicación de las unidades realizadas en el Grupo B.....	197
Figura 8.6. Perfiles de las unidades JOB08-1 y JOB08-2	197
Figura 8.7. Roca madre tallada en las unidades JOB08-1 y JOB08-2.....	198
Figura 8.8. Esquema de ubicación de la Unidad JOB15-1 en el Grupo C	199
Figura 8.9. Perfiles de la Unidad JOB15-1.....	199
Figura 8.10. Esquema de ubicación de las unidades realizadas en el Grupo F.....	200
Figura 8.11. Perfiles de las unidades JOB28-1 y JOB28-2	201
Figura 8.12. Estructura quemada en el lado oeste del Grupo F.....	201
Figura 8.13. Campamento improvisado utilizado por los saqueadores.....	202

Figura 8.14. Ropa y algunos empaques de alimentos y medicamentos dejados por los saqueadores.....	203
Figura 8.15. Vista desde el este de los saqueos 6 y 7	204
Figura 8.16. Perfiles del Saqueo 6 mostrando registros hechos por los Saqueadores.....	204
Figura 8.17. Fragmentos de plato polícromo asociado a los saqueos 6 y 7, el tercero de izquierda a derecha con restos de cera	205
Figura 8.18. Perfiles del Saqueo 7	206
Figura 8. 19. Vista del Saqueo 8 desde el sur.....	207
Figura 8.20. Perfiles del Saqueo 8.....	208
Figura 8.21. Perfiles del Saqueo 9 mostrando el registro realizado por los saqueadores	210
Figura 8.22. Fragmento de lítica tallada encontrado junto al Saqueo 9	211
Figura 8.23. Vista del Saqueo 9, estructura de madera y contenedores de agua desde el norte.....	211

Capítulo 9

Figura 9.1 Plano de El Achiotal, mostrando la ubicación de la Estructura 5C-01	214
Figura 9.2 Localización de las excavaciones horizontales ACH 1G-1, 2, 3 y 10	216
Figura 9.3 Localización de las excavaciones verticales y limpiezas de saqueo durante la Temporada 2016.....	216
Figura 9.4 Relleno constructivo que cubre el Edificio Cacao	219
Figura 9.5 Rasgo que se proyecta de la Estructura 5C-01-sub 8a	219
Figura 9.6 Planta de las unidades ACH 1G-2, ACH 1G-3 y ACH 1G-10	220
Figura 9.7 Perfiles este y sur de la Unidad ACH 1G-2	221
Figura 9.8 Perfil oeste de la Unidad ACH 1G-2.....	221
Figura 9.9 Escalinata del Edificio Cacao: a) vista parcial del perfil este de las escalinatas; b) vista frontal de los escalones 2 y 3; c) vista de los escalones 4 y 5 (nótese la separación de los mismos).....	223
Figura 9.10 Perfiles este y sur de la Unidad ACH 1G-3	224
Figura 9.11 Planta de las unidades ACH 1G-2, ACH 1G-3 y ACH 1G-10 y rasgos asociados	225
Figura 9.12 Mascarón y perfil de la Unidad ACH 1G-10	226
Figura 9.13 Mascarón monumental visto hacia el oeste. La parte alta del pico alcanza el metro de altura.....	227
Figura 9.14 Mascarón monumental visto hacia el sureste.....	227
Figura 9.15 Detalle del motivo en “u” sobre el ojo izquierdo del Mascarón monumental.....	228
Figura 9.16 Ejemplos del grafema AJAW: a) y d) San Bartolo; b) El Mirador; c) Cerros; e-f) Cival (tomado de Acuña 2013: Figura 6.13)	229
Figura 9.17 Mascarón este superior de la Estructura 5C-2nda de Cerros, Belice (Tomado de Acuña 2013: fig. 6.2).....	230
Figura 9.18 Proceso de excavación de la escalinata principal (a y b)	233
Figura 9.19 Primer escalón de la escalinata principal, proceso de excavación: a) al nivel del Piso #1; b) al remover el Piso #1.....	233
Figura 9.20 Excavación del interior de la escalinata sección oeste a) vista general; b) Piso #2 por debajo de la última escalinata	234
Figura 9.21 Planta de la Unidad ACH 1G-4.....	235
Figura 9.22 Perfil este de la sección media de la Unidad ACH 1G-4	235
Figura 9.23 Perfil este de la Unidad ACH 1G-4.....	236

Figura 9.24 Perfil este de la Unidad ACH 1G-5.....	238
Figura 9.25 Vista hacia el sur de la Unidad ACH 1G-5	238
Figura 9.26 Ofrenda #10: a) localización de la Ofrenda #10 en la Unidad ACH 1G-6; b) detalle de la Ofrenda #10.....	239
Figura 9.27 Cuenta de jade dentro de la Ofrenda #10: a) vista general del contexto; b) detalle.....	240
Figura 9.28 Ofrenda #13: a) localización de la Ofrenda #13 en la Unidad ACH 1G-6; b) detalle de la Ofrenda #13.....	240
Figura 9.29 Ofrenda #11: a) localización de la Ofrenda #10 en la Unidad 1G-6; b) detalle de la Ofrenda #11	241
Figura 9.30 Ofrenda #14: a) localización de la Ofrenda #14 en la Unidad 1G-6; b) detalle de la Ofrenda #14 y su relación al Piso #1 de la unidad.....	242
Figura 9.31 Ofrenda #15: a) localización de la Ofrenda #15 en la Unidad ACH 1G-6; b) detalle de la Ofrenda #15, hacia la esquina se ve la Ofrenda #14.....	242
Figura 9.32 Ofrenda #16 detrás de la estructura con banca: a) Vasija #28; b) Vasija #29	243
Figura 9.33 Vista de las piedras labradas en el sector oeste de la Unidad ACH 1G- 6.....	243
Figura 9.34 Vista en plano de banca y área al este trabajada en el Lote 5 de ACH 1G-6	244
Figura 9.35 Ofrenda #17: a) localización de la ofrenda en la Unidad ACH 1G-6; b) localización de la ofrenda en relación a las unidades ACH 1G-6 y ACH 1G-7	245
Figura 9.36 Ofrenda #17: a) y b) detalle de la exposición de la ofrenda	245
Figura 9.37 Planta de las Unidades ACH 1G-6 y ACH 1G-7 en el nivel sobre el piso estucado debajo del escombros y el humus, con la localización de las ofrendas	246
Figura 9.38 Planta de las Unidades ACH 1G-6 y ACH 1G-7 mostrando la ubicación de la banca y las ofrendas en su interior	247
Figura 9.39 Perfil oeste de la Unidad ACH 1G-6	248
Figura 9.40 Perfil este de la Unidad ACH 1G-7.....	248
Figura 9.41 Vista general de las Unidades ACH 1G-6 y ACH 1G-7: a) vista en planta; b) vista hacia el oeste	249
Figura 9.42 Unidades ACH 1G-6 y ACH 1G-7 vistas hacia el este. Nótese la exposición de las subestructuras en perfil este del Saqueo #2.....	250
Figura 9.43 Banca lateral y muro posterior este de la subestructura con banca.....	251
Figura 9.44 Muro posterior central de la subestructura con banca.....	252
Figura 9.45 Vista en plano de la Unidad ACH 1G-8 y la ubicación de las ofrendas	254
Figura 9.46 Ofrenda #18.....	254
Figura 9.47 Ofrenda #19.....	255
Figura 9.48 Ofrenda #20.....	255
Figura 9.49 Ofrenda #21.....	256
Figura 9.50 Ofrenda #50.....	256
Figura 9.51 Planta de las Unidades ACH 1G-8 y ACH 1G-9 con la ofrenda de cinco vasijas	258
Figura 9.52 Unidades ACH 1G-8 y ACH 1G-9: a) perfil este; b) perfil sur, viendo hacia el sureste	258
Figura 9.53 Ubicación de las ofrendas de las unidades ACH 1G--8 y ACH 1G-9 vistas desde el Saqueo #7 (vista hacia el sur)	259

Figura 9.54 Perfil este de la Estructura 5C-01 y localización de los lotes de limpieza.....	261
Figura 9.55 Saqueo #2: a) antes de la limpieza; b) al final de la limpieza general ...	261
Figura 9.56 Perfil este de la Unidad ACH 1X-1.....	262
Figura 9.57 Mascarón #2 con la cobertura de geotextil	263
Figura 9.58 Saqueo #1, cobertura final luego de la intervención	263
Figura 9.59 Vista general del Sector 3-5	264
Figura 9.60 Vistas del sector 5-6: a) vista desde el sur por sobre el Túnel de saqueo medio; b) vista desde el sur al nivel del Túnel de saqueo medio.....	265
Figura 9.61 Vista general del sector 7-10: a) perfil este; b) vista al sur mostrando Túnel inferior del Saqueo #2.....	266
Figura 9.62 Vista general del sector 10-13 (a); b) detalle del sector indicado por círculo.....	266
Figura 9.63 Vistas del Túnel inferior del Saqueo #2, exterior, previo a ubicar la Unidad ACH 1G-5	267
Figura 9.64 Ofrenda #7 en contexto, por debajo de piso estucado y frente al arranque de escalinata	268
Figura 9.65 Ofrenda #7: a) navaja prismática dentro de ofrenda; b) vasija al norte sin su cubierta.....	268
Figura 9.66 Cuenta de jade encontrada en derrumbe	269
Figura 9.67 Túnel superior del Saqueo #2: a) vista general viendo al sur; b) escalinata en el interior del túnel.....	269
Figura 9.68 Vista general de las escalinatas frente al Túnel superior del Saqueo #2 (a y b)	271
Figura 9.69 Escalinata frente al Túnel superior del Saqueo #2: a) detalle de área destruida; b) vista general	271
Figura 9.70 Arranque de escalinata y piso que clausura la estructura con banca, abajo Ofrenda #7	272
Figura 9.80 Túnel inferior del Saqueo #2, vista general luego de la limpieza	273
Figura 9.81 Fondo del Túnel superior del Saqueo #2: a) vista general; b) detalle de piedra quemada	273
Figura 9.82 Piso de estuco asociado a subestructura dentro del Túnel superior del Saqueo #2.....	274
Figura 9.83 Perfil norte de la Unidad ACH 1X-7: a) vista de la sección baja central; b) indicación de la localización de los pisos y fractura en la estructura.....	276
Figura 9.84 Piedra de moler, sobre la cima y el eje central del edificio 5C-01.....	277
Figura 9.85 Unidad ACH 1X-7 y unidades ACH 1G-8 y ACH 1G-9, perfil este.....	278
Figura 9.86 Unidad ACH 1X-7, perfil norte	278
Figura 9.87 Vista hacia el sur de la extensión del Saqueo #7	279
Figura 9.88 Pequeño talud con colapso hacia el oeste	280
Figura 9.89 Vista general del perfil norte de la Unidad ACH 1X-7.....	283
Figura 9.90 Vista general del perfil este de la Unidad ACH 1X-7 (a) y de las unidades ACH 1G-8 y ACH 1G-9 (b).....	283
Figura 9.91 Reconstrucción hipotética de la primera fase constructiva completa	286
Figura 9.92 Estructura Banca, parte final de la Segunda Fase Constructiva, reconstrucción hipotética	288
Figura 9.93 Reconstrucción hipotética de la tercera fase constructiva completa y la ubicación de las ofrendas post-abandono. La base no fue completamente	

rectangular, por lo que esta reconstrucción es únicamente con fines ilustrativos	290
Figura 9.94 Sobreposición de las excavaciones y hallazgos de la Temporada 2016	291
Figura 9.95 Perfil este de la Estructura 5C-01	292

Capítulo 10

Figura 10.1 Localización de las excavaciones de la Temporada de campo 2016	294
Figura 10.2 Unidades ACH 3A-1 y ACH 3A-2, Nivel 1. Nótese la trinchera de saqueo poco profunda en el centro de las unidades	295
Figura 10.3 Escalinata de la Estructura Chahuk. La terraza a la derecha superior es la Estructura Tokal, y el rasgo de mampostería en la parte inferior es el muro posterior del recinto de la estela	296
Figura 10.4 Ofrenda 6 in situ. A la izquierda, vista en planta que muestra el corte en el Piso Mo'. A la derecha, detalle de las vasijas	298
Figura 10.5 Vasija ACH-V011 de la Ofrenda 6	298
Figura 10.6 Vasija ACH-V012 de la Ofrenda 6	299
Figura 10.7 Vasija ACH-V013 de la Ofrenda 6	299
Figura 10.8 Estructura Mus. A la derecha se observa una balaustrada, la escalinata y el Piso K'uk'. La flecha de norte descansa en la Estructura Tokal y la escalinata estucada a la izquierda pertenece a la Estructura Chahuk. La mampostería en el extremo izquierdo es el muro posterior del recinto de la estela.....	300
Figura 10.9 Ofrenda 9 in situ.....	301
Figura 10.10 Vasija ACH-V021 de la Ofrenda 9	302
Figura 10.11 Vasija ACH-V022 de la Ofrenda 9	302
Figura 10.12 Bloque en pie, Estructura Tokal.....	303
Figura 10.13 Estructuras Ha'al (adelante) y K'in (atrás)	305
Figura 10.14 Ofrenda 23 in situ. Las piedras a la izquierda corresponden al muro norte-sur de la Estructura Ha'al	307
Figura 10.15 Vasija ACH-V038 de la Ofrenda 23	307
Figura 10.16 Vasija ACH-V041, de la Ofrenda 25	307
Figura 10.17 Vasija ACH-C042 de la Ofrenda 25	308
Figura 10.18 Fases arquitectónicas de la Estructura 5C-08, identificadas en la Operación ACH 3ª.....	311
Figura 10.19 Planta final de la Sub-operación ACH 3A	312
Figura 10.20 Perfil norte de la Sub-operación ACH 3ª	313
Figura 10.21 Perfil norte de la Unidad ACH 3LT-2 de la Estructura 5C-08, donde se observan las fases constructivas	315
Figura 10.22 Perfil norte de la Unidad ACH 3LT-2 de la Estructura 5C-08	315
Figura 10.23 Ofrenda 8 in situ.....	316
Figura 10.24 Vasija ACH-V018 de la Ofrenda 8	317
Figura 10.25 Vasija ACH-V019 de la Ofrenda 8	317
Figura 10.26 Vasija ACH-V020 de la Ofrenda 8	318
Figura 10.27. Perfil norte de la Sub-operación ACH-LT10.....	319
Figura 10.28 Detalle de fragmentos de estuco pintado y modelado encontrados en el relleno de sascab.....	319
Figura 10.29 Piso Tz'unun.....	321
Figura 10.30 Detalle de fragmentos de estuco modelado recobrados del relleno de la Estructura Pet. Se aumentó el contraste para mostrar la pintura rojo sobre crema (compárese con la Figura 10.28)	322

Figura 10.31 Estructura Pet	323
Figura 10.32 Estructura Pet	323
Figura 10.33 Piso Kuy, mostrando las capas de estuco.....	324
Figura 10.34 Piso Kuy, nótese que el piso no se extiende hasta el exterior de la plataforma	325
Figura 10.35 Planta final de la Sub-operación ACH 3B	325
Figura 10.36 Perfil sur de la Sub-operación ACH 3B.....	326

Capítulo 11

Figura 11.1. Grupo Sur, mostrando la localización de las excavaciones realizadas .	329
Figura 11.2. Perfil este de la unidad ACH99-12 en la Estructura 5C-06	330
Figura 11.3 Planta de la unidad ACH99-12 en la Estructura 5C-06 en donde se observan los restos óseos encontrados	331
Figura 11.4 Perfil oeste de la unidad ACH99-13 en la Estructura 5C-05	333

Capítulo 12

Figura 12.1. Valores de $86\text{Sr}/87\text{Sr}$ en la región Maya	336
Figura 12.2 Valores $86\text{Sr}/87\text{Sr}$ de La Corona	338
Figura 12.3 Valores $18\text{O}/16\text{O}$ y $13\text{C}/12\text{C}$, con los valores de individuos no locales (incluso el estroncio).....	340
Figura 12.4 Valores del estroncio y bario de la región y del sitio Actuncan, Belice, mostrando separación de valores	341

Capítulo 13

Figura 13.1 Entierro 20 de La Corona, Planta.....	344
---	-----

Capítulo 15

Figura 15.1 Ubicación geográfica de los puntos de muestreo.....	369
---	-----

Capítulo 16

Figura 16.1 Secuencia arquitectónica, dinástica y cerámica de La Corona	379
Figura 16.2 Idealización de las subfases Cocoman-I (Derecha) y Cocoman-II (Izquierda).....	380
Figura 16.3 Reconstrucción de la sección norte del palacio de La Corona durante la fase Halcón/Tucán.....	381
Figura 16.4 Plan del Palacio durante la Fase Tucán.....	382
Figura 16.5 Posible área de control e influencia del Reino K'anuul.....	384

ÍNDICE DE TABLAS

Capítulo 7

Tabla 7.1. Densidades de cerámica de cada prueba de pala, Sub-operación CAR11B.....	177
--	-----

Capítulo 10

Tabla 10.1 Resumen de niveles y lotes.....	309
Tabla 10.2 Resumen de niveles y lotes de la Sub-operación ACH 3B	326

Capítulo 13

Tabla 13.1 Inventario dental, La Corona Entierro 20.....	346
Tabla 13.2 Inventario, Operación CR20.....	346
Tabla 13.3 Inventario, Operación ACH3.....	347

Capítulo 14

Tabla 14.1 Análisis de restos óseos de fauna: Temporadas 2015-216	352
---	-----

Capítulo 15

Tabla 15.1 Resultados de calidad de agua en cuerpos de agua principales. (*) Puntos tomados de la aguada más importante, “La Curvada”	370
Tabla 15.2 Especies de murciélagos encontradas en el sitio	371
Tabla 15.3 Otras especies encontradas en el sitio arqueológico La Corona.....	372
Tabla 15.4 Listado de especies identificadas de entomofauna.....	372
Tabla 15.5 Listado de especies de mamíferos encontrados en el sitio arqueológico La Corona.....	374

CAPÍTULO I

PROYECTO REGIONAL ARQUEOLÓGICO LA CORONA: OBJETIVOS Y ANTECEDENTES DE LA TEMPORADA 2016

Tomás Barrientos Q. y Marcello A. Canuto

Se han concluido ocho temporadas de campo entre 2008 y 2015, y las investigaciones en el noroccidente de Petén por parte del Proyecto Regional Arqueológico La Corona (PRALC) han aportado datos significativos sobre sitios arqueológicos como La Corona, El Achiotal, La Cariba, El Jobillo, Las Guacamayas y muchos otros asentamientos prehispánicos de la zona. El proyecto PRALC continuó en 2016 sus actividades de investigación y conservación, mediante un esfuerzo conjunto de varias personas e instituciones, especialmente la Universidad de Tulane y la Universidad del Valle de Guatemala, representadas por sus directores, el doctor Marcello A. Canuto y el doctor Tomás Barrientos.

Modalidad de la investigación

Las investigaciones realizadas en 2016 se circunscriben dentro de los incisos “4”, “5” y “6” del Artículo 6, Capítulo I, del Reglamento para Desarrollar Proyectos de Investigación Arqueológica de la Dirección General del Patrimonio Cultural y Natural del Ministerio de Cultura y Deportes, Acuerdo Ministerial 001-2012 (MCD 2012), los cuales literalmente dicen:

- 4. Investigaciones integrales a largo plazo e interdisciplinarias sobre las sociedades desaparecidas, las que requieren de excavaciones de sitios, así como de la protección, conservación y restauración de bienes muebles e inmuebles que lo ameriten.*
- 5. Investigaciones que no impliquen excavación, que conlleven el estudio de las evidencias expuestas, como son los análisis sobre arquitectura, pintura mural, epigrafía, iconografía y otros, actividades que requieren fotografía especial, dibujos, copias y otras técnicas documentales.*
- 6. Estudios de gabinete sobre patrimonio cultural mueble depositado en museos, laboratorios, bodegas y colecciones en general.*

Justificación

Las investigaciones del proyecto PRALC han contribuido significativamente al entendimiento del ente político más grande y complejo que existió en las Tierras Bajas Mayas — la dinastía *K'aanul*. A partir de los datos recabados en el noroccidente de Petén, se ha podido sugerir de manera general que durante los siglos VI a VIII d.C., los sitios de Dzibanche y Calakmul dominaron la mayor parte de las Tierras Bajas Mayas a través de conquistas y alianzas matrimoniales que establecieron rutas de comunicación y comercio ancladas por sitios aliados y subordinados (Canuto y Barrientos 2013b). Dentro de este contexto, las investigaciones de 2016 han continuado con la interpretación de La Corona después de dicha influencia política, así como nuevos datos sobre el papel que jugó el sitio El Achiotal como primera capital regional de la región en el Preclásico Tardío e inicios del Clásico Temprano. También, las actividades del proyecto PRALC van más allá de lo científico, ya que se ha continuado con la conservación de recursos naturales y culturales.

Planteamiento Teórico

El proyecto PRALC plantea un estudio amplio de varios temas básicos y fundamentales en los estudios arqueológicos de la cultura Maya. En cuanto a las investigaciones en 2016, continuaron con el estudio de la organización sociopolítica de los mayas del período Clásico (250-900 d.C.) a través de la relación entre capitales regionales y sitios secundarios, así como la interpretación de inscripciones jeroglíficas. Además, se continuó con el estudio de otros sitios de la región noroccidental de Petén, ya que es una de las zonas menos estudiadas de las Tierras Bajas Mayas Centrales. Las investigaciones han mejorado nuestro conocimiento de las estrechas relaciones políticas entre Dzibanche-Calakmul y La Corona, especialmente las razones por las que la familia real de La Corona carece del título de *K'uhul Ajaw*, sustituyéndolo por *K'uhul Sak Wayis*. Además, la gran cantidad de inscripciones jeroglíficas que fueron plasmadas en escalinatas, paneles y otros monumentos tallados en piedra caliza de excelente calidad, contrasta con la escala modesta de la arquitectura del sitio. Por lo tanto, desde el punto de vista de los modelos de la organización política Maya, La Corona presenta una serie de contradicciones que se pueden esclarecer por medio de la investigación arqueológica.

Por razones todavía poco comprendidas, La Corona representaba un punto de importancia estratégica para los gobernantes de *K'aanul* en su expansión territorial en los siglos VI y VII d.C. y la competencia con Tikal para adquirir control de las rutas y recursos de las Tierras Bajas (Canuto y Barrientos 2013a). Además, el estudio de PRALC está contribuyendo a corregir el desnivel de datos históricos entre las dos grandes capitales Mayas, complementando la información ya obtenida de investigaciones realizadas en la zona de Campeche, en sitios como Calakmul (Benavides 2005), Oxpemul (Šprajc, Folan y González 2005, Robichaux y Pruett 2005), Dzibanché (Martin 2005, Velásquez 2008) y Uxul (Grube 2007). También se ha complementado la interpretación de otras zonas estratégicas, como la de Waka'/El Perú en el Río San Pedro Mártir (Freidel y Escobedo 2004, Freidel y Escobedo 2005, Freidel y Escobedo 2006, Freidel y Escobedo 2007, Freidel *et al.* 2007, Navarro-Farr y Rich 2015) y el antiguo reino de *Hix Witz'* en la zona de La Joyanca (Arnauld, Breuil-Martínez y Ponciano 2004) y Zapote Bobal (Fitzsimmons 2006).

Objetivos y metas de investigación de la Temporada 2016:

De manera más específica, la temporada de investigación 2016 tuvo los siguientes objetivos y metas, enumerados desde los más específicos a los más generales:

- 1) Continuación de las excavaciones horizontales en la sección norte del Palacio de La Corona (Estructura 13Q-4), a cargo de Maxime Lamoureux St-Hilaire. Estas incluyeron unidades de excavación en las estructuras 13Q-4B y 13Q-4G, así como muestreos de piso de estuco en la plaza del patio Noroeste. También se realizaron excavaciones horizontales en la Estructura 13Q-4J.
- 2) Continuación de las excavaciones en la sección sur del Palacio de La Corona (Estructura 13Q-4), a cargo de Eduardo Bustamante. Estas incluyeron un túnel en el lado oeste del basamento de la Estructura 13Q-4O, a nivel del piso de la Fase Cocomchán, para explorar el patio noroeste de la acrópolis en esa etapa. También un túnel en el interior de la Subestructura 13Q-4O-Sub-1, para determinar la naturaleza y extensión de sus cámaras, así como otras excavaciones al sur de la Estructura 13Q-4F y en la fachada sur del palacio (Estructura 13Q-4P).
- 3) Continuación de las excavaciones horizontales en la Estructura 5C-08 de El Achiotal, a cargo de Luke Auld-Thomas, con el objeto de exponer pisos, escalinatas y fachadas de sus fases constructivas, así como la exploración del recinto de la Estela 1 y la estructura adosada en su

extremo sur. Se tomó como punto de partida las excavaciones realizadas en 2015, ubicadas en el eje central de la estructura.

- 4) Continuación del registro de saqueos en la fachada norte y túneles de la Estructura 5C-01 de El Achiotal, a cargo de Ernesto Arredondo, para definir los rasgos arquitectónicos de la última fase constructiva
- 5) Continuación de las excavaciones en la Estructura 13Q-3, a cargo de Borislava Simova y Marissa López.
- 6) Continuación de las excavaciones en el sitio La Cariba, a cargo de David Chatelain y Alejandro González. Se enfocaron en la Estructura en A-1, A-3 y la rampa del Grupo B
- 7) Registro y documentación de las excavaciones de saqueo reportadas en el sitio El Jobillo, a cargo de Jocelyne Ponce. También se realizaron pozos de sondeos en todos los grupos de patio.
- 8) Análisis osteológico de nuevos entierros encontrados y análisis isotópico de muestras para estudios de nutrición y migración, a cargo de Erin Patterson.
- 9) Formular modelos políticos, económicos y culturales que expliquen la relación de La Corona y otros reinos Mayas asociados a la dinastía *K'aanul* entre los siglos VI y VIII d.C., así como sus relaciones con Tikal y otros sitios de las Tierras Bajas Mayas durante el Período Clásico.
- 10) Fortalecer las acciones de protección y conservación de la antigua ciudad de La Corona y los bienes culturales y naturales de la región de estudio.

Investigaciones previas

Los estudios llevados a cabo antes de 2009 proporcionaron una visión bastante preliminar de La Corona, y a partir de 2010 se iniciaron las investigaciones intensivas en la Plaza Principal y el Grupo Coronitas, incluyendo el descubrimiento de la Escalinata Jeroglífica 2 en 2012. A continuación se presenta una síntesis de los resultados alcanzados en las temporadas previas, que sirven como base para la realización de investigaciones en 2016.

Las investigaciones en la zona de La Corona iniciaron como resultado de la búsqueda del “Sitio Q”, que había sido relevante desde la década de 1970 en las discusiones referentes a la investigación del sistema político de los mayas clásicos. La historia detallada de estas investigaciones ha sido incluida en los informes de PRALC de 2008 y 2009 (Canuto y Barrientos 2009, Barrientos y Canuto 2010).

En 2005 y 2006 se organizaron dos expediciones al sitio La Corona por parte del Proyecto El Perú-Waka', dirigido por David Freidel y Héctor Escobedo (Canuto *et. al.* 2006, Canuto 2007, Acuña 2007, Marken y Guenter 2007). Las expediciones tenían como propósito investigar la correlación entre La Corona y el Sitio Q propuesta por Stuart (2001), lo que finalmente fue comprobado mediante el descubrimiento del Panel 1.

Dos años después, en 2008, se llevó a cabo la primera temporada del Proyecto Regional Arqueológico La Corona (PRALC), dirigido por Marcello Canuto y Tomás Barrientos (Canuto y Barrientos 2009), iniciando un programa ininterrumpido de temporadas de campo y laboratorio (Barrientos y Canuto 2010, Barrientos *et al.* 2011, 2012, 2013, 2014). Además, entre 2009 y 2011 se construyó un campamento permanente, el cual sirve como estación científica tanto para las investigaciones en el sitio de La Corona, sus alrededores y otros proyectos de carácter regional en la zona noroccidental de Petén. A continuación se presenta un resumen de los datos e interpretaciones más recientes de La Corona y su región asociada.

Asentamiento al occidente de la Reserva de la Biósfera Maya

La mayor parte de los estudios regionales se realizaron entre 2010 y 2012, resultando en el registro de 46 sitios (Figuras 1.1 y 1.2). Se usó como base el estudio del drenaje de suelos en relación a la topografía quebrada al este y la topografía plana al oeste. Usando el Índice de Posición Topográfica (Topographic Position Index o TPI) de la Geomorfometría, se ha definido un área de 302 km² que se mantiene arriba de los niveles normales de inundaciones temporales, y es allí precisamente donde se han identificado asentamientos prehispánicos. De estos sitios, más de la mitad han presentado material cerámico del periodo Preclásico, sugiriendo una importante ocupación de este período en la región de la RBM occidental, pero con características distintas a las encontradas en la meseta central cárstica al este y posiblemente compartiendo muchas similitudes con las ocupaciones preclásicas del suroccidente del Petén.

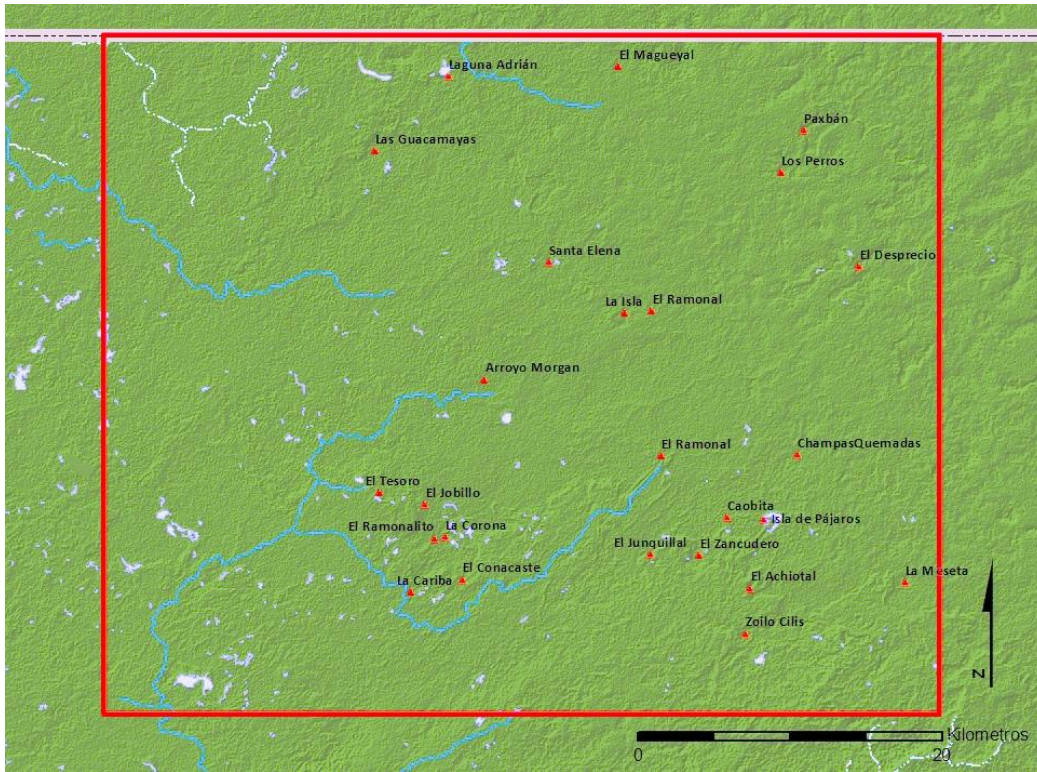


Figura 1.1 Sitios principales en el área de PRALC (Mapa por C. Chiriboga)

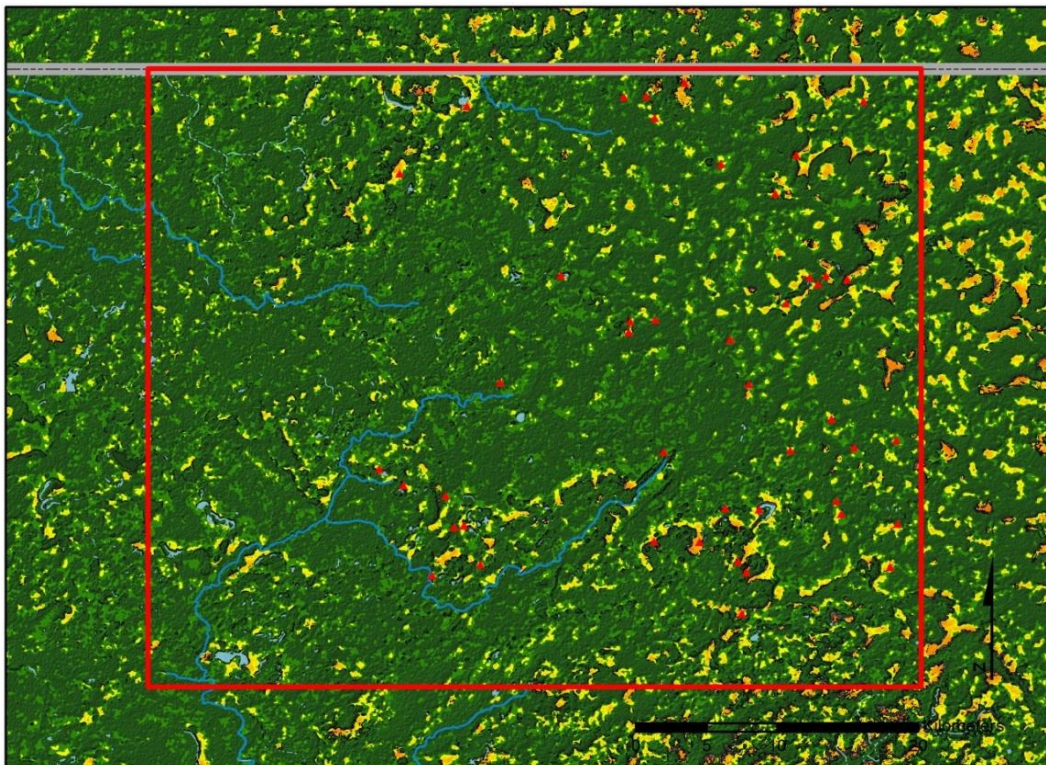


Figura 1.2 Mapa con elevaciones (zonas amarillas son las más altas) localizando los 46 sitios registrados en la zona de estudio PRALC hasta 2012 (Mapa por C. Chiriboga)

Ubicación estratégica de La Corona

La Corona se localiza en el límite occidental de la Altiplanicie Cárstica Central de la Reserva de la Biósfera Maya (RBM) y está dentro de una cadena de *sibales* en una zona que carece de ríos. La presencia de sitios en toda esta área es limitada hacia el oeste, ya que se inunda periódicamente y no es susceptible para el asentamiento humano. Hacia el este, el terreno se eleva continuamente en dirección a la meseta cárstica central de las Tierras Bajas, donde se ubican sitios como Tikal, Uaxactun, Naachtun y El Mirador. A unos pocos kilómetros al suroeste de La Corona se encuentran los nacimientos de los ríos Xan y Chocop, que drenan hacia el oeste hacia el Río San Pedro Mártir, el cual proveyó acceso hacia el Bajo Usumacinta y el Golfo de México (Figura 1.3).

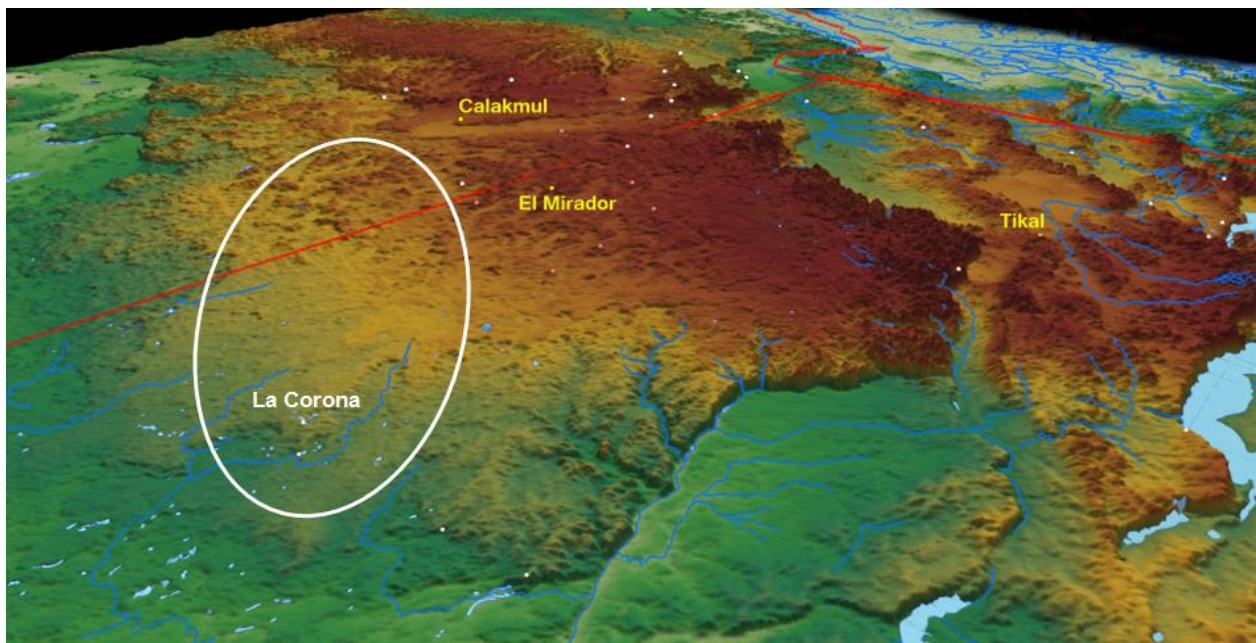


Figura 1.3 Ubicación de La Corona al oeste de la Altiplanicie Cárstica Central (Mapa por M. Canuto)
Las áreas verdes son de menor altura y las de color café son de mayor altitud

Patrón de Asentamiento de La Corona

La Corona es un sitio que está estratégicamente localizado en un área que tiene drenaje suficiente para permitir asentamiento durante todo el año y está rodeada por una riqueza de *sibales* de agua dulce. La Corona se compone de dos “complejos” arquitectónicos principales con una serie de grupos piramidales y grupos residenciales intercalados entre ellos (Figura 1.4).

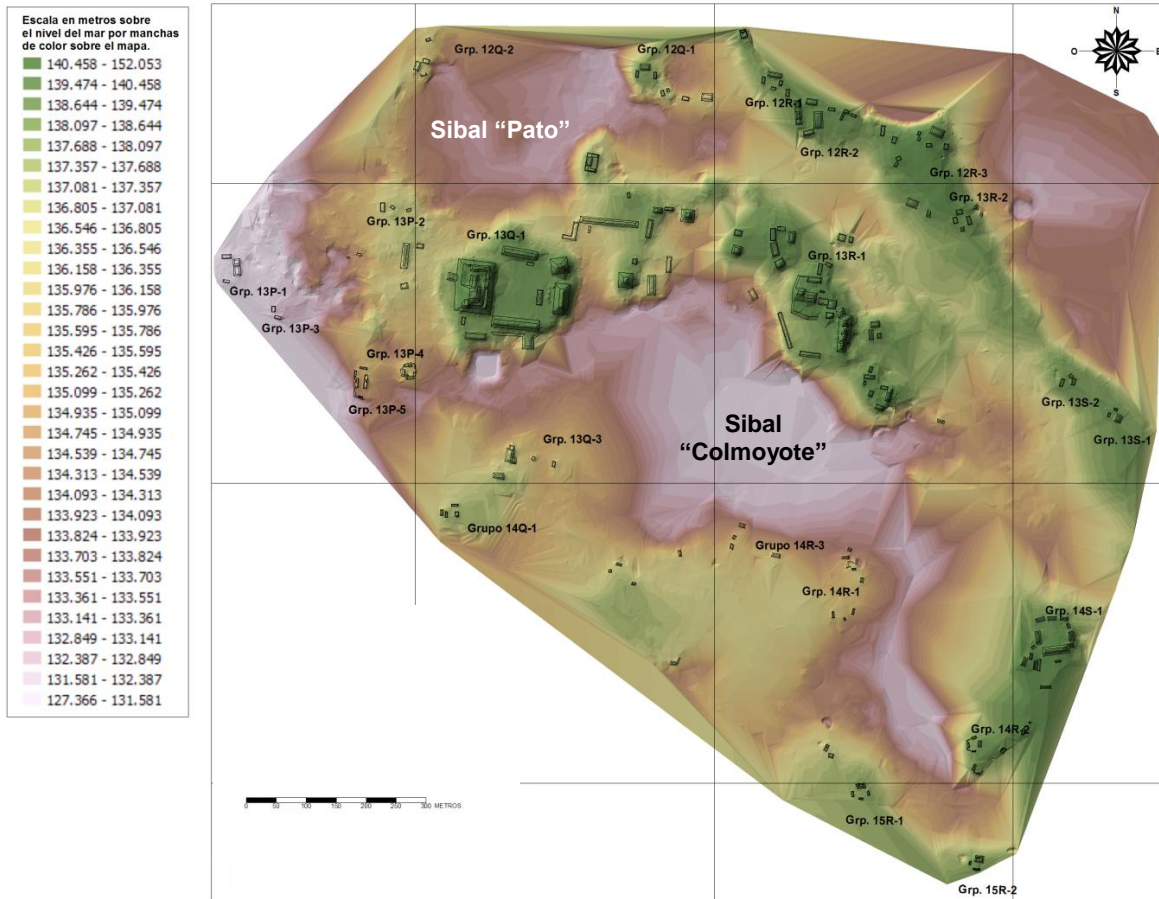


Figura 1.4 Mapa tridimensional de La Corona, Temporada 2012 (Mapa por R. Guzmán)

Los complejos de arquitectura monumental que definen el centro de La Corona tienen singularidades que los distinguen entre sí. El grupo al oeste —llamado “Grupo Principal”— está construido en una elevación natural entre los dos sibales “Pato” y “Colmoyote” al norte y sur, respectivamente. Consiste de una plaza estucada cuadrangular de aproximadamente 10,000 m² rodeada de edificios monumentales y donde se encuentra la mayoría de altares y estelas (Figura 1.5). Destaca el complejo Palacio (Estructura 13Q-4) en el lado oeste de la plaza, que es un edificio tipo acrópolis cuyo basamento cubre alrededor de 4,000 m² y se eleva 10 m sobre la plaza, sosteniendo 4 patios internos y 10 estructuras en su etapa final. Hacia el sur se encuentra una aguada cuadrangular que pudo ser la cantera original que resultó de la construcción del Grupo Principal.

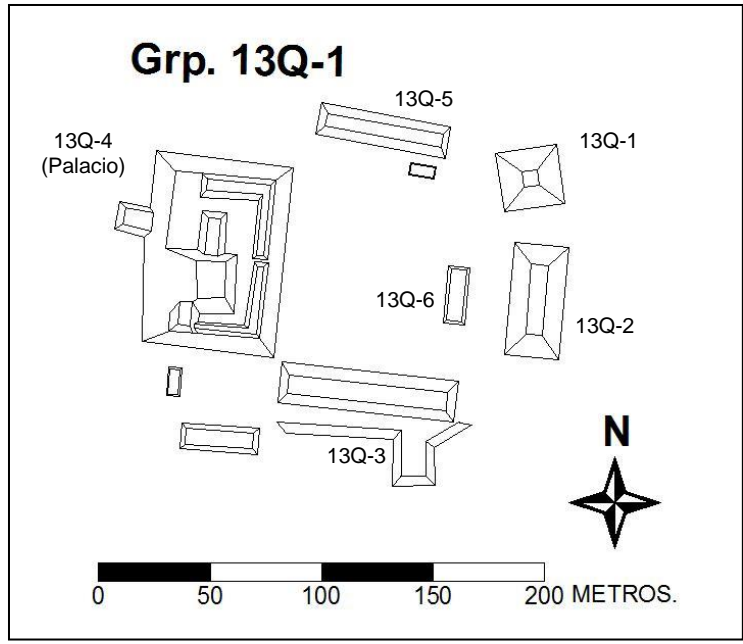


Figura 1.5 La Corona, Plaza Principal (Mapa realizado por R. Guzmán)

Por su parte, el Grupo Coronitas presenta características menos convencionales, donde destaca el conjunto de cinco pequeños templos alineados en eje norte-sur (Grupo 13R-I) y un grupo de templo y palacio en el límite norte del grupo (Grupo 13R-II). Hacia el sur y este, la plaza es casi abierta, ya que solamente presenta dos estructuras bajas y alargadas (Figura 1.6).

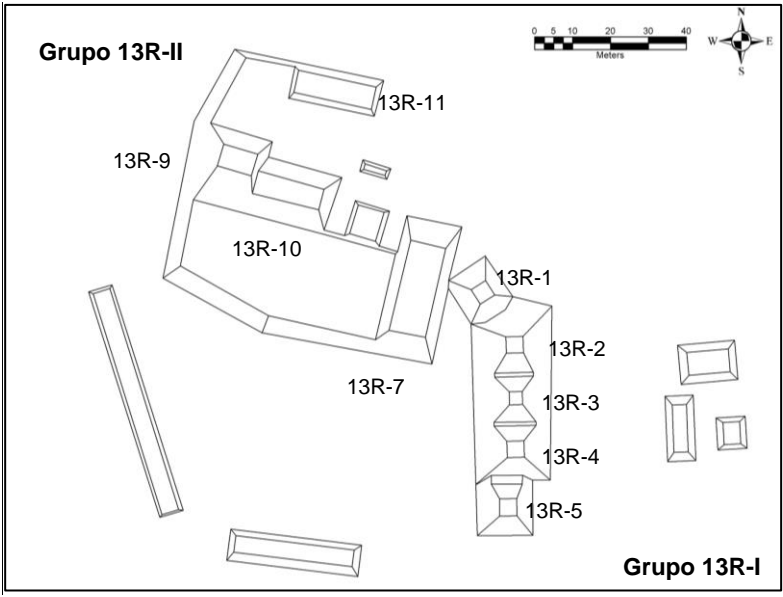


Figura 1.6 La Corona, Grupo Coronitas (Mapa por M. Canuto)

La Plaza Principal fue el escenario para actividades rituales y políticas de carácter público, dada la presencia de monumentos con inscripciones. Actualmente hay una estela y cuatro altares, y la Escalinata Jeroglífica 1 en la Estructura 13Q-3. De acuerdo a los descubrimientos recientes, la fachada de la Estructura 13Q-2 seguramente contuvo bloques tallados que posteriormente se recolocaron en la Estructura 13R-10 como parte de la Escalinata Jeroglífica 2.

En el Grupo Coronitas se han recuperado inscripciones en el Panel 7 y se sabe también que el Panel 6 o Altar de Dallas se encontraba en la Estructura 13R-10. Por supuesto, lo más relevante es la presencia del Panel 1 en la Estructura 13R-5 y la Escalinata Jeroglífica 2 en la fachada de la Estructura 13R-10, descubierta en 2012. Además, es relevante que las investigaciones ratificaron su función ceremonial mediante la presencia de siete ofrendas u escondites en sus cinco fases.

Las diferencias en diseño arquitectónico y presencia de monumentos con inscripciones en ambos grupos pueden sugerir funciones distintas durante el siglo VII d.C., que corresponde al apogeo del sitio. En ese momento parece que la Plaza Principal tuvo un carácter más dinástico, relacionado con la conmemoración de eventos políticos, mientras que el Grupo Coronitas pudo haber sido transformado de un área de culto a ancestros, a un lugar dedicado a deidades patronas o tutelares del sitio. Esta hipótesis se basa en el contenido del texto del Panel 1, que incluye pasajes de carácter ritual y mitológico, especialmente la descripción de la fundación del templo como santuario en 677 d.C. para la efigie de un dios patrón. Se supone entonces que cada uno de los cinco templos de este conjunto pudo haber sido dedicado a deidades específicas y que fueron particulares al sitio de *Sak Nikte'*. Además, la remodelación de estos templos cubrió totalmente entierros de reyes antiguos, posiblemente de algún linaje distinto.

Cronología de La Corona y su región circundante

La cronología actual del sitio ha sido designada mediante datos epigráficos de los textos de La Corona y otros patrones generales de las Tierras Bajas Centrales durante el período Clásico. Esta cronología ha sido designada de la siguiente manera:

- Fase *Aneel* (314-500 d.C.)
- Fase *Naah Ek'* (520-625 d.C.)
- Fase *Yuknoom* (625-700 d.C.)
- Fase *Ti' Kaan* (700-750 d.C.)
- Fase *Ix Mutal* (750-820 d.C.)

La Fase *Aneel* comienza con la llegada del fundador del linaje de La Corona, posiblemente en 314 d.C., mientras que la Fase *Naah Ek'* comienza con la llegada de la primera princesa proveniente de *Kaanul* (Dzibanche) en 520 d.C. La Fase *Yuknoom* comienza con el reinado de *Sak Maas* y abarca el período de tiempo donde se tiene la mayor cantidad de datos epigráficos, que corresponde a la mayor expansión de Calakmul y la llamada “Era Dorada” de La Corona (Figuras 1.7, 1.8). La Fase *Ti' Kaan* comienza poco después que Tikal vence a Calakmul en 695 d.C. y la Fase *Ix Mutal* comienza con la derrota de El Perú-Waka' y Naranja por parte de Tikal a mediados del siglo octavo, hasta el abandono final del sitio de La Corona. Todo este desarrollo se caracteriza por varias alianzas matrimoniales con Calakmul y Tikal, en por lo menos cuatro de sus fases (Figura 1.9)

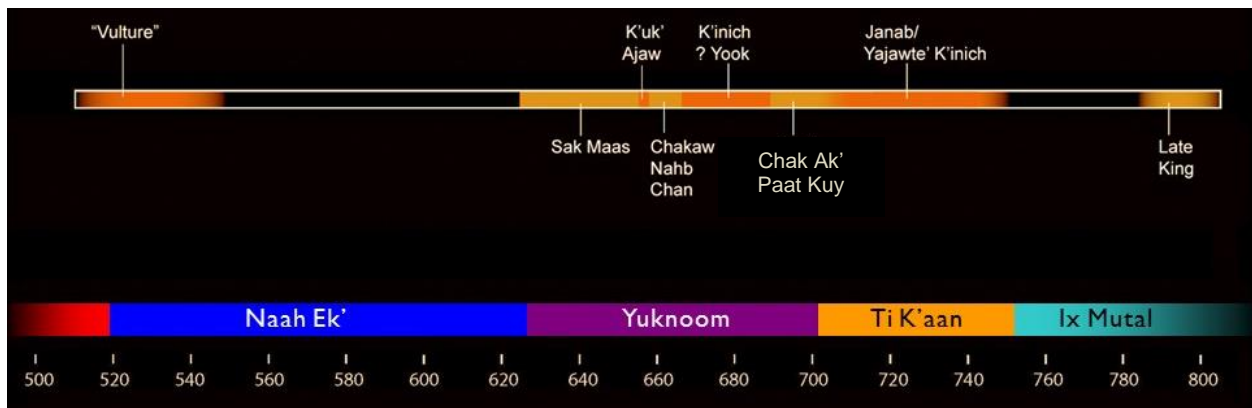


Figura 1.7 Cronología de La Corona y detalle de la “Era Dorada” (Gráfica por J. Baron y T. Barrientos)

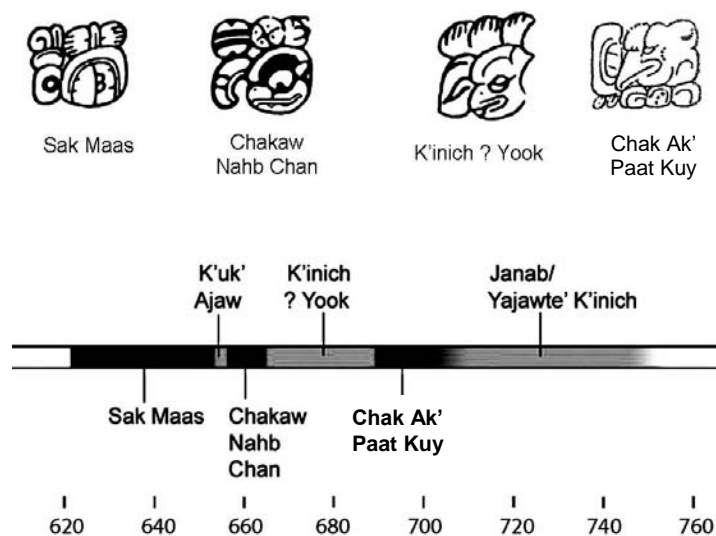


Figura 1.8 Secuencia dinástica de La Corona durante la “Era Dorada” (Gráfica por J. Baron)

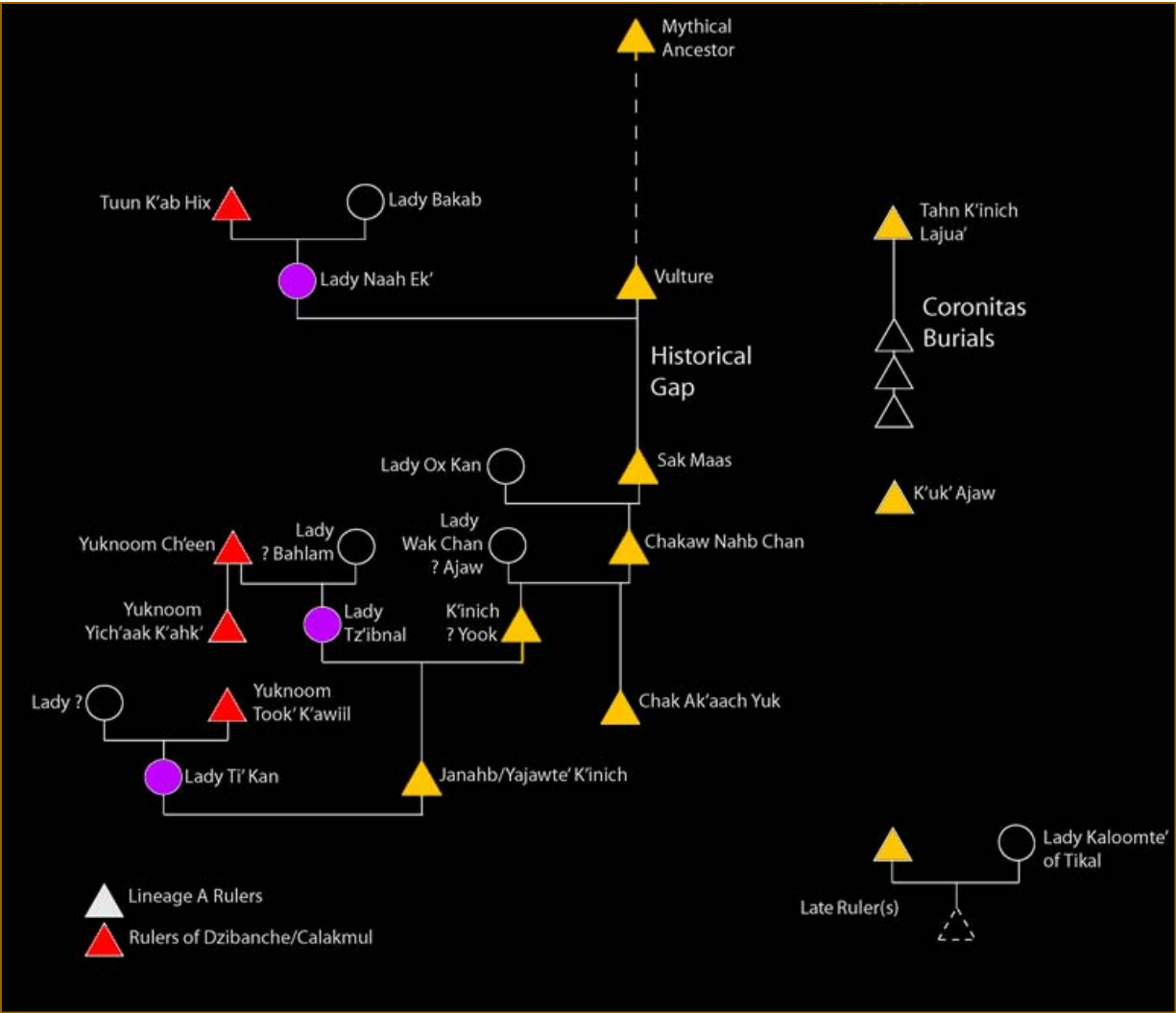


Figura 1.9 Relaciones de parentesco de dinastía de La Corona (Gráfica por J. Baron)

La secuencia cerámica de La Corona ha sido creada por Parris mediante la comparación de grupos cerámicos y tipos identificados en La Corona con aquellos de otros sitios. Se escogieron nombres de complejos cerámicos de acuerdo a nombres de edificios traducidos a idioma Maya clásico (Ch'olano) El complejo cerámico de La Corona es el siguiente:

- | | |
|-------------------------|--------------------------|
| Preclásico Tardío | <i>Naah</i> (Estructura) |
| Clásico Temprano | <i>Ochib</i> (Entrada) |
| Clásico Tardío | <i>Waay</i> (Cuarto) |
| Clásico Tardío Terminal | <i>Paat</i> (Terraza) |
| Postclásico | <i>Bih</i> (camino) |

Los estudios arquitectónicos en el Grupo Coronitas han definido seis fases constructivas: *K'inich* (314–400? d.C.), *Mam* (400–500? d.C.), *Muk* (500?–658 d.C.), *K'uh* (658–677 d.C.), *Ub* (677–750? d.C.) y *Unen* (750?–850? d.C.), las cuales muestran cambios drásticos en cuanto a su función. De la misma manera, la secuencia de la Estructura 13R-10 incluye cinco episodios constructivos: *Sacpá-Poité* (250-500 d.C.), *Aceituno-Mancuernillo* (500-650 d.C.), *Chicozapote* (650-760 d.C.), *Guaya* (760-830 d.C.) y *Clásico Terminal* (830-900 d.C.), las cuales apuntan a cambios funcionales de este edificio y todo el conjunto durante la segunda parte del Clásico Tardío y Clásico Terminal, especialmente cuando se colocó la Escalinata Jeroglífica 2, con bloques provenientes de edificios de la Plaza Principal.

En cuanto a las investigaciones en la Plaza Principal, Bustamante y Lamoureux-St-Hilaire han combinado datos arquitectónicos, cerámicos y epigráficos con el objetivo de elaborar una cronología de las cinco etapas constructivas principales de todo el palacio. Esta cronología (Figura 1.10), correlaciona los períodos de gobierno de distintos reyes de La Corona, el arribo de las princesas de *K'aanul*, las fases arquitectónicas documentadas en las secciones sur y norte del palacio y las esferas cerámicas.

Princesas de Kaan/Mutal	Fecha de arribo (D.C.)	Rey de La Corona	Fecha de Reinado (D.C.)	Fase de Construcción	Complejos Cerámicos	Fechas Asociadas (D.C.)
Ix ? Naah Ek'	520	"Buitre"	(544)	Canario	Tzakol 3	500-600
Ix Ox Kan		Sak Maas	625-655	Cocochan I	Tzakol 3-Tepeu 1	500-700
		K'uk' Ajaw	655-658			
Ix Wak Chan? Ajaw		Chak Nahb Chan	658-667	Colibrí	Tepeu 1	600-700
Ix Tz'ib Winik	679	'Kinich? Yook	667-689	Halcón	Tepeu 1-2	600-830
		Chak Ak' Paat Kuy	689-?	(Renovación de Halcón)	Tepeu 1-2	600-830
Ix Ti' Kan	721	Janahb/Yajawte 'Kinich	(721)(746)	Tucán	Tepeu 2	700-830
	?	?	?		Tepeu 2	700-830
Ix Kaloomte'	791-797	Rey Tardío	?		Tepeu 2	700-830
		?	?	Abandono	Tepeu 3	830

Figura 1.10. Correlación cronológica de las fases constructivas del palacio real de La Corona (Tabla por M. Lamoureux-St-Hilaire y E. Bustamante).

Como resultado se han hecho las siguientes correlaciones cronológicas: 1) el arribo de la primera princesa de *K'aanul* en 520 d.C. con la fundación del palacio (fase constructiva Canario); 2) el arribo de la segunda princesa de *K'aanul* (*Ix Tz'ib Winik*) en 679 d.C. y el régimen de *K'inich ? Yook* (667-689 d.C.), con las esferas cerámicas Tepeu 1 y 2 y la construcción de la masiva fase Halcón A; y 3) el arribo de la tercera princesa de *K'aanul* (*Ix Ti' Kan*) en 721 d.C. y el régimen de *Yajawte K'inich* (721- 746 d.C.) con la esfera cerámica Tepeu 2 y la construcción de la pequeña fase Tucán.

Resultados de la Temporada 2015

Estructura 13Q-4 o Palacio.

El trabajo en este edificio ha sido dividido en dos líneas de trabajo: 1- excavación de superficie; y 2- excavación de túneles. En lo que respecta a la excavación de superficie, en 2015 se trabajó el área noreste del palacio, considerada como un área de transición o de paso que permitía el acceso al interior del palacio así como un área de presentación. En este sector, además de distinguirse varios cuartos y plataformas, se encontró un trono/banqueta ubicado en la esquina noroeste del patio interno del palacio. Dicho trono/banqueta se encontraba en el exterior de la arquitectura, aunque se encontraron indicios de una estructura perecedera que cubría este rasgo. En el respaldo de este trono se encontró in situ un bloque de piedra tallado con inscripciones jeroglíficas y una imagen de un gobernante (Elemento 56). De forma similar pero desplomado sobre el asiento de la banqueta se encontró un segundo bloque finamente tallado (Elemento 55) que cayó “cara abajo”, lo que permitió que se conservara muy bien. Los dos bloques pertenecen a dos distintos grupos originales y fueron reubicados en esta sección del palacio, de manera similar a los bloques encontrados en 2012 en el grupo Coronitas.

Los trabajos realizados en la fachada oeste permitieron definir un edificio tipo galería con 4 cuartos con entradas desde el oeste (13Q-4O). Durante el año 2014 uno de estos cuartos (central sur) había sido excavado y se encontró en su interior un entierro tipo dedicatorio de un joven adulto. Durante 2015 y de forma sumamente similar en ubicación y profundidad, se encontró un segundo entierro dedicatorio ubicado en el cuarto central norte, sin embargo este fue de un felino. En lo que respecta a la excavación de túneles, se siguió con la fase Coccochan del Palacio y se lograron identificar dos nuevas estructuras.

La Cariba

En 2015, las excavaciones en este sitio secundario a La Corona se centraron en las estructuras A-1 y C-1, las cuales son las más grandes del sitio. Las excavaciones en estas estructuras fueron de forma extensiva para permitir tener un perfil de cuerpos y superestructuras así como rasgos arquitectónicos. Como resultado en ambas estructuras se pudo constatar la presencia de cuerpos múltiples y escalinatas, las cuales son comparables en tecnología constructiva con las vistas en La Corona, así como superestructuras con cimientos de mampostería y parte superior y techo de construcciones perecederas. En ambas estructuras también se realizaron pozos estratigráficos, los que constataron la presencia de fases anteriores, todas fechadas para el Preclásico Tardío. Sin embargo, en la parte superior ambas estructuras mostraron reacondicionamientos y re-estucamientos realizados durante el Clásico Tardío, lo que apoya la teoría de que este sitio fue abandonado durante el Clásico Temprano y retomado durante el Clásico Tardío, fenómeno posiblemente relacionado con el auge de La Corona como un centro regional.

El Achiotal

Durante la temporada 2015 se retomaron los trabajos arqueológicos en el sitio de El Achiotal. Excavado anteriormente entre 2009 y 2011, se había realizado la hipótesis que este sitio se trataba de un centro regional durante el Preclásico Tardío. Se limpiaron trincheras de saqueo, con el objetivo de identificar rasgos arquitectónicos, así como la excavación del edificio 5C-08, el cual se tenía la hipótesis que se trataba de la plataforma este de un Grupo E. Dicho edificio presentaba una gran cantidad de trincheras de saqueo, una de ellas localizada en el eje central de la fachada oeste del edificio, solo presentaba pocos centímetros de profundidad. Al continuar con la excavación de este sector se identificó una fase anterior del edificio que presentaba un recinto ceremonial. Este constaba de tres cuartos, siendo el cuarto oeste el único con acceso desde el exterior, mientras que a los otros dos cuartos solo se podía acceder mediante el paso por el cuarto anterior.

En el cuarto central y en el cuarto oeste fueron encontrados una serie de ofrendas consistentes en platos colocados labio a labio, cuencos de gran tamaño enterrados en escondites, cerámica quebrada, e inclusive un vaso tipo códice; este último se encontró quebrado e incompleto. El análisis cerámico de este vaso y otros fragmentos encontrados indican que esta cerámica fue quebrada antes de ser depositada, e inclusive no todos los fragmentos fueron depositados en la

ofrenda. Finalmente en el tercer cuarto (cuarto este), fue encontrada una estela quebrada en dos secciones, y un altar circular. Aunque el altar no presenta signos de talla, la estela presenta una figura humana con tocado en la parte anterior y escritura jeroglífica en la parte posterior. Los datos epigráficos e iconográficos indican que la estela data de cerca del 418 d.C.

Conclusiones e interpretaciones 2008-2015

Después de ocho años de investigación intensa en el sitio, el Proyecto Regional Arqueológico La Corona ha logrado definir varias conclusiones con respecto a la función, importancia, papel de este sitio de tamaño modesto en el extremo oeste del área central de la civilización maya clásica de las tierras bajas. Por el momento se pueden plantear las siguientes conclusiones:

- 1) La gran mayoría de sitios reportados permanecen en la zona más elevada (la franja este) de la región de estudio.
- 2) En cuanto al Preclásico, los datos revelan una presencia contundente por toda la región que se ha investigado. Los datos son demasiado preliminares para ofrecer conclusiones ahora; sin embargo, se ha mostrado que la ocupación Preclásica parece ser extensa en la RBM occidental.
- 3) El Achiotal parece ser una cabecera de la ocupación preclásica, papel que parece extenderse hasta el siglo IV d.C. La arquitectura, los murales, las decoraciones arquitectónicas y la iconografía sugieren que éste era la sede de un linaje dinástico que probablemente controlaba rutas de intercambio entre la zona central y el occidente de Petén. En el Clásico Temprano, los gobernantes de El Achiotal se asocian al título *Chatan Winik* y pudieron jugar un papel importante en la "Entrada" de *Siyah K'ahk* hacia el Petén Central y Oriental.
- 4) Los templos del Grupo Coronitas fungieron inicialmente como recintos funerarios, pero a mediados del siglo VII d.C. se cambiaron a santuarios para deidades patronales, posiblemente como una estrategia que acompañó cambios políticos en el sitio, asociados a la expansión del reino *K'aanul*.
- 5) Las estructuras 13Q-1 y 13Q-2 de la Plaza Principal fungieron como recintos funerarios. Por el momento se han descubierto bajo sus escalinatas de acceso dos tumbas de gobernantes de finales del Clásico Temprano o inicios del Clásico Tardío, pero es posible que en su interior alberguen los restos de reyes o reinas de la "Era Dorada".

- 6) El ente político más grande y complejo del periodo Clásico en las Tierras Bajas fue el Reino de *K'aanul*, cuya capital fue originalmente el sitio de Dzibanché y alrededor de 635 d.C. se instaló en Calakmul, bajo el gobierno de *Yuknoom Ch'een*. La relación entre La Corona y el Reino *K'aanul* en los siglos VI, VII y VIII d.C. fue muy estrecha mediante y a través de lazos consanguíneos. De hecho, La Corona pudo funcionar como un tipo de colonia, definida como una extensión directa del linaje reinante en Calakmul.
- 7) Se han identificado cuatro episodios constructivos en el Palacio (13Q-4), de los cuales el segundo, conocido como Fase Coccochan, parece ser el grupo residencial de la corte real en el siglo VII d.C. Comprende un grupo de por lo menos tres estructuras alrededor de un patio. Remodelaciones posteriores cubrieron estos edificios mediante basamentos monumentales, reconfigurando la totalidad de la acrópolis. En el siglo VIII d.C., la residencia real posiblemente fue la Estructura 13Q-4F, como parte de las últimas remodelaciones monumentales del complejo palaciego.
- 8) La ocupación de La Corona durante la segunda mitad del siglo VIII d.C. se caracteriza por la transformación del sitio en una entidad política independiente de la dinastía *K'aanul*. En este momento se desmantelan los monumentos públicos anteriores, especialmente las escalinatas glíficas, tal como se ha comprobado con la Escalinata Glífica 2 en la Estructura 13R-10 y los elementos 55 y 56 en la Estructura 13Q-4B
- 9) Todavía existe un gran vacío de conocimiento científico al norte de La Corona, dentro del territorio de Guatemala. De hecho, la distancia entre La Corona y Uxul, otro conocido aliado de *K'aanul*, mide más de 55 km en línea recta, donde bien cabría otro sitio a lo largo de la ruta. Es posible que el punto clave faltante de la “Ruta *K'aanul*” sea el sitio conocido como Las Guacamayas, ubicado a 25 km al norte de La Corona y en el límite occidental de la altiplanicie cárstica central de Peten. Este sitio, posiblemente fechado para el Clásico Tardío, todavía no presenta evidencia de inscripciones jeroglíficas, por lo que no se ha podido relacionar directamente con La Corona o *K'aanul*
- 10) Se ha comprobado la existencia de una relación política amistosa entre La Corona y La Florida (*Namaan*), ubicado en la aldea de El Naranjo-Frontera y a orillas del Río San Pedro. Esta conexión refleja la expansión de la influencia *K'aanul* hacía el oeste y define a La Corona como un punto donde convergía una red de rutas.

11) La importancia estratégica de la zona de La Corona, como parte del “Escudo” del Corredor Biológico de la Reserva de la Biósfera Maya, se ha demostrado mediante el paro del avance de la frontera agrícola y ganadera desde el Parque Nacional Laguna del Tigre. Por lo tanto, es un punto clave para la conservación de los recursos naturales y culturales de la reserva.

Zona de Estudio

Dado su carácter regional, el proyecto PRALC abarca una zona de Petén donde La Corona representa el sitio clásico Maya con arquitectura monumental más noroccidental de Guatemala. Aunque ya se han hecho algunos estudios de reconocimiento (Kaufman y Leal 1988; Leal y López 1993; Leal, López *et al.* 1988), no se han realizado investigaciones intensivas en esta zona. De hecho, al norte de La Corona hasta la frontera Guatemala-México, yacen más de 30 kms de territorio inexplorado. Por lo tanto, se estudia una zona que abarca la región entre Waka’ y La Corona hasta la frontera norte de Guatemala, que incluye unos 50 km al oeste de la Zona de El Mirador (Figura 1.11). En total, la zona mide casi 2,200 km². Aunque no se podrá realizar un estudio arqueológico exhaustivo de esta zona completa, se espera que el uso de sensores remotos permita explorar de manera “virtual” toda la región entre La Corona y la frontera norte. A continuación se describen los límites del área de estudio:

- a) Límite occidental: nacimiento de los ríos Chocoo, Xan, y Candelaría. Los tres afluentes llevan hacia el oeste y probablemente representan importantes rutas de comunicación entre el centro del Petén y el occidente. Se considera posible que existen sitios a lo largo de ellos.
- b) Límite sur: entre Waka’ y La Corona, justo donde nace el Río San Juan, que fluye al sur hacia el Río San Pedro Mártir.
- c) Límite oriental: definido arbitrariamente, colindante con la región de El Mirador, aproximadamente a 6 km al oeste de Carmelita, cerca del nacimiento del Arroyo Sac Chich.

La zona de estudio, como polígono, tiene sus esquinas aproximadamente en las coordenadas N 17° 49’ 04” W90° 35’ 00” (punto noroeste); N 17° 49’ 07” W90° 07’ 00” (punto noreste); N 17° 25’ 00” W90° 35’ 00” (punto suroeste) y N 17° 25’ 00” W90° 07’ 00” (punto sureste). El área se encuentra en varias zonas distintas de la Reserva Biosfera Maya, que son:

Parque Nacional Laguna del Tigre, Zona de Manejo Especial Laguna del Tigre y Corredor Biológico. En cuanto a concesiones, están Paxbán al noreste y San Andrés (AFISAP), Carmelita y La Colorada al sureste. La zona de estudio está en la jurisdicción del municipio de San Andrés, departamento de Petén. La zona no incluye comunidades actuales, aparte de algunos asentamientos ilícitos o invasiones. El sitio La Corona se ubica en las coordenadas N 17° 31' 42" W 90° 22' 46.1"

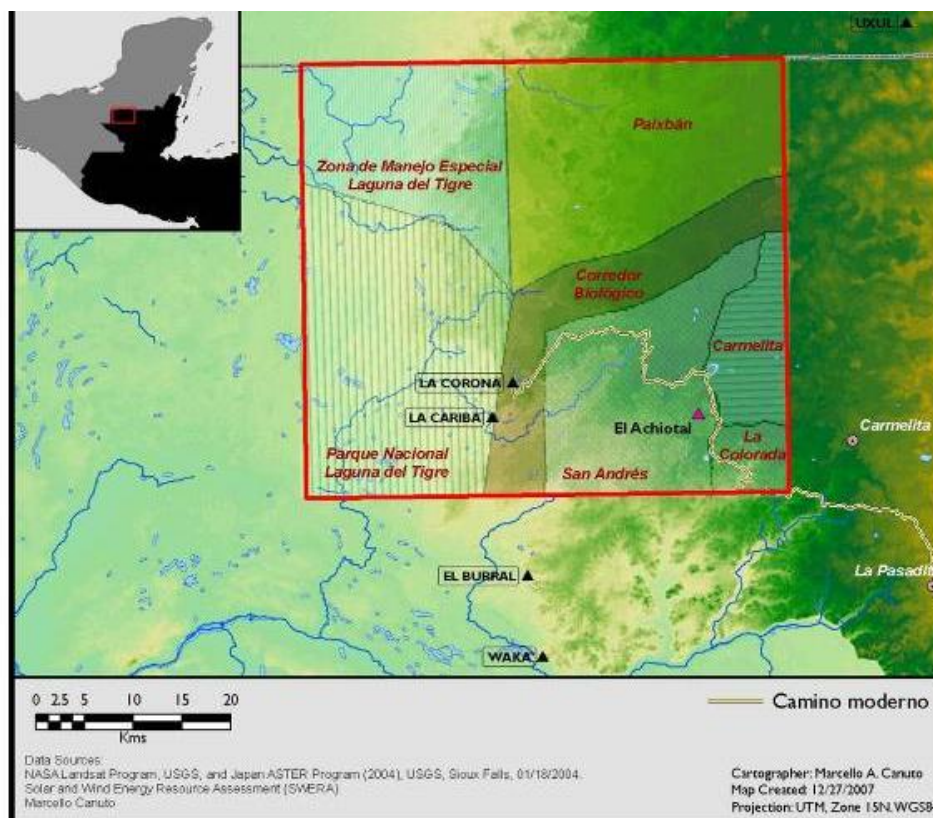


Figura 1.11 Zona de Estudio con límites aproximados (Mapa por M. Canuto)

Alianza para la Protección e Investigación del Corredor Biológico PNLDT-PNMR

En 2008 se propuso una alianza llamada “Escudo Jaguar”, formada por varias ONGs (WCS, ProPetén, Asociación Balam), entes gubernamentales (DGPCN, CONAP, DIPRONA), comunidades locales (ACOFOP, AFISAP) y proyectos arqueológicos para la protección de esta área. Consecuentemente, el proyecto propuesto aquí hace parte de este esfuerzo multilateral necesario para la conservación de los bienes culturales y naturales de la región (Figura 1.12).

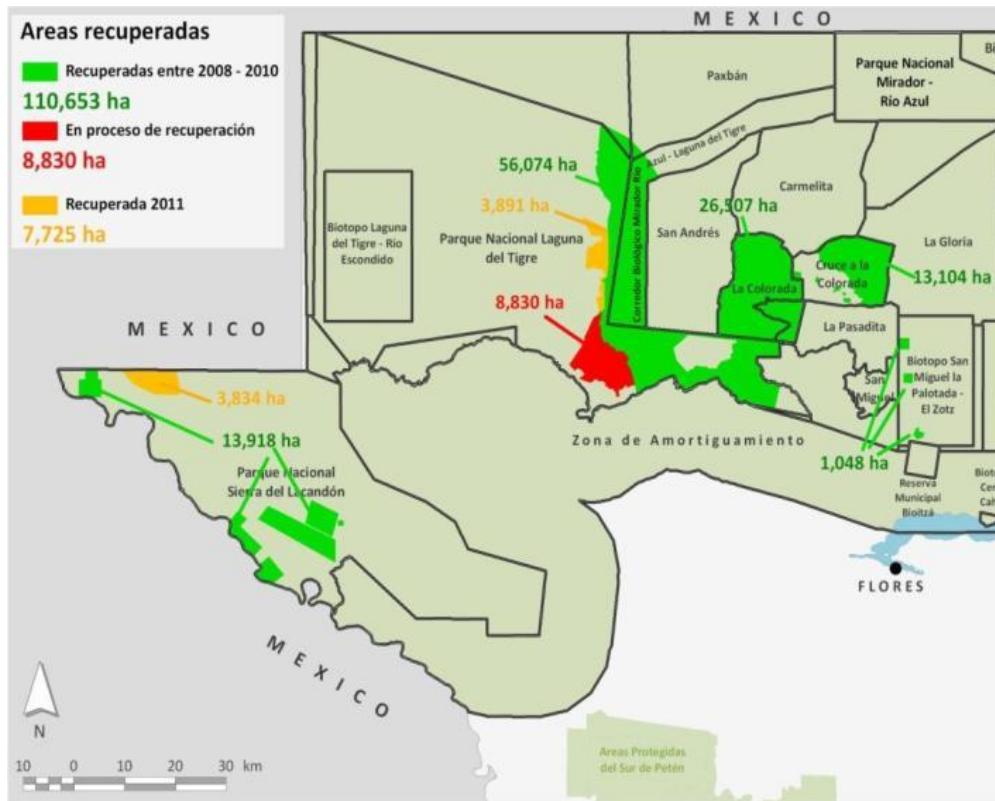


Figura 1.12 Mapa de la RBM con zonas naturales recuperadas desde 2008, donde se incluye el Corredor Biológico La Corona (Mapa por WCS)

Campamento

PRALC cuenta con un campamento permanente para los investigadores y trabajadores del proyecto, para lo cual se cuenta con el aval del Ministerio de Ambiente y Recursos Naturales, después de realizarse una Evaluación Ambiental Inicial (EAI). Se encuentra cerca del camino y con fuentes de agua suficientes, ya que está ubicado en la orilla del sibal nombrado Jabirú, que queda a menos de 500 m al este del Grupo Coronitas (Cuadrante 12S) (Figura 1.13).

El diseño del campamento es de bajo impacto ambiental, por lo que se han tomado medidas en cuanto al manejo de desechos, drenaje y la minimización de materiales que no son propios del lugar (lámina, malla, block, cemento). Este campamento puede servir como base para vigilantes del proyecto, así como personal del IDAEH, CONAP, Ejército de Guatemala y otras instituciones que operan en la zona. Adicionalmente, se cuenta con el apoyo de los campamentos de CONAP en El Achiotal y El Sargazo, y de AFISAP en Buena Vista, para apoyo logístico y como base para investigaciones de carácter regional.

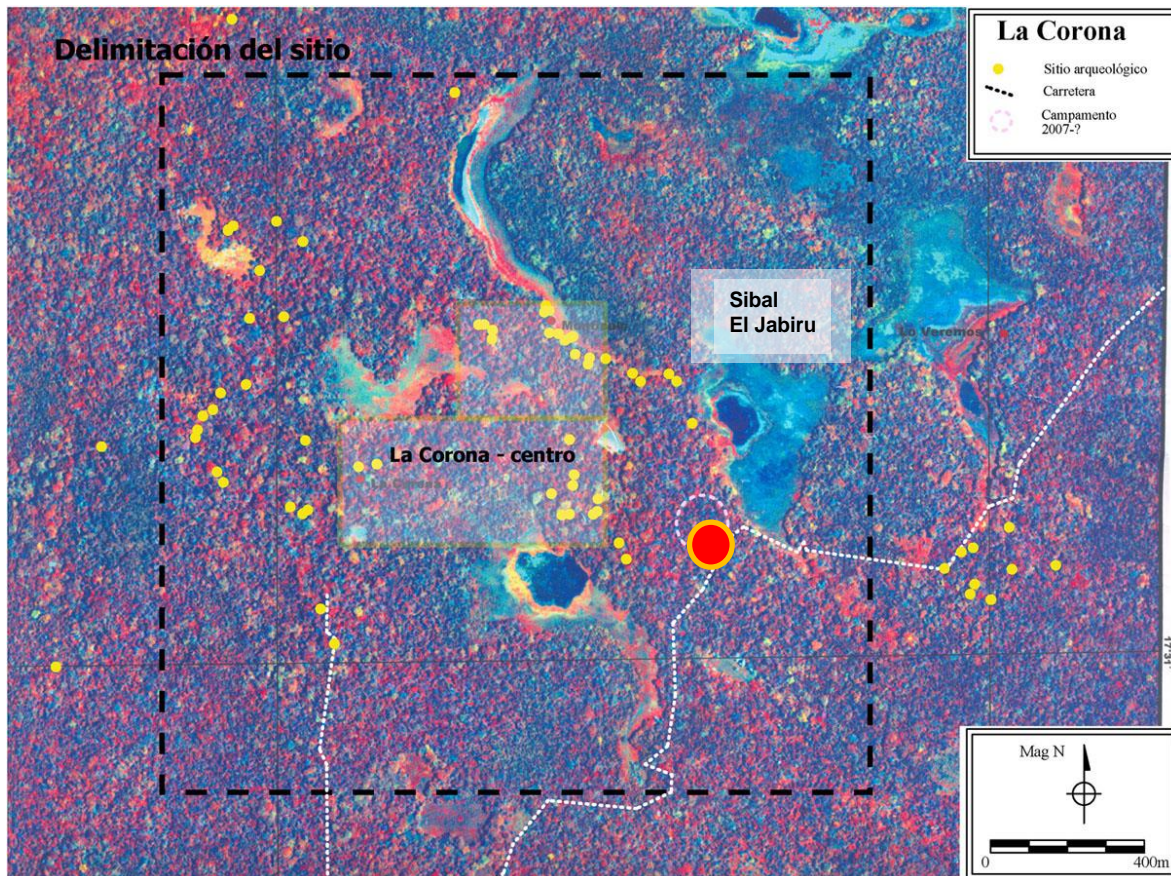


Figura 1.13 Delimitación del sitio La Corona y ubicación del Campamento del PRALC (Fotografía satelital, MARI)

El campamento incluye oficina administrativa, laboratorio, comedor, cocina, bodega de materiales y bodega de equipo y herramientas (Figura 1.14). Adicionalmente se construyeron sanitarios, duchas y un área de lavandería.



Figura 1.14 Edificios de oficina y bodega de materiales y herramientas, campamento PRALC (Fotografías por T. Barrientos)

En cuanto al área de dormitorio, se cuenta con dos ranchos de guano para albergar 60 carpas para el personal operativo (Figuras 1.15). Para el personal técnico y profesional se cuenta con 10 ranchos para carpas y dos ranchos grandes para visitantes.



Figura 1.15 Ranchos para carpas de personal operativo y profesional, campamento PRALC (Fotografía por T. Barrientos)

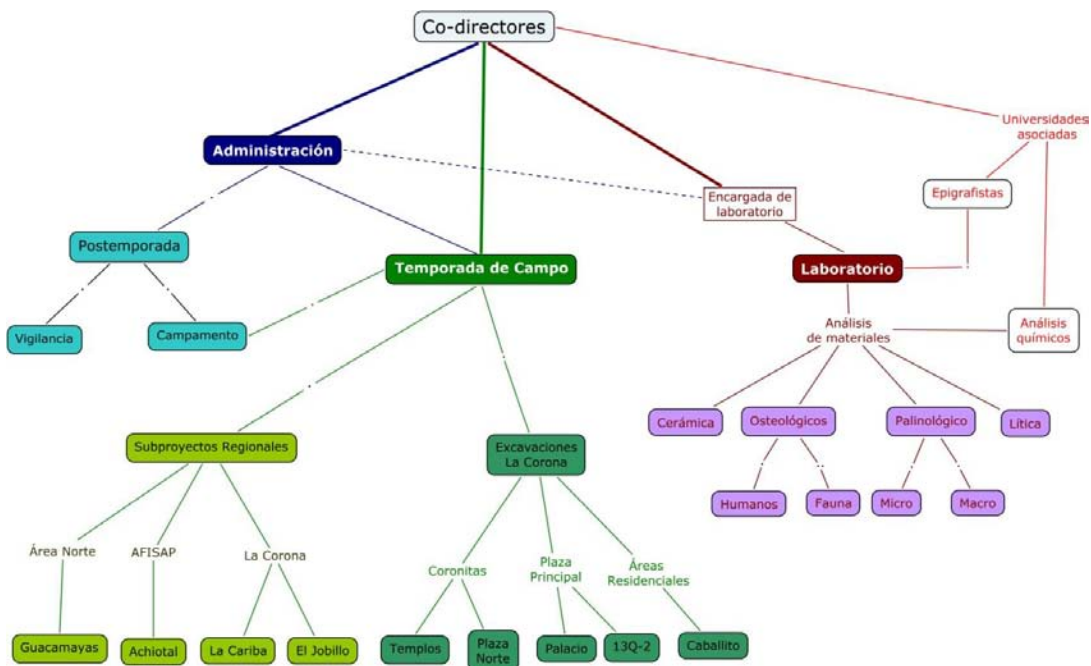


Figura 1.16 Organigrama del Proyecto

Personal Científico y Técnico, Temporada 2016

1. Dr. Marcello A. Canuto, *Director General del Proyecto*
2. Dr. Tomás Barrientos Q., *Codirector General del Proyecto*
3. Dr. Ernesto Arredondo, *Arqueólogo y Director de Campo, Sitio El Achiotal*
4. Dr. David Stuart, *Análisis epigráfico de inscripciones*
5. Dra. Anabell Coronado, *Registro gráfico de arquitectura*
6. M.A. Maxime Lamoreaux (candidato a doctor), *Arqueólogo, Estructura 13Q-4*
7. M.A. David Chatelain (candidato a doctor), *Arqueólogo, Sitio La Cariba*
8. M.A. Luke Auld-Thomas (candidato a doctor), *Arqueólogo, Sitio El Achiotal*
9. M.A. Borislava Simova (candidata a doctora), *Arqueóloga, Estructura 13Q-3*
10. M.A. Caroline Parris (candidata a doctora), *Arqueóloga, análisis cerámico*
11. M.A. Erin Patterson (candidata a doctora), *Arqueóloga, análisis de restos óseos*
12. M.A. Mary Kathleen Kelly (candidata a doctora), *Registro de inscripciones*
13. Lic. Jocelyne Ponce (candidata a doctora), *Arqueóloga, Sitio El Jobillo*
14. Lic. Andrea Sandoval, *Análisis químico de materiales*
15. Eduardo Bustamante (candidato a licenciado), *Arqueólogo, Estructura 13Q-4*
16. Jesús Alejandro González (candidato a licenciado), *Arqueólogo, Sitio La Cariba*
17. Analy Montenegro (candidata a licenciada), *Administración y Logística*
18. Julio Ajin (candidato a licenciado), *Dibujante El Achiotal*
19. Marissa López, *Estudiante de práctica, La Corona*
20. Pablo Estrada, *Estudiante de práctica, El Achiotal*
21. Ana Isabel Lucero, *Estudiante de práctica, La Corona*
22. Gustavo Luin, *Dibujante La Corona*



Figura 1.17 Personal Científico y Técnico PRALC, Temporada 2016 (Fotografía por E. Bustamante)

Agradecimientos

Los directores y el personal de PRALC agradecen a todas las personas e instituciones que de una u otra manera colaboraron para el desarrollo de la Temporada 2016. Las instituciones que brindaron apoyo académico y financiero fueron: Middle American Research Institute (MARI), Universidad del Valle de Guatemala (UVG), Fundación Patrimonio Cultural y Natural Maya (PACUNAM), Alphawood Foundation, US Department of the Interior (DOI), State of Louisiana Board of Regents (BOR) y National Science Foundation. De estas instituciones estamos especialmente agradecidos con Marianne Hernández, Claudia Cruz, Cynthia Perera, Mónica Stein, Selvin Pérez y Jaqueline López. Asimismo, el apoyo de las siguientes instituciones: Dirección General de Patrimonio Cultural y Natural (DGPCN) del Ministerio de Cultura y Deportes (MCD), Consejo Nacional de Áreas Protegidas (CONAP), Wildlife Conservation Society (WCS) y la Asociación Forestal Integral de San Andrés, Petén (AFISAP). Reconocemos también la labor del personal técnico del proyecto (excavadores, tuneleros y ayudantes), provenientes mayormente de las comunidades de San Andrés y Dolores, Petén (Figura 1.18). Agradecemos también a todas las personas que nos brindaron consejos académicos, en especial la parte epigráfica, por parte de Marc Zender y Stephen Houston. En cuanto a la logística, estamos agradecidos con la colaboración de Gloria Argueta de Montenegro, Adan Quixchan, Esau Quixchan “Nejo”, el equipo de vigilantes de PRALC (Luis Morales, Blas Orrego, Miguel Aldana, César Cano, Julio Maldonado, Noe Rodríguez), el equipo de cocina y mantenimiento del campamento, y todos nuestros proveedores y amigos en San Benito, Santa Elena, San Andrés y Flores. Dada la gran cantidad de colaboradores, nos disculpamos por omitir algún nombre, por lo que el agradecimiento va de manera general.



Figura 1.18 Personal completo PRALC, Temporada 2016 (Fotografía por E. Bustamante)

CAPÍTULO II

**OPERACIONES CR20C Y CR20E:
EXCAVACIÓN DE TÚNELES EN EL PALACIO DE LA CORONA**

Eduardo Bustamante

Introducción

Desde la Temporada 2011 se han realizado investigaciones en el palacio de La Corona mediante la excavación de túneles (Padilla 2012; Bustamante 2013, 2014, 2015, 2016a). Si bien estas investigaciones buscan proveer una cronología de los eventos constructivos en la acrópolis palaciega, los túneles se han enfocado mayormente a la investigación de su segunda fase arquitectónica, nombrada como Coccochan. Esta fase, fechada entre 500 y 600 d.C., corresponde a una de las fases más grandes del palacio, puesto que se elevó toda la sección sur del palacio 4 m sobre el nivel de la Plaza Principal (Padilla 2012, Bustamante 2013, 2014, 2015, 2016). Las referencias epigráficas de monumentos de La Corona hacen mención de dos gobernantes asociados con estas fechas: *Sak Maas* y *K'uk' Ajaw* (Canuto *et al.* 2012).

Las excavaciones han revelado que este período constructivo se encuentra dividido en dos sub-fases que llamamos Coccochan-I y Coccochan-II (Bustamante 2014, 2015). Durante la sub-fase Coccochan I se construyó un grupo cuadrangular cerrado en sus cuatro lados (Bustamante 2015; 2016a; Padilla y Bustamante 2013; Lamoureux-St-Hilaire y Bustamante 2016). Este grupo presenta una mezcla de edificios adecuados para actividades residenciales y administrativas (Bustamante 2015). Durante la sub-fase Coccochan-II se creó un segundo grupo situado al noroeste del primero, recreando el mismo patrón residencial de su predecesor. Durante este evento constructivo se hizo una separación de las funciones administrativas, que quedaron en el Grupo Coccochan-II, y las funciones residenciales, que se mudaron hacia el Grupo Coccochan Noroeste (Bustamante 2016). Durante la fase siguiente, Colibrí, el Grupo Coccochan, de funciones administrativas, fue enterrado y esta sección se elevó para convertirse en una plataforma. Sin embargo, el grupo Coccochan Noroeste, de carácter residencial, se integró a la nueva plataforma.

Durante las 6 temporadas de excavación se ha expuesto la mayoría de las estructuras relacionadas a esta fase. Las excavaciones de la Temporada de Campo 2016 presentaron excavaciones mínimas, ya que se trabajaron solo 18 días en los túneles, enfocados en proveer información de dos subestructuras: 13Q-4C-Sub 1, ubicada al sur del Grupo Cocochan; y 13Q-4E-Sub 5, ubicada al oeste del Grupo Cocochan Noroeste (Figura 2.1).

Objetivos

- Obtener las dimensiones de la Estructura 13Q-4E-Sub 5
- Obtener las dimensiones de la Estructura 13Q-4C-Sub 1
- Identificar rasgos arquitectónicos de la Estructura 13Q-4E-Sub 5
- Recolectar material cerámico, lítico y otros que permitan una identificación de las actividades realizadas en estos edificios y su fechamiento.

Metodología

La metodología de excavación utilizada en los túneles es la misma utilizada desde la Temporada 2011. Esta corresponde a asignar un número de operación según la posición de las estructuras de la acrópolis palaciega en su última fase arquitectónica. En otras palabras, los túneles excavados bajo la Estructura 13Q-4E serán dispuestas en la operación CR20E, mientras que las excavaciones bajo la Estructura 13Q-4C recibirán la operación CR20C. Si se identifica una estructura o plataforma previamente no conocida, esta recibirá una denominación -Sub más un número correlativo siguiendo el mismo principio expuesto en la asignación de operaciones.

La asignación de unidades se realizó mediante la identificación de rasgos en las estructuras y los lotes corresponden a la excavación lineal horizontal de 2 m de terreno. La altura y ancho de los túneles variaron dependiendo del material de relleno encontrado.

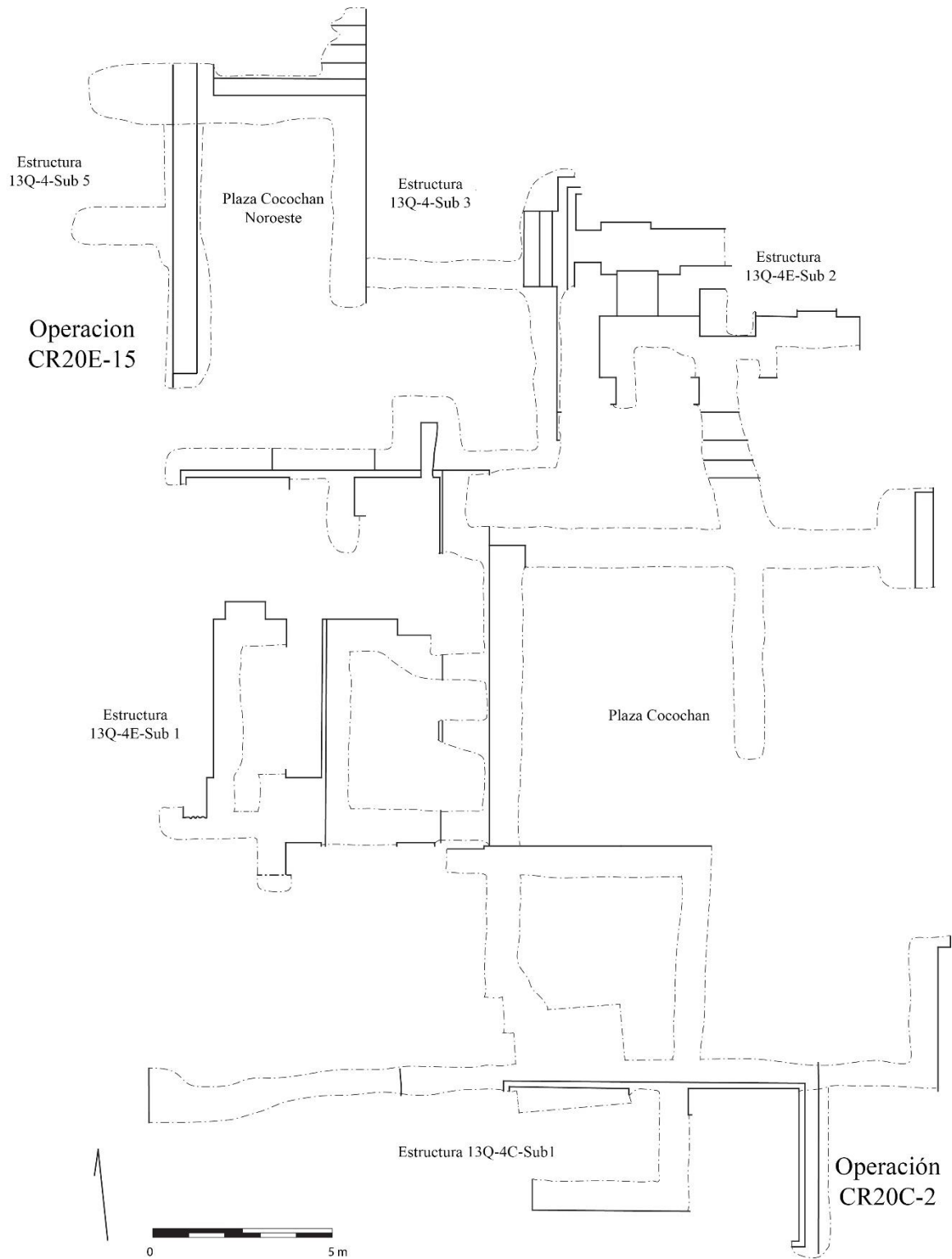


Figura 2.1. Planta de excavaciones. Mostrando Grupos Coccochan y Coccochan Noroeste (Dibujo por E. Bustamante)

Unidad CR20C-2

Durante la temporada de excavaciones 2014 se identificó la Estructura 13Q-4C-Sub 1, ubicada en el extremo sur del Grupo Cocochan (Bustamante 2015). Con la identificación completa de todo el Grupo Cocochan durante la Temporada 2015 (Bustamante 2016a), se contempló que la sección este de esta estructura podría ser un punto de acceso a la cima del palacio. La excavación de la Unidad CR20C-2 se enfocó en excavar la fachada este de la estructura para corroborar esta hipótesis (Figuras 2.2 y 2.3). En total solo se excavó un lote y se comprobó que en esta área no existió dicho acceso.

La excavación de esta unidad descubrió por completo la fachada este. En total este edificio mide 8.5 m (norte-sur) x 4.5 m (este-oeste). Se hallaron 32 fragmentos de cerámica en este lote.

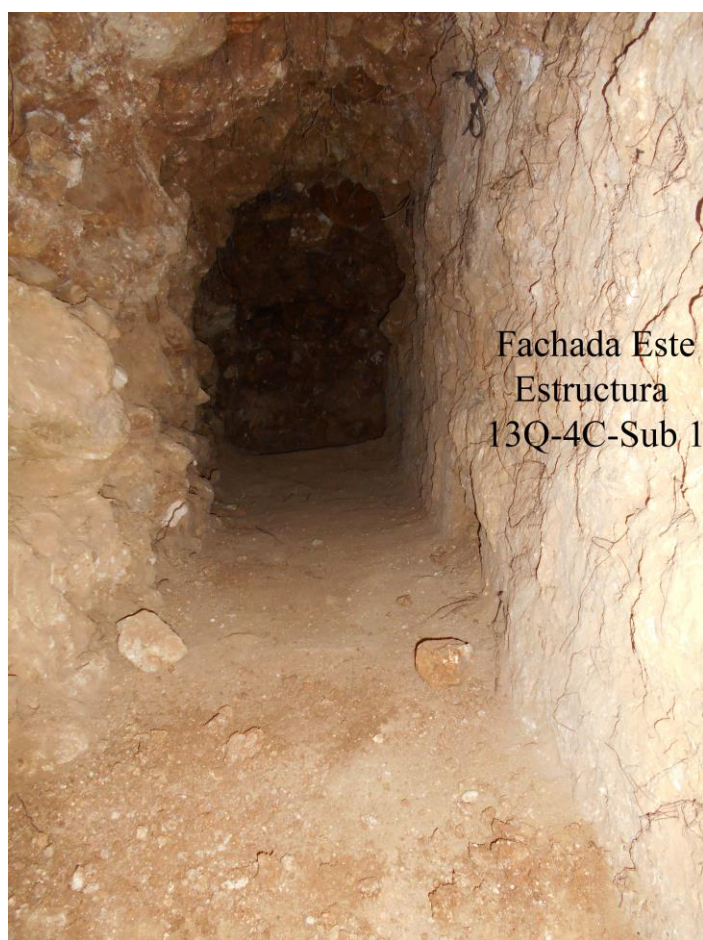


Figura 2.2. Unidad 13Q-4C-Sub 1. Vista al sur desde el norte (Fotografía por E. Bustamante).

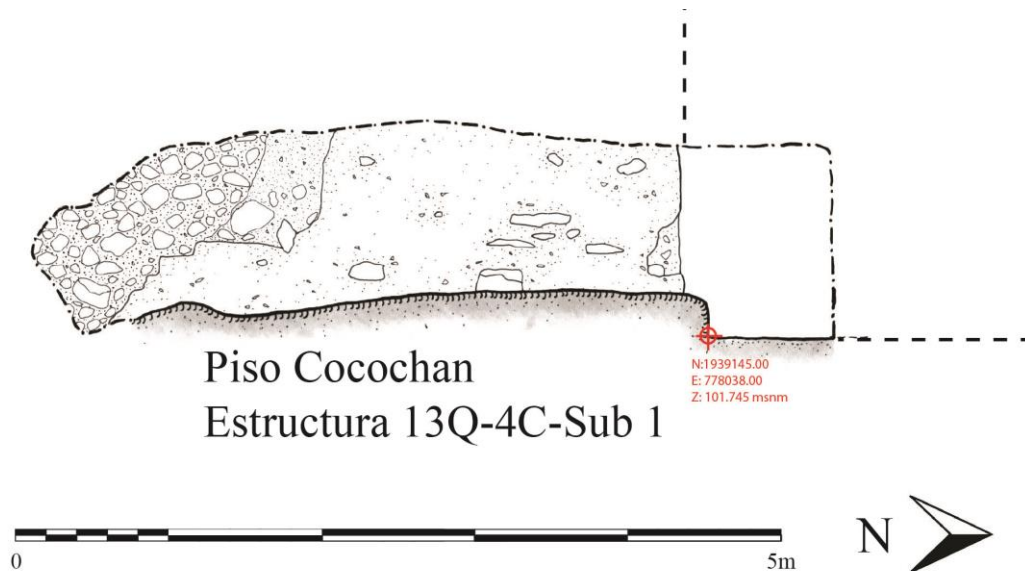


Figura 2.3. Fachada Este de Estructura 13Q-4C-Sub 1.
(Dibujo por G. Luin, calco por A. Coronado y digitalización por A. González)

Unidad CR20C-15

Durante la temporada de excavaciones 2015 se identificó la Estructura 13Q-4E-Sub 5. Esta se trata de una plataforma de 0.4 m de alto ubicada en el extremo este del Grupo Coccochan Noroeste. En esa temporada solo se excavó el extremo norte de la plataforma y no se identificó una superestructura. Durante la temporada de campo 2016 se decidió excavar en dirección al sur, siguiendo la fachada este de la plataforma hasta identificar la longitud total de la misma. Habiendo identificado sus dimensiones, se colocaría un túnel en su centro con dirección al oeste, el cual buscaría una superestructura. Debido a limitantes de tiempo no se identificó el largo total de la estructura en dirección norte-sur. Solamente se excavaron 8 m de túnel y se colocó un túnel al oeste calculando el centro del edificio (Figura 2.4).

En total se excavaron 5 lotes. Todos corresponden a material de relleno consistente en barro color negro mezclado con piedras de 0.45 m de diámetro en promedio. Se observaron bolsas horizontales de cal, sin embargo, éstas se encontraron sectorizadas por lo que no se tratan de pisos. Durante la excavación se hizo evidente una gran cantidad de cerámica polícroma sobre la plataforma y la grada frontal, que conforma un 20% de la cerámica encontrada. Empero, no se recuperaron fragmentos que puedan ser unidos, por lo que no se trata de una ofrenda de vasijas colocada sobre la estructura, sino de fragmentos aislados dentro del relleno.

La excavación se realizó mediante lotes de 2 m lineales horizontales. El lote 1 presentó 120 fragmentos de cerámica; el lote 2 presentó 487 fragmentos de cerámica; el lote 3 presentó 722 fragmentos de cerámica; y el lote 4 presentó 320 fragmentos de cerámica. El túnel excavado al centro de la estructura con dirección al oeste fue nombrado como lote 5, el cual presentó 126 fragmentos de cerámica.

La excavación del lote 5 no halló una superestructura sobre la plataforma, pero no se descarta que ésta en la antigüedad haya contado una superestructura hecha con material perecedero. Futras investigaciones buscarán corroborar esta hipótesis.



Figura 2.4 Unidad CR20E-15. Vista al sur desde norte. (Fotografía por E. Bustamante)

Conclusiones de la excavación de túneles en el Palacio de La Corona, Temporada 2016

Como se mencionó al principio de este capítulo, la excavación de los túneles se encuentra enfocada en la investigación de la fase Cocochan del palacio. Las referencias epigráficas hacen mención de dos gobernantes asociados con las fechas de esta fase: *Sak Maas* y *K'uk' Ajaw*.

El Panel 2 de La Corona menciona la entronización de *Sak Maas* en la fecha 9.9.12.10.6 5 Cimi 9 Zac, o 30 de septiembre de 625 d.C. El mismo panel menciona la muerte de este gobernante 31 años después, en 656 d.C. A *Sak Maas* lo sucedió *K'uk' Ajaw*, y el mismo panel menciona que este fue entronizado en la fecha 9.11.2.7.14 2 Ix 7 Pop, o 5 de marzo de 655 d.C. Por razones poco entendidas este gobernante fallece tan solo 3 años después, en el 658 d.C., fecha grabada también en el Panel 2 (Canuto et al 2012).

La arquitectura de esta fase es tal vez, junto con la arquitectura de la fase Halcón, la más extensamente excavada en el palacio. Más de 200 m lineales de túneles nos han revelado una arquitectura compleja para la sub-fase Cocochan-I, cuando la sección sur del palacio correspondía a una plaza cuadrangular cerrada en sus cuatro lados (Bustamante 2015; Padilla y Bustamante 2013; Lamoureux-St-Hilaire y Bustamante 2016).

Al este se encontraba la Estructura 13Q-4A-Sub 1, que es un basamento alto, pero desafortunadamente la superestructura fue destruida al construirse las fases subsiguientes, quedando solo el basamento de la misma. Sin embargo, por su posición y las dimensiones del basamento resulta fácil suponer que ésta se trataba de una estructura alargada de cuartos múltiples. Tuvo una doble función: primero como un espacio de transición, limitando el paso entre la plaza principal y el interior del palacio; y como una barrera que imposibilitaba la visión hacia el interior del palacio, dando también la sensación de que el resto del palacio se encontraba en una plaza hundida de características privadas (*Ibíd.*).

Hacia el Norte se encontraba la Estructura 13Q-4E-Sub 2. Es la segunda estructura más alta de esta plaza, ya que se eleva 1.7 ms sobre el nivel del piso (Bustamante 2015). El edificio se trata de una galería de dos cuartos. El acceso a esta galería es mediante tres puertas, posicionadas equidistantemente, en la fachada sur del edificio. Frente a la puerta central se encontraba un pequeño Trono/Banca con un nicho en su parte inferior. A los lados, y en línea con las entradas laterales, se encuentran los accesos al cuarto posterior de la galería. Dadas

sus dimensiones y su característico Trono/Banca, se considera que esta superestructura sirvió en su momento como una sala de trono.

Al oeste se encuentra la Estructura 13Q-4E-Sub 1. Esta se encuentra sobre un basamento de 0.75 m sobre el nivel del piso (Padilla 2012; Bustamante 2013). La parte sur de este edificio fue destruida para la construcción de las fases posteriores, por lo cual no se conocen las dimensiones reales de la estructura. Sin embargo, sus restos indican que esta también se trataba de una galería de dos cuartos. A ésta se accede mediante 2 puertas ubicadas en su fachada este. El exterior de la estructura presenta pintura roja, mientras que el interior solo presenta un recubrimiento de estuco. Esta estructura carece de rasgos arquitectónicos, tales como bancas o nichos, pero por su posición frente al punto de acceso posiblemente indica que tuviera una de dos posibles funciones: Por sus dimensiones, siendo la estructura más larga, es posible que se tratara de la residencia de la familia real, sin embargo, carece de bancas. La segunda función, y la más probable, es que se tratase de un edificio administrativo para recibir visitantes.

Finalmente, el lado sur de la plaza se encuentra cerrado por la Estructura 13Q-4C-Sub 1. Esta se trata de una estructura simple en forma de “C” con acceso desde su fachada norte (Bustamante 2015; Lamoureux-St-Hilaire y Bustamante 2016). Esta se eleva tan solo 0.20 m sobre el nivel del piso. Tanto la Estructura 13Q-4E-Sub 1 como 13Q-4E-Sub 2 fueron destruidas en su parte superior para la construcción de las fases posteriores; por esta razón se desconoce el tipo de techo que estas pudieron tener, aunque la falta de piedras de ápice o piedras de bóveda hace pensar que no presentaron techo abovedado, aunque sí tuvieron un techo de mampostería. A diferencia, la Estructura 4C-Sub 1 no fue destruida por la construcción de las fases posteriores, sin embargo, sus muros solo se elevan 1 m. Esto indica que esta estructura con certeza presentó la parte superior de los muros y techo de materiales perecederos. Por estas características, su poca altura y sus dimensiones reducidas, se considera que esta estructura sirvió como un punto de almacenamiento, posiblemente materiales de prestigio controlados por las élites del sitio.

Durante la sub-fase Coccochan-II se modificaron las estructuras 13Q-4E-Sub 1 y 13Q-4E Sub 2. Así como la construcción de una nueva plaza privada en la sección noroeste del palacio.

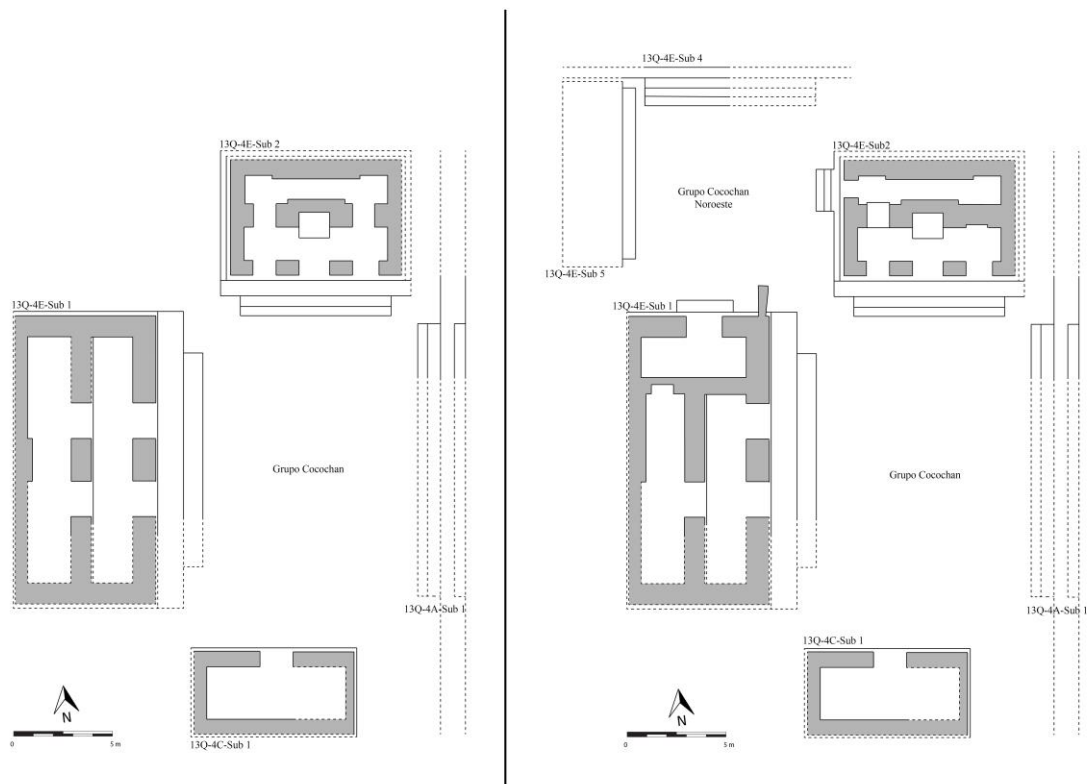


Figura 2.5 Idealización de las subfases Cocochan-I (Derecha) y Cocochan-II (Izquierda) (Dibujo por E. Bustamatne)

La Estructura 13Q-4E-Sub 1 fue modificada mediante la construcción de un tercer cuarto con acceso desde su fachada norte. Estos cambios fueron realizados mediante la construcción de un pequeño muro perpendicular que separó la sección norte de la estructura de la sección sur. Este muro fue colocado en el límite norte de los vanos de los accesos norte de la estructura. Durante esta construcción, el vano del acceso norte que permitía el paso entre los cuartos delantero y posterior fue clausurado. Finalmente para la construcción de este cuarto norte fue necesario la destrucción de la sección norte del muro medial, así como la parte central de la fachada norte de la estructura, esto para crear un solo ambiente con acceso desde su fachada norte (estas acciones nos confirman que esta estructura no poseía techo abovedado, puesto que de ser este el caso no se pudo haber destruido una sección entera del muro medial de la estructura) y se construyó una pequeña escalinata que permitiera el acceso a este nuevo cuarto desde el nuevo Grupo Noroeste. La última modificación que se le hizo a esta estructura fue la construcción de un muro adosado en su esquina externa noreste, el cual extendió la fachada 1.3 m más. El límite norte de este adosamiento presentó

destrucción intencional, posiblemente por contener algún tipo de adorno que fue destruido al momento de la construcción de la fase posterior (Lamoureux-St-Hilaire y Bustamante 2016).

Por otra parte, la Estructura 4E-Sub 2 recibió modificaciones similares, puesto que de los dos accesos que permiten el paso entre los cuartos frontal y posterior, el vano oeste fue clausurado por completo, mientras que en el vano oeste se construyó un pequeño muro de 0.7 m de altura. Este, aunque no bloqueó el paso, si lo restringió. En el cuarto frontal no se hicieron más modificaciones y en el cuarto posterior la fachada oeste fue destruida, creando un acceso que comunica con el nuevo Grupo Noroeste (Bustamante 2015; Lamoureux-St-Hilaire y Bustamante 2016).

El Grupo Cocochan Noroeste presenta un patrón de plaza cuadrangular cerrada en sus cuatro lados. Este grupo exhibe una plataforma alta al norte que se eleva 2 m sobre el nivel del piso. La cima de esta plataforma aún no ha sido excavada. Hacia el norte se observó una plataforma alargada de 0.4 m de alto sobre el nivel del piso, la cual no presenta superestructura.

En la sub-fase Cocochan-II se observaron dos fenómenos que han de notarse. Primero se identificó una separación de espacios entre el Grupo Cocochan y el Grupo Noroeste. Segundo, se dieron intentos de privar un espacio del otro. Esto podría explicarse mediante una separación de funciones, ya que en la sub-fase Cocochan-I puede observarse funciones de almacenamiento (Estructura 13Q-4C-Sub 1), habitación (Estructura 13Q-4E-Sub 1) y administración en el mismo grupo (Estructura 13Q-4E-Sub 2). Sin embargo, con el crecimiento económico que La Corona experimentó por sus relaciones políticas con el reino *K'aanul*, fue necesario separar la función administrativa de las otras dos funciones. Para esto se construyó el Grupo Cocochan Noreste, replicando el mismo patrón del Grupo Cocochan (Bustamante 2015). El acceso a ambos grupos fue mediante su sección este. En el caso del Grupo Cocochan, la Estructura 13Q-4A-Sub 1 restringió el paso entre el exterior y el interior, y en el Grupo Noroeste esta misma función fue cumplida mediante las modificaciones de la Estructura 13Q4E-Sub 2. Al norte en ambos grupos se ubicó la estructura más alta. Al sur, en ambos casos, se colocó un cuarto simple con forma de “C” con acceso desde su fachada norte; en el Grupo Noreste este se creó mediante las modificaciones a la Estructura 13Q-4E-Sub 1. Finalmente, ambos grupos exhiben una plataforma alargada en la sección oeste. En el caso del Grupo Noroeste, esta plataforma no presenta una superestructura, lo que puede

relacionarse a la separación de funciones entre ambos grupos. Puesto que en el Grupo Cocochan se concentró la función administrativa, el nuevo Grupo Cocochan Noreste no necesitó de un espacio para esto, por lo cual es muy posible que la estructura alta al norte haya sido una de habitación. Esta hipótesis será estudiada en excavaciones futuras, sin embargo, es de notar que en la fase Halcón del palacio, la sección residencial se encuentra al norte de la sección administrativa, lo que hace que esta hipótesis tome cierta relevancia. En este caso, la plataforma alargada al norte no fue necesaria, pero se conservó este patrón.

Aunque epigráficamente no se menciona la llegada de ninguna mujer proveniente del reino *K'aanul* relacionada con los gobernantes *Sak Maas* y *K'uk' Ajaw*, la influencia del crecimiento económico alcanzado mediante la asociación con este reino se ve claramente reflejada en el crecimiento del palacio durante esta fase.

El sucesor de *K'uk' Ajaw* fue el gobernante *Chak Haahb' Chaan*. Aunque el registro epigráfico no deja clara la relación entre estos dos gobernantes, pareciera que *Chak Haahb' Chaan* estuvo relacionado de alguna manera con la muerte de su predecesor (Canuto et al 2012). Esto significaría un esfuerzo de este gobernante por legitimar su poder y las características de la fase Colibrí de alguna manera apoyan a esta teoría. Aunque esta fase se encuentra poco entendida, puesto que no ha sido excavada directamente, ha sido conocida como subproducto de las excavaciones de la fase Cocochan. Por lo que se ha observado, esta fase presenta modificaciones someras y crecimiento centralizado en la sección administrativa de Cocochan. Se construyó una plataforma, la Estructura 13Q-4E-Sub 3, que elevó el piso 3 m, enterrando las estructuras 13Q-4E-Sub 1 y 13Q4-E-Sub 2, ambas relacionadas anteriormente con funciones administrativas. Sin embargo, la plataforma 13Q-4E-Sub 3 no modificó ni el Grupo Noroeste, de carácter residencial, ni la Estructura 13Q-4C-Sub 1, posiblemente usada para almacenamiento. Al contrario, se incorporaron estas dos secciones a la nueva plataforma. Esto podría considerarse como una modificación rápida y de bajo costo, que cubrió dos nuevas necesidades: 1) al enfocarse en la modificación de la sección administrativa se expone un mensaje de cambio en el gobierno, y 2) al elevarse la sección administrativa, hay un cambio en el patrón, de un grupo cerrado y no visible desde el exterior, a una plataforma abierta y visible desde la plaza principal del sitio. Esto permitiría a la población de La Corona observar al nuevo gobernante en sus actos administrativos, lo que le ayudaría a legitimar su poder adquirido.

CAPÍTULO III

CUARTA TEMPORADA DE INVESTIGACIONES EN LA SECCIÓN NORTE DEL PALACIO REAL DE LA CORONA

Maxime Lamoureux-St-Hilaire

Las cortes reales, generalmente asentadas en los palacios reales, representan el corazón del gobierno de los estados Mayas Clásicos. A través del período Clásico, el tamaño y diseño de los palacios reales variaron tanto cronológicamente como geográficamente, reflejando así las variaciones en los regímenes. Por lo tanto, el estudio de los palacios reales permite a los arqueólogos inquirir en la estructura de las cortes reales y los aparatos de estado de las organizaciones políticas mayas. A través de estos es posible sugerir que, como instituciones políticas y económicas, los palacios reales se encuentran entre los focos arqueológicos más importantes para el estudio y entendimiento de la naturaleza variable de los estados Mayas Clásicos. Este capítulo resume los resultados de la cuarta y última temporada de campo del trabajo de estudios doctorales del autor, cuyo objeto de estudio son las dimensiones políticas y económicas del poder real en La Corona, reflejadas en el palacio real del sitio.

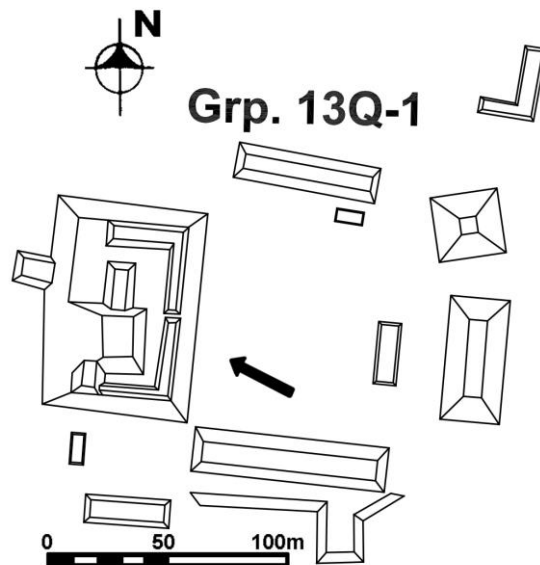


Figura 3.1 Localización del palacio en la Plaza Principal de La Corona (Mapa por R. Guzmán).

El palacio real de La Corona se encuentra localizado en el límite oeste de la Plaza Principal (Figura 3.1) y es la construcción más grande del sitio –un complejo de estructuras que se asienta en la cima de una plataforma que abarca aproximadamente 80 x 55 m y con una altura de 7 m. Este complejo palaciego presenta una plataforma central alta, la Estructura 13Q-4E, que se eleva hasta 11 metros sobre la Plaza Principal. Cuatro distintos grupos arquitectónicos se localizan alrededor de la Estructura 13Q-4E. El Grupo Noreste es el más grande y consiste de un patio hundido que se encuentra rodeado en tres de sus lados por estructuras alargadas con múltiples cuartos y una plataforma. Los dos grupos ubicados al sur son más estrechos y se encuentran flanqueados a sus costados por la estructura piramidal, en ambos casos también presentan estructuras alargadas con múltiples cuartos. La entrada principal al palacio se encuentra localizada entre los grupos Sureste y Noreste. El cuarto grupo, ubicado al Noroeste, consiste en una sección de dos edificios de mampostería abovedada y tres pequeños montículos que presentaron los restos de estructuras precederas. Finalmente, un pequeño grupo de plaza se adhiere al oeste de la acrópolis –llamado “Grupo Posterior”- conformado por un pequeño montículo (13Q-25), una estructura alargada construida con material precedero (13Q-26), y una plataforma que flanquea el extremo oeste de la acrópolis palaciega y provee acceso al Grupo Noroeste (13Q-27). Esta variedad en los grupos arquitectónicos ciertamente sugiere que en el palacio fue el escenario para diversas actividades económicas, ceremoniales y políticas.

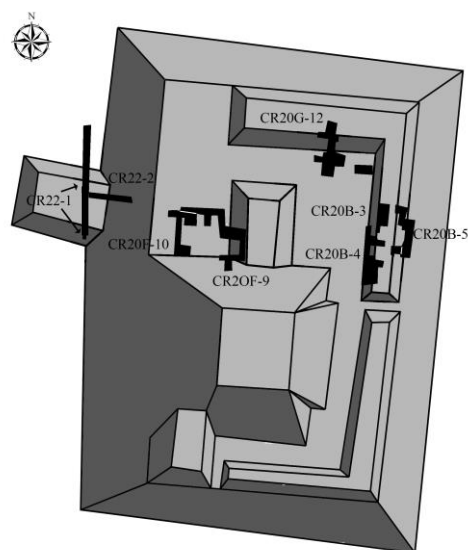


Figura 3.2 Localización de las unidades de la Temporada 2016
(Topografía por M. Kelly y M. Lamoureux-St-Hilaire. Digitalización por E. Bustamante)

Este capítulo se centra en el programa de excavaciones realizadas en los grupos Noreste y Noroeste del palacio de La Corona, así como las excavaciones en la Estructura 13Q-27 llevadas a cabo durante 2016 (Figura 3.2). Durante la Temporada 2016, excavaciones arqueológicas tradicionales se enfocaron en seis estructuras, nombradas como Estructuras 13Q-4B1, 13Q-4B2, 13Q-4BE, 13Q-4F, 13Q-4G y 13Q-27, junto con un patio hundido recientemente identificado tras la Estructura 13Q-4F. Las seis estructuras y el patio fueron investigados mediante trece unidades, las cuales serán descritas en el siguiente orden: CR20B-1, CR20B-3, CR20B-4, CR20B-5 y CR20B-6; CR20G-12, CR20G-13 y CR20G-14; CR20F-9, CR20F-10 y CR20F-11; y CR22-1 y CR22-2. Juntas, estas unidades cubrieron un total de 146.4 m². Posteriormente se discutirán las implicaciones de los datos nuevos. Esta temporada también incluyó un muestreo completo de los tres patios del Grupo Noroeste, el cual será reportado en el informe del próximo año; una vez que se obtengan los resultados asociados a estos análisis.

Descripción de excavaciones

Estructura 13Q-4B2

La Estructura 13Q-4B2 –anteriormente estudiada en 2015- se compone de una plataforma de dos secciones que fue construida entre dos estructuras de mampostería abovedada (13Q-4B1 y 13Q-4G). Esta estructura presenta una gran banca en su sección noreste, la cual fue agregada contra el muro exterior sur de 13Q-4G, directamente atrás del vano de la puerta del Cuarto 2 (Lamoureux-St-Hilaire y Morales Forte 2016). Esta banca se encontró rodeada por un muro angosto que posiblemente soportaba un techo percedero, el cual pudo haber protegido dos paneles jeroglíficos finamente tallados que fueron colocados en el respaldo de esa banca exterior (Elementos 55 y 56; Lamoureux-St-Hilaire y Morales Forte 2016). Mientras la banquetta se encontraba nominalmente asociada con la Estructura 13Q-4B2, contextualmente se encontraba relacionada al Cuarto 2 de la Estructura 13Q-4G.

Unidad CR20B-1

Dado el contexto único de la banquetta exterior que albergaba los Elementos 55 y 56 en su respaldo, se decidió re-abrir la Unidad CR20B-1 (Figura 3.3) con el objetivo de buscar ofrendas votivas en la mampostería. El relleno de las excavaciones del 2015 fue re-excavado para que la superficie de la banca fuera completamente visible. Luego un pozo de 1 x 1 fue excavado a lo largo

del eje central de la banqueta, directamente bajo la localización de los paneles. No se encontró nada notorio dentro de la banqueta, a excepción de la penúltima fase constructiva. En 2016, la Unidad CR20B-1 incluyó dos niveles y un lote.

El nivel 3, correspondiente al Lote CR20B-1-6, consistió de la arquitectura terminal de la banqueta exterior (Figura 3.3). Bajo una capa gruesa de estuco perfectamente preservada, de 0.08 m de grosor, se encontró una capa de relleno seco compuesto por piedrín, bloques de piedra tallada, y piedras de relleno, entremezclada con una matriz fina de color amarillento. Esta capa se postraba sobre la penúltima banca, alcanzando una profundidad máxima de 0.24 m. El lote CR20B-1-6 contuvo 4 fragmentos de cerámica.

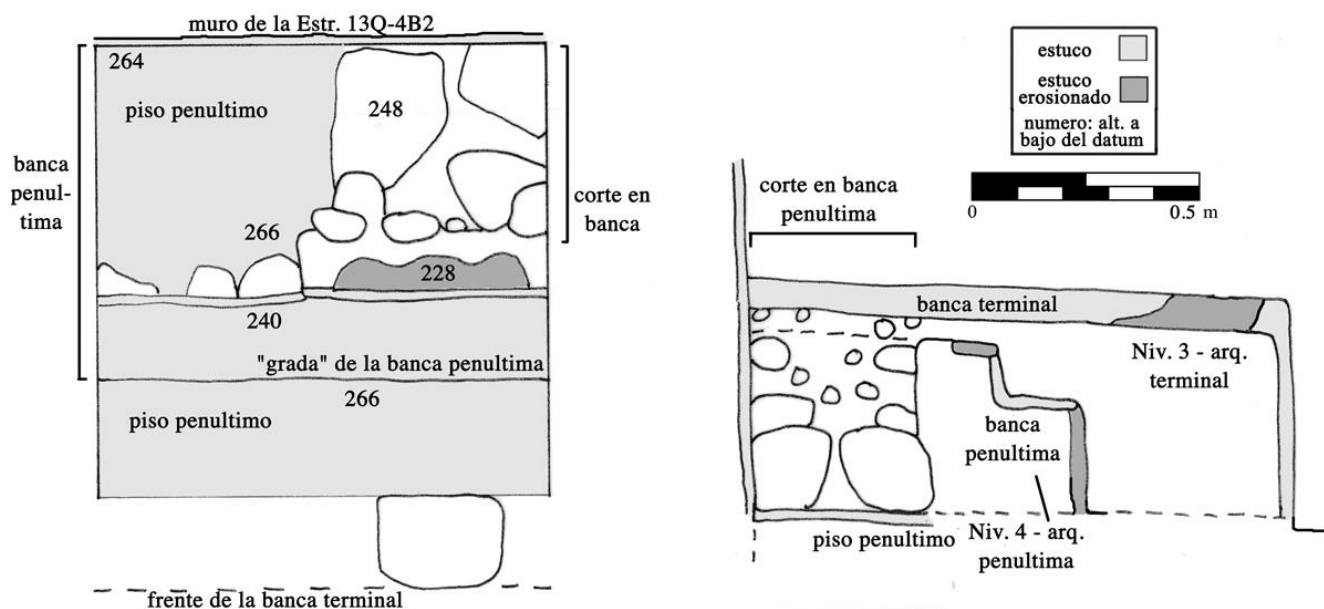


Figura 3.3. Unidad CR20B-1 tras excavaciones de 2016 (Dibujo por M. Lamoureux-St-Hilaire)

El nivel 4, consistente de la arquitectura de la penúltima fase, no incluyó artefacto alguno. La penúltima banca se encontró modelada en un formato parecido a una escalera, pero no se encontró completamente preservada, puesto que fue cortada sus 0.36 m posteriores. El relleno de esta banca estuvo compuesto por gravilla, piedrín, bloques de piedra tallada y piedras de relleno, mezclada con una matriz fina color blanco amarillento. El corte fue posiblemente resultado del reciclaje de algunas de las piedras talladas durante la construcción de la banqueta final. La penúltima fase de esta banqueta fue posterior a la construcción del muro de 13Q-4B2, localizado

tras la banca terminal. La profundidad máxima de este nivel fue de 0.39 m. El antepenúltimo piso –localizado bajo la banca- se encontró muy bien preservado. Se decidió no seguir con más investigaciones en la arquitectura de este rasgo.

Estructura 13Q-4B1

La Estructura 13Q-4B1 (Figuras 3.4, 3.5, y 3.6) fue previamente estudiada en 2015, cuando se investigó una gran sección del saqueo que se encuentra en su sección noroeste. Allí se halló una banca de estuco modelado, que había sido destruida en su mayor parte por los saqueadores, junto con el muro exterior oeste del edificio, también severamente dañado (Lamoureux-St-Hilaire y Morales Forte 2016). Se asumió que los saqueadores habían encontrado artefactos interesantes – probablemente paneles jeroglíficos- lo que los llevó a destruir la banqueta casi por completo. El vano de una puerta fue encontrado directamente al sur de la banqueta, pero el cuarto al que se accedía desde aquí no pudo ser investigado por falta de tiempo. Se hipotetizó entonces que una banca similar podía encontrarse al sur de esta puerta (M. Lamoureux-St-Hilaire y Morales Forte 2016); hipótesis que fue rechazada en 2016.

Durante la presente temporada, las unidades CR20B-3, y CR20B-4 expusieron una porción considerable de la galería oeste y su fachada, mientras que las unidades CR20B-5, y CR20B-6 expusieron parte de la galería este y su fachada. En base a los resultados de la temporada 2016, ahora es posible decir que la Estructura 13Q-4B1 fue una estructura alargada de cuartos múltiples que medía cerca de 7.3 x 15.3 m, compuesta de dos galerías: una con acceso desde el patio noreste, y la otra con acceso desde la plaza. La galería oeste, o Cuarto 2, midió aproximadamente 1.83 x 13.40 m, y presenta 3 vanos de puerta que miden 1.51 m (sur), 1.62 m (central), y 1.35 m (norte). La galería este, o Cuarto 1, no fue investigada por completo debido a falta de tiempo, pero es similar en plano al Cuarto 2. Esta mide aproximadamente 1.90 m de ancho y probablemente 13.40 m de largo. La puerta sur no fue excavada, pero el vano de la puerta central midió 1.90 m y el vano de la puerta norte midió 1.80 m. Es de notarse que las puertas del Cuarto 1 son significativamente más grandes que las del Cuarto 2, ya que éstas están frente a la plaza principal del sitio, en vez de conectar con el Grupo Noreste, de un carácter más privado. Esto sugiere que la función del Cuarto 1 es de carácter público, posiblemente para administración o almacenamiento conspicuo.

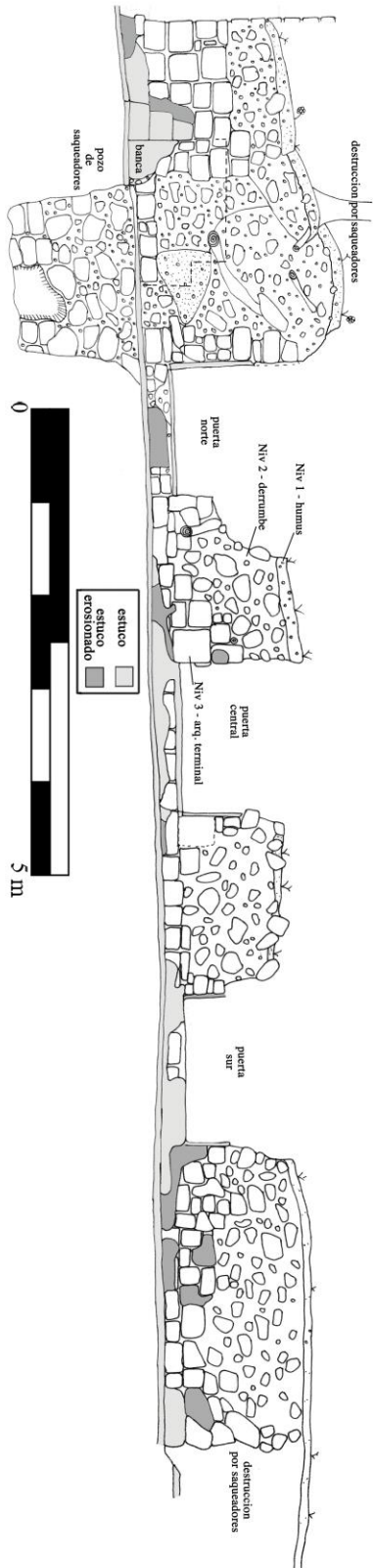


Figura 3.4. Elevación de la Fachada Oeste de la Estructura 13Q-4B1 (Dibujo por M. Lamoureux-St-Hilaire)

La banca exterior saqueada fue el único rasgo de su tipo, pero se encontró una gran banca interior localizada contra el muro norte del Cuarto 2, con un nicho inusualmente profundo. La presencia de este rasgo, junto con las pequeñas puertas, sugiere que la función de este cuarto no fue la misma que la del Cuarto 1. Además, la ausencia de cortineros asociados a los vanos de las puertas del Cuarto 2 indica que la función de este edificio no fue para uso doméstico, a diferencia de la mayoría de los otros cuartos excavados en el Grupo Noreste. Es posible que la función de este cuarto haya sido de tipo administrativa, posiblemente un cuarto para audiencias. Es de notarse que no se encontró un pasaje que permitiera el tráfico entre estos dos cuartos.

Unidad CR20B-3

La unidad CR20B-3 (Figuras 3.4 y 3.5) empezó como una extensión al este de la Unidad CR20B-2, en la puerta definida en 2015. El tamaño de esta unidad fue definido por la sección norte de la galería oeste de 13Q-4B1, y midió aproximadamente 8.8 m². La Unidad CR-20B-3 incluyó 4 niveles y 4 lotes.

El nivel 1, la capa de humus, corresponde al lote CR20B-3-1. Su matriz estuvo compuesta por barro café oscuro, rico en material orgánico, incluyendo varias raíces y raicillas, así como piedrín y gravilla. La profundidad máxima del humus fue de 0.15 m. El lote CR20B-3-1 incluyó 3 fragmentos de cerámica.

El nivel 2, el estrato de derrumbe, corresponde a los lotes CR20B-3-2 y CR20B-3-3. La matriz del Lote CR20B-3-2 se compuso de una mezcla de bloques de piedra tallada, piedras de relleno, piedras cortadas y barro café claro entremezclado con varias raíces y raicillas. La profundidad máxima de este estrato fue de 1.96 m. Varios bloques de piedra tallada fueron encontrados en el estrato, incluyendo lajas largas y planas que indudablemente fueron parte del ápice del techo abovedado del cuarto. Los últimos 0.2 m de este lote fueron localizados en la esquina noreste sobre el piso y frente a la banca, donde el estrato fue rico en ceniza y carbón. Esta matriz en particular parece haber provenido del interior del nicho de la banca.

El Lote CR20B-3-3 corresponde al derrumbe y material *in situ* que fue encontrado dentro del nicho de la banca. La matriz de este lote estuvo compuesta por piedras y barro amarillo cenizo. El nicho presentó un contexto relativamente bien preservado, diferenciándose del resto del nivel 2 por su gran cantidad de carbón y artefactos.

El Lote CR20B-3-2 incluyó 50 fragmentos de cerámica, un fragmento de obsidiana, un fragmento de concha y una pieza de carbón. El Lote CR20B-3-3 incluyó 5 fragmentos de cerámica, 9 fragmentos de pedernal, así como varios huesos de animal, incluyendo las pezuñas de un venado y las mandíbulas de un pequeño roedor. Se tomó una muestra de esta matriz inusual para análisis de flotación.

El nivel 3 consistió en la arquitectura terminal de la Estructura 13Q-4B1 (Lote CR20B-3-4), que fue investigada mediante un pozo de 1 x 1 m colocado en el eje central de la banca de la galería. Esta unidad fue excavada dada la naturaleza inusual de la arquitectura del nicho, la gran cantidad de artefactos, y la suposición de que una ofrenda votiva podía ser encontrada en la banca. Sin embargo la hipótesis fue rechazada. Bajo un piso de estuco bien conservado, de 0.1 m de grosor, la banqueta presentó un relleno compuesto por una matriz densa color blanco amarillento y piedras de construcción grandes. La profundidad máxima del nivel 3 fue de 0.97 m y se finalizó la excavación cuando se encontró la penúltima fase constructiva.

El lote CR20B-3-4 se compuso de 9 fragmentos de cerámica, 1 fragmento de pedernal, 2 fragmentos de obsidiana, 1 fragmento de concha finamente tallado como imitación de espina de pez raya, y 2 fragmentos de hueso de fauna.

El nivel 4, correspondiente a la penúltima fase arquitectónica, no fue excavado. Consiste de dos escalones de la fase previa bajo la Estructura 13Q-4B1. Las huellas de los escalones fueron de 0.78 m para el escalón superior y 0.22 m para el escalón inferior; mientras que la contra huella midió 0.176 m. El piso de estuco de los escalones se encontró muy bien preservado.

Unidad CR20B-4

La Unidad CR20B-4 (Figuras 3.4 y 3.5) empezó como una extensión al sur de la Unidad CR20B-2 y originalmente midió 1 x 4 m. Posteriormente la unidad se expandió 3 veces y terminó midiendo aproximadamente 19 m². La Unidad CR20B-4 expuso el resto de la Fachada Oeste de la Estructura 13Q-4B1, así como una sección del Cuarto 2 frente a la puerta central oeste y una porción del límite sur de la galería. A pesar de haber expuesto una considerable sección del piso en la sección central y sur de la estructura, esta unidad no descubrió ninguna banqueta o rasgo arquitectónico. Aun así, expuso porciones bien preservadas del muro medial, donde no se encontró un pasaje que pudiera unir esta galería con la galería este. En el límite sur de la trinchera, fuera del edificio, se encontró relleno proveniente de las excavaciones de Padilla (2009). Las observaciones

indican que los saqueadores destruyeron el límite sur del edificio 13Q-4B1 en la década de 1970. La Unidad CR20B-4 incluyó 3 niveles y 4 lotes.

El nivel 1, el estrato de humus, corresponde al Lote CR20B-4-1. Su matriz se compuso de barro café oscuro, rico en material orgánico, incluyendo una gran cantidad de raíces y raicillas, así como piedrín y gravilla. La profundidad máxima del estrato de humus fue de 0.23 m. Este lote presentó 7 fragmentos de cerámica.

El nivel 2, estrato de colapso, corresponde a los lotes CR20B-4-2, CR20B-4-3 y CR20B-4-4. La matriz del nivel 2 fue una mezcla de piedras constructivas, piedras de relleno y piedras talladas entremezcladas con barro café, raíces y raicillas. La profundidad máxima de este nivel fue de 1.77 m. Este estrato presentó una gran cantidad de lajas que pudieron ser parte del techo abovedado del cuarto.

El Lote CR20B-4-2 corresponde al derrumbe localizado frente a la galería oeste, sobre el piso estucado del Patio Noreste; el Lote CR20B-4-3, al derrumbe localizado dentro del edificio, a lo largo de su eje central; y el Lote CR20B-4-4, al derrumbe localizado dentro del edificio, en la sección sur de la galería oeste.

En el Lote CR20-B-4-2 se recuperaron 66 fragmentos de cerámica, dos fragmentos de pedernal y una espiral de hueso. El Lote CR20B-4-3 presentó 37 fragmentos de cerámica, dos fragmentos de pedernal, varios huesos de fauna, un fragmento de piedra de moler y un fragmento de carbón. El Lote CR20B-4-4 contuvo 53 fragmentos de cerámica, un fragmento de pedernal y cuatro fragmentos de huesos de fauna.

El nivel 3, correspondiente a la arquitectura terminal, no fue excavado, pero si se expuso la arquitectura. El muro de carga de la Estructura 13Q-4B1 se encontró bien preservado; consistió de un muro bien construido, con una cobertura de estuco, en su mayoría erosionada. El piso de la galería oeste se encontró bien conservado, con excepción de las secciones cercanas a las puertas. El muro oeste de la galería oeste no se encontró bien preservado, ya que en su mayoría se encontró colapsado, especialmente en su fachada exterior. La esquina exterior suroeste se encontró destruida, probablemente por los saqueadores. El piso del Patio Noreste se encontró muy bien preservado. También se encontró un piso superior adosado a la destruida esquina suroeste, pero no se encontró un escalón preservado que lo articulara con el piso inferior del patio. Esto sugiere que los saqueadores también destruyeron el escalón.

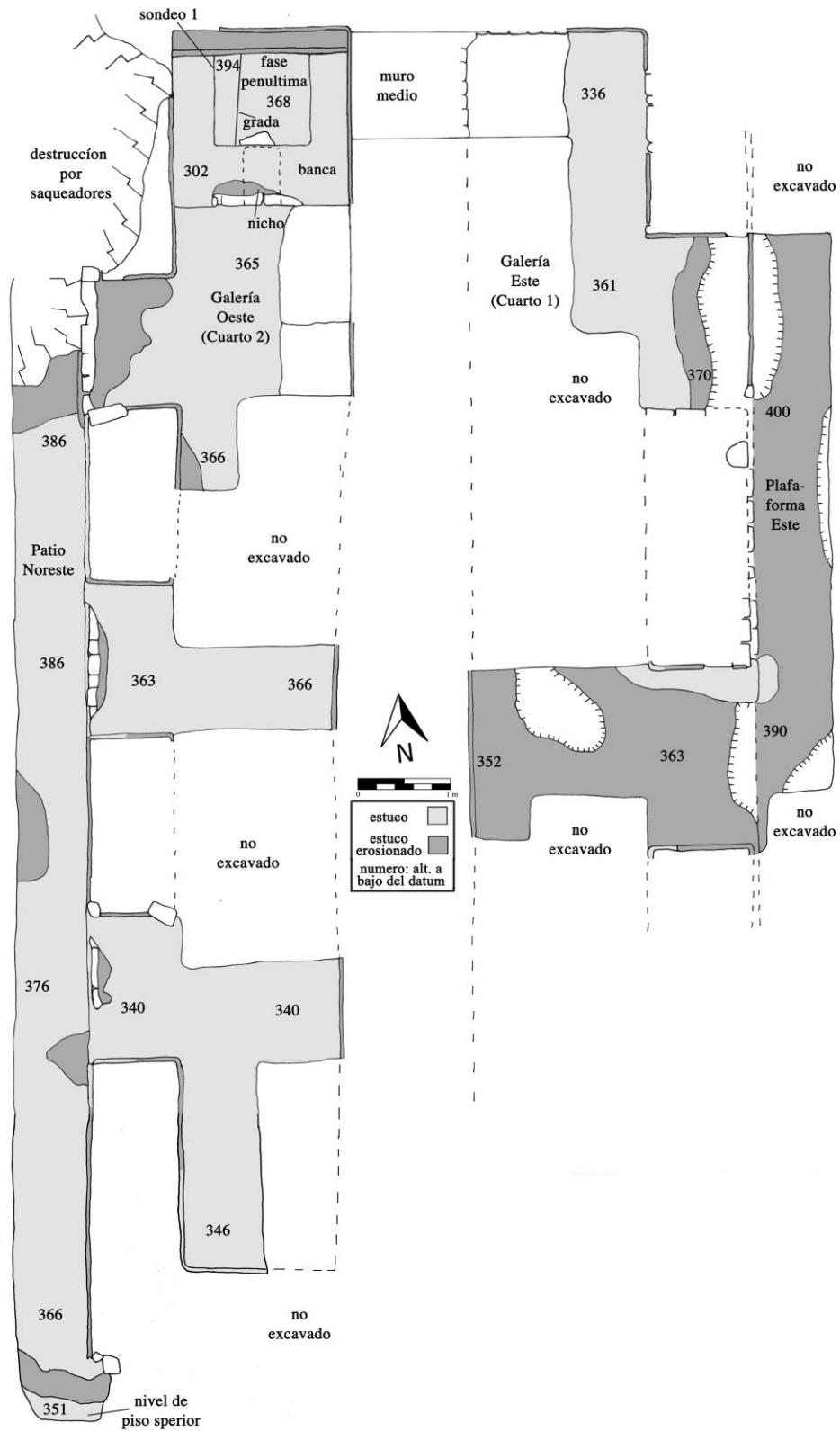


Figura 3.5. Planta de la Estructura 13Q-3B1 (Dibujo por M. Lamoureux-St-Hilaire)

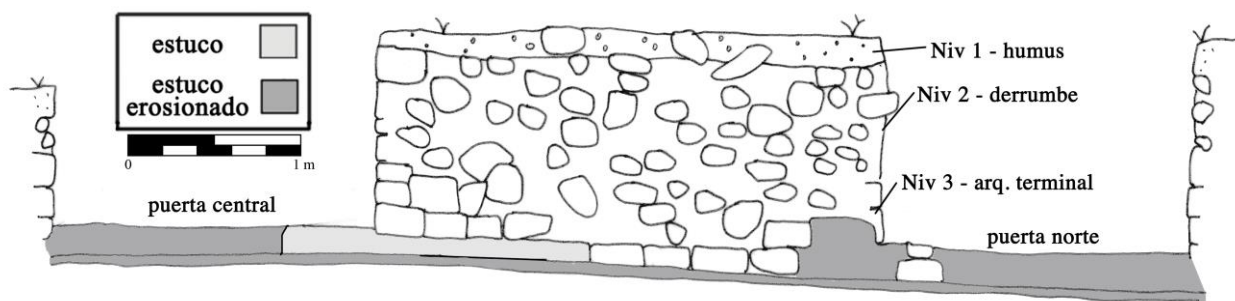


Figura 3.6. Elevación de la fachada este de la Estructura 13Q-4B1 (Dibujo por M. Lamoureux-St-Hilaire)

Unidad CR20B-5

La Unidad CR20B-5 (Figuras 3.5 y 3.6) inició como una extensión de la Unidad CR20B-3, exponiendo la galería este de la Estructura 13Q-4B1. La unidad empezó como una trinchera de 1 x 2 m localizada en el límite norte de la galería este, y fue extendida dos veces siguiendo la arquitectura terminal, eventualmente llegando a cubrir un área aproximada de 13 m². La Unidad CR20B-5 expuso la sección interior norte de la galería este, su puerta norte, parte de la plataforma frontal y las jambas de una probable puerta central. Posteriormente, la Unidad CR20B-6 fue trazada con el objetivo de explorar el interior de la galería, junto con la “puerta central”. La Unidad CR20B-5 incluyó 3 niveles y 3 lotes.

El nivel 1, estrato de humus, no presentó artefactos. Su matriz se compuso de barro café obscuro, rico en materia orgánica, incluyendo una gran cantidad de raíces y raicillas, así como pedrín y grava. La profundidad máxima del estrato de humus fue de 0.19 m.

El nivel 2, estrato de derrumbe, corresponde a los lotes CR20B-5-2, CR20B-5-3 y CR20B-5-4. La matriz estuvo compuesta de una mezcla de piedras de construcción y piedras de relleno entremezcladas con barro café amarillento y varias raíces y raicillas. La profundidad máxima del estrato fue de 1.8 m. Se encontró una gran cantidad de piedras talladas, incluyendo varias lajas que pudieron haber sido parte del techo abovedado del cuarto. El lote CR20B-5-2 corresponde al derrumbe localizado a la sección interior norte de la galería este. Los 0.5 m superiores del lote fueron muy densos y con una gran cantidad de piedras talladas; la densidad de este estrato se debe a la presencia de una gran cantidad de estuco erosionado. El resto del estrato era más suelto y no presentó mucho estuco erosionado. Posteriormente, esta sección del lote presentó la mayoría de los artefactos de todos los lotes provenientes de esta estructura, sugiriendo un patrón de deposición

distinto que el resto de la galería este. Esta diferencia entre la parte superior e inferior del Lote CR20B-5-2 probablemente se debe a diferentes fases en el derrumbe. El Lote CR20-5-3 corresponde al derrumbe localizado en la puerta norte de la galería este, mientras que CR20B-5-4 se localiza sobre la plataforma frontal de la galería este.

El lote CR20B-5-2 presentó 487 fragmentos de cerámica, cinco fragmentos de pedernal y 10 fragmentos de hueso. El Lote CR20B-5-3 presentó 57 fragmentos de cerámica, dos fragmentos de pedernal y cuatro fragmentos de hueso. El lote CR20B-5-4 presentó 213 fragmentos de cerámica, tres fragmentos de pedernal, dos fragmentos de hueso, así como un fragmento de estuco con pintura azul y roja.

El nivel 3 correspondió a la arquitectura terminal pero no fue excavado. Sin embargo, la arquitectura terminal fue expuesta en el interior y en el exterior de la galería este. La arquitectura del interior, en especial la sección cercana al límite norte de la estructura, se encontró pobremente conservada, esto debido a la presencia de una trinchera de saqueo que destruyó la mayor parte del lado este de la Estructura 13Q-4B2. Aun así, la mampostería se encontró algo preservada, aunque en el exterior estuvo en mal estado. Un muro de refuerzo contra el muro este de la galería fue construido en algún momento de la antigüedad, lo que sugiere que este lado del edificio presentó mayor riesgo de colapsar que la parte oeste de la estructura. A pesar del refuerzo, la mayor parte de los 0.2 m exteriores del muro colapsaron hacia el este de la acrópolis palaciega. Es por ello que en su mayor parte, solo se conservaron unas pocas líneas de piedras entre las dos puertas expuestas. Una gran cantidad de relleno arqueológico de las excavaciones de los túneles cercanos fue depositado sobre la sección sur de la Estructura 13Q-4B1, lo que impidió que se expusiera la sección sur de la galería este. En consecuencia, solo se expusieron dos puertas, por lo que se plantea la hipótesis sobre la presencia de una puerta sur, que pudo haber estado a manera de espejo con su similar en la galería oeste.

Unidad CR20B-6

La Unidad CR20B-6 (Figuras 3.5 y 3.6) inició como una extensión de la Unidad CR20B-5, abarcando la puerta central de la galería este. Esta unidad siguió el eje central de la puerta, cubriendo 5.45 m². La unidad alcanzó el muro medial de la Estructura 13Q-4B1, donde las excavaciones fueron finalizadas por la falta de tiempo. El muro medial se encontraba pobremente preservado en la sección sur del pozo. Esta unidad incluyó 3 niveles y 1 lote.

El nivel 1, estrato de humus, no presentó artefacto alguno. Su matriz se componía de barro café oscuro rico en material orgánico, incluyendo una gran cantidad de raíces y raicillas, así como piedrín y gravilla. La profundidad máxima del estrato fue de 0.18 m.

El nivel 2, estrato de derrumbe, corresponde al lote CR20B-6-2. La matriz de este nivel se compuso de una mezcla de piedras de construcción, piedras de relleno, piedras trabajadas y barro café amarillento entremezclado con raíces y raicillas. La profundidad máxima de este estrato fue de 1.7 m. Una gran cantidad de piedras trabajadas fueron encontradas en el estrato, incluyendo muchas lajas que pudieron haber sido parte del techo abovedado del cuarto. A diferencia de la sección norte de la galería, esta sección no presentó cambio entre la sección superior e inferior del estrato de derrumbe. La cantidad de artefactos encontrados en esta sección también fue menor, solamente 49 fragmentos de cerámica.

El nivel 3, correspondiente a la arquitectura terminal, no fue excavado. La arquitectura expuesta consistió de las jambas de la puerta central (en su mayor parte destruidas por el derrumbe), un piso de estuco relativamente bien preservado y un muro en su mayoría colapsado. Una vez más, el colapso del muro medial de la galería este contrasta con el muro mejor preservado del lado oeste.

Estructura 13Q-4G

La Estructura 13Q-4G (Figuras 3.7, 3.8, 3.9 y 3.10) es una estructura alargada de cuartos múltiples que mide 34 m de largo y 8 m de ancho, cuya versión terminal se compuso de cinco cuartos medianos en su sección sur (cuartos 2 a 6) y posiblemente la misma cantidad en su sección norte (cuartos 8 a 12), junto con dos cuartos grandes que se ubican a los extremos este (Cuarto 1) y oeste (Cuarto 7) (Lamoureux-St-Hilaire y Morales Forte 2016). Desafortunadamente, la Estructura 13Q-4G fue objeto de una gran cantidad de trincheras y túneles de saqueo en la década de 1970; el saqueo más grande destruyó algunas secciones de los cuartos 3 y 4. Además dos trincheras de saqueo destruyeron secciones de los cuartos 5 y 6, mientras que varias trincheras destruyeron varias secciones de los cuartos al norte (cuartos 8 y 12). Con los resultados de las excavaciones de este año, ahora sabemos que el saqueo más grande destruyó por completo una escalinata jeroglífica que se localizaba en el borde de la plataforma frontal de 13Q-4G, sobre el Patio Noreste. En 2015, las unidades CR20G-8 y CR20G-11 expusieron la mayor parte de los cuartos 2, 3, y 5 de la sección sur de la estructura, mientras que el Cuarto 4 (el cuarto central), no

fue explorado. Fue entonces con el objetivo de investigar la sección central sur de la estructura que se trazaron las unidades CR20G-12 y CR20G--13, mientras que la Unidad CR20G-14 se enfocó en exponer una pequeña porción del Cuarto 10 en la sección norte del edificio.

Unidad CR20G-12

La unidad CR20G-12 (figuras 3.7, 3.8 y 3.12) fue trazada como una trinchera de 2 x 4 m orientada a 7° E del N, localizada a lo largo del eje central de la Estructura 13Q-4G y al oeste de las excavaciones de 2014 que se enfocaron en el Cuarto 1 de la Estructura 13Q-4F. Esta unidad expuso un área de 18.5 m² e incluyó 5 niveles y 2 lotes.

El nivel 1 consistió de una mezcla de humus y relleno dejado por los saqueadores y corresponde al Lote CR20G-12-1. Su matriz se compuso de barro café, rico en material orgánico, incluyendo una gran cantidad de raíces y raicillas, así como grava, piedrín, piedras constructivas, piedras de relleno y piedras trabajadas provenientes del saqueo de la arquitectura terminal y su relleno. La profundidad máxima del nivel 1 fue de 0.92 m.

El Lote CR20G-12-1 presentó 32 fragmentos de cerámica, así como dos paneles jeroglíficos: Elementos 58 y 60. El Elemento 58 se encontró bien preservado, pero roto por la mitad, posiblemente por los saqueadores, quienes lo descartaron. El Elemento 60 también se encontró mal conservado y cubierto por una capa gruesa de calcificación; posiblemente no fue reconocido por los saqueadores (ver más adelante la descripción de estos elementos).

El nivel 2, estrato de derrumbe, corresponde a los lotes CR20G-12-2, CR20G-12-3, y CR20G-12-4. La matriz de este nivel incluyó una mezcla de piedras de construcción, piedras de relleno y piedras trabajadas entremezcladas con barro café amarillento y raíces. La profundidad máxima de este estrato fue de 2.01 m. El Lote CR20G-12-2 corresponde al derrumbe localizado frente a la plataforma; el Lote CR20G-12-3 al derrumbe sobre la plataforma frontal; y el Lote CR20G-12-4 al derrumbe dentro del Cuarto 4 de la Estructura 13Q-4G.

El Lote CR20G-12-2 presentó 640 fragmentos de cerámica, 15 fragmentos de pedernal, 2 fragmentos de obsidiana y 1 fragmento de pirita. El Lote CR20G-12-3 presentó 43 fragmentos de cerámica, mientras que el Lote CR20G-12-4 42 fragmentos de cerámica.

El nivel 3, la arquitectura terminal, no fue excavado. Este consiste de las extensiones al este de la banca del Cuarto 4 de la Estructura 13Q-4G.

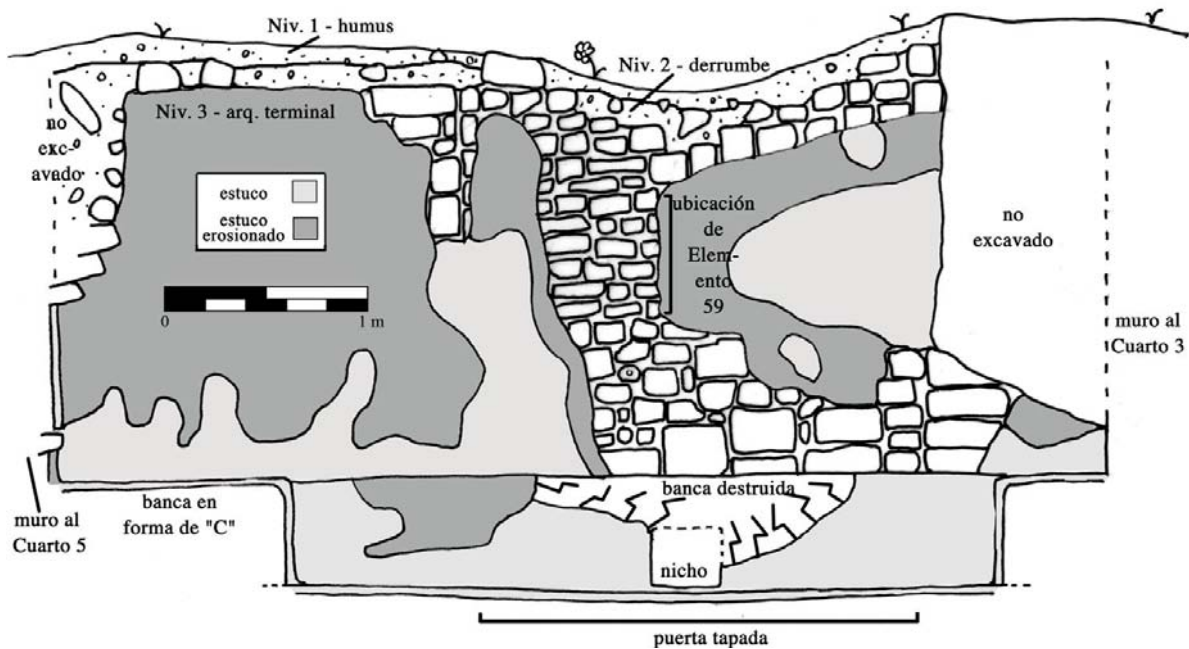


Figura 3.8. Elevación del muro norte (pasaje bloqueado) en el Cuarto 4 de la Estructura 13Q-4G, Unidad CR20G-12 (Dibujo por M. Lamoureux-St-Hilaire).

El nivel 4, la arquitectura de la penúltima fase, no presentó artefactos. La arquitectura incluyó una banca, un pasaje bloqueado, los muros exteriores de refuerzo y los muros internos que subdividen la Estructura 13Q-4G (Figura 3.8). El panel jeroglífico denominado como Elemento 59 se encontró asociado con la construcción descrita en este nivel. El Elemento 59 fue colocado en el eje central del Cuarto 4, colocado en la cobertura de estuco que bloqueaba el pasaje. El panel cayó “boca abajo” desde su ubicación original, por lo que su parte posterior quedó expuesta. Este fenómeno salvó que el panel fuera descubierto por los saqueadores, quienes pasaron cerca de la ubicación del panel mediante dos túneles y una trinchera, e inclusive dejaron el cabo de un piochín a pocos metros del panel.

La matriz del nivel 4 consistió de una mezcla de barro café claro mezclado con pedrín, piedras de relleno y piedras de construcción. El nivel fue excavado mediante un pequeño pozo localizado en la parte central de la banca que se localiza dentro del Cuarto 4. La profundidad máxima del nivel 4 fue de 0.43 m.

El nivel 5, también de la arquitectura de la penúltima fase, no fue excavado. Esta corresponde al muro medial original y el muro exterior original de la Estructura 13Q-4G.

Unidad CR20G-13

La Unidad CR20G-13 (Figura 3.9) fue trazada con el objetivo de investigar la acumulación de relleno de saqueo resultado de la destrucción de la escalinata jeroglífica, la plataforma frontal, y la Estructura 13Q-4G. Esta fue esbozada como una trinchera de 1 m de ancho al oeste de la Unidad CR20B-1, a la orilla de las excavaciones de 2015. Subsecuentemente se amplió la trinchera, exponiendo el límite de la escalinata jeroglífica destruida y alcanzando el límite este de la Unidad CR20G-12. La Unidad CR20G-13 terminó midiendo 8.2 m² e incluyó 3 niveles y 1 lote.

El nivel 1 consistió de una mezcla de humus y tierra de relleno de saqueo y corresponde al Lote CR20G-12-1. Su matriz estuvo compuesta de barro café, rico en material orgánico, incluyendo varias raíces y raicillas, así como piedrín, grava, piedras de arquitectura y piedras trabajadas provenientes de la arquitectura destruida por los saqueadores y su relleno. La profundidad máxima de este nivel alcanzó los 1.6 m.

El Lote CR20G-13-1 presentó 44 fragmentos de cerámica, así como un panel jeroglífico denominado como Elemento 61. Este elemento presenta un nivel de preservación muy pobre y se encontró cubierto por una gruesa capa de calcificación; posiblemente fue descartado o pasó desapercibido por los saqueadores.

El nivel 2, estrato de derrumbe, fue encontrado en pequeñas bolsas a las orillas del escalón saqueado. La profundidad máxima de este nivel fue de 0.42 m. El nivel 2 apenas fue excavado, y no reveló artefacto alguno.

El nivel 3, la arquitectura terminal, fue expuesto en los límites de la sección saqueada de la escalinata jeroglífica. El nivel 3 no fue excavado.

Unidad CR20G-14

La Unidad CR20G-14 (Figuras 3.7, 3.9 y 3.10) fue una investigación de último momento que midió 0.9 x 1.44 m (1.2 m²), trazada con el objetivo de investigar el límite norte del pasaje bloqueado, que originalmente conectaba los cuartos 4 y 10. La razón por la cual esta unidad fue trazada al final de la temporada fue para observar si en el Cuarto 10, no saqueado, se encontraba otro panel en la misma posición que el Elemento 59. Aunque no se halló ningún panel, se encontró un depósito denso de cerámica, que incluye varios policromos, frente al pasaje bloqueado. Esta unidad incluyó 5 niveles y 3 lotes.

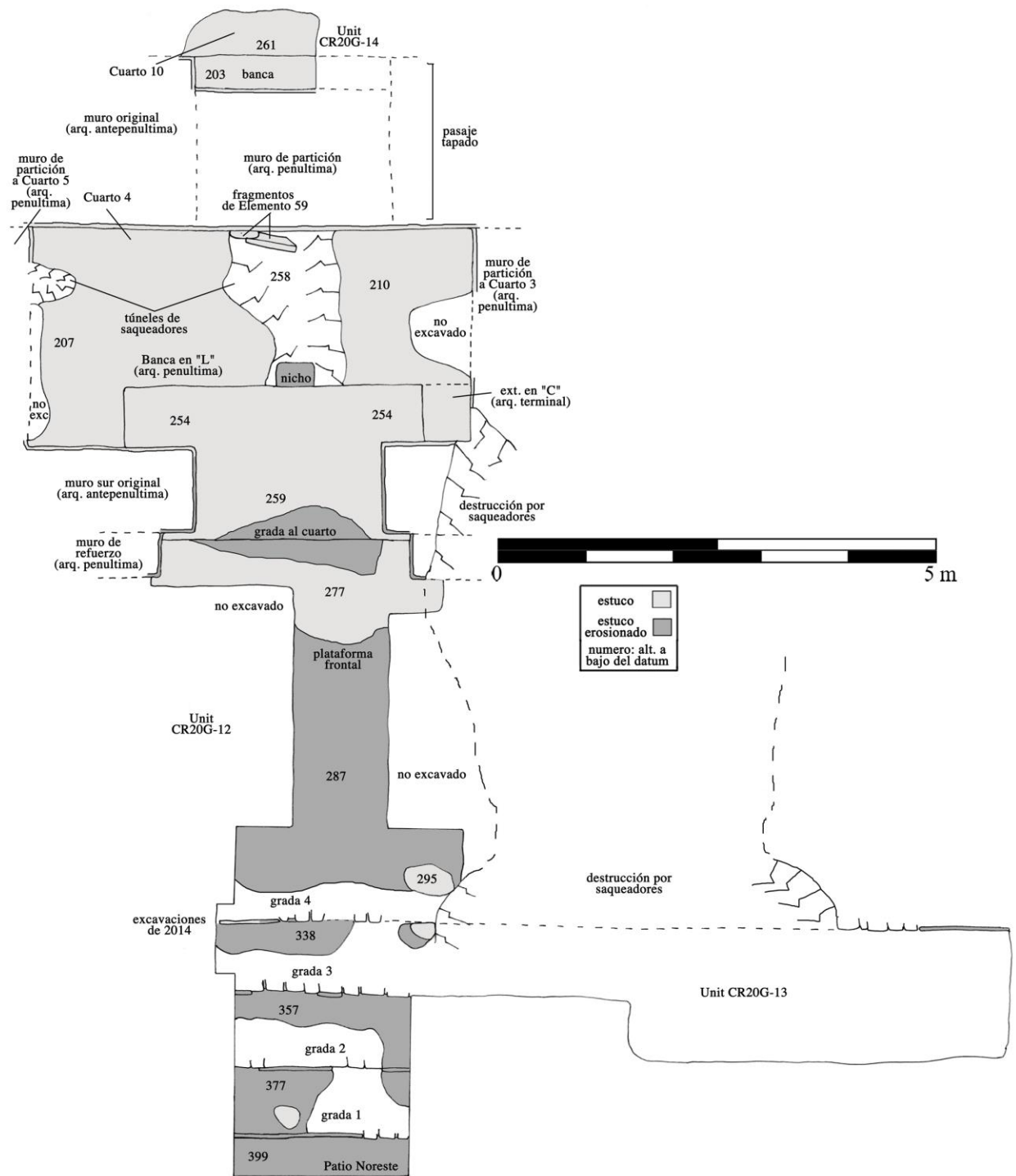


Figura 3.9. Planta de las Unidades CR20G-12, -13, y -14 (Dibujo por M. Lamoureux-St-Hilaire).

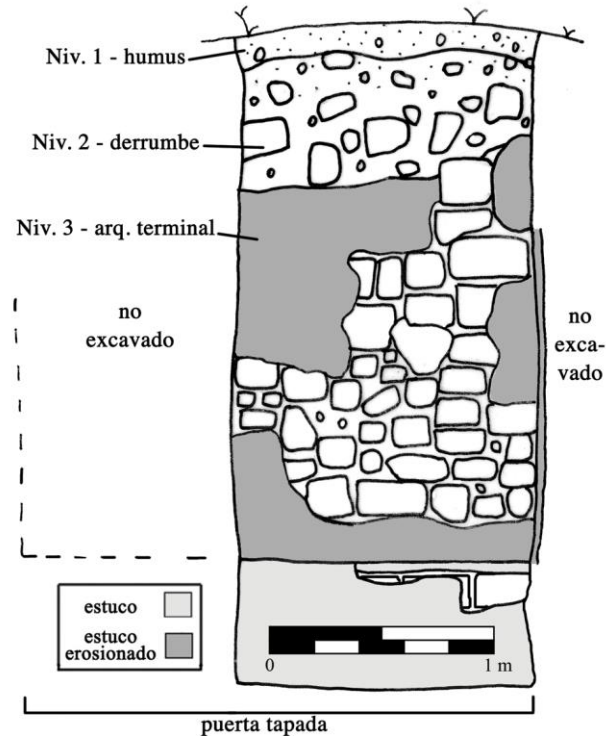


Figura 3.10. Elevación del muro sur (pasaje bloqueado) del Cuarto 10 de la Estructura 13Q-4G, Unidad CR20G-14 (Dibujo por M. Lamoureux-St-Hilaire).

El nivel 1, estrato de humus, no presentó artefactos. Su matriz se compuso de barro café obscuro, rico en material orgánico, incluyendo varias raíces y raicillas, así como piedrín y grava. La profundidad máxima del estrato de humus fue de 0.19 m.

El nivel 2a, estrato de derrumbe, corresponde al Lote CR20G-14-2. La matriz del nivel 2a estuvo compuesta de una combinación de piedras de construcción, piedras de relleno, y piedras trabajadas, mezclada con barro café amarillento y algunas raíces. La profundidad máxima de este estrato fue de 1.97 m. Algunas de las piedras trabajadas encontradas en el estrato son lajas que pudieron haber sido parte del techo abovedado del cuarto. El Lote CR20G-14.2 contuvo 20 fragmentos de cerámica y un fragmento de hueso de fauna.

El nivel 2b consistió del ensamble sobre el suelo y corresponde al Lote CR20G-14-3. La matriz de este nivel fue de una mezcla de barro café amarillento con grandes cantidades de estuco erosionado, piedras de relleno y piedras trabajadas grandes -especialmente varias lajas de bóveda. La profundidad máxima del nivel fue de 0.56 m. El Lote CR20G-14-3 presentó 440 fragmentos de cerámica, los cuales incluyen una gran cantidad de cerámica polícroma.

El nivel 3 corresponde a la arquitectura terminal, y en esta unidad no encontró ninguna porción de la arquitectura. En cuanto al nivel 4, representa a la penúltima fase arquitectónica, pero no fue excavada. El nivel también incluyó el pasaje bloqueado.

El nivel 5, que corresponde a la antepenúltima fase arquitectónica, tampoco fue excavado. En esta unidad correspondió a un rasgo tipo banca que conducía al pasaje. Puesto que el pasaje no se extendía hasta la orilla, este creó una pequeña banca de 0.4 m de profundidad y de 0.58 m de altura. Solo la porción oeste de la banca fue revelada, junto con 0.5 m del piso frente a ella.

Estructuras 13Q-4F y 13Q-4E

La Estructura 13Q-4F (Figuras 3.11, 3.12, y 3.13) fue en su mayor parte investigada durante las temporadas 2013 y 2014. Consiste en un edificio grande con forma de “T”, con techo abovedado, compuesto por 4 cuartos. La Temporada 2013 reveló un salón de 13 m de largo con tres puertas (Cuarto 2), así como una habitación trasera de carácter privado (Cuarto 3) y un “clóset” adjunto (Lamoureux-St-Hilaire 2014). Las excavaciones de 2014 develaron un cuarto noroeste (Cuarto 4), el resto del “clóset”, así como el pasillo norte del cuarto (Cuarto 1; Lamoureux-St-Hilaire 2015). Finalmente, las excavaciones de 2013 fueron re investigadas en 2015 a lo largo de la puerta central del Cuarto 2, con el objetivo de buscar un posible entierro, el cual no fue hallado (Lamoureux-St-Hilaire y Morales 2016). Durante la Temporada 2016, el área tras la estructura - parte del grupo Noroeste- fue investigada con el objetivo de estudiar cómo esta estructura articulaba con la estructura 13Q-4E. Allí, se identificó una gran plataforma exterior, junto con un inesperado patio hundido. La plataforma midió 4 x 8.5 m y se asienta a 2.15 m bajo el nivel del *datum*. También se encontró una probable escalinata estrecha que pudo permitir el acceso a la monumental Estructura 13Q-4E.

El patio hundido fue subdividido en dos niveles. El nivel inferior oeste se localiza a 3.20 m bajo el nivel del *datum*, es de forma rectangular y cubre un área de 8 (N-S) x 6 (E-O) m. La porción inferior del patio descendía hacia la esquina suroeste, donde se encontró una apertura. Esta apertura probablemente servía simultáneamente como drenaje, lo que explicaría el descenso, y como entrada desde la escalinata que conducía al Patio Posterior. El nivel superior norte, localizado a 2.8 m bajo el nivel del *datum*, es en forma de “L” y mide entre 0.5 a 8.5 m (N-S) x 2.5 a 7.5 m (E-O). La extensión sur del nivel superior del Patio Hundido fue construida después que su contraparte este, y sirvió como un escalón hacia el Patio Oeste. Una entrada formal al Patio Oeste

fue creada mediante la construcción de dos rasgos de mampostería tipo “cajones”, los cuales se encontraban a ambos lados de una escalinata central. En las tres áreas de la unidad (plataforma y porciones superior e inferior del patio hundido), el estrato de derrumbe se encontraba entremezclado con un basurero denso de una matriz rica con una gran variedad de artefactos. Por razones cronológicas, este basurero fue nombrado como Basurero 4 y será discutido más adelante.

Unidad CR20F-9

La Unidad CR20F-9 (Figura 3.11) originalmente fue trazada como una trinchera de 2 x 6 m orientada a 7° E del N, con el objetivo de exponer el área localizada tras la Estructura 13Q-4F. La unidad fue expandida 6 veces, hasta exponer un área de 27 m², e incluyó 3 niveles y 6 lotes.

El nivel 1, estrato de humus, corresponde al Lote CR20F-9-1. Su matriz estuvo compuesta de barro café oscuro, rico en material orgánico, incluyendo una gran cantidad de raíces y raicillas, así como piedrín y grava. La profundidad máxima de este estrato fue de 0.18 m. El Lote CR20F-9-1 presentó 5 fragmentos de cerámica.

El nivel 2, estrato de derrumbe, corresponde a los lotes CR20F-9-2, CR20F-9-3, CR20F-9-4, CR20F-9-5 y CR20F-9-6. Se encontró mezclado, al menos por secciones, con el estrato de basurero. El Lote CR20F-9-2 corresponde al derrumbe localizado en la parte baja de la trinchera original, frente a la plataforma posterior de la Estructura 13Q-4F y sobre el nivel superior del Patio Hundido. Los lotes CR20F-9-3 y CR20F-9-5 corresponden al derrumbe localizado directamente tras la Estructura 13Q-4F. Es que notar que el entierro de un perro fue encontrado en el límite erosionado de la plataforma posterior (Figura 3.12). Este entierro pareciera ser de carácter dedicatorio y fue originalmente colocado en el relleno de la plataforma, en el eje central de la misma. El Lote CR20F-9-4 corresponde al derrumbe localizado al oeste de la Estructura 13Q-4F, sobre el escalón que conecta con el Patio Oeste del Grupo Noroeste. El Lote CR20F-9-6 corresponde al derrumbe localizado en la esquina noreste del nivel inferior del Patio Hundido. La profundidad máxima de este estrato fue de 2.32 m.

La matriz de los lotes CR20F-9-3 y CR20F-9-5 fue una mezcla de barro café, piedras pequeñas, piedras constructivas, algunas piedras de relleno y piedras trabajadas de la mampostería de 13Q-4F y 13Q-4E. La matriz de los lotes CR20F-9-2, CR20F-9-4 y CR20F-9-6 se compuso de barro café oscuro mezclado con piedrín y piedras constructivas, y presentan una gran cantidad de artefactos, puesto que consiste de una mezcla de derrumbe y basurero.

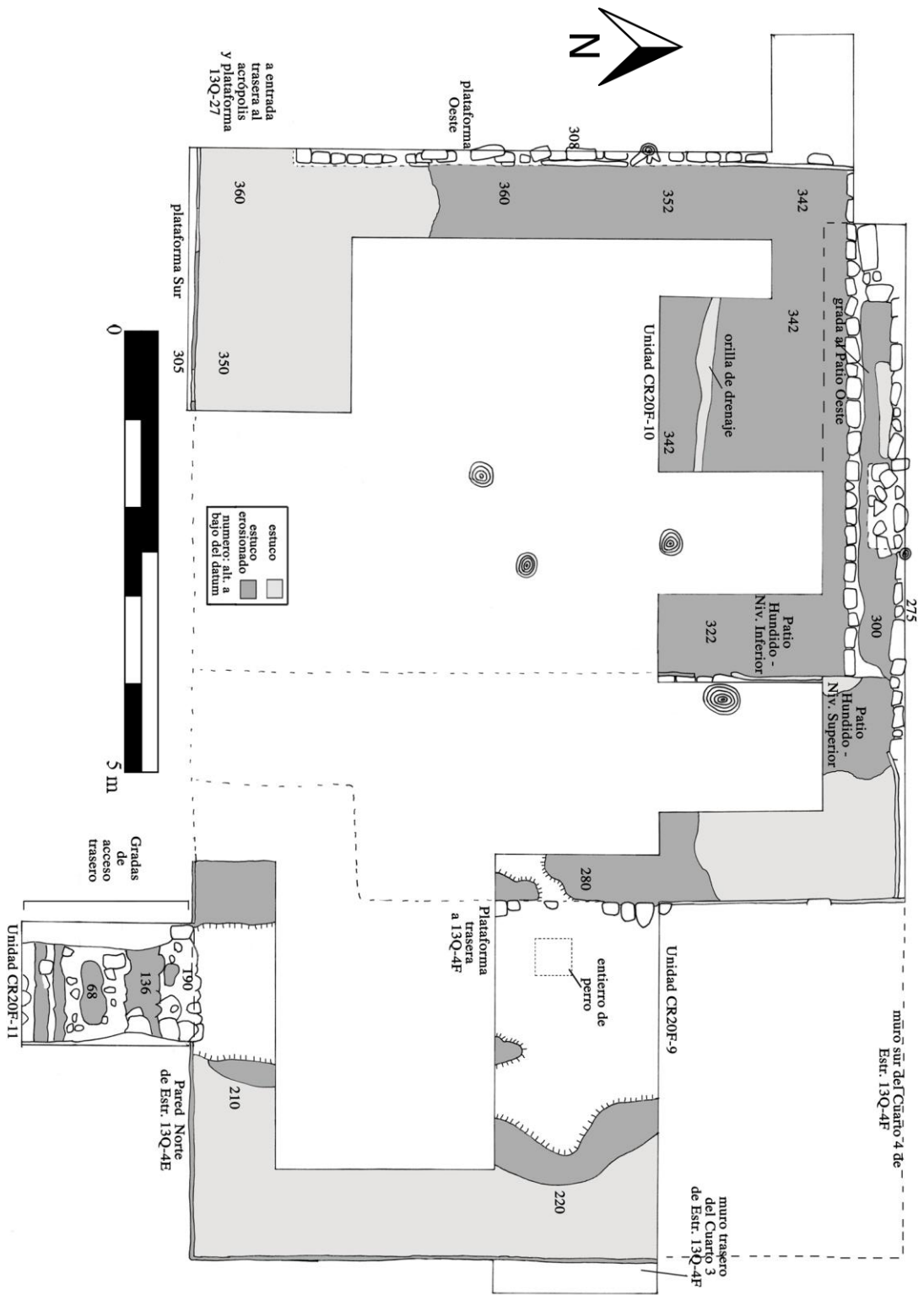


Figura 3.11. Planta de la estructuras 13Q-4E y 4-F, y Patio Hundido (Dibujo por M. Lamoureux-St-Hilaire y M. López)

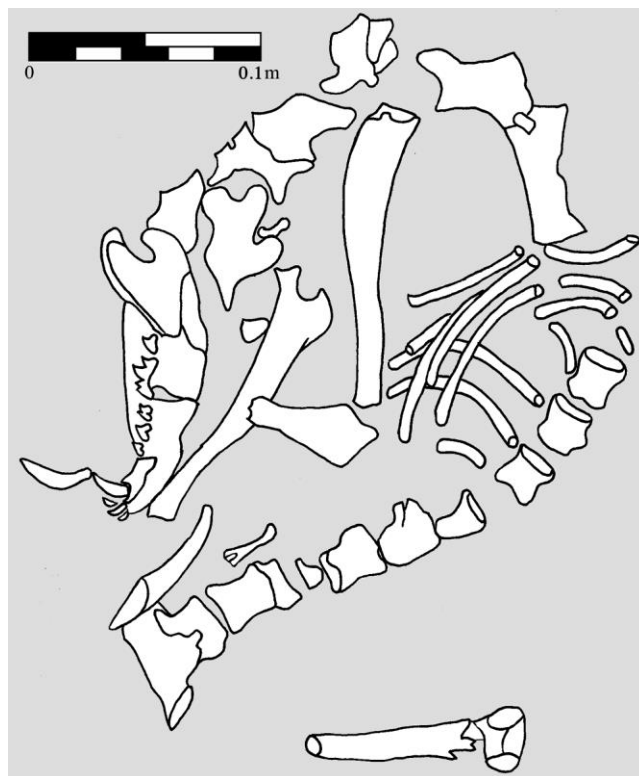


Figura 3.12 Planta del entierro de perro encontrado en el relleno de la plataforma posterior de la Estructura 13Q-4F (Dibujo por M. Lamoureux-St-Hilaire).

El Lote CR20F-9-2 contuvo 470 fragmentos de cerámica, 9 fragmentos de pedernal, 6 fragmentos de obsidiana, 3 fragmentos de figurilla, 6 fragmentos de concha, algunos huesos de fauna, un fragmento de espina de pez raya, una hachuela de piedra verde y un fragmento de carbón. El Lote CR20F-9-3 consistió 912 fragmentos de cerámica, 12 fragmentos de pedernal, 4 fragmentos de obsidiana, 3 fragmentos de figurillas, 1 fragmento de concha, 1 fragmento de piedra de cueva, y varios fragmentos de hueso de fauna – incluyendo los restos de 1 perro. El Lote CR20F-9-4 incluyó 342 fragmentos de cerámica, 16 fragmentos de pedernal, 2 fragmentos de obsidiana, 5 fragmentos de concha, 2 fragmentos de figurilla y varios huesos de fauna. El Lote CR20F-9-5 contuvo 552 fragmentos de cerámica, 7 fragmentos de pedernal, 1 fragmento de obsidiana, 2 fragmentos de figurilla, 1 fragmento del labio de una vasija de alabastro, una mandíbula humana fragmentada en 3 piezas y varios fragmentos de hueso de fauna. El Lote CR20F-9-6 tuvo un total de 221 fragmentos de cerámica. En cuanto al nivel 3, que se define por la arquitectura terminal, no fue excavado.

Unidad CR20F-10

La Unidad CR20F-10 (Figura 3.11) fue planeada como un pozo de 2 x 2 m con una orientación de 7° E del N. Posteriormente fue ampliada hasta cubrir un área de 18 m². Esta unidad incluyó 2 niveles y 2 lotes.

El nivel 1, correspondiente al estrato de humus, no presentó artefactos. Su matriz se compuso de barro café oscuro, rico en material orgánico, incluyendo raíces y raicillas, así como piedrín y grava. La profundidad máxima del estrato fue de 0.15 m.

El nivel 2, el estrato de derrumbe, corresponde al Lote CR20F-10-2. La matriz de este nivel fue una mezcla de piedras de construcción, piedras de relleno y piedras trabajadas, y barro café amarillento. Este estrato alcanzó una profundidad de 0.59 m.

El Lote CR20F-10-2 incluyó 1,419 fragmentos de cerámica, 64 fragmentos de pedernal, 1 fragmento de un percutor de piedra, 4 fragmentos de pirita, 7 fragmentos de figurillas, 1 fragmento de cerámica trabajado y varios fragmentos de hueso de fauna.

El nivel 3, la arquitectura terminal, corresponde al Lote CR20F-10-3. La arquitectura terminal solo fue excavada en una pequeña porción del relleno que se encontraba a un lado del drenaje de la penúltima fase arquitectónica, el cual corre este-oeste y se encontraba en el centro de la unidad original. En su punto más profundo la unidad alcanzó 0.22 m. El Lote CR20F-10-3 presentó 17 fragmentos de cerámica.

Unidad CR20F-11

La Unidad CR20F-11 (Figuras 3.11 y 3.13) fue trazada como un pozo de 1.4 x 2 m orientado a 7° E del N. La unidad fue planificada como una extensión de la Unidad CR20F-9, con el objetivo de investigar una potencial escalinata que permitiera el acceso a la cima de la Estructura 13Q-4E, la cual fue encontrada posteriormente. Dicha escalinata fue construida contra la sección norte de la tercera terraza de la Estructura 13Q-4E, la cual se encontró relativamente bien preservada; aunque los escalones mismos se encontraban erosionados. Esta unidad presentó 3 niveles y 1 lote. Los niveles 1 y 2 correspondieron al estrato de humus y al Lote CR20F-11-1. La matriz de este lote se compone de una mezcla de piedras de construcción, piedras de relleno y piedras trabajadas y barro café amarillo. La profundidad máxima del estrato fue de 1.75 m. este lote contiene 43 fragmentos de cerámica y 2 fragmentos de hueso de fauna. El nivel 3, la arquitectura terminal, no fue excavado.

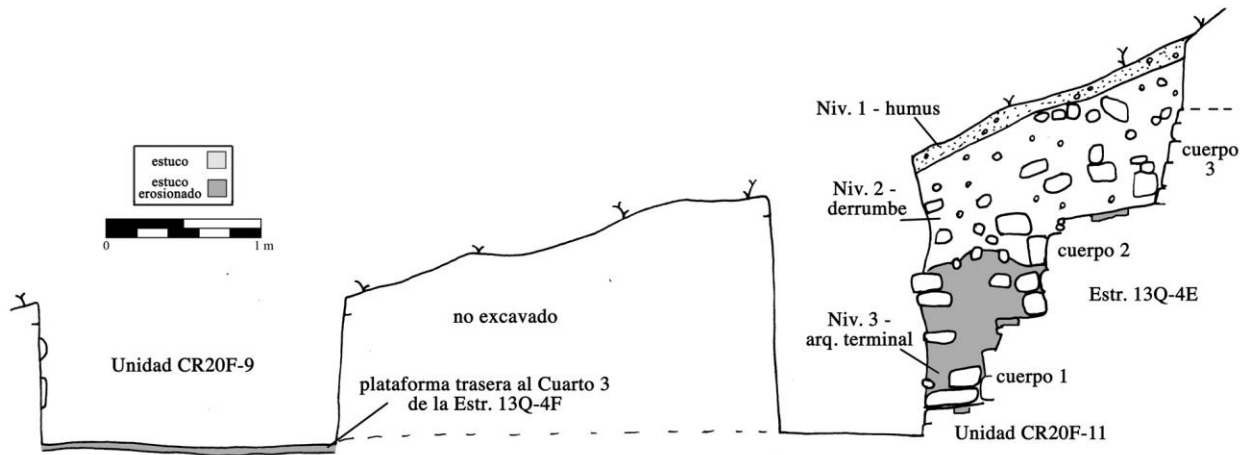


Figura 3.13. Perfil del límite norte de la Estructura 13Q-4E y la plataforma posterior de la Estructura 13Q-4F (Dibujo por M. Lamoureux-St-Hilaire y M. López)

Estructura 13Q-27

La Estructura 13Q-27 (Figuras 3.14, 3.15 y 3.16) es la estructura norte del Grupo Posterior asociado con la acrópolis palaciega, el cual se compone también de las estructuras 13Q-25 (estructura sur) y 13Q-26 (estructura oeste). La Estructura 13Q-27 se trata de una plataforma que mide 2.1 m de altura y ocupa un área de 12.3 m (N-S) x 20 m (E-O). Esta plataforma se encuentra adosada al límite este de la acrópolis palaciega. Posiblemente esta estructura se conectaba, mediante una escalinata estrecha, con el Patio Hundido del palacio; accediendo mediante la apertura que se encuentra entre las plataformas este y sur. La Estructura 13Q-27 presenta una escalinata larga en su fachada sur, que conecta con el Grupo Posterior. La escalinata tiene 4 escalones: dos grupos de descansos amplios seguidos por un escalón corto.

Tres basureros se encontraron asociados a esta estructura. Un basurero grande y denso con tres niveles distintos fue identificado atrás de la estructura, el cual fue nombrado como Basurero 1. Un segundo basurero (Basurero 2), probablemente más pequeño pero igual de denso que el primero fue encontrado al frente de la estructura; este se encontró en el flanco este de la escalinata del edificio. Un tercer basurero (Basurero 3) fue encontrado sobre la estructura, el cual se apilaba contra el flanco oeste de la acrópolis palaciega. Este último basurero fue bastante denso, pero también se encontró mezclado con el derrumbe proveniente del palacio.

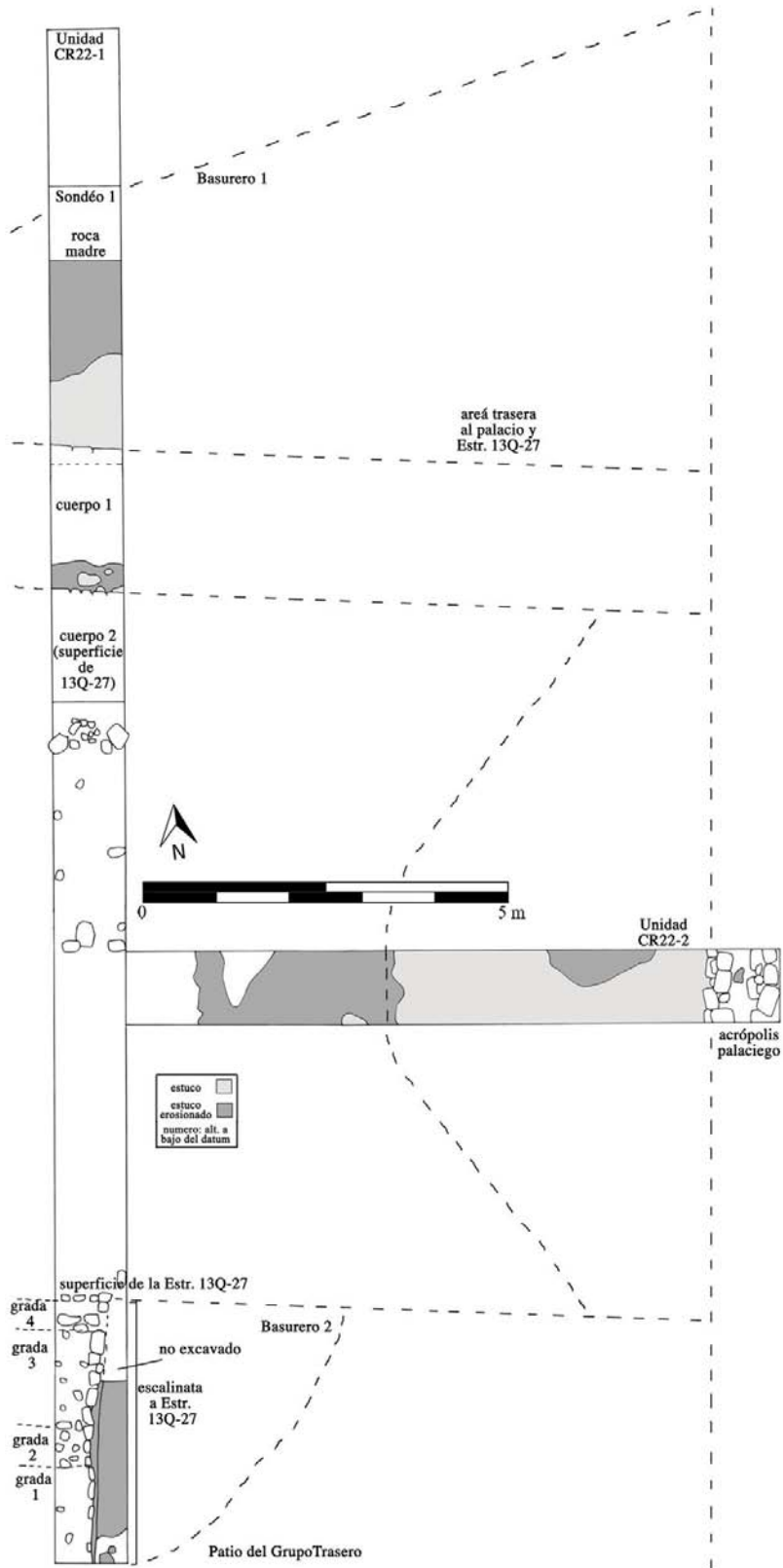


Figura 3.14. Planta de la Estructura 13Q-27 (Figura por M. Lamoureux-St-Hilaire).

Unidad CR22-1

La Unidad CR22-1 (Figuras 3.14 y 3.15) originalmente fue trazada como una trinchera de 1 x 9 m orientada a 7° E del N, que bajaba por la pendiente norte de la Estructura 13Q-27. El objetivo de la trinchera fue comprobar la presencia de un basurero en este lugar, el cual, como se mencionó anteriormente, si fue localizado. Con el objetivo de evadir un estrato grueso del derrumbe que se encontraba en la pendiente del palacio, la unidad fue colocada a 8 m al oeste del límite de la acrópolis. Inicialmente se excavó un pozo de prueba de 1 x 1 m directamente al norte del piso preservado encontrado en la Unidad CR22-1, a 2.5 m del límite de la plataforma. La unidad fue expandida hasta ser una trinchera de 20.5 m de largo que atravesó toda la Estructura 13Q-27 de norte a sur. La unidad identificó el borde este de la escalinata de la estructura, así como el basurero localizado directamente al este de la unidad. Se definieron 7 niveles y 6 lotes.

El nivel 1, el estrato de humus, corresponde al Lote CR22-1-1. Este fue barro café oscuro, rico en material orgánico, raíces y raicillas, así como pedrín y grava. La profundidad máxima fue de 0.21 m y el lote incluyó 9 fragmentos de cerámica, 1 fragmento de pedernal y 1 de obsidiana.

El nivel 2a, o el derrumbe tardío, corresponde a los lotes CR22-1-2 y CR22-1-8. El derrumbe se encontró mezclado con el basurero localizado al este de la Unidad CR22-1, el cual fue arrastrado por la ladera mediante procesos de erosión a lo largo de varios siglos. Su matriz fue una mezcla de piedras de construcción, piedras de relleno y barro café amarillo con raíces. El Lote CR22-1-2 fue el derrumbe localizado al norte de la plataforma, mientras que el Lote CR22-1-8 corresponde al derrumbe al sur de la plataforma. La profundidad máxima fue de 0.51 m. El Lote CR22-1-2 contuvo 407 fragmentos de cerámica, 5 fragmentos de pedernal, 2 fragmentos de obsidiana, 1 fragmento de figurilla, 1 fragmento de cuenta de concha y 8 fragmentos de hueso de fauna. El Lote CR22-1-8 consistió de 590 fragmentos de cerámica, 3 fragmentos de pedernal, 4 fragmentos de obsidiana y algunos fragmentos de hueso de fauna.

El nivel 2b, el estrato de derrumbe temprano, corresponde a los lotes CR22-1-3 y CR22-1-9. Este estrato se encontró entremezclado con el basurero localizado al este de la Unidad CR22-1, el cual cayó por la pendiente durante las fases tempranas del derrumbe de la acrópolis. Su matriz se compuso de una mezcla de piedras de construcción, piedras de relleno y barro café amarillo con raíces. El Lote CR22-1-3 corresponde al derrumbe tardío localizado en el norte de la plataforma, mientras que el Lote CR22-1-9 se definió como el derrumbe localizado al sur de la plataforma. La profundidad máxima de este estrato fue de 0.64 m.

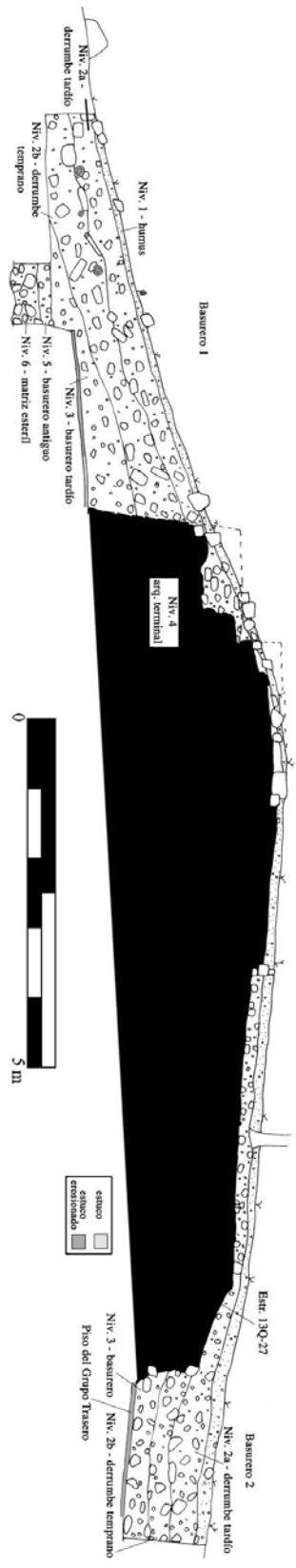


Figura 3.15. Perfil Este de la Estructura I3Q-27 (Dibujó por M. Lamoureux-St-Hilaire).

El Lote CR22-1-3 consistió de 1,055 fragmentos de cerámica, 10 fragmentos de pedernal, 2 fragmentos de figurillas, 2 huesos trabajados y una vasta cantidad de huesos de fauna. El Lote C422-1-9 contuvo 348 fragmentos de cerámica, 3 fragmentos de pedernal, 3 fragmentos de figurilla, 1 fragmento de piedra verde y 5 fragmentos de huesos de fauna.

El nivel 3, el estrato de basurero, corresponde a los lotes CR22-1-4 y CR22-1-10. Su matriz se compuso de barro café claro de consistencia densa entremezclado con bolsas de estuco erosionado, grava y pedrín. El Lote CR22-1-4 fue el basurero localizado al norte de la plataforma, mientras que el Lote CR22-1-10 se definió como el basurero localizado al sur de la plataforma. La profundidad máxima de este estrato fue de 0.66 m.

El lote CR22-1-4 contuvo 1,033 fragmentos de cerámica, 3 fragmentos de pedernal, 2 fragmentos de obsidiana, 1 hachuela, 1 raspador, 8 fragmentos de figurilla y 5 huesos de fauna. El Lote CR22-1-10 presentó 463 fragmentos de cerámica (incluyendo dos vasijas parciales), 11 fragmentos de pedernal, 7 fragmentos de obsidiana, 9 fragmentos de concha, 5 fragmentos de figurilla y varios fragmentos de hueso de fauna.

El nivel 4, correspondiente a la arquitectura terminal, no fue excavado.

El nivel 5, que consiste en el basurero temprano (penúltimo), corresponde al lote CR22-1-6. Se localizó bajo un piso erosionado de estuco, al norte de la plataforma. En comparación con el basurero terminal, este basurero fue mucho más delgado, pero mucho más denso y rico en materiales. Su matriz se compuso de barro café oscuro mezclado con pedrín y piedras de construcción. La profundidad máxima de este basurero fue de 0.19 m. El Lote CR22-1-6 contuvo 504 fragmentos de cerámica, 6 fragmentos de pedernal y varios fragmentos de hueso de fauna.

El nivel 6, suelo estéril, fue encontrado bajo el basurero temprano. Procesos de deposición llevaron algunos pocos artefactos dentro de este suelo, por lo que estos artefactos fueron designados como Lote CR22-1-7. La matriz de este estrato fue barro café oscuro mezclado con pedrín y algunas piedras grandes, todas pertenecientes a la roca madre cercana. La profundidad máxima fue de 0.41 m. El Lote CR22-1-7 solo presentó 4 fragmentos de cerámica.

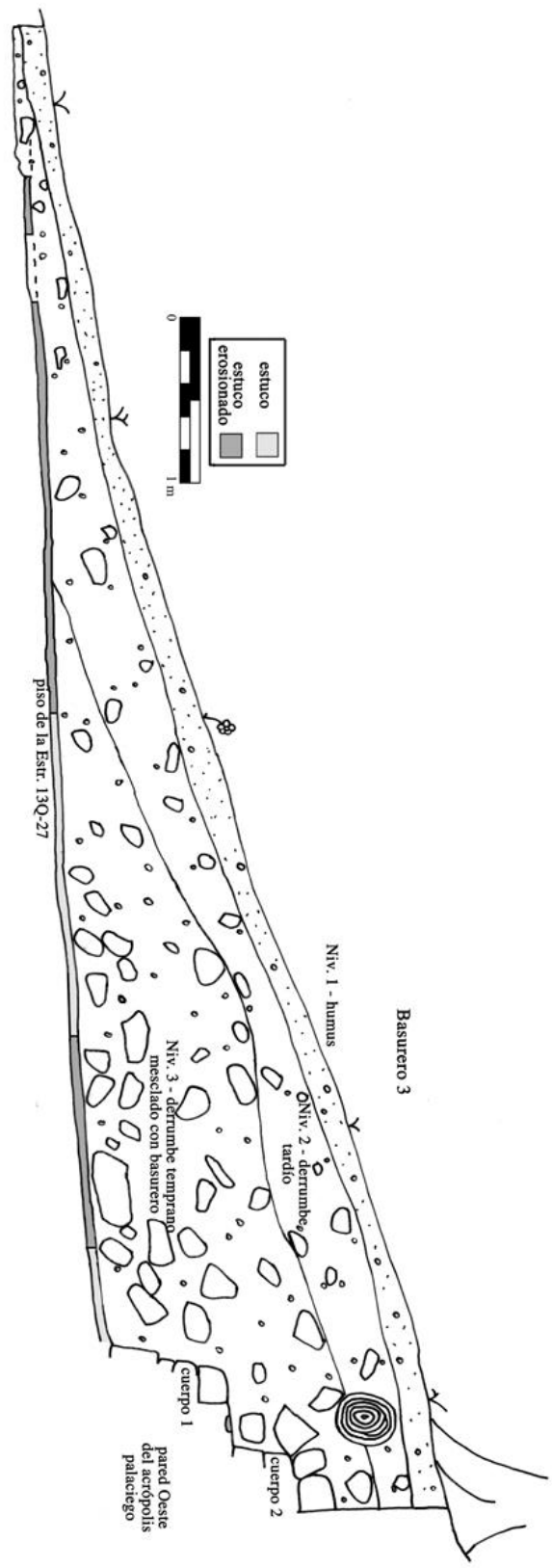


Figura 3.16. Perfil norte de las Estructuras 13Q-22 y 27 (Dibujo por M. Lamoureux-St-Hilaire).

Unidad CR22-2

La Unidad CR22-2 (Figuras 3.14 y 3.16) fue trazada como una trinchera de 1 x 7 m dispuesta perpendicularmente a la Unidad CR22-1, con el objetivo de investigar la porción superior este de la Estructura 13Q-27 y buscar el límite de acrópolis palaciega. Esta unidad fue expandida hasta abarcar 9 m². El muro oeste del palacio fue encontrado a 8 m del límite este de la Unidad CR22-1 y consistió de dos cuerpos. Los cuerpos midieron en promedio 0.73 m de altura y 0.60 m en profundidad. La sección inferior se encontró bien conservada a 7 m de la acrópolis. En esta unidad se definieron 4 niveles y 3 lotes.

El nivel 1, el estrato de humus, corresponde al Lote CR22-2-1. La matriz de este estrato se compuso de barro café oscuro, rico en materia orgánica, incluyendo varias raíces y raicillas, así como piedrín y grava. La profundidad máxima del humus fue 0.23 m. El Lote CR22-2-1 contuvo 40 fragmentos de cerámica, 1 fragmento de figurilla y 2 fragmentos de hueso de fauna.

El nivel 2, el estrato de derrumbe tardío, corresponde al Lote CR22-2-2. Su matriz se fue de barro café claro que incluye una gran cantidad de raíces y raicillas, así como piedrín y grava, junto con algunas piedras de relleno y piedras trabajadas. Este estrato se encontró entremezclado con una capa densa y rica de basura. La profundidad máxima fue de 0.57 m. El Lote CR22-2-2 presentó 713 fragmentos de cerámica, 24 fragmentos de pedernal, 13 fragmentos de obsidiana, 6 fragmentos de figurilla, 1 cuenta de piedra verde, 1 fragmento de hueso tallado, 1 metate y 1 fragmento de adobe, junto con una gran cantidad de huesos de fauna.

El nivel 3, el estrato temprano de colapso, se encontró mezclado con una capa de basura y corresponde al Lote CR22-2-3. Su matriz se compuso de barro café amarillento, con piedrín y grava, junto con varias piedras de relleno y piedras trabajadas. Este estrato se entremezcla con una capa rica y densa de basura. La profundidad máxima fue de 1.28 m.

El Lote CR22-2-3 incluyó 919 fragmentos de cerámica, 15 fragmentos de pedernal, 13 fragmentos de obsidiana, 17 fragmentos de figurilla, 6 fragmentos de concha, 1 cuenta de piedra verde, 1 espiral de concha y 1 fragmento de pirita, así como una gran cantidad de huesos de fauna.

El nivel 4, correspondiente a la la arquitectura terminal, no fue excavado.

Discusión de las Excavaciones

Esta temporada confirmó la hipótesis propuesta en años anteriores y reveló información inesperada acerca de la corte real de La Corona. Ahora entendemos que el Palacio Real experimentó una reducción progresiva en el tamaño y sus funciones durante la segunda mitad del Clásico Tardío y el Clásico Terminal.

En esta sección del capítulo se presenta el estado actual de interpretación y comprensión de la parte norte de la Estructura 13Q-4, aunque se discutirá específicamente su función como palacio real, y se describirá su evolución. Por lo tanto esta discusión se encuentra organizada en orden cronológico, por medio de cuatro fases: la primera mitad del Clásico Tardío, la segunda mitad del Clásico Tardío, el Clásico Terminal y el Abandono.



Figura 3.17. Planta de la sección Norte del palacio y su Fase Terminal con la localización de los 4 basureros (Dibujo por M. Lamoureux-St-Hilaire).

Primera faceta del Clásico Tardío

Durante la primera faceta del Clásico Tardío (ca. 670 – 750 d.C.), el palacio real de La Corona estaba en su máximo esplendor en ocupación, llevando a la construcción de su fase más grande, la fase Halcón. En este punto, la sección sur del palacio, investigada por Bustamante (ver en este volumen), posiblemente sirvió como centro de actividades administrativas, mientras que la Estructura 13Q-4E pudo haber servido como el cuarto formal de trono en el palacio. Contemporáneamente, el grupo Noreste fue el que albergó a la corte real, mientras que los grupos Noroeste y Grupo Posterior fueron los centros de logística y administración económicas en el palacio real.

Más específicamente, el Grupo Noreste fue el eje de una gran cantidad de actividades domésticas y administrativas. La Estructura 13Q-4F fue la estructura doméstica principal, y seguramente fue el hogar del gobernante de La Corona, mientras que el grupo presenta tres edificios no domésticos: Estructuras 13Q-4B1, 13Q-4B2 y 13Q-4G. El tráfico entre los grupos Noreste y Noroeste era controlado mediante el Cuarto 1 de la Estructura 13Q-4F, la cual sirvió como una estructura de paso, ya que no existe otra manera de moverse entre estos dos grupos. En algún punto durante la Primera Faceta del Clásico Tardío, algunos problemas estructurales básicos con los techos abovedados de la Estructura 13Q-4G forzaron la construcción de muros de refuerzo de 0.5 m de espesor en las afueras del edificio.

El Grupo Noroeste se encuentra organizado en tres patios adyacentes: el Patio Noroeste, el Patio Oeste y el Patio Hundido. Estos espacios abiertos fueron el centro de varias actividades de logística y económicas tales como el almacenamiento y preparación de alimentos, herramientas y muebles, asociados a las Estructuras 13Q-4F, 13Q-4G, 13Q-4H1, 13Q-4H2 y 13Q-4I. Junto con estas funciones, el Patio Hundido también controló el tráfico para entrar y salir del Grupo Noroeste. Específicamente, el patio hundido conducía a la Estructura 13Q-4O al sur, a la Estructura 13Q-27 y al Grupo Posterior al oeste y a la cima de la Estructura 13Q-4E al sureste.

El Grupo Posterior seguramente sirvió como centro adicional para las actividades económicas y de logística. El área localizada fuera de la acrópolis, al oeste del Grupo Noroeste y al Norte de la Estructura 13Q-27, fue usada como punto de deposición final de los subproductos de estas actividades. Como tal, sirvió como basurero terciario y fue el basurero principal del palacio (Basurero 1). El Basurero 2 se localizó al este de la escalinata frontal de la Estructura 13Q-27 y sirvió como un basurero temporal para los desperdicios producidos en el Grupo Posterior,

este fue el basurero secundario. Originalmente, el contenido del Basurero 2 probablemente tenía como destino el Basurero 1, pero este movimiento de los desechos nunca sucedió.

Segunda Faceta del Clásico Tardío.

Durante la Segunda Faceta del Clásico Tardío (750-830 d.C.), los indicios son que la sección ocupada del palacio se redujo significativamente. Específicamente, parece que gran parte de la sección sur del palacio, incluyendo las estructuras 13Q-4P, 13Q-4E (posiblemente), 13Q-4D y 13Q-4O (Bustamante, en este volumen) fueron terminadas reverencialmente. La terminación de estos edificios naturalmente resultó en una reducción significativa de las actividades palaciegas, particularmente las actividades administrativas. A su vez, esta disminución de actividades administrativas causó una reducción en las actividades logísticas y económicas. Específicamente, los indicios son que el Grupo Posterior ya no fue necesario y probablemente cayó en desuso. Esto en base a que se encontró un basurero denso en la cima de la Estructura 13Q-27, a lo largo de donde se ubicaba la escalinata que comunicaba con el Patio Hundido. Este basurero, denominado Basurero 3, posiblemente fue un basurero terciario donde se depositaron los desechos de las actividades realizadas en el Grupo Noreste.

Mientras que la sección sur del palacio fue terminada, el Grupo Noreste sufrió modificaciones significativas. Además que las funciones generales del grupo cambiaron a funciones más privadas y de carácter doméstico, parece que también se convirtió en el foco de funciones administrativas importantes. La Estructura 13Q-4G vio sus grandes salones (al menos el Salón Sur) transformarse en una serie de 5 cuartos, y los pasillos que conectaban ambas galerías fueron sellados. La mayoría de estos cuartos fueron privados -como es indicado por la presencia de cortineras en las jambas de las puertas – pero el gran Cuarto Central se convirtió en un cuarto de audiencias e inclusive pudo servir como cuarto de trono. La gran banqueta que fue adosada al pasaje bloqueado, presentó un panel tallado -Elemento 59- colocado en su respaldo (Figura 3.19).

Adicionalmente a este “trono monumental”, otra banca monumental (muy probablemente son dos) fue construida en el Grupo Noreste (Figura 3.18). Las dos bancas exteriores fueron construidas en el lado este del patio, contra las Estructuras 13Q-4B1 y -4B2. La banca norte presentó los Elementos 55 y 56 en su respaldo, mientras que la banca sur fue saqueada en la década de 1970, muy probablemente presentó uno o dos paneles (Lamoureux-St-Hilaire y Morales 2016).



Figura 3.18. Planta de la Fase Terminal de la sección norte del Palacio con la localización de los monumentos (Dibujo por M. Lamoureux-St-Hilaire)

Por otra parte, el escalón superior que conducía al gran basamento de la Estructura 13Q-4G presentaba una serie de paneles jeroglíficos. Esta “Escalinata jeroglífica” también fue saqueada, pero los Elementos 57, 58 (Figura 3.19), 60 y 61, que fueron parte de la escalinata, fueron descartados o pasaron desapercibidos por los saqueadores. Adicionalmente a varios monumentos esculpidos que fueron expuestos en el patio, las fachadas de todos los edificios se encontraban decoradas con elaborados frisos de estuco modelado. En otras palabras, el Grupo Noreste fue un espacio grandioso usado tanto para actividades domésticas (o privadas) como funciones administrativas o reales.

Adicional a estos cambios, los patrones de control de tráfico también fueron alterados. La estructura de paso se convirtió en el único punto de tránsito entre los grupos Noreste y Noroeste, puesto que todos los otros puntos fueron bloqueados por muros delgados de mampostería. Este incremento en el control de tráfico es coherente con el refinamiento de las actividades llevadas a cabo en el Grupo Noreste.



Figura 3.19. Fotografías de los Elementos 58 (izquierda) y 59 (derecha) (Fotografías por M. Lamoureux-St-Hilaire y M. Kelly)

El Clásico Terminal

Durante el Clásico Terminal (830-850 d.C.), los indicios son que las actividades del palacio real fueron reducidas. Esto conllevó a un desuso del Patio Hundido, el cual fue reutilizado como un área de descarte (Basurero 4). Este basurero se convirtió en depósito terciario durante el Clásico Terminal, el destino final para los desechos producidos por las actividades económicas y logísticas del Grupo Noroeste, el cual fue reducido a dos patios. El desuso del Patio Hundido confirma el abandono de las Estructuras 13Q-4E, 13Q-4O y 13Q-27, cuyos puntos de acceso fueron cerrados por el acumulamiento de los desechos del Basurero 4. La reutilización de espacio funcional del palacio para acumular deshecho sugiere que, para este momento, la calidad de la vida palaciega de alguna manera se había deteriorado. Al mismo tiempo que el Patio Hundido se empezó a utilizar como un depósito terciario, los ocupantes de los grupos Noreste y Noroeste utilizaron localizaciones excéntricas alrededor de diferentes estructuras como basureros temporales o depósitos secundarios.

Abandono

El proceso de declive (Schiffer 1985) que llevó a la reutilización de espacio funcional como áreas de descarte fue acompañado con la reducción de agrupamientos de artefactos de los ocupantes del palacio real. Eventualmente los ocupantes abandonaron el palacio llevando consigo la mayoría de sus pertenencias; dejando solo artefactos quebrados o reciclados – tales como cuellos de cantaros reutilizados como pedestales- en contextos *de facto*. Aparte del pequeño escondite de cabezas de figurilla descubierto en 2015 (Lamoureux-St-Hilaire y Morales 2016), no se encontraron otras ofrendas votivas al proceso de terminación. Esto sugiere un patrón de abandono mundano y progresivo para la sección norte del palacio.

Conclusión

Los resultados de la cuarta y última temporada de excavaciones de la sección norte del palacio de La Corona, llevadas a cabo por el autor, ha refinado el entendimiento de la naturaleza y evolución de las actividades palaciegas durante las dos facetas del Clásico Tardío y Clásico Terminal. El resultado del estudio de muestreo multidimensional del Grupo Noroeste que fue llevado a cabo en la temporada 2016, será reportado junto con los resultados de la temporada 2017. Con esos datos, junto con los resultados del análisis de artefactos de los cuatro años de excavación, se espera contar con suficiente información para formular una idea clara de las funciones y roles del palacio real de La Corona.

Agradecimientos

Agradezco a National Science Foundation y Tulane School of Liberal Arts por las becas, las cuales permitieron la realización de estas excavaciones; a Marissa López por su ayuda en la supervisión y dibujos de la excavación de las unidades CR20F-10 y CR20F-11; a Gustavo Luin por su ayuda con las ilustraciones de la excavación de las unidades CR20B-5 y CR20B-6; y Ana Isabel Lucero por su ayuda en la excavación de las unidades CR20F-9 y CR20F-10. También a Mary Kate Kelly por la limpieza y desciframiento en campo de los monumentos jeroglíficos excavados esta temporada (Elementos 57 a 61) y a David Stuart por su desciframiento en campo de los Elementos 58 y 59.

CAPÍTULO IV

OPERACIONES CR20E, CR20D Y CR20O: EXCAVACIONES EN LAS SECCIONES SUR Y SUROESTE DEL PALACIO DE LA CORONA

Eduardo Bustamante

Introducción

Desde la Temporada de Campo 2014 se ha excavado la sección suroeste del palacio (Bustamante 2015, 2016b). Estas excavaciones han revelado la existencia de una estructura de cuartos múltiples que se ubica en la fachada posterior de la acrópolis palaciega, denominada como Estructura 13Q-4O. Esta estructura presenta claros signos de destrucción intencional, que al mismo tiempo se encuentran asociados con ofrendas de abandono, que incluyen los entierros de un individuo joven-adulto (Bustamante 2015) y el de un felino (Bustamante 2016b). Aunque la Estructura 13Q-4O ha sido excavada casi en su totalidad, aún se desconocen aspectos esenciales para comprender del todo esta estructura: los puntos de acceso a esta sección de la acrópolis palaciega, así como su relación con otros espacios dentro del conjunto. Con esta intención, las excavaciones de la Temporada de Campo 2016 han tratado de investigar dichos aspectos. Para ello, las excavaciones en la sección suroeste se encontraron enfocadas en los límites norte y sur de la Estructura 13Q-4O, en los cuales se esperaba encontrar los puntos de acceso a esta sección del palacio. Además, se terminaron de excavar las fachadas de los cuartos 1 y 4 de la Estructura 13Q-4O, previamente definidos en la Temporada de Campo 2015 (Bustamante 2016b).

Con anterioridad se ha propuesto que el área suroeste del palacio presenta patrones de abandono distintos a los observados en el área norte del palacio (Bustamante 2016b; Lamoureux-St-Hilaire y Bustamante 2016). Se contempla que esto se deba a que esta área sirvió para actividades relacionadas con el recibimiento de visitantes del reino *K'aanul*. Sin embargo, esta área carece de bancas u otros rasgos arquitectónicos relacionados con la vivienda.

Siguiendo esta línea de pensamiento, se investigó la relación de la sección suroeste del palacio con las áreas circundantes, por lo que se inició la excavación en la sección sur del palacio. Esta sección corresponde a un pequeño patio sur conformada por las siguientes estructuras: 13Q-4O al oeste; 13Q-4E al norte; 13Q-4C al sur; y 13Q-4A al este. Previamente esta plaza había sido excavada durante la Temporada 2013 con la Unidad CR20R-1 (Bustamante 2014), pero solo estuvo enfocada en proveer una cronología del palacio, por lo que se ubicó en el centro de la pequeña

plaza y ninguna de las estructuras que conforman este patio había sido excavada. Durante la presente temporada, las excavaciones se enfocaron en la parte oeste de la Estructura 13Q-4O y en la fachada sur de la Estructura 13Q-4E.

Objetivos

- Reconocer los puntos de acceso a la Estructura 13Q-4O
- Determinar la relación de la Estructura 13Q-4O con el resto del grupo palaciego
- Establecer las dimensiones totales de la Estructura 13Q-4O
- Identificar rasgos arquitectónicos importantes en la plaza interna sur del grupo palaciego.
- Obtener materiales para realizar un fechamiento de la sección sur del palacio.

Metodología

Siguiendo con la nomenclatura establecida ya en años anteriores, estas excavaciones corresponden a las operaciones CR20E, CR20D y CR20O (Figura 4.1). Como es usual, las excavaciones son mediante estratos naturales. La tierra excavada fue cernida mediante cedazo de $\frac{1}{4}$ de pulgada y los materiales encontrados fueron divididos en bolsas según los lotes de donde éstos hayan sido encontrados.

Las unidades fueron trazadas inicialmente de 2 x 2 m, pero se las excavaciones se ampliaron según fuera lo necesario y siguiendo la arquitectura encontrada.

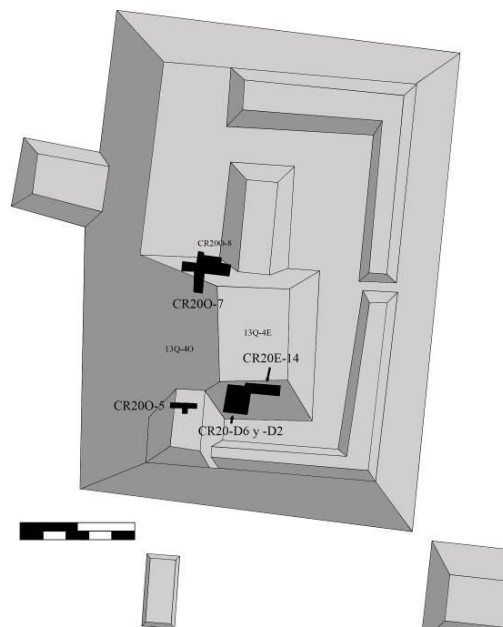


Figura 4.1 Mapa de ubicación de las unidades de la Temporada 2016
(Mapa por E. Bustamante, modificado de R. Guzmán 2012)

Operación CR200

Siguiendo las excavaciones de la Temporada 2015 en la fachada oeste de la Estructura 13Q-40, se continuó con la excavación de la fachada de los cuartos 1 y 4, definidos el año anterior. El Cuarto 4, ubicado en el extremo sur de la estructura, había sido identificado mediante un pozo que exploró su interior; no obstante, no se había encontrado el vano de su puerta de acceso. Paralelamente, el Cuarto 1, ubicado en el extremo norte de la estructura, había sido excavado en su interior, pero aún se desconocía sus dimensiones externas. En ambas excavaciones se siguieron las operaciones iniciadas en la Temporada 2015 (Bustamante 2016b) y se partió de puntos previamente excavados.

Unidad CR200-5

Esta unidad se ubicó en la fachada exterior norte del Cuarto 4 de la Estructura 13Q-40. Sus dimensiones fueron de 1 x 5 m con una orientación de 7° al norte del este, siguiendo la orientación del edificio. Se excavaron 2 lotes. El primero correspondió al humus, que fue desde la superficie hasta 0.17 m bajo la superficie. No se encontraron materiales.

El segundo lote correspondió al material de derrumbe. Este se compuso de barro mezclado con cal, de color café grisáceo. Se observaron piedras constructivas, provenientes de la mampostería colapsada, así como varias piedras de relleno. Este estrato se encontró inmediatamente bajo el humus y siguió hasta una profundidad de 1.8 m bajo el nivel de superficie en el extremo este de la unidad y 0.2 m bajo el nivel de la superficie en el extremo oeste de la unidad. Este lote se encontró sobre el piso de la última fase de la estructura. La diferencia de niveles corresponde a que el este de la unidad se encontró sobre el borde de la plataforma del palacio, por lo cual los procesos naturales de deposición crearon una pendiente. Se recuperaron 20 fragmentos de cerámica.

La excavación de esta unidad reveló la fachada norte del Cuarto 4 de la Estructura 13Q-40. A diferencia de los otros 3 cuartos de la estructura, que presentan una orientación norte-sur con acceso desde su fachada oeste, el Cuarto 4 presentó una orientación este-oeste con acceso desde su fachada norte. La mampostería de la fachada es consistente con lo observado en el resto de la estructura; se encuentra formada por bloques de un tamaño promedio de 0.2 m por lado y trabajados en 5 de sus caras. La fachada se encontró destruida casi en su totalidad en el extremo oeste, puesto que aquí se ubica el borde de su plataforma basal, pero una fila de bloques aún se encontró *in situ*,

lo que nos dio la extensión total del muro: 4 m. Esto también es consistente con las dimensiones de la plataforma encontrada frente al Cuarto 3 en la Temporada 2014 (Bustamante 2015), que mide 4.25 m desde la estructura, extendiéndose al oeste. Esto significa que solo queda una pequeña pestaña de 0.25 m entre la fachada oeste del Cuarto 4 y el fin de la plataforma, significando que no hubo paso por esta sección.

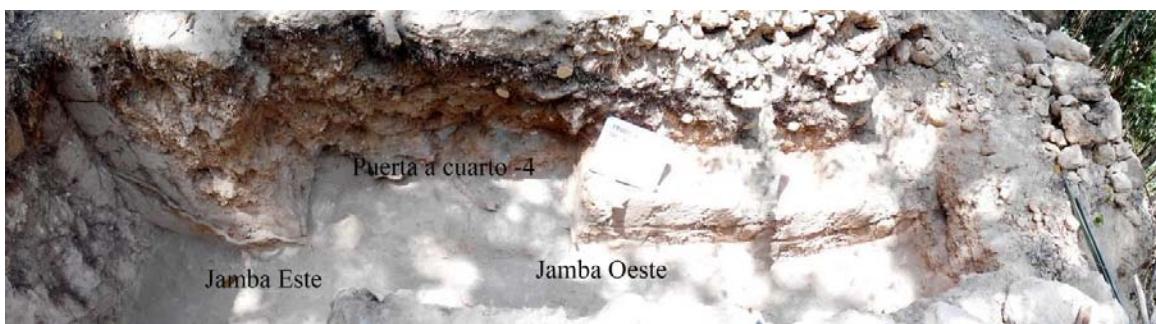


Figura 4.2: Fachada norte del Cuarto 4, Estructura 13Q-4O (Fotografía por E. Bustamante)

Unidad CR200-7

La Unidad CR200-7 se ubicó en el extremo norte de la Estructura 13Q-4O. Esta unidad reabrió parte de las excavaciones de la Temporada de campo 2015, específicamente la jamba norte del Cuarto 1 de la estructura y la sección de muro contigua a esta jamba. Esto con el motivo de tener un punto de amarre entre las excavaciones anteriores y las nuevas. En total la unidad midió 3.75 m norte-sur y entre 0.75 y 1.75 m este-oeste. Esta unidad también fue trazada con una orientación de 7° norte del este, siguiendo la orientación de la arquitectura. En total se excavaron 3 lotes:

El Lote CR200-7-1 consistió en el estrato de humus superficial, que se extiende desde la superficie hasta 0.10 m bajo el nivel de la superficie. Se recuperaron materiales arqueológicos que proceden de la cima de la Estructura 13Q-4E, ubicada al este. Estos materiales incluyen una gran cantidad de molduras de estuco. No se puede definir un motivo por el mal estado de conservación de las molduras, pero en su mayoría se tratan de volutas y puntos. Esto indica que en la antigüedad la fachada oeste de la acrópolis palaciega estuvo decorada. Se recuperaron 50 fragmentos de cerámica en este lote.

El Lote CR200-7-2 correspondió al estrato de derrumbe, que consta de barro mezclado con cal, tomando un color café grisáceo. También se encontró una gran cantidad de piedras de

mampostería, provenientes del colapso de los muros de las estructuras 13Q-4O y 13Q-4E. Este estrato se extendió hasta 2 m de profundidad desde la superficie y se recuperaron 121 fragmentos de cerámica.

El Lote CR200-7-3 se definió en el estrato de derrumbe encontrado inmediatamente sobre el piso. Durante las excavaciones de la Temporada 2015 se identificaron varios fragmentos de cerámica que correspondían a vasijas enteras y parciales que habían sido dejadas como ofrenda sobre el piso. Por esta razón se decidió separar este lote. Aunque en campo no se pudo reconocer ninguna vasija parcial o entera fragmentada, si se identificó una mayor densidad de fragmentos de cerámica cerca del piso. En total se recuperaron 80 fragmentos.

La excavación expuso la última fase de la arquitectura de la fachada oeste de la Estructura 13Q-4O. Al igual que en el resto de la estructura, se observó mampostería conformada por bloques de piedra de aproximadamente 0.2 m de lado, trabajados en 5 de sus lados. El muro se eleva hasta 1.30 m sobre el nivel del piso. En la mayoría del muro aún se pudo observar recubrimiento de estuco alisado, sin pintura. Un detalle único de esta sección de la fachada oeste de la Estructura 13Q-4O es la presencia de un cortinero, ubicado a 0.5 m sobre el nivel del piso y a 0.8 m al sur del límite norte de la fachada.



Figura 4.3 Izquierda, detalle de cortinero. Derecha, ubicación de cortinero (Fotografías por E. Bustamante)

El cortinero se encuentra compuesto por un agujero en el muro, de 0.25 m de profundidad y 0.18 m de diámetro. En la parte interior del agujero se encontró un hueso de fauna, posiblemente un fémur de venado, colocado de forma oblicua y paralelo a la pared. Luego se introdujo un cuello de cántaro reutilizado. Esto permitió que el agujero no se colapsara y se pudieran amarrar cortinas

al hueso del interior (Figura 4.3). Cortineros similares fueron descubiertos en la Estructura 13Q-4F, también parte de la acrópolis palaciega, por Lamoureux-St-Hilaire (2013) en la Temporada 2012. A diferencia de los cortineros de la Estructura 13Q-4F, este presentó la peculiaridad de encontrarse en la fachada externa de la estructura. Por lo visto en la Estructura 13Q-4F, también es posible que un segundo cortinero se haya encontrado en la parte superior del muro, ahora destruido por el derrumbe.

La fachada oeste de la Estructura 13Q-4O remata al norte en un muro perpendicular que presenta las mismas técnicas constructivas con mampostería de bloques de piedra. Este muro pudo continuar hasta 1.20 m al oeste, donde se encuentra un árbol de gran tamaño. El muro se eleva hasta 1.5 m sobre el nivel del piso y presentó el vano de una puerta. La jamba este de la puerta se encuentra a 1.20 m desde la esquina noreste de la fachada de 13Q-4O. La apertura del vano es de 1.30 m, donde se encuentran los restos de la jamba oeste. Debido a la presencia del árbol ya antes mencionado, así como a la pendiente del montículo, esta jamba solo quedó evidenciada por 3 piedras *in situ*. Aunque no se tienen las dimensiones totales de este muro, es posible que haya abarcado toda la extensión de la plataforma basal de la estructura, y se haya extendido 4 m al oeste, al igual que la fachada del Cuarto 4, antes descrita.

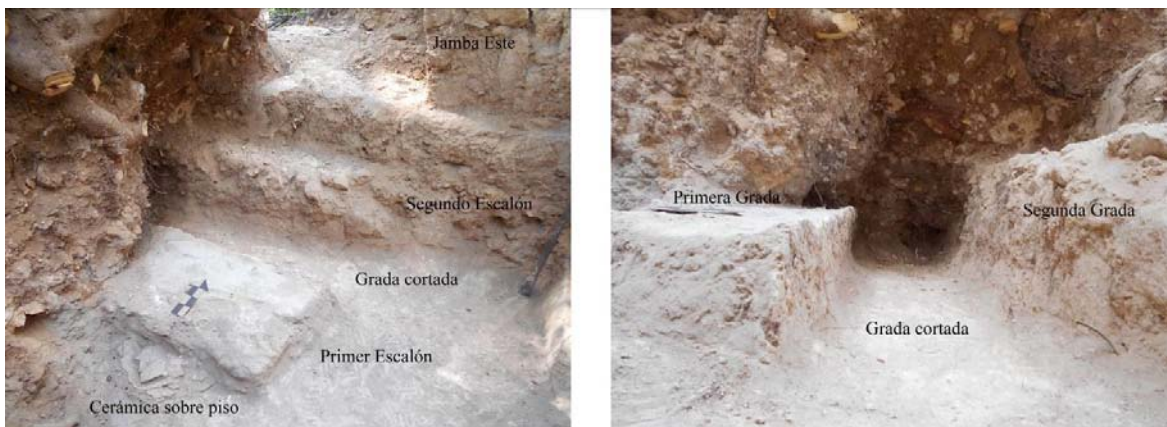


Figura 4.4 Gradadas cortadas para acceder a sección noroeste (Fotografías por E. Bustamante)

A diferencia de los 4 cuartos de la Estructura 13Q-4O previamente identificados, el vano de este muro se encontró a 0.64 m sobre el nivel del piso, a diferencia de los 0.20 m de los otros cuartos. Por lo tanto, para acceder a esta puerta fueron necesarias dos gradas. La grada inferior se encontró 1.26 m al sur del muro y tiene una elevación de 0.15 m sobre el nivel del piso. A 0.78 m al sur del muro, la grada empieza a subir, sin embargo, los bloques de la grada fueron retirados en

la antigüedad. Esto quedó evidenciado por la falta de bloques y porque el recubrimiento de estuco se encuentra cortado de manera concisa. El segundo escalón reaparece a 0.36 m al sur del muro, a una elevación de 0.34 m sobre el nivel del piso. El tercer escalón se encontró conformado por la plataforma de la estructura (Figura 4.4).

Resumen de excavaciones y conclusiones de la Estructura 13Q-40

Las excavaciones llevadas a cabo entre las temporadas 2014 y 2016 (Bustamante 2015; 2016b) expusieron las dimensiones totales de la Estructura 13Q-40 (Figura 4.5). En total esta estructura mide 27.25 m de norte a sur y entre 4.5 y 8.70 m de este a oeste. Se trata de una estructura alargada con cuartos múltiples, ya que en su etapa final se encontró compuesta por 4 cuartos contiguos. De norte a sur, los cuartos 1 al 3 presentan accesos desde su fachada oeste, mientras que el Cuarto 4 difiere presentando acceso desde su fachada norte. Puede ser que originalmente el edificio solo constaba de 3 cuartos (1 a 3) y que el Cuarto 4 fue adherido posteriormente, utilizando el espacio que no permitía la construcción de un cuarto amplio si seguía con la misma orientación norte sur. Las evidencias de esta hipótesis serán presentadas posteriormente en este mismo capítulo.

El acceso a esta sección del palacio era mediante una puerta ubicada al extremo norte de la estructura. Este acceso comunicaba la sección suroeste del palacio con el patio de servicio ubicado al noroeste del grupo palaciego. La presencia de un cortinero en la fachada externa cerca de este punto de acceso indica que el área suroeste del palacio era de uso privado.

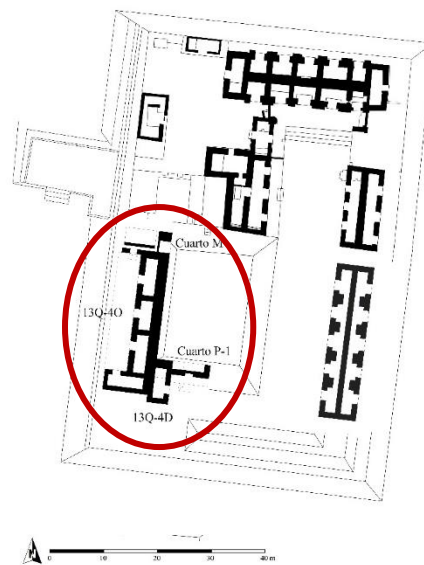


Figura 4.5. Ubicación de la Estructura 13Q-40 en el palacio.
(Dibujo por M. Lamoureux-St-Hilaire y E. Bustamante).

Patio de Servicio, sección Noroeste del Palacio

El Patio de Servicio, o Patio Hundido, fue ampliamente excavado por Lamoureux-St-Hilaire en las temporadas 2014 y 2016 (2015; ver Capítulo 3 de este informe). Inicialmente se pensó que el muro encontrado en la sección norte de la Estructura 13Q-4O era la entrada a un quinto cuarto de la misma estructura, por lo que se le asignó una unidad siguiendo la misma nomenclatura: CR200-8. Sin embargo, las excavaciones revelaron que este no es el caso, ya que se trata de un área de transición entre el Patio Noroeste y la sección suroeste del palacio.

Unidad CR200-8

Esta unidad se definió desde las jambas del muro encontrado en la sección norte de la Estructura 13Q-4O, hasta 3.5 m al norte y 6 m al este. Al cubrir un área de 21 m², la unidad expuso los restos de la arquitectura de esta sección de transición. Por encontrarse al borde del montículo, la sección noroeste de esta área se encontró colapsada, por lo que no se pudo definir el área en esta dirección. Sin embargo, las excavaciones revelaron la utilización de la plataforma basal de la Estructura 13Q-4E para construir distintos cuartos, posiblemente bodegas de almacenamiento. Estas se explicarán posteriormente.

El Lote CR200-8-1 correspondió al estrato de humus y fue excavado en toda la extensión de la unidad. Se expuso la fachada norte de la Estructura 13Q-4O, la cual sirvió como guía para extender la unidad. La profundidad de este lote fue irregular, puesto que se localizó en la pendiente del montículo; en la parte superior tuvo 0.05 m de profundidad, mientras que en la parte inferior, al noroeste, alcanzó los 0.2 m de profundidad. Se recuperaron 70 fragmentos de cerámica.

El Lote CR200-8-2 se definió en el estrato de derrumbe, extendiéndose desde las jambas previamente mencionadas hasta 3.6 m al este y por todo el ancho de la unidad. El estrato estuvo compuesto por una mezcla de barro, cal y piedras de mampostería provenientes del derrumbe de los edificios circundantes. En total se encontraron 822 fragmentos de cerámica en este lote, así como varios fragmentos de hueso de fauna. Se considera que en su mayoría este material pudo provenir de una ofrenda de abandono colocada en la cima de la Estructura 13Q-4E, al sureste, y que por procesos de deposición y derrumbe terminó en esta sección. La excavación de este estrato expuso la arquitectura final de esta área del palacio.

En base a lo observado previamente en la excavación de la fachada oeste de la Estructura 13Q-4O, se contempló que sobre el piso podía encontrarse cerámica colocada como ofrenda de

abandono. Por lo tanto, el material encontrado directamente sobre el piso fue tomado como el Lote CR200-8-3. En total se recuperaron 40 fragmentos de cerámica.

La arquitectura expuesta consistió en la fachada norte de la Estructura 13Q-4O, que sirvió como límite sur de excavación. Esta se extendió desde la fachada oeste de la misma estructura hasta 5.4 m al este, con una orientación de 7° al sur del este. En este punto la fachada norte de la estructura 13Q-4O remata con la fachada oeste del basamento de la Estructura 13Q-4E. Esta intersección de muros es de manera integrada, lo que indica que tanto la Estructura 13Q-4O como el basamento de la estructura 13Q-4E pertenecen a la misma fase constructiva. Sin embargo, a 2.4 m al oeste de la fachada oeste del basamento de 13Q-4E se observó la construcción de un muro adherido, el cual creó un pequeño cuarto que reutilizó los muros preexistentes (Figura 4.6). Este cuarto fue excavado como los lotes CR200-8-4, CR200-8-5 y CR200-8-6, los cuales serán descritos más adelante.

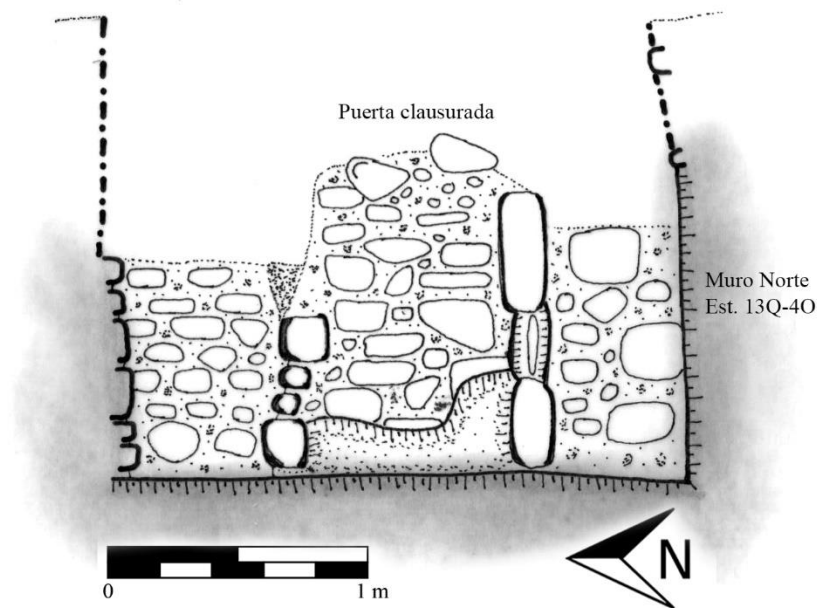


Figura 4.6 Detalle de muro adherido en la Unidad CR20-8. (Dibujo por E. Bustamante)

La excavación de los lotes CR200-8-2 y CR200-8-3 también reveló la existencia de una pequeña plataforma de 0.20 m de alto. Esta se encontró a 0.45 m de la fachada norte de la Estructura 13Q-4O y a 0.9 m al oeste del muro adosado descrito anteriormente (Figura 4.7). Los límites norte y oeste de esta plataforma son desconocidos, puesto que se destruyó por encontrarse en la pendiente del montículo. El límite sur de la plataforma presenta un muro conservado hasta 0.5 m de altura, el

cual se encuentra ubicado directamente frente al vano del acceso que comunica esta sección con la sección suroeste del palacio. Esto creó un corredor estrecho para acceder a esta última sección.

Como se mencionó anteriormente, se encontró un pequeño cuarto en la intersección de la fachada norte de 13Q-4O y la fachada oeste de 13Q-4E. Por ello se decidió separar los lotes CR200-8-4 y CR2008--5. Como se hizo en las secciones previas, se separó el material directamente sobre el piso. Estos lotes se estuvieron conformados por material de relleno: piedras irregulares sin trabajar mezcladas con barro y cal. A diferencia de lo previamente excavado, aquí no se encontró derrumbe, lo que indica que este pequeño cuarto fue relleno por acción humana. El Lote CR200-8-4 presentó 70 fragmentos de cerámica, mientras que el Lote CR200-8-5 contó con 115 fragmentos de cerámica sobre el piso.

La excavación de estos lotes expuso un cuarto de 2.4 m en su extensión este oeste y 2.2 m en su extensión norte-sur. Originalmente presentó un acceso desde su fachada oeste, el cual fue tapiado para sellar el cuarto. El vano original del cuarto fue de 0.8 m de longitud y la fachada oeste de este cuarto estuvo compuesta por un muro de 0.50 m de grosor. El límite sur se encontró compuesto por la fachada norte de 13Q-4O; el muro este corresponde a la fachada este de 13Q-4E, mientras que el muro norte corresponde a una estructura previamente desconocida que será tratada posteriormente.

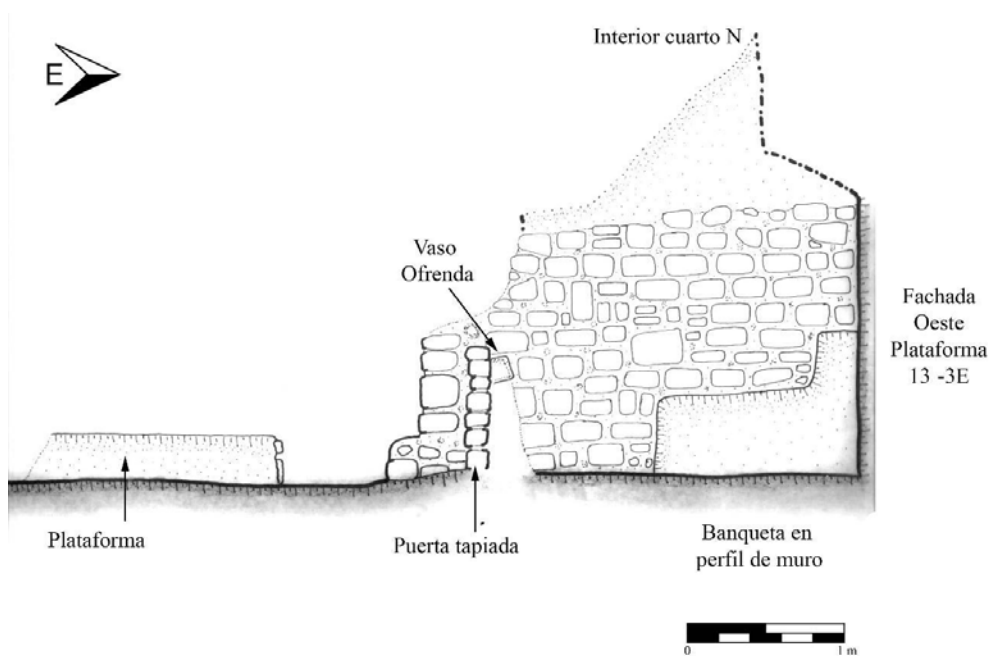


Figura 4.7 Perfil E-O de la Unidad CR200-8, mostrando la plataforma, fachada oeste del Cuarto Norte y muro interno del mismo cuarto. Ver detalle de banca dentro de perfil (Dibujo por E. Bustamante)

La limpieza del muro oeste permitió reconocer que la jamba sur, en su sección interna, presenta una cortinera. Esta se compone por un agujero en la mampostería del muro de 0.20 m de diámetro y 0.18 cm de profundidad. En el interior del agujero se encontró un hueso de fauna, posiblemente un fémur de venado. Posteriormente se colocó el cuello de una vasija para evitar que el agujero colapsara. Esta cortinera se ubicó a 0.5 m sobre el nivel del piso. Aunque la jamba norte no presentó cortinera, se encontró un vaso de paredes rectas colocado boca abajo y contra la jamba, a manera de ofrenda. Este se encontró a 0.7 m sobre el nivel del piso, por lo que se considera que el cuarto se empezó a rellenar antes de que se colocara la ofrenda (Figura 4.7). Por la presencia del vaso depositado, se pensó que se podía encontrar una ofrenda más grande bajo el piso del cuarto; por lo que se continuó la excavación bajo del piso hasta 0.6 m. El Lote CR200-8-6 correspondió al material de nivelación del piso y estuvo compuesto de piedras pequeñas, de menos de 0.15 m de diámetro, mezcladas con cal. No se recuperó material.

Como se mencionó anteriormente, el muro interno norte de este cuarto se encuentra conformado por una estructura previamente desconocida. Esto se evidenció porque el muro norte presentó el perfil de una banca integrada como parte del muro (Figura 4.8). Ha de mencionarse que en todos los muros internos de este cuarto no se observaron rastros de recubrimiento de estuco, a excepción de esta banca que presenta un repello de alta calidad.

Por la presencia de esta banca se decidió romper el muro y excavar esta nueva estructura. Puesto que esto fue realizado a pocos días del cierre de la temporada de campo, se decidió hacer la excavación a manera de túnel, siguiendo el respaldo de la banca para definir su ancho.

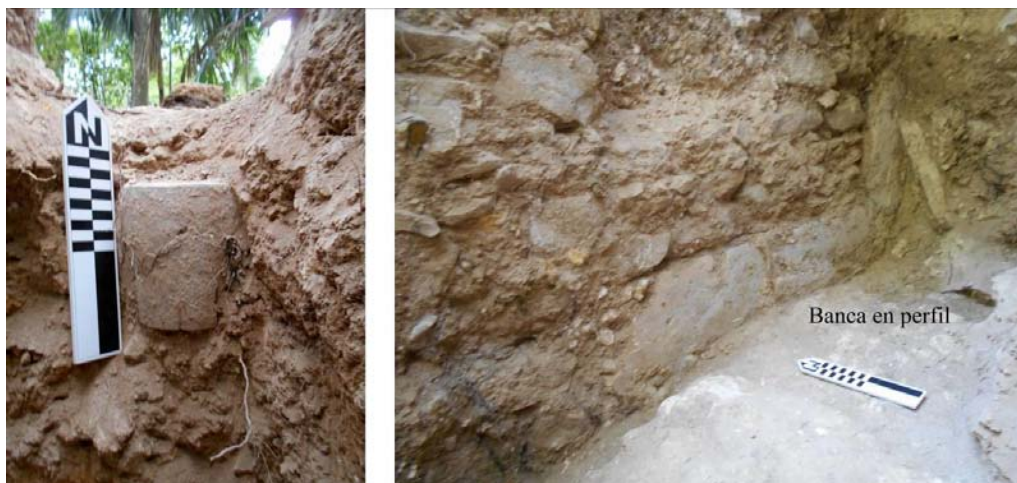


Figura 4.8 Detalles del interior de Cuarto Norte. Izquierda: vaso encontrado como ofrenda. Derecha: detalle de banca en muro (Fotografías por E. Bustamante)



Figura 4.9. Banca del Cuarto Norte tras excavación (Fotografías por E. Bustamante)

El túnel excavó a través del relleno, descubriendo la totalidad de la banca, la cual midió 2.69 m de largo. Contaba con un respaldo de 0.3 m de grosor, que se eleva hasta 0.9 m de alto, y un asiento de 1 m de grosor y 0.52 m de alto (Figura 4.9). La banca presentó un recubrimiento de estuco de gran calidad y aún se pudo observar pigmento rojo en pequeñas secciones del estuco. No se excavó el cuarto por completo por falta de tiempo, pero se continuará en la próxima temporada.

A 0.7 m al norte del muro norte del pequeño cuarto se realizó una extensión en el túnel hacia el oeste, buscando el muro frontal. Esta pequeña extensión expuso un cortinero similar al descubierto en la jamba sur del cuarto, previamente descrito. Esto parece indicar que originalmente éste se trataba de un solo cuarto, que luego fue sellado parcialmente, dejando solo la sección sur como una pequeña bodega. Para ello se redujo el vano de la puerta, y es por esto que solo se encontró un cortinero en las jambas.

Resumen de excavaciones y conclusiones de la Unidad CR200-8

Originalmente la sección suroeste del palacio fue construida en un solo evento, que incluyó la plataforma de la Estructura 13Q-4E y los 3 cuartos originales de la Estructura 13Q-4O. En su sección noroeste, la plataforma de 13Q-4E incluyó la construcción de al menos 1 cuarto, designado como Cuarto Norte. La presencia de una banca y un recubrimiento de estuco fino indican que este cuarto pudo tener una función residencial, seguramente asociada a las actividades llevadas a cabo en la sección suroeste del palacio. Sin embargo, tras el abandono de la sección suroeste del palacio,

el Cuarto Norte cayó en desuso y cambió de función. La mayor parte del cuarto fue sellada, dejando la sección sur como un pequeño cuarto de servicio o almacenamiento. La pérdida de importancia sufrida por esta sección está evidenciada por la falta de un recubrimiento de estuco de calidad, lo que indica que esta bóveda se mantuvo en uso, pero ya no recibió cuidado alguno. Tras el abandono de la sección suroeste también se construyó una pequeña plataforma y un muro paralelo al acceso a esta área. La construcción de estos rasgos dificulta el paso libre entre las secciones noroeste y suroeste del palacio, sin embargo, no lo obstruye. Como se ha identificado en excavaciones anteriores (Bustamante 2015; 2016b), la sección suroeste del palacio presentó procesos de abandono previos al abandono final del palacio. La construcción del muro que limita el acceso a esta área es consistente con los datos que indican el abandono; sin embargo, se dejó un pequeño paso para efectuar actividades como la limpieza. Hacia la última fase del palacio, Lamoureux-St-Hilaire ha identificado que el área noroeste del palacio fue reutilizada como un basurero primario (ver Capítulo 3 en este volumen) por lo cual la pequeña bodega del Cuarto Norte quedó en desuso y se canceló esta sección del cuarto.

Excavaciones en la sección sur del palacio: Operaciones CR20E y CR20D.

Como se mencionó anteriormente, uno de los objetivos de las excavaciones de esta temporada de campo era investigar la articulación y relación de la sección suroeste del palacio con sus áreas circundantes. Al considerarse que el Cuarto 4 de la Estructura 13Q-4O fue una adición posterior a la construcción de esta estructura, se decidió investigar el Patio Sur de la acrópolis palaciega para saber si este presentó comunicación con el área suroeste.

Unidad CR20D-6

Esta unidad fue trazada originalmente como un pozo de 3.5 m (norte-sur) x 2 m (este-oeste), ubicado en la fachada este del Cuarto 4 de la Estructura 13Q-4O. Puesto que se encontraba sobre la fachada oeste de esta estructura, originalmente la unidad fue designada como CR20O-6; sin embargo, se hizo evidente durante la excavación que esta área no se encontraba relacionada con la Estructura 13Q-4O sino con la estructura 13Q4-D, por lo que se hizo el cambio de operación, pero no se cambió el número de unidad. El pozo fue trazado con una orientación de 7° al este del norte, siguiendo la orientación de la arquitectura. La unidad sufrió varias extensiones hasta llegar al

tamaño de 5.75 m de longitud norte-sur y 3 m de longitud este-oeste, cubriendo toda la extensión interna de la Estructura 13Q-4D.

El Lote CR2OD-6-1 correspondió al estrato de humus, de 0.15 m de profundidad. Este estrato presentó 110 fragmentos de cerámica, posiblemente provenientes del derrumbe de la Estructura 13Q-4E, ubicada al norte y sobre la ladera del montículo.

El Lote CR2OD-6-2 se definió como el estrato de derrumbe encontrado dentro del único cuarto de la Estructura 13Q-4D. Este se compuso de una mezcla de barro, cal y piedras de relleno. El lote expuso la arquitectura del interior de la estructura, alcanzando una profundidad de 3.7 m bajo el nivel de la superficie y exponiendo el 75% de las dimensiones totales del cuarto. A pesar de su gran profundidad, se encontró poco material en este estrato, solo hallándose 37 fragmentos de cerámica.

Finalmente, el Lote CR2OD-6-3 correspondió al material encontrado directamente sobre el piso, que totalizó 18 fragmentos de cerámica.

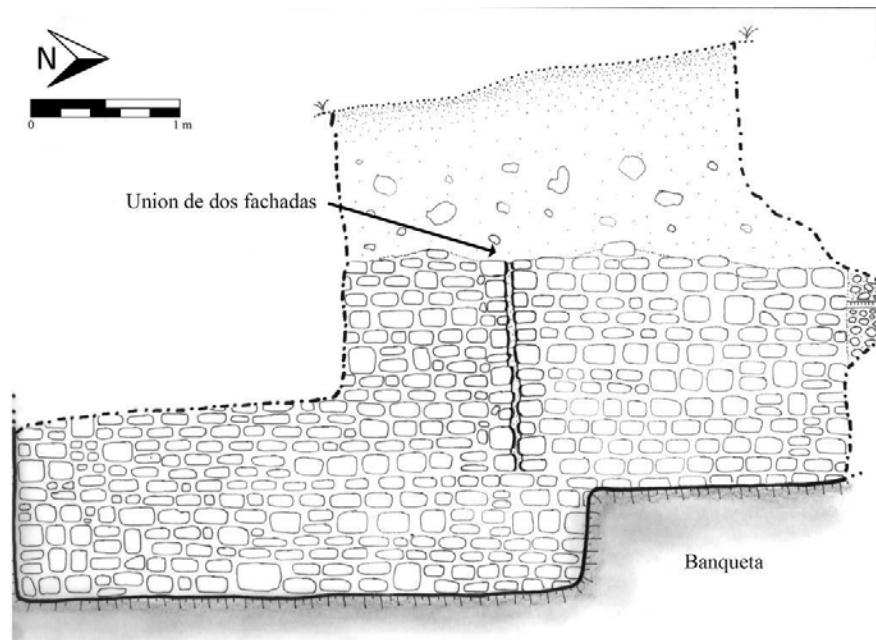


Figura 4.10. Perfil oeste y muro interno de la Estructura 13Q-3D (Dibujo por E. Bustamante)

Tras la excavación de los lotes CR20D-6-2 y CR20D-6-3, se expuso el 75% de la arquitectura del cuarto. Se expusieron los muros internos este y oeste, y el muro interno norte se encontró destruido casi en su totalidad por el derrumbe, pero quedó evidenciado por la presencia del estrato de relleno de la plataforma de la Estructura 13Q-4E. El área excavada del cuarto reveló

una banca de grandes dimensiones: 1.85 m (norte-sur) x 2.10 m (este-oeste), ubicada en el extremo norte del cuarto. También se encontró la jamba norte de la puerta del cuarto, que se abre hacia el este, comunicándose con el Patio Sur de la acrópolis palaciega.

Por la gran profundidad de esta unidad, se decidió que la sección sur de este cuarto sería excavada mediante un túnel de 1.5 m de alto y 1 m de ancho. Este túnel fue designado como el Lote CR2OD-6-4. El túnel se extendió por 2.5 m al sur hasta topár con el muro interno sur del cuarto y luego cruzó al este, siguiendo por 2 m hasta topár con el muro interno oeste; luego buscó la jamba sur de la puerta del cuarto. Al encontrarse ésta se observó que el vano de la puerta es de 1.8 m de ancho.

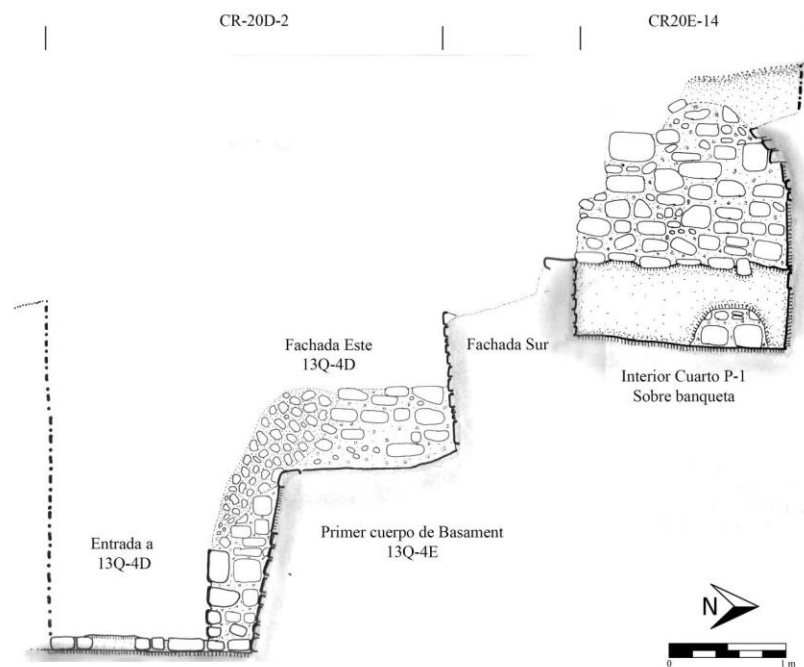


Figura 4.11: Perfil oeste de unidades CR20D-2 y CR20E-14. Se muestra la entrada al cuarto de la Estructura 13Q-4D, basamento de la Estructura 13Q-4E y Cuarto P-1. (Dibujo por E. Bustamante)

Resumen de excavaciones y conclusiones de la Unidad CR2OD-6

La excavación de esta unidad reveló la existencia de un cuarto construido contra la fachada este de la Estructura 13Q-4O. Sin embargo, se considera que no forma parte de la Estructura 13Q-4O, puesto que se encuentra 1.5 m más abajo que esta estructura; por lo cual fue designada como Estructura 13Q-4D. Continuando las excavaciones de esta nueva estructura, se observó que el muro norte de este cuarto consiste en la fachada sur del basamento de la Estructura 13Q-4E. Esto indicaría que la Estructura 13Q-4D fue construida posteriormente a las estructuras 13Q-4E y 13Q-

4O. Al reutilizarse las fachadas de dos estructuras preexistentes, solo fue necesario la construcción de los muros sur y este, lo que supondría una construcción de bajo costo. Una inspección más detallada de la fachada este de la Estructura 13Q-4O, o muro interno oeste de la Estructura 13Q-4D, reveló que existe una unión de dos muros en el área que une los cuartos 3 y 4 de la Estructura 13Q-4O (Figura 4.10). Esto evidencia que el Cuarto 4 de esta última fue una adición posterior, posiblemente durante el mismo evento constructivo de la Estructura 13Q-4D.

Unidades CR20D-2 y CR20D-3

La Unidad CR20D-2 fue trazada al este de la Estructura 13Q-4D siguiendo su fachada este, partiendo desde la puerta hacia el norte. Sus dimensiones fueron de 1 m (este-oeste) x 3.5 m (norte-sur), aunque las excavaciones hicieron necesaria su continuación por medio de un túnel que partió desde el perfil este de la Unidad CR20D-2, el cual fue denominado como Unidad CR20D-3.

El Lote CR20D-2-1 correspondió al estrato de humus, pero no se encontró material. El Lote CR20D-2-2 abarcó el derrumbe que se encontró en las afueras de la estructura 13Q-4D, el cual se compuso por una mezcla de barro, cal y piedras de mampostería colapsadas. La excavación de este lote expuso la arquitectura, que incluye la fachada este de la Estructura 13Q-4D, así como el primer cuerpo de la plataforma de 13Q-4E (Figura 4.11). También se observó que el piso del Paito Sur del palacio se encuentra 0.1 m más abajo que el piso interior de la Estructura 13Q-4D.



Figura 4.12. Cilindro de piedra encontrado al pie de basamento de Estructura 13Q-4E (Fotografía por E. Bustamante)

En la sección norte de la unidad se encontró el primer cuerpo de la fachada sur de la plataforma basal de la Estructura 13Q-4E. Este se eleva 1.6 m sobre el nivel de piso y tiene un descanso de 1.58 m de ancho. La unidad se concluyó cuando se encontró el muro externo de lo que parece un cuarto construido sobre la plataforma.

El Lote CR2OD-2-3 se definió al este de la puerta de la Estructura 13Q-4D y al sur de la fachada sur del basamento de la Estructura 13Q-4E. Allí se encontró asentado sobre el piso del Patio Sur del palacio, un cilindro de piedra de 0.45 m de diámetro y 0.75 m de largo, con un peso aproximado de 300 libras. Dadas las dimensiones y el peso de este cilindro, y el hecho que el piso a su alrededor no se encontrara dañado, se considera que fue encontrado en su posición *in situ*. Sin embargo, es posible que originalmente se encontrara en una posición vertical y tras el derrumbe de las estructuras circundantes, haya caído de lado. Por su peso y el hecho que el cilindro no presentara signos de talle, se decidió solo moverlo dentro de la unidad y no sacarlo (Figura 4.12).

La presencia de este cilindro al pie del basamento de la Estructura 13Q-4E hizo necesaria la excavación de este cuerpo para buscar otros rasgos. Para ello se empezó la excavación de un túnel de 1 m de ancho y 1.2 m de alto que siguiera esta fachada hacia el este. El Lote CR2OD-3-1 correspondió al primer metro de excavación de este túnel y no se encontró material. El segundo lote (CR2OD-3-2) avanzó otro metro, encontrando unas gradas que suben de forma lateral hacia la cima del primer cuerpo del basamento de la Estructura 13Q-4E. Estas gradas midieron 1 m de ancho y se encontraron 142 fragmentos de cerámica distribuidos en este lote. El Lote CR2OD-3-3 expuso parte de las gradas, las cuales se componen por 5 escalones. La contra huella de estos escalones es de 0.3 m, mientras que la huella varía entre los 0.3 y 0.4 m. Solamente el escalón 4 presentó una huella más grande, puesto que es la cima de la escalinata; se expuso 1.2 m de este escalón, aunque no se expuso toda la escalinata. El quinto escalón se trata de la plataforma del basamento de la Estructura 13Q-4-E. En este lote se hallaron 122 fragmentos de cerámica.

Unidad CR20E-14

La Unidad CR20E-14 se ubicó en el límite norte de la Unidad CR20D-2. Su objetivo fue seguir la arquitectura expuesta en esta última, por lo que fue excavada en secciones, alcanzando dimensiones totales de 6 m de largo (este-oeste) x 1.8 m de ancho (norte-sur). Puesto que se encontraba sobre la plataforma de la Estructura 13Q-4E, se decidió que esta excavación sería parte de la Operación CR20E.

El Lote CR2OE-14-1 consistió del estrato de humus, con una profundidad máxima de 0.15 m bajo el nivel de la superficie. Este estrato presentó 115 fragmentos de cerámica.

El Lote CR2OE-14-2 correspondió al material de derrumbe, consistente de barro, cal y piedra de mampostería colapsada de un techo abovedado. Este lote expuso la arquitectura de un cuarto construido sobre el primer cuerpo del basamento de la Estructura 13Q-4E (Figura 4.13). Este fue denominado como Cuarto P-1, y se considera que, por sus dimensiones y su posición, existe un segundo cuarto ubicado inmediatamente al este. Sin embargo, por limitaciones de tiempo no se excavó.

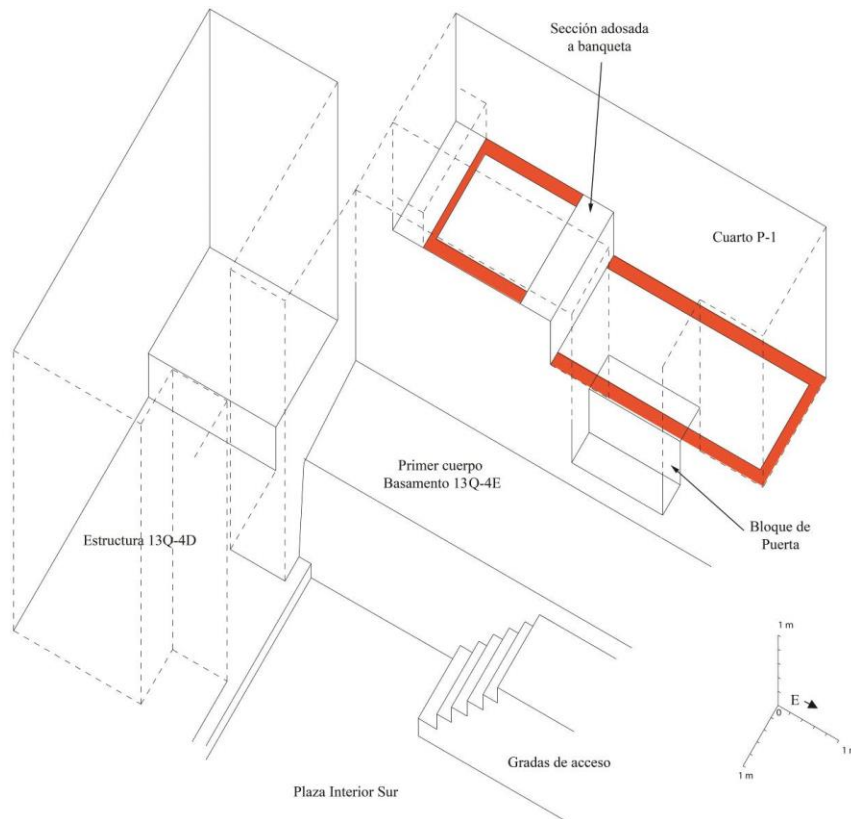


Figura 4.13. Reconstrucción idealizada de Estructura 13Q-4D y Cuarto P-1 (Dibujo por E. Bustamante)

El cuarto midió 6 x 1.8 m, y su sección oeste presentó una banca de grandes dimensiones: 2.6 de largo, 1.8 m de ancho y 0.6 m de alto en su versión final. La banca contaba con un revestimiento de estuco de buena calidad y originalmente debió de tener respaldo. Sin embargo, al momento de su excavación se observó que este respaldo había sido removido, quedando una sección de 0.45 x 1.8 m sin estuco. Además, la remodelación de la banca incluyó un agregado de 0.65 x 1.8 m en su parte frontal (lado este). El piso del cuarto presentó evidencia de que estuvo pintado en su periferia, ya que se expuso una línea de 0.1 m de grosor, de color naranja/rojo, que

se extiende por todo el rededor del cuarto. Esta línea se extiende bajo la sección adosada de la banca y sube por la contrahuella original, avanzando por todo el borde de la banca hasta la sección del respaldo. El cruce de esta línea en el área del respaldo coincide con el borde del área faltante de estuco, lo que reafirma que originalmente hubo un respaldo. El acceso a este cuarto es mediante una puerta ubicada en su fachada sur, a 1.10 m del muro interno este y a 3.45 m del muro interno oeste, dejando un vano de 1.45 m. La posición de esta puerta coincide con las gradas laterales encontradas en la Unidad CR20D-3. Es de notar que la puerta presentó un pequeño muro de 0.55 m de altura, que dificulta la entrada al cuarto, pero no la obstruye. Este pequeño muro tuvo un recubrimiento de estuco, lo que indicaría que estuvo en uso antes del abandono del palacio.

El Lote CR20E-14-3 corresponde al material recuperado sobre la superficie de la banca. Este material fue separado, puesto que se considera que se halló *in situ*, además de tratarse de material poco usual. Se encontró una tableta de cerámica de 0.2 x 0.1 x 0.04 m, la cual es totalmente plana y de forma rectangular con ángulos curvos. Junto a ella se encontraron 21 fragmentos más de tabletas similares, así como la mitad de una orejera de concha y un fragmento de concha (Figura 4.14)



Figura 4.14. Materiales varios encontrados en el cuarto P-1. Superior izquierda: tableta de cerámica. Superior Derecha: fragmento de orejera de concha. Inferior: cuenta de obsidiana verde (Fotografías por E. Bustamante)

El Lote CR20E-14-4 corresponde al material encontrado sobre el piso del cuarto. Este se trata de 7 bloques de piedra caliza, de buena calidad y de tamaños variados que oscilan entre 0.6 y 0.3 m de largo, entre 0.2 y 0.3 m de ancho y 0.15 y 0.20 m de grosor. También se localizaron otros dos cilindros de piedra, similares al encontrado en la Unidad CR20D-2, pero de menor peso. Todos

los bloques de piedra presentan tamaños y formas similares a los paneles jeroglíficos encontrados en La Corona, sin embargo, ninguno de estos bloques presenta signos de haber sido tallado. Los bloques y los cilindros se encontraban acostados sobre el piso frente a la entrada del cuarto (Figura 4.15). Uno de los cilindros se encontró incrustado en un corte en el piso. Se considera que se trata de un corte en el piso y no que el peso del cilindro haya roto el piso, ya que no se encontraron fragmentos de estuco dañados.



Figura 4.15. Vista del Cuarto P-1. Se muestra banca, ubicación de bloques y cilindros de piedra y corte en el piso (Fotografía por M. Lamoureux-St-Hilaire, modificada por E. Bustamante)

El Lote CR20E-14-5 consistió en la excavación del corte en el piso del Cuarto P-1. Este corte presentó material suelto con gran cantidad de arena y piedras pequeñas. Por su soltura y la carencia de piedras grandes, se considera que se trata de material de relleno y no de material de derrumbe que cayó dentro del corte. El corte se profundizó hasta 1.10 m bajo el piso, donde se encontró el entierro de un individuo (Figura 4.16). La excavación de este entierro estuvo a cargo de Alejandro González. El individuo se encontró en posición supina con la cabeza al este y pies al oeste. Este sigue una orientación de 7° al sur del este, la cual coincide con la orientación de la arquitectura dentro del palacio. Aunque el análisis osteológico está pendiente, las observaciones de González sugieren que este individuo se encontró amortajado, colocando los brazos al costado. Se encontró un plato de paredes altas tipo Infierno Negro no determinado (C. Parris, comunicación personal) sobre el rostro del individuo. Los huesos se encontraron en posición anatómica por lo que se trata de un entierro primario.

Finalmente, el Lote CR20E-14-6 consistió en un pequeño corte sobre el centro de la banca, el cual se excavó hasta una profundidad de 0.60 m (Figura 4.17). No se encontró piso, por lo que se considera que la banca fue construida originalmente junto al cuarto. Solo se halló una pequeña cuenta de obsidiana verde dentro del relleno de esta banca (Figura 4.14).

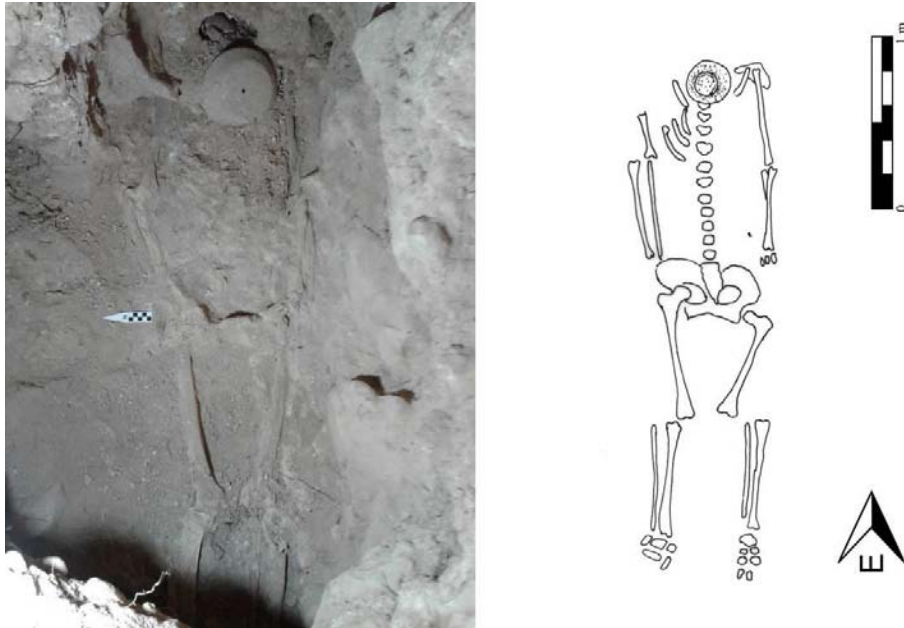


Figura 4.16. Entierro encontrado en corte de piso de Cuarto P-1 (Fotografía por E. Bustamante, Dibujo por A. González)



Figura 4.17. Detalle de banca de Cuarto P-1. Se muestra sección adosada y franjas de color rojo pintadas alrededor del cuarto (Fotografía por E. Bustamante)

Conclusiones Generales

La sección sur del palacio, al igual que el resto de la acrópolis palaciega, experimentó un rápido crecimiento durante la fase Halcón (c.a 600-830 d.C.), asociada con el gobierno de *Kinich? Yook*. Previamente documentado (Lamoureux St-Hilaire y Bustamante 2016), este crecimiento rápido de La Corona se vio influenciado por sus conexiones políticas con la dinastía *K'aanul*. La epigrafía menciona una gran cantidad de visitas recíprocas entre los gobernantes de ambos sitios (Barrientos *et al* 2016), lo que dio como resultado que el palacio de La Corona necesitara modificaciones que permitieran el adecuado albergue de los visitantes del Reino *K'aanul*. Excavaciones recientes en la sección suroeste del palacio han revelado un espacio con las características necesarias para dicha función.

Durante la fase Halcón la sección suroeste del palacio sufrió un cambio de función. Puesto que en las fases Coccochan y Colibrí se observa una función de servicio y almacenamiento, en la fase Halcón se observan cuartos de habitación y de actividades de élite (Bustamante 2015, 2016a; Lamoureux St-Hilaire y Bustamante 2016).

Hacia el oeste, y con vista a la sección posterior del palacio, se construyó una estructura alargada de cuartos múltiples, denominada como Estructura 13Q-4O (Bustamante 2015, 2016b). Este edificio presenta 4 cuartos, dispuestos en un eje norte-sur. Empezando con el cuarto más al norte, los primeros tres cuartos tienen acceso desde la fachada oeste; mientras que el Cuarto 4, ubicado en el extremo sur, presenta una pequeña saliente hacia el oeste, con acceso desde su fachada norte. Esta saliente es una solución arquitectónica para dos problemas: 1) mejor utilización de espacio, puesto que el Cuarto 4 presenta las menores dimensiones de todos los cuartos; y 2) bloquear el acceso a esta sección del palacio desde la fachada sur. De forma similar, en el límite norte se observa la construcción formal de un muro y una puerta que corta el acceso desde la sección noroeste del palacio.

Arquitectónicamente hablando, la Estructura 13Q-4O no presenta rasgos arquitectónicos asociados con la estancia de élites, ya que todos los espacios son simples recamaras. Solamente el Cuarto 1 presenta un nicho en su muro interno norte (Bustamante 2016). Sin embargo, lo que es de notarse es que presenta uno de los ejemplos de mampostería de mejor calidad en todo el sitio: Muros gruesos de 1 m de ancho, contruidos con bloques de piedra caliza de alta calidad y repellidos con estuco. También se debe mencionar que, a pesar de haber varios indicios que el palacio en sus últimas fases presentó techos abovedados, es en esta sección donde se tienen los

indicios de mejores técnicas constructivas para este tipo de techos. Las excavaciones han encontrado aquí una gran cantidad de piedras de laja, que sirvieron como ápices para este tipo de techo, con el tamaño adecuado y la mejor calidad de piedra (*Ibíd.*).

Por su parte, la sección sur del palacio presenta durante la fase Halcón, la construcción de al menos 3 habitaciones (aunque esta sección del palacio aún se encuentra en proceso de excavación). En la parte posterior de la sección sur de la Estructura 13Q-4O se construyó un cuarto de grandes dimensiones, denominado como Estructura 13Q-4D. Aunque ambas estructuras comparten el mismo muro intermediario, se toman con estructuras distintas puesto que no presentan conexión de tráfico entre ambas, muestran funcionalidades distintas y las alturas relativas entre ambas estructuras es muy distinta: el cuarto de 13Q-4D se encuentra 1.5 m más abajo que los cuartos de 13Q-4O (*Ibíd.*). Este cuarto fue construido utilizando como delimitantes la plataforma de la Estructura 13Q-4O al oeste y la plataforma de la Estructura 13Q-4E al norte. También presenta una gran banca en su sección interna norte y su acceso es desde su fachada este, conectando con el Patio Sur del palacio. A diferencia de lo observado en la Estructura 13Q-4O, aquí la arquitectura muestra mampostería de menor calidad, con piedras pequeñas y ninguna cobertura de estuco.

Finalmente, dado que el Patio Sur del palacio se encuentra delimitado al norte por el basamento de la Estructura 13Q-4E, durante la fase Halcón se utilizaron los cuerpos de dicho basamento para construir dos cuartos adicionales en esta plaza, a manera de un mejor aprovechamiento de espacio. Estos se han definido como parte de la Estructura 13Q-4P. Merece la pena mencionar que hasta el momento solo se ha excavado un cuarto, pero todas las evidencias indican que se tratan de dos cuartos dispuestos en un eje este-oeste, construidos sobre el primer cuerpo del basamento de 13Q-4E. Al situarse sobre el basamento, estos cuartos se encuentran 1.75 m por encima del nivel del Patio Sur del palacio, lo cual les otorga un lugar de importancia dentro de este espacio. A estos cuartos se accede mediante una escalinata, de escalones laterales, que se encuentra en la fachada sur del basamento. Como se mencionó anteriormente, solo se ha excavado hasta el momento uno de estos cuartos, ubicado al oeste y que se ha denominado como 13Q-4P-1. En su interior se expuso una banca de gran tamaño, la cual mostró indicios de haber tenido una remodelación, puesto que se le agregaron 0.4 m al frente para hacerla más grande. El cuarto también presentó pintura roja en el piso, en forma de una banda de 0.10 m de ancho que recorre toda la orilla del cuarto; inclusive subiendo por la contra huella de la banca y llegando hasta la base del

respaldo de la misma. Durante la remodelación de la banca, el segmento agregado no presentó esta característica banda roja. Aunque el Cuarto 13Q-4P-2 no ha sido excavado, se considera que puede tratarse de un cuarto similar o idéntico al Cuarto 13Q-4P-1.

Proceso de abandono de la sección sur del palacio

Tras la derrota de las fuerzas de Calakmul por parte de Tikal a finales del siglo VII d.C., el Elemento 33 de La Corona menciona la llegada de *Yuknoom Yich'aak K'ahk'* (Stuart 2012); sin embargo, en las décadas siguientes, se observa una disminución de la hegemonía de Calakmul sobre La Corona y el resto de las Tierras Bajas. Como consecuencia, las secciones sur y suroeste del palacio, que mantuvieron una función residencial para visitantes y actividades relacionadas, cayeron en desuso y fueron abandonadas. Durante la fase Tucán (ca. 700 d.C.), la parte norte fue modificada para las nuevas necesidades palaciegas (ver Lamoreux-St-Hilaire, este volumen), mientras que las secciones sur y oeste recibieron otro trato y fueron clausuradas.

En lo referente a la sección suroeste, la Estructura 13Q-4O fue clausurada mediante la construcción de un muro frente a su acceso desde el Patio Hundido, ubicado en la sección noroeste del palacio. Este muro, aunque bloquea el tránsito y la visibilidad, no bloqueó del todo el acceso, solo dificultando el paso.

Paralelamente se colocaron dos ofrendas en los dos cuartos centrales de la estructura. En ambos casos se cortaron agujeros en el piso de los cuartos, frente a la puerta. En el Cuarto 2 se colocó el entierro de un felino (Bustamante 2016), posiblemente un jaguar joven que muestra señales de cautiverio y colocado en posición sedente. Con excepción de la mandíbula inferior, que fue desencajada para retirar los colmillos del animal y luego dejada en el área ventral, el resto de los huesos se encontraban en su lugar anatómico. El Cuarto 3, por su parte, presentó el entierro de un joven adulto (Bustamante 2015), de sexo masculino, colocado en posición supina. A este entierro lo acompañó un plato Máquina Café variedad Indeterminada colocado boca abajo sobre el rostro del individuo, y un plato Saxche-Palmar Naranja Polícromo variedad Indeterminada colocado sobre la mano derecha del individuo (Parris 2015). En ambos casos los entierros siguieron una orientación de 7° este del norte (la misma observada en todo el palacio) y con la cabeza hacia el norte. Ningún piso presentó evidencia de re-estucado, lo que indicaría que estas ofrendas fueron puestas hacia el final del uso de la estructura.

El segundo proceso de abandono de la sección suroeste del palacio fue el desmantelamiento sistemático de los techos abovedados. Esta actividad quedó plasmada en el registro arqueológico, puesto que durante las excavaciones se encontró una gran cantidad de piedras laja, que sirvieron como ápices del techo abovedado, puestas una sobre otras o recostadas de manera vertical sobre el muro interno de los cuartos. Finalmente, las excavaciones arqueológicas también notaron la presencia de grandes cantidades de estuco en el material excavado, lo que le dio gran dureza. Esto también apunta a que no se trata de un colapso de mampostería sino el relleno de una estructura (Bustamante 2016).

Por su parte, en la sección sur del palacio se observa un desuso de las habitaciones de élite, pero parece que fueron conservadas como una especie de santuario. El Cuarto 13Q-4P-1, durante la fase Tucán, presenta la construcción de un muro de 0.4 m de altura en la puerta. Este pequeño muro dificultaría el acceso al cuarto, por lo que ya no sería utilizado de forma constante, pero permitiría la observación de su interior sin ninguna dificultad. El respaldo de la banca fue desmantelado, lo que sugiere que originalmente esta banca pudo presentar bloques jeroglíficos en su respaldo, aunque esto es solo una hipótesis.

De forma similar a lo observado en los cuartos 2 y 3 de la Estructura 13Q-4O, aquí también se cortó el piso frente a la puerta, con el objetivo de introducir el entierro/ofrenda de un individuo posiblemente masculino. Este se colocó en un eje este-oeste, en posición supina con la cabeza al norte. Sobre su rostro se encontró un cuenco de engobe café (pendiente de análisis cerámico). Al igual que los entierros antes mencionados, este fue cubierto con tierra, pero no incluyó un proceso de re-estucado, indicando así que el cuarto ya no fue usado más. Finalmente se colocaron 7 bloques y 2 cilindros de piedra caliza de alta calidad sobre el piso. Estos fueron alineados en 3 filas en un eje este-oeste. Los bloques midieron en promedio 0.40 x 0.60 m y 0.25 m de ancho, similar en tamaño a los bloques jeroglíficos encontrados en otros contextos de La Corona. También son de caliza de alta calidad, piedra reservada para la elaboración de bloques jeroglíficos. Sin embargo, ninguno de estos bloques presentó trazos de talle, lo que podría indicar que se trata de bloques que jamás fueron esculpidos. Finalmente, de manera similar a los bloques depositados sobre el piso del cuarto, sobre la banca se encontraron al menos 5 tabletas de cerámica de 0.20 x 0.15 m en promedio. Estas tabletas posiblemente sirvieron como respaldo para escribanos.

En ambos casos, los bloques de piedra, como las tabletas de cerámica, pudieron relacionarse a actividades asociadas con la elaboración de bloques jeroglíficos para el reino *K'aanul*. Es posible

que tras la pérdida de control del reino *K'aanul* sobre las tierras bajas centrales, estas actividades hayan caído en desuso, puesto que ya no se tallaron bloques para exaltar a los reyes *K'aanul*. Pero a manera de respeto, se guardaron las secciones asociadas con la dinastía *K'aanul* y este cuarto pasó a ser una especie de santuario.

CAPÍTULO V

OPERACIÓN CR33: EXCAVACIONES EN LA ESTRUCTURA 13Q-3, TEMPORADA 2016

Borislava Simova y Marissa López

Introducción

La Estructura 13Q-3 es una estructura alargada de cuartos múltiples, que mide 72 m de largo y 3.7 m de alto, la cual forma el límite sur de la Plaza Principal de La Corona (Desailly-Chanson 2012). Desailly-Chanson (2010, 2011, 2012) llevó a cabo investigaciones en esta estructura, exponiendo los remanentes de una escalinata jeroglífica central y una tumba. Durante la Temporada 2016, se reabrió y expandió la Operación CR33A con el objetivo de proveer un mejor entendimiento del desarrollo de la historia constructiva de este edificio, así como sus componentes arquitectónicos. Se inició la excavación de una trinchera profunda para confirmar la presencia de una subestructura del Clásico Temprano. Las excavaciones llevadas a cabo por Desailly-Chanson en el eje central de la fachada norte de la Estructura 13Q-3 (Operación 33A) fueron limpiadas y las unidades previamente excavadas, CR33A-5 y CR33A-21, fueron usadas como guía para la colocación de nuevas unidades (Figura 5.1). Estas unidades se sobreponen a las unidades trazadas previamente por Desailly-Chanson, puesto que éstas no avanzaron más allá de la limpieza del humus para exponer de manera clara los bloques de la escalinata que se encontraban en las unidades. Por tal razón, el tiempo y esfuerzo para replicar los límites de las unidades no fue necesario.

Las excavaciones de 2016 identificaron dos fases constructivas, 13Q-3-1ra y 13Q-3-2da, así como tres fases constructivas de la plaza. Previamente Desailly-Chanson había examinado los restos de la escalinata terminal colapsada, por lo que nuestras excavaciones no localizaron más bloques *in situ*. Sin embargo, se expuso más de una fachada de la plataforma terminal y se localizó y examinó la base de la estructura para localizar y determinar su articulación con el piso de plaza. Subsecuentemente, se expuso una porción de la pobremente preservada penúltima estructura (13Q-3-2da), que se encuentra directamente bajo la arquitectura terminal. Variaciones en el relleno en la base de la estructura y un re-estucado del piso de plaza sugiere que estas modificaciones fueron hechas para la escalinata, pero no se encontraron elementos arquitectónicos preservados. Excavaciones más profundas a través del relleno de la penúltima estructura identificaron un cajón

constructivo grande, con escalones construidos bajo la plataforma y no se encontraron evidencias de arquitectura del Clásico Temprano bajo la porción central de la Estructura 13Q-3 (Figura 5.2). Hasta ahora los hallazgos, sin un análisis de artefactos detallado, sugieren que la porción central de esta estructura fue construida rápidamente en el Clásico Tardío.

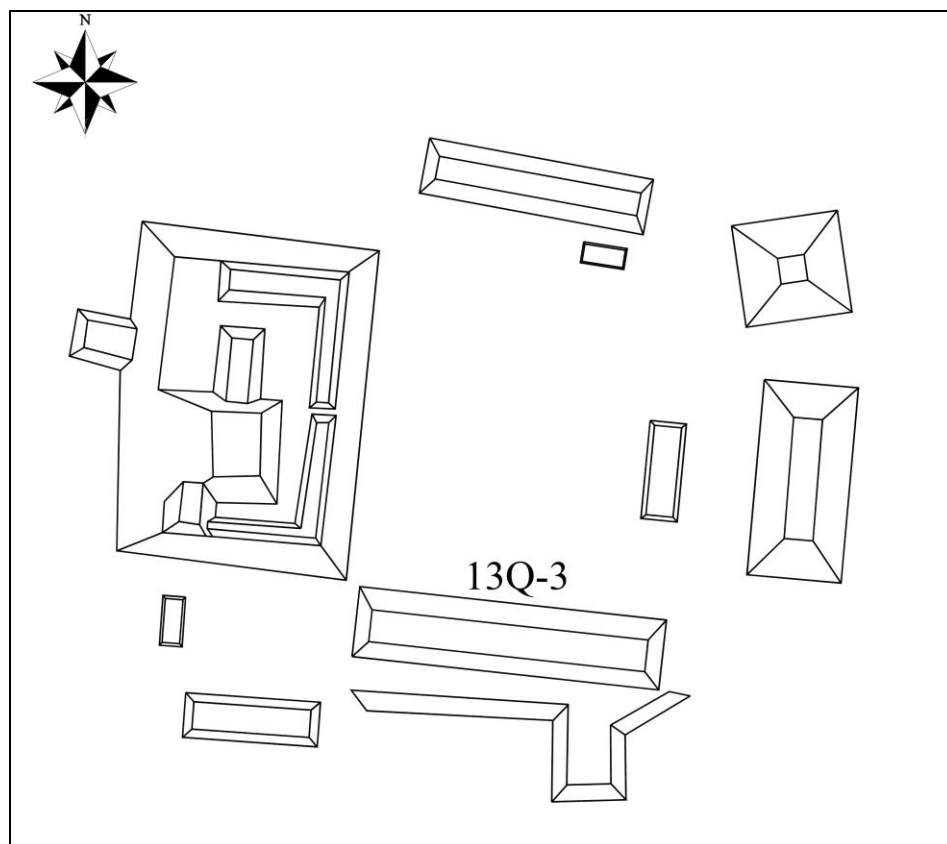


Figura 5.1 Mapa de ubicación de la estructura 13Q-3 en la plaza principal (Mapa por R. Guzmán)

Excavaciones previas

Desailly-Chanson realizó excavaciones en la Estructura 13Q-3 entre los años 2009 y 2011. Los trabajos iniciales identificaron la presencia de la Escalinata Jeroglífica 1, la cual consiste de 24 bloques identificados *in situ* y 34 bloques adicionales encontrados durante el relleno de trincheras de saqueo entre los años 2008 y 2009. Las actividades de saqueo, así como perturbaciones naturales, solo dejaron identificar dos escalones (escalones 1 y 2) que contenían glifos tallados (Desailly-Chanson 2010). Las excavaciones de 2010 encontraron restos humanos en las unidades CR33A-6 y CR33A-20 (Desailly-Chanson 2012), y la reexaminación del contexto del entierro fue llevada a cabo por Marissa López.

Desailly-Chanson identificó la esquina sureste de una subestructura en la Unidad CR33A-5, y una muestra de carbón de este contexto fue datada entre 430 y 600 d.C. (Desailly-Chanson 2012:226). Esto lo llevó a concluir que esta estructura inicialmente fue construida como una serie de pequeñas estructuras, que posteriormente fueron aumentando en tamaño hasta unirse en una sola estructura alargada de cuartos múltiples. Él expuso muros de piedras talladas en secciones de 1 x 1 m en las unidades CR33A-5, CR33A-23 y CR33A-24, pero no pudo exponer las articulaciones entre esos segmentos (ver Desailly-Chanson 2012: Figura 8.2). Uno de sus objetivos de excavación era hacer una trinchera que expusiera una porción más grande y completa de estas estructuras potenciales. Sin embargo, las excavaciones de esta temporada demostraron que estos muros de subestructuras son muros constructivos colocados dentro del relleno, con el objeto de soportar esta masiva estructura alargada.

Metodología

Inicialmente se trazaron tres unidades de 4 x 4 m iniciando en las esquinas de CR33A-5 y CR33A-21, hasta la base del montículo, para exponer la fachada norte de la Estructura 13Q-3. El objetivo fue localizar todas las evidencias remanentes de la escalinata terminal. Cuando fue evidente que solo quedaba derrumbe en esta sección, las excavaciones continuaron en unidades más pequeñas, creadas mediante la disección norte-sur de las unidades CR33A-29, CR33A-30 y CR33A-31, resultando en seis unidades de 2 x 4 m. La excavación de esta trinchera se enfocó en las unidades oeste, y retuvieron sus números de unidad originales. Las unidades al este recibieron nuevos números de unidad (Figura 5.2), y la excavación en las unidades CR33A-32, CR33A-33 y CR33A-34 se limitó a pequeñas porciones con el objeto de seguir el alineamiento visto en las unidades al oeste: CR33A-29, CR33A-30 y CR33A-31. Adicionalmente se trazaron tres unidades entre la plaza y la cima del montículo para definir de mejor manera los elementos arquitectónicos. La Unidad CR33A-35 fue una extensión de 2 x 2 m al norte de la Unidad CR33A-29, que fue colocada para determinar la existencia de un escalón basal hacia la plaza. Las unidades CR33A-36 y CR33A-37 fueron colocadas al oeste de la unidad CR33A-33 para seguir un alineamiento de tres piedras de la Estructura 13Q-3-2da, las cuales se determinó que formaban parte de la fachada de la penúltima plataforma y dos escalones.

Las excavaciones siguieron los estratos culturales a la medida de lo posible, separando lotes por variaciones del suelo en color, textura y tamaño de las inclusiones. Todo el material fue cernido a través de un cedazo de ¼" y el material cultural recuperado fue poco, con una mayor densidad de artefactos en el relleno de la estructura terminal en comparación al relleno de la penúltima estructura.

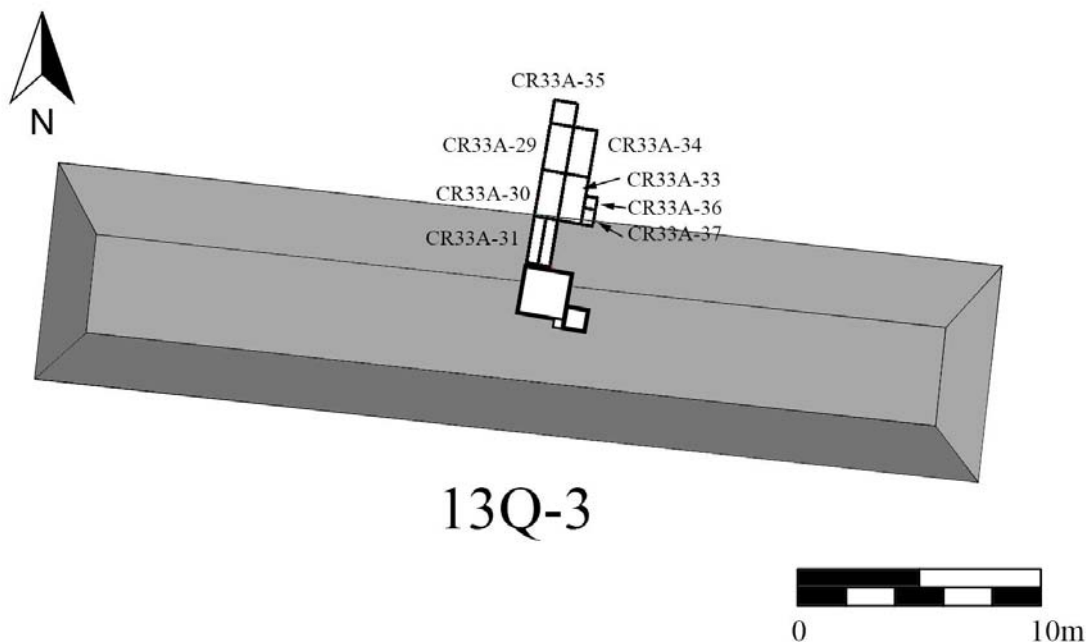


Figura 5.2 Mapa de ubicación de unidades (Mapa por E. Bustamante)

Descripción de Excavaciones (Borislava Simova)

Unidades CR33A-29 y CR33A-34

Estas unidades se localizan en la base de la estructura, aproximadamente a un metro dentro de la plaza. Originalmente, estas unidades fueron trazadas como una sola unidad de 4 x 4 m en la base de la estructura, para determinar la relación entre las fases constructivas de la plataforma y los pisos de plaza. No se observaron disturbios significativos dentro de la unidad. El Lote 3 fue el primer lote en ser excavado tras la disminución de área a dos unidades de 2 x 4 m. Una sección de CR33A-29 fue excavada hasta la roca madre a una profundidad máxima de 2.78 m bajo el datum 1. La sección más profunda de la Unidad CR33A-34 llegó a 1.56 m bajo el mismo datum, aproximadamente la misma elevación que el piso de plaza 2.

El Lote 1, la superficie moderna, varió de grosor entre 0.01 y 0.02 m. Excavaciones previas en esta localidad seguramente removieron parte de este suelo, por lo que este lote fue excavado en toda la unidad original, de 4 x 4 m. El suelo presente era de consistencia suelta, compuesto principalmente de arcilla color café oscuro con abundantes incrustaciones de pequeñas rocas. Piedras grandes, provenientes de la estructura colapsada, se encontraron concentradas en la mitad sur de la unidad, en la base de la escalinata.

Los lotes 2, 3 y 4 correspondieron al derrumbe. El suelo se encontró más compactado y los lotes presentaron mayor cantidad de cerámica que el lote de la superficie. El barro fue de color café-amarillento oscuro mezclado con pedrín (0.04 a 0.1 m) e incrustaciones de piedra. El Lote 2 fue excavado en la unidad original de 4 x 4 m, por lo que corresponde también al Lote 2 de la Unidad CR33A-34. El Lote 3 fue separado arbitrariamente del Lote 2 y fue dividido en las dos unidades de 2 x 4 m.

En la base del Lote CR33A-29-3 se descubrió un pequeño fragmento preservado del piso terminal de plaza. Este lote presentó 126 fragmentos de cerámica y un fragmento de un aplique de cerámica con forma de cabeza. Durante la excavación se removieron piedras grandes de caliza de baja calidad que pertenecían a la escalinata terminal (Lote 4).

El Lote CR33A-34-3 fue excavado solo en una pequeña subsección de la unidad, un registro de 1 m de ancho localizado a tres metros del límite sur de la unidad. Esta sección fue excavada para seguir el muro de retención Motmot, que será discutido más adelante. Durante la excavación se removieron piedras de gran tamaño, parte de la escalinata colapsada, pero las inclusiones del relleno terminal generalmente fueron de menor tamaño (0.05-0.1 m). Se recuperaron 55 fragmentos de cerámica y un fragmento de figurilla. El Lote 5 también consistió del relleno terminal que se excavó posteriormente en la sección sur de la unidad, con el objetivo de buscar escalones de la penúltima escalinata.

Bajo estos lotes, en la base de la estructura, se encontró un barro café rojizo con incrustaciones pequeñas y medianas (0.05 a 0.15 m). Este relleno fue removido durante la excavación de los lotes CR33A-29-5 y CR33A-34-4. Dentro de la estructura, el relleno cambió a barro arcilloso café amarillento. Este fue excavado como el lote 11 en CR33A-29.

El relleno de la estructura consistía de barro café rojizo con incrustaciones de piedras trabajadas, el cual fue excavado en múltiples lotes: CR33A-29-5, CR33A-29-11, CR33A-29-13 y CR33A-29-15. Las incrustaciones fueron más grandes y más comunes que lo visto en el relleno

de la estructura terminal. El Lote CR33A-29-14 se definió bajo la pequeña porción de estuco de la estructura penúltima. El barro fue café rojizo y puede tratarse de un escalón basal ancho para dicha estructura. El Lote CR33A-29-15 consiste del relleno de la estructura que cubre la porción preservada del 2do piso de plaza. El muro de retención Motmot fue descubierto en este lote y sus piedras talladas tuvieron un tamaño entre 0.3 y 0.4 m. Este parece haber sido construido sobre el 2do piso de plaza. El lote CR33A-29-6 consiste en el balastro y relleno del piso de plaza terminal; midió 0.1 m de grosor y fue excavado en la mitad este de la unidad. Solo se encontró un pequeño parche de estuco del piso terminal preservado en esta unidad, a lo largo del límite oeste (Figura 5.3). Lo que aún se encontraba era arcilla compactada, con una gran densidad de incrustaciones de piedrín, lo que sugiere que se trata del balastro del piso.



Figura 5.3 Remanentes del estuco del piso de plaza terminal, Unidad CR33A-29 (Fotografía por B. Simova)

Los lotes CR33A-29-7 y CR33A-29-16 consisten del 2do piso de plaza (Figura 5.4). Inicialmente se alcanzó este lote en la porción norte de la unidad, donde no se había preservado el estuco, y el suelo consistió de arcilla café claro. Las excavaciones dentro de este piso se enfocaron principalmente en la mitad este de la unidad. El balastro/relleno de esta superficie presentó piedras más grandes (0.1 a 0.15 m) y se recolectó el material de las porciones con estuco bien preservado (separado como Lote CR33A-29-16), puesto que el contexto en estas secciones se encontraba sellado, lo que ayuda a una mejor cronología cerámica. El piso presentó estuco grueso y pareciera

que fue re-estucado. Este no terminó en un muro, pero se observa una ligera curvatura hacia arriba, lo que sugiere que el piso se encontraba adosado a un muro o a una grada que fue removida en la antigüedad.



Figura 5.4. Sección expuesta del 2do piso de plaza con el muro de retención “Motmot” al fondo
(Fotografía por B. Simova)

Los lotes CR33A-29-8, CR33A-29-9 y CR33A-29-17 consisten del 3er piso de plaza. No se conservó estuco en la porción norte de la unidad, pero el piso se distinguió por arcilla café oscuro. Las incrustaciones de piedras pequeñas a medianas (0.05-0.1 m). Se encontró un gran fragmento de un cuenco con pestaña y base anular enterrado en este relleno (Lote CR33A-29-8). El lote CR33A-29-9 es parte del mismo relleno café oscuro, pero con menor cantidad de incrustaciones de piedra. En la sección sur de la unidad, el piso se encontró mejor preservado, pero tampoco presentó una superficie de estuco pulido. Algunas de las piedras de relleno del 2do piso de plaza se habían enterrado en el piso, dándole la apariencia de un piso cortado. Este piso terminó en una alineación de pequeños bloques de piedra caliza, el muro “Chachalaca”, el cual sugiere que una versión temprana de la base de 13Q-3-2do fue modificada con la construcción del 2do piso de plaza. El piso estucado fue de un grosor similar al del 2do piso de plaza, pero más disparejo. El relleno tenía incrustaciones de piedra de tamaño pequeño a mediano (0.03-0.1 m). Bajo éste se encontró la arcilla café oscuro del Lote CR33A-29-10, con incrustaciones de piedritas de caliza.

El lote CR33A-29-10 (es el mismo que el lote CR33A-35-7) consiste de arcilla café obscuro con artefactos. Parece que se trata de un depósito cultural utilizado para nivelar el espacio de la plaza. Este carece de incrustaciones de roca y la arcilla es densa y dura, por lo que no pasó por el cernidor.

Se excavó el suelo estéril hasta llegar a la roca madre, en una subsección de 1 x 2 m en la esquina noreste de esta unidad. Correspondiente al Lote CR33A-29-12, se encontró un área quemada en la arcilla estéril. Esta área fue mapeada a grosso modo, puesto que sus límites no eran consistentes (Figura 5.5). Muy probablemente, esta área fue el resultado de una raíz quemada, que decoloró la arcilla natural a un rojizo. La arcilla alrededor presentó un color café verdoso y fue extremadamente dura.



Figura 5.5. Posible área de quema en la arcilla estéril, Lote CR33A-29-12 (Fotografía por B. Simova)

Unidad CR33A-30

Inicialmente esta unidad fue de 4 x 4 m y se localizó sobre la escalinata central de 13Q-3. Posteriormente fue reducida a 2 x 4 m y renombrada como CR33A-33. La fachada de la plataforma se localizó en el límite este de estas unidades y la sección norte de CR33A-30 fue excavada hasta el suelo natural, bajo el nivel del 3er piso de plaza, a 2.3 m bajo el nivel del datum 1.

El Lote CR33A-30-1 es el estrato superficial y fue excavado en la unidad original de 4 x 4 m. Este consiste de barro café oscuro con pequeñas incrustaciones de pedrín, que rodea piedras grandes de la escalinata colapsada. Se recuperó poco material proveniente de este lote.

El lote CR33A-30-2, junto con el lote CR33A-30-10 conforma parte del relleno de la estructura terminal. Este relleno fue más profundo en la esquina noroeste de la unidad, y fue dejado por algún tiempo mientras las excavaciones se enfocaban en la mitad este de la unidad. Eventualmente el Lote CR33A-30-10 fue excavado para hacer espacio para excavaciones más profundas. Como el resto del relleno de la estructura terminal, este pequeño lote presentó una cantidad relativamente mayor de fragmentos de cerámica, siendo 7 fragmentos en total, pero aun así son más fragmentos que los encontrados en el relleno de la penúltima estructura. Dentro de estos lotes se definió de mejor manera el muro de la fachada de la plataforma. Este muro, nombrado Halcón, fue construido mediante bloques de gran tamaño de piedra caliza de mala calidad. A excepción de tres piedras, el muro se encontró colapsado hacia el frente (Figura 5.6). Grandes fragmentos de estuco sin decoración fueron recuperados cerca de este muro, sugiriendo que alguna vez estuvo cubierto con estuco. Pequeños fragmentos de estuco aún se encontraban en la cima de la estructura. También se identificaron piedras calizas de baja calidad a 0.80 m al norte del muro de la plataforma, bajo el Lote CR33A-30-2. Esta alineación pudo haber formado el límite oeste del escalón Tucán de 13Q-3-2do.

El Lote CR33A-30-4 consistió en arcilla café oscuro con mayor cantidad de artefactos. Este pareciera ser una zanja dentro del relleno de la estructura, a lo largo del límite oeste de la unidad (Figura 5.7). Inicialmente se sospechó que la excavación de esta zanja había sido la responsable de trincar el muro de retención. Sin embargo, también es posible que se trate del límite de la penúltima escalinata, y lo que pareciera ser una zanja es en realidad el relleno de la estructura terminal, que amplió en tamaño la escalinata central. La condición sumamente deteriorada de los escalones Tucán y Águila en esta unidad dificultó determinar con certeza cuál de estas hipótesis es la correcta.



Figura 5.6 Porción de la fachada de la plataforma Halcón localizada en CR33A-30 (Fotografía por B. Simova)

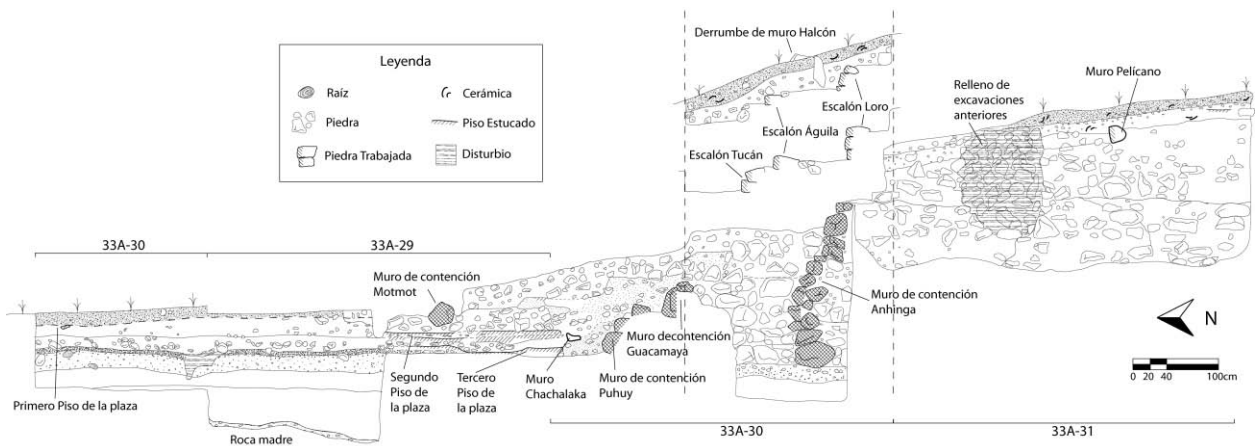


Figura 5.7. Perfil Oeste de CR33A-30 (Dibujo por B. Simova y G. Luin).

El lote CR33A-30-11 es un relleno café con pequeñas incrustaciones de piedra. A pesar que este se definió bajo la zanja en el perfil, el cambio de color solo fue distinguible y el lote recolectado por separado en la sección noroeste de la unidad. Este pareciera ser un depósito profundo del relleno de la estructura terminal.

Se removió el muro Halcón y el relleno de la plataforma terminal en el lote CR33A-33-7 para exponer el relleno de la penúltima estructura. El relleno de la plataforma terminal corresponde a barro café oscuro, parecido al encontrado en el lote de superficie. Solo se recuperaron 8

fragmentos de cerámica y uno de lítica en este lote. En el lote siguiente, CR33A-30-8, se expuso otra alineación de piedras, que originalmente pudo servir como muro de retención, posiblemente una porción deteriorada del muro “Loro”. El relleno detrás y debajo de éste corresponde a un barro compacto, color amarillo claro, con partículas de caliza o *sascab*.

En el Lote CR33A-30-3 se removió el relleno de la penúltima estructura, ubicado al norte del muro “Halcón”, donde se observó barro amarillo con una densa cantidad de piedras de caliza (0.1-0.2 m). Solo se recuperaron 18 fragmentos de cerámica en este lote, y muy probablemente estos provienen del relleno más oscuro del lote adyacente CR33A-30-4, antes que este fuera bien definido. El Lote CR33A-30-6 forma parte del mismo relleno excavado en la sección norte de la unidad, el cual se sobrepone al relleno amarillo rojizo que se encuentra en la base de la estructura. Se recuperaron 12 fragmentos de cerámica y una navaja de obsidiana. El lote CR33A-30-8 fue excavado tras la fachada de la terraza, y consiste de este mismo relleno.

Se removió la porción deteriorada del muro “Loro” en CR33A-30 (Lote CR33A-30-9), exponiendo la superficie de *sascab* del cajón constructivo que se encontraba abajo, el cual se discutirá a continuación. Una porción del penúltimo escalón, “Tucán”, fue removido como parte del Lote CR33A-30-5. Las piedras en general fueron más grandes que las encontradas en el relleno que lo rodeaba, y una de las piedras de la fila inferior del escalón era de 0.50 x 0.3 x 0.25 m. Puesto que no se observó cambios significativos en el relleno, este lote continuó hasta exponer el muro de retención “Anhinga”.

Este se trata de un muro de retención substancial construido por grandes bloques (de hasta 0.5 m de largo), el cual se elevaba hasta casi 2 m de alto y su base sobresalía levemente. Una porción del muro de retención fue removida durante las excavaciones, esto a causa que en un inicio no se logró identificar bien el muro en comparación con el relleno que se encontraba alrededor. Se intentó seguir este muro al este en la unidad CR33A-33, pero en el proceso se identificaron porciones preservadas de la escalinata de 13Q-3-2do, por lo que solo se logró exponer 1 m más del muro “Anhinga”. La fachada de este muro y la matriz de su relleno presentaron una coloración inusual (Figura 5.8).



Figura 5.8 Muro de retención “Anhinga” de la estructura 13Q-3-2do (Fotografía por B. Simova)

Puesto que el relleno alrededor de la base del muro Anhinga consiste de piedras de gran tamaño, mayores a 0.5 m en diámetro, solo se pudo limpiar una pequeña sección de las unidades CR33A-30 y CR33A-33 para examinar la base de la construcción. Estos lotes fueron tomados como parte de CR33A-33 y serán discutidos a continuación. En general, estos demostraron que el muro Anhinga descansa sobre el nivel más temprano de la superficie de plaza, sobre el relleno de arcilla, pero el piso de plaza no se extiende hasta los bloques del muro (ver Figura 5.2).

Los lotes CR33A-30-12 y CR33A-30-13 comprenden el relleno compacto mezclado con pequeñas partículas de caliza, localizado en la sección norte de la unidad. Inicialmente el Lote CR33A-30-12 dio la impresión de tratarse de una superficie temporal, la cual se compone de arcilla amarilla claro mezclada con pequeñas partículas de caliza, similar a la superficie bajo el muro Loro, sobre el muro de retención Anhinga. Las incrustaciones fueron de pequeñas a grandes (0.05 a 0.2 m), pero esparcidas. Este relleno termina sobre el segundo piso de plaza, el cual pareciera alinearse a este. El Lote CR33A-30-13 tiene la misma apariencia al Lote CR33A-30-12 pero localizado al sur del límite del piso de plaza. En conjunto estos lotes cubren los escalones constructivos “Puhuy” y “Tucán”, discutidos a continuación. Desafortunadamente, solo se recuperó un fragmento de cerámica de este contexto, en el Lote CR33A-30-12.

Las dos escalinatas constructivas que ascienden hasta el muro de retención Anhinga fueron construidos con bloques de similar dimensión a los encontrados al norte del muro de retención (Figura 5.9). El escalón más bajo, definido por el muro de retención “Puhuy”, no articula con la superficie estucada del piso de plaza, sugiriendo que se trata de una técnica constructiva y no de la fachada de una plataforma. El muro Puhuy consiste de dos líneas de piedras grandes sin modificación. La línea inferior presenta piedras grandes (aproximadamente 0.4 m de largo), mientras que la línea superior presenta piedras de menor tamaño (0.25 m), midiendo juntas 0.4 m de alto. El muro de retención “Guacamaya” forma un escalón inmediato entre los muros Puhuy y Anhinga, colocado aproximadamente a 0.7 m al sur de Puhuy. Este conste en dos líneas de piedras, de entre 0.2 y 0.4 m de diámetro. De la misma manera, Puhuy es de aproximadamente 0.4 m de largo.



Figura 5.9. Escalones constructivos “Tucán” y “Puhuy” (Fotografía por B. Simova)

Los lotes CR33A-30-14, CR33A-30-15 y CR33A-30-16 fueron excavados en una pequeña subsección bajo la base del muro Anhinga, una vez esta sección fue removida. El Lote CR33A-30-14 consistió en arcilla café con incrustaciones de piedra de tamaño pequeño a mediano, similar al relleno de barro bajo el piso de plaza estucado. Se recogió una muestra de carbón y no hubo artefactos. El Lote CR33A-30-15 presentó una textura arenosa e incrustaciones de piedra caliza blanca y amarillenta de menor tamaño. Una pequeña cantidad de artefactos fueron recogidos de este lote. El Lote CR33A-30-16 fue el último en ser excavado en esta unidad, alcanzando la arcilla estéril también encontrada en la Unidad CR33A-29, discutida anteriormente.

Unidades CR33A-31 y CR33A-32

Esta unidad se localiza sobre la plataforma de la estructura, al noroeste de la pequeña superestructura. Originalmente fue colocada como una sola unidad de 4 x 4 m, pero fue dividida en dos unidades de 2 x 4 m, CR33A-31 y CR33A-32. Solo un lote fue excavado en CR33A-32, el cual alcanzó una profundidad máxima de 1.54 m bajo el nivel del datum 2, el cual se encuentra a unos pocos centímetros de la superficie del terreno. No se descubrió ninguna evidencia de estuco de la superficie de la estructura terminal en esta unidad, pero al noroeste fue evidente la presencia de tierra de excavación de las unidades investigadas en años previos. Esta tierra de excavación también fue encontrada también en el límite este de la Unidad CR33A-31. Esta última fue excavada más extensamente, con mayor enfoque en una sección de 1 x 4 m al este de la unidad. La profundidad máxima de esta unidad fue de 3 m bajo el nivel del datum 2, o aproximadamente a 1.9 m bajo la superficie del terreno.

En ambas unidades, el lote 1 consistió de la superficie moderna, con una capa delgada de humus. Empezando con el segundo lote, consistente de material de derrumbe, las excavaciones se enfocaron en la mitad este de CR33A-31. Se expuso una pequeña porción de la superficie de la estructura terminal y el pedrín del balastro. El piso de la estructura terminal fue excavado como el Lote CR33A-31-3, compuesto de barro café grisáceo oscuro, similar al humus. Los remanentes del estuco fueron relativamente más gruesos (hasta 0.05 m de grosor) en comparación a los observados en el piso de plaza. El Lote CR33A-31-4 consistió en el balastro del piso terminal y el relleno. La cabeza de una figurilla fue recuperada en este lote, a 0.65 m al este y a 0.55 m al sur del límite de la estructura. Las incrustaciones consistieron de piedras de tamaño pequeño a grande (0.05 a 0.35 m).

Bajo este relleno, se encontraron dos alineaciones de caliza que parecieran ser parte de la Estructura 13Q-3-2da. Una de estas posee entre 0.15 y 0.25 m de ancho, compuesta de piedras calizas arregladas en una sola línea, localizada a aproximadamente 2.7 m del límite norte de la unidad. En lo poco que fue expuesto, se observó lo que pareció ser un escalón bajo que asciende a la cima de la estructura, nombrado como escalón “Pelicano”. Unos pocos fragmentos de estuco erosionados aún se encontraron en la superficie de la estructura asociada a este escalón. Sin embargo, no se encontró estuco preservado en la base de esta alineación.

La segunda alineación se encontró sobre el límite norte de la unidad, y pareciera que formó un muro de retención para la fachada de la penúltima terraza, nombrada como muro “Loro”. Esta alineación fue apenas de 0.2 a 0.25 m de alto, consistente de piedras apiladas. Este pequeño rasgo y el relleno de la estructura de 13Q-3-2do fueron removidos durante la excavación de los lotes CR33A-31-6 y CR33A-31-7. El relleno fue barro café amarillento con incrustaciones de piedras de tamaño grande (0.4 a 0.5 m). Este estrato fue de 0.6 a 0.7 m de profundidad, continuando bajo la superficie blanquecina del cajón constructivo. Cerca de la base del Lote CR33A-31-7, se descubrió una piedra grande con bordes redondeados, que se asemejaba al fragmento de una columna. Se realizó una planta que incluyera esta piedra y luego fue fotografiada, para posteriormente removerla de la unidad. El fragmento fue de aproximadamente 0.5 m de largo y 0.4 m de ancho.

Los lotes CR33A-31-8 y CR33A-31-9 corresponden al relleno en el límite del cajón constructivo definido por el muro de retención Anhinga. La superficie de este cajón constructivo presentó un color amarillo claro y pareciera que presenta pequeñas partículas de caliza. Éste se removió en el Lote CR33A-31-8. El Lote CR33A-31-9 cambió a un relleno más oscuro con variaciones de color que no seguían patrón alguno. Algunas secciones presentaron un color café amarillento, mientras otras fueron café rojizo. Las incrustaciones en este relleno fueron de tamaño pequeño a grande (algunas de hasta 0.4 m) y con menor densidad que el relleno del muro de retención.

Unidad CR33A-33

La Unidad CR33A-33 fue excavada originalmente como una parte de CR33A-30, de 4 x 4 m, colocada sobre la escalinata central. Luego de excavar el lote de superficie, la excavación se centró en CR33A-30. El trabajo en CR33A-33 se enfocó en la sección sur de la unidad, donde se

expuso una porción preservada de la fachada de la plataforma Loro de 13Q-3-2da, así como porciones del muro de retención Anhinga. En el resto de la unidad las excavaciones se limitaron a limpiar el relleno de la estructura terminal, buscando escalones de la penúltima escalinata. La unidad CR33A-33 fue excavada hasta una profundidad máxima de 4.10 m bajo el nivel del datum 2 en una pequeña sección de la base del muro Anhinga.

El primer lote excavado en la unidad de 2 x 4 m, Lote CR33A-33-2, consistió del relleno de la estructura terminal. El Lote CR33A-33-3 fue una mezcla recolectada en la esquina sureste de la unidad, donde una palma había ocasionado algunos disturbios a lo largo del límite de la terraza. El Lote CR33A-33-5 correspondió a otra parte del relleno de la estructura terminal, el cual descubrió dos muros bajos deteriorados (Águila y Guacamaya), posiblemente los restos de la penúltima escalinata, pero no se pudo localizar otro escalón más abajo (Figura 5.10).



Figura 5.10. Fachada de la plataforma y escalones de 13Q-3-2da (Fotografía por B. Simova).

El Lote CR33A-33-6 fue excavado sobre la superficie de la plataforma, en un área de 0.7 m al sur de la unidad. Se compone de barro café oscuro con incrustaciones de piedrín, posiblemente los restos de balastro. El Lote CR33A-33-7 se trata de un relleno de piedras más grandes perteneciente a la estructura terminal. Bajo este, se expuso otra sección del muro Loro de la penúltima terraza.

El Lote CR33A-33-8 fue excavado en una pequeña área a lo largo del límite oeste de la unidad, donde se tuvo que remover la tierra de excavación de años previos. Este consistió del relleno que cubre la base del gran muro de retención Anhinga, y las piedras de relleno en la base de la estructura son de mayor tamaño. Para tener un espacio adecuado para la excavación, el lote pasó sobre la Unidad CR33A-30 por unos 0.4 m, pero se decidió dejar como un solo lote. Este terminó al alcanzar un estrato de arcilla café, libre de incrustaciones de piedra, similar al observado bajo los pisos de plaza. Se removió una sección del muro Anhinga ya expuesto, esto como parte del Lote CR33A-33-9, continuando la excavación hasta el relleno tras éste. El muro expuesto por las unidades CR33A-30 y CR33A-33 presentó una coloración de relleno interesante, con secciones verticales compuestas con arcilla café rojizo y partículas de caliza al este, arcilla café al oeste, y arcilla café amarillento en una sección de 0.5 m entre las áreas ya mencionadas. Se empezó a trabajar en la sección amarillenta, con la esperanza de determinar si este muro de retención delimitaba una estructura. Pero este no fue el caso, y solo algunas pocas rocas grandes fueron vistas directamente tras este muro. En este punto, las excavaciones progresaban en la Unidad CR33A-31, removiendo el relleno tras el muro y conectando con la trinchera y algunas excavaciones anteriores.

Unidad CR33A-35

La Unidad CR33A-35 es una unidad de 2 x 2 m colocada al norte de la Unidad CR33A-29. El objetivo de esta fue explorar el escalón inferior presente a la base de 13Q-3. Aunque no se halló este escalón, las excavaciones continuaron hasta establecer una secuencia constructiva de la plaza que pudo ser seguida en la estructura. Las excavaciones identificaron cuatro rellenos culturales para la construcción de tres pisos de plaza. La unidad fue excavada hasta una profundidad máxima de 2.20 m bajo el nivel del datum 1, hasta alcanzar el relleno de la tercera superficie de plaza.

El Lote CR33A-35-1 se trata de la capa de humus, de 0.05 m de grosor. Solo se recuperó un fragmento de cerámica y no se observaron perturbaciones en la superficie del terreno, pero las

excavaciones revelaron un conjunto de raíces asociadas a perturbaciones naturales/biológicas. Algunos fragmentos de envolturas de dulce fueron extraídos junto con las raíces en lotes más profundos.

El Lote CR33A-35-2 consiste del derrumbe y materiales lavados provenientes de la estructura. Se observó barro café rojizo con incrustaciones de pedrín y piedras (0.03 a 0.2 m) y en la base del lote se identificaron pequeños pedazos de estuco del piso de plaza. Este presentó un declive que baja hacia el norte. El piso de plaza fue excavado como Lote CR33A-35-3, que consistió de barro café oscuro con piedras medianas (0.05 a 0.1 m) y algunas piedras grandes, provenientes del derrumbe. Bajo este relleno, se identificó una superficie de uso temporal, que corresponde al 2do piso de plaza, y cuyo estuco ya se había erosionado. Este piso fue tomado como Lote CR33A-35-4 y corresponde al mismo nivel que los lotes CR33A-29-7 y CR33A-29-16. La superficie se encontró compactada, de color café y arcillosa, con incrustaciones de piedras de tamaño pequeño a medio (0.05 a 0.15 m). Éstas usualmente son pequeños fragmentos de caliza que le dan un aspecto grisáceo, como si se hubiera secado. Se encontraron pocos artefactos en este lote y algunos fragmentos de bajareque.

El Lote CR33A-35-5 consiste del relleno del 3er piso de plaza. Se trata de barro café oscuro con pequeñas incrustaciones, consistente con el lote CR33A-29-9. Se observaron algunas piedras grandes de caliza de baja calidad (0.3 a 0.5 m) concentradas en la parte central de la unidad. Estas pudieron haber sido del colapso tardío, que fue desplazado por raíces de un árbol grande, o simplemente formaron parte de algún relleno de plaza. Fragmentos más grandes de cerámica fueron recuperados en una pequeña concentración sobre este piso, los cuales fueron recolectados como el Lote CR33A-35-6.

El último contexto excavado en esta unidad fue un barro café oscuro con artefactos, definido como los lotes CR33A-35-7 y CR33A-35-8. Este carecía de incrustaciones de piedra, a diferencia de los rellenos anteriores, por lo que puede tratarse de un depósito cultural que tuvo la intención de nivelar la superficie de plaza. El barro fue muy denso y difícil de pasar por el cernidor, pero se recuperó un fragmento grande de base anular en el límite oeste de la unidad (recolectado como Lote CR33A-35-8). Tras tomar muestras del piso de plaza en esta unidad, las excavaciones se centraron en una pequeña sección de la Unidad CR33A-29, discutida anteriormente, la cual fue excavada hasta la roca madre.

Unidades CR33A-36, y CR33A-37

Estas unidades fueron trazadas como pequeñas extensiones al este de la Unidad CR33A-33 con el objetivo de seguir la fachada de la plataforma Loro y sus escalones asociados. La Unidad CR33A-37 fue de 1 x 1.4 m, localizada sobre la fachada de la plataforma, y la Unidad CR33A-36 fue de 1 x 1, localizada justo al norte de la Unidad CR33A-37. La Unidad CR33A-36 fue excavada hasta una profundidad máxima de 2.5 m bajo el nivel del datum 2, justo en la base del escalón “Tucán” de la Estructura 13Q-3-2da. La Unidad CR33A-37 fue excavada hasta una profundidad máxima de 2.1 m bajo el nivel del datum 2, sobre el escalón “Tucán”.

Los lotes CR33A-36-1 y CR33A-37-1 y CR33A-37-2 correspondieron a la superficie moderna, y justo bajo este contexto se encontraron pequeños parches de estuco pertenecientes a la estructura terminal. En la Unidad CR33A-37 también se encontró una pieza grande de estuco modelado. Esto sugiere que la plataforma Halcón presentó un revestimiento grueso de estuco en su fachada. La fachada de esta plataforma se encontró mayormente colapsada en la Unidad CR33A-37, por lo que no se hicieron más agregados a los dibujos de perfiles que ya se habían hecho de este muro; sin embargo, las piedras colapsadas fueron dibujadas en planta. Los lotes CR33A-36-2 y CR33A-37-3 consistieron del relleno de la estructura terminal, que fueron removidos para exponer el penúltimo escalón. La arcilla fue de color café y poseía pequeñas incrustaciones de piedra. La penúltima arquitectura expuesta no pareciera haber estado tan bien construida o al menos no tan bien preservada en estas unidades como se observó en la Unidad CR33A-33. Estas se asemejan más a las secciones burdamente construidas encontradas en CR33A-30, al oeste. Las raíces de un gran árbol corrían paralelamente al escalón más bajo, posiblemente causando los daños de las secciones faltantes. Los escalones y la fachada de la plataforma fueron dibujados en perfil y agregados a un perfil compuesto.

Descripción de excavaciones (Marissa López)

Unidad CR 33A-40

Consistió en un pozo de 0.8 x 0.46 m, con orientación norte-sur y cuatro niveles excavados por estrato. Es importante destacar que por su ubicación y al ser la continuación de la Unidad CR33A-6 definida durante la Temporada 2011, no se inició con el humus. El Lote 1 correspondió a la superficie de un piso gris. Sucesivo a ello se destacó la diferencia de color en el relleno (lotes

3 y 4), rasgo que en excavaciones previas no se había notado. La recuperación de material cultural fue muy baja, únicamente la presencia de cerámica.

Lote 1: Superficie de estuco color grisáceo, corresponde a un piso.

Lote 2: Relleno de piso de aproximadamente 0.1 m de ancho, de color grisáceo con presencia de poca cerámica (3 fragmentos).

Lote 3: Suelo café rojizo con presencia de piedras medianas en el sector norte del pozo. Se hallaron 3 fragmentos de cerámica.

Lote 4: Corresponde a un relleno blanco amarillento con piedras pequeñas. Únicamente con presencia cerámica (14 fragmentos).

Esta unidad permitió establecer los límites de la intrusión y al mismo tiempo re-hacer el dibujo del perfil (Figura 5.11).

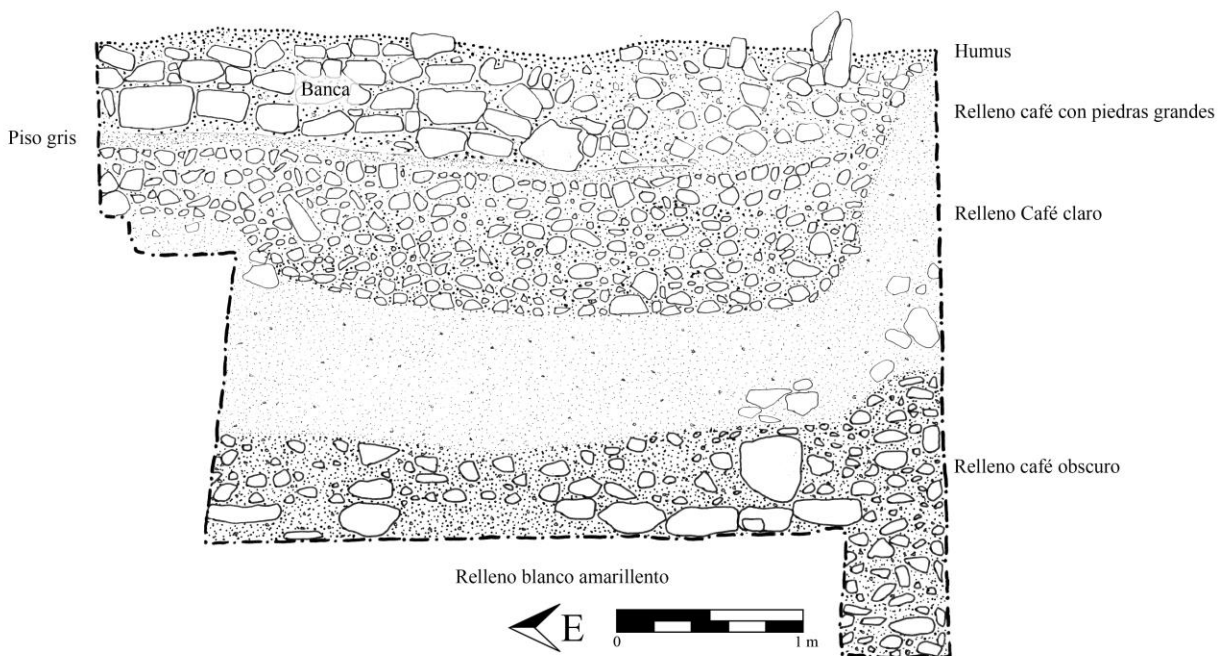


Figura 5.11 Perfil sur de las unidades CR 33A-38, CR 33A-6 y CR 33A-20 (Dibujo por G. Luin. Calco por A. Coronado).

Unidades CR 33A-38, CR 33A-39 y CR 33A-41

Estas unidades en su conjunto conforman un pozo de 2 x 2 m, donde las unidades CR33A-41 y CR33A-38 fueron pozos de 1 x 1 m y la Unidad CR 33A-39 un pozo de 1 x 2 m. Se realizaron a manera de extensiones para entender mejor el contexto y se ubicaron sobre el eje central de la estructura, al norte de las unidades excavadas durante el Temporada 2011. Las unidades CR 33A-41 y CR 33A-38 consistieron de cinco niveles y siete lotes.

Unidad CR 33 A-41

Lote 1: Corresponde al humus, tierra negra combinada con raíces con tres fragmentos de cerámica.

Lote 2: Se definió al remover las piedras que conformaban una banca y la tierra café combinada con ello. No se identificó ninguna presencia de material cultural.

Lote 3: Superficie de estuco color grisáceo, corresponde a un piso.

Lote 4: Relleno de piso grisáceo de aproximadamente 0.10 m, sin ninguna presencia de material cultural.

Lote 5: Corresponde a un suelo de color café claro con piedras medianas justo debajo del piso. A partir de este estrato la presencia de material cultural aumentó. En este caso se hallaron 22 fragmentos cerámicos. En este lote se identificó una esquina en el noreste de la unidad, aproximadamente a 1.41 m de profundidad desde el datum.

Lote 6: Suelo color café oscuro con piedras medianas por encima del relleno blanco amarillento correspondiente a la intrusión. Hubo presencia de cerámica (38 fragmentos) y un fragmento de obsidiana.

Lote 7: Alineamiento de piedras, correspondiente a un muro de contención. Se ubicó a partir del nivel 5, aproximadamente a 0.49 m del perfil sur de dicha unidad (Figura 5.12).



Figura 5.12 Perfil sur de la unidad CR 33A-39, destaca muro de contención (Fotografía por M. López).

Unidad CR 33A-38

Lote 1: Corresponde al humus, tierra negra combinada con raíces y un fragmento de cerámica.

Lote 2: Se definió al remover las piedras que conformaban una banca y la tierra café combinada con ello. En él se encontraron dos fragmentos de cerámica.

Lote 3: Superficie de estuco color grisáceo, correspondiente a un piso.

Lote 4: Relleno de piso grisáceo de aproximadamente 0.1 m que abarca únicamente a partir de 0.49 m del perfil sur de la unidad, sin ninguna presencia de material cultural. El área que corresponde a 0.49 x 1 m parece ser una continuación correspondiente a la esquina localizada en la Unidad CR 33A-40, en dirección al oeste (Figuras 5.13 y 5.14).

Lote 5: Corresponde a un suelo de color café claro con piedras medianas justo debajo del piso grisáceo (Lote 4).

Lote 6: Suelo color café oscuro con piedras por encima del relleno blanco amarillento, correspondiente a la intrusión.

Lote 7: Alineación de piedras, que corresponden a un muro de contención.



Figura 5.13 Rasgo identificado en lote 4 de la unidad CR 33 A-38 (fotografía por M. López).

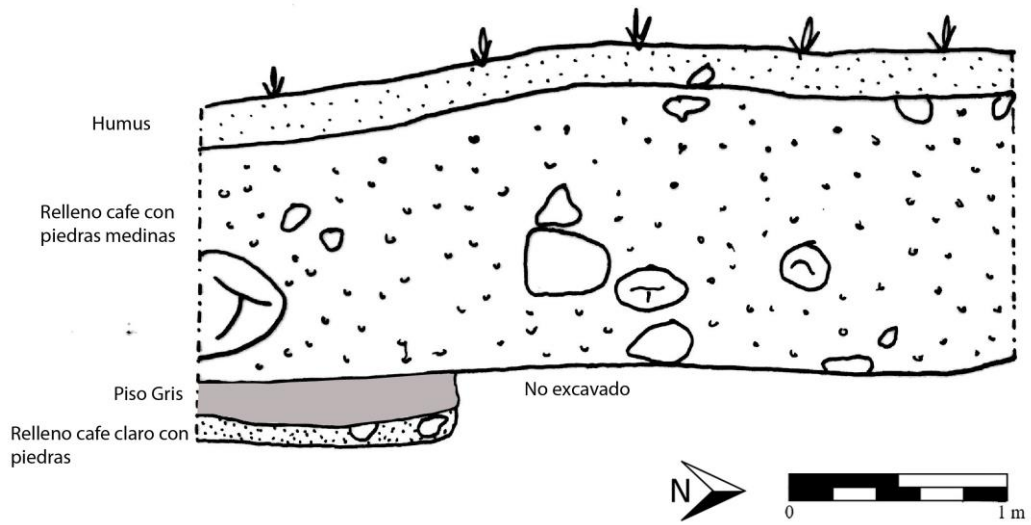


Figura 5.14 Perfil Oeste de CR 33 A-38 y CR 33 A-41 (dibujo y calco por M. López).

Unidad CR 33A-39

El Lote 1 corresponde al humus, cuya matriz fue de tierra negra con presencia de raíces y cinco fragmentos cerámicos. El Lote 2 correspondió a una acumulación de piedras tamaño medio y tierra café combinada con ello. Finalmente, el Lote 3 correspondió a la superficie del piso grisáceo (Figura 5.15)

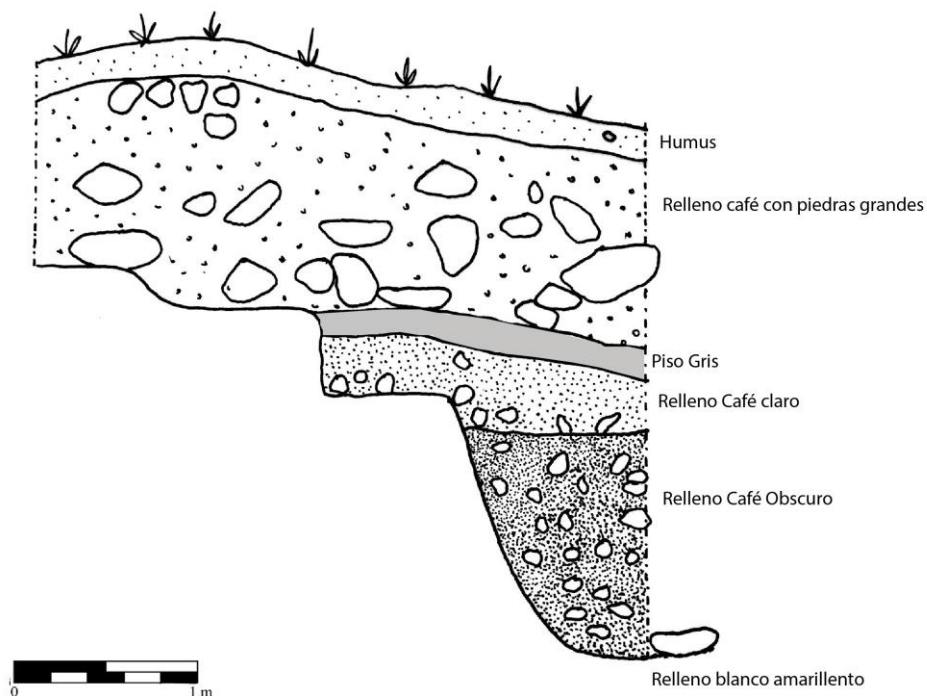


Figura 5.15 Perfil Este de la Unidad CR 33A-39 y CR 33A-40 (Dibujo y calco por M. López). CR 33A-40

Resumen e Interpretaciones

Las excavaciones de esta temporada empezaron estableciendo una trinchera que se extendía desde la plaza hasta la cima de la estructura, donde previamente se habían excavado las unidades CR33A-5 y CR33A-21. Se limpió la tierra acumulada y los escombros alrededor del colapso de la escalinata central, pero no se logró identificar claramente ninguno de los escalones de la estructura terminal de 13Q-3 para corroborar y agregar a las observaciones hechas por Desailly-Chanson. Los pocos componentes arquitectónicos de esta fase constructiva que se identificaron consisten en el muro Halcón, que forma la fachada de la plataforma, el piso de la cima y el muro de retención “Motmot” en la base de la estructura (Ver Figura 5.5). La articulación entre la plaza y la estructura terminal no quedó del todo clara, dado el deterioro extensivo y el derrumbe en la base de la

estructura. Sin embargo, el derrumbe y relleno fueron asociados al primer y segundo piso de plaza. El muro “Motmot” se encuentra claramente construido sobre el 2do piso de plaza, el cual termina a aproximadamente 1.2 m al sur del muro de retención. El estuco del piso muestra una ligera curvatura, lo que sugiere que en ese lugar alguna vez hubo un escalón o muro asociado con la superficie. Esto indica que el 2do piso de plaza fue construido con anterioridad a la estructura terminal, pero posiblemente permaneció en uso con la nueva construcción por algún tiempo.

Un análisis preliminar de cerámica realizado por Caroline Parris indica la presencia de un cántaro y un cuenco de paredes divergentes pertenecientes al Clásico Tardío, un cuenco con pestaña basal del Clásico Temprano y algunos cuerpos Tinaja Rojo. Por lo tanto, los rellenos por debajo del piso grisáceo corresponden a una ocupación durante el Clásico Tardío, en algún momento anterior a 750 a.C. Se puede inferir que la diferenciación (color y textura) que existe entre ellos únicamente es producto de uso. Probablemente el relleno café claro justo por debajo del piso difiere con el fin de ser más consistente y compacto para fungir como base del piso grisáceo que se destacó en la excavación.

Es importante destacar que dentro de este relleno café con piedras (lotes 4 y 5) se identificó un alineamiento de piedras más grandes que podrían ser un muro de contención. Al remover estas piedras se observó que el relleno blanco amarillento presentaba una leve inclinación hacia abajo en dirección al sur. Esta característica requiere de mayor excavación para definir qué es, y queda como objetivo de investigación para futuras temporadas.

Del mismo modo cabe mencionar que en la parte sureste de la Unidad CR 33A-39 no continúa el piso gris, el cual aparenta estar cortado en este sector. Es posible que el piso sea posterior a ello y por motivo del mismo queda como objetivo para una siguiente temporada de campo.

CAPÍTULO VI

OPERACIONES CR112 Y CR115: EXCAVACIONES EN LAS ESTRUCTURAS 13R-1 Y 13R-45 DEL GRUPO CORONITAS

Jocelyne Ponce

Introducción

El Grupo 13R-I o Coronitas consiste en un grupo de cinco montículos alineados en un eje norte-sur (estructuras 13R-1 a 13R-5) con tres estructuras piramidales grandes en el centro (13R-2, 13R-3 y 13R-4), las cuales se elevan 9 m sobre la plataforma que los sostiene, y dos más bajas en los extremos norte (13R-1) y sur (13R-5) que se elevan aproximadamente 5 m sobre la plataforma (Figura 6.1). Todas han sido saqueadas, ya que las estructuras 13R-1 y 13R-3 contienen saqueos en su parte posterior, las estructuras 13R-4 y 13R-5 en su parte frontal y la Estructura 13R-2 en ambos lados (Baron 2013a: 109; Baron 2013b: 252).

En esta Temporada 2016, las excavaciones se enfocaron en las estructuras 13R-1 y 13R-45 del Grupo Coronitas, las cuales se realizaron entre el 29 de mayo y 5 de junio de 2016. La Estructura 13R-1 no había sido investigada anteriormente, por lo que esta temporada se exploró la arquitectura de la Fachada Oeste por medio de excavaciones estratigráficas en la Unidad CR115A-1 (Figura 6.2). Por su parte, la Estructura 13R-45 fue identificada al sur de la Estructura 13R-2 y aunque no se encuentra saqueada, fue cubierta por tierra de saqueo proveniente de la Estructura 13R-2, lo que había dificultado su identificación anteriormente. Las excavaciones de esta temporada consistieron en exploraciones en su Fachada Sur (unidades CR112A-1, CR112A-2 y CR112A-3) y Oeste (unidades CR112B-1, CR112B-2, CR112B-3 y CR112B-4), enfocándose en identificar rasgos arquitectónicos superficiales a través de excavaciones horizontales. Los lotes identificados en todas las unidades fueron culturales.

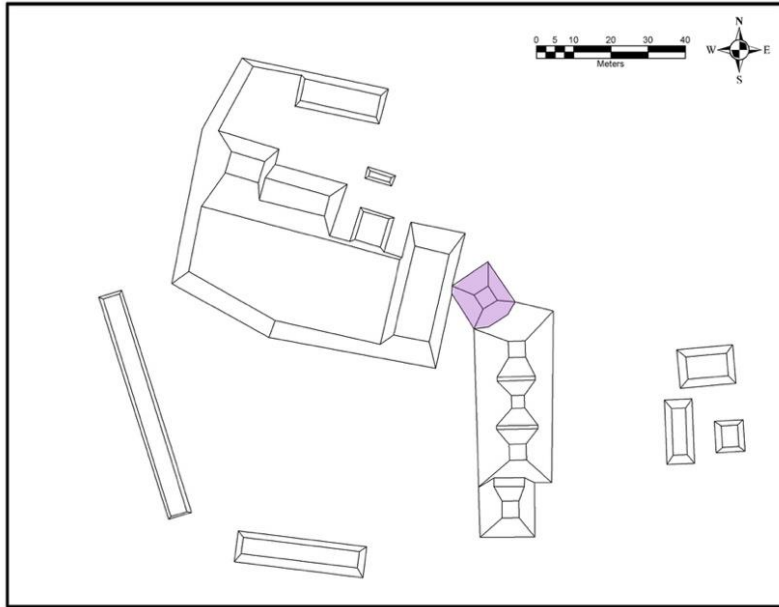


Figura 6.1. Mapa de los Grupos 13R-1 y 13R-II mostrando ubicación de la Estructura 13R-1 (Mapa por M. Canuto)

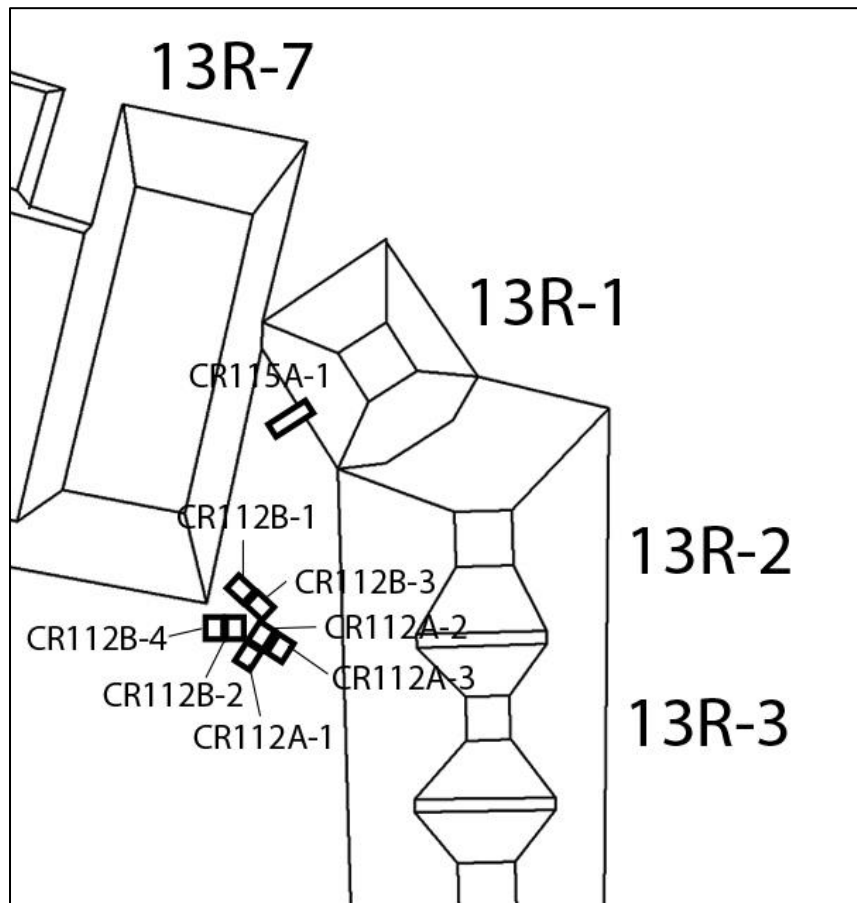


Figura 6.2. Esquema de ubicación de las unidades de excavación (Mapa por M. Canuto. Modificado por J. Ponce)

Antecedentes

Las investigaciones arqueológicas realizadas en el Grupo Coronitas entre 2005 y 2012 sugieren que el área fue de gran importancia ideológica y ceremonial para los habitantes de La Corona. En 2005, Marcello Canuto descubrió un panel con inscripciones glíficas talladas (Panel 1), el cual fue localizado en un nicho dentro del muro posterior de la superestructura de 13R-5. El texto indica que dicho edificio fue el templo de uno de los dioses patronos de La Corona, el cual fue dedicado en 677 d.C. durante el reinado de *K'inich ¿? Yook*. El panel también indica que en el año 658 d.C., durante el reinado del gobernante anterior, se dedicaron tres templos en honor a otros tres dioses del sitio. Es por ello que se cree que las tres estructuras grandes del grupo (13R-2, 13R-3 y 13R-4) son los tres templos mencionados en el texto y el grupo corresponde a recintos de deidades patronales del sitio (Baron 2011: 249; Baron 2013b). Por ende, las excavaciones en estos templos fueron diseñadas para reconstruir sus fases constructivas y entender su cambio funcional a través del tiempo, lo que llevó a Joanne Baron (2010, 2011, 2012, 2013a, 2013b) a identificar cinco fases principales.

La primera fase, denominada *K'inich*, se encuentra asociada al Entierro 1, el cual se encontró saqueado y ubicado en una recámara tallada en la roca madre debajo de la subestructura de la Estructura 13R-5 (Canuto 2007). La cerámica asociada a este entierro está fechada para la Fase Chicanel de Uaxactún del Preclásico Tardío y Protoclásico (300 a.C.-250 d.C.). La segunda fase denominada *Mam*, fue identificada en las estructuras 13R-2 y 13R-4 y constó de plataformas de 3 m de alto. La cerámica encontrada en la parte posterior de la Estructura 13R-2 sugieren que está fechada para la Fase Tzakol 2-3 de Uaxactún (350-500 d.C. y 500-600 d.C.).

La tercera fase, denominada *Muk*, fue identificada en las estructuras 13R-2, 13R-3 y 13R-4. Consta de la construcción de nuevas plataformas encima de la Fase *Mam*, que aumentaron 8 m la altura de los templos y redefinieron sus ejes centrales hacia atrás, en dirección hacia el este. Debajo del nuevo eje central de las estructuras 13R-2 y 13R-4 se cortaron tumbas en la roca madre (Entierros 6 y 2 respectivamente) de una manera similar a la tumba de la Fase *K'inich* en la Estructura 13R-5. Esta fase está fechada para la Fase Tzakol 2-3 del Clásico Temprano (350-500 d.C. y 500-600 d.C.), por lo que las tumbas probablemente pertenecieron a gobernantes del siglo VI d.C.

La interpretación de la cuarta fase, denominada *K'uh'*, se basa en la lectura del Panel 1, que como ya se mencionó, indica que en 658 d.C. el gobernante *Chakaw Nahb Chan* construyó una serie de santuarios dedicados a deidades patronales a menos de un mes de convertirse en rey de La Corona. Esta fase consistió de agregados arquitectónicos superficiales a las estructuras 13R-2, 13R-3 y 13R-4, añadiendo nuevas escalinatas y piso a las superestructuras. Los rellenos de esta fase están fechados para el Clásico Tardío. Al cambiar la función de estas estructuras a santuarios de deidades patronales, la Fase *K'uh'* canceló los templos funerarios anteriores y los ritos de veneración ancestral que se realizaban en ellos. Asimismo, unió las tres edificaciones en un solo programa arquitectónico, mientras que antes había sido una serie de templos funerarios construidos secuencialmente.

La quinta fase, denominada *Ub*, constó de la re-dedicación y construcción de una fase adicional a la Estructura 13R-5 en 677 d.C. por *K'inich ¿? Yook*, cambiándolo de un templo funerario a un santuario para deidad patronal, tal como lo había hecho su padre 19 años antes. Por último, la fase *Unen* representa una serie de adiciones tardías que pudieron ocurrir a lo largo de los siglos VII y VIII d.C. Éstas se hicieron en la parte frontal de las estructuras 13R-2 y 13R-3, al igual que en la parte posterior de 13R-5. El hallazgo de cerámica Gris Fino fecha esta fase para después de 760 d.C.

En 2012, Divina Perla (2013) realizó excavaciones en la Estructura 13R-7, ubicada en el límite este del Grupo 13R-II. Éstas resultaron en la identificación de rasgos arquitectónicos correspondientes a dos etapas constructivas. La primera etapa corresponde a una plataforma basal alargada, con dos posibles cuartos en la parte superior. Debido a la calidad constructiva de la primera etapa, probablemente corresponda a la época de florecimiento del sitio durante el siglo VI. La segunda etapa se trata de una plataforma empedrada, que se encuentra adosada al Muro Oeste de la estructura. La calidad constructiva de esta remodelación es mucho menor al de la estructura original, aunque esta plataforma también se encontraba estucada y pintada de color rojo. Al sur de la plataforma empedrada fue construida una saliente baja y a sus lados se encontraron dos depósitos con ceniza, fragmentos de cerámica, figurillas, concha, pedernal y obsidiana. En estos se encontró material correspondiente a las fases Tepeu 1 y 2 del Clásico Tardío (600-650 d.C. y 650-850 d.C.), incluyendo cerámica Gris Fino Chicxulub Inciso (C. Parris, com. pers. 2012), por lo que las remodelaciones realizadas en esta etapa probablemente datan del siglo VIII.

Operación CR115A: Excavaciones en la Estructura 13R-1

Unidad CR115A-1

Esta unidad de 4 m (E-O) x 1 m (N-S) se ubicó en el eje central de la Fachada Oeste de la Estructura 13R-1, la cual se trazó siguiendo la orientación de la estructura de aproximadamente 80° este del norte. Gran parte de la unidad abarcó el corredor entre esta estructura y la Estructura 13R-7, ya que la excavación se hizo con el doble objetivo de investigar los rasgos arquitectónicos de la Fachada Oeste de la Estructura 13R-1 y su relación con la Estructura 13R-7. Durante la excavación se identificaron tres niveles y seis lotes culturales (Figura 6.3).

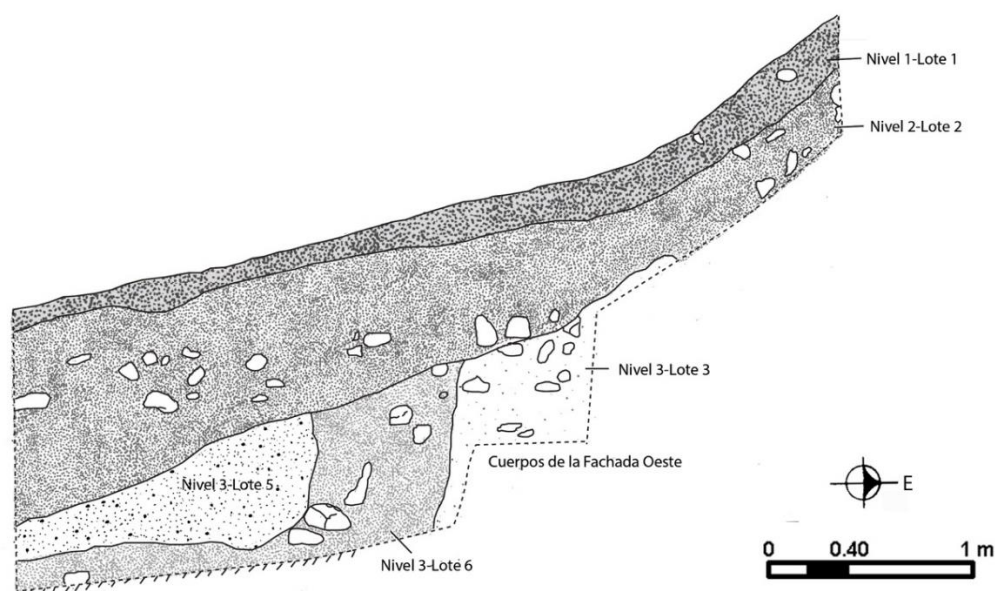


Figura 6.3. Perfil Norte de la Unidad CR115A-1 (Dibujo por J. Ponce)

Nivel 1-Lote 1: este primer lote constó de humus suelto con raíces junto con algunas piedras de derrumbe. Se encontró a una profundidad máxima de 0.3 m desde la superficie y se recuperaron solamente 19 fragmentos de cerámica.

Nivel 2-Lote 2: matriz de tierra café amarillenta suelta mezclada con piedras de escombros de tamaño pequeño y mediano. Se encontró a una profundidad de 0.3 a 0.64 m desde la superficie y se recuperaron 617 tiestos, una figurilla en forma de buho, 4 huesos de fauna, 1 malacate, 4 fragmentos de bajareque y 4 de lítica, incluyendo un fragmento de hacha de pedernal (Figura 6.4).



Figura 6.4. Algunos artefactos recuperados en CR115A-1-2-2. A) Figurilla en forma de búho. B) Malacate. C) Fragmentos de pedernal (Fotos por J. Ponce)

Nivel 2-Lote 4: este lote se asignó a 12 fragmentos de cerámica y un fragmento de estuco tallado encontrado en el Lote 2 (Figura 6.5). Dentro de la cerámica se identificaron los tipos Tinaja Rojo, Chaquiste Impreso y Encanto Estriado, pertenecientes a las fases Tepeu 1 y 2. Se encontró de 0.7 a 0.8 m de profundidad y como se verá más adelante, el material parece ser parte del depósito identificado en el Lote 5.



Figura 6.5. Fragmentos de cerámica y estuco *in situ* en CR115A-2-4 (Foto por J. Ponce)

Nivel 3-Lote 3: este lote consistió de tierra café amarillenta mezclada con caliza y piedras de escombros de tamaño pequeño y mediano. Se encontró asociado a dos cuerpos de mampostería de la Estructura 13R-1, los cuales se caracterizan por estar levemente inclinados y compuestos por piedras de aproximadamente 0.2 x 0.3 m cada una, unidas con amalgama. Los cuerpos están recubiertos con estuco, el cual se encontró conservado solamente en algunos sectores. Este lote se identificó solamente en el lado este de la unidad y se cree que el color amarillento y caliza se debe a restos de estuco provenientes de la fachada de la estructura. El primer cuerpo se encontró asentado sobre el piso de estuco del corredor entre las estructuras 13R-1 y 13R-7 (Figura 6.6). Posee una altura variable entre 0.4 y 0.73 m y una huella de 0.56 m. Por su parte, el segundo cuerpo posee una altura de 0.66 m y la inclinación del mismo impide el acceso a la parte superior de la estructura, por lo que se cree que es posible que éste no haya sido el acceso principal a la Estructura 13R-1. No se recuperó material cultural directamente asociado a este rasgo arquitectónico.



Figura 6.6. Cuerpos de mampostería de la Estructura 13R-1 vistos desde el oeste (Foto por J. Ponce)

Nivel 3-Lote 5: este quinto lote se le asignó a un depósito de materiales asociado a tierra compacta color café oscuro, mezclada con ceniza. Fue encontrado casi directamente sobre el piso de estuco, a una profundidad de 0.8 a 1.50 m desde la superficie (Figura 6.7). Se recuperó un total de 991 tiestos cerámicos, tres fragmentos de figurillas, tres de concha (Figura 6.8), tres de pedernal, un fragmento de obsidiana, y se tomaron dos muestras de tierra. Como parte del análisis preliminar de la cerámica, Caroline Parris (com. pers. 2016) identificó los tipos cerámicos Encanto Estriado, Cambio sin Engobe, Tinaja Rojo, Infierno Negro, Chaquiste Impreso, Chinja Impreso, Chilar Aflautado, Carmelita Incisco, Anonal Naranja Polícromo, Asote Naranja, Polícromos Saxché-Palmar y Gris Fino Chablekal, lo que fecha el depósito para después de 760 d.C. Estos tipos sugieren la presencia de cerámica utilitaria y de servicio, aunque las vasijas de servicio parecen predominar en forma de platos, vasos cilíndricos y cuencos pequeños de los grupos Saxché-Palmar, Infierno y Asote,

mientras que la mayoría de vasijas utilitarias pertenecen a los grupos Cambio y Tinaja en formas de cántaros y cuencos. Destaca también la presencia de algunos fragmentos de tambores y posibles incensarios.

Es importante mencionar que este material es similar a los dos depósitos hallados en la Estructura 13R-7 mencionados en la sección introductoria de este capítulo (Perla 2013: 229-233). Las formas y tipos cerámicos identificados son similares y parecen ser contemporáneos. Por lo tanto, se cree que posiblemente representa un depósito de restos primarios asociado a la Fase *Unen*. Dicho depósito se extendía al norte y sur del pozo respectivamente, por lo que no se retiró la totalidad del mismo. De igual manera, se encontró principalmente en la sección oeste del pozo y la cantidad de material disminuía hacia el este.



Figura 6.7. Algunos fragmentos de cerámica del depósito de CR115A-1-3-5 *in situ*
(Foto por J. Ponce)



Figura 6.8. Fragmentos de artefactos recuperados como parte del depósito de CR115A-1-3-5. Concha (izquierda) y figurillas (derecha) (Fotos por J. Ponce)

Nivel 3-Lote 6: este constó de tierra café oscura compacta, de color grisáceo, mezclada con piedras pequeñas y medianas sobre el piso de estuco, el cual se encontró a una profundidad máxima de 1.60 m desde la superficie. Se identificó de 0.8 a 1.60 m desde la superficie y se recuperaron 74 fragmentos de cerámica, un hueso de fauna y un fragmento de obsidiana.

Operación CR112: Excavaciones en la Estructura 13R-45

Suboperación CR112A

Estas unidades de 2 x 2 m se ubicaron en la Fachada Sureste de la Estructura 13R-45, con el objetivo de explorar su arquitectura exterior (Figura 6.9). Debido a que esta estructura no había sido investigada anteriormente, los pozos fueron colocados siguiendo la orientación de las piedras de derrumbe que sugerían que la orientación de la estructura era de aproximadamente 40° este del norte. Inicialmente se excavó la Unidad CR112A-1 y posteriormente, con el fin de obtener más información de los rasgos observados, se trazaron las unidades CR112A-2 y CR112A-3. La excavación de estas unidades fue horizontal y solamente se identificaron dos niveles y lotes.

Nivel 1-Lote 1: este primer lote constó de humus suelto con raíces y algunas piedras de derrumbe de aproximadamente 0.2 x 0.1 m cada una. Se encontró a una profundidad máxima de 0.15 m desde la superficie y se recuperaron solamente 11 fragmentos de cerámica en la Unidad CR112A-1. Por su parte, en la Unidad CR112A-2 se encontraron 10 fragmentos de cerámica, dos de estuco modelado, una figurilla y un hueso de fauna, mientras que en la Unidad CR112A-3 se recuperaron solamente nueve tiestos. Los restos de estuco modelado sugieren que la estructura poseía este tipo de decoración en su fachada exterior (Figura 6.10).

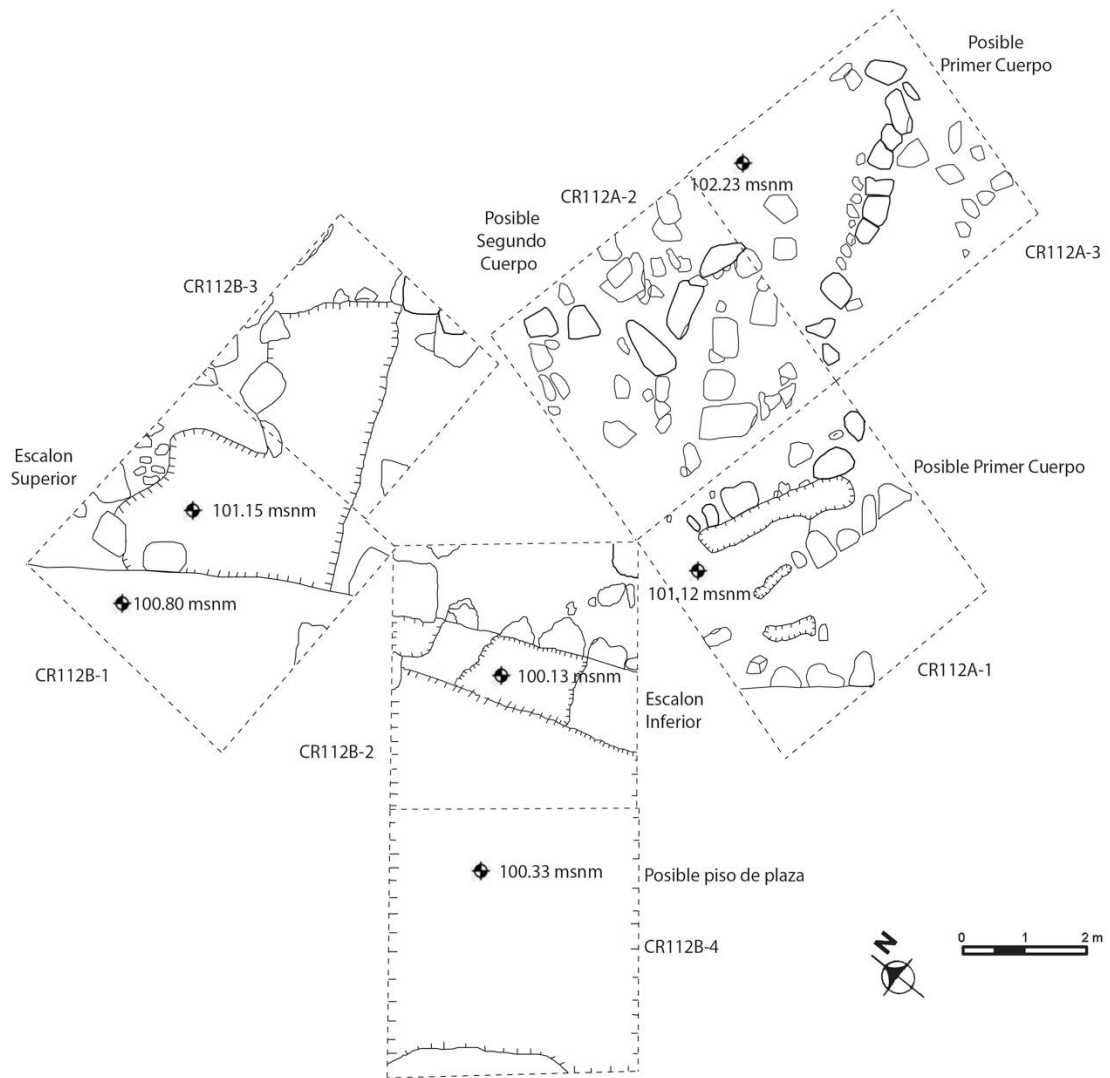


Figura 6.9. Planta de Rasgos encontrados en la Estructura 13R-45 (Dibujo por M. López y J. Ponce)



Figura 6.10. Piedras de derrumbe y restos de estuco modelado *in situ* en la Unidad CR112A-2-1-1 (Foto por J. Ponce)

Nivel 2-Lote 2: este lote constó de tierra café suelta, de color amarillento, mezclada con piedras de derrumbe y se encontró a una profundidad de 0.15-0.30 m desde la superficie. En la Unidad CR112A-1 se identificaron los restos de un escalón con orientación este-oeste (Figura 6.11). El mismo estaba conformado por piedras de aproximadamente 0.2 x 0.1 m, cada una con fachada hacia el sur y estuco en la parte superior, del cual solamente se conservaron algunos fragmentos. De igual manera, se identificó la posible esquina de un cuerpo de mampostería (Figura 6.12), el cual continúa hacia el noreste en la Unidad CR112A-3. En la Unidad CR112A-2 se identificó un posible segundo cuerpo de mampostería, aunque la definición del mismo no fue muy clara. En la Unidad CR112A-1 no se recuperó material cultural; en la Unidad CR112A-2 se recuperaron 10 tiestos y en la Unidad CR112A-3 solamente 13 fragmentos de cerámica. Cabe mencionar que algunos de los fragmentos de cerámica recuperados en la Unidad CR112A-3 formaron parte de un rasgo encontrado en la esquina suroeste del pozo. Estos fragmentos son burdos y miden aproximadamente 0.5 x 0.3 m cada uno (Figura 6.13). Poseen estrías en la parte exterior y un borde en el interior que los hace levemente acanalados. Es por ello que se cree que posiblemente formaban parte de un canal o algún rasgo relacionado al manejo de agua en la fachada de la Estructura 13R-45.



Figura 6.11. Escalón encontrado en la Unidad CR112A-1-2-2 (Foto por J. Ponce)

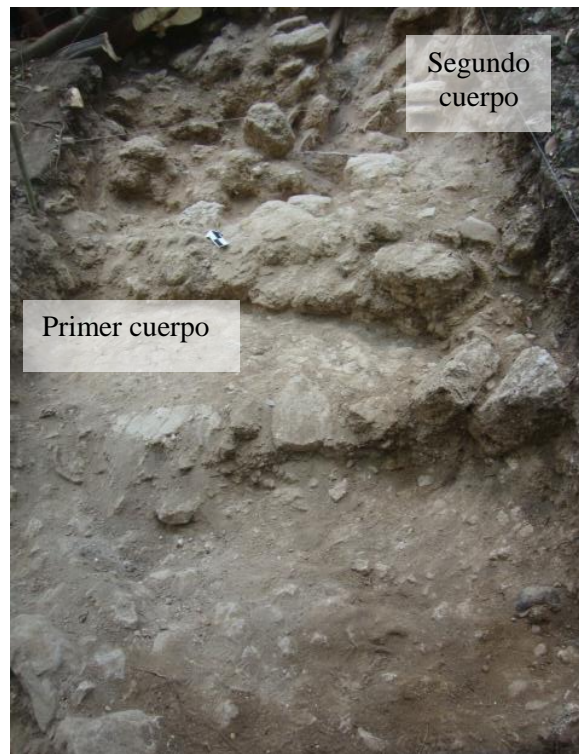


Figura 6.12. Vista desde el sur de posibles cuerpos de mampostería en las unidades CR112A-1 y CR112A-2 (Foto por J. Ponce)



Figura 6.13. Fragmentos de cerámica recuperados en la Unidad CR112A-2-2-2 (Foto por J. Ponce)

Suboperación CR112B

Unidades CR112B-1 y CR112B-3

Estas unidades se colocaron en la Fachada Noroeste de la Estructura 13R-45, cerca del eje central, con el doble objetivo de explorar la arquitectura de la última fase de la estructura y su relación con la Estructura 13R-7. La Unidad CR112B-1 fue de 2 x 2 m y la CR112B-3 fue de 1.18 (E-O) x 1.80 m (N-S), debido a que un árbol en el área no permitió que fuera de 2 x 2 m. Se identificaron dos niveles y tres lotes.

Nivel 1-Lote 1: este primer lote constó de humus suelto con material orgánico. En la esquina noreste de la Unidad CR112B-1 se identificaron algunos bloques de piedra caliza porosa, los cuales parecen haberse derrumbado de la Fachada Oeste de la estructura. Una de estas posee una incisión vertical y mide aproximadamente 0.5 x 0.2 m (Figura 6.14) y se cree que podría haber sido parte de una bóveda, mientras que los demás midieron aproximadamente 0.3 x 0.2 m. Se recuperaron 37 fragmentos de cerámica y dos de estuco modelado. Algunos de los fragmentos de cerámica recuperados fueron polícromos de tipo indeterminado, incluyendo los fragmentos de un vaso cilíndrico y un plato. En la Unidad CR112B-3 se removieron varias piedras de derrumbe y se recuperaron 16 fragmentos de cerámica y uno de estuco modelado.

Nivel 1-Lote 2: este lote se le asignó a tierra amarillenta mezclada con arena y piedrín que corresponde a tierra extraída de la Estructura 13R-2 en temporadas anteriores. La presencia de cerámica sugiere que parte de la misma corresponde a tierra extraída por saqueadores, por lo que se descartó el material recuperado en este lote.



Figura 6.14. Escalón estucado y piedras de derrumbe en la Unidad CR112B-1 (Foto por J. Ponce)

Nivel 2-Lote 3: este lote se le asignó a tierra café oscura suelta mezclada con piedras de escombros. En la Unidad CR112B-1 se identificó un escalón de 0.35 m de altura con orientación norte-sur, el cual se encontró con restos de estuco en estado de conservación relativamente bueno (Figura 6.15). El mismo está asentado sobre otra superficie estucada, la cual no fue posible identificar como otro escalón o el piso de estuco del área entre la Estructura 13R-7 y 13R-45. Se recuperaron 26 fragmentos de cerámica, uno de lítica, uno de

bajareque y 25 fragmentos de estuco modelado (Figura 6.16), los cuales nuevamente sugieren que la fachada exterior de la estructura se encontraba decorada.



Figura 6. 15. Escalón estucado en las unidades CR112B-1 y CR112B-3 (Foto por J. Ponce)



Figura 6.16. Algunos fragmentos de estuco modelado recuperados en la Unidad CR112B-1-2-3 (Foto por J. Ponce)

En la Unidad CR112B-3 se siguió el escalón hallado en la Unidad CR112B-1 hacia el interior de la estructura al este, donde se esperaba identificar algún rasgo arquitectónico conservado de la estructura como un muro o entrada. Se removieron varias piedras de derrumbe y se encontró que el escalón mide aproximadamente 2 m en dirección E-O. Sin embargo, el piso finalizó sin llegar a ningún rasgo arquitectónico claro. Se recuperaron dos fragmentos de cerámica y uno de estuco.

Unidades CR112B-2 y CR112B-4

Estas unidades se trazaron al sur de la Unidad CR112B-1 con el objetivo de encontrar el eje central del edificio e identificar la continuación del escalón identificado en CR112B-1. La presencia de un árbol no permitió colocar la unidad directamente al este de la Unidad CR112B-1, por lo que el pozo se trazó con una orientación distinta. Ambas unidades fueron de 2 x 2 m.

Nivel 1-Lote 1: este primer lote corresponde al humus suelto con material orgánico. No se recuperó material.

Nivel 2-Lote 2: este lote se le asignó a tierra café oscura suelta mezclada con piedras de escombros. En la Unidad CR112B-2 se encontró la continuación del escalón encontrado en CR112B-1, el cual posee una altura de 0.35 m y se encuentra asentado sobre un escalón inferior de 0.2 m de altura (Figura 6.17). Debido a que éste no se encontró en la Unidad CR112B-1, es posible que haga esquina en el área entre ambas unidades que no fue excavada. En el escalón superior se encontró una piedra caliza porosa tallada en forma rectangular, la cual mide aproximadamente 0.6 x 0.5 m y posiblemente formaba parte de la fachada principal. Este escalón fue el mismo identificado en las unidades CR112B-1, CR112B-2 y CR112A-1, sugiriendo que posiblemente la fachada principal de la Estructura 13R-45 se encontraba en el lado oeste. Se recuperaron 148 fragmentos de cerámica y uno de pedernal.

En la Unidad CR112B-4 se esperaba encontrar un tercer escalón, pero se encontró lo que parece ser el piso de plaza o un tercer escalón cuyo límite no fue encontrado. Se recuperaron dos fragmentos de pedernal y 224 de cerámica, incluyendo una venenera en la esquina suroeste del pozo (Figura 6.18).



A)



B)

Figura 6.17. Escalones y posible piso de plaza en las unidades
A) CR112B-2 y B) CR112B-2 y CR112B-4 (Fotos por J. Ponce)



Figura 6.18. Venenera encontrada en la Unidad CR112B-4-2-2 (Foto por J. Ponce)

Conclusiones

Las excavaciones en la Estructura 13R-1 resultaron en la identificación de dos cuerpos de mampostería en la Fachada Oeste. Debido a que no se identificaron indicios de acceso a la parte superior de la estructura por este sector, junto con la presencia del depósito hallado al pie de la estructura que podría representar desechos primarios, se cree que el acceso principal de la Estructura 13R-1 posiblemente fue por el lado norte. El depósito de cerámica, figurillas, concha y lítica, junto con lo que fue hallado en la Estructura 13R-7 en 2012, son interpretados como evidencia de actividades ceremoniales realizadas en el área a finales del siglo VIII correspondiente a la Fase *Unen*.

Por su parte, las excavaciones en la Estructura 13R-45 sugieren que la arquitectura de la última fase probablemente constaba de al menos dos cuerpos de mampostería en su parte exterior y rasgos para posible manejo de agua. Se cree que la Fachada Oeste pudo haber sido la fachada principal debido al hallazgo de los dos escalones descritos. La presencia de algunas piedras que parecen ser de bóveda, junto con estuco modelado, sugieren que la estructura posiblemente era abovedada y poseía decoraciones de estuco en el exterior. Dichas decoraciones han sido identificadas anteriormente en otras estructuras del Grupo Coronitas como la Estructura 13R-3 (Baron 2010) y la Estructura 13R-7 (Perla 2013). El análisis

preliminar de la cerámica sugiere que la Estructura 13R-45 fue utilizada durante el Clásico Tardío y es probable que su ocupación abarque hasta la Fase *Unen*, como el resto del Grupo Coronitas. Se espera que futuras excavaciones en las estructuras 13R-1 y 13R-45 sean enfocadas en investigar más a fondo los rasgos arquitectónicos de la última ocupación, al igual que su cronología y fases constructivas.

INVESTIGACIONES ARQUEOLÓGICAS EN LA CARIBA: TEMPORADA 2016

David Chatelain y Alejandro González

Introducción

La Cariba es un centro de tamaño medio localizado a 4.21 km al suroeste de la Plaza Principal de La Corona, situado en una elevación natural con vista al Río La Cariba que corre hacia el suroeste del sitio. El núcleo del sitio consiste en cinco grupos arquitectónicos distribuidos en un área de 2.76 hectáreas (Figura 7.1). Las investigaciones iniciaron en el año 2009 cuando el sitio fue descubierto y el grupo principal fue mapeado por Damien Marken (2010). No se llevaron a cabo trabajos posteriores en La Cariba hasta la Temporada 2012, cuando fue mapeado por completo por David Chatelain, Maxime Lamoureux St-Hilaire y Evan Parker (Chatelain et al. 2013). Las excavaciones en dicho sitio se reiniciaron desde 2014.

Las excavaciones durante la Temporada 2014 incluyeron siete pozos de prueba en cinco de las plazas, así como limpieza y perfilamiento de trincheras de saqueo y la excavación de un túnel en la Estructura A-5 al este de la Plaza Principal (Chatelain 2015). Los resultados de estas excavaciones revelaron que el sitio es principalmente Preclásico Tardío en construcción y fue abandonado para el Clásico Temprano. Una fase constructiva correspondiente al período Clásico Tardío también se identificó en todo el sitio. En la Plaza A se encontraron dos fases sustanciales del Preclásico Tardío, cubiertas por una leve fase del Clásico Tardío prácticamente indetectable. La Plaza C fue construida en tres fases más cortas durante el Preclásico Tardío, con un primer piso sobre roca madre, modificado en algunas áreas. Una fase efímera del Clásico Tardío también fue encontrada cerca de la superficie. La Plaza B fue construida en una sola fase del Preclásico Tardío, con una fase muy similar del Clásico Tardío. La Plaza F fue posiblemente construida y elevada durante el Clásico Tardío, sin embargo, ninguna evidencia clara de piso estucado fue encontrada. La Plaza D, inicialmente ocupada en una única fase del Preclásico Tardío, fue la única plaza en el sitio con una fase constructiva posterior y substancial correspondiente al Clásico Tardío. Dentro del relleno de esta fase constructiva se encontró una ofrenda grande que incluía al menos tres

vasijas polícromas, dos con dientes de infante y fragmentos de cráneo en su interior, junto con otras vasijas.

Las trincheras de saqueo de las estructuras A-2, A-4 y A-5 también fueron limpiadas y perfiladas, principalmente sus fases constructivas correspondientes al Clásico Tardío. Una tumba abovedada saqueada fue encontrada dentro de la trinchera de saqueo de la Estructura A-5, por lo que se continuaron excavaciones hacia dentro de esta trinchera, localizando un entierro triple que incluía un adulto femenino, un joven y un infante dentro de la fase contractiva del Clásico Tardío.

Las excavaciones durante la Temporada 2015 se centraron principalmente en las Estructuras A-1 y C-1, con el fin de proveer mayor detalle de datos cronológicos y arquitectónicos de dichas estructuras y sus respectivos grupos. Se encontró que la Estructura A-1 tenía tres fases constructivas del Preclásico Tardío, designados desde el más temprano al tardío como fase *Ha'*, fase *Chan* y fase *Ik*. No se realizaron excavaciones verticales hacia dentro de la estructura para determinar fases más tempranas. La única fase del Clásico Tardío, fase *K'ahk*, se localizó por encima de las fases Preclásico Tardío. Excavaciones horizontales expusieron mucha de la arquitectura de esta fase, que incluye una escalinata central con once escalones bien preservados. Los últimos cuatro escalones de esta escalinata fueron contruidos con paneles de piedra caliza de alta calidad, muy parecidos al penúltimo escalón de la Estructura 13Q-2 de La Corona (Guirola y Slowing 2013). La superestructura de la Estructura A-1 tuvo una construcción modesta, con paredes bajas de mampostería y techo pedercedero. Tres cuartos fueron expuestos durante las excavaciones, los cuales contenían pisos bien preservados, sin bancas. En la esquina izquierda de la parte posterior del cuarto más al norte (Cuarto C), se encontró el único piso, que contenía dos cántaros de almacenamiento del tipo Encanto Estriado. Por debajo de la escalinata de la estructura, al nivel de la plaza, se recuperó un fragmento del Altar 1, sugiriendo que la localización original del altar fue enfrente de la Estructura A-1, orientado a su eje central.

La Estructura C-1 también fue excavada intensivamente durante la Temporada 2015, con mayor enfoque de excavación vertical. Tres fases del edificio fueron reveladas, incluyendo las dos fases del Preclásico Tardío y una fase correspondiente al final del Clásico Tardío. Hasta donde fue expuesto dentro de las excavaciones, la fase inicial *Chiwoj* incluyó

una plataforma baja que se extendía hacia atrás 7 a 8 m, antes de elevarse en una serie de escalones de yeso. La fase sucesiva, fase *Sinik*, incluía una pared vertical de estuco con un estrecho descanso de muro por encima. Una pequeña escalinata de cuatro escalones se elevaba desde este descanso de muro hacia el descanso de muro superior de la estructura. Debajo del descanso de muro de esta fase se encontraron seis piedras de laja por encima de una pared inclinada. Las excavaciones por debajo de estas piedras revelaron una serie de tres rellenos intrusivos, de los cuales los últimos dos fueron casi estériles. Esta intrusión cortó a través de los escalones de estuco de la fase más temprana *Chiwoj*. Un recinto cuadrado y redondeado fue tallado en la roca madre por debajo de la intrusión, el cual se halló completamente vacío. La fase terminal de la Estructura C-1, la fase *Ahkan*, agregó una escalinata central a la estructura, a pesar de que se había colapsado casi por completo, y se observó que se renovó el descanso superior. La superestructura no fue expuesta con la extensión de la excavación. En general, la combinación de los resultados de las temporadas del 2014 y 2015 proporcionó un marco para interpretar los resultados de la Temporada 2016.

La Temporada 2016 se enfocó principalmente en los Grupos A y B, en el área central y norte del sitio (Figura 7.1). Los objetivos de esta temporada fueron (1) continuar las excavaciones verticales de la Estructura A-1; (2) exponer horizontalmente la arquitectura de la Estructura A-3; (3) localizar cualquier nicho(s) al este del Grupo B; y (4) exponer la arquitectura de una posible rampa en la parte noreste del sitio. Las excavaciones contaron con cuatro sub-operaciones para cumplir con estos objetivos: CAR2A, CAR3A, CAR11B y CAR 14A, respectivamente.

Sub-operación CAR2A

Se continuó la sub-operación CAR2A de la Temporada 2015, bajo de la dirección de David Chatelain. Se reabrieron las unidades CAR2A-1, CAR2A-2 y CAR2A-5, y se agregaron dos unidades adicionales: CAR2A-12 y CAR2A-13. La localización de cada unidad se muestra en la Figura 7.2; todas las unidades se orientaron a 20° Azimut, se excavaron por estratos naturales/culturales y cernidos a través de una malla de ¼".

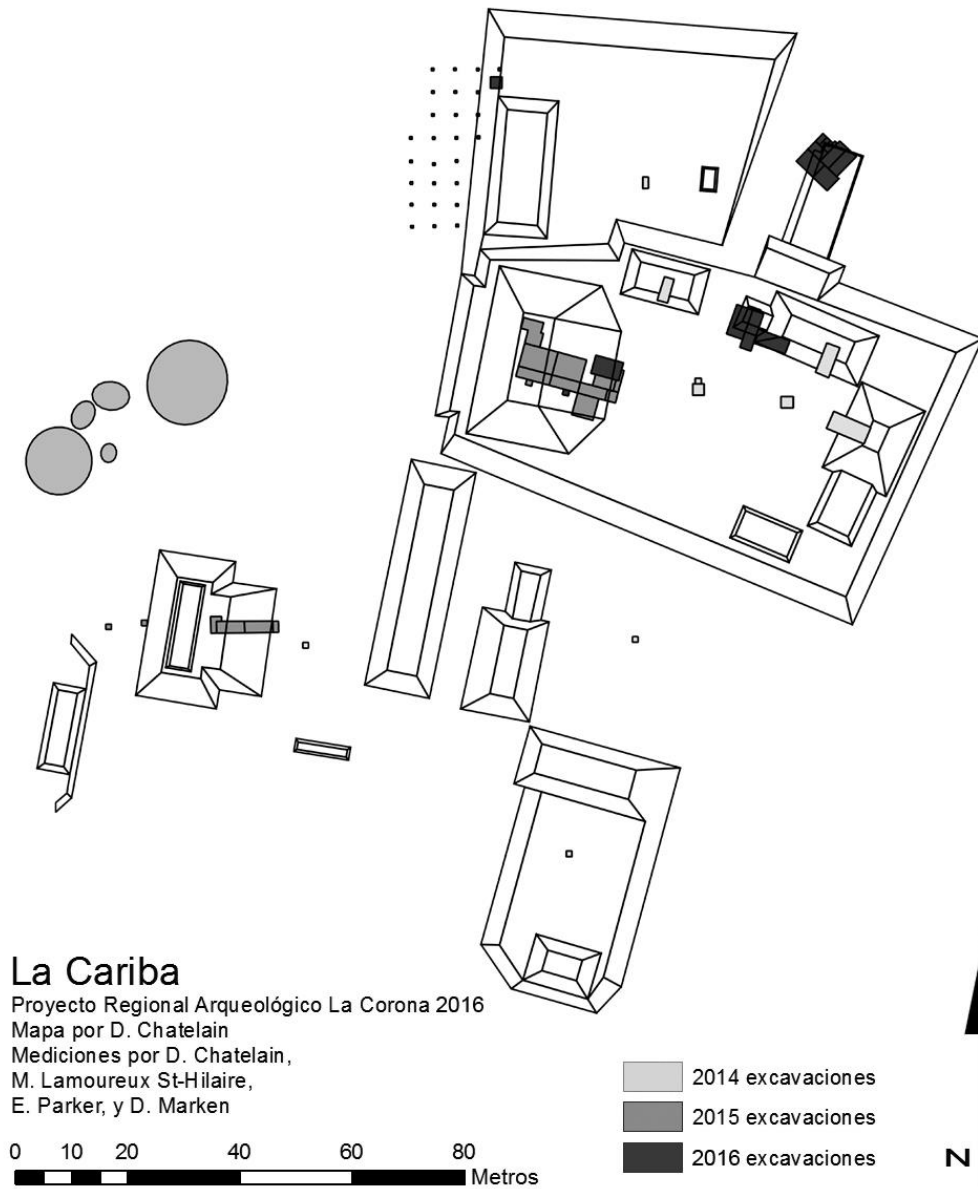


Figura 7.1. Mapa de La Cariba, con ubicaciones de excavaciones (Mapa por D. Chatelain).

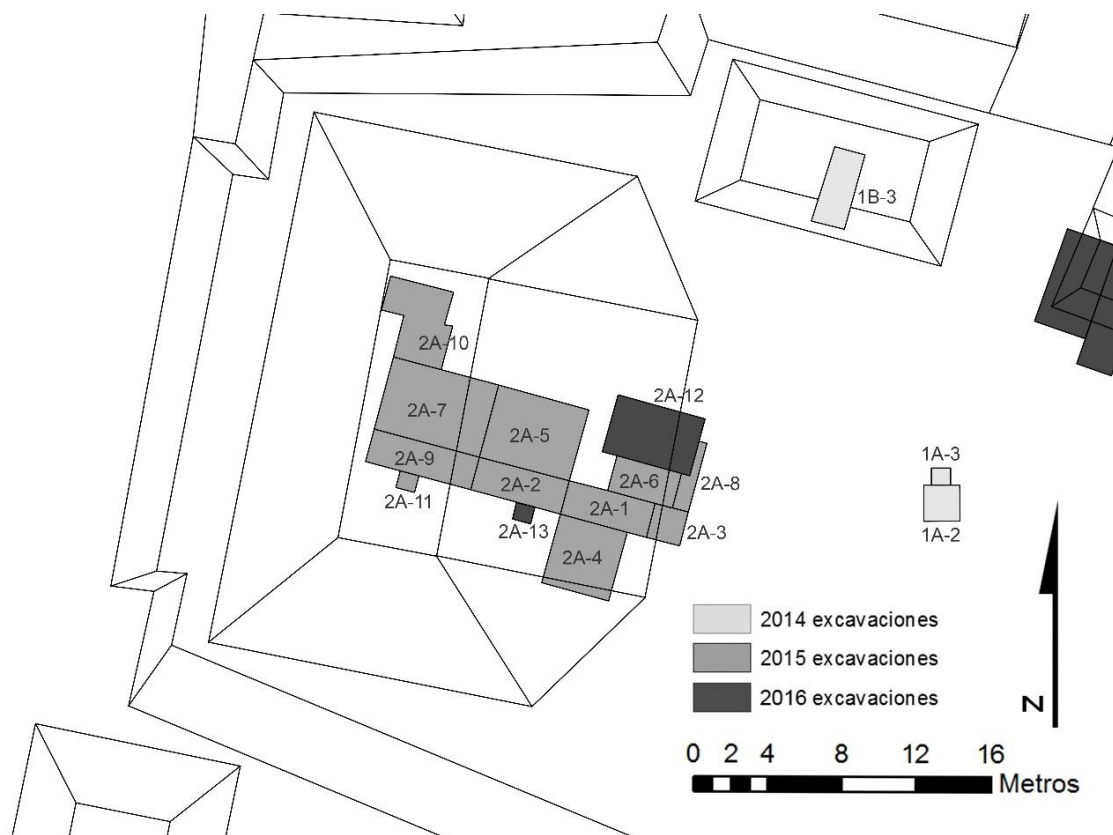


Figura 7.2. Ubicación de unidades, sub-operación CAR2A (Mapa por D. Chatelain).

El objetivo de la sub-operación CAR2A durante esta temporada de campo fue continuar con las excavaciones verticales en la Unidad CAR2A-2 y exponer más arquitectura del Preclásico Tardío. La Unidad CAR2A-12 fue excavada para localizar cualquier posible tumba debajo de la escalinata inferior sobre el eje central de la Estructura A-1, un rasgo que se presenta en La Corona.

Unidad CAR2A-1

La unidad CAR2A-1 fue retomada de la Temporada de campo 2015, una unidad de 2 x 5 m localizada en la parte inferior del lado Este de la Estructura A-1. En 2015, solo el humus (Estrato 1, lotes 1-2) fue removido, exponiendo el escalón inferior de la escalinata de la fase terminal *K'ahk'*, fechada para el Clásico Tardío. Durante la presente temporada, las excavaciones removieron partes de dicha escalinata con el fin de exponer la arquitectura por debajo, correspondiente al Preclásico Tardío. Entre estas dos temporadas un total de seis

estratos y 19 lotes fueron excavados. El estrato 2 (lotes 3, 12, 15 y 17) consistía de un relleno color café-caramelo claro con presencia de varias piedras de construcción talladas de tamaños variados (0.1-0.4 m). Este estrato representa el relleno constructivo de la fase Clásico Tardío *K'ahk'* de la Estructura A-1.

Aproximadamente 0.5 m por debajo de esta fase, el Estrato 3 (lotes 4, 7-8, 10, 13-14 y 16) consistió de relleno café compacto con pedrín de piedra caliza, correspondientes al relleno de la fase Preclásico Tardío *Chan*. Se encontró arquitectura muy preservada asociada a la fase *Chan* y pequeños fragmentos de estuco frente a la escalinata fueron encontrados en la mitad norte de la unidad (Figura 7.3). Un escalón de estuco mejor preservado continúa de las encontradas en el este de la Unidad CAR2A-2, las cuales también fueron encontradas en el área suroeste de la Unidad CAR2A-1. Sin embargo, un registro de 1 x 0.5 m (N-S) debajo de estos escalones reveló un relleno diferente (Estrato 6) al relleno compacto con pedrín (Estrato 3) de la fase *Chan*. El Estrato 6 (lote 19) fue un relleno color amarillo-café claro, con piedras pequeñas de construcción. Mientras que este estrato encajaría mejor estratigráficamente con la fase *Chan*, el relleno por sí mismo debe representar la fase subsiguiente *Ik'* encontrada en la Unidad CAR2A-2. Pudiera ser que esta escalinata fuera parte de la fase *Ik'*, lo cual involucraría el ensanchamiento de los escalones superiores; o bien, pudo haber sido simplemente una variación en el relleno de la fase *Chan*. Lamentablemente, no fueron posibles más excavaciones verticales para resolver esta cuestión (Figura 7.3).

En general, la escalinata de la fase *Chan* parece haber sido construida con poca mampostería, con un relleno compacto que fungía como soporte y cubierta con un revestimiento fino de cal. Esta fase, en su mayoría colapsada, debió haber articulado con la fase final del Preclásico Tardío de la plaza, ahora llamada fase *Chan*. Parte del piso estucado de la fase *Chan* fue encontrado dentro de la unidad y por debajo de él un relleno idéntico a la fase *Chan* de la estructura misma, sugiriendo fuertemente que la expansión de la estructura y la plaza fueron construidas simultáneamente.

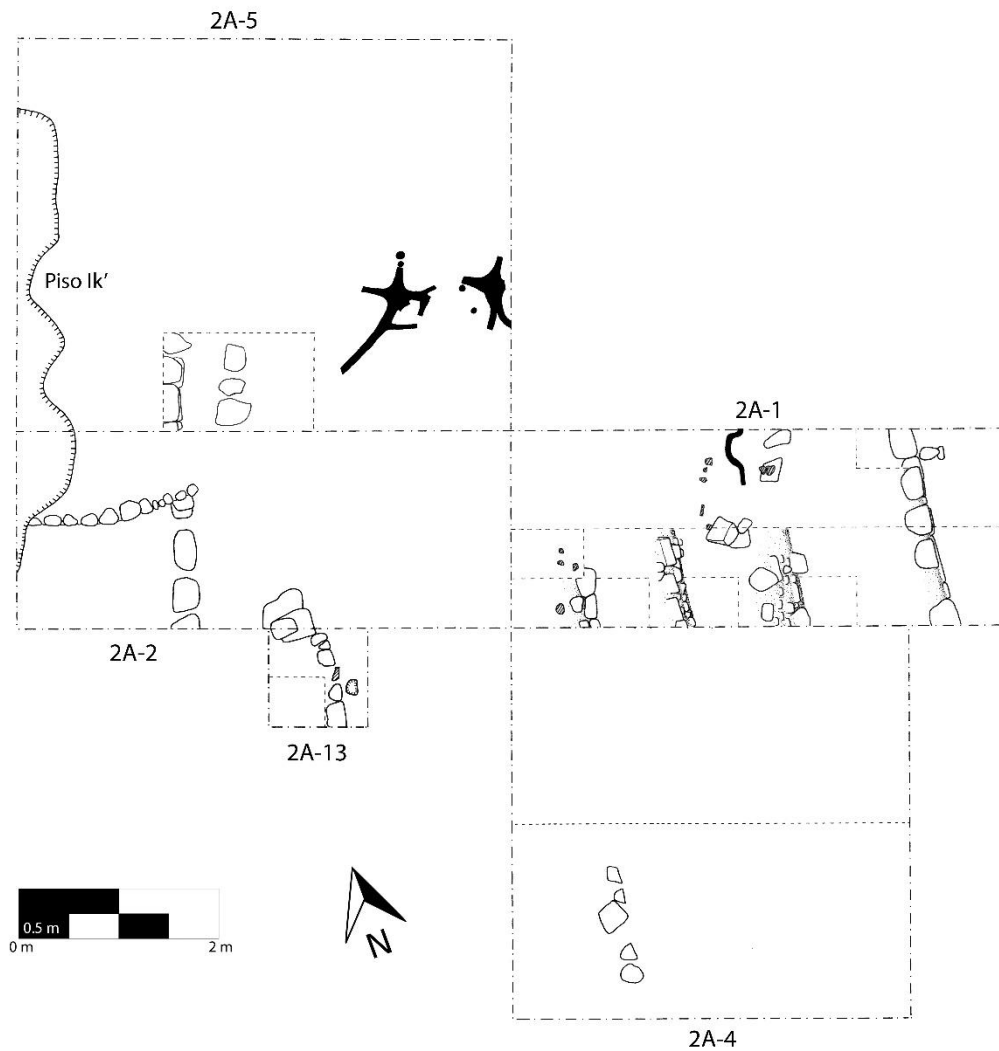


Figura 7.3. Planta de arquitectura del Preclásico Tardío, sub-operación CAR2A (Dibujo y calco por D. Chatelain).

Aproximadamente otros 0.5 m por debajo del colapso de la fase arquitectónica *Chan*, se encontraron tres muros escalonados, un escalón y un descanso de una fase más temprana (Figuras 7.5 y 7.6). Esta fase más temprana continuaba debajo del nivel de la fase *Chan* de la plaza, lo que significa que probablemente articula con la fase inicial de la plaza, ahora nombrada fase *Ha'*. Esta fase arquitectónica *Ha'* fue bastante burda en su construcción, con piedras sin tallar que definían sus muros. Sin embargo, esta arquitectura se asemeja bastante a la arquitectura de la plataforma baja central de la Plaza A, encontrada en la Unidad CAR1A-2 durante la Temporada de campo 2014.

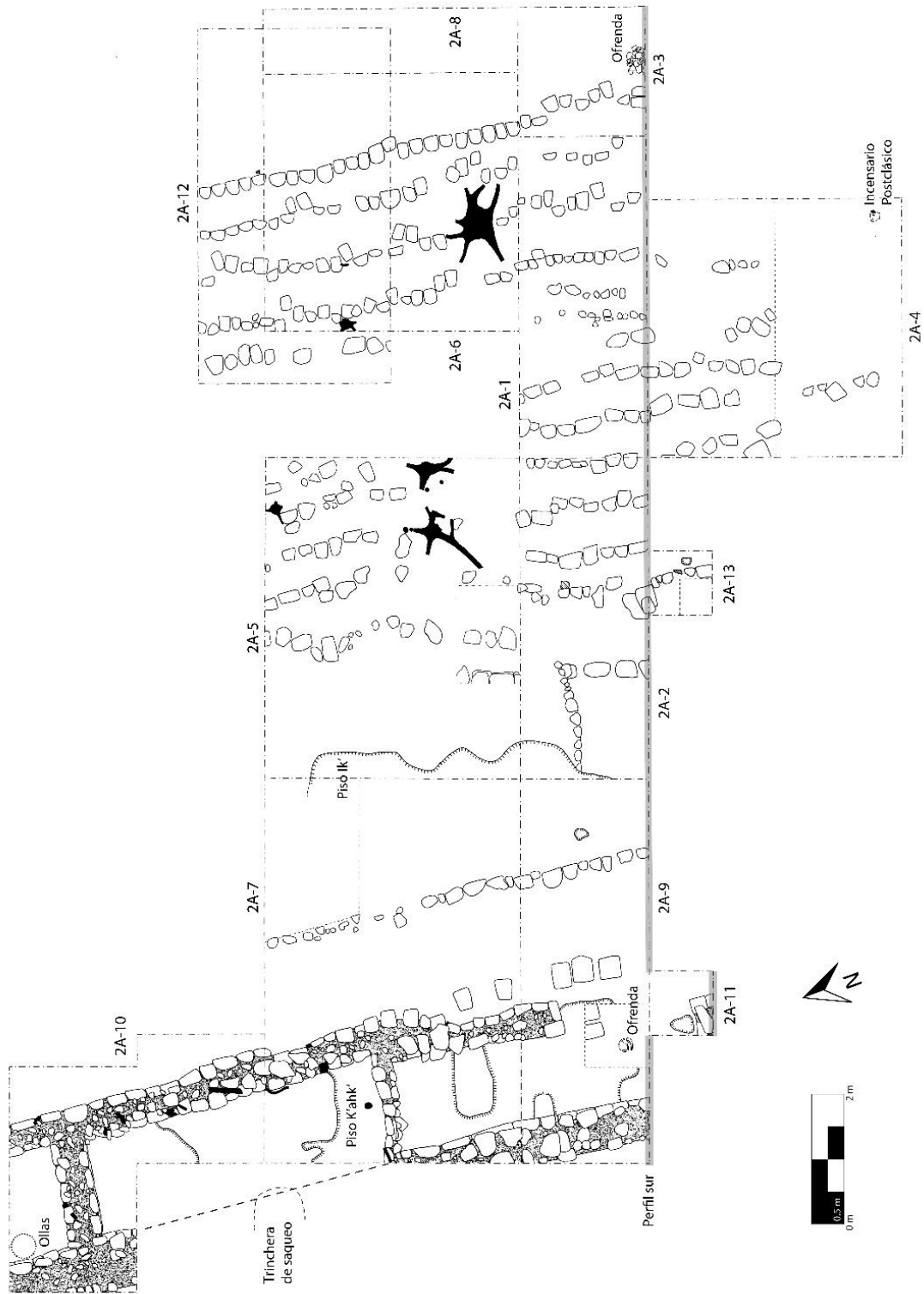


Figura 7.4. Planta de sub-operación CAR2A, 2015 y 2016 (Dibujo y calco por D. Chatelain).

Los muros escalonados de la fase *Ha'* fueron aproximadamente de 0.75 m en altura y 0.7 a 0.8 m en profundidad. Dos registros de 0.5 x 0.5 m fueron excavados debajo de la base de los dos muros superiores para comparar los rellenos constructivos de estos elementos arquitectónicos. Ambos registros revelaron un relleno constructivo igual, el Estrato 4 (lotes 5-6, 9 y 18), que consistía de un relleno amarillo-marrón con piedras de construcción talladas muy compactas. Debajo del muro escalonado más bajo, pobremente preservado, había un descanso de aproximadamente 1.4 m de profundidad. La parte frontal de este descanso está definida por una línea de bloques de piedra bien definidas que formaban un escalón de dos filas de 0.3 m de alto. La orientación de éste fue aproximadamente 2° E del N, al igual que la orientación de los muros escalonados superiores. En la base del descanso de la terraza inferior se excavó un registro de 1 x 0.5 m, en donde se localizó el mismo relleno amarillo-marrón del Estrato 4. Debajo de este escalón delgado de 0.3 m, en la parte este de la unidad, se logró observar un piso de estuco erosionado. Este piso probablemente formaba parte del escalón anterior, a pesar de estar aproximadamente a 1 m de profundidad en la parte norte de la unidad. A pesar de ello, el descanso, escalón y piso erosionado fueron localizados directamente debajo del piso *Chan* de la plaza, lo que significa que esta fase arquitectónica probablemente continuaba hacia la fase inicial *Ha'*. Lamentablemente, el tiempo no permitió extender la unidad hacia el este, siguiendo en dirección a la fase inicial de la Estructura A-1. Un último registro de 0.5 x 0.5 m fue colocado debajo de la base del escalón inferior, removiendo el piso erosionado. Aquí el estrato cambió a un relleno café intermedio con piedras talladas compactadas densamente (Estrato 5, lote 11). El relleno cambió únicamente un poco en color y no en composición ni textura, lo cual podría indicar solo una variación dentro del relleno. Sin embargo, es posible que se esté distinguiendo dos renovaciones de la fachada frontal inferior de la fase *Ha'* de la Estructura A-1. En cualquier caso, estos rasgos arquitectónicos corresponden a un único piso de la fase *Ha'* (ver Unidad 2A-2).



Figura 7.5. Perfil sur de sub-operación CAR2A (Dibujo y calco por D. Chatelain).



Figura 7.6. Foto de la arquitectura del Fase *Ha'*, vista al sur (Fotografía por D. Chatelain).

Unidad CAR2A-2

La Unidad CAR2A-1 se reabrió como continuación de lo excavado en la Temporada 2015. Consistía en una unidad de 2 x 5 m al este de Unidad CAR2A-1, moviéndose hacia arriba de la fachada frontal de la Estructura A-1. En la Temporada 2015, se identificaron seis estratos y cinco fases/renovaciones arquitectónicas en nueve lotes. El Estrato 1 (lote 1) corresponde a la capa de humus, el cual consiste de matriz suave de color café oscuro mezclada con piedras de colapso. Debajo del humus había cuatro líneas de la escalinata de la fase Clásico Tardío *K'ahk'*.

El Estrato 2 (lotes 2-4) corresponde a un relleno café-caramelo claro de la fase *K'ahk'*. Debajo del relleno de la fase *K'ahk'* se encontró un piso erosionado de la fase *Ik'*, la última fase constructiva del Preclásico Tardío, el cual elevó la superficie del piso superior de la

Estructura A-1 por 0.55 m. El Estrato 3 (lote 5) fue el relleno suave y suelto de color café de la fase *Ik'*. El piso *Chan 2* fue encontrado a 0.55 m debajo del piso *Ik'* y el piso *Chan 1* fue encontrado a otros 0.15 m por debajo. El Estrato 4 (lote 6) y Estrato 5 (lotes 7-8) fueron el relleno compacto color café claro con piedrín de la fase *Chan*. A otros 0.2 m por debajo, se encontró el piso *Ha'*, la fase arquitectónica más temprana expuesta durante la Temporada 2015. Las excavaciones durante esta temporada iniciaron debajo del piso *Ha'*, pero no expusieron ninguna fase arquitectónica más temprana antes de finalizar la temporada de campo. El Estrato 6 (lote 9) fue un relleno café oscuro suave con piedras de construcción talladas directamente debajo del piso *Ha'* en el área este del lote 9. El Estrato 7 (lote 9) fue un relleno amarillento rocoso en la sección más este del lote 9, al este de donde el piso *Ha'* estaba erosionado.

Adicionalmente, en 2015 se descubrió una piedra de esquina bien tallada que sobresalía por encima del piso *Chan 1* en el perfil sur de la Unidad CAR2A-2, junto con una piedra estucada detrás de ella en el perfil. Por lo tanto, la Unidad CAR2A-13, se extendió desde el muro sur de la Unidad CAR2A-2 con el fin de seguir este rasgo y definir sus características arquitectónicas (ver unidad CAR2A-13). Frente a este rasgo, en 2015 se expuso un muro redondeado encima del piso *Chan 2*, el cual parecía terminar dentro de la unidad. Un registro dentro de la Unidad CAR2A-5 fue excavado en 2016, siguiendo este rasgo con el fin determinar si se convertía en una esquina o si seguía norte (ver Unidad CAR2A-5). La hipótesis durante esta temporada de campo fue que estos dos rasgos pudieron haber sido una superestructura asociada con la fase *Chan*, con una plataforma central redondeada o un edificio y dos edificios rectilíneos al sur y al norte. Al final, esta hipótesis fue rechazada basándose en la evidencia recuperada.

Cinco lotes adicionales fueron excavados durante la Temporada 2016 en la Unidad CAR2A-2, sin ningún estrato nuevo encontrado. Los lotes 10-11 fueron localizados en el área este de la unidad y excavados atravesando el relleno café-caramelo claro (Estrato 2) de la fase *K'ahk* para localizar una fase arquitectónica más temprana. A solo 0.1 m por debajo, dos escalones Preclásico Tardío fueron encontrados. Cómo fue discutido en la Unidad CAR2A-1, estos escalones aparentaban continuar hacia el piso *Chan 1* en el perfil, pero el relleno por debajo expuesto en la Unidad CAR2A-1 se asemejaba al relleno de la fase *Ik'*. Es posible entonces que esta escalinata haya estado asociado a la fase *Chan* o que la escalinata

superior se haya ampliado durante la fase *Ik'*. En cualquier caso, es certero que estos escalones estuvieron asociados con la arquitectura terminal del Preclásico Tardío de esta escalinata, el cual se encontró con el piso *Chan* de la Plaza A.

Los lotes 12-13 continuaron dentro del Estrato 6, el relleno café obscuro rocoso de la fase *Ha'*, debajo del nivel de las excavaciones de 2015. Estos lotes continuaron hacia abajo por 2.77 m, a 0.62 m por debajo del nivel de la fase *Chan* de la plaza. Puesto que las excavaciones se tornaron dificultosas, el lote 13 se finalizó arbitrariamente. El relleno de la fase *Ha'* consistió de un relleno café obscuro con varias piedras de construcción talladas a 3.46 m por debajo de la fase del piso. El relleno se caracterizó por la presencia de piedras grandes, algunas cercanas a 1 m de largo. Algunas bolsas dentro de este relleno fueron puestas en seco, sin matriz de tierra. La fase *Ha'* parece haber sido la fase inicial de la Estructura A-1, la cual se elevó aproximadamente 4 m por encima de la fase *Ha'* de la plaza.

El lote 14 fue una extensión mínima del Lote CAR2-A-5-3-4 hacia la Unidad CAR2A-2. Fue excavado dentro del Estrato 4, el relleno *Chan*, para intentar localizar la esquina del muro redondeado expuesto durante la Temporada 2015. No se encontró ninguna esquina, pero sí un fragmento de piso *Chan 2*. A diferencia de lo planteado en la hipótesis, este muro redondeado no parece ser parte de la superestructura asociada con la fase *Chan* (véase la unidad CAR2A-5).

Unidad CAR2A-5

La Unidad CAR2A-5 fue una unidad de 4 x 5 m excavada durante la Temporada de Campo 2015. Expuso parte de la escalinata de la fase *K'ahk'* y el piso más temprano *Ik'*. El Estrato 1 (lote 1) consistió del humus color café obscuro y el Estrato 2 (lote 2) fue un relleno café caramelo claro de la fase *K'ahk'*. El Estrato 3 consistía de un relleno café claro de la fase *Ik'*.

Durante la Temporada 2016, se excavó un registro de 1.5 x 1 m dentro de la unidad, a lo largo del muro sur. El objetivo de este registro fue seguir el muro redondo expuesto en la Unidad CAR2A-2 durante la Temporada 2015, para comprobar si se trataba de alguna estructura redonda, ya fuera una plataforma o un cuarto. El Lote 5, excavado dentro del relleno café claro de la fase *Ik'*, eventualmente expuso dos alineamientos de piedras orientados aproximadamente norte-sur, posiblemente representando escalones (Figuras 7.7 y

7.8). El Lote 6 removió el posible escalón inferior y continuó por debajo, exponiendo el relleno compacto de piedrín de la fase *Chan* debajo de los escalones, con más relleno café claro de la fase *Ik'* por enfrente. El alineamiento al este también formaba parte de un muro (aproximadamente 0.4 m de alto) que continuaba abajo (Figura 7.9), siendo posiblemente un muro de contención.



Figura 7.7. Planta de excavación, Unidad CAR2A-5 (Dibujo y calco por D. Chatelain).

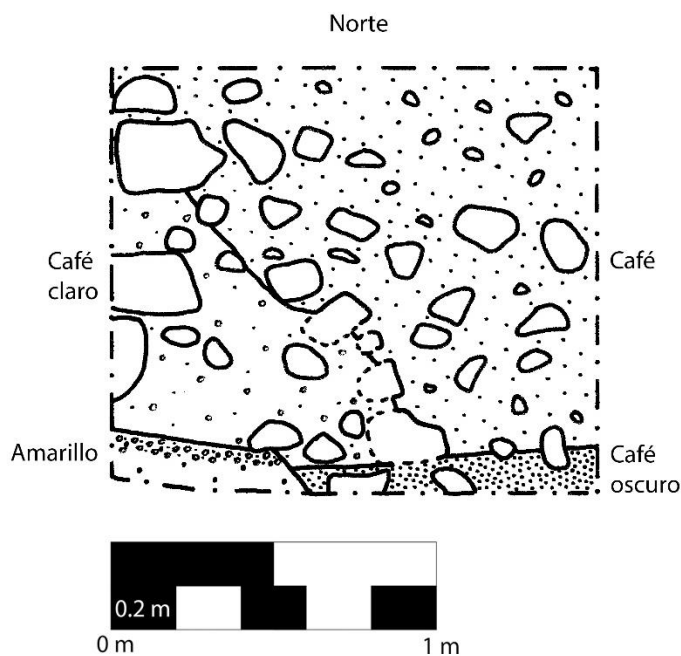


Figura 7.8. Perfil norte, Unidad CAR2A-5 (Dibujo y calco por D. Chatelain).

El lote 6 removió las piedras centrales del muro expuesto en el perfil este del registro, revelando el relleno compacto de pedrín de la fase *Chan* por debajo del muro. Debajo de este muro, se encontró una capa delgada de relleno de pedrín amarillo claro, el cual parecía una superficie erosionada, con una sección delgada del relleno café oscuro *Ha'* expuesto por debajo. Aparentemente el muro de la fase *Chan* y posiblemente los escalones fueron construidos directamente sobre la fase *Ha'*

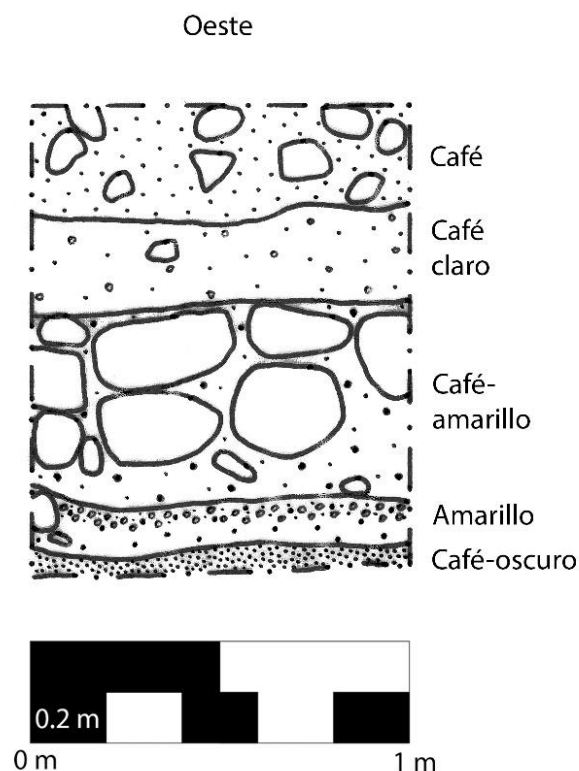


Figura 7.9. Perfil oeste, Unidad CAR2A-5 (Dibujo y calco por D. Chatelain).

Es notable que, dentro de esta excavación, la fase arquitectónica *Chan* y *Ha'* fueron encontradas con una elevación más baja a la Unidad CAR2A-2, solo hacia la parte sur. Sin embargo, no se expuso suficiente arquitectura para establecer esto con certeza. Esto es probablemente porque los rasgos expuestos en la Unidad CAR2A-5 de esta temporada fueron partes secuenciales de los escalones asociados con las fases *Ha'* y *Chan*. Esta interpretación encaja con los posibles escalones de la fase *Chan* encontradas aquí y explica su elevación inferior al del descanso superior en el sur. Dada la localización del registro de la Unidad

CAR2A-5, cercana al eje central de la estructura, este escenario parece ser probable. Ninguna continuación del muro redondo de la Unidad CAR2A-2 fue encontrado dentro de esta excavación, sugiriendo que no era una superestructura, sino más bien un muro de contención dentro de la fase *Ik'*; sin embargo, esta interpretación sigue siendo incierta.

Unidad CAR2A-12

CAR2A-12 fue una unidad de 3 x 5.5 m localizada a través de la escalinata inferior de la Estructura A-1, en el eje central y limitando parcialmente con la Unidad CAR2A-6 de la Temporada 2015. Su objetivo fue excavar verticalmente debajo de la escalinata Clásico Tardío de la Estructura A-1, a lo largo del eje central, con el fin de localizar un posible entierro dentro de este contexto. Dado el patrón de tumbas reales por debajo de las escalinatas inferiores en las estructuras de La Corona, era importante verificar si la presencia de una tumba dentro de estos contextos estuviera presente en La Cariba.

La Unidad CAR2A-12 alcanzó una profundidad máxima de 1.13 m con cinco lotes. El Estrato 1 (lote 1-2) incluía el estrato de humus, el cual era una matriz suave de color café oscuro con algunas piedras de derrumbe. Debajo del humus se encontraron los escalones 1-5 de la escalinata de la fase *K'ahk'* (Figura 7.10), algunos de los cuales habían sido expuestos durante la temporada pasada en la Unidad CAR2A-6. Debajo de uno de los paneles del primer escalón, cerca de la parte norte de la unidad, se encontró una vasija parcialmente fragmentada que fue dejada sobre la superficie de la plaza. La vasija (CAR-V009) era un vaso cilíndrico Azote Anaranjado (C. Parris, comunicación personal, 2016).

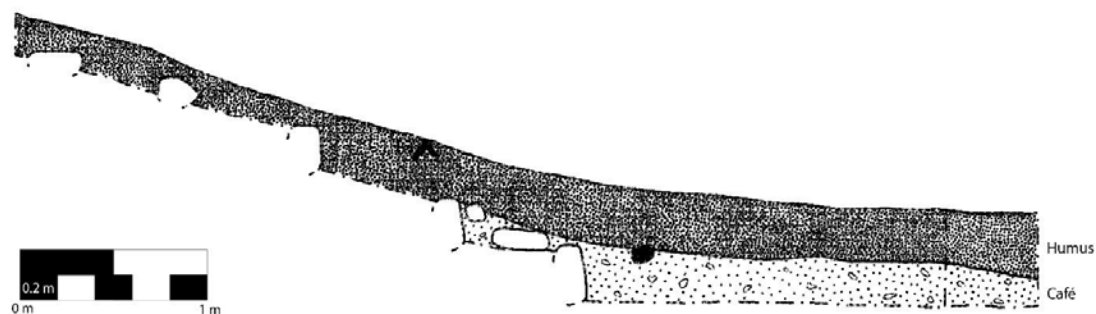


Figura 7.10. Perfil norte de Unidad CAR2A-12 (Dibujo y calco por D. Chatelain).

El Lote 3 estrechó la unidad a una excavación de 3 x 3 m al oeste del escalón inferior. El escalón se dejó intacto como un referente espacial y el Lote 3 se excavó a través del Estrato 2, el relleno café caramelo claro de la fase *K'ahk'*. Debajo de este nivel se encontró el relleno café compacto de piedrín (Estrato 3) de la fase Preclásico Tardío *Chan* sin ninguna arquitectura intacta ni estuco dentro de esta unidad. La unidad se redujo aún más a 1.5 x 3 m (Lote 4) y luego a una excavación de 1.5 x 1 m (Lote 5). El Lote 5 fue cerrado arbitrariamente al final de la temporada, y no se encontró evidencia de entierro o arquitectura de tumba; sin embargo, se identificó una alta concentración de cerámica en este contexto.

Unidad CAR2A-13

La Unidad CAR2A-13 fue una unidad de 1 x 1 m adyacente al perfil sur de la Unidad CAR2A-2. Se excavó a una profundidad máxima de 1.45 m y su objetivo fue seguir la piedra de esquina redondeada expuesta en el perfil sur de la Unidad CAR2A-2. En última instancia, la pared continuaba, probablemente como parte de una pared frontal adosada a la parte superior de la terraza.

El Estrato 1 (lote 1) correspondió al humus, una matriz suave de color café oscuro con algunas piedras de derrumbe. El Estrato 2 (lote 2) fue el relleno café caramelo claro de la fase *K'ahk'*, sin ninguna arquitectura intacta. Debajo de este estrato, la piedra de esquina redondeada continuaba al sur haciendo un muro bajo de 0.3 m de alto (Figuras 7.11 y 7.12).

El muro sobresalía 0.13 m desde la piedra de esquina redondeada, otorgándole una esquina remetida. Un área pequeña de revestimiento de estuco preservado se encontraba en la cara vertical del muro, al igual que una sección de piso de estuco, aproximadamente 0.02 m encima del piso *Chan 2*. La orientación del muro fue alrededor de 10° E del N. Un registro de 0.5 x 0.6 m fue excavado a lo largo del perfil sur dentro del lote 3, con el fin de acceder a la estratigrafía por detrás del muro. El relleno compacto de piedrín de la fase *Chan* (Estrato 3) se halló detrás del muro y continuó por debajo del nivel del piso *Chan* por enfrente. Ningún artefacto fue recuperado del relleno de este lote. La presencia del relleno de la fase *Chan* detrás del muro y la falta de una cara interior o piso, reveló que este no era un cuarto. Lo más probable es que este muro con una esquina remetida dentro del perfil sur de la Unidad CAR2A-2, haya sido parte de un muro de terraza sobresaliente al descanso superior sur, encontrado en la Unidad CAR2A-2.

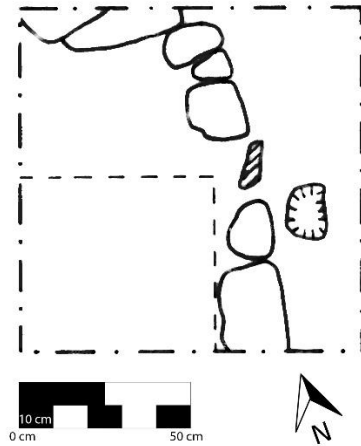


Figura 7.11. Planta de Unidad CAR2A-13 (Dibujo y calco por D. Chatelain).

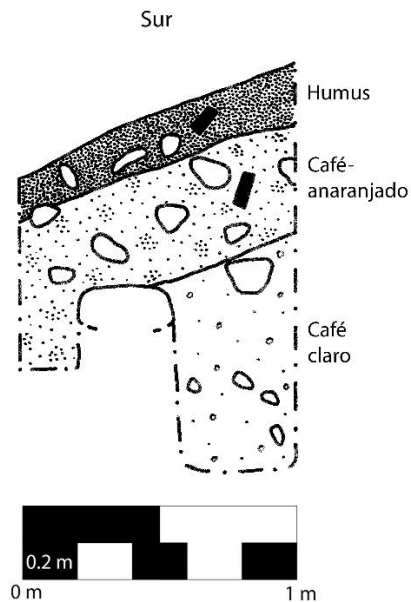


Figura 7.12. Perfil sur de Unidad CAR2A-13 (Dibujo y calco por D. Chatelain).

Resultados/Conclusiones

Las excavaciones llevadas a cabo en la sub-operación 2A durante la Temporada 2016 cumplieron con los objetivos, revelando la secuencia arquitectónica de la Estructura A-1 y exponiendo los elementos de la arquitectura de la fase Preclásico Tardío. La fase inicial *Ha'*, fechada para el Preclásico Tardío, fue construida sobre la fase inicial del piso de la plaza. Aparentemente solo una fase parece estar asociada con la fase inicial de la plaza, sin embargo,

las excavaciones fueron poco intrusivas y no se puede estar completamente seguro. El relleno amarillo detrás de la fachada frontal de *Ha'* difiere del relleno café oscuro debajo del piso superior, los cuales pueden ser parte de una única construcción. Sin embargo, es también posible que este relleno amarillo haya sido parte de una adición tardía. La transición entre estos dos rellenos visto en el perfil sur de la Unidad CAR2A-2, sin ninguna fachada anterior entre ellos, sugiere que en su conjunto pertenecen a un solo episodio constructivo. La fase *Ha'* de la Estructura A-1 se habría elevado a 4.9 m por encima del nivel de la plaza, elevándose 2 m sobre roca madre. La fase *Ha'* del Grupo A en su totalidad se estima en 9,419 m³ de volumen en construcción, aproximadamente 1.5 veces mayor que la de las fases posteriores *Chan* e *Ik'*, y más de cinco veces la de la fase *K'ahk'*. La forma de la fase *Ha'* de la Estructura A-1 fue parcialmente expuesta, pero pudo haber incluido una escalinata inferior con un descanso estrecho a media altura y una escalinata más angosta que subía al descanso.

Una posible piedra de esquina de un muro de terraza se encontró en el perfil sur de la Unidad CAR2A-2, justamente debajo de un muro de terraza definida por la fase más tardía *Chan*. Así, la fase *Ha'* pudo haber tenido la misma forma arquitectónica básica de la fase *Chan*, con una escalinata remetida central y un muro de terraza saliente sobre el descanso. Una técnica constructiva bastante burda caracteriza los muros frontales de la terraza expuestos dentro de las excavaciones; con piedras sin labrar y con un revestimiento de estuco muy fino mal preservado. Solo el escalón debajo del descanso medio fue construido con bloques de piedras bien labradas. Esta arquitectura burda coincide con la plataforma de la fase *Ha'* en el centro de la Plaza A encontrada en la Unidad CAR1A-2 en 2014. Mientras que la fase *Ha'* del Grupo A se caracteriza por su alta inversión laboral, carece de técnicas finas de construcción.

La fase *Chan* es la siguiente del Preclásico Tardío en el Grupo A. Se elevó la superficie de la plaza a 1.5 m, pero solo elevó la Estructura A-1 por 0.2 m, cortando su altura relativa a la plaza por 1.3 m. Aparentemente, la prioridad durante la fase *Chan* fue una plataforma basal monumental en la plaza, en lugar de ampliar la estructura más monumental del sitio. La arquitectura de la fase *Chan* se preservó muy mal, sin embargo incluyó una escalinata central más ancha que la escalina de la fase *Ha'*, probablemente remetida, con muros frontales por encima del descanso. La terraza superior probablemente fue removida, elevando el piso a 0.15 m.

La fase Preclásico Tardío *Ik'* de la Estructura A-1 se concentró en el descanso superior, elevándolo a 0.55 m. La escalinata superior pudo haber sido extendida durante esta fase, sin embargo, aún es incierto.

Durante la reocupación del Clásico Tardío en La Cariba, probablemente en la primera mitad del siglo VIII d.C. (fase *K'ahk'*), la Estructura A-1 se expandió mínimamente. El volumen constructivo de esta fase fue mínimo, con un revestimiento relativamente delgado sobre la escalinata y los muros de la fase Preclásico Tardío. La escalinata frontal de esta fase fue bastante ancha y continuó hasta el descanso superior de la estructura. La construcción de dicha escalinata fue burda, con mínima mampostería, a excepción de las cuatro filas de escalones más bajas. Estas cuatro líneas de escalones se construyeron con paneles de caliza de alta calidad muy bien definidas. El estilo arquitectónico se parecía bastante al de la Estructura 13Q-2 de La Corona (Chatelain y González 2016; Guirola y Slowing 2013). La superestructura de la fase *K'ahk'* fue modesta en construcción, con cimientos de mampostería bajos y techos percederos.

Sub-operación CAR3A

La sub-operación CAR3A fue excavada bajo la dirección de Alejandro González. Esta sub-operación consistió de cinco unidades (CAR3A-1 a CAR3A-5). Las unidades que integran la sub-operación se ubicaron sobre la Estructura A-3, en el lado norte de la Plaza A. Las ubicaciones de cada unidad están ilustradas en la Figura 7.13, y las unidades fueron orientadas al norte magnético. Todas las unidades utilizaron niveles naturales/culturales y toda la tierra fue cernida en cedazos de 1/4". El objetivo final de toda la sub-operación fue exponer horizontalmente la última fase arquitectónica de dicha estructura y comprender la articulación de la Estructura A-3 con la Estructura A-4; así como también definir la función de la Estructura A-3.

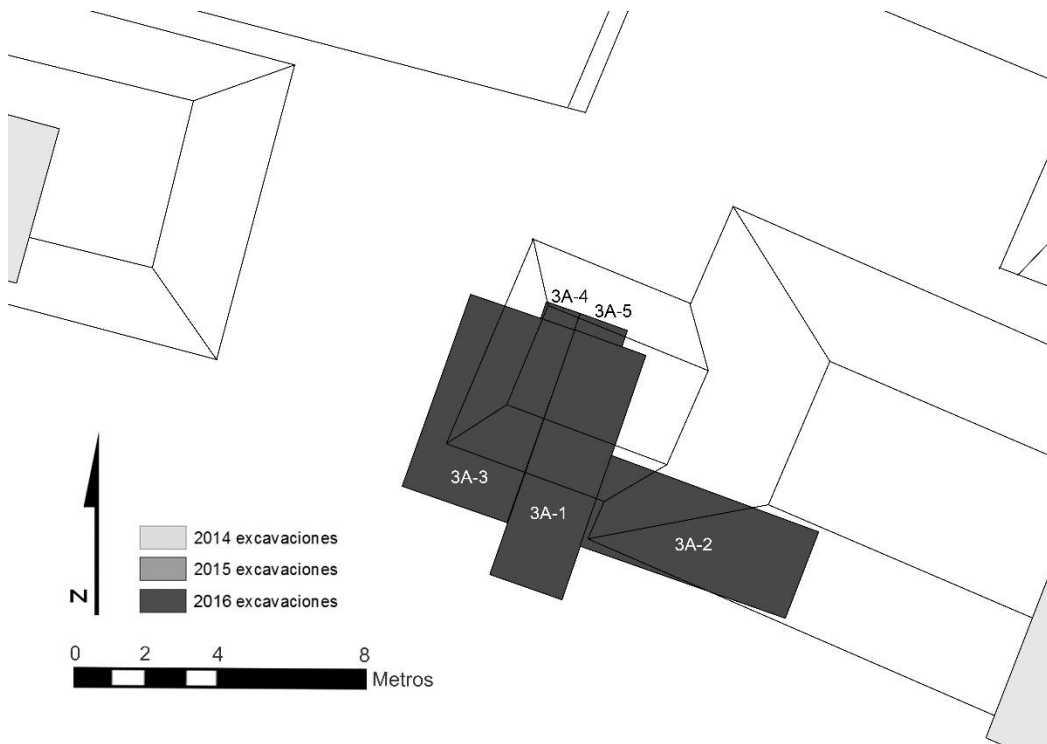


Figura 7.13. Ubicación de unidades, sub-operación CAR3A (Mapa por D. Chatelain).

Unidad CAR3A-1

La sub-operación CAR3A comenzó como una trinchera de 2 x 7 m (eje este-oeste x norte-sur) con una orientación de 20° azimuth (Unidad CAR3A-1). La trinchera inició desde el nivel de la plaza hasta la cumbre de la Estructura A-3, aproximadamente en el eje central de la estructura. Se excavaron dos estratos y nueve lotes en esta unidad. El Estrato 1 (lote 1), incluyó el humus. El Estrato 2 (lotes 2 al 9) consistió de una tierra café claro de consistencia suelta que incluyó la excavación del derrumbe tanto a nivel de la plaza como encima de la arquitectura terminal, así como la excavación dentro del cuarto. La cerámica recuperada en el derrumbe sugiere una datación para el Clásico Tardío, con presencia de tipos diagnósticos como Chaquiste Impreso.

Sobre el último piso de la plaza, que fue bien preservado en frente de la estructura, se encontró una pequeña terraza de 0.2 m de altura con presencia de estuco sobre ella, seguida de un muro derrumbado (Figuras 7.14 y 7.15). Detrás de este muro se encontró un cuarto amplio cuya pared posterior no se logró identificar en toda la unidad (Figura 7.16). La pequeña terraza y el muro mencionados parecían terminar hacia el oeste de la unidad, lo que

hacía suponer que había un receso, quizás para la colocación de dos macro piedras (posible monumento) que se veían desde la superficie (Figura 7.17).

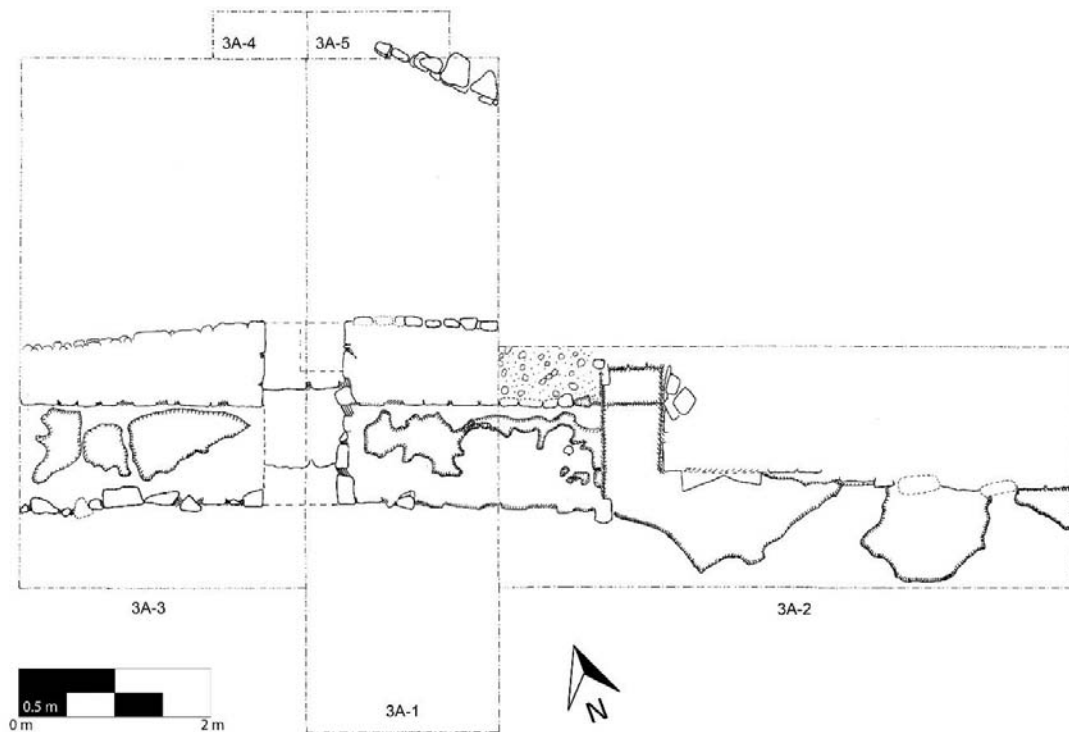


Figura 7.14. Planta de arquitectura de sub-operación CAR3A (Dibujo y calco por A. González).

Unidad CAR3A-2

La unidad siguió con la misma orientación que su predecesora (20° azimuth) y sus dimensiones fueron de 6 x 2.5 m (eje este-oeste x norte-sur). Su ubicación fue al este de la Unidad CAR3A-1, a una distancia de 1.5 m al norte de la esquina sureste de dicha unidad. Se extendió a través de la Estructura A-3 y al oeste de la Estructura A-4. Se excavaron dos estratos y dos lotes en esta unidad. El Estrato 1 (lote 1) correspondió al humus. El Estrato 2 (lote 2) consistió de tierra café claro de consistencia suelta, que incluyó la excavación del derrumbe en toda la unidad, tanto a nivel de plaza como en la arquitectura terminal. La cerámica igualmente sugiere una datación para el Clásico Tardío.

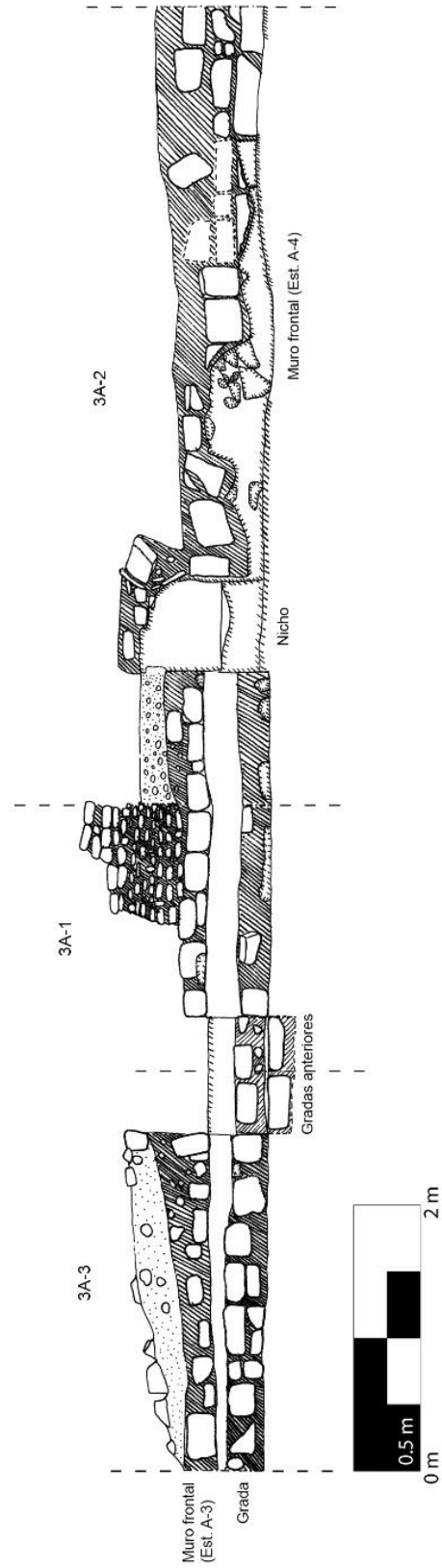


Figura 7.15. Elevación de las fachadas frontales de las Estructuras A-3 y A-4 (Dibujo y calco por A. González).

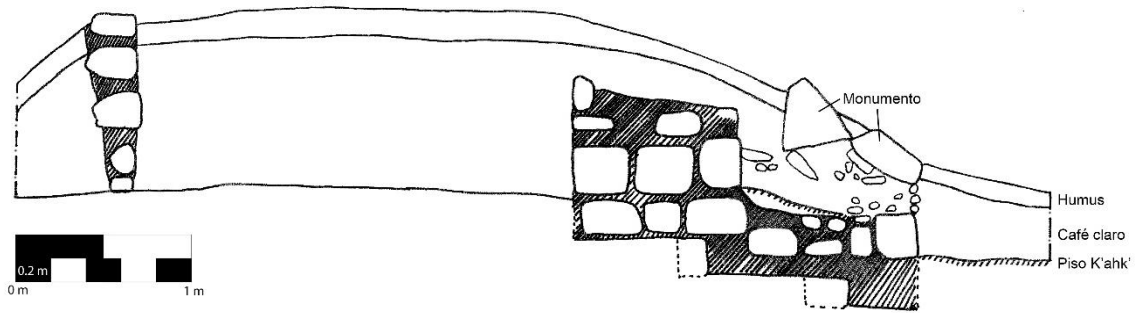


Figura 7.16. Elevación norte-sur de Estructura A-3 (Dibujo y calco por A. González).



Figura 7.17. Posible monumento colocado en la puerta de Estructura A-3 (Fotografía por D. Chatelain).

Siguiendo los rasgos arquitectónicos ya descubiertos en la Unidad CAR3A-1, se encontró el final de la terraza mencionada, al igual que una porción del muro mucho mejor conservado. Ambos rasgos culminan en un nicho completamente estucado, con una sola grada baja en medio, que se articula con un muro construido con piedras más grandes y que tenía mayor presencia de estuco (Figura 7.18). El cambio del estilo arquitectónico indicó que se trataba ya de la Estructura A-4, y que el nicho era el punto de articulación entre esta estructura y su adosada A-3. Aún queda a discutir el orden constructivo entre ambas

estructuras, aunque la hipótesis de trabajo actual es una construcción más o menos contemporánea de ambas estructuras.

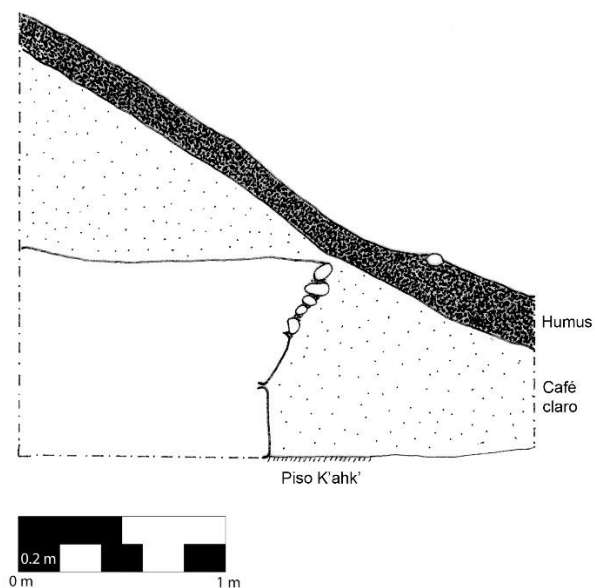


Figura 7.18. Perfil este de Unidad CAR 3A-2 (Dibujo y calco por A. González).

Unidad CAR3A-3

La unidad se ubicó al oeste de la unidad CAR3A-1, a 1.5 m de la esquina suroeste de la misma. Sus dimensiones fueron de 3 x 5.5 m (eje este-oeste x norte-sur) y siguió la misma orientación que las demás (20° azimuth). Se excavaron cuatro estratos y seis lotes en esta unidad. El Estrato 1 (lote 1) correspondió al humus. El Estrato 2 (lotes 2 y 3) correspondió a la tierra café claro de consistencia suelta. El lote 2 específicamente corresponde a la excavación debajo de dos macro piedras vistas desde la superficie que no correspondían a la arquitectura; y el lote 3 a la excavación del derrumbe en el resto de la unidad, tanto en la plaza, como en la arquitectura y el cuarto. La excavación de las dos macro piedras descritas dejó al descubierto una jamba de acceso al cuarto de la Estructura A-3. El Estrato 3 (lotes 4 y 5) correspondió a una tierra café claro, igualmente de consistencia suelta, excavada debajo de la jamba mencionada anteriormente; corresponden a dos registros de 0.86 x 1 m colocados uno al lado del otro en una orientación norte-sur. En estos registros (lotes 4 y 5) se encontraron dos gradas, que indicaron la existencia de una fase arquitectónica anterior para la Estructura A-3. El Estrato 4 (lote 6) correspondió a una tierra café con pedrín de

consistencia relativamente suelta, aunque más compacta que los lotes anteriores; este lote corresponde a un registro de 0.50 x 0.50 m sobre la grada descubierta en el lote 5.

Los materiales recuperados en el campo confirmaron que al menos la última fase corresponde al Clásico Tardío. El material recuperado del lote 6 parece indicar que la fase arquitectónica anterior data del Preclásico Tardío, por la presencia de un tiesto del grupo Sierra. Además, la composición, color, y textura del relleno de esta fase se asemeja al relleno del Preclásico Tardío en gran parte del sitio, como la fase *Chan* en la Estructura A-1.

Los rasgos arquitectónicos encontrados en esta unidad tenían el mismo estilo que aquellos encontrados en la Unidad CAR3A-1, especialmente una pequeña terraza de 0.2 m de altura, seguida de un muro (mejor conservado). Al remover el posible monumento, se confirmó la interpretación preliminar de un receso, excepto que en realidad se trataba de un acceso al cuarto ya descubierto. Esto parece indicar que el posible monumento fue colocado después, para cancelar el acceso al cuarto. La presencia de derrumbe debajo de este posible monumento indica que fue colocado aquí después del abandono del sitio. Inesperadamente, resultó que debajo de la jamba se encontraron dos gradas que mostraron la existencia de una fase anterior que data para el Preclásico Tardío, lo que reformula un poco la cantidad de edificios construidos para ese entonces en la Plaza A.

Unidad CAR3A-4

La unidad estaba ubicada directamente al norte de CAR3A-3, siguiendo la misma orientación (20° azimuth) y con dimensiones 1 x 0.50 m (eje este-oeste x norte-sur). Se excavaron dos estratos y dos lotes. El Estrato 1 (lote 1) correspondió al humus. El Estrato 2 (lote 2) correspondió a la excavación del derrumbe y consiste en la misma tierra café claro de consistencia suelta. No se recuperó suficiente material cultural para datar la unidad; sin embargo, puesto que el cuarto encontrado en las unidades CAR3A-1 y CAR3A-3 data del Clásico Tardío, esta unidad debe datar el mismo periodo.

Unidad CAR3A-5

Esta unidad estuvo ubicada al norte de CAR3A-1 y al este de CAR3A-4, siguiendo la misma orientación (20° Azimut) y con dimensiones 1.50 x 0.50 m (eje este-oeste x norte-sur). Se excavaron dos estratos y dos lotes. El Estrato 1 (lote 1) correspondió al humus, mientras que el Estrato 2 (lote 2) correspondió a la excavación del derrumbe y fue una tierra

café claro de consistencia suelta. No se recuperó suficiente material cultural para datar la unidad; sin embargo, como CAR3A-4, su asociación con el cuarto y la arquitectura final de la Estructura A-3 datarían el contexto en el Clásico Tardío.

En esta unidad se esperaba definir de manera clara los límites del cuarto y la pared posterior del mismo, esperando encontrar una jamba que conectara el cuarto con la plataforma encontrada en la parte posterior del mismo. Sin embargo, hay pocas evidencias que nos permitan comprender bien si existía o no una jamba formal, o si solamente la pared posterior fue derrumbada por los arboles cercanos. No hubo una esquina formal (bien conservada) que permitiera delimitar la pared del lado de la operación CAR3A-1, por lo que no se pudo ni siquiera tener una vaga idea de la amplitud de la posible jamba.

Resultados/Conclusiones

La sub-operación CAR3A mostró varios rasgos arquitectónicos importantes para el sitio de La Cariba (Figura 7.19). Primero, esclareció de mejor forma las fases constructivas de la Estructura A-3, permitiendo por ahora establecer dos fases. La fase más temprana data posiblemente del Preclásico Tardío, que se ve representada en los dos escalones encontrados debajo de la jamba de la fase final. La fase terminal de la estructura data para el Clásico Tardío, que se caracteriza por la plataforma de 0.20 m, seguida de la pared. Esta estructura tenía un cuarto amplio (hasta ahora es mínimamente de 5 m de ancho por 3 m de largo), al cual se accedía por medio de una jamba angosta (de 0.86 m de ancho) que iniciaba en forma de talud, ligeramente inclinada y desde el nivel de la plaza, sin ningún escalón. La pared posterior del cuarto, en el límite norte, no se pudo definir con claridad. Sin embargo, la ausencia de una esquina clara puede evidenciar una jamba más amplia para acceder a la plataforma que se encuentra detrás de la Estructura A-3. Finalmente, en tiempos posteriores, quizás ya hacia el final de la historia cultural del sitio, la puerta de acceso al cuarto fue cerrada con dos macro piedras que posiblemente habían sido parte de un monumento.



Figura 7.19. Arquitectura de las estructuras A-3 y A-4, viendo desde el sur al norte
(Fotografía por D. Chatelain).

Atrás de las estructuras A-3 y A-4, debido a la limpieza de esta área para excavación, se halló una plataforma extendiendo al norte del Grupo A. Aunque este descubrimiento no fue parte de la Sub-operación CAR3A, afecta las interpretaciones de los resultados de dicha sub-operación. Dada la presencia de una plataforma agregada detrás de la Estructura A-3 y la parte oeste de la Estructura A-4, es probable que esta plataforma se relaciona con la función de estas estructuras.

Esta sub-operación también definió que la manera en que la Estructura A-3 (la adosada) se articulaba con la Estructura A-4 era por medio de un nicho estucado. Queda por responder si existió una articulación entre la fase del Preclásico Tardío de Estructura A-3 con una fase correspondiente de la Estructura A-4. Podría ser que existiera un corredor en medio de ambas estructuras, al igual que el que había entre las fases tempranas de las estructuras 13R-10 y 13R-9 del Grupo Coronitas en el sitio La Corona (Ponce y Nájera 2012: 314). También queda como futura pregunta de investigación la posible contemporaneidad entre las fases anteriores de A-3 y A-4, la cual solo puede ser respondida por medio de excavaciones en la Estructura A-4 y debajo del nicho. La presencia de una grada en medio del nicho, alineada con la grada de la fase anterior, podría sugerir también que había un solo edificio más temprano aquí, de forma larga, debajo de ambas estructuras del Clásico Tardío. Se necesita más excavaciones verticales en estas estructuras para resolver todas estas preguntas.

Con respecto a la función de la Estructura A-3 se debe esperar el análisis de materiales pertinentes; sin embargo, basado en algunas observaciones de campo, se pueden inferir algunas funciones. Como se mencionó anteriormente, hay una falta aparente de cerámicas finas (tanto pastas finas, como acabados finos), habiendo una gran cantidad de cerámica utilitaria en un posible contexto de élite. Esto podría indicar a simple vista un área de actividad doméstica no elitista; sin embargo, no habría razón para tener actividades domésticas en una estructura tan pública. Otra hipótesis más probable podría ser que el área sea dedicada a la preparación de alimentos para festines, tal y como sucedió en la estructura adosada del grupo Coronitas 13R-10 (*ibídem*, 315). Aun así esta última hipótesis es preliminar, y se espera que excavaciones futuras sobre la plataforma detrás de la Estructura A-3 puedan resolver esta incógnita y llene los espacios vacíos para una interpretación más completa de la función de la estructura.

Sub-Operación CAR11B

La Sub-operación CAR11B fue excavada bajo la dirección de David Chatelain. Esta sub-operación consistió de 26 unidades de prueba de pala y una excavación vertical de 2 x 2 m. La ubicación de cada unidad se encuentra ilustrada en la Figura 7.20. Todas las unidades fueron orientadas al norte magnético, excavadas por estrato natural/cultural y cernidos a través de una malla de ¼" para recuperar el material cultural. El objetivo de esta sub-operación fue localizar cualquier basurero(s) en el área este del Grupo B, detrás de la Estructura B-1. Se supuso que esta área relativamente plana a lo largo del exterior del núcleo del sitio, tenía alta probabilidad de encontrar un depósito de basura. Al final si se localizó un basurero.

Unidades CAR11B-1 a CAR11B-26

Las unidades CAR11B-1 a CAR11B-26 fueron unidades de prueba de pala de 0.5 x 0.5 m, localizadas a un intervalo regular en el área oeste de la Estructura B-1. Las unidades se colocaron a intervalos de 4 m, dejando un espacio de 3.5 m entre ellos. Solamente la Unidad CAR11B-11 estuvo desviada 0.5 m al sur. Todas las unidades fueron excavadas a una profundidad de 0.5 m y los mismos dos estratos se encontraron en todas las unidades

(Figura 7.21). El Estrato 1 consistía en humus, y el Estrato 2 fue tierra más compacta color café-gris con pequeñas piedras. Todas las unidades, a excepción de CAR11B-1, 12, 13, 14,15, 16, 17 y 19, fueron excavadas en dos lotes correspondientes a estos estratos. Las Unidades CAR11B-1, 12, 13, 14,15, 16, 17 y 19, fueron excavados en un solo lote. Se recolectó una muestra de tierra de la superficie del Estrato 2 en cada unidad.

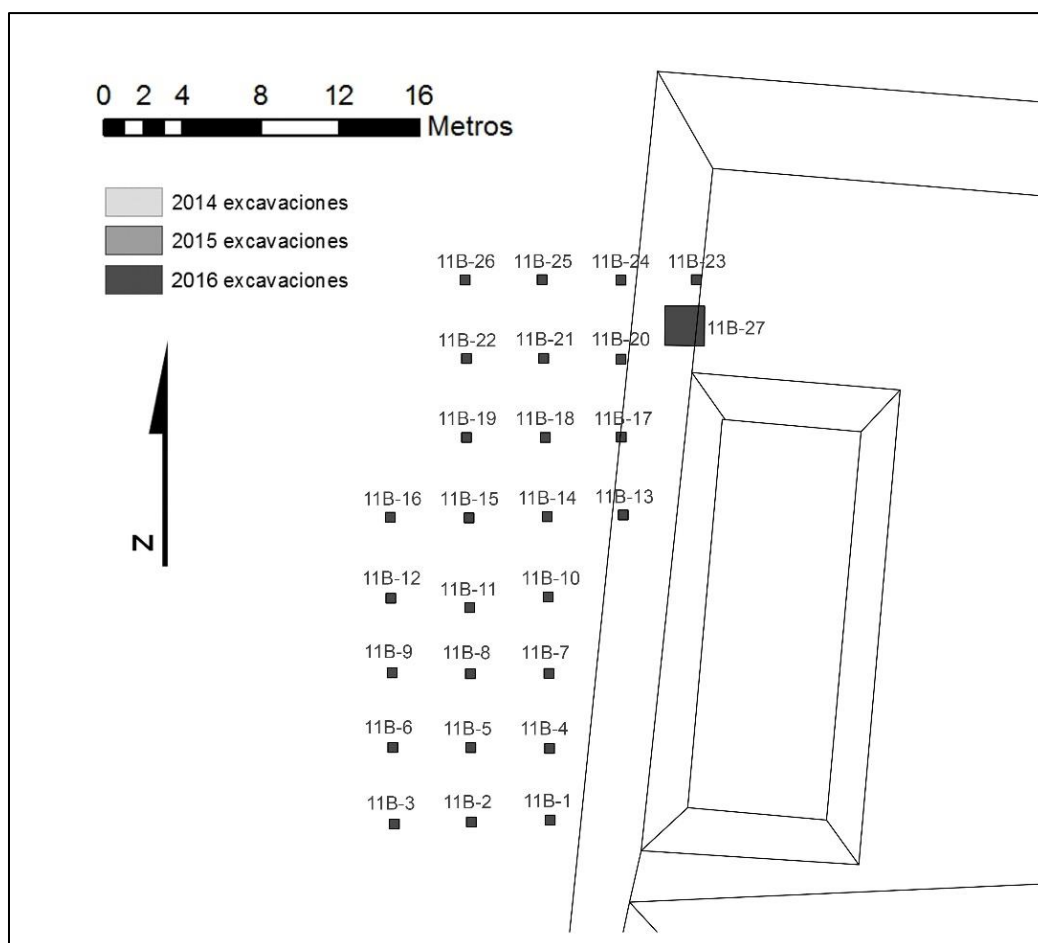


Figura 7.20. Ubicación de unidades, Sub-operación CAR11B (Mapa por D. Chatelain).

Por cada unidad se calcularon las concentraciones relativas de artefactos de cerámica recuperados durante el proceso de excavación, con el propósito de localizar un depósito con alta densidad que pudiera dar indicaciones de un basurero. Para realizar este cálculo se midió la longitud real, el ancho y la profundidad de todas las unidades, para luego ser multiplicados, calculando el volumen real de cada unidad. Luego el número de artefactos cerámicos recuperados por cada unidad se dividió por el volumen real de cada unidad y se multiplicó

por 1000. Esto produjo un índice simple de la densidad cerámica, fácil de comparar entre las unidades (Tabla 7.1). Se registraron las mayores densidades al norte, alejándose del núcleo del sitio. La unidad con mayor densidad fue CAR11B-20, cerca de la esquina noroeste de la Estructura B-1, con un índice de densidad de 1.287. Inmediatamente al noreste, la Unidad CAR11B-23 también obtuvo un alto índice de densidad de artefactos de 1.085, lo que sugirió la presencia de un depósito de basura en esta área. Una unidad de 2 x 2 m se colocó entre estas unidades para excavar el basurero.

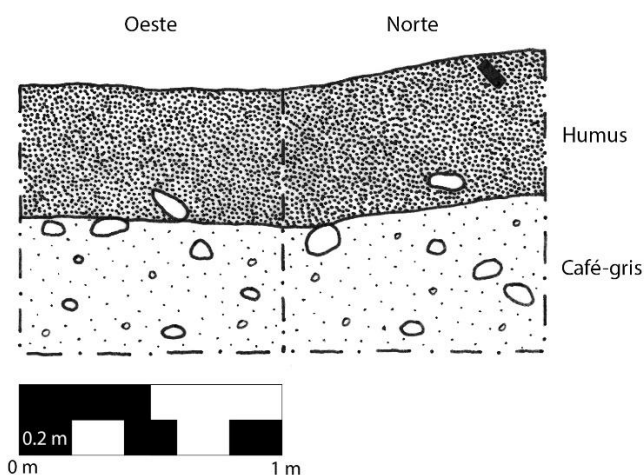


Figura 7.21. Perfiles oeste y norte de la Unidad CAR11B-20 (Dibujo y calco por D. Chatelain).

Unidad	Densidad	Unidad	Densidad	Unidad	Densidad
11B-1	0.417	11B-10	0.420	11B-19	0.666
11B-2	0.425	11B-11	0.423	11B-20	1.287
11B-3	0.457	11B-12	0.546	11B-21	0.872
11B-4	0.659	11B-13	0.434	11B-22	1.008
11B-5	0.552	11B-14	0.525	11B-23	1.085
11B-6	0.862	11B-15	0.460	11B-24	0.400
11B-7	0.578	11B-16	0.638	11B-25	1.112
11B-8	0.432	11B-17	0.666	11B-26	0.928
11B-9	0.369	11B-18	0.726		

Tabla 7.1. Densidades de cerámica de cada prueba de pala, Sub-operación CAR11B.

Unidad CAR11B-27

La Unidad CAR11B-27 consistió en un pozo de 2 x 2 m al este de la Unidad CAR11B-20 y 1.5 m sur de la Unidad CAR11B-23. Se observaron tres estratos, alcanzando una profundidad de 1.56 m (Figura 7.22). El Estrato 1 (lote 1) consistió de humus excavado hasta 0.09 m de profundidad. El Estrato 2 fue tierra café-gris con pequeñas piedras y una alta concentración de artefactos. Este estrato claramente era el depósito de basura, dado el volumen recuperado de material cultural. Cada lote fue excavado arbitrariamente de 0.1 m (lotes 2-15) con el fin de mantener un control cronológico. El Estrato 3 (lote 16) consistió de una capa fina de arcilla estéril color café-rojo sobre roca madre en la mayoría de la unidad, con el Estrato 2 continuando cerca de la pared norte. La roca madre fue relativamente plana, pero sin ninguna modificación.

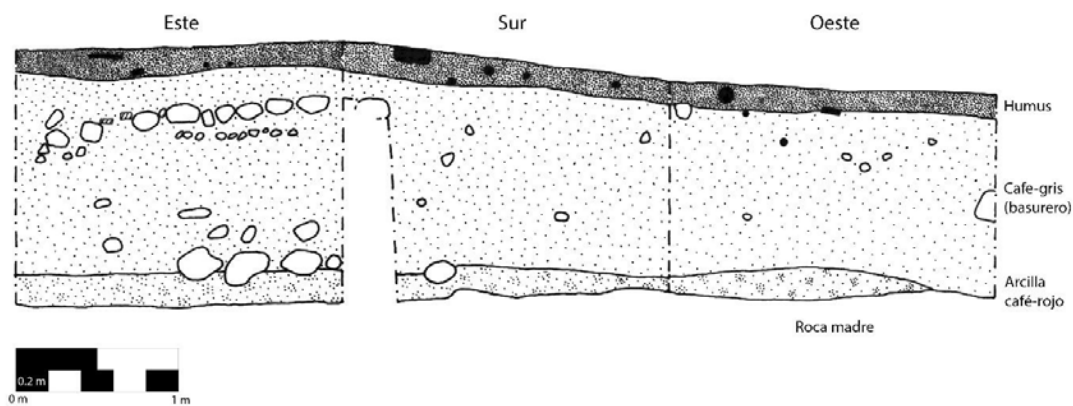


Figura 7.22. Perfiles este, sur y oeste de la Unidad CAR11B-27 (Dibujo y calco por D. Chatelain).

Si bien el análisis de la cerámica recuperada de la Unidad CAR11B-27 está en curso, se observaron tipos del Clásico Tardío, principalmente en los lotes superiores. La densidad cerámica disminuyó gradualmente a medida que se alcanzaba mayor profundidad y se observaron tipo del Preclásico Tardío en los lotes inferiores. Esto sugiere un basurero denso del Clásico Tardío sobre un basurero menos denso Preclásico Tardío. Otros artefactos recuperados incluyeron pedernal, obsidiana, huesos de fauna y doce figurillas.

Un alineamiento de piedras de construcción sin tallar se observó a lo largo de la pared este de la unidad, a una profundidad de 0.29 m. Éste posiblemente representa el borde oeste

de la plataforma del Grupo B, o alguna otra delimitación (Figura 7.23). El alineamiento estaba orientado a 10° E del N, consistente con otra arquitectura Clásico Tardío en el sitio. Solamente tuvo una fila de piedras de altura y continuó más allá de la pared este de la unidad. Dos pequeñas secciones de revestimiento de estuco se observaron asociados a esta alineación.

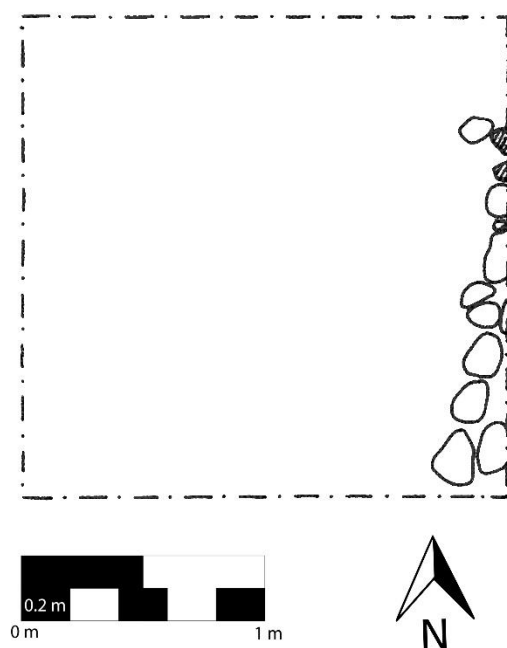


Figura 7.23. Planta de Unidad CAR11B-27 (Dibujo y calco por D. Chatelain).

Resultados/Conclusiones

Las excavaciones en el área oeste del Grupo B proveyeron un mapa de densidad de artefactos a lo largo de un espacio informal. La concentración más alta de artefactos fue localizada en el área norte en donde se realizaron las pruebas de pala, moviéndose más lejos del sitio. Generalmente las bajas densidades se observaron en el área sur cerca de la parte posterior de la Estructura A-1 y al este de las aguadas. Esta evidencia sugiere que esta superficie plana pudo haber sido un área de actividad, con un depósito de basurero al norte, en periferia del sitio.

El basurero se localizó cerca de la esquina noroeste de la Estructura B-1. El análisis del material está aún en proceso, pero observaciones preliminares en campo sugieren un basurero correspondiente al periodo Clásico Tardío sobre uno menos denso correspondiente

al periodo Preclásico Tardío. Análisis de este material proveerá una visión más clara sobre las actividades llevadas a cabo en la Estructura B-1 y la función del Grupo B dentro del sitio.

También se encontró un alineamiento de piedras que delimitaba el borde de la plataforma del Grupo B dentro de la Unidad CAR11B-27. Este probablemente corresponde al Clásico Tardío.

Sub-operación CAR14A

La Sub-operación CAR14A estuvo a cargo de Alejandro González y estuvo compuesta de diez unidades (CAR14A-1 a CAR14A-10; Figura 7.24). En todas las unidades se utilizaron niveles naturales/culturales y toda la tierra fue cernida en cedazos de 1/4". La ubicación de esta sub-operación fue en la posible área de acceso al sitio, identificada como una posible rampa. La posible rampa se encuentra a su vez ubicada al norte de la Plaza A, detrás de las estructuras A-2 y A-3. Todas las unidades fueron orientadas con un azimut de 45°, para aproximar la orientación percibida de la posible rampa. El objetivo de estas excavaciones era especificar el tipo de acceso, si se trataba de una escalinata, una rampa o alguna otra forma.

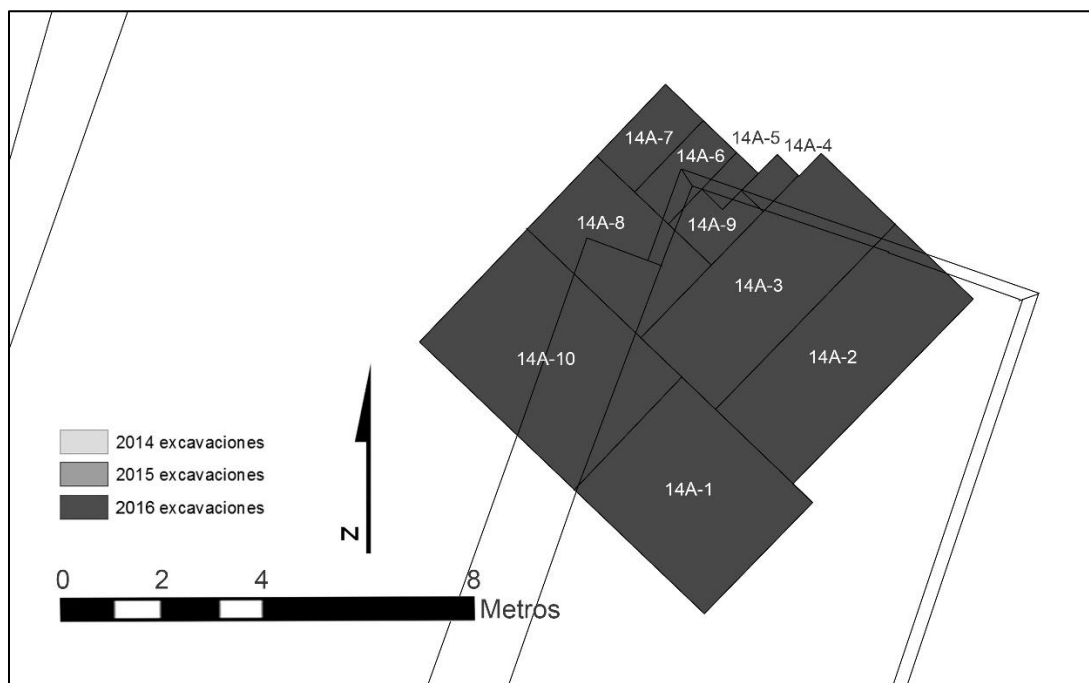


Figura 7.24. Ubicación de unidades, sub-operación CAR14A (Mapa por D. Chatelain).

Unidad CAR14A-1

La sub-operación CAR14A inició como un pozo de 3 x 3.5 m (eje norte-sur x este-oeste), orientado a 45° azimut (Unidad CAR14A-1) y ubicado sobre una posible plataforma con altar que se veía desde la superficie (Figuras 7.25 y 7.26).

Se excavaron tres estratos y diez lotes. El Estrato 1 (lote 1 y 9) correspondió al humus; el lote 1 fue la excavación de toda la unidad, mientras que el lote 9 fue el registro que se realizó debajo del altar en la plataforma. El Estrato 2 (lote 2 al 8 y 10) correspondió a una tierra café rojizo de consistencia arcillosa, la cual fue compacta al estar húmeda y relativamente suelta al estar seca. El lote 2 fue la excavación del segundo estrato afuera de la plataforma. Los lotes 3, 4 y 5 fueron una serie de registros (de 0.50 x 0.30 m, 0.20 x 0.40 m y 0.80 x 0.40 m [eje norte-sur x este-oeste], respectivamente) con el objetivo de definir la fachada norte de la plataforma, puesto que se había definido bastante bien dos lados rectos, mientras que la fachada norte parecía ser curva, lo que parecía rara. Al terminar esos lotes, se hizo un lote más (lote 6) con el fin de concluir finalmente que la fachada de la plataforma era curva. El lote 7 definió un poco más los límites del lado oeste de la plataforma. El lote 8 fue un conjunto de tiestos encontrados *in situ* en frente a la plataforma. Los lotes 9 al 10 fueron un registro debajo del altar, en el que no se encontró ningún tipo de ofrenda o escondite (Figura 7.27).

La unidad permitió definir que la forma de la plataforma era oblonga, con dos lados (este y oeste) rectos y una fachada curva al norte (Figura 7.28). Queda a discutir aun la función de la plataforma y del altar en la entrada del sitio, ya que no se encontró ninguna actividad ritual ni concentraciones de cenizas en esta excavación. Es notable que la construcción de la plataforma fue de baja calidad, con piedras sin tallar. Este tipo de construcción es raro para el Clásico Tardío en el sitio, y es posible que fue agregado en el Clásico Terminal, aunque faltan los análisis de la cerámica para resolver esta pregunta.

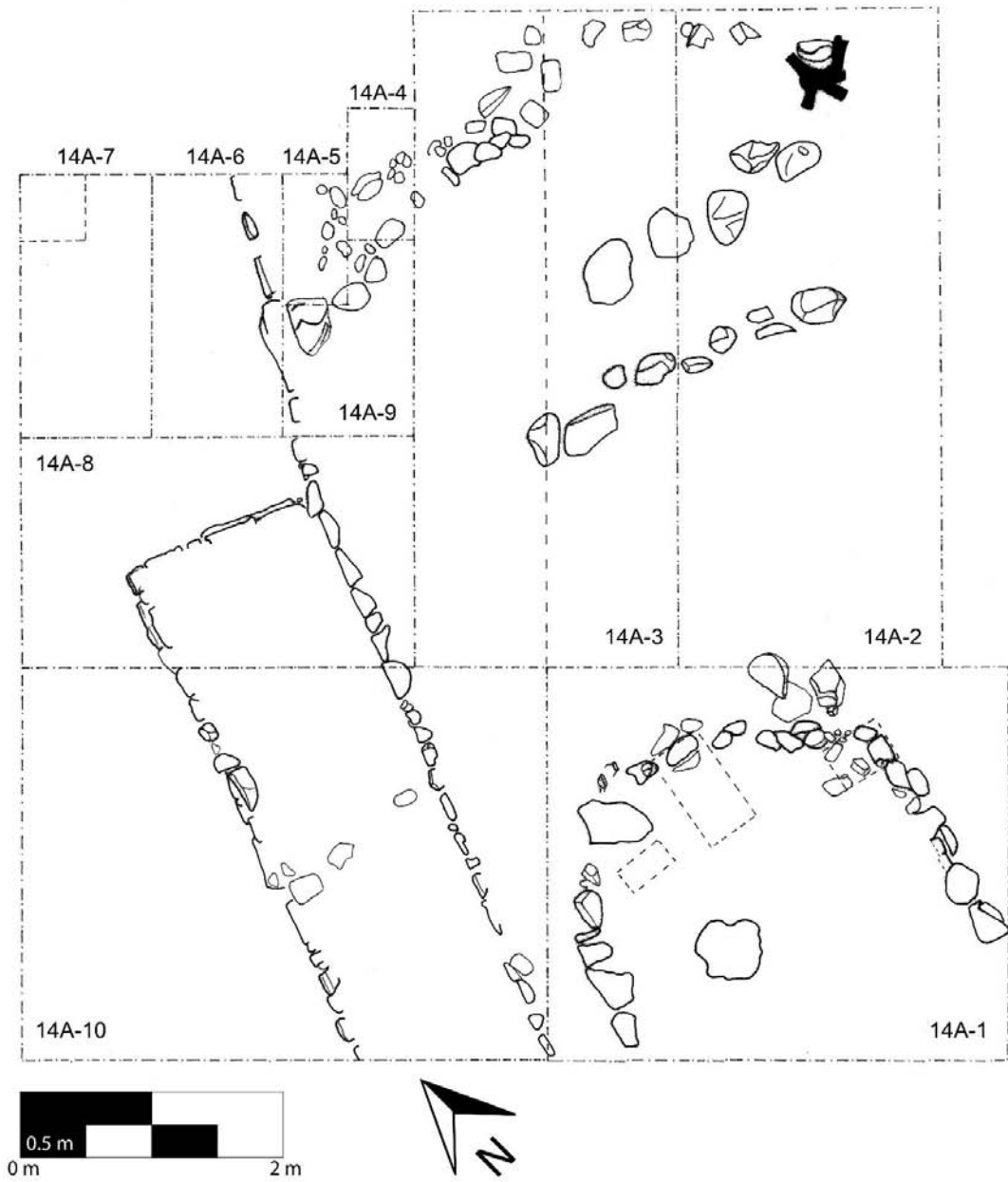


Figura 7.25. Planta de arquitectura de sub-operación CAR14A (Dibujo y calco por A. González).



Figura 7.26. Arquitectura de la Sub-operación CAR14A, vista desde el norte al sur (Fotografía por D. Chatelain).

Unidad CAR14A-2

La unidad se ubicó directamente al norte de CAR14A-1, a 0.50 m de la esquina noroeste, siguiendo la misma orientación (45° azimut) (Figura 7.25). Sus dimensiones fueron de 5 x 2 m (eje norte-sur x este-oeste). Su objetivo era encontrar algún tipo de acceso a la plataforma excavada en la unidad anterior, siguiendo una línea de piedras alineadas que se veían desde la superficie. Se excavo un estrato y un lote. El Estrato 1 (lote 1) correspondió al humus. No se logró definir ningún rasgo claro de acceso, excepto quizás algún tipo de

terraza o descanso justo en frente de la plataforma hasta llegar un poco antes que las piedras alineadas.

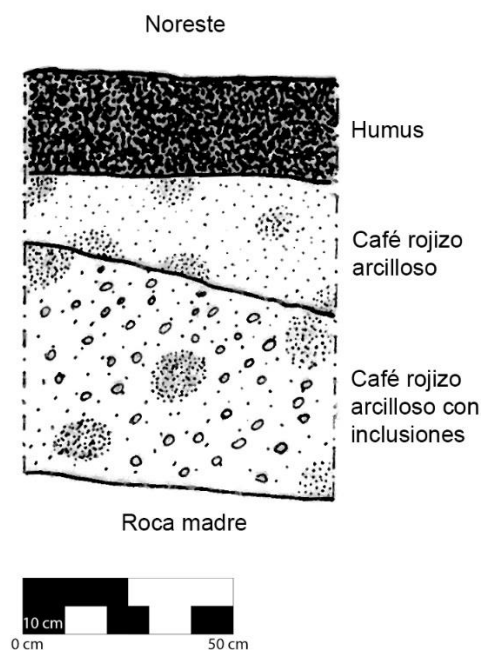


Figura 7.27. Perfil noreste del registro debajo del posible altar, Unidad CAR14A-1 (Dibujo y calco por A. González).

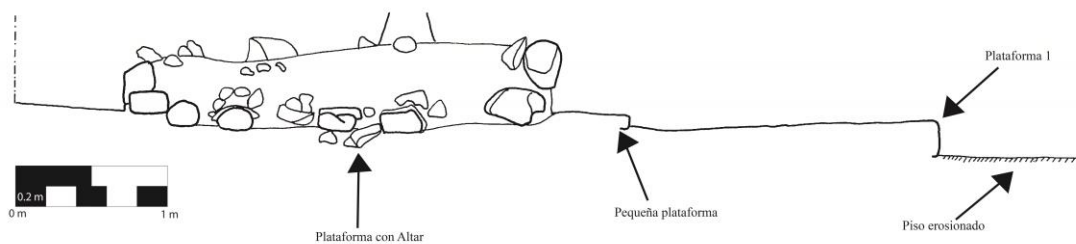


Figura 7.28. Elevación este-oeste de las plataformas de la Sub-operación CAR14A (Dibujo y calco por A. González).

Unidad CAR14A-3

La unidad se ubicó directamente al este de CAR14A-2, siguiendo la misma orientación (45° Azimut) (Figura 7.25). Sus dimensiones fueron de 5 x 2 m (eje norte-sur x este-oeste) y su objetivo fue continuar exponiendo las piedras alineadas que se habían encontrado en CAR14A-2. Se excavaron dos estratos y dos lotes. El Estrato 1 (lote 1)

consistió del humus. En el Estrato 2 (lote 2) se excavó solo la mitad del pozo (5 x 1 m) y consistió de una tierra café rojizo de consistencia arcillosa. No se encontró ninguna continuación de las piedras vistas en CAR14A-2. Sin embargo, se encontró una continuación más profunda del descanso ya descrito. En la porción norte del pozo, se encontró un muro de piedras no talladas que fue el primer rasgo constructivo claro que permitió continuar las excavaciones.

Unidad CAR14A-4

La unidad estaba ubicada directamente al oeste de CAR14A-3, a 0.75 m al sur de la esquina noroeste (Figura 7.25). Tenía igualmente la misma orientación que sus predecesoras (45° azimut). Sus dimensiones fueron de 1 x 0.5 m (eje norte-sur x este-oeste) y su objetivo fue seguir el muro encontrado en CAR14A-3. Se excavaron dos estratos y tres lotes en la unidad. El Estrato 1 (lote 1) correspondió al humus. El Estrato 2 (lote 2 y 3) correspondió a la tierra café rojizo de consistencia arcillosa. Se encontró parte del muro que se había comenzado a descubrir en CAR14A-3, además que no se encontró ningún piso claro sobre el cual se asentara.

Unidad CAR14A-5

La unidad se trazó directamente al oeste de CAR14A-4, a 0.50 m al sur de la esquina noroeste (Figura 7.25). Siguió la orientación de 45° azimut y sus dimensiones fueron de 1 x 0.50 m (eje norte-sur x este-oeste). Su objetivo era igualmente seguir el muro de las dos unidades predecesoras. Se excavó un estrato y un lote. El Estrato 1 (lote 1) correspondió al humus. El muro ya descrito parecía no continuar en esta unidad; sin embargo, se encontró una acumulación de piedras colocadas que podrían ser algún tipo de balaustrada, como enmarcando los límites de una entrada o escalinata, que es un rasgo arquitectónico típico del Clásico Tardío.

Unidad CAR14A-6

La unidad estaba ubicada directamente al oeste de CAR14A-5, siguiendo la misma orientación de 45° azimut (Figura 7.25). Sus dimensiones fueron de 2 x 1 m (eje norte-sur x este-oeste) y su objetivo fue seguir la posible balaustrada de piedras encontrada en CAR14A-

5. Se excavó dos estratos y dos lotes. El Estrato 1 (lote 1) consistió del humus y el Estrato 2 (lote 2) correspondió a tierra café rojizo de consistencia arcillosa. No se encontró en este pozo la continuación de la balaustrada o talud de piedras de la unidad anterior, pero si se encontró restos de un piso en muy mal estado de conservación. También se encontraron tres piedras alineadas y talladas en una orientación de 20° aproximadamente, las cuales parecían delimitar la balaustrada ya descrita.

Unidad CAR14A-7

La unidad se ubicó directamente al oeste de CAR14A-6, siguiendo la misma orientación (45° azimuth) (Figura 7.25). Sus dimensiones fueron de 2 x 1 m (eje norte-sur x este-oeste). Su objetivo era seguir el piso encontrado en la unidad anterior y se excavaron tres estratos y tres lotes. El Estrato 1 (lote 1) consistió del humus y el Estrato 2 (lote 2) fue una tierra color café rojizo de consistencia arcillosa. Al finalizar este lote se encontró el piso de la unidad anterior. El Estrato 3 (lote 3) fue un barro café-anaranjado con piedrín del que no se recuperó ningún material cultural. Estas excavaciones conjuntamente con la anterior dejaron en evidencia que el piso tenía solo una fase, y que estaba asentado sobre un estrato natural. Además, el piso estaba ligeramente inclinado, subiendo por arriba al sur, hacia el Grupo A (Figura 7.29).

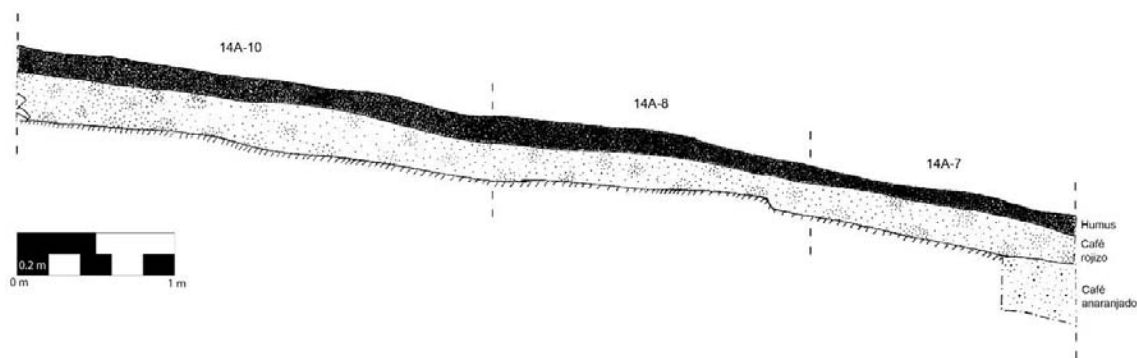


Figura 7.29. Perfil noroeste de Unidades CAR14A-7, 8, y 10 (Dibujo y calco por A. González).

Unidad CAR14A-8

La unidad se ubicó al sur de CAR14A-7 y CAR14A-6, y al oeste de CAR14A-3. Siguió la misma orientación (45° azimuth) (Figura 7.25). Sus dimensiones fueron de 1.75 x 3

m (eje norte-sur x este-oeste) y su objetivo fue seguir el piso encontrado en las unidades anteriores (CAR14A-6 y 7). Se excavaron dos estratos y tres lotes. El Estrato 1 (lote 1) consistió del humus y el Estrato 2 (lote 2 y 3) consistió de tierra café rojizo de consistencia arcillosa. Durante la excavación del lote 2, se descubrió una plataforma de aproximadamente 0.30 m de altura que seguía una orientación de aproximadamente 20° azimut que se asentaba sobre el mismo piso que se había encontrado en CAR14A-7 y CAR14A-6. Por este hallazgo se limpiaron las piedras que se había creído eran parte del talud descrito en CAR14A-5 (lote 3), dejando al descubierto otra línea de piedras arriba de esta plataforma, la cual se alineaba con las que se habían encontrado en la Unidad CAR14A-6.

Unidad CAR14A-9

La unidad fue un pozo en forma de “L” que se formó entre los pozos CAR14A-3, 4, 5, 6 y 8 (Figura 7.25). Sus dimensiones fueron de 1.50 x 1 m (eje norte-sur x este-oeste), con 1 m de longitud norte-sur al oeste. Su objetivo era unificar lo encontrado en las unidades 3 a la 8, para tener un mejor entendimiento de todo el contexto y toda la construcción. Se excavaron dos estratos y dos lotes. El Estrato 1 (lote 1) correspondió al humus y el Estrato 2 (lote 2) correspondió a la tierra café rojiza de consistencia arcillosa. Al terminar de excavar el segundo estrato, se notó la continuación de una línea de piedras que venía desde el lote 2 de la Unidad CAR14A-6 y que continuaba con la otra línea de piedras encontrada en la unidad anterior (CAR14A-8).

Unidad CAR14A-10

La unidad se ubicó directamente al sur de CAR14A-8 y al este de CAR14A-1, y siguió la misma orientación (45° azimut) (Figura 7.25). Sus dimensiones fueron de 3 x 4 m (eje norte-sur x este-oeste) y su objetivo fue seguir los rasgos arquitectónicos encontrados en CAR14A-8 y unificar toda la Sub-operación CAR14A. Se excavaron dos estratos y dos lotes. El Estrato 1 (lote 1) correspondió al humus y el Estrato 2 (lote 2) correspondió a tierra café rojizo de consistencia arcillosa. Al finalizar el segundo estrato se logró encontrar la continuación de la plataforma encontrada en CAR14A-8 y la continuación de la línea de piedras encontrada en CAR14A-6, 8 y 9. Estos rasgos siguieron la misma orientación hacia la plataforma detrás del Grupo A.

Resultados/Conclusiones

La Sub-operación CAR14A proveyó mucha información con respecto al acceso al sitio, pero también dejó muchas preguntas para la próxima temporada de campo. Si bien había un piso inclinado, hay que pensar que éste sería resbaladizo en tiempos de lluvia, por lo que no se considera que el piso se haya extendido a lo largo de la pendiente hasta llegar a la plaza. Por ello hay una plataforma que podría ser de acceso al sitio, subiendo en ella para luego acceder a la Plaza A por medio de la Estructura A-3. Sin embargo, esta interpretación no encaja con la evidencia encontrada en A-3, puesto que se ha mostrado que ésta tenía una jamba muy angosta como para que fuera una forma de acceso. Además, hay que tomar en cuenta que había un espacio considerablemente amplio entre las estructuras A-2 y A-3, que es una mejor posibilidad para ser el acceso al sitio.

Es más probable que la forma de acceder al sitio iniciaba con un piso ligeramente inclinado, que eventualmente llegaba a unas gradas que finalmente pasaban en medio de las Estructuras A-2 y A-3. En este caso, la función de la plataforma encontrada (sobre la que se asienta la plataforma con altar) quizás era para delimitar el espacio transitable más que una forma de acceso. Sería interesante excavar en el lado opuesto, en el lado del Grupo A para ver si había algún rasgo para delimitar el acceso del otro lado también.

El hallazgo de un acceso formal en este lado del sitio, en dirección hacia La Corona, complementa los datos de la última temporada, que sugieren una relación fuerte entre los dos sitios. Se encontró una gran cantidad de cerámica en esta sub-operación del Clásico Tardío, lo que indica que esta plataforma fue construida en esta época. La fecha de la plataforma más pequeña arriba, con el posible altar, sigue siendo incierta hasta que se analice la cerámica de los registros.

Conclusiones Generales

Las excavaciones durante la Temporada 2016 revelaron más información cronológica, arquitectónica y funcional de La Cariba. Mientras que la cronología general del sitio ha sido cimentada durante el transcurso de las últimas dos temporadas de campo, se documentaron más detalles de la secuencia constructiva en esta temporada. En particular, la secuencia constructiva de la Estructura A-1 muestra un patrón interesante, ya que durante la

fase inicial *Ha'* se construyó la acrópolis de la Plaza A, a 2 m sobre la roca madre y se elevó la Estructura A-1 por 4.9 m sobre el nivel de plaza. La subsiguiente fase importante, la fase *Chan*, correspondiente al periodo Preclásico Tardío, invirtió mayor trabajo en elevar la plataforma basal de la Plaza A por 1.5 m, y menos trabajo invertido en la elevación de la Estructura A-1. Aparentemente, el foco de construcción durante el Preclásico Tardío en La Cariba fueron las plazas públicas monumentales, incluyendo la construcción de plazas abiertas en el sitio. Posteriormente en la fase *K'ahk'* (Clásico Tardío), la construcción en el Grupo A, y de hecho en todo el sitio, fue relativamente mínima, ya que se renovó mínimamente con alteraciones ligeras.

Sorprendentemente, incluso la modesta Estructura A-3 contenía lo que es probablemente una fase anterior del Preclásico Tardío, justo debajo de la arquitectura del Clásico Tardío. Esto demuestra una vez más el poco esfuerzo por parte de los ocupantes en renovar el sitio durante el periodo Clásico Tardío, y el poco cambio que tuvo el sitio. Excavaciones horizontales en esta estructura generaron preguntas para continuar investigaciones durante la siguiente temporada de campo. La estructura en sí misma parecía ser una estructura pequeña de paso, sin bancas interiores ni depósitos sobre el piso, que conducía a una plataforma que se extendía hacia el norte de la acrópolis principal. Por debajo y más al norte, en el área de la Sub-operación CAR14A, se encontró una gran plataforma baja, que pudo haberse extendido hacia esta plataforma por detrás de las estructuras A-3 y A-4. Aún es necesario más excavación en las temporadas siguientes para evaluar la función de estas plataformas y estructuras.

El basurero localizado detrás de la Estructura B-1, en el área noreste del sitio, contuvo material aparentemente del Clásico Tardío y Preclásico Tardío, lo que ampliará nuestra comprensión de la función del Grupo B en el tiempo. Sintetizando los datos recuperados a lo largo de tres temporadas de campo, está emergiendo un cuadro más completo de la cronología de La Cariba, de las actividades que se llevaron a cabo dentro de este lugar y las relaciones que este sitio tuvo con otros a lo largo del tiempo.

INVESTIGACIONES ARQUEOLÓGICAS EN EL JOBILLO: TEMPORADA 2016

Jocelyne Ponce

Introducción

El sitio arqueológico El Jobillo se encuentra ubicado 3 km al noroeste de la Plaza Principal de La Corona. Está conformado por 21 estructuras piramidales y plataformas bajas organizadas en seis grupos arquitectónicos principales conocidos hasta el momento, los cuales están asentados en un área elevada rodeada de arroyos estacionales. En 2010, un antiguo guarda recursos reportó al personal del Proyecto Regional Arqueológico La Corona la presencia de montículos de gran tamaño que habían sido recientemente saqueados cerca de la brecha corta fuegos, la cual se encuentra ubicada al oeste del sitio y posee el objetivo de mitigar incendios forestales. Ese mismo año, el equipo de mapeo del proyecto visitó y reportó El Jobillo, y en 2011 se realizó un mapa preliminar y recolección de material de superficie, incluyendo cerámica de saqueos recientes (Guzmán 2011, 2012) (Figura 8.1). Posteriormente en 2012, Clarissa Cagnato (2013) realizó excavaciones en un *chultun* ubicado cerca del Grupo D, que resultó en el hallazgo de algunos restos paleobotánicos macrobotánicos (Cagnato 2014).

Esta temporada, las excavaciones se enfocaron en realizar pozos de sondeo con el objetivo de conocer la cronología y ocupación del sitio. Los grupos fueron nombrados de sur a norte y los pozos se colocaron en el centro de cuatro de las plazas correspondientes al Grupo A (unidades JOB03-1, JOB03-2 y JOB03-3), Grupo B (unidades JOB08-1 y JOB08-2), Grupo C (Unidad JOB15-1) y Grupo F (unidades JOB28-1 y JOB28-2). Estas excavaciones fueron estratigráficas y constaron de pozos de 2 x 1 m realizados entre el 6 y 15 de junio de 2016. Recientemente, el sitio volvió a ser saqueado, por lo que también se limpiaron y documentaron cuatro nuevos saqueos (saqueos 6, 7, 8 y 9) en tres estructuras de los grupos D y E, los cuales fueron reportados por guarda recursos locales antes del inicio de la temporada de trabajo de campo.

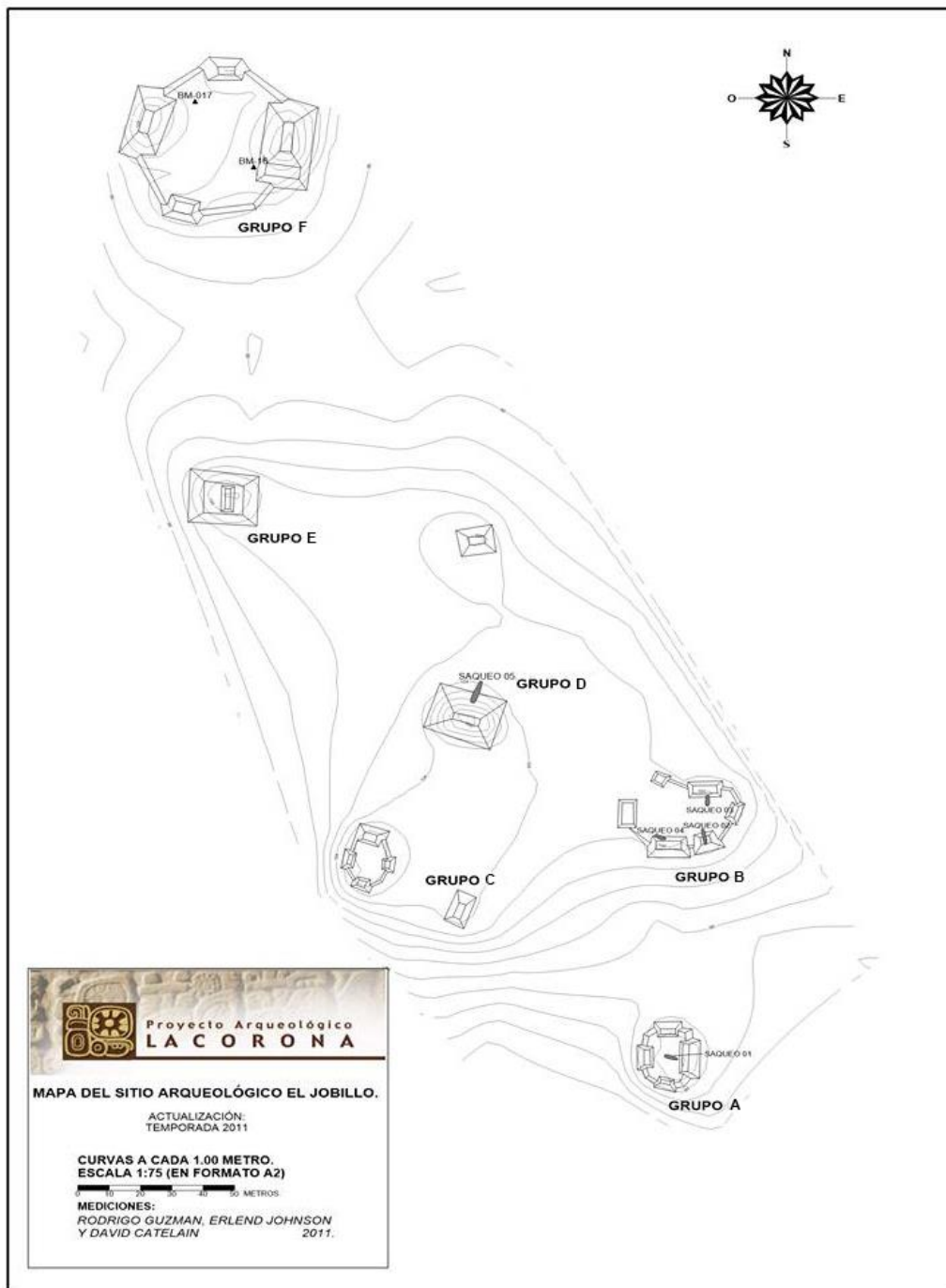


Figura 8.1. Mapa del sitio arqueológico El Jobillo (Mapa por R. Guzmán)

Pozos de Sondeo

Grupo A

Este grupo se localiza en el extremo sur del sitio y su investigación constó de la excavación de tres unidades denominadas JOB03-1, JOB03-2 y JOB03-3 (Figuras 8.2 y 8.3), las cuales fueron de 2 m (N-S) x 1 m (E-O). A continuación se presentan los resultados de los estratos identificados.

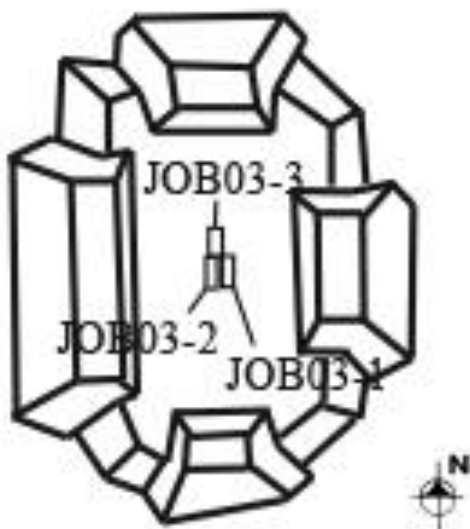


Figura 8.2. Esquema de ubicación de las unidades realizadas en el Grupo A
(Mapa por R. Guzmán. Modificado por J. Ponce)

Nivel 1-Lote 1: este primer lote constó de humus suelto con raíces y tuvo una profundidad máxima de 0.4 m desde la superficie. No se recuperó material cultural en ninguna de las unidades.

Nivel 2-Lote 2: este lote consistió de tierra café oscura y suelta mezclada con piedras de escombro pequeñas y medianas, y se encontró de 0.4 a 1 m desde la superficie. Asociado a este lote se encontró una plataforma de piedra con orientación noreste (Figura 8.4). Parte del límite este de la misma se encontró en la Unidad JOB03-1, por lo que la excavación se extendió hacia el oeste con la Unidad JOB03-2 y al norte con la Unidad JOB03-3. La plataforma está conformada por una hilera de piedras talladas que oscilan entre los 0.2 y 0.4 m de largo y posee aproximadamente 0.2 m de altura. Las excavaciones indicaron que la plataforma continúa hacia el norte y este respectivamente, por lo que no se encontraron los límites de la misma.

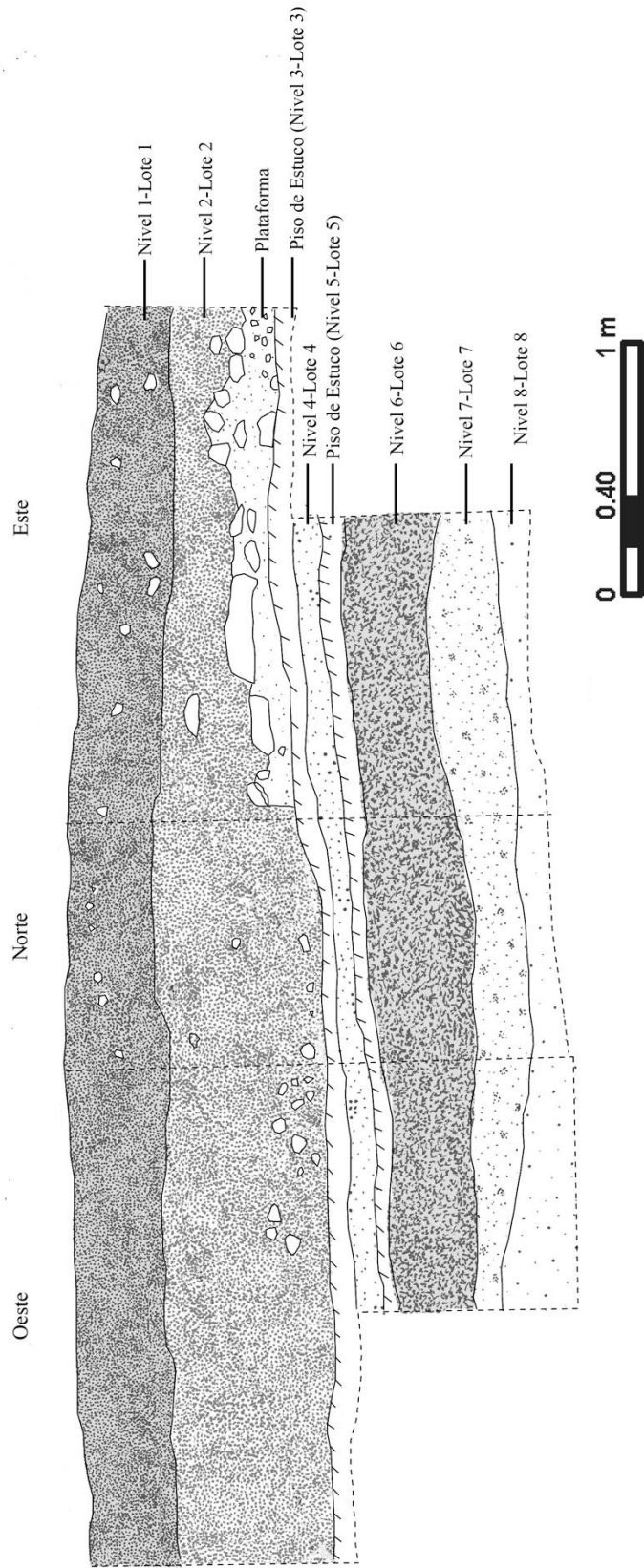


Figura 8.3. Perfiles de la Unidad JOB03-3 (Dibujo por J. Ponce)

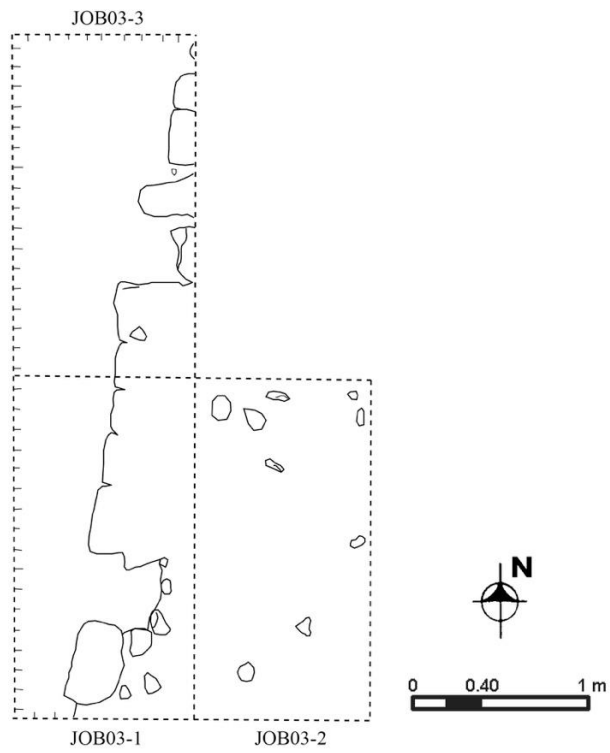


Figura 8.4. Plataforma encontrada en la plaza del Grupo A
(Foto y dibujo por J. Ponce)

Cabe mencionar que asociado a esta plataforma se recuperó gran cantidad de cerámica y otros materiales. En la Unidad JOB03-1 se recuperaron 1195 fragmentos de cerámica, tres de obsidiana, tres de pedernal (incluyendo un fragmento de hacha) y un malacate. Por su parte, en la Unidad JOB03-2 se encontraron 355 fragmentos de cerámica y dos fragmentos de pedernal, mientras que en la Unidad JOB03-3 se recuperaron 389 tiestos cerámicos, un fragmento de piedra de moler y uno de estuco. Entre la cerámica se lograron identificar tipos pertenecientes a las Fases Tepeu 1 y 2 de Uaxactún perteneciente al Clásico Tardío (600-650 d.C. y 650-830 d.C.) (Forné 2006: 200) incluyendo Chaquiste Impreso, Tinaja Rojo, Cambio sin Engobe, Encanto Estriado y polícromos indeterminados, lo que sugiere que el grupo posiblemente fue ocupado durante este período. Más de la mitad del material recuperado se encontró bastante erosionado y fragmentado, lo cual dificultó su identificación y sugiere que el material representa restos secundarios.

Nivel 3-Lote 3 Piso de estuco: este piso se identificó únicamente en la Unidad JOB03-3, ya que a partir de este estrato la excavación se enfocó solamente en una sección de 1 m en la parte norte de esta unidad. Este piso de estuco fue encontrado de 1 a 1.08 m desde la superficie. Su grosor varió de 0.04 a 0.1 m y se encontró en relativamente buen estado de conservación. Se recuperaron 14 fragmentos de cerámica y se identificaron los tipos Sierra Rojo, Encanto/Sapote Estriado, Achiotte/Cambio sin Engobe y Polvero Negro, algunos de los cuales están asociados a la Fase Chicanel del Preclásico Tardío (300 a.C.-250 d.C.) (Forné 2006: 200).

Nivel 4-Lote 4: este lote se halló debajo del piso de plaza y consta de tierra café amarillenta, compacta encontrado de 1.1 a 1.20 m desde la superficie. Se recuperó solamente un fragmento de cerámica.

Nivel 5-Lote 5 (Piso de estuco): este piso se encontró de 1.2 a 1.3 m desde la superficie y consiste en un segundo piso de plaza, siendo el más temprano del Grupo A. Se encontró en buen estado de conservación y no se recuperó material cultural.

Nivel 6-Lote 6: este lote constó de tierra café compacta de consistencia arcillosa. Se encontró de 1.3 a 1.6 m desde la superficie y se recuperaron 59 fragmentos de cerámica de los tipos Sierra Rojo, Achiotte/Cambio sin Engobe, Encanto/Sapote Estriado y dos polícromos que podrían ser del Clásico Tardío (Caroline Parris com. pers. 2016). Inicialmente se había considerado la posibilidad que el Grupo A haya sido ocupado durante el Preclásico Tardío,

pero la presencia de estos polícromos pone en duda esta hipótesis y sugiere que probablemente solamente se utilizó material temprano para su construcción.

Nivel 7-Lote 7: este estrato se halló de 1.6 a 1.8 m desde la superficie y constó de tierra café de color rojizo y de consistencia relativamente suelta. No se recuperó material cultural.

Nivel 8-Lote 8: este último lote constó de tierra amarillenta compacta mezclada con caliza. Se encontró de 1.8 a 2.08 m desde la superficie y no se recuperó material cultural. La excavación finalizó con la identificación de la roca madre debajo de este estrato.

Grupo B

Este grupo se localiza al norte de Grupo A y las excavaciones constaron de dos unidades contiguas de 2 m (N-S) x 1 m (E-O) denominadas JOB08-1 y JOB-08-2 (Figuras 8.5 y 8.6).

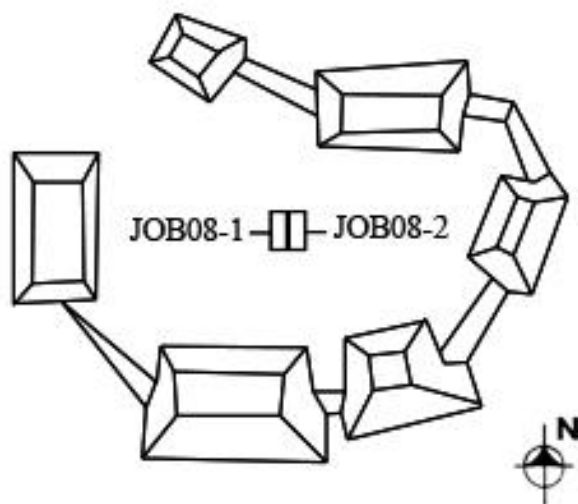


Figura 8.5. Esquema de ubicación de las unidades realizadas en el Grupo B (Mapa por R. Guzmán. Modificado por J. Ponce)

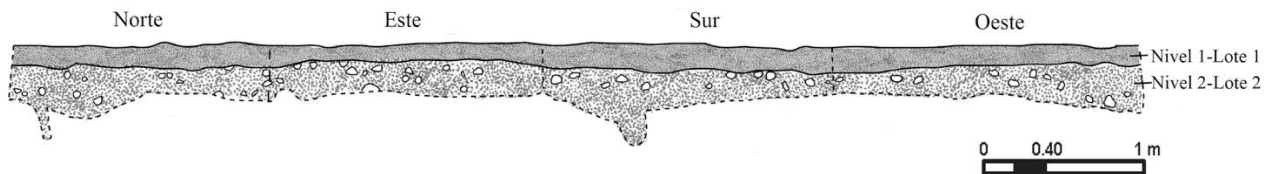


Figura 8.6. Perfiles de las unidades JOB08-1 y JOB08-2 (Dibujo por J. Ponce)

Nivel 1-Lote 1: este primer lote consistió de humus suelto con materia orgánica que abarcó de 0 a 0.16 m desde la superficie. No se recuperó material cultural.

Nivel 2-Lote 2: este estrato se encontró de 0.16 a 0.7 m desde la superficie y constó de tierra café oscura suelta mezclada con piedras calizas pequeñas. En la Unidad JOB08-1 se recuperaron 99 fragmentos de cerámica y dos de obsidiana, mientras que en la Unidad JOB08-2 se encontraron 63 fragmentos de cerámica y dos fragmentos de mano de moler. Se identificaron los tipos cerámicos Sierra Rojo, Polvero Negro, Achiote sin Engobe/Cambio sin Engobe, Sapote/Encanto Estriado y Gris Fino Chablekal.

Debido a que no se encontró piso de plaza conservado, no fue posible identificar con exactitud diferencias estratigráficas del material. Se cree que es posible que haya sido ocupado durante el Preclásico Tardío o al igual que el Grupo B, se utilizó material más temprano para su construcción. A su vez, la presencia de cerámica Gris Fino Chablekal indica que el Grupo B fue ocupado después de 760 d.C. Cabe mencionar que en la roca madre se encontró una hendidura que oscila entre 0.08 y 0.28 m de ancho, formando una especie de acanaladura (Figura 8.7). Se cree que posiblemente fue tallada con el fin de obtener material o funcionar como una especie de drenaje. Asimismo, en la sección norte de Unidad JOB08-2 se encontró un área quemada en la roca madre de aproximadamente 0.1 x 0.1 m, lo que sugiere actividad antes o durante la nivelación de la plaza.



Figura 8.7. Roca madre tallada en las unidades JOB08-1 y JOB08-2 (Foto por J. Ponce)

Grupo C

Este grupo se encuentra al oeste del Grupo B y la investigación consistió en la excavación de la Unidad JOB15-1 (Figuras 8.8 y 8.9) de 2 m (N-S) x 1 m (E-O) realizada entre el 6 y 9 de junio.

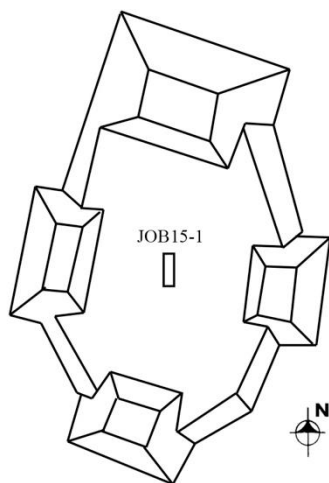


Figura 8.8. Esquema de ubicación de la Unidad JOB15-1 en el Grupo C (Mapa por R. Guzmán. Modificado por J. Ponce)

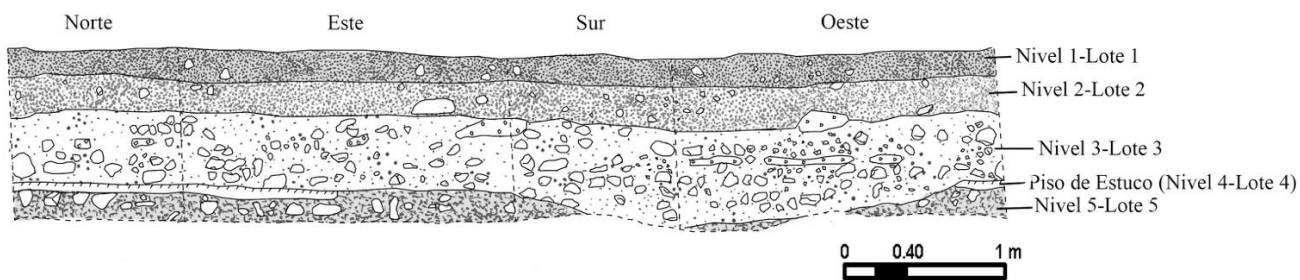


Figura 8.9. Perfiles de la Unidad JOB15-1 (Dibujo por J. Ponce)

Nivel 1-Lote 1: el primer lote constó de humus suelto con material orgánico y se encontró de 0 a 0.2 m desde la superficie. No se recuperó material cultural.

Nivel 2-Lote 2: este lote consistió de tierra café oscura mezclada con fragmentos pequeños de piedra caliza y se halló de 0.2 a 0.4 m aproximadamente desde la superficie. Se recuperaron 216 fragmentos de cerámica y se identificaron los tipos Gris Fino Chablekal, Encanto Estriado, Tinaja Rojo variedad Pantano Impreso, Cambio sin Engobe y Flor Crema. Todos los tipos, a excepción del último, pertenecen al Clásico Tardío y la presencia de Gris Fino Chablekal indica una ocupación después de 760 d.C., consistente con los resultados del Grupo B.

Nivel 3-Lote 3: este lote constó de un relleno de pedrín y piedras medianas con tierra café suelta hallado de 0.4 a 1 m desde la superficie. Se encontraron dos fragmentos de pedernal y cinco de cerámica, entre los cuales se identificaron los tipos Sierra Rojo y Sapote Estriado.

Nivel 4-Lote 4 (Piso de plaza): este piso se encontró conservado solamente en algunas partes de la unidad de 0.8 a 0.84 m desde la superficie. No se recuperó material cultural.

Nivel 5-Lote 5: este último lote se encontró sobre la roca madre y constó de tierra café oscura compacta de consistencia arcillosa bajo el piso de plaza, localizado de 0.84 a 1.08 m desde la superficie. Se recuperaron 46 fragmentos de cerámica incluyendo los tipos Flor Crema, Sierra Rojo, Polvero Negro y Sapote Estriado, pertenecientes al Preclásico Tardío.

Grupo F

Este es el grupo de mayor tamaño de El Jobillo y se encuentra localizado en el extremo norte del sitio La investigación en esta plaza consistió en la excavación de dos unidades contiguas de 2 m (N-S) x 1 m (E-O) denominadas JOB28-1 y JOB28-2, realizadas entre el 7 y 10 de junio (Figuras 8.10 y 8.11). Cabe mencionar que las estructuras ubicadas en el lado norte y oeste del grupo se encontraron quemadas como producto de incendios forestales en el área, tal como se muestra en la Figura 8.12.

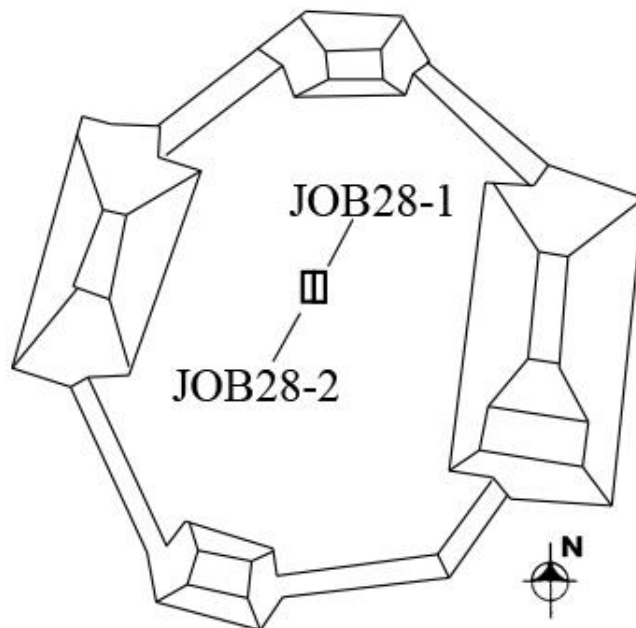


Figura 8.10. Esquema de ubicación de las unidades realizadas en el Grupo F (Mapa por R. Guzmán. Modificado por J. Ponce)

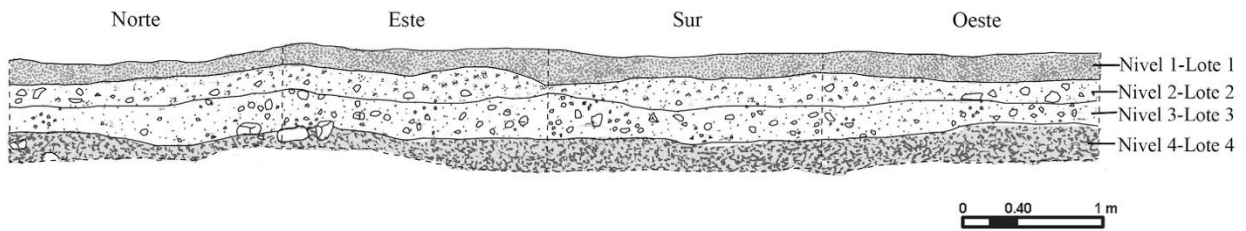


Figura 8.11. Perfiles de las unidades JOB28-1 y JOB28-2 (Dibujo por J. Ponce)



Figura 8.12. Estructura quemada en el lado oeste del Grupo F (Foto por J. Ponce)

Nivel 1-Lote 1: este primer lote constó de humus suelto con material orgánico hallado de 0 a 0.2 m desde la superficie. Se recuperó solamente un fragmento de cerámica en la Unidad JOB28-2.

Nivel 2-Lote 2: este lote corresponde a tierra suelta color rojizo con piedras pequeñas y medianas, hallado de 0.2 a 0.4 m desde la superficie. En la Unidad JOB-01 se hallaron 44 fragmentos de cerámica y se identificaron los tipos Encanto Estriado, Chaquiste Impreso, Cambio/Achiote sin Engobe y Sierra Rojo, incluyendo la variedad Repasto Negro sobre Rojo. Por su parte, en la Unidad JOB-02 se encontró un fragmento de pedernal y 24 de cerámica incluyendo los tipos Encanto Estriado, Cambio sin Engobe y Sierra Rojo, lo que sugiere una mezcla de material del Preclásico Tardío y Clásico Tardío.

Nivel 3-Lote 3: este lote constó de tierra café amarillenta compacta con piedras pequeñas y medianas, hallado aproximadamente de 0.4 a 0.6 m desde la superficie. Cubriendo este estrato se identificaron pequeños fragmentos de estuco mal conservados dispersos en la unidad, lo que sugiere que corresponden al piso de plaza. En la Unidad JOB28-1 se recuperaron ocho fragmentos de cerámica y se identificaron los tipos Sapote/Encanto Estriado, Achiote/Cambio sin Engobe y Sierra Rojo. Por su parte, en la Unidad JOB28-2 se encontraron dos fragmentos de cerámica incluyendo un polícromo, por lo que al igual que el lote anterior, posiblemente representa un contexto con material de los períodos Preclásico Tardío y Clásico Tardío.

Nivel 4-Lote 4: este último lote se halló sobre la roca madre (0.6 a 0.86 m) y consistió de tierra café oscura compacta y consistencia arcillosa. No se recuperó material cultural.

Saqueos

Los saqueos recientemente reportados en El Jobillo consisten en tres trincheras en dos diferentes estructuras de los Grupos D y E, y un pozo en la estructura norte del Grupo C. Los saqueos fueron numerados correlativamente considerando los que se habían identificado con anterioridad (Guzmán 2012). Cabe mencionar que también se encontró el campamento que utilizaron los saqueadores en el área sur del sitio y empaques de comida, medicamento y agua dispersos en varios sectores (Figuras 8.13 y 8.14).



Figura 8.13. Campamento improvisado utilizado por los saqueadores (Foto por J. Ponce)



Figura 8.14. Ropa y algunos empaques de alimentos y medicamentos dejados por los saqueadores (Fotos por J. Ponce)

JOB01-Saqueo 6

Este saqueo se halló en la estructura norte del Grupo D y junto con el Saqueo 7, ya que fueron realizados en el lado este de dicha estructura (Figura 8.15). La trinchera midió 3.22 m en el Perfil Norte, 3.30 m en el Perfil Sur y 0.77 m en el Perfil Oeste (Figura 8.16). En los perfiles fue visible que el humus abarca alrededor de 0 a 0.3 m desde la superficie y posee piedras de tamaño mediano que posiblemente corresponden a escombros arquitectónicos. Luego se observó un estrato de tierra café suelta mezclada con piedras de escombros de 0.3 a 0.7 m desde la superficie, seguido por un relleno de tierra café amarillenta mezclada con pedrín de 0.7 a 1 m, el cual cubría un piso de estuco de alrededor de 0.1 m de grosor. Debajo del piso se observó un relleno de tierra café compacta de consistencia arcillosa de aproximadamente 1.1 a 1.3 m desde la superficie, similar al que fue hallado sobre la roca madre en las plazas de los Grupos B, C y F. En este estrato los saqueadores realizaron una excavación ilícita en el Perfil Norte de 0.24 x 0.28 m, destruyendo parte del piso. Luego excavaron 1.8 m en un relleno de tierra caliza compacta y realizaron un segundo registro de 0.3 x 0.3 m en el Perfil Norte, alcanzando una profundidad máxima de 3.16 m desde la superficie.

El material recuperado durante la limpieza incluye 67 fragmentos de cerámica dejados en el área entre las trincheras de saqueo 6 y 7, algunos de los cuales corresponden a los restos de una vasija policroma junto con 32 fragmentos de hueso, lo que indica que posiblemente encontraron un entierro. De igual manera, uno de los fragmentos de cerámica posee restos de cera de vela, sugiriendo la posible utilización de luz de vela por los saqueadores (Figura 8.17). Otros tipos cerámicos identificados incluyen Sapote/Encanto

Estriado, Sierra Rojo, Tinaja Rojo, Chaquiste Impreso y Achiote/Cambio sin Engobe correspondientes a los períodos Preclásico Tardío y Clásico Tardío.



Figura 8.15. Vista desde el este de los saqueos 6 y 7 (Foto por J. Ponce)

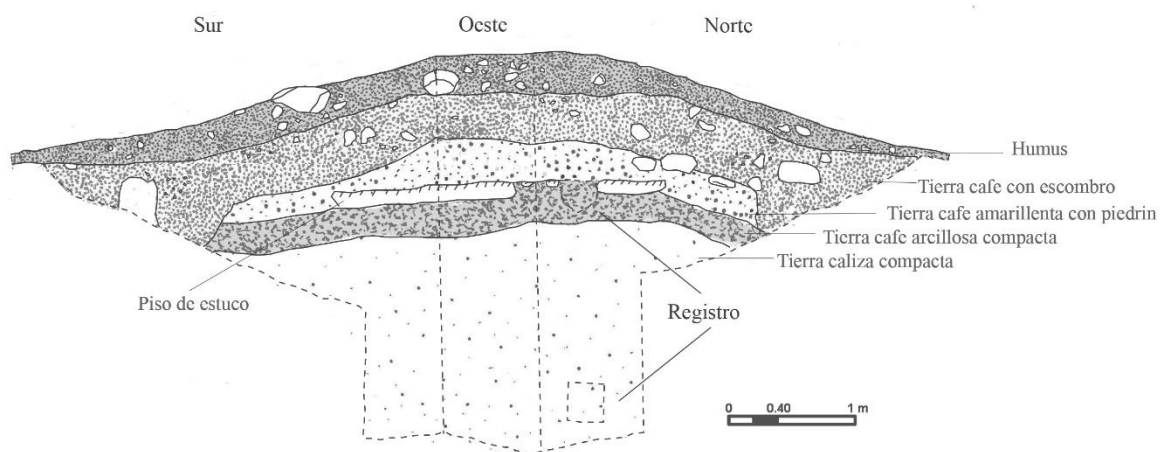


Figura 8.16. Perfiles del Saqueo 6 mostrando registros hechos por los saqueadores (Dibujo por J. Ponce)



Figura 8.17. Fragmentos de plato polícromo asociado a los saqueos 6 y 7, el tercero de izquierda a derecha con restos de cera (Foto por J. Ponce)

JOB01-Saqueo 7

Esta trinchera de saqueo se encontró a 1.55 m al norte del Saqueo 6. Midió 5 m en el Perfil Norte, 5.16 m en el Perfil Sur y 0.77 m en el Perfil Oeste (Figura 8.18). Al igual que en el Saqueo 6, fueron visibles los estratos culturales, los cuales fueron relativamente variables en relación al Saqueo 6. El humus abarcó aproximadamente de 0 a 0.3 m desde la superficie. Luego se observó un lote de tierra café suelta mezclada con escombros de 0.3 a 0.86 m desde la superficie seguido por un estrato de tierra amarillenta mezclada con piedrín de 0.86 a 1.3 m desde la superficie. Posteriormente se observó una nivelación de caliza de 0.1 m de grosor y parece que los saqueadores siguieron este estrato mientras excavaban hacia el interior de la trinchera. Debajo se observó un lote de tierra café compacta de consistencia arcillosa de 1.4 a 1.6 m desde la superficie, seguido por otro piso de estuco que oscilaba entre 0.1 y 0.2 m de grosor. Finalmente, los saqueadores hallaron otro lote de tierra café compacta arcillosa de 0.2 m de grosor. Los cinco fragmentos de cerámica hallados incluyen los tipos Chaquiste Impreso, Sierra Rojo y Encanto/Sapote Estriado correspondientes a los períodos Preclásico Tardío y Clásico Tardío.

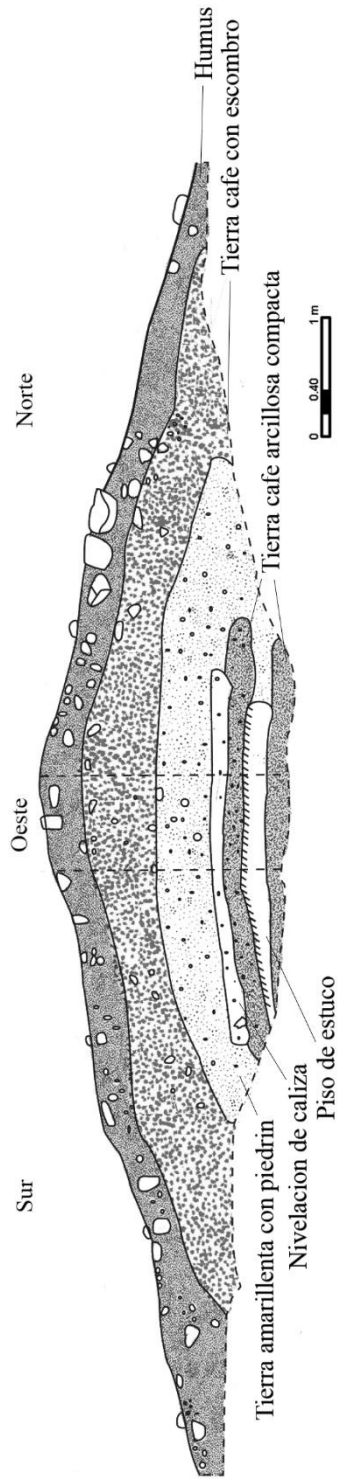


Figura 8.18. Perfiles del Saqueo 7 (Dibujo por J. Ponce)

Esta trinchera de saqueo fue localizada en el lado sur de la estructura oeste del Grupo E, la cual no se encuentra ubicada en el mapa del sitio actualmente. El saqueo midió 5.56 m en el Perfil Este, 5.46 m en el Perfil Oeste y 0.5 m en el Perfil Norte (Figuras 8.19 y 8.20). Junto a la trinchera se recuperaron 72 fragmentos de cerámica de los períodos Preclásico Tardío, Protoclásico y Clásico Tardío, incluyendo los tipos Flor Crema, Sacluc Negro sobre Naranja y polícromos, los cuales corresponden a por lo menos tres diferentes vasijas. Además, en la parte superior del montículo se encontraron varias plumas negras dispersas, lo que sugiere que posiblemente desplumaron un ave en este sitio para consumo. En cuanto a la estratigrafía de la estructura, se observó una capa de humus de 0 a 0.4 m de la superficie. Luego, aproximadamente de 0.4 a 0.8 m desde la superficie, se identificó un relleno de tierra café suelta con piedras medianas que posiblemente pertenecen a escombros arquitectónicos. Debajo se identificó un estrato de tierra café amarillenta de 0.8 a 1.40 m desde la superficie aproximadamente y dentro del mismo, a aproximadamente 1.1 m de profundidad se identificaron los fragmentos de un piso de estuco de alrededor de 0.1 m de grosor en mal estado de conservación. Finalmente, se identificó un relleno de tierra café compacta de consistencia arcillosa, alcanzando una profundidad máxima de 1.8 m desde la superficie. La excavación no fue uniforme dentro de la trinchera y al igual que en los saqueos 6 y 7, se volvió más profunda a medida que ingresaban al interior del montículo.



Figura 8. 19. Vista del Saqueo 8 desde el sur (Foto por J. Ponce)

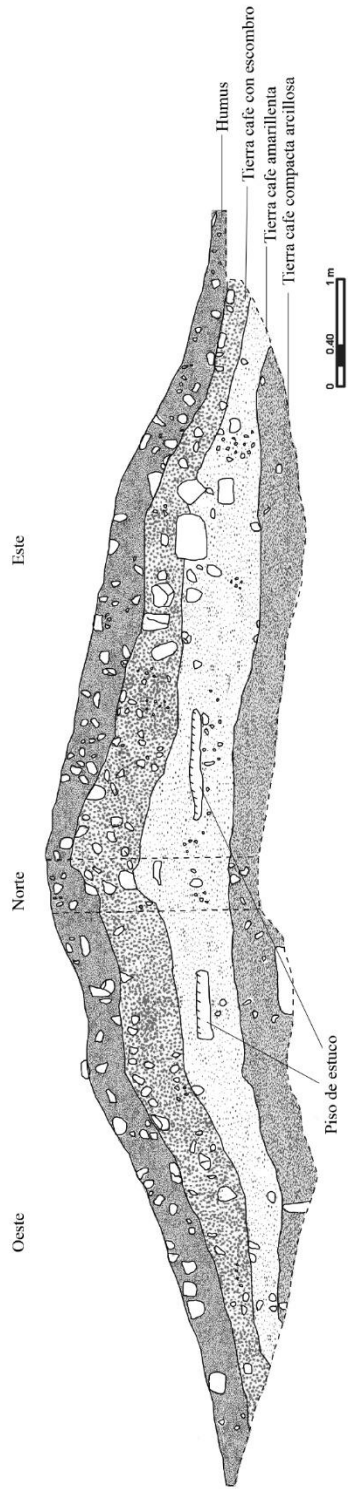


Figura 8.20. Perfiles del Saqueo 8 (Dibujo por J. Ponce)

JOB01-Saqueo 9

Este pozo de saqueo fue identificado en la parte superior de la estructura de mayor tamaño del Grupo C, ubicada en el lado norte de dicha plaza. Consistió de un pozo de 1.26 m en los perfiles norte, oeste y sur, y 1.34 m en el Perfil Este (Figura 8.21). Junto al saqueo no dejaron ningún material extraído de las excavaciones, a excepción de un fragmento de lítica tallada (Figura 8.22). Destaca el hallazgo de una estructura de madera que había sido colocada sobre el pozo con el objetivo de extraer la tierra más fácilmente, probablemente con ayuda de lazos y costales, lo que sugiere cierto nivel de experiencia por parte de los saqueadores (Figura 8.23). Además, junto al saqueo se hallaron dos contenedores de tres litros que aun contenían agua, los cuales probablemente fueron utilizados por los saqueadores durante la excavación.

En cuanto a la estratigrafía de la estructura, de primero se observó el humus alrededor de 0 a 0.28 m desde la superficie. Luego se identificó un lote de tierra café con piedras de escombros y piedras calizas pequeñas de 0.28 a 0.8 m desde la superficie. Después se identificó un piso de estuco de aproximadamente 0.1 m de grosor, el cual cubría un estrato de tierra café compacta de consistencia arcillosa de 0.9 a 1.2 m desde la superficie. Posteriormente, se observó un lote de tierra café amarillenta mezclado con piedras calizas pequeñas y medianas de 1.2 a 1.8 m desde la superficie aproximadamente. Luego se identificó un relleno de tierra café oscura con pocas piedras calizas de 1.8 a 2.6 m de profundidad. Dentro de este estrato se identificó un lote de ceniza de 0.6 x 0.2 m en el Perfil Sur, el cual se encontró encima de un posible segundo piso de estuco de 0.04 m de grosor. Junto al depósito de ceniza, los saqueadores realizaron un registro de 1.16 x 0.8 m en los perfiles sur y oeste, y excavaron 0.4 m hacia el interior de los perfiles. En este registro fue visible un relleno de tierra café oscura compacta y tierra amarillenta compacta mezclada con piedras calizas bajo el piso de estuco. Por último, se identificó una nivelación de tierra amarillenta compacta con piedras calizas de 3.08 a 3.24 m desde la superficie. Esta cubría un relleno de tierra café compacta de consistencia de barro y la piedra caliza natural, alcanzando una profundidad máxima de 3.84 m desde la superficie y siendo este el saqueo más profundo reportado hasta el momento en El Jobillo. La excavación fue relativamente uniforme en todo

el pozo, a excepción del Perfil Norte. Debido a que los saqueadores no dejaron material, es difícil discernir lo que hallaron durante la excavación.

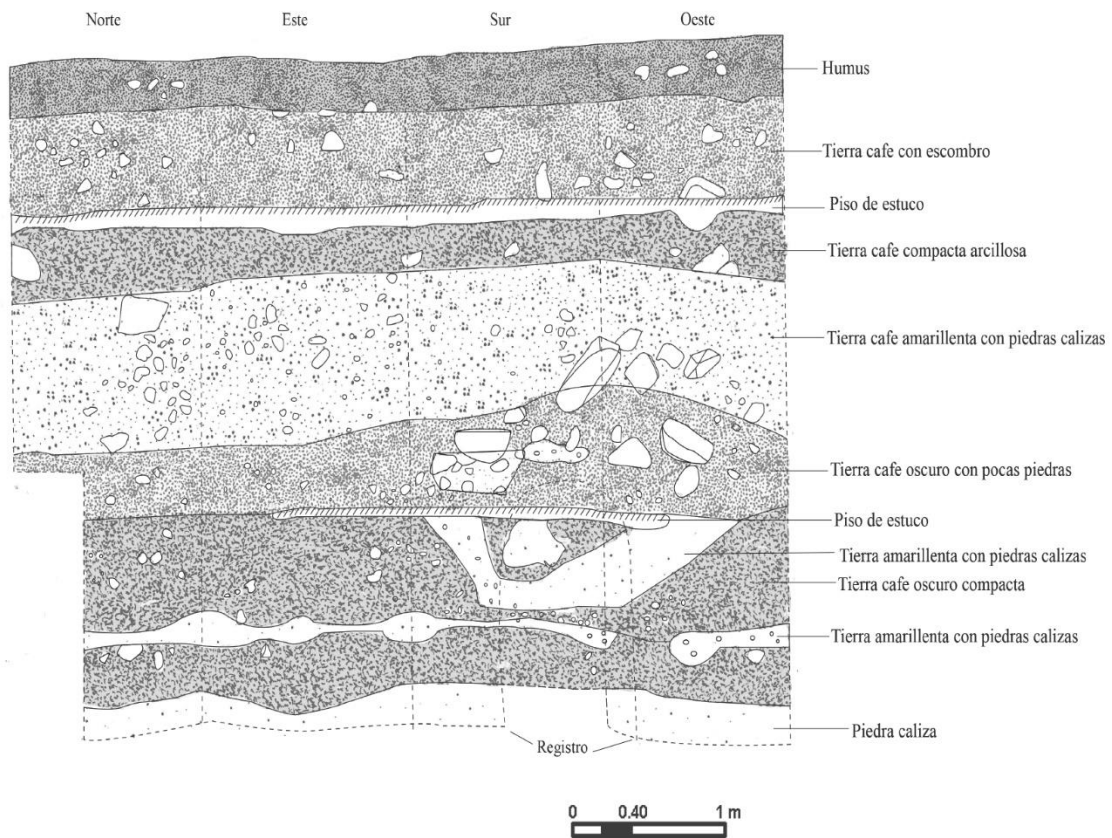


Figura 8.21. Perfiles del Saqueo 9 mostrando el registro realizado por los saqueadores (Dibujo por J. Ponce)



Figura 8.22. Fragmento de lítica tallada encontrado junto al Saqueo 9
(Foto por J. Ponce)



Figura 8.23. Vista del Saqueo 9, estructura de madera y contenedores de agua desde el norte
(Foto por J. Ponce)

Conclusiones

Las excavaciones de esta temporada indican que El Jobillo fue construido sobre una terraza natural que fue nivelada para su uso. En la mayoría de los casos, no se invirtió gran cantidad de material para su nivelación y los resultados de las excavaciones sugieren que probablemente hubo una sola ocupación representada por un piso de plaza. La única excepción es el Grupo A, donde se identificaron dos diferentes pisos. La poca cantidad de material recuperado en general y el mal estado de conservación de los pisos de plaza dificulta el fechamiento exacto de los diferentes grupos. Los Grupos B, C y F poseen material mezclado del Preclásico Tardío y Clásico Tardío, y la presencia de cerámica Gris Fino Chablekal en los Grupos B y C fecha la última ocupación del sitio para después de 760 d.C. Por su parte, no se debe descartar la posibilidad que el Grupo A haya sido construido y ocupado durante el Clásico Tardío. En base a estos datos, se cree que es posible que los grupos hayan sido construidos y ocupados inicialmente durante el Preclásico Tardío o que este material fue traído de otra área y construido posteriormente, posiblemente durante el Clásico Tardío. En todos los casos destaca la ausencia de material que no pertenece a estas dos temporalidades, y se espera que en futuras excavaciones se pueda obtener más material y contextos mejor conservados y no depredados para aclarar la secuencia ocupacional de El Jobillo.

CAPÍTULO IX

NUEVAS INVESTIGACIONES LA ESTRUCTURA 5C-01 DE EL ACHIOTAL: EXCAVACIONES Y REGISTRO DE SAQUEOS, TEMPORADA 2016

Ernesto Arredondo Leiva

Introducción

El edificio 5C-01 es la mayor estructura del sitio arqueológico El Achiotal. Ubicada en el extremo sur de la meseta donde se asienta el sitio (Figura 9.1), tiene una altura aproximada de 17 m y una orientación aproximada de 10° azimut. La estructura fue intervenida durante tres temporadas llevadas a cabo desde 2009 hasta 2011 por Marie Jane Acuña como parte de un subprograma de investigación del Proyecto Regional Arqueológico La Corona (PRALC). Estas investigaciones dieron como resultado la Tesis Doctoral de Acuña en 2013 y se concentraron en el análisis del despliegue iconográfico mostrado por las estructuras 5C-01-sub4 y 5C-01-sub5, siendo la primera denominada "Bulto", precisamente por los diseños pintados en sus muros. Si bien la presencia de cerámica Mamón en la Estructura 4C-11 apunta a un origen del asentamiento cercano a la transición del Preclásico Medio (1000 – 400 a.C.) al Tardío (400 – 250 d.C.) (Acuña 2013: 354), la construcción y uso del Edificio 5C-01 parece apuntar más bien a la parte final de la última fase citada, es decir, entre los años 100 a.C. y el 250 d.C.; y con un componente Clásico Temprano (250-550 d.C.) en las fases que cubrieron la gran plataforma 5C-01-sub8 que sostiene al edificio Bulto. Sin embargo, para el presente informe no se cuenta aun con el análisis de cerámica completo producto de las excavaciones de 2016, por lo que se espera afinar esta observación más adelante. Por otro lado, se ha encontrado evidencia que apunte a una obra inconclusa (Ibid: 361), y los pisos más altos en el Saqueo #7 parecen indicar lo contrario. Además, los últimos descubrimientos realizados en la Estructura 5C-08 (Auld-Thomas *et al.* 2015), en donde se encontró un monumento datado para el año 416 d.C., además de al menos tres cámaras funerarias, hacen pensar en una continuidad de uso del área hasta por lo menos esa fecha.

La Estructura 5C-01 representa el cambio de ideología notado en las Tierras Bajas Mayas durante la transición del Periodo Preclásico al Clásico, en donde las instituciones preclásicas dan paso a una centralización del poder representado por el gobernante. La presencia de una subestructura con banca central construida luego de fases tempranas enfocadas en símbolos de

poder comunes al Preclásico, hace pensar en ese cambio. Durante el Clásico Temprano aparecerían las primeras dinastías en toda el área maya, y seguramente El Achiotal no sería la excepción. Es probable que la banca illustre esta evolución y haya sido un sitio reservado ya no para los símbolos de poder comunes, sino un asiento del *Ajaw* local. En ese sentido, El Achiotal corresponde bien con el contexto ideológico observado en las Tierras Bajas Mayas.

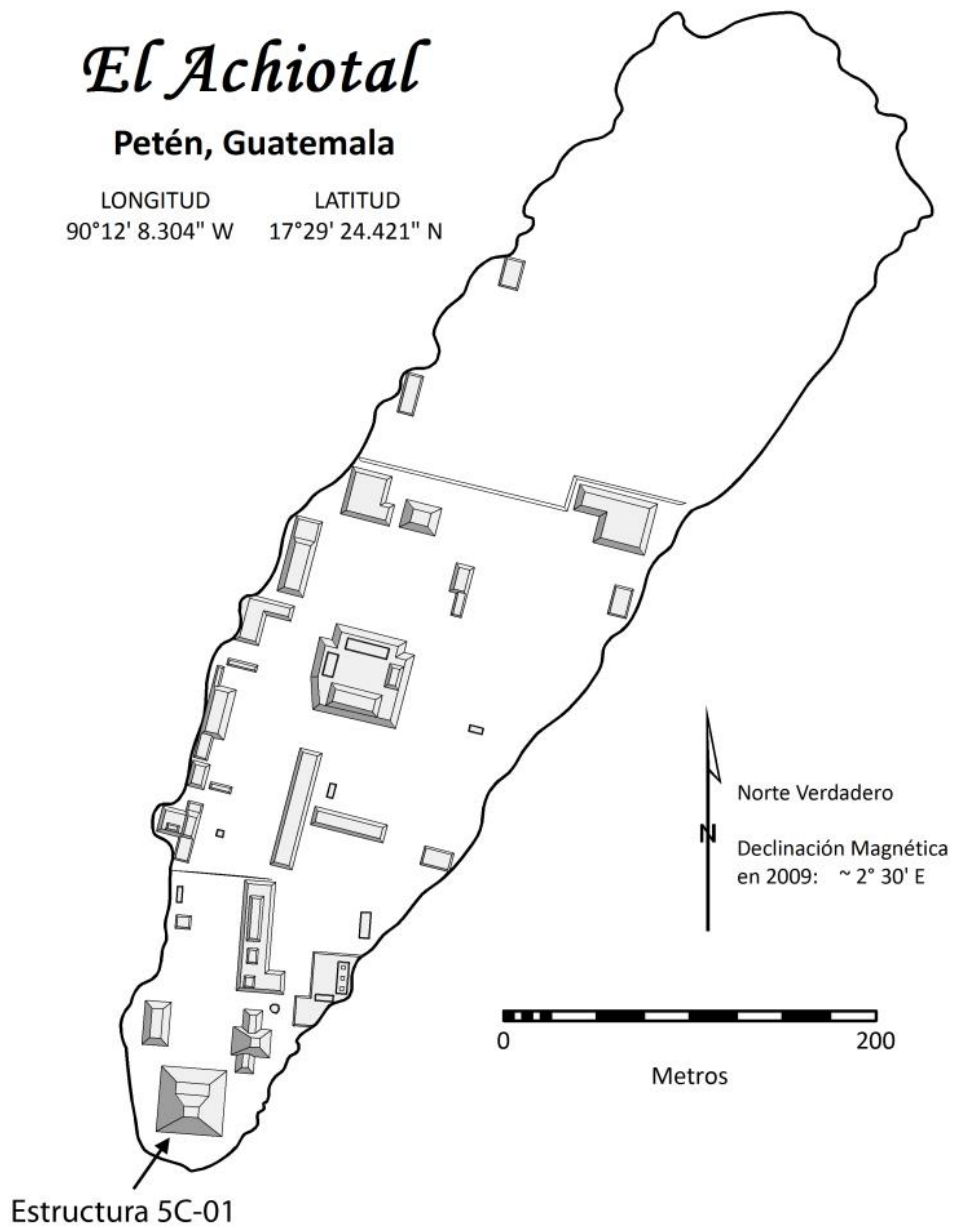


Figura 9.1 Plano de El Achiotal, mostrando la ubicación de la Estructura 5C-01 (Mapa por C. Chiriboga).

Objetivos Generales y Metodología

La intervención de la Estructura 5C-01 de El Achiotal durante la Temporada 2016 tuvo como principal objetivo la limpieza de los saqueos #2 y #6 con la finalidad de obtener dibujos de los perfiles que complementarían los trabajos anteriores realizados por Marie Jane Acuña (2013). Posteriormente se consideró realizar algunas excavaciones que proporcionarían información respecto a las distintas fases constructivas.

Para tal efecto, se programaron tres actividades básicas: la limpieza de los saqueos, excavaciones horizontales por medio de túneles y excavaciones verticales por medio de pozos de sondeo. Las excavaciones controladas fueron denominadas bajo la Sub-operación ACH-1G, mientras la limpieza de saqueos fue denominada Sub-operación ACH1-X. Para efectos prácticos, los túneles existentes en el Saqueo #2 fueron nombrados como Túnel inferior, Túnel medio y Túnel superior, de acuerdo con su localización respecto del saqueo principal.

Las excavaciones horizontales consistieron en túneles realizados al interior de la Estructura 5C-01 (Figura 9.2). Inicialmente se planificó extender el Túnel 1a realizado en temporadas anteriores, con el objetivo de intentar exponer alguna estructura hacia el sur. Su efectivo hallazgo hizo necesario realizar dos más, con la intención de poder conocer más de su fachada y acceso principal. La excavación también contempló al inicio la colección de material cada metro, sin embargo el contexto llevó a realizarla de manera continua en vista que se trató siempre de rellenos contemporáneos.

Las excavaciones verticales consistieron en pozos de sondeo de dimensiones variables y adaptadas a cada contexto. Los lotes respondieron a variaciones observadas en la matriz intervenida, siguiendo así, en la mayoría de los casos, los niveles estratigráficos presentes (Figura 9.3).

La limpieza de saqueos consistió en la remoción de todo el material expuesto en los perfiles y que fue producto del derrumbe, erosión y desplazamiento causado por el abandono y por la acción vandálica de los saqueadores. Por medio del uso de piochines se removió al menos unos 0.10 m de material en las paredes de los saqueos. Esto produjo la exposición más clara de los perfiles, pudiendo observar con claridad rasgos arquitectónicos antes ocultos y las características generales de los materiales de relleno (Figura 9.3).

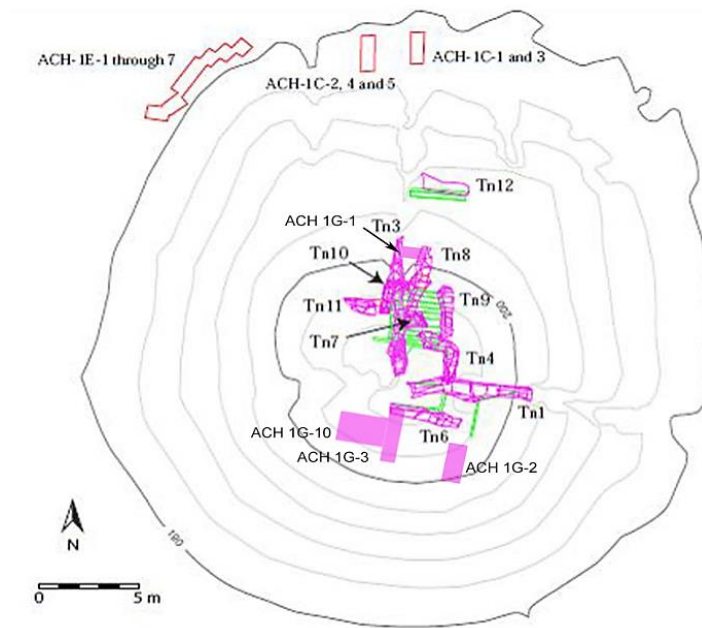


Figura 9.2 Localización de las excavaciones horizontales ACH 1G-1, 2, 3 y 10 (Modificado de C. Chiriboga).

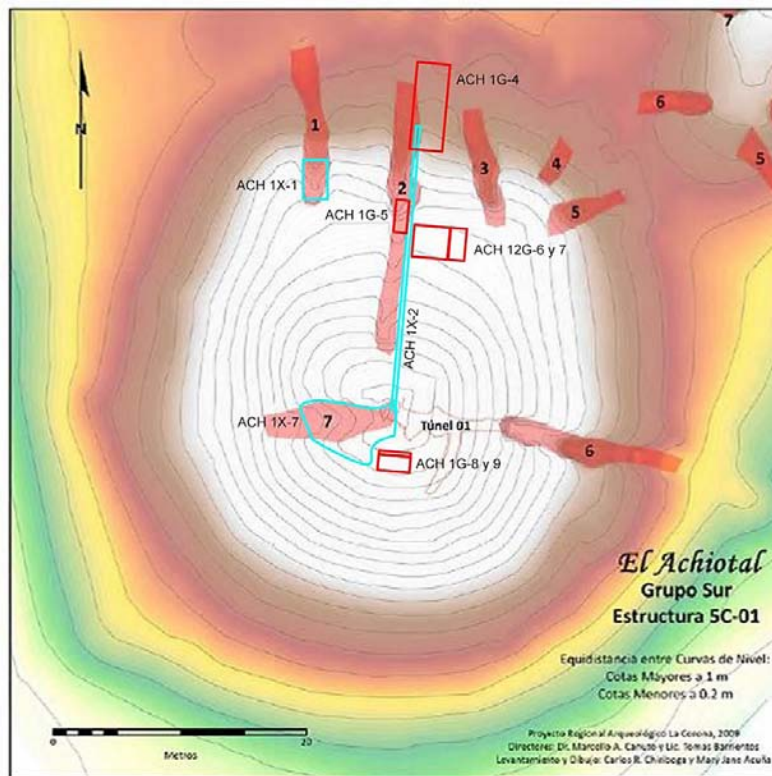


Figura 9.3 Localización de las excavaciones verticales y limpiezas de saqueo durante la Temporada 2016 (Modificado de C. Chiriboga).

Sub-operación ACH 1G

Descripción y Objetivos

La Sub-operación ACH 1G tuvo la intención de conocer detalles particulares observados luego de la limpieza de los saqueos del edificio 5C-01. Se llevaron a cabo un total de nueve unidades, distinguidas entre excavaciones horizontales o túneles y excavaciones verticales o pozos. Los túneles realizados fueron nombrados #13, #14, #15 y #16, siguiendo la numeración establecida en temporadas anteriores (Acuña 2013), y representan las unidades #2, #3, #10 y #1 respectivamente. En el caso de los primeros tres, éstos se realizaron siguiendo túneles preexistentes. El primero siguió el Túnel de Saqueo 1a (TN 1a de Acuña [2013]); el segundo dio inicio a partir del final del Túnel 6 (TN6; *Ibíd.*), pero en dirección sur; mientras el tercero fue la continuación de éste hacia el oeste, partiendo del inicio de las gradas de la Estructura Cacao. Por su lado, el Túnel #16 unió el final del Túnel inferior del Saqueo #2 con el túnel TN8 de la intervención realizada en anteriores temporadas (*Ibíd.*).

En cuanto a los pozos, se realizaron seis unidades iniciando con las unidades #4 y #5 (ACH 1G-4 y 5), localizadas en la base del Saqueo #2. La primera, estuvo ubicada al este del eje central del edificio, mientras la segunda se llevó a cabo en la superficie del saqueo mismo, frente a la entrada del túnel de depredación. Las unidades #6 y #7 estuvieron en la plataforma media del edificio, es decir en la sección donde termina el gran basamento y da inicio el cuerpo piramidal último. Ambas, al costado este del Saqueo #2. Por su cuenta, las unidades #8 y #9 se llevaron a cabo en la cima del montículo hacia el sur del Saqueo #7 y ligeramente hacia el este del eje del edificio. En el presente informe, y por motivos de continuidad, se describirán primero las excavaciones horizontales y luego las verticales.

Unidad ACH1G-1 (Túnel #16)

Se localizó dentro del Saqueo #2 en su parte más baja, uniéndolo el final de éste con el Túnel #8. Sus dimensiones son 0.8 m ancho; 1.3 m alto; 1 m profundidad, con orientación 100° azimut. Su objetivo fue unir ambos túneles para conocer la relación entre los pisos localizados en ellos. Lote 1 (ACH 1G-1-1): (0 – 1.3 m): Relleno constructivo con un grosor aproximado de 1 m. La capa contuvo varios estratos que pertenecen a un mismo momento constructivo. El material

mayoritario fue de tierra café amarillenta suave (10YR 6/4) suelta con grano fino a medio, con presencia de piedras medianas a grandes. Se recolectaron 14 tiestos.

El relleno pertenece al momento cuando fueron cubiertos los edificios Bulto y Cacao, junto a su plataforma elevada y la plataforma baja que la sostiene, representada cerca de la excavación por la escalinata expuesta en la Unidad ACH 1G-5.

Unidad ACH 1G-2 (Túnel #13)

Se definió como una extensión hacia el sur del Túnel de Saqueo #1a, dentro de Trinchera de Saqueo #6. Sus dimensiones fueron 0.8-1 m de ancho; 1.3 m alto; 2.8 m profundidad, con orientación de aproximadamente 10° / 25° azimut. Su objetivo fue encontrar una posible tercera estructura, detrás de la Estructura Bulto, y liberar el frente de la Estructura 5C-01-sub8a.

Lote 1 (ACH 1G-2-1): (0 – 1.8 m) (0.8 – 1 m ancho; 1.3 m alto; 1.8 m profundidad). Relleno constructivo y derrumbe de túnel de saqueo, mezclados. El Lote 1 corresponde a la limpieza del colapso del túnel de saqueo (Figura 9.7) y material mezclado por éste. Se recolectaron 27 fragmentos de cerámica y una muestra de carbón.

Lote 2 (ACH 1G-2-2): (1.80 – 2.80 m) (1.0 m ancho; 0.60 m alto; 1.0 m profundidad) Relleno constructivo *in situ*, compuesto por dos capas de tierra intercaladas: Tierra negra (10 YR 2/1), compacta, de grano grueso con 10% de caliza; y tierra café muy pálida (10YR 7/4), de grano fino a medio y de aspecto amarillento. Ambas capas tienen estratos intercalados de piedras medianas (Figura 9.4). El Lote 2 correspondió a la excavación propiamente dicha de la unidad, por sobre el piso *Wukub* (piso de estuco que cubre casi totalmente la plataforma baja de 5C-01-sub8a). En el extremo sur se descubrió un muro en talud que se proyecta desde el oeste, para cruzar rumbo sur. El muro tiene forma de faldón y corresponde a una proyección del Edificio Cacao. La altura, desde el piso hasta el inicio de su arranque tiene 0.75 m. Otro rasgo arquitectónico notable fue el de una proyección en diagonal que parte desde el edificio 5C-01-sub 8a (Figura 9.5), que es una continuación del muro, pero en dirección suroeste. Quizás su inicio marque el final de la plataforma, un dato que no pudo comprobarse. Su altura es la misma que la plataforma, unos 0.5 m, tiene un largo de 1.1 m y un ancho de 0.32 m. Su desviación respecto del azimut es de unos 223°. Se recolectaron 11 fragmentos de cerámica.

Lote 3 (ACH 1G-2-3): (0.4 – 2.8m) (0.2 m ancho; 0.6 m de alto; 2.5 m largo). Relleno constructivo que es el mismo que el Lote 3. El Lote 3 corresponde a la limpieza del perfil oeste del túnel (Figura 9.8), exponiendo así la fachada este del Edificio Cacao y su esquina noreste. Se recolectaron 3 fragmentos de cerámica.



Figura 9.4 Relleno constructivo que cubre el Edificio Cacao (Fotografía por E. Arredondo).



Figura 9.5 Rasgo que se proyecta de la Estructura 5C-01-sub 8a (Fotografía por E. Arredondo).

El túnel develó la presencia de una nueva estructura, asumida como existente desde la intervención en 2012 (Acuña 2013:155) (Figuras 9.6 y 9.11). La nueva estructura fue nombrada como Edificio Cacao, o 5C-01-sub 8c, siguiendo el sistema de nomenclatura existente. Su presencia confirma, casi con total seguridad, la característica triádica del Edificio 5C-Sub 8, en donde el Edificio Cacao conforma el edificio central de la composición. El descubrimiento de estuco modelado hacia la esquina noreste del mismo motivó la excavación de un nuevo túnel (Túnel #14 / ACH 1G-3) con la intención de encontrar el axis central de la estructura, para así, poder ubicar la fachada del edificio y exponer su fachada noroeste en busca de decoración estucada. Esta última extensión correspondería al Túnel #15 (ACH 1G-10), la cual se describe más adelante. La decisión sobre iniciar un túnel en la sección opuesta tuvo como principal motivación, la cercanía del Túnel #6 a unos dos metros del edificio. La ampliación de la excavación en este lugar hubiera debilitado más la estructura 5C-01 en este sector, poniendo en riesgo la integridad del equipo, así como a la estructura misma.

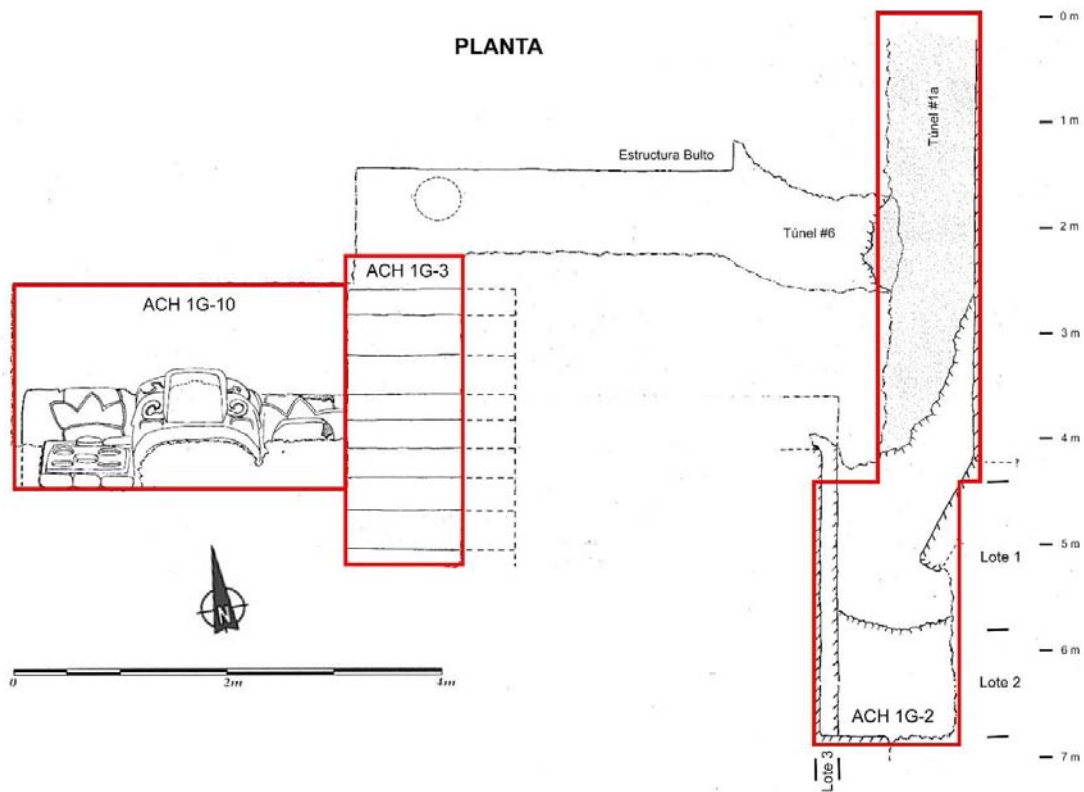


Figura 9.6 Planta de las unidades ACH 1G-2, ACH 1G-3 y ACH 1G-10 (Dibujo por E. Arredondo).

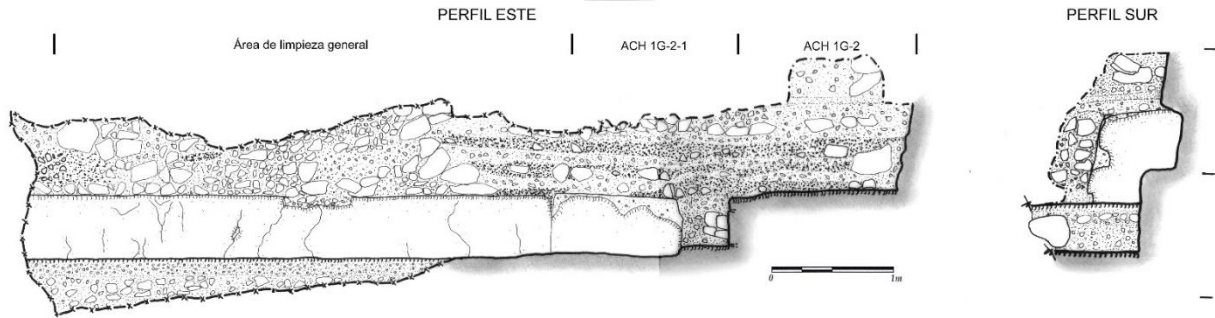


Figura 9.7 Perfiles este y sur de la Unidad ACH 1G-2 (Dibujo por E. Arredondo)

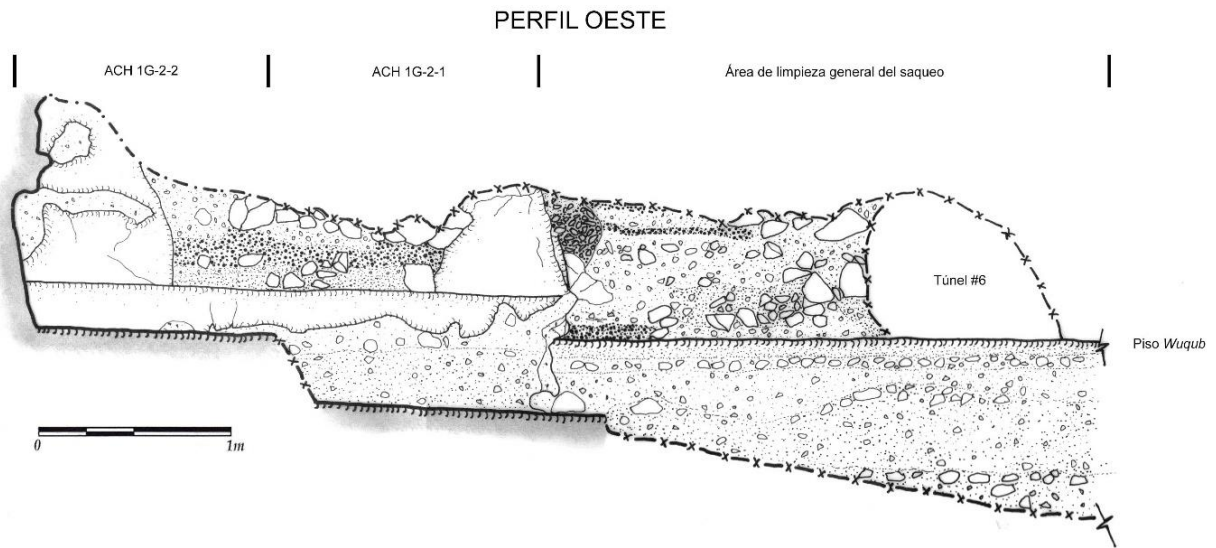


Figura 9.8 Perfil oeste de la Unidad ACH 1G-2 (Dibujo por J. Ajín)

Unidad ACH 1G-3 (Túnel #14)

Se localizó al final del Túnel #6 (Figura 9.6) realizado en 2012 (Acuña 2013), sobre el eje de la estructura Bulto en su fachada sur y siguiendo esa dirección. Sus dimensiones fueron 1.2 m alto; 1 m ancho; 3.1 m profundidad, con orientación 190° azimut. Su objetivo fue descubrir el eje central de la Estructura Cacao para conocer su fachada norte.

Lote 1 (ACH 1G-3) (0-3.1 m) (1.2 m alto; 1 m ancho; 3.1 m profundidad): Relleno constructivo en dos capas o niveles, uno por debajo de un piso de estuco y otro por sobre él. El estrato más bajo fue de tierra café amarillenta clara (10YR 6/4), de grano fino y consistencia compacta; mientras el superior fue de tierra café oscura (10 YR 3/3) de grano mediano, consistencia compacta y 75% de caliza, con presencia de piedras grandes medianas y pequeñas en todo el estrato. La capa inferior es similar en cuanto a la tierra café oscura, al estrato que cubrió el piso *Wukub* en la Unidad ACH 1G-2. Se recolectaron 52 fragmentos de cerámica, 1 de hueso y 2 de concha.

Desde el inicio de la excavación se notó la presencia de una capa de estuco en el límite superior del túnel de saqueo (Túnel #6). Este corresponde con el piso *Beleb* reconocido en 2012 (Acuña 2013) (Figura 9.9). Es notable que la misma capa de estuco no es totalmente recta y muestra una forma curva ascendente hacia el sur, sin llegar a tocar la escalinata y deteniéndose por sobre el tercer escalón. Por lo tanto no se consideró como un piso, sino como una capa de estuco que sella una etapa de la construcción y de aplicación de rellenos, dándole sostén a la capa siguiente.

La excavación encontró a los 0.5 m de ser iniciada, una escalinata perteneciente al Edificio Cacao. Luego se ascendió a lo largo de 8 escalones hasta alcanzar un noveno, al cual sólo se le descubrió la contrahuella. El proceso de extracción de material se detuvo en ese momento por motivos de seguridad, debido a que la excavación se acercaba a la superficie, ya que los golpes de herramientas eran audibles desde dentro del edificio y viceversa. El túnel descubrió entonces, una estructura de al menos nueve escalones que alcanzan una altura de 2.8 m y que fue cubierta parcialmente por una capa de tierra que a su vez fue cubierta con una capa de estuco que sirvió de base para la aplicación de otra capa de relleno contemporánea de piedras grandes y tierra oscura, la cual alcanzó el nivel más alto revelado por nuestra excavación. La escalinata muestra una fractura en al menos dos escalones (4to y 5to) con cierto desplazamiento hacia el oeste (Figura 9.10). Este comportamiento se notó en la limpieza del Saqueo #7, y puede que denote problemas estructurales en el edificio (ver más adelante).



a)



b)



c)

Figura 9.9 Escalinata del Edificio Cacao: a) vista parcial del perfil este de las escalinatas; b) vista frontal de los escalones 2 y 3; c) vista de los escalones 4 y 5 (nótese la separación de los mismos) (Fotografías por E. Arredondo)

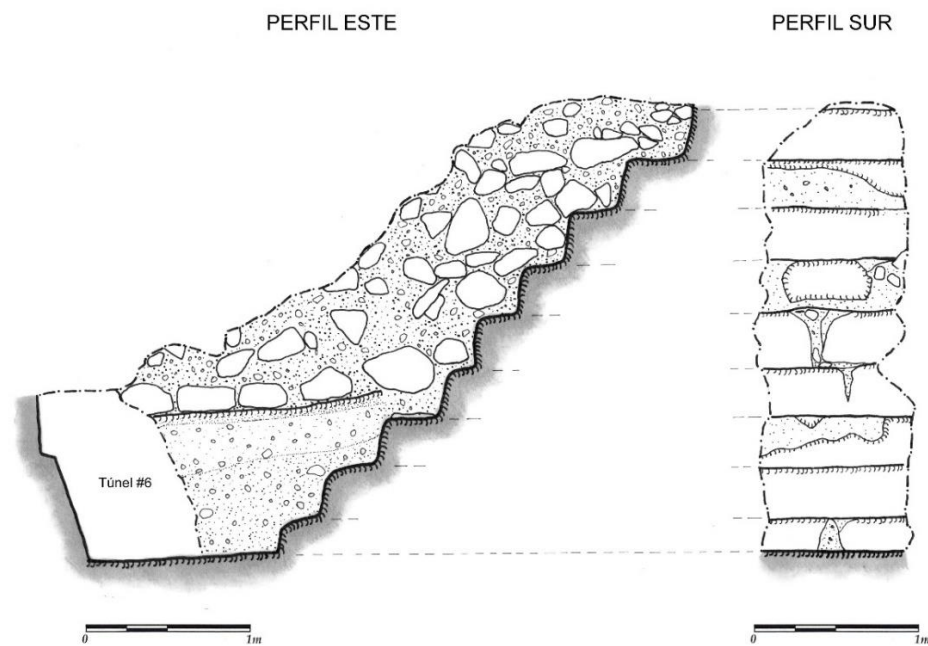


Figura 9.10 Perfiles este y sur de la Unidad ACH 1G-3 (Dibujo por J. Ajín).

Unidad ACH 1G-10 (Túnel #15)

Se localizó como extensión del Túnel #14, hacia el oeste, frente a la Estructura 5C-01-sub8c. Inició a 1.15 m de la fachada sur de la Estructura Bulto y sus dimensiones fueron de 1.75 a 2.10 m de ancho; 1.60 a 2.20 m de alto; y 3.20 m profundidad. La orientación fue de 290° azimut. Su objetivo fue descubrir la decoración en estuco en este sector, a partir de decoración similar en la sección este del edificio.

Lote 1 (ACH 1G-10) (0-3.2 m) (1.75-2.1 m ancho; 1.6-2.2 m alto): Relleno constructivo, igual que en Unidad ACH 1G-3, compuesto por tierra café amarillenta clara (10YR 6/4) de grano fino y consistencia compacta; y estrato superior de tierra café oscura (10 YR 3/3) de grano mediano, consistencia compacta y 75% de caliza, con presencia de piedras grandes medianas y pequeñas en todo éste estrato. El túnel (Figura 9.10) descubrió un mascarón monumental adosado a la plataforma de la Estructura Cacao, descrito más adelante. Se recolectó una muestra de Carbón.

Rasgo #1 (ACH 1G-10): Mascarón monumental

El mascarón encontrado en el Túnel #15 (figuras 9.11, 9.12, 9.13 y 9.14), está compuesto por tres elementos principales: un segmento corresponde a la cara de un personaje, mientras los dos siguientes corresponden a las orejeras localizadas a cada costado del elemento principal. La altura máxima observada fue de 2.1 m por 2.80 m aproximadamente de largo. Tuvo una proyección desde la estructura, de aproximadamente unos 0.68 m. alcanzados en la punta de la nariz o pico. El modelado descansa sobre una plataforma baja de la estructura de unos 0.3 m de alto y que se extiende unos 0.5 m hacia el norte, y 0.4 m hacia el oeste, desde la plataforma piramidal del edificio. La gama de colores incluye rojo, rosado (o rojo pálido), crema y negro. Las orejeras fueron moldeadas sobre la plataforma del edificio, mientras la cara o elemento central fueron quizás (no hay evidencia a la vista) moldeadas sobre una armazón de piedras grandes como las observadas en el mascarón expuesto por el Saqueo #3.

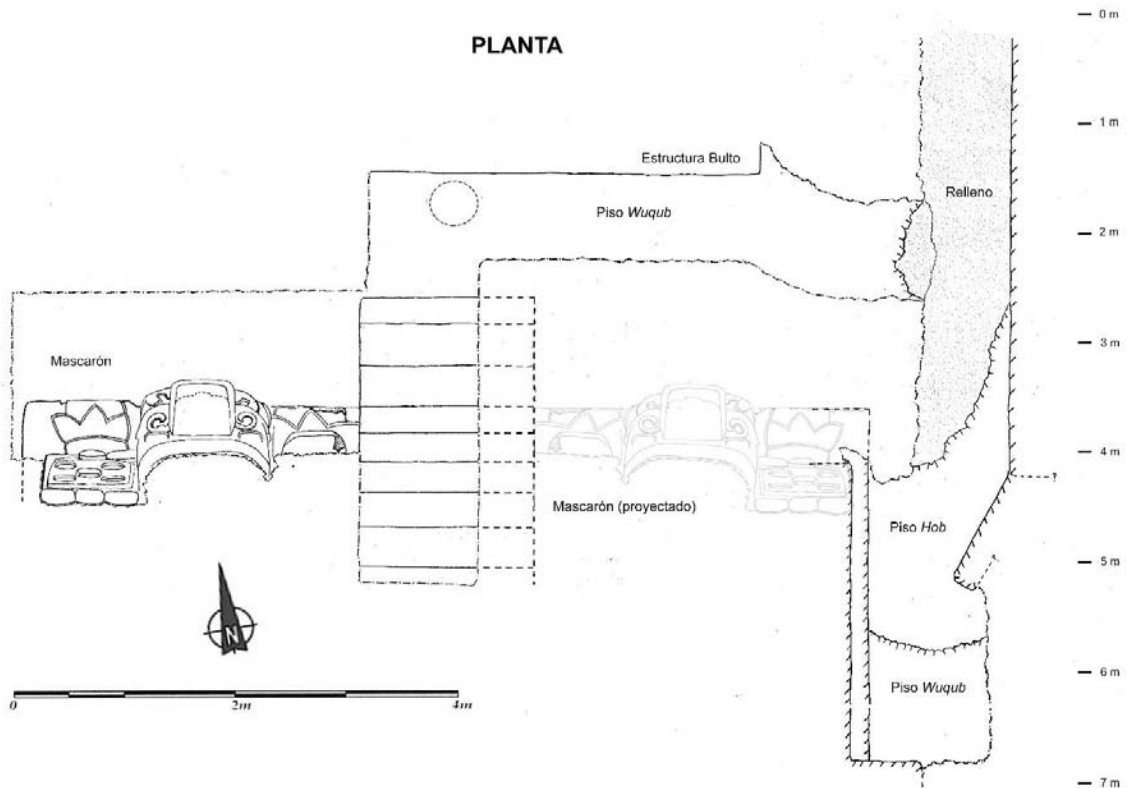


Figura 9.11 Planta de las unidades ACH 1G-2, ACH 1G-3 y ACH 1G-10 y rasgos asociados (Dibujo por E. Arredondo).

La excavación del Túnel #15 tuvo éxito en cuanto se pudo exponer la presencia de un mascarón monumental en uno de los costados de la escalinata de la Estructura Cacao. Es casi seguro que en el costado opuesto exista una representación similar, por el momento evidenciada por el estuco modelado que apareció en el Túnel #13 y discutida anteriormente.

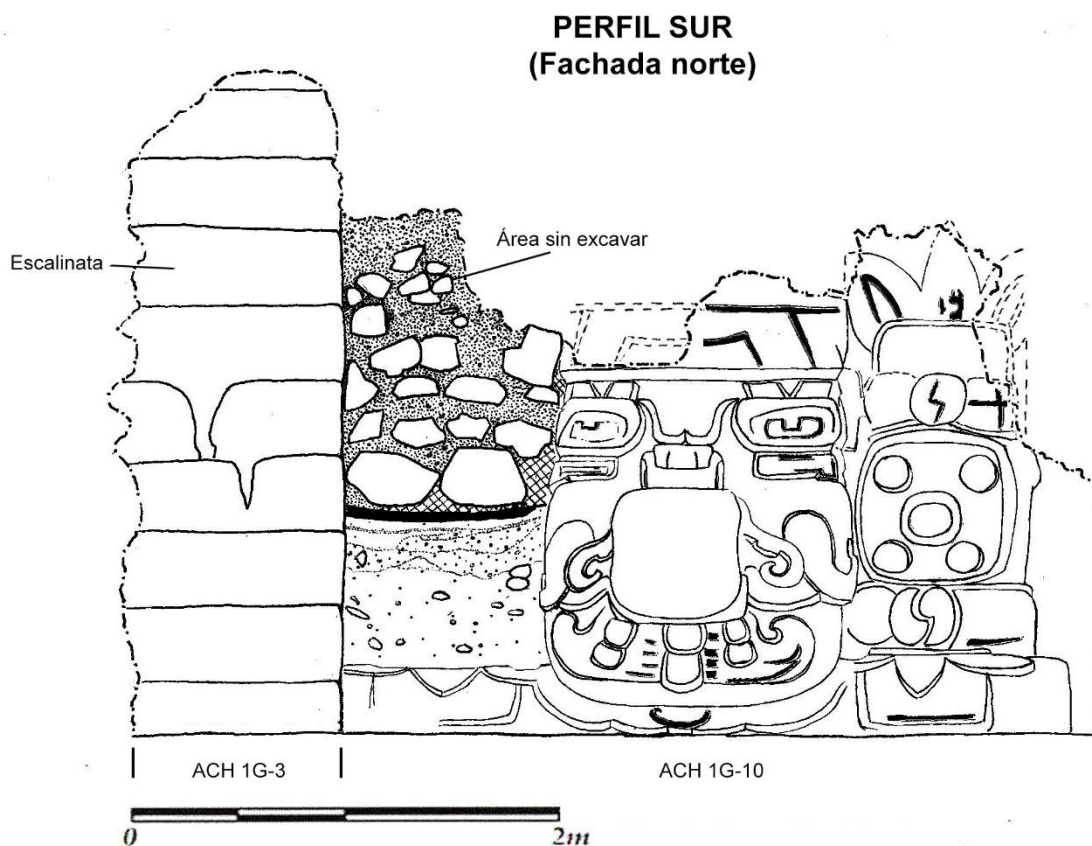


Figura 9.12 Mascarón y perfil de la Unidad ACH 1G-10. (Dibujo por E. Arredondo).



Figura 9.13 Mascarón monumental visto hacia el oeste. La parte alta del pico alcanza el metro de altura (Fotografía por E. Arredondo).



Figura 9.14 Mascarón monumental visto hacia el sureste (Fotomontaje y fotografía por E. Arredondo).

El mascarón es una representación de la *Deidad Ave Principal*, descrita inicialmente por Laurence Bardawill (1976) y revisada posteriormente en varios otros autores (Taube 1987; Freidel y Schele 1988). Asociada a la entronización de gobernantes y eventos de sacrificio, una de sus características comunes es la presencia de un amplio pico curvado y la presencia de ojos rectangulares en forma de “L”. Un tercer elemento es la “U” sobre los ojos y que forma parte de una composición más amplia con dos pequeñas proyecciones cuadrangulares hacia arriba (que forma a su vez un espacio triangular invertido entre ambas) y un elemento lateral bifurcado en forma de una “L” invertida y asociado a la “Pestaña Flameante” del arte Olmeca (Joralemon [1976] y Mora-Marín [2009] citados por Acuña 2013), que en conjunto representarían una forma temprana del glifo *Ajaw* (Figura 9.15). Arriba de los ojos y de los elementos mencionados se extiende una banda o tocado con diseños pintados en negro de difícil identificación por el momento. Hay que mencionar que aquí se notan trazos en negro que podrían representar grafitos similares a los registrados cerca del Mural 1 de la Estructura Bulto (ver Acuña 2013: Figura. 6.1). Al momento, no se ha excavado la totalidad del tocado, por lo que su descripción es limitada.



Figura 9.15 Detalle del motivo en “u” sobre el ojo izquierdo del Mascarón monumental (Fotografía por E. Arredondo):

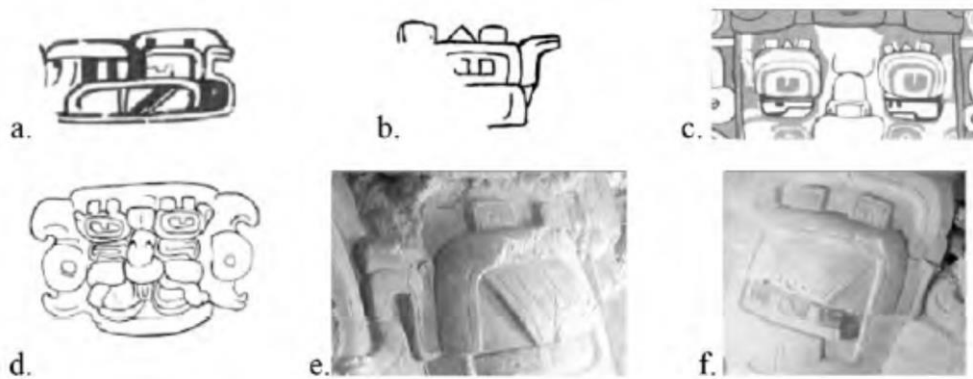


Figura 9.16 Ejemplos del grafema AJAW: a) y d) San Bartolo; b) El Mirador; c) Cerros; e-f) Cival (tomado de Acuña 2013: Figura 6.13).

El gran pico está pintado en negro, con un intercalado de tres bandas (rojo-rosa-rojo) y en sus costados tiene los restos conservados de una nariz representada en la forma común de esta imaginería. Dentro del pico superior, y en cada lado de la representación, se nota la presencia de un diente en forma rectangular. Sobre él y partiendo del pico superior parten una voluta por cada lado. Debajo del pico se encuentra una formación trilobulada formada por un marco sobresaliente con dos volutas proyectadas a los costados que contienen en su espacio central tres parejas de formas globulares superpuestas.

Por su lado, las orejeras, están conformadas por varios elementos. Al centro se elaboró un elemento semicircular con cinco orificios en disposición de quincunce, el cual está entre dos nudos, por arriba y por debajo de él. Hacia abajo el nudo tiene un elemento rectangular no identificable que descansa en la pequeña plataforma del edificio. Igualmente le sigue un trifolio que descansa por sobre una banda que cae adelantándose a la plataforma y terminando antes de alcanzar el piso que sostendría al edificio. Por arriba del nudo superior emerge nuevamente una composición rectangular no identificable, de donde se proyecta nuevamente un elemento trifoliado hacia arriba. Éste elemento remite a las diademas utilizadas por gobernantes como parte de su tocado y que los identifica como tales.

Con este conjunto de características, el mascarón de la Estructura Cacao se asemeja sobremanera al mascarón este superior de la Estructura 5C-2nda de Cerros, Belice (Figura 9.17). Ambos muestran los prominentes picos, los ojos en forma de “L”, el elemento superior a éstos

asociado a las pestañas flameantes o representación del símbolo *AJAW* y el elemento trilobulado debajo del pico. Las orejas comparten los mismos rasgos, a excepción que en el caso de El Achiotal, el mascarón tiene el trifolio sobre la orejera, mientras que el de Cerros lo muestra como una banda real por sobre la frente. De la misma forma, el mascarón de Cacao es muy parecido a los mascarones #2 y #3 reportado para la Estructura 5C-01 en 2013 por Acuña, e identificado como la *Deidad Ave Principal* por la autora. En fin, la composición identifica al lugar como un sitio de entronización y sacrificio.



Figura 9.17 Mascarón este superior de la Estructura 5C-2nda de Cerros, Belice (Tomado de Acuña 2013: fig. 6.2).

En este sentido, el Edificio Cacao es parte de un Complejo Triádico que se complementa con la Estructura Bulto, una cuarta estructura que aparece en el desarrollo de dichos conjuntos y que en otros grupos similares es posterior al diseño original del conjunto. Sin embargo, hay que reconocer que el lugar donde descansa el basamento de Cacao aún no ha sido identificado con claridad. El perfil oeste del Túnel #13 muestra que la pequeña banqueta que se proyecta hacia el este de la estructura descansa en el piso *Wukub*, igual que parece hacerlo Bulto (ver figuras 9.4 y 9.8). Si se sigue el planteamiento de Acuña (2013) sobre la evolución del conjunto, el aspecto final de Bulto es resultado de la construcción de tres estructuras (5C-01-sub 6a, sub 5 y sub 4), todas sobre el piso *Wukub*. El primero de los edificios consistiría en una plataforma baja, la cual habría sido cubierta por un edificio más formal (sub 5 ó *Sip*) con decoración mural y un espacio de jamba hacia el sur, es decir una “estructura filtro” (a discutir más adelante). Éste daría paso a una extensión de sí mismo por medio de la construcción final de Bulto (sub 4 ó *Jonon*).

Por debajo de ellas, habría un tercer piso, *Hob*, el cual sostendría a sub8a (la plataforma o edificio al este del conjunto), y debería estar asociado a la construcción de una posible versión temprana de Cacao; entonces quizás en forma de plataforma similar a la Estructura sub 8a. Si éste fuera el caso, con la elevación de la plataforma original de la primera versión de Bulto, la primera versión de Cacao no se vio afectada en términos del levantamiento arquitectónico (en cuanto a alturas). En la siguiente construcción, la segunda versión de Bulto, el edificio en cuestión tomaría preponderancia en elevación (desconocemos el estado de Cacao al momento) y pudiera bien ser un buen momento para necesitar un aumento en elevación de los demás edificios, o al menos en el caso de Cacao, que para entonces se apoyaría en el mismo piso *Wuqub*. El posterior aumento en dimensiones de Bulto, traería con seguridad la versión conocida y final de Cacao (si aún no estaba presente) la cual al momento descansa sobre aquél piso. En pocas palabras, Cacao pudo haber sido elevado a su altura final en cualquier momento de la existencia de *Wuqub* –es decir en cualquier momento de Bulto en sus tres versiones-, respetando así la norma preclásica de los conjuntos triádicos, en donde la estructura central domina siempre en términos de monumentalidad y de altura.

Volviendo a la Estructura 5C-01-sub 5, ésta tiene en plano la misma conformación de la Estructura H-sub10 del Grupo H Sur de Uaxactun (Laporte y Valdés 1993). Ésta última está adornada con símbolos de Petate o *Pop*, con lo cual se le ha asociado a la entronización o al poder de los gobernantes. Todo esto, flanqueado en su plataforma con mascarones monumentales. Así, la Estructura 5C-01, en sus etapas anteriores a la final, mostraría un comportamiento similar al del Grupo H Sur de Uaxactún. Al triádico existente se le suma una “cuarta” estructura que cierra el espacio por sobre el eje central, pero dejando el acceso a través de ella (de allí la denominación “filtro” mencionada con anterioridad). Más aún, en el Grupo H Sur de Uaxactun se observa la elevación de otros dos edificios a los costados del acceso principal (escalinata central de la plataforma), construidos antes de la llamada “cuarta” estructura. Es probable que suceda lo mismo en Achiotal, pues a los costados de la primera versión de Bulto se observan dos plataformas que se elevan en esta misma posición. Con esto, el Achiotal estaría dentro de los estándares constructivos del Preclásico Tardío en cuanto a Complejos Triádicos se refiere. Más adelante se discutirá cómo ésta información se complementa a la encontrada en las unidades 6 y 7 de la Suboperación ACH 1G, en el conjunto de desarrollos que vería el asentamiento y sus edificios político-religiosos.

Unidad ACH 1G-4

Se ubicó sobre el eje central de la Estructura 5C-01, en el arranque del montículo. Sus dimensiones fueron de 5 x 2 m, con orientación 10° azimut. El objetivo fue encontrar el arranque de la escalinata de la última fase constructiva, así como versiones anteriores.

Lote 1 (ACH 1G-4-1) (0-0.85 m): Escombros de Saqueo #2 sobre superficie. Tierra café oscura (10YR 3/3) poco compacta y de grano grueso, con abundantes piedras. En el estrato aparecen al menos dos capas de tierra café muy pálido (10YR 7/3), de grano mediano a grande y de consistencia muy suelta. Se recolectaron 31 fragmentos de cerámica.

Lote 2 (ACH 1G-4-2) (0.85-1 m): Humus de tierra café oscura (10YR 3/3), de grano mediano y de consistencia suelta. Se recolectaron 79 fragmentos de cerámica y 2 fragmentos de obsidiana.

Lote 3 (ACH 1G-4-3) (1-1.52 m): Derrumbe de la estructura. Tierra café oscura (10YR 3/3), de grano fino a medio, no compacta y con un 70% de caliza. Presencia de piedras medianas en todo el perfil, con un aumento notable hacia el sur. Al removerlo se dejó al descubierto el primer escaño de la escalinata, hasta su base. Aquí se notó un aumento de piedras pequeñas, posiblemente como parte de un piso ya desaparecido. Por su lado, la escalinata tuvo una proyección hacia la mitad oeste del pozo: dos escalones bien alineados dan paso a otro bloque tallado que sale unos 0.2 m de la línea marcada por los primeros (Figuras 9.19 y 9.21). Hacia el sector oeste apareció un piso estucado conservado a una profundidad de 1.49 m. Se recolectaron 241 fragmentos de cerámica y 7 obsidias (navajas prismáticas pequeñas).

Lote 4 (ACH 1G-4-4) (1.52-1.63 m): Piso de Plaza (Piso #1) (Figuras 9.21 y 9.23) y su relleno de piedras pequeñas. Tierra café pálido (10YR 3/6), de grano fino a medio, no compacta. La excavación se redujo al extremo norte frente a la escalinata, en un área de 2 x 0.8 m. Se recolectaron 54 fragmentos de cerámica y 1 de lítica.

Lote 5 (ACH 1G-4-5) (1.63-1.92 m): Relleno de Plaza de tierra café amarillenta oscura (10YR 4/6), de apariencia más bien rojiza como lo notara Acuña en 2013 (Acuña 2012). La tierra es fina y no es compacta. El estrato contuvo algunas piedras pequeñas y terminó al encontrar otro piso estucado a 1.96 m (Piso #2). Se recolectaron 22 fragmentos de cerámica.

Lote 6 (ACH 1G-4-6) (0.74-1.3 m): Relleno de escalinata. La excavación se redujo al lado oeste en un área de 4 x 1 m. El metro restante en el extremo sur, sería separado como Lote 7. El estrato fue de tierra café amarillenta oscura (10YR 4/4), muy suelta, con un grosor de entre 0.4 a 0.6 m. Se recolectaron 28 fragmentos de cerámica.



Figura 9.18 Proceso de excavación de la escalinata principal (a y b) (Fotografías por E. Arredondo)



Figura 9.19 Primer escalón de la escalinata principal, proceso de excavación: a) al nivel del Piso #1; b) al remover el Piso #1 (Fotografías por E. Arredondo).



Figura 9.20 Excavación del interior de la escalinata sección oeste a) vista general; b) Piso #2 por debajo de la última escalinata (Fotografías por E. Arredondo).

Lote 7 (ACH 1G-4-7) (+0.25-0.2 m): Relleno de escalinata. Tierra café muy pálida (10 YR 7/4) un poco más compacta y de grano fino. Se recolectaron 20 fragmentos de cerámica. El área excavada parte de la presencia de una gran piedra labrada de unos 0.8 m de alto y hasta 0.8 m de ancho. Ésta apareció erguida y hacia donde debería encontrarse la escalinata de la versión anterior del edificio. Sin embargo, no se encontró dicha escalinata y la presencia de esta piedra la asemeja más a una terraza que a una escalinata.

Lote 8 (ACH 1G-4-8) (1.3-1.5 m): Relleno constructivo de la escalinata, detrás del primer escalón, en un área de 1 x 1 m. Inicia a la altura del escalón y concluye en la base de éste. Tierra café amarillenta oscura (10YR 4/4) muy suelta, con presencia de abundantes piedras pequeñas a medianas. Se recolectaron 2 fragmentos de cerámica.

Lote 9 (ACH 1G-4-9): (1.50 – 1.94 m). Relleno constructivo por debajo del nivel del piso de plaza (Piso #1), por debajo de la escalinata. Relleno de tierra dispuesta en tres capas: la primera y más alta, de color café amarillento suave (10YR 6/4) (aunque con aspecto rojizo a simple vista), de grano fino a medio, sin piedras de unos 20 cm de grosor; una segunda, más clara de color café muy pálido (10YR 7/4) de unos 18 cm de grosor, fina muy compacta; y una tercera muy delgada y compacta de color café muy pálido (10YR 8/3) colocada directamente sobre el piso de laza visto

por fuera del área de escalinata, Piso #2, a 1.94 m de profundidad (figuras 9.20, 9.22 y 9.23). Se recolectaron 31 fragmentos de cerámica.

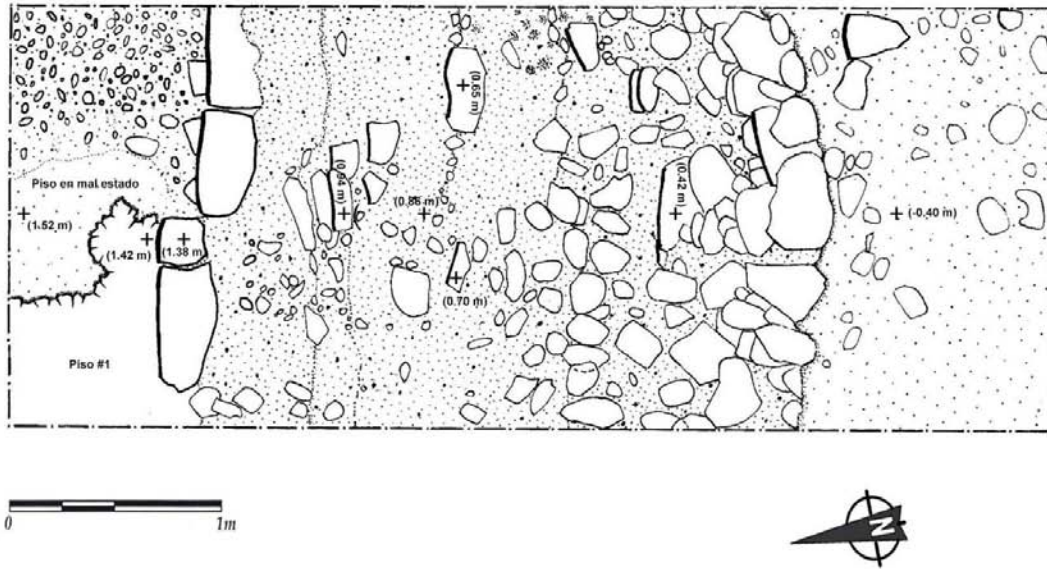


Figura 9.21 Planta de la Unidad ACH 1G-4 (Dibujo por E. Arredondo).

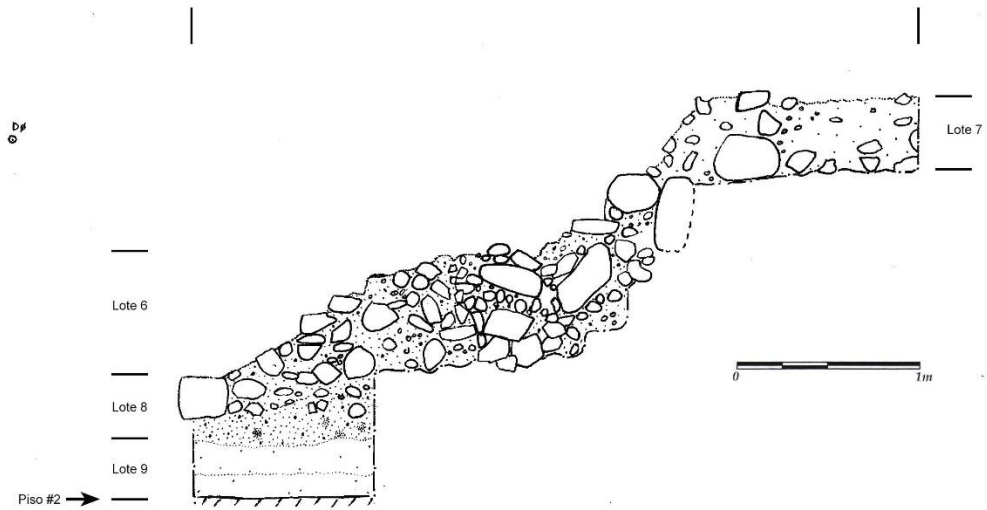


Figura 9.22 Perfil este de la sección media de la Unidad ACH 1G-4 (dibujo de E. Arredondo).

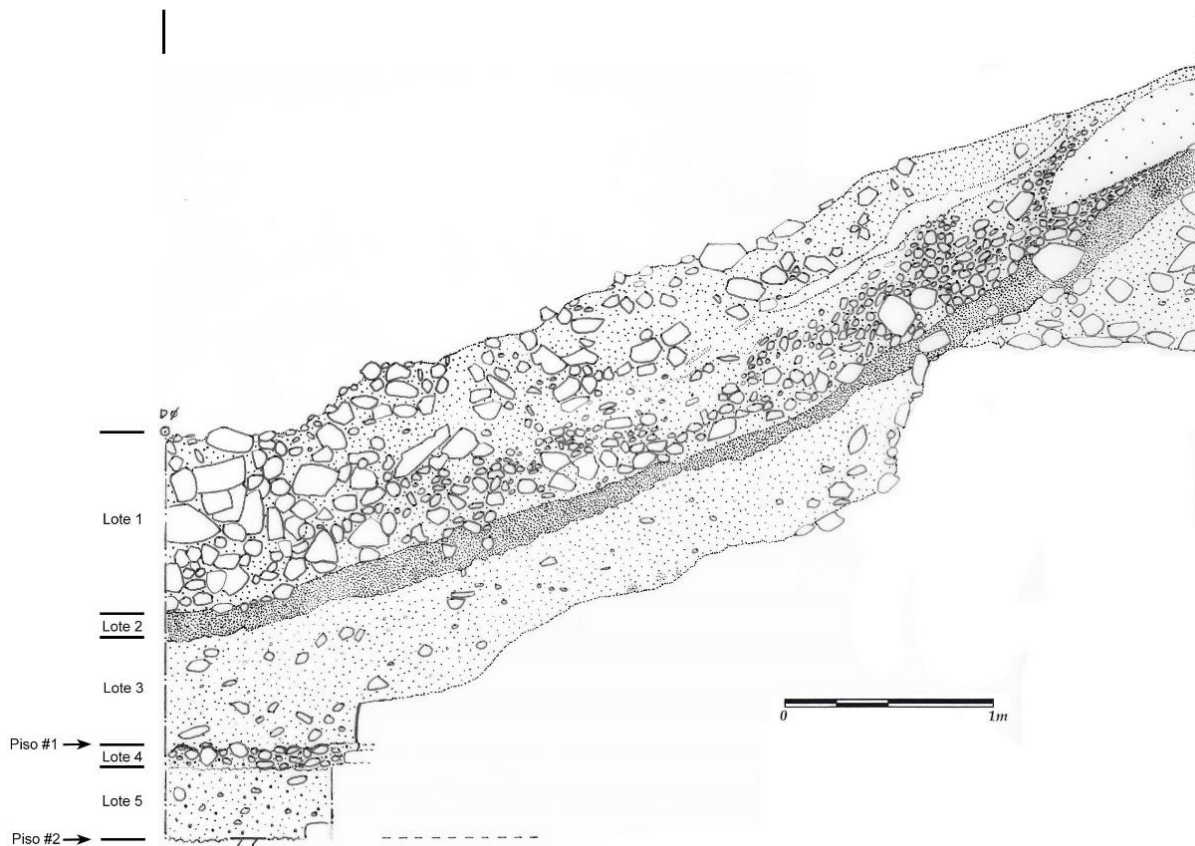


Figura 9.23 Perfil este de la Unidad ACH 1G-4 (dibujo de E. Arredondo).

La excavación de la Unidad ACH 1G-4 dio como resultado el hallazgo del arranque de la escalinata de la Estructura 5C-01, con los restos de un piso de estuco correspondiente al piso de plaza contemporáneo (Piso #1). El piso no pasó por debajo de la escalinata, por lo que ambos rasgos se corresponden como parte de un momento constructivo. A 0.4 m por debajo de éste se encontró un segundo piso estucado (Piso #2) cubierto por un material de aspecto rojizo. Esto relacionó a ambos pisos con los resultados previos de la Temporada 2012. Entonces, se realizaron varias unidades en el sector con la misma intención de revelar el arranque de la escalinata y la presencia de pisos de plaza. Como resultado aparecieron dos pisos estucados denominados *Wuqlaju* y *Waqlaju*, separados por un relleno de aspecto rojizo (Acuña 2013). Así éstos corresponderían con nuestros pisos #1 y #2 respectivamente. Por debajo del último, Acuña encontró roca madre a unos 0.3 m. En nuestro caso, por motivos de tiempo no se pudo atravesar el Piso #2, pero la secuencia parece bastante clara y es muy probable que nuestra relación sea correcta.

Hasta acá, la evidencia ha revelado dos fases constructivas asociadas a la Estructura 5C-01. En 2013 Acuña señaló que era extraño que los escalones encontrados por sus excavaciones fueran tan bajos –otras escalinatas en la estructura se muestran más robustos. Durante la presente excavación se tuvo una impresión similar, aunque ahora es más clara la presencia de una escalinata clara, al menos en su primera fila. Al realizar la excavación más profunda, cortando la escalinata, se esperaba encontrar una escalinata anterior, asociada a la fase constructiva que habría cubierto la fase correspondiente a Bulto y Cacao. Sin embargo no fue así. No obstante, se encontró una especie de terraza que se ubicaba en donde se hubiera esperado encontrar dicha escalinata. Lo excavado no mostró la presencia de ninguna escalinata en ese punto, lo cual ha llevado a cuestionar la identificación de la escalinata encontrada inicialmente. Si bien se puede esperar estar en lo correcto al asociar al Piso #2 con la estructura que sostiene a Bulto y Cacao, el siguiente piso encuentra problemas. Por sobre los edificios en cuestión se levantaron aparentemente dos grandes fases de construcción, una que cubriría los edificios previos más la edición final del edificio. En el medio de ellas, habría otros movimientos constructivos asociados a la segunda gran fase. Si ese es el caso, ¿Se utilizó solo una escalinata para todos esos movimientos de construcción? Una observación debe ser acotada en este momento, ya que en 2013 Acuña señaló la posibilidad de una última fase incompleta. Nuestra pregunta es en la misma dirección en este momento. Si bien la escalinata no se preservó completamente, este tipo de casos es frecuente en las últimas etapas de construcción, además de poder suponer una extracción de piedra labrada por la población local. Se volverá a este punto más adelante.

Unidad ACH 1G-5

Se ubicó dentro de la trinchera del Saqueo #2, frente al inicio del túnel; donde inicia la escalinata de la plataforma de la Estructura 5C-01-sub8. Sus dimensiones fueron 0.8 x 2 m, con orientación 0° azimut. El objetivo fue descubrir la escalinata expuesta parcialmente por el saqueo. Lote 1 (ACH 1G-5) (0-1.4 m): Relleno constructivo de tierra café amarillento suave (10YR 6/4) de grano fino a medio y compacta. Apareció en la mayoría del perfil, aunque existe una capa de tierra café (10YR 4/3) hacia el norte del mismo. Las escalinatas tuvieron una capa de piedras pequeñas a medianas sobre ellas. Hacia el fondo del pozo se notó la colocación de una capa ordenada de piedras pequeñas a medianas con un estrato compacto de tierra amarilla (10YR 7/6),

compacta y fina. Este sistema de apilamiento de capas se notó en todo el perfil del Saqueo #2 y fue utilizado para cubrir la Estructura 5C-01-sub8. La escalinata fue destruida por los saqueadores y sólo se conservó el primer escalón, el más alto (Figuras 9.24 y 9.25). La huella de los escalones fue de 0.45 m por 0.35 m de contrahuella.



Figura 9.24 Perfil este de la Unidad ACH 1G-5 (Dibujo por E. Arredondo).



Figura 9.25 Vista hacia el sur de la Unidad ACH 1G-5 (Fotografía por E. Arredondo).

Al iniciar la Unidad ACH 1G-5 se supuso que nos encontrábamos sobre el nivel excavado por los saqueadores, sin embargo, la destrucción de la escalinata demostró que estábamos equivocados. La escalinata fue expuesta y rota, y luego cubierta por el mismo material de escombros. Quizás al notar la superficie plana por sobre ella, prefirieron seguirla, provocando el túnel inferior del Saqueo #2 (Figura 9.25). La exploración mostró que en este punto la plataforma que sostiene la escalinata que da acceso al Edificio Bulto, baja aquí nuevamente. Al momento se cree que continúa hasta alcanzar el piso *Waqlaju* o Piso #2 de la Unidad ACH 1G-4 (figuras 9.20, 9.22 y 9.23).

Unidad ACH 1G- 6

Se localizó en la orilla norte, por sobre la plataforma de la Estructura 5C-01; a 0.2 m al este del borde del Saqueo #2. Midió 2 x 2 m y fue orientada a 10° azimut. Su objetivo fue exponer una subestructura observada en el perfil del Saqueo #2.

Lote 1 (ACH 1G-6-1) (+.01-0 m): Humus de tierra café oscuro (10YR 3/3), grano medio, poco compacto. Hubo mucha alteración del contexto por fuerte presencia de raíces y árboles próximos. Se recolectaron 67 fragmentos de cerámica. En el humus fue localizada una ofrenda, compuesta de dos vasijas colocadas una sobre otra (Ofrenda #10, vasijas ACH-V023 y ACH-V024). Las dos se encontraron muy fragmentadas (Figura 9.26: a y b) y pertenecen al Tipo Águila Naranja, Variedad Dos Hermanos. Ambas tuvieron un diámetro de unos 0.24 m y contuvieron una cuenta de jade, como en el caso de la Ofrenda #14 (Figura 9.27: a y b).

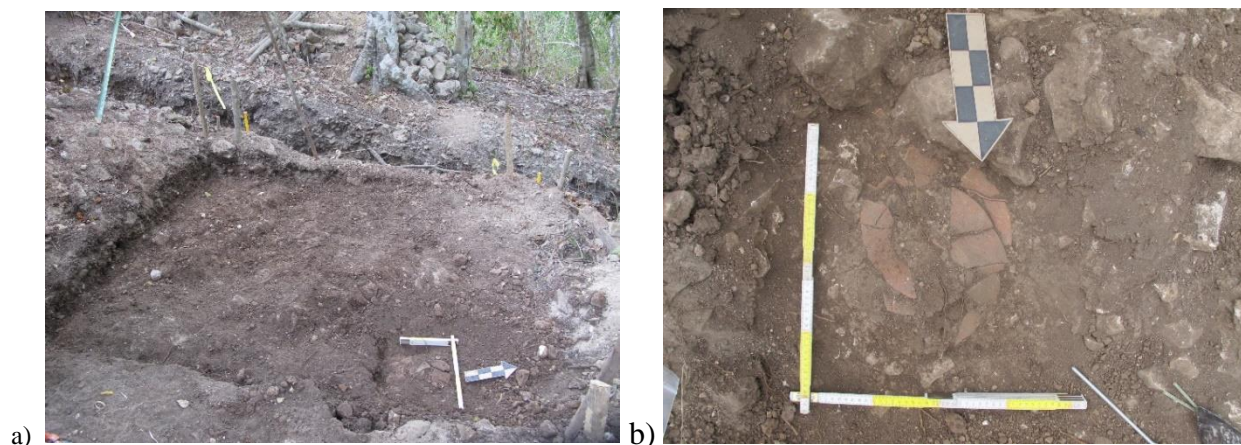


Figura 9.26 Ofrenda #10: a) localización de la Ofrenda #10 en la Unidad ACH 1G-6; b) detalle de la Ofrenda #10 (Fotografías por E. Arredondo).

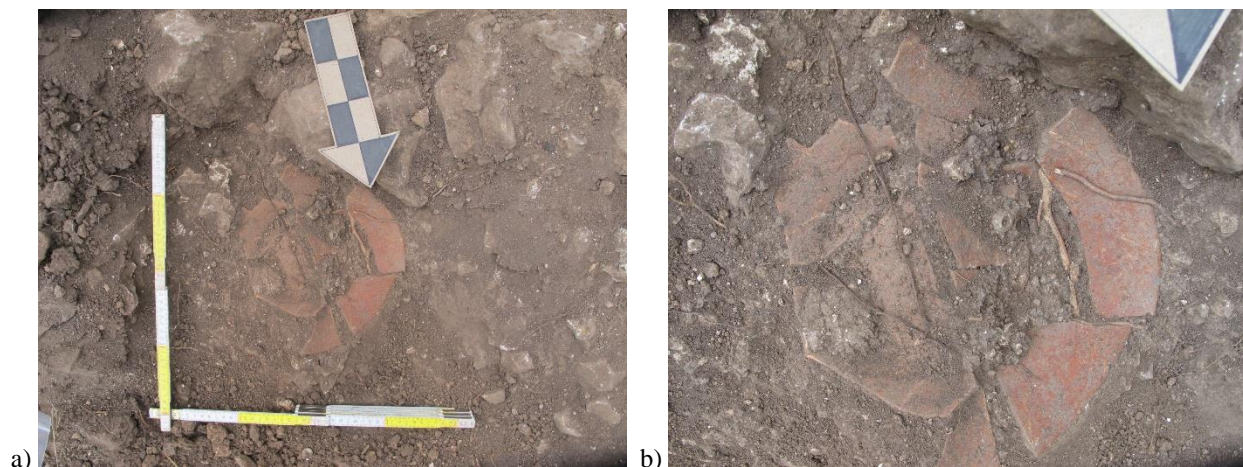


Figura 9.27 Cuenta de jade dentro de la Ofrenda #10: a) vista general del contexto; b) detalle (Fotografías por E. Arredondo).

Hacia el centro sur se encontró junto a otros pequeños, un gran fragmento de cerámica correspondiente a un plato Águila Naranja Dos hermanos, de al menos 26 cm de diámetro (Ofrenda #13, vasija ACH-VO40) (Figura 9.28).

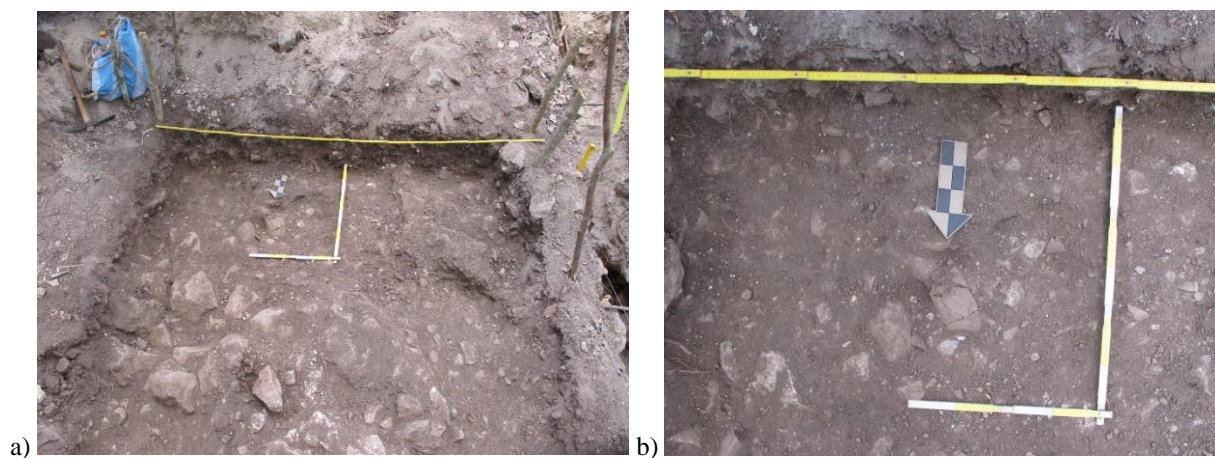


Figura 9.28 Ofrenda #13: a) localización de la Ofrenda #13 en la Unidad ACH 1G-6; b) detalle de la Ofrenda #13 (Fotografías por E. Arredondo).

Lote 2 (ACH 1G-6-2) (0-0.45 m): Derrumbe del edificio de tierra café (10YR 4/3), de grano grande y no compacto. La capa termina sobre los restos de un piso estucado bastante conservado hacia el sur del pozo. El piso (Piso #1) correspondería a la última fase constructiva de 5C-01. La capa desapareció hacia el norte, donde hay muchas raíces y árboles cercanos. La superficie fue irregular en cuanto a su profundidad debido a lo anterior. Se recolectaron 86 fragmentos de cerámica.

Se definió la Ofrenda #11 como una agrupación de fragmentos de cerámica encontrados al centro sur del pozo (Figura 9.29). De 34 fragmentos cerámicos, se logró formar una vasija Sierra Rojo (ACH-VO43).

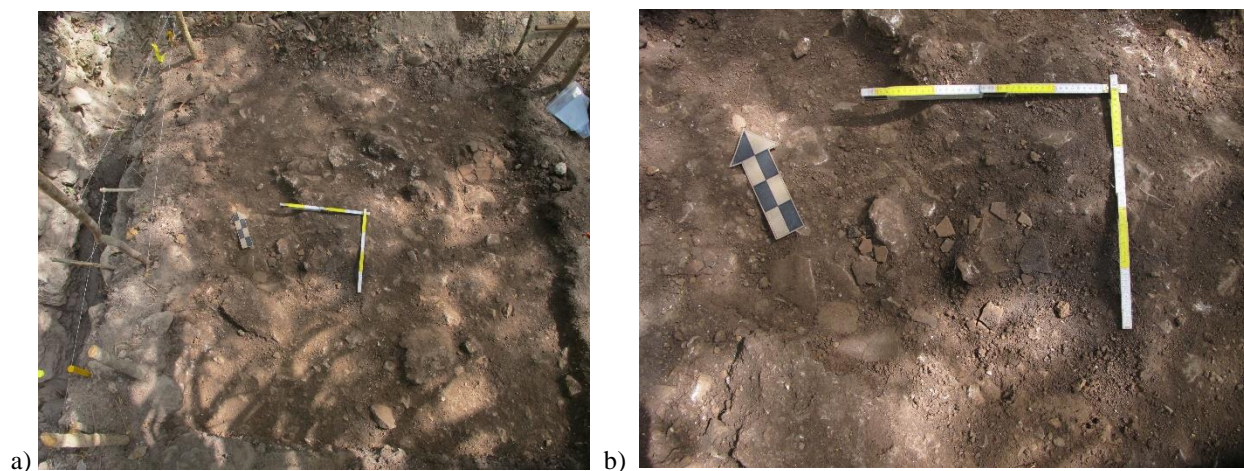


Figura 9.29 Ofrenda #11: a) localización de la Ofrenda #10 en la Unidad 1G-6; b) detalle de la Ofrenda #11 (Fotografías por E. Arredondo).

Hacia la esquina sureste del pozo se encontró una pareja de vasijas colocadas labio a labio, denominada Ofrenda #14 (Figura 9.30). Ambas fueron del Tipo Sierra Rojo (vasijas ACH-V024 y ACH-V025), con un diámetro de 0.23 m para el plato superior y unos 0.19 m para la vasija inferior. El rasgo apareció a 0.35 m de profundidad y alcanzó los 0.58 m, en donde se encontró el piso estucado de la última ocupación del edificio. Se realizó la limpieza del espacio interior de la vasija inferior, encontrándose una cuenta de jade en el interior. Otra cuenta de jade fue encontrada durante la limpieza inicial del Saqueo #2 (ver descripción del Lote ACH 1G-1-2-1). Puede ser que esto corresponda a un patrón de ofrendas ya que las cuentas son muy similares en dimensiones. Se recolectaron 30 fragmentos del plato superior, que fue roto por una piedra aun *in situ*; 10 fragmentos de la vasija inferior; más 17 fragmentos varios.

A 0.5 m desde el datum y alcanzando los 0.6 m de profundidad, se encontró un plato boca abajo, hacia el centro norte del pozo, denominado Ofrenda #15 (Figura 9.31). La vasija es del Tipo Águila Naranja y tuvo unos 22 cm de diámetro (vasija ACH-V032). Nuevamente, se encontró dentro del derrumbe del edificio y sobre el piso estucado.

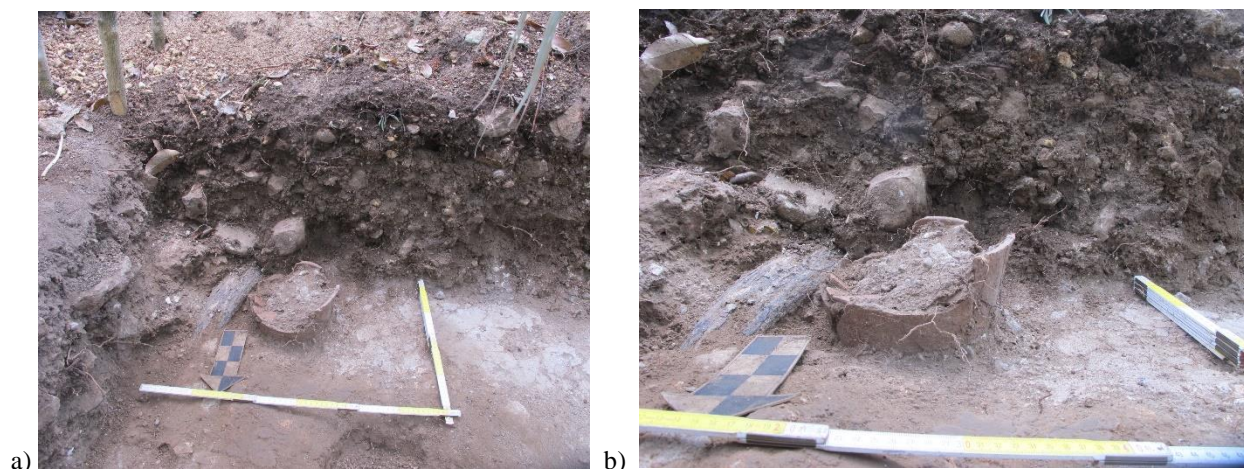


Figura 9.30 Ofrenda #14: a) localización de la Ofrenda #14 en la Unidad 1G-6; b) detalle de la Ofrenda #14 y su relación al Piso #1 de la unidad (Fotografías por E. Arredondo).

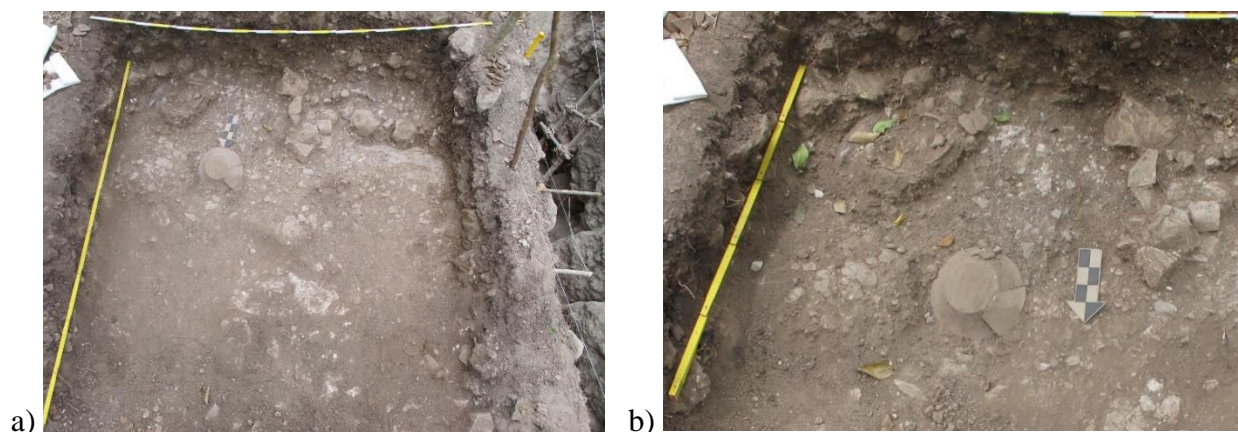


Figura 9.31 Ofrenda #15: a) localización de la Ofrenda #15 en la Unidad ACH 1G-6; b) detalle de la Ofrenda #15, hacia la esquina se ve la Ofrenda #14 (Fotografías por E. Arredondo).

Lote 3 (ACH 1G-6-3) (0.45-0.63 m en el sector norte y 1.19 m en la parte sur, detrás del muro de la subestructura). Relleno de tierra café (10YR 5/3) de grano fino semi-compacto. Esta capa cubre los restos cortados de una subestructura y sirve de apoyo para el piso que la clausuró. La capa parece desaparecer hacia el perfil este del pozo. Se recolectaron 33 fragmentos de cerámica. En la parte posterior de la subestructura, sobre su eje central, se encontró la Ofrenda #16, compuesta de dos platos Dos Arroyos Caldero Bayo Polícromo (vasijas ACH-VO28 y ACH V029), labio a labio (Figura 9.32). Tuvieron un diámetro *in situ* de 0.40 m. La ofrenda estuvo dentro de un espacio preparado con piedras labradas que formaron un pequeño nicho circular. Se colocó en un estrato de material calizo, que a esta profundidad era muy pálido y compacto. La profundidad del rasgo tuvo la misma profundidad que la cima de la base de la subestructura.



Figura 9.32 Ofrenda #16 detrás de la estructura con banca: a) Vasija #28; b) Vasija #29 (Fotografías por E. Arredondo).

Lote 4 (ACH 1G-6-4) (0.63-1.2 m): Relleno de tierra café amarillento claro (10YR 6/4), fina y compacta. Se encontraron dos grandes piedras trabajadas hacia el centro oeste de la excavación, por lo que la misma se redujo a este sector (Figura 9.33). Poco a poco fue surgiendo un rasgo arquitectónico que se proyectaba desde un muro que corre este-oeste y que corresponde al muro posterior de la subestructura. El rasgo mencionado parece ser una banca dentro de un cuarto de la subestructura. Se recolectaron 53 fragmentos de cerámica.



Figura 9.33 Vista de las piedras labradas en el sector oeste de la Unidad ACH 1G-6 (Fotografía por E. Arredondo).

Lote 5 (ACH 1G-6-5) (0.63-1.23 m): Relleno de tierra café amarillento claro (10 YR 6/4), fino y compacto. El área excavada fue hacia el sector este del pozo, y frente al muro de la subestructura, teniendo un área de 0.6 x 1 m (Figura 9.34). El estrato contuvo piedras ordenadas sobre un piso estucado (Piso #2) a 1.17 m de profundidad. Se recolectaron 11 fragmentos de cerámica.



Figura 9.34 Vista en plano de banca y área al este trabajada en el Lote 5 de ACH 1G-6 (Fotografía por E. Arredondo).

Lote 6 (ACH 1G-6-6) (1.23-1.37 m): Relleno de pedrín y tierra café amarillento claro (10 YR 6/4), fina y compacta. Se localizó dentro de la banca central y el cambio de lote se dio luego de encontrar a 1.2 m los labios de una vasija y junto a ella, otra más a 1.23 m (Ofrenda #17). Se recolectaron 21 fragmentos de cerámica. La ofrenda consistió en dos pequeños cuencos de acabado burdo de unos 0.15 m de diámetro (vasijas ACH-V030 y ACH-V031). Las vasijas estuvieron colocadas sobre el eje central norte-sur de la estructura, dentro de la banca central del cuarto (Figura 9.35). Alrededor, la matriz contuvo mucho pedrín proveniente probablemente de una capa de estuco a 1.23 m de profundidad (Figura 9.36). Este piso (Piso #3) fue roto y los cuencos se colocaron por sobre el relleno de pedrín del mismo. Puede que la capa de estuco corresponda a la superficie de una subestructura (observable en el perfil del Saqueo #2), debajo de ésta.



Figura 9.35 Ofrenda #17: a) localización de la ofrenda en la Unidad ACH 1G-6; b) localización de la ofrenda en relación a las unidades ACH 1G-6 y ACH 1G-7 (Fotografías por E. Arredondo).

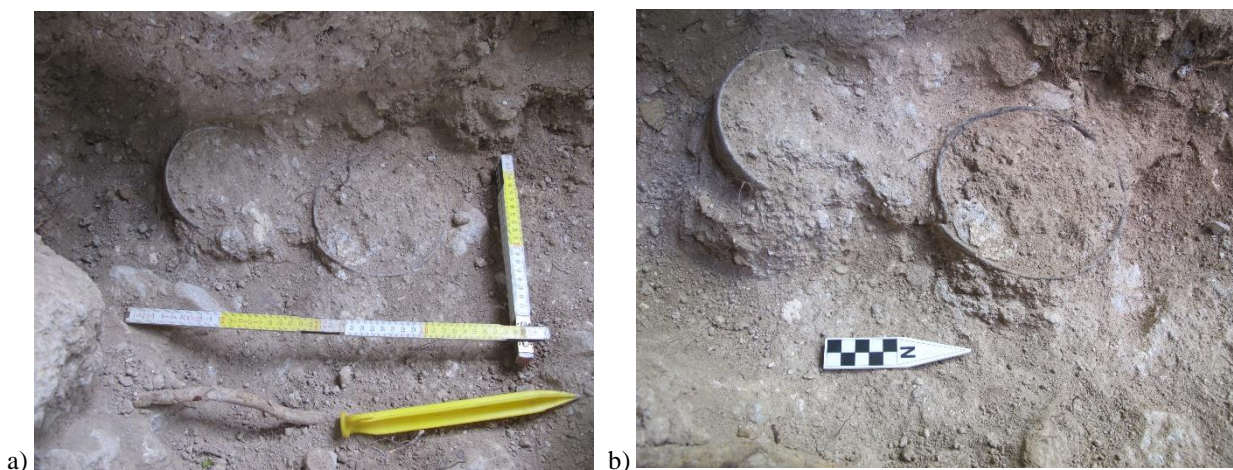


Figura 9.36 Ofrenda #17: a) y b) detalle de la exposición de la ofrenda (Fotografías por E. Arredondo).

Unidad ACH 1G- 7

Se localizó junto al perfil este de la Unidad ACH 1G-6, en el lado este y sobre la plataforma de la Estructura 5C-01. Midió 1.3 x 2 m, con orientación 10° azimuth. Su objetivo fue ampliar la Unidad ACH 1G-6 para cubrir mejor los rasgos observados en ella (Figura 9.37).

Lote 1 (ACH 1G-7-1) (0-0.1 m): Humus de tierra café oscuro (10YR 3/3) de grano medio y poco compacto. Mucha alteración del contexto por fuerte presencia de raíces y árboles próximos. Se recolectaron 8 fragmentos de cerámica.

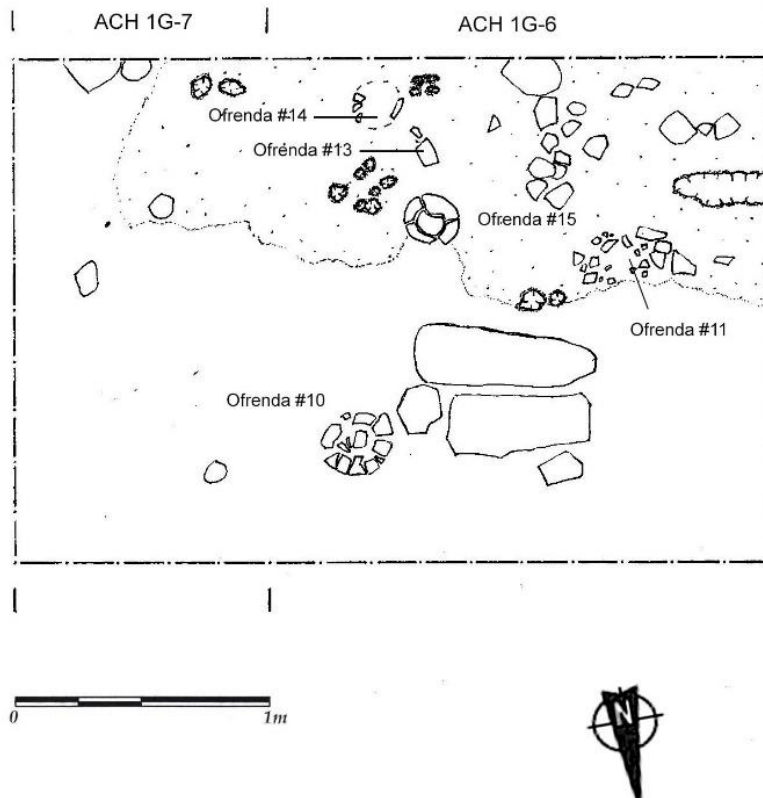


Figura 9.37 Planta de las Unidades ACH 1G-6 y ACH 1G-7 en el nivel sobre el piso estucado debajo del escombros y el humus, con la localización de las ofrendas (Dibujo por E. Arredondo).

Lote 2 (ACH 1G-7-2) (0.1-0.5 m): Derrumbe del edificio con tierra café (10YR 4/3), de grano grande y no compacto. La capa terminó sobre los restos de una capa de estuco (Piso #1) notada en la Unidad ACH 1G-6. Se recolectaron 63 fragmentos de cerámica.

Lote 3 (ACH 1G-7-3) (0.5-1.05 m): Relleno debajo de capa de estuco (Piso #1) de tierra café amarillenta oscura (10YR 4/4), de grano medio y suelta. Contuvo piedras abundantes sobre todo hacia el lado norte y terminó sobre una capa de material calizo muy claro, que aparece desde el sur del pozo, por detrás de la subestructura. La excavación del lote descubrió la presencia de un espacio de jamba hacia el sur y una banca que aparece adosada a la continuación este del muro posterior de la subestructura. La banca tiene una altura aproximada de 0.26 m y se extiende por al menos 0.8 m hacia el norte (Figura 9.38). El muro posterior conservado fue de 0.45 m y estuvo cortado como el muro de la Unidad ACH 1G-6 (figuras 9.39, 9.40 y 9.41). El ancho fue de 0.58 m y estuvo cubierto con estuco. Se recolectaron 101 tiestos de cerámica, 1 figurilla, 2 fragmentos de obsidiana, 3 pedernales y 10 fragmentos de estuco.

Lote 4 (ACH 1G-7-4) (1.05-1.17 m dentro del cuarto y 1.25 m por fuera del mismo): Relleno de material altamente calizo color café muy pálido (10YR 8/3). Su aspecto blanquecino fue muy claro hacia el sur del pozo y por detrás de la subestructura. Al acercarse al norte, la coloración no fue tan clara, probablemente por la filtración de materiales de niveles superiores debido a la alta perturbación por raíces y por acercarse al final de la plataforma del edificio, donde comienza su derrumbe. Finalizó sobre el piso interior de la subestructura (Piso #2), el cual tiene restos de pintura roja en su superficie. Se recolectaron 18 fragmentos de cerámica.

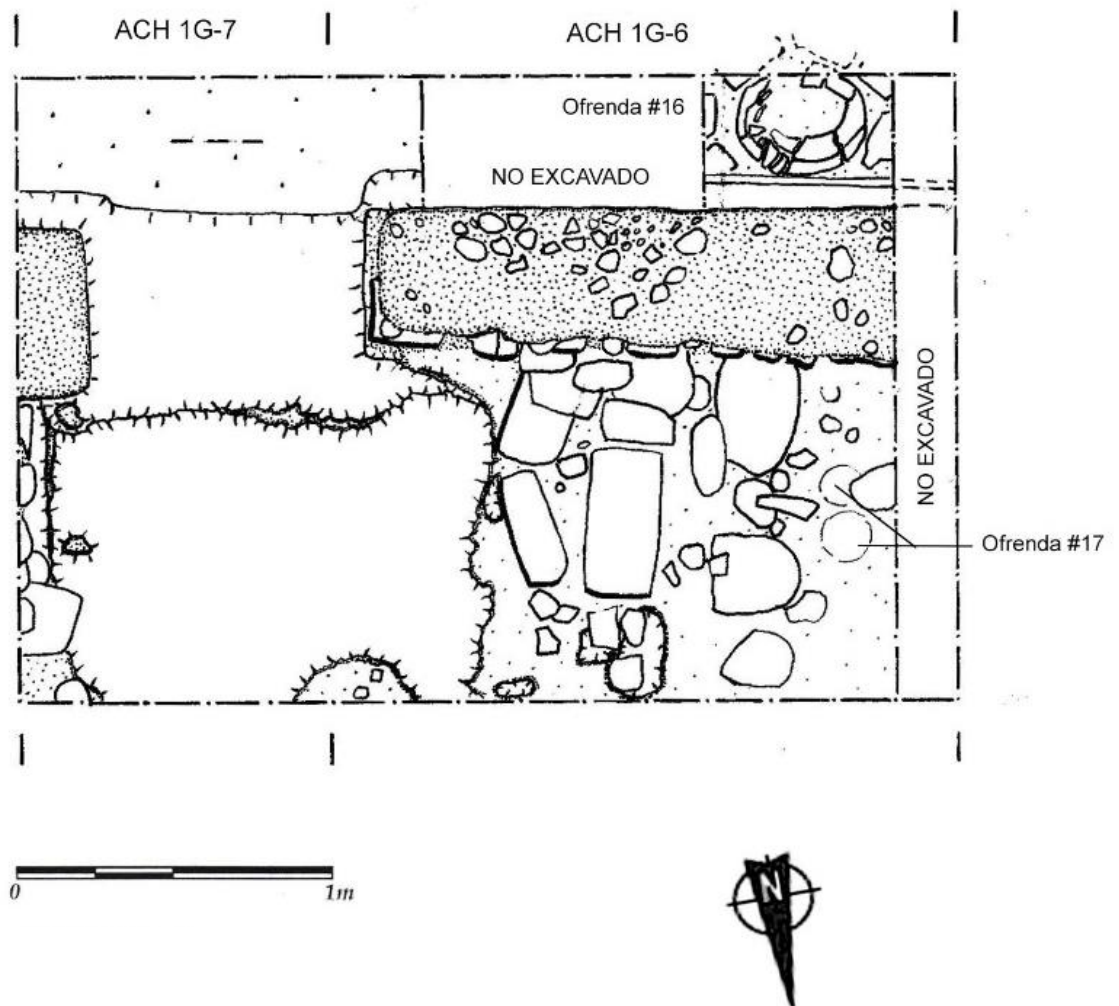


Figura 9.38 Planta de las Unidades ACH 1G-6 y ACH 1G-7 mostrando la ubicación de la banca y las ofrendas en su interior (Dibujo por E. Arredondo).

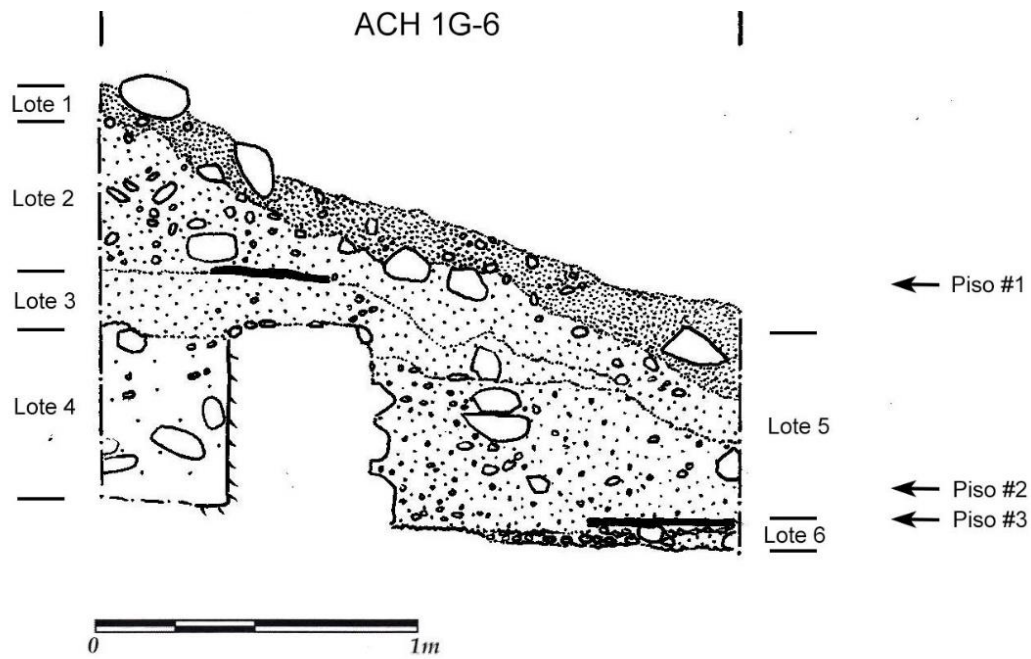


Figura 9.39 Perfil oeste de la Unidad ACH 1G-6 (Dibujo por E. Arredondo).

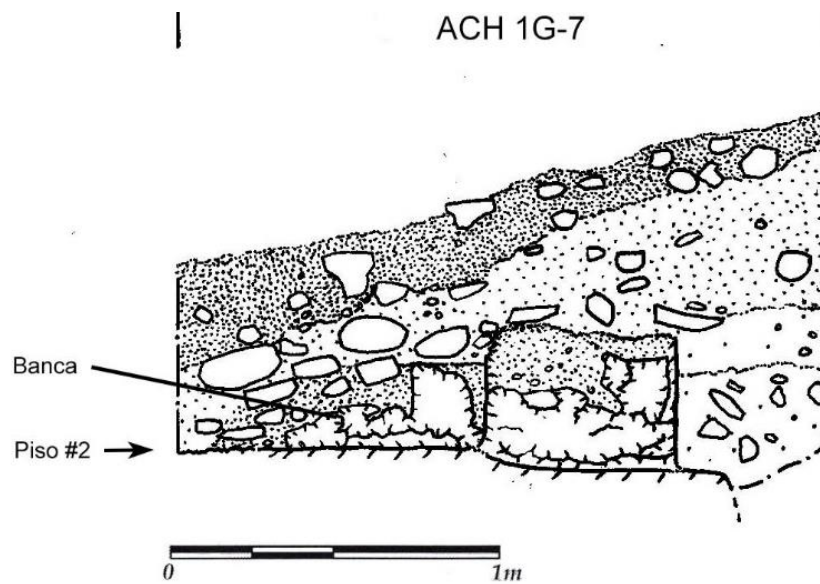


Figura 9.40 Perfil este de la Unidad ACH 1G-7 (dibujo E. Arredondo).



a)



b)

Figura 9.41 Vista general de las Unidades ACH 1G-6 y ACH 1G-7:
a) vista en planta; b) vista hacia el oeste (Fotografías por E. Arredondo).

Las Unidades ACH 1G-6 y ACH 1G-7 expusieron un contexto muy interesante en cuanto a secuencia constructiva y a un contexto de deposición ritual de ofrendas. La excavación fue motivada por la presencia de dos estructuras superpuestas en el perfil este del Saqueo #2, ambas construidas sobre un piso estucado reconocido por Acuña (2013) como *Oxlaju* (*Ibíd.*: Figura 5.18). Sobre este piso se construyeron dos estructuras. La primera, aparentemente una plataforma de unos 1.25 m de alto, por unos 1.5 m de ancho, mostró un faldón que inició desde el piso *Oxlaju*. La estructura tiene un relleno con poca argamasa o tierra y por momentos se sospechó de su identificación como una simple plataforma. En futuras temporadas se espera poder excavar su interior. Por el momento, se sabe que es una plataforma que sería posteriormente cubierta por otra estructura de dimensiones un tanto mayores. La nueva estructura presentaría a su vez un talud y faldón como la anterior (Figura 9.42) y consiste en un edificio con un cuarto o crujía con al menos un espacio de jamba hacia el sureste y dos banquetas. El muro posterior tiene 0.5 m de ancho, con una jamba hacia la mitad posterior al este del eje central, de 0.9 m. Ambos muros se ubican a unos 0.12 m del borde sur de la plataforma. Por el momento es difícil saber el ancho del cuarto y su disposición frontal o si existió otro espacio de jamba posterior hacia el lado oeste. Su altura aproximada alcanza los 1.5 m.



Figura 9.42 Unidades ACH 1G-6 y ACH 1G-7 vistas hacia el este. Nótese la exposición de las subestructuras en perfil este del Saqueo #2 (Fotografía por E. Arredondo).

La excavación también reveló la presencia de dos bancas. La primera fue encontrada en la Unidad ACH 1G-6. Aunque inicialmente no fue clara, la disposición de sillares bien labrados hizo suponer esto. Otro dato que apoyaría la construcción de una banca es la ausencia del piso estucado del interior de la subestructura. Por el contrario, éste se observó alrededor de ella pero no en su interior. Dentro se encontró un piso estucado pero que corresponde a la superficie de la subestructura debajo de ella y en el cual se colocaron las vasijas de la Ofrenda #17. Las dimensiones aproximadas del rasgo son: 0.54 m de alto sin contar la presencia, al momento inexistente, de estuco en su superficie; 0.7 m de ancho, difícilmente medidos debido a la destrucción por raíces; y especulamos un largo de 2 m aproximadamente, si se toma a la ofrenda en su interior como marcador de su eje central. La segunda banqueta se encontró en el perfil este de la Unidad ACH 1G-7 (Figura 9.43). Su extensión hacia el norte es difícil de medir con seguridad debido al colapso de la estructura en este punto. La evidencia del piso termina a 0.7 m desde el muro, como en el caso de la banqueta central. Por esta razón es imposible decir al momento si se trata de otra banca que se adosa completamente al muro posterior o si se trata de una banca lateral que a su vez se adosaría al muro este de la estructura. Su altura conservada de solo 0.26 m hace pensar en la posibilidad que sea efectivamente la última opción, correspondiendo bien con el comportamiento de banquetas laterales observadas en otros sitios, por lo que se referirá a ella preliminarmente como Banca Lateral Este, en el entendido que sea esa su naturaleza o no, se encuentra en el lado este de la estructura.



Figura 9.43 Banca lateral y muro posterior este de la subestructura con banca
(Fotografía por E. Arredondo).

Esta estructura fue cortada al finalizar su uso, de la misma forma en que se observó en la Estructura Bulto (Figura 9.44). El corte preservó la parte superior de la banca central. El rededor de la plataforma y su interior fueron cubiertos de un material calizo muy bien compactado (ver Lote 7 de la Unidad ACH 1G-7), así como de un relleno ordenado de piedras y tierra alrededor de la banca central. Durante éste relleno fue colocada en un pequeño e informal nicho de piedras labradas, la Ofrenda #16, aproximadamente sobre el eje central de la estructura, en su parte posterior y al nivel de la plataforma.

Al completar este proceso, se cubrió el nivel más alto del muro con una capa de relleno que sostuvo una capa de estuco (Piso #1, unidades ACH1G-6 y ACH 1G-7). Ésta fue denominada por Acuña (2013) como Piso *Kalaju*. El mal estado del piso debido al derrumbe de la estructura, así como la presencia de abundantes raíces, hace difícil tener alguna referencia de su estado al momento del inicio del colapso del edificio siguiente. Se sabe que luego de la capa de piso se depositó una capa de escombros, dentro de la cual y en ocasiones por sobre ella, se colocó una serie de ofrendas que fueron paulatinamente cubiertas por más escombros y finalmente humus (ofrendas #10, #13, #11, #14, y #15). Esto correspondería al abandono de la estructura 5C-01 y su visita posterior con motivos conmemorativos.



Figura 9.44 Muro posterior central de la subestructura con banca (Fotografía por E. Arredondo).

Finalmente hay que observar algunos datos pertinentes a la interpretación de la Estructura 5C-01. El piso por sobre el cual se construyó las dos pequeñas estructuras descritas antes, es una extensión realizada al cubrir una escalinata anterior. La escalinata no se cubrió del todo y dejó un espacio estrecho entre sí y las dos subestructuras mencionadas. El piso *Oxlaju* topó con la escalinata, no pasa por debajo de ella. Esta escalinata, rota por el túnel medio del Saqueo #2, coincide con la escalinata estucada destruida por el túnel inferior del Saqueo #2. Además, la escalinata fue denominada como Estructura 5C-01-sub 1 y sub2 por Acuña, tomándolas como dos escalinatas pertenecientes a dos fases distintas. Sin embargo ahora se ve coincidencia en las escalinatas de ambos túneles de saqueo y se mantendrá esta postura en el resto del informe. De la misma forma, no se pudo reconocer la presencia de la Estructura sub 1B descrita por Acuña (2013: Figura A.5.5). Esto se discutirá más adelante en la descripción de la Unidad ACH 1X-2, con datos referentes al momento de la cancelación de las subestructuras y una ofrenda dedicatoria colocada en ese momento.

Unidad ACH 1G- 8

Se ubicó en la cima de la Estructura 5C-01, hacia su parte más al sur, junto al Saqueo #7. Midió 2 x 1 m, con orientación 95° azimut. Su objetivo fue exponer una posible ofrenda cerámica, vista durante la limpieza del Saqueo #7, hacia su perfil sur.

Lote 1 (ACH 1G-8-1) (0.33-0.49 m): Humus de tierra café oscura (10YR 3/3), de grano medio y poco compacto. Se recuperaron 45 fragmentos de cerámica.

Lote 2 (ACH 1G-8-2) (0.49-2 m). Relleno de piedras medianas y grandes, dividida en dos estratos. El primero finaliza a 1.08 m con tierra café amarillenta (10YR 5/4) de grano fino a mediano y poco compacta. El estrato no muestra mayor diferencia con el siguiente, excepto por su coloración. El segundo estrato es de tierra café muy pálida (10YR 7/4), fina y poco compacta, con grandes piedras, algunas labradas a manera de sillares. El material terminó por sobre una capa de estuco (Piso #1) en donde se colocaron cinco ofrendas alineadas este-oeste, siguiendo la orientación general del edificio (figuras 9.45 y 9.51). Hacia el centro del pozo se notó un área con restos de ceniza. Se recolectaron 52 fragmentos de cerámica y 1 pedernal, así como una muestra de carbón cerca a las ofrendas.

La Ofrenda #18 fue localizada en el extremo este del rasgo. Consistió de una vasija tetrápode no analizada al momento (ACH-V033) (Figura 9.46). Los soportes contienen sonajas.

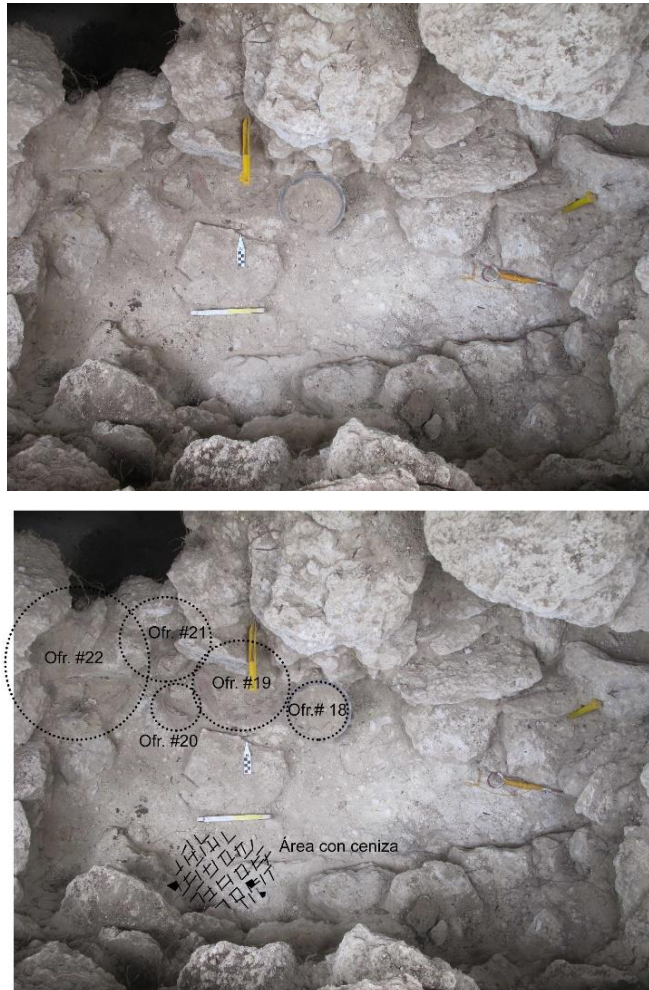


Figura 9.45 Vista en plano de la Unidad ACH 1G-8 y la ubicación de las ofrendas (Fotografías por E. Arredondo).



Figura 9.46 Ofrenda #18 (Fotografía por E. Arredondo).

La Ofrenda #19 consistió de una segunda vasija desde el este del rasgo (Figura 9.47). Es un plato Dos Arroyos Naranja Polícromo, con un diámetro de 0.37 m (Vasija ACH-V034).



Figura 9.47 Ofrenda #19 (Fotografía por E. Arredondo).

La Ofrenda #20 es la tercera vasija desde el este del rasgo (Figura 9.48). Consiste en un ejemplo más de Dos Arroyos Naranja Polícromo, con un diámetro de 0.14 m (Vasija ACH-V035).



Figura 9.48 Ofrenda #20 (Fotografía por E. Arredondo).

La Ofrenda #21 comprende la cuarta vasija (Figura 9.49). Es un plato del tipo Dos Arroyos, variedad Boleto Negro sobre Naranja, de 0.28 m de diámetro (Vasija ACH-V036).



Figura 9.49 Ofrenda #21 (Fotografía por E. Arredondo).

La Ofrenda #22 consiste en la quinta vasija (Figura 9.50), ubicada en el extremo oeste del rasgo. Es un plato del tipo Dos Arroyos, variedad Caldero Bayo Polícromo, de 0.32 m de diámetro (Vasija ACH-V037)



Figura 9.50 Ofrenda #50 (Fotografía por E. Arredondo).

Unidad ACH 1G- 9

Se localizó sobre la cima de la Estructura 5C-01, anexo a la Unidad ACH 1G-8, como extensión en su perfil norte. Midió 0.2 x 2 m, con orientación 95 ° azimut. Su objetivo fue ampliar la excavación de la Unidad ACH 1G-8 para tener mejor acceso a las ofrendas vistas en el perfil del Saqueo #7. La excavación se redujo a 0.2 x 1 m por tener limitantes de tiempo y la presencia de grandes piedras en el relleno, lo cual complicó su remoción total. Por lo tanto se continuó con su excavación en el sector oeste de la unidad.

Lote 1 (ACH 1G-9-1) (0.27-0.37 m): Humus de tierra café oscura (10YR 3/3), de grano medio y poco compacto. Se recolectaron 15 fragmentos de cerámica.

Lote 2 (ACH 1G-9-2) (0.37-2 m): Relleno de piedras medianas y grandes, dividida en dos estratos. El primero finalizó a 1.08 m con tierra café amarillenta (10YR 5/4) de grano fino a mediano y poco compacta. El estrato no mostró mayor diferencia con el siguiente, excepto por su coloración. El segundo estrato fue de tierra café muy pálida (10YR 7/4), fina y poco compacta, con piedras grandes, algunas labradas a manera de sillares. Este último nivel fue excavado en su totalidad en la mitad oeste del pozo para liberar las primeras tres ofrendas encontradas en la Unidad ACH 1G-8. Se recolectaron 9 fragmentos de cerámica.

La Unidad ACH 1G-9 expuso un contexto un tanto confuso. En términos del material encontrado, se notaron tres capas en el perfil: humus, tierra café amarillenta y tierra café muy pálida. Por sus características generales, estos dos últimos fueron excavados como un solo lote, aunque la posterior revisión de los datos del Saqueo #7, hizo notar que su punto de separación corresponde relativamente bien con el nivel del Piso #1 (Lote ACH 1X-7-1). La cantidad de piedra labrada aumentó y se mostraron varias con apariencia o características de lajas (Figura 9.52). Esta situación confundió entre las posibilidades de tener una bóveda o muro colapsado, o incluso un entierro; sin embargo, hay razones para pensar que se trata de un relleno ordenado. Este material descansó sobre un piso estucado (Piso #1, Lote ACH 1G-8). Sobre el piso, y en una capa más blanca de tierra, apareció un conjunto de cinco vasijas (Ofrendas #18 a #22) en un eje este-oeste, consideradas como un rasgo votivo en su conjunto. Durante el proceso de excavación se rompió parte del piso y se notó la presencia de piedrín de relleno y piedras pequeñas.

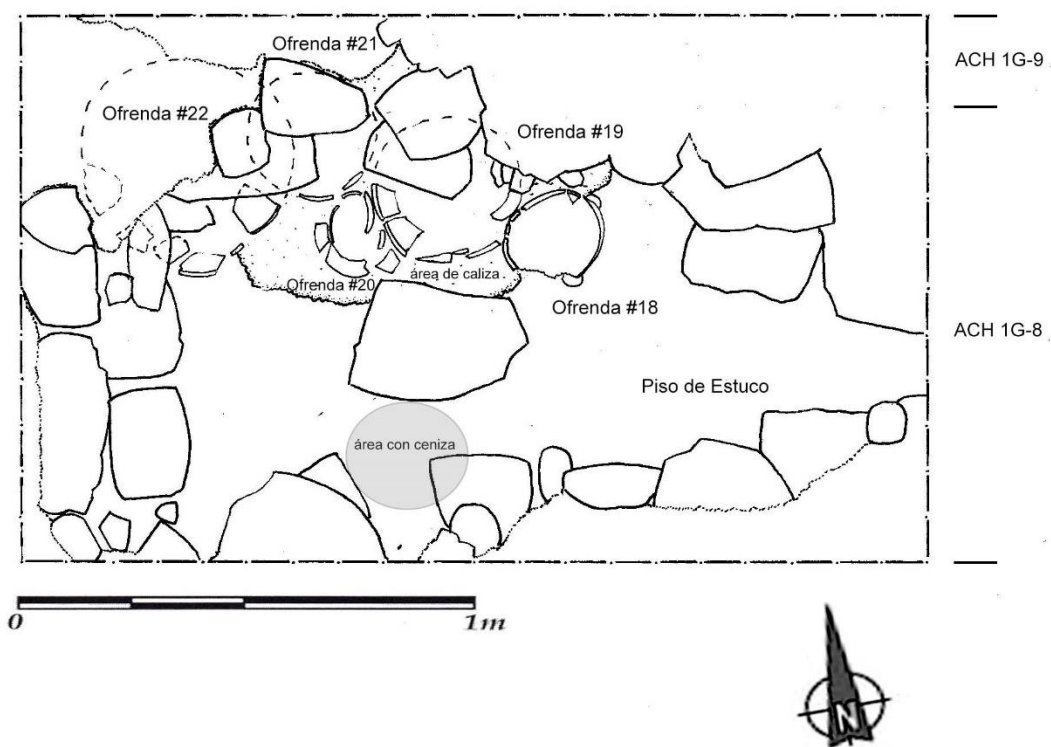


Figura 9.51 Planta de las Unidades ACH 1G-8 y ACH 1G-9 con la ofrenda de cinco vasijas (dibujo E. Arredondo).

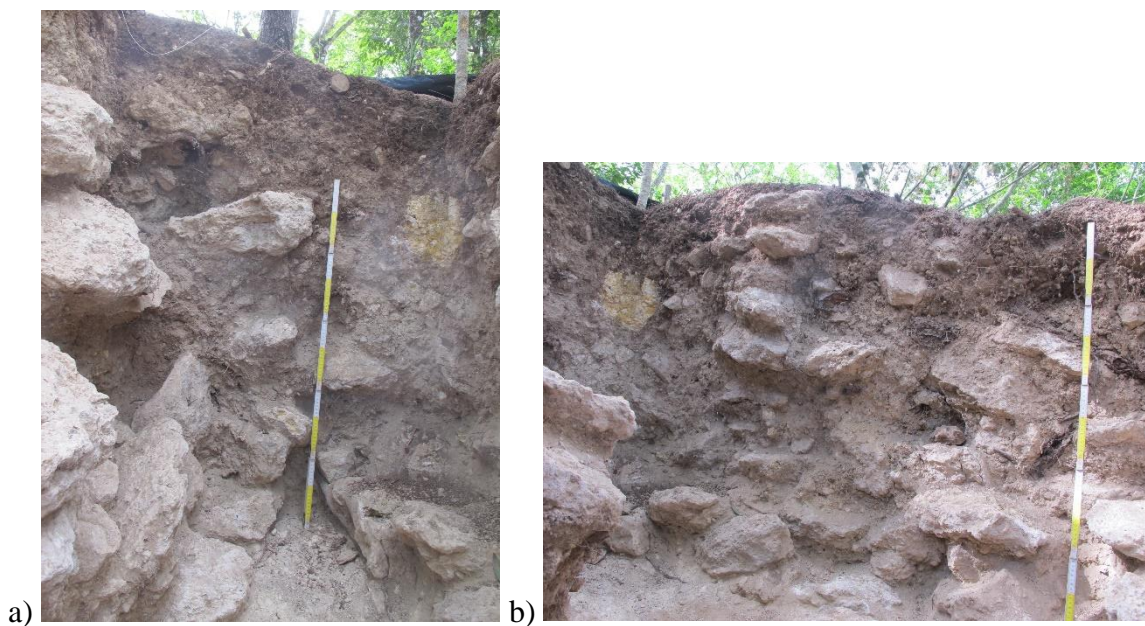


Figura 9.52 Unidades ACH 1G-8 y ACH 1G-9: a) perfil este; b) perfil sur, viendo hacia el sureste (Fotografías por E. Arredondo).

La secuencia constructiva en las unidades ACH 1G-8 y ACH 1G-9 es inicialmente sencilla. Las ofrendas fueron colocadas sobre un piso estucado, junto a material bastante calizo y luego cubiertas por un aparente relleno ordenado que incluye lajas. Es posible que, si el Piso #1 (Lote ACH 1X-7-1) forma una última etapa o fase constructiva, el relleno es el que sostendría la etapa final de construcción del edificio 5C-01 (Figura 9.53). Ahora bien, el contexto se complica al compararlo con lo observado en la limpieza del Saqueo #7 (ver más adelante). El Piso #1 (Lote ACH 1G-8) se encuentra por sobre una plataforma baja de unos 0.6 m, asociada al Piso #2 (Lote ACH 1X-7). Si ese es el caso, entonces la ofrenda colocada sobre dicha plataforma sería una ofrenda de clausura, mostrando un comportamiento similar al visto en la ofrenda colocada detrás de la pequeña estructura con banca central de las unidades ACH 1G-6 y ACH 1G-7 (Ofrenda #17). Hay que hacer constar que al iniciar la excavación de las presentes unidades se tuvo la intención de encontrar el muro posterior de la última estructura, y que inicialmente se contempló la idea que la ofrenda estuviera detrás de un muro colapsado, similar en comportamiento con la ofrenda mencionada de la estructura con banca.

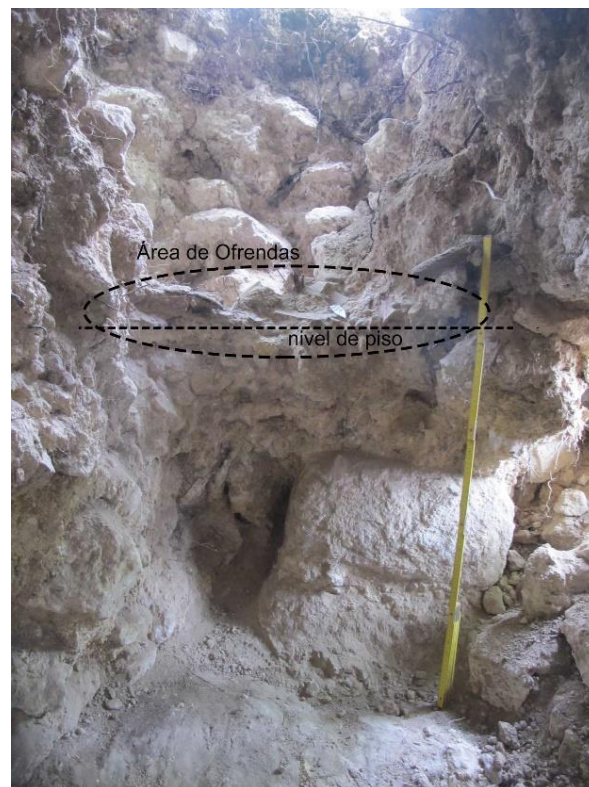


Figura 9.53 Ubicación de las ofrendas de las unidades ACH 1G--8 y ACH 1G-9 vistas desde el Saqueo #7 (vista hacia el sur) (Fotografías por E. Arredondo).

Ahora bien, si el conjunto de las cinco vasijas parece encontrarse por sobre el eje central de la Estructura 5C-01, la estructura sobre la cual se encuentra no sigue exactamente ese comportamiento. Como se verá en la descripción de la limpieza en el Saqueo #7, el área fue altamente dañada. El saqueo rompió justamente dicha subestructura y es imposible saber si ésta jugó correspondiendo al eje de la estructura final, o si se trata de una estructura partida por los saqueadores, lo que crea un efecto distinto al de su realidad original.

Sub-operación ACH 1X

Descripción y Objetivos

La sub-operación que fue denominada como ACH 1X para poder reconocer los materiales recolectados con facilidad en el laboratorio, teniendo en cuenta que éstos incluyen posiblemente materiales provenientes de distintos contextos. De esta manera, la sub-operación seguirá siendo la misma para toda actividad similar, sin necesidad de cambiar constantemente la denominación original. Para la separación de las unidades, cada una fue nombrada por el número de saqueo intervenido, así la Unidad ACH 1X-1 corresponde a la actividad de limpieza del Saqueo #1, la Unidad ACH 1X-2 al Saqueo #2, y así sucesivamente. Los lotes correspondieron a las áreas de recolección de los materiales, que en el caso del Saqueo #2 estuvieron divididos por sectores de 2 metros de longitud cada uno. En los demás saqueos, la recolección fue general y sólo en algunos casos se concentró en lugares específicos. Cabe decir que la limpieza del Saqueo #2 no pudo ser total pues algunos sectores quedaron muy altos y en contextos peligrosos (Figura 9.54).

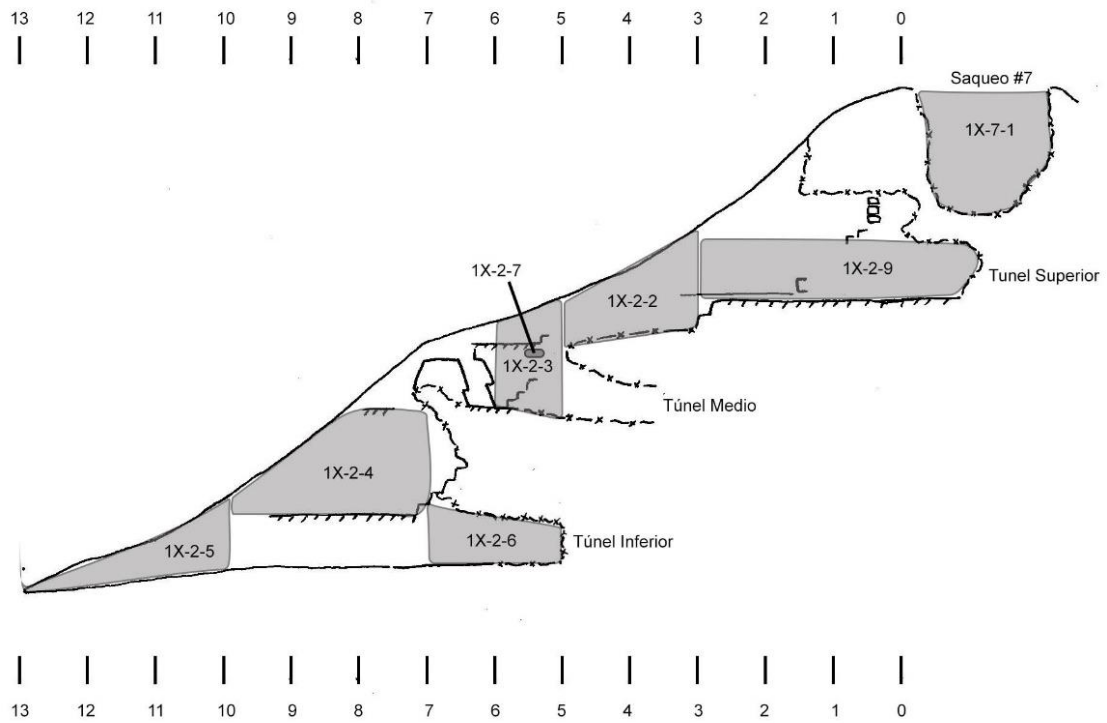


Figura 9.54 Perfil este de la Estructura 5C-01 y localización de los lotes de limpieza (Dibujo por E. Arredondo)



Figura 9.55 Saqueo #2: a) antes de la limpieza; b) al final de la limpieza general (Fotografías por E. Arredondo).

Unidad ACH 1X-1

Se localizó en el Saqueo #1 de la Estructura 5C-01. Sus dimensiones fueron de 3 x 2 m (área expuesta) y con orientación 0° azimut. Su objetivo fue la exposición del Mascarón #2 registrado en 2012 (Acuña 2013), para conocer su condición y poder realizar fotografías y dibujos. Lote 1 (ACH 1X-1-1) (0-3.2 m): Material revuelto proveniente de los rellenos constructivos del Saqueo #1 (Figura 9.56), reutilizados para cubrir un mascarón monumental expuesto por la trinchera. No se recolectaron materiales.



Figura 9.56 Perfil este de la Unidad ACH 1X-1 (Dibujo por E. Arredondo).

La excavación expuso el Mascarón #2, localizado por debajo de una capa de estuco que se presume como la plataforma que sostiene la subestructura discutida en las unidades ACH 1G-6 y ACH 1G-7 (ver arriba), esta capa de estuco corresponde al piso de estuco Oxlaju, identificado por Acuña (2012). La intención fue exponerlo para su registro más detallado. Sin embargo, las condiciones del saqueo provocaron que se considerara muy peligroso continuar su exposición sin una correcta excavación de por lo menos un metro más sobre él. El mascarón se encontró dentro de un túnel, una condición que era desconocida hasta la presente excavación. Sin embargo, se

constató que la cubierta de geotextil realizada en 2012 (Acuña 2013) cumplió su cometido, y ésta se ve en buen estado (Figura 9.57).

El rasgo fue luego cubierto por medio de tierra cernida a la cual luego se le colocó una cubierta de piedras en forma de terraza. A ésta se le cubrió con un marco de madera de forma vertical, y se tapó con un plástico (Figura 9.58).



Figura 9.57 Mascarón #2 con la cobertura de geotextil (Fotografías por E. Arredondo).



Figura 9.58 Saqueo #1, cobertura final luego de la intervención (Fotografías por E. Arredondo).

Unidad ACH 1X- 2

Se localizó en el Saqueo #2, Estructura 5C-01 y midió aproximadamente 26 x 2 m, con orientación 0° azimut. Los objetivos fueron la limpieza general del saqueo, remoción de humus y material colapsado.

Lote 1 (ACH 1X-2-1) (12-3 m) (Sectores 3 a 13 en perfil): Rellenos varios (humus y material colapsado) revueltos y no compactados. El lote corresponde a la limpieza general del Saqueo #2 antes de iniciar la limpieza directa de perfiles específicos. Se recolectaron 28 fragmentos de obsidiana y 1 cuenta de jade encontrada a la altura de la superficie de locomoción del Saqueo #2.

Lote 2 (ACH 1X-2-2) (12-10 m) (Sectores 3 a 5 en perfil) (Figura 9.59): Rellenos del perfil este, que corresponderían mayormente a la última etapa o fase constructiva que cubriera frente a la plataforma más alta de la etapa anterior. Se recolectaron 57 fragmentos de cerámica.

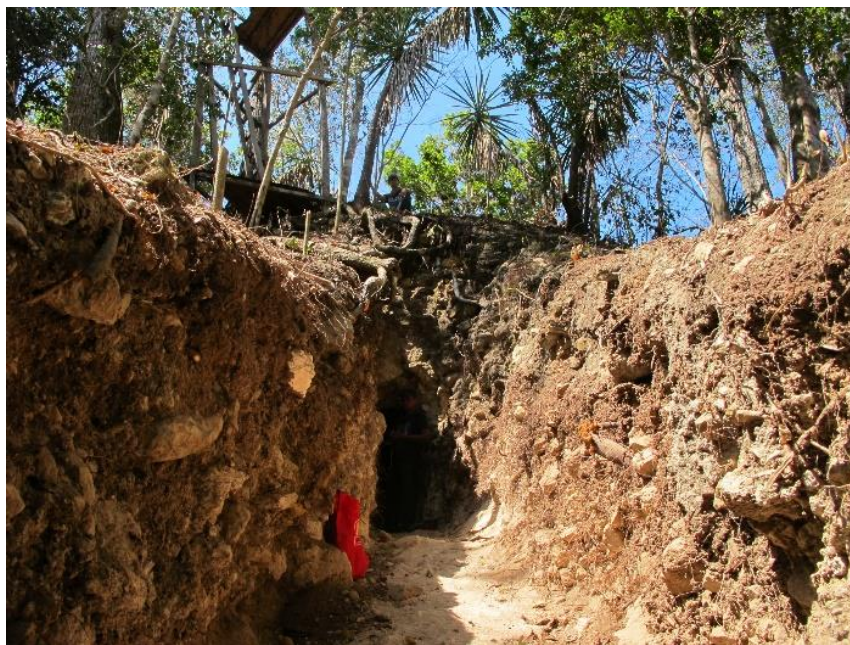


Figura 9.59 Vista general del Sector 3-5 (Fotografías por E. Arredondo).

Lote 3 (ACH 1X-2-3) (9.6-7.8 m) (Sectores 5 a 6 en perfil) (Figura 9.60): Rellenos del perfil este, al costado y debajo de la Ofrenda #7 (Lote ACH 1X-2-7). La recolección inició debajo del piso que cubre una subestructura excavada en las unidades ACH 1G-6 y ACH 1G-7 (ver arriba), alcanzando el piso estucado donde ésta descansa y sin penetrar en el túnel de saqueo que penetra la estructura en este punto. Se recolectaron 80 fragmentos de cerámica.



Figura 9.60 Vistas del sector 5-6: a) vista desde el sur por sobre el Túnel de saqueo medio; b) vista desde el sur al nivel del Túnel de saqueo medio (Fotografías por E. Arredondo).

Lote 4 (ACH 1X-2-4) (7-4.6 m) (Sectores 7 a 10 en perfil) (Figura 9.61): Rellenos del perfil este, que provendrían del relleno que cubrió el segundo gran momento constructivo; al menos parte de su escalinata original y extendió la plataforma superior que daría base a la subestructura excavada en las unidades ACH 1G-6 y ACH 1G-7 (ver arriba). Se recolectaron 44 fragmentos de cerámica.

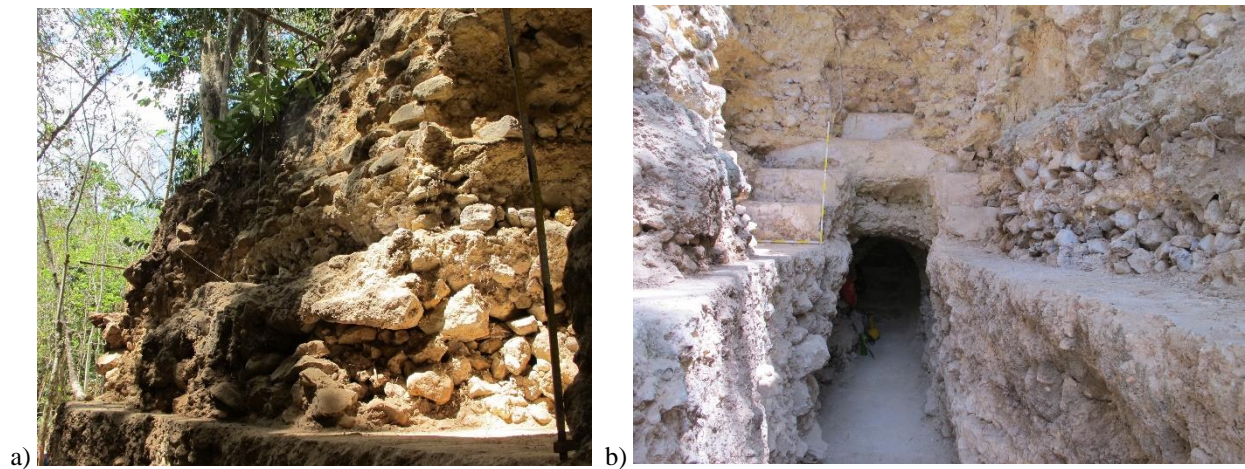


Figura 9.61 Vista general del sector 7-10: a) perfil este; b) vista al sur mostrando Túnel inferior del Saqueo #2 (Fotografías por E. Arredondo).

Lote 5 (ACH 1X-2-5) (4-2 m) (Sectores 10 a 13 en perfil) (Figura 9.62): Relleno del perfil este. Esta sección puede incluir material producto de las dos últimas etapas constructivas. Incluye material cercano a la base del montículo y el material extraído del mismo. Se recolectaron 90 fragmentos de cerámica.



Figura 9.62 Vista general del sector 10-13 (a); b) detalle del sector indicado por círculo (Fotografías por E. Arredondo)

Lote 6 (ACH 1X-2-6) (3 m aprox.) (Sectores 5 a 7 sobre superficie) (Figura 9.63): Limpieza de Saqueo #2, Túnel #16 (ACH-1B-Tn13 según Acuña 2013: 159). Se limpió el material derrumbado dentro del túnel, alcanzando un piso estucado que luego se confirmaría como una plataforma de 5C-01-sub8 (ver Unidad ACH 1G-5). Se recolectaron 126 fragmentos de cerámica y 2 lascas de obsidiana, puede tener material del exterior del saqueo.



Figura 9.63 Vistas del Túnel inferior del Saqueo #2, exterior, previo a ubicar la Unidad ACH 1G-5 (Fotografías por E. Arredondo).

Lote 7 (ACH 1X-2-7) (0.1-0.4 m [Datum 0 tomado desde la superficie del piso inmediatamente sobre el rasgo. El piso sostiene a la subestructura discutida en las unidades ACH 1G-6 y ACH 1G-7]): Consiste en la Ofrenda #7, expuesta por la limpieza del Lote 3. La ofrenda fue expuesta al realizar la limpieza del Saqueo #2 en su sector 5 a 6. Consistió en un espacio de unos 0.6 m de largo por 0.4 m de ancho y 0.15 m de alto, preparado por piedras labradas colocadas alrededor del mismo. Luego fue cubierto por relleno constructivo el cual a su vez fue sellado por un piso de estuco (Figura 9.64). La Ofrenda # 7 consistió en cuatro vasijas colocadas en parejas labio con labio (Figura 9.65). Las cuatro fueron del tipo Águila Naranja Dos Hermanos (vasijas ACH-V014, ACH-V015, ACH-V016 y ACH-V017) y tuvieron un diámetro de 0.26 y 0.27 m para la primera pareja ubicada al sur (vasija superior y vasija inferior), y de 0.19 y 0.18 m para la siguiente pareja

(vasija superior y vasija inferior), localizadas al norte. La ofrenda se encuentra en un eje norte-sur, demostrando que el eje del Saqueo #2 se desvía del eje central de la estructura. Esto se ve reflejado en la posición del mascarón de la escalinata de 5C-01-sub8, en comparación con la ubicación final del saqueo en cuestión en su parte más baja. Así mismo, las ofrendas encontradas en la Unidad ACH 1G-6 (dentro de la banca y detrás de la subestructura descrita entonces), indicarían que el saqueo no cortó la estructura exactamente sobre su eje, sino moviéndose más al norte magnético. La vasija inferior de la pareja sur, contuvo una navaja prismática de obsidiana sobre un eje norte sur. También se recolectaron dos muestras de tierra, una por cada pareja de vasijas.



Figura 9.64 Ofrenda #7 en contexto, por debajo de piso estucado y frente al arranque de escalinata (Fotografía por E. Arredondo).



Figura 9.65 Ofrenda #7: a) navaja prismática dentro de ofrenda; b) vasija al norte sin su cubierta (Fotografías por E. Arredondo).

Lote 8 (ACH 1X-2-8): Se abrió para resguardar una pieza de jade encontrada durante la limpieza de la parte baja de la escalinata durante los trabajos iniciales de la Unidad ACH 1G-4 (Figura 9.66). La cuenta fue recolectada y guardada por Luke Auld-Thomas. Luego la cuenta pasó a ser registrada bajo la nomenclatura correspondiente. No se realizó ninguna excavación bajo este lote.



Figura 9.66 Cuenta de jade encontrada en derrumbe (Fotografías por E. Arredondo).

Lote 9 (ACH 1X-2-9) (12 m) (limpieza de túnel superior Saqueo #2, superficie) (Figura 9.67): Colapso del saqueo sobre piso estucado. Se recolectaron 17 tiestos.



Figura 9.67 Túnel superior del Saqueo #2: a) vista general viendo al sur; b) escalinata en el interior del túnel (Fotografías por E. Arredondo).

La limpieza del perfil este de la Estructura 5C-01 expuso con éxito varias de las continuas construcciones realizadas durante su ocupación. Si bien y en términos generales, varias eran conocidas por la limpieza parcial de 2012, la limpieza sistemática y más profunda, de forma controlada, expuso con mayor claridad otros detalles.

El Lote #2, por ejemplo, expuso la presencia de una escalinata bastante bien conservada y de escalones amplios, mostrando al menos dos filas (Figura 9.68) hacia lo que se esperaba encontrar el eje central de la estructura; sin embargo, se notó la destrucción de los mismos (Figura 9.69). Se desconoce si esto se debe a la actividad de los saqueadores, ya que en este punto parecen hacerse extendido parcialmente hacia el este en un pequeño túnel. Sin embargo, el relleno casi al vacío de piedras pequeñas impidió identificar con claridad esta situación. Las gradas descritas mostraron, como se dijo, dos escalones, y mientras se esperaba la presencia de un tercero, la excavación continuó a mayor profundidad sin mostrar piso o escalón alguno, por lo que es muy posible que no se alcanzara el nivel final del saqueo. Esta situación ocurrió cuando se excavó la Unidad ACH 1G-5 (ver más arriba), en donde al excavar se notó la presencia de un saqueo más profundo de lo pensado. Al parecer, el grupo de saqueadores trabajó intensamente en la estructura, dejando en ocasiones que la estructura colapsara para luego seguir más adelante con su actividad delictiva sobre esa superficie. Esto provocaría falsas superficies, las cuales se presentan muy sólidas luego de un proceso de apisonamiento constante producto de la locomoción asociada a la acción extractiva. La falta de tiempo, y las múltiples otras investigaciones en el edificio impidieron profundizar en esta área específica. Aún es posible que la destrucción por los saqueadores haya destruido un posible tercer escalón y que un piso asociado a esta escalinata se encuentre cercano al punto donde se detuvo la excavación. La escalinata en cuestión alcanza un piso estucado que se internaría en el túnel superior del Saqueo #2 y que formó parte del Lote #9, el cual se discutirá más adelante en esta misma sección.



Figura 9.68 Vista general de las escalinatas frente al Túnel superior del Saqueo #2 (a y b) (Fotografías por E. Arredondo).

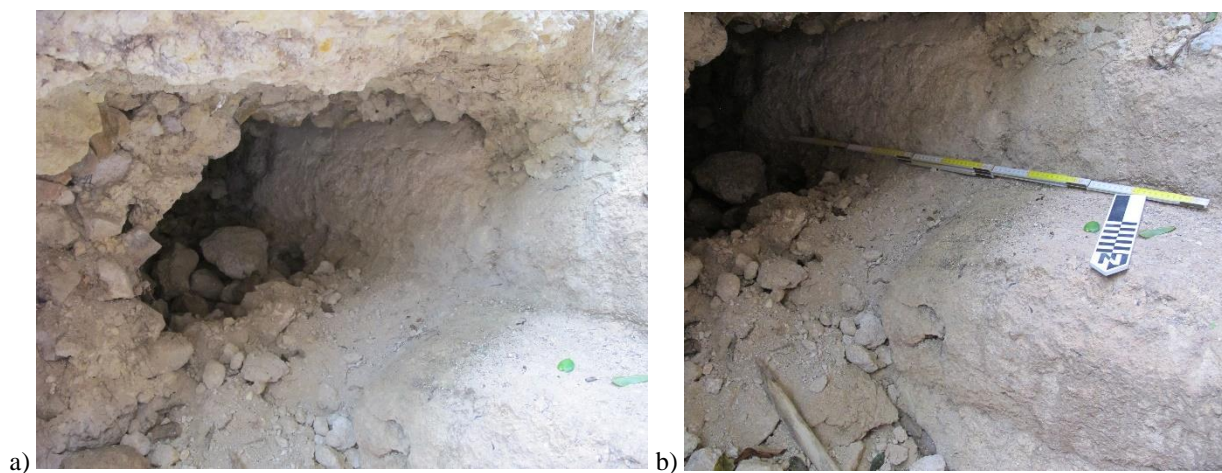


Figura 9.69 Escalinata frente al Túnel superior del Saqueo #2: a) detalle de área destruida; b) vista general (Fotografías por E. Arredondo).

La exposición de la Ofrenda #7, durante la intervención del Lote #3, marcó la pauta para la confirmación del eje de la estructura. La intervención en este sector también expuso el arranque de una escalinata bastante tardía allí (Figura 9.70). Esta escalinata coincide con el Piso #1 (ACH 1G-6 y ACH 1G-7), el cual marcaría la clausura de dos estructuras superpuestas (Estructura con

banca central) hacia el final de una plataforma que habría cancelado parcialmente una parte de una escalinata central, aún más temprana y registrada en el Lote 4 de ACH 1X-2. Ésta, correspondería con la clausura de las estructuras Bulto y Cacao, junto a los edificios que se encontraban sobre la gran plataforma Preclásica que las sostiene.



Figura 9.70 Arranque de escalinata y piso que clausura la estructura con banca, abajo Ofrenda #7 (Fotografía por E. Arredondo).

El siguiente Lote #5 ayudaría a marcar una unidad más (ACH 1G-4), con la intención de encontrar la base de la escalinata. Mientras que el Lote #6, como se mencionó, marcó la pauta para iniciar una unidad que pudiera encontrar el Túnel #8 (lo que efectivamente sucedió), pudiendo reconocer el piso estucado en el túnel como el mismo denominado *Junlaju* por Acuña (2013: Figura 5.37). Esta limpieza puede que contenga algún material que haya penetrado desde el exterior, sin embargo se cree que el material colectado será un buen indicador de la cronología de la estructura que cubrió a Bulto y Cacao, contándose con una muestra abundante de material.

El Lote #9 consistió en la limpieza del derrumbe del Túnel superior del Saqueo #2. Al extraer el material, se observó que los saqueadores siguieron la superficie del piso que se asocia con las escalinatas amplias que se mencionó en el Lote #2. El piso continuó hasta el final del saqueo, que en ese punto alcanza un punto por debajo de la cima actual del edificio. Es decir se acerca mucho al Saqueo #7, por debajo de él; es más, el relleno es muy parecido, si no el mismo que el notado al fondo del saqueo en mención (Figura 9.80). Al fondo del saqueo se notó la presencia de grandes piedras irregulares quemadas (Figura 9.81) y no se notó la presencia de ninguna construcción asociada a él.



Figura 9.80 Túnel inferior del Saqueo #2, vista general luego de la limpieza (Fotografía por E. Arredondo).

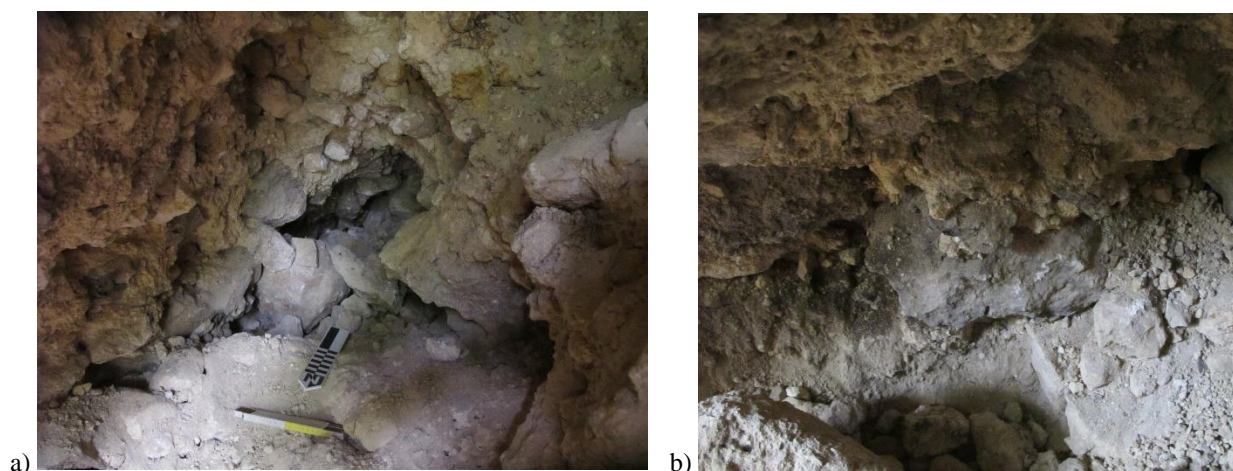


Figura 9.81 Fondo del Túnel superior del Saqueo #2: a) vista general; b) detalle de piedra quemada (Fotografías por E. Arredondo).

Por arriba de este piso y desde el exterior del túnel, se expuso otro piso estucado, pasando por encima del primero (Figura 9.82). Este piso termina en el arranque de una escalinata que sube hacia la cima de una plataforma o basamento. No fue posible medir la altura de la plataforma o edificio con exactitud, en vista que el saqueo no dio ninguna pista de haber alcanzado su superficie más alta. Sin embargo, el techo máximo del saqueo parece coincidir bien con el Piso #3 de la

Unidad ACH 1X-7, es decir el piso más profundo encontrado en el Saqueo #7 (ver a continuación). Los rellenos son parecidos, y un rasgo más podría indicar que estamos en lo correcto. Al final del Túnel Superior del Saqueo #2, y hacia su parte más alta, se notó una gran fractura en el relleno. Esto mismo se observa en la parte más baja del Saqueo #7, con lo cual se puede suponer que se trata de la misma fractura.



Figura 9.82 Piso de estuco asociado a subestructura dentro del Túnel superior del Saqueo #2 (Fotografía por E. Arredondo).

Unidad ACH 1X-7

Se localizó en el Saqueo #7 de la Estructura 5C-01. Sus dimensiones fueron de 8.90 a 4 m (el saqueo fue irregular por colapso) con una orientación aproximada de 90°. Sus objetivos fueron la limpieza general del saqueo, remoción de humus y material colapsado.

Lote 1 (ACH 1X-7-1) (0-3.6 m): Escombros de saqueo, material revuelto. Al iniciar la operación, el saqueo era de unos 3 m de ancho, pero al iniciar su limpieza éste se fue ensanchando y se convirtió más en un círculo amplio en la cima del montículo. Hacia el sur, se notó al remover buena parte del escombros, que éste escondía una capa de estuco a manera de piso que se encontraba rota. Se prosiguió a continuar la excavación hasta encontrar el fin de dicha rotura. Sin embargo, el daño continuó hasta hacer ya riesgosa la excavación misma dado el alto grado de destrucción en el área. Esto permitió, no obstante, reconocer que al saqueo inicial se le agregó una extensión hacia el sur (un nuevo túnel), el cual habría colapsado con el paso del tiempo.

En el perfil oeste, así como en el norte, se notó la presencia de una fina capa de estuco irregular a 1.4 m de profundidad. Es posible que se trate de un último piso ocupacional (Piso #1-?-), posiblemente asociado a la última etapa de construcción y que el material sobre ella pertenezca al colapso de la estructura final (aunque sin excavación aún se desconoce su estado o certera identificación). Su irregularidad puede deberse a su exposición a los medios luego de abandonada la estructura; además su cercanía a la superficie y la alta frecuencia de árboles grandes sobre él lo pudieron dañar. Los materiales arriba y debajo de él se caracterizaron por piedras medianas y grandes y tierra café muy similar a la tierra café amarillenta (10YR 5/4) de la Unidad ACH 1G-8, además de mucha perturbación por raíces grandes e infiltración de humus. El material debajo, parece relleno constructivo con piedras medianas y grandes en tierra (hacia el perfil norte) más amarillenta. Cabe mencionar que este posible piso coincide con la altura máxima de lo que podría ser el borde de un cajón constructivo a aproximadamente 1.5 m de distancia del eje central del edificio. Las piedras son grandes y se nota su colocación superpuesta, pero sin mostrar por el momento ninguna fachada labrada o capa de estuco que pudiera apuntar a su identificación como un muro o plataforma formal. Se cree que puede ser más bien, un cajón.

Más abajo, el saqueo cortó dos capas de estuco claras a 2.56 m y a 3 m de profundidad (Pisos #2 y #3). El relleno de la primera es de piedras pequeñas y algunas medianas en tierra café muy pálida, de grano fino a medio y no compactada. Esta capa tuvo un grosor de 0.42 m y concluye sobre otra capa de estuco (Piso #3). En este caso el relleno por debajo del estuco fue de relleno de tierra café amarillento claro (10YR 6/4) de grano fino más o menos compacta y con menor cantidad de piedras (pequeñas). Éste último estrato no fue excavado y sólo se removió hasta una profundidad prudente en vista que la unidad se encontraba directamente sobre los túneles #14 y #15 (ver arriba, unidades ACH 1G-3 y ACH 1G-10) (Figura 9.83).

El Piso #2 se extendió por 7 m desde el eje central de la estructura, hacia el oeste. En este punto se degradó y coincide con la caída o borde del montículo, por lo que es posible que marque el final de una terraza. El eje central del edificio, que fue calculado en campo de forma simple, puede no corresponder con exactitud al mismo. Sin embargo, el descubrimiento de varias ofrendas en otras unidades parece afirmar que es correcto. A 1.9 m del perfil norte y sobre este piso se encontró una serie de piedras labradas que parecen conformar una pequeña plataforma, cuya superficie superior coincide con el Piso #1 de la Unidad ACH 1G-8. Su altura es de unos 0.56 m

y su orientación (medida en base a las superficies laterales de los sillares) es de 0.10° azimut, precisamente la orientación observada en la Estructura 5C-01 y sus subestructuras.

Por su lado, sobre el Piso #3 parece asentarse un talud, esta vez corriendo de este a oeste. El talud tiene unos 0.62 m de alto, por lo que trasgrede la altura del Piso #2. Aquí el saqueo no dejó evidencia de la relación de ese piso con este talud. El rasgo tiene piedra tallada, pero se encuentra en un ángulo descendente hacia el oeste, similar a una pared semi-colapsada o a punto de caer (Figura 9.88). Este comportamiento se notó en varias piedras labradas expuestas por el Lote 2, descrito a continuación. El talud se encuentra justo sobre el eje de la ofrenda encontrada en la Unidad ACH 1G-8, compuesta de cinco vasijas en eje este-oeste. Finalmente, en el Lote 1 se recolectaron 87 fragmentos de cerámica y 2 fragmentos de concha.

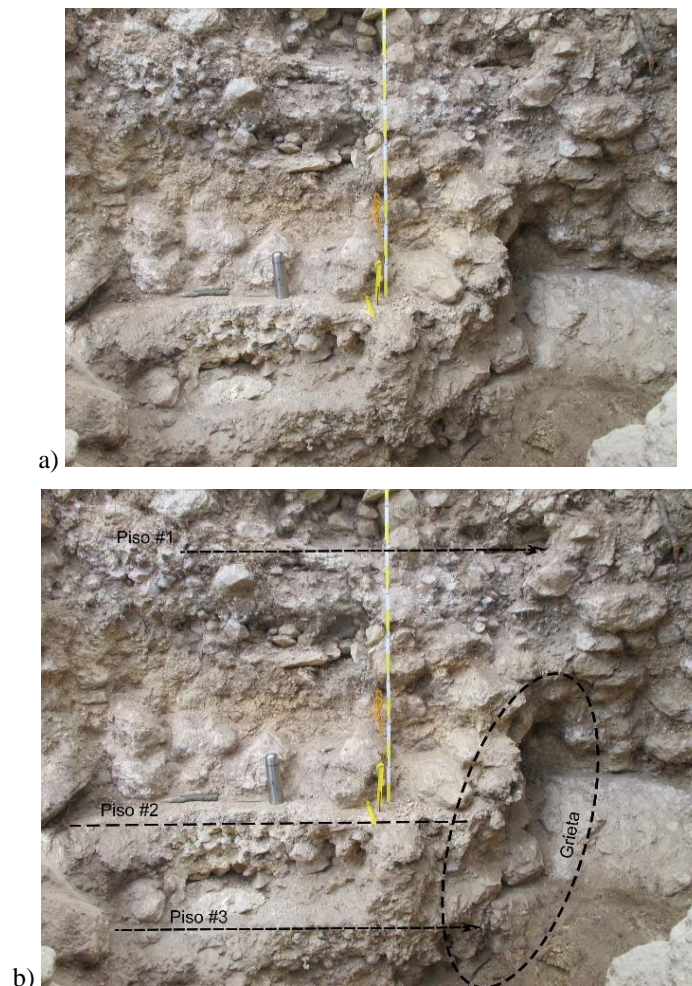


Figura 9.83 Perfil norte de la Unidad ACH 1X-7: a) vista de la sección baja central; b) indicación de la localización de los pisos y fractura en la estructura (Fotografías por E. Arredondo).

Lote 2 (ACH 1X-7-2) (0.6-2.56 m): Relleno y colapso del saqueo. Esta excavación continuó la limpieza del área suroeste de la limpieza del saqueo. Luego de notar la presencia de varias piedras labradas en el perfil, se procedió a limpiarlas y rodear lo que parece el colapso de un muro. Fue difícil reconocer en este punto si se trata de eso, ya que en toda el área se notaron piedras labradas a manera de sillares que parecen haber colapsado parcialmente. Sin embargo, al no realizar una excavación, es muy difícil entender con mayor certeza este contexto. La limpieza fue llevada a cabo siguiendo el Piso #2 y rodeando el área de la Unidad ACH 1G-8. Todo el material removido estuvo revuelto y también formó parte del colapso del saqueo. Se recolectaron 27 fragmentos de cerámica. Hay que mencionar que sobre la superficie y entre el derrumbe del edificio, se notó la presencia de una piedra de moler, sobre el eje central del mismo (Figura 9.84). Esto es llamativo por la función esperada del edificio, la cual no estaría orientada hacia lo habitacional. En otra oportunidad se ha mencionado la coincidencia de manos de moler, sobretodo matadas o rotas y boca abajo, en momentos de cambio y finalizaciones de uso de edificios (Arredondo y Gillot 1998).



Figura 9.84 Piedra de moler, sobre la cima y el eje central del edificio 5C-01 (Fotografía por E. Arredondo).

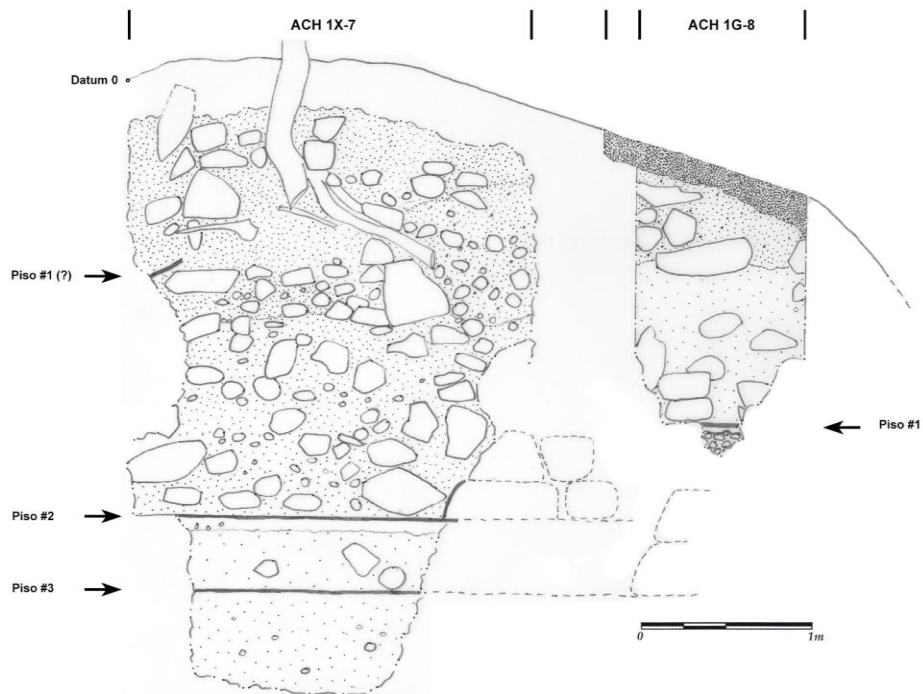


Figura 9.85 Unidad ACH 1X-7 y unidades ACH 1G-8 y ACH 1G-9, perfil este (Dibujo por E. Arredondo).

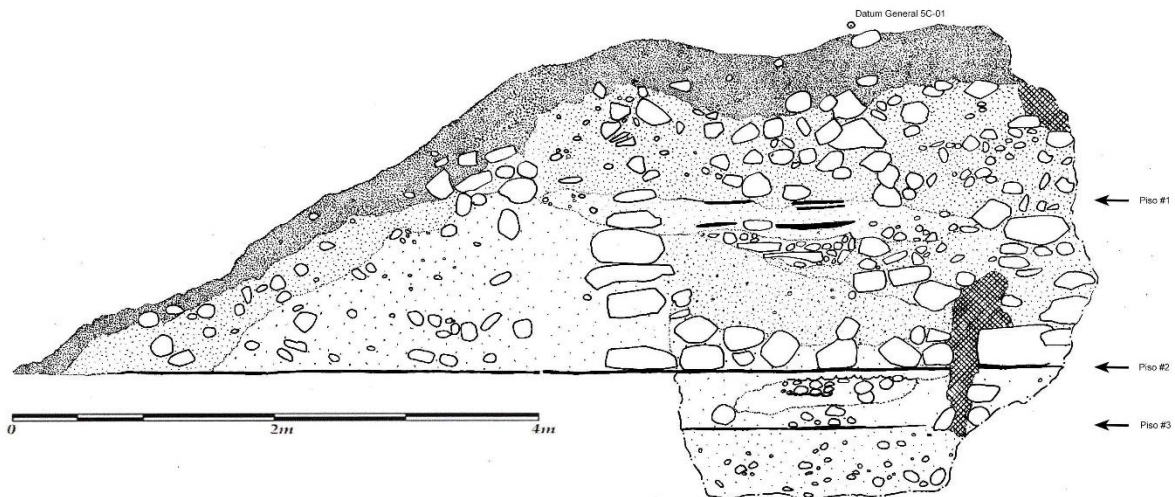


Figura 9.86 Unidad ACH 1X-7, perfil norte (Dibujo por E. Arredondo).

La exposición del saqueo mostró algunos comportamientos interesantes: Primero, la extensión original fue mayor de lo pensado al inicio; segundo, la estructura tiene muestras de haber colapsado o estar fracturada; tercero, la ofrenda de cinco vasijas se encuentra sobre un piso que coincide con lo que parece una plataforma hacia el sur del edificio; cuarto, la ofrenda parece ser parte de un programa de rituales votivos relacionados a la clausura de una etapa del edificio; y quinto, es posible que la última etapa de la estructura esté representada por un piso muy dañado cercano a la superficie y coincidente con un cambio de estrato.

En este respecto, se cree que es indispensable hacer una limpieza profunda del saqueo, ya que la intervención en 2016 no pretendió cubrir toda su extensión desde su inicio, mucho más abajo. Cuando se intervino se tenía la intención de conocer la estratigrafía en este punto, pero a su vez, intentar alcanzar alguna estructura perteneciente al Edificio 5C-01-sub8. Sin embargo, la excavación expuso material suelto y la rotura de uno de los pisos indica con claridad que el saqueo original fue mayor y luego colapsó.



Figura 9.87 Vista hacia el sur de la extensión del Saqueo #7 (Fotografía por E. Arredondo).

La exposición de los rasgos arquitectónicos también hace pensar que fuera del colapso del saqueo, existe evidencia que el edificio tiene un fallo estructural importante. La rotura observada en la parte central oeste, al final del perfil norte, parece ser una gran grieta. Si se sigue una dirección

hacia el suroeste, se encuentra un pequeño talud que tiene una caída hacia el oeste (figuras 9.83, 9.87 y 9.88). Esta grieta se observaría en la fractura notada en la sección superior sur del Túnel Superior del Saqueo #2 (ver ACH 1X-2-9), y posiblemente en las escalinatas del Edificio Cacao (ACH 1G-3). Al momento no es posible explicar el momento de este fallo. Aunque puede deberse al extremo saqueo de la estructura, también pudo haber existido desde tiempos ocupacionales. Algo que sugiere esto son unas pequeñas grietas, milimétricas, notadas en el mascarón del Túnel #15 y la curvatura notable del piso que canceló a Bulto y Cacao. Este piso bien pudo haberse curvado por el peso de la superestructura, como se evidencia en varios edificios en toda el área maya. Aquí, sin embargo, la curva es altamente notable y respondería bien con la cantidad de material que fue colocado sobre él. Pero cabe la posibilidad que también se haya producido por algún problema anterior localizado por debajo de él. De cualquier forma se desconoce cuál sea en ese sentido su origen.



Figura 9.88 Pequeño talud con colapso hacia el oeste (Fotografía por E. Arredondo).

Por otro lado, se ha notado otra particularidad del edificio: que fue ampliado constantemente hacia el norte y por lo tanto no constituye un ejemplo en donde la totalidad del edificio es cubierto por una nueva construcción de forma más o menos simétrica o equitativa. La

presencia de Cacao tan cercana a su borde sur, da incluso la apariencia que en ese punto no debería existir un edificio.

Esta situación hace necesario revisar el tercer punto: el de una plataforma bien al sur en la cima de una de las etapas o fases constructivas. Si bien esto es normal en los sistemas constructivos mayas, la evidencia muestra que nuevamente ésta no fue cubierta por mucho material hacia el sur. Se cree que la posición del edificio, al borde de una caída topográfica en este punto puede explicar este comportamiento. La Estructura 5C-01 creció en el punto más al sur de la meseta que ocupa El Achiotal y creció hacia el norte. La correcta distribución de los pesos debiera haber hubiera forzado la construcción de amplias plataformas en el sector sur para poder distribuir los pesos correctamente. Sin embargo, la solución fue ampliar hacia el norte, dejando la fachada posterior del edificio sin refuerzo. Al crecer verticalmente, esta área sostuvo cada vez mayores fuerzas llevando por consecuencia a una debilidad estructural, ahora representada quizás por las fracturas notadas. Se insiste que no se sabe en este momento si los colapsos que se ven en el Saqueo #2, son producto del saqueo mismo o si ya se presentaron en tiempos prehispánicos y con las acciones posteriores solo fueron incrementados.

En cuanto a la presencia y ubicación de la ofrenda múltiple, se ha dicho antes que se esperaba encontrar un muro posterior en la zona investigada. Al encontrar la ofrenda se pensó que esto se había logrado; sin embargo, y aunque aún no se excavó hacia el norte, la presencia de la plataforma notada en el saqueo muestra que la ofrenda se colocó en lo que parecería ser el borde frontal de una plataforma. Esto sería un comportamiento diferente al observado en las unidades ACH 1G-6 y ACH 1G-7, e incluso se puede incluir un pequeño orificio descubierto por Acuña (2013) por detrás de la Estructura Bulto, del cual se sospechó habría sido el nicho de una ofrenda posiblemente extraída o no colocada en su momento. Las circunstancias descritas antes (el crecimiento de la estructura hacia el norte, sin ampliaciones hacia el sur), hacen pensar que se eligió este lugar en vista de la falta de espacio hacia la parte posterior del edificio. Por otro lado, desconcierta la posición respecto de lo que parece ser una esquina de esta plataforma, la cual da un aspecto de que ésta se encuentra hacia el este y no directamente sobre el eje. Esta situación es difícil de explicar y no se comprende el contexto con claridad. ¿Destruimos nosotros los vestigios que esperaríamos estuvieran allí, por causa del mismo saqueo? ó ¿El saqueo lo destruyó y nosotros solo estamos frente a una plataforma cortada en dos? Más investigación es necesaria. Lo cierto es que la ofrenda corresponde bien a un programa observado a través de la historia del edificio,

donde éstas son colocadas al momento de concluir una fase útil del edificio y al momento de inaugurar una nueva, siempre sobre el eje central del mismo.

Lo anterior reforzaría la propuesta que el Piso #1 del Saqueo #7 corresponde a la última construcción realizada en el edificio. Su coincidencia con el cambio de estrato en la Unidad ACH 1G-8 parece apoyar este hecho. De esa forma, se cree que la cercanía con su superficie final, llena de grandes árboles, habría dañado el mismo, luego de quizás una larga exposición al medioambiente a partir de su abandono.

Finalmente, se ha intentado reproducir la secuencia constructiva en esta unidad, y se cree que con seguridad ésta se relaciona directamente a los rasgos observados en el Túnel Superior del Saqueo #2 descrito antes (ACH 1X-2-9). El Piso #3 (ACH 1X-7) fue construido como parte de las construcciones realizadas sobre una gran plataforma observada en dicho saqueo y que presentó grandes piedras quemadas hacia su zona central (al fondo del túnel). Este piso, quizás perteneciente a la cima de la estructura para ese momento, fue cubierto con una capa de relleno de unos 0.5 m y aparentemente tuvo una pequeña plataforma en talud hacia el sur del edificio. Posteriormente, se extendió un nuevo piso (Piso #2, ACH 1X-7) el cual parece preparar un espacio de terraza amplio, y que llega hasta el borde del montículo actual, el cual habría cubierto parcialmente la plataforma en talud recién mencionada. Nuevamente hacia el sur, pero aparentemente sólo en su lado este, se construyó una nueva plataforma baja de unos 0.58 m de alto. En algún momento posterior, se colocó una ofrenda de cinco platos colocada en eje este-oeste sobre el eje central de la estructura, colocándose aparentemente una capa de tierra caliza alrededor de las mismas. Luego, se procedió a colocar un nuevo relleno que parte desde el borde de la plataforma anterior (Piso #2 del Saqueo #7, ACH 1X-7). El borde de la nueva plataforma o terraza coincide con un cambio en la inclinación del montículo, ya que en el perfil del Saqueo #2 se puede observar cómo a partir de este momento la pendiente es mucho más empinada. El relleno elevaría al edificio por aproximadamente 1.2 m, sellándose con el Piso #1 de la Unidad ACH 1X-7. Por sobre éste se habría construido alguna estructura baja, representada por el material en la cima del montículo y que alcanza 1.2 a 1.3 m. Luego de su uso el edificio sería abandonado, y es posible que una piedra de moler notada en la superficie marque el momento final de la vida de la Estructura 5C-01.



Figura 9.89 Vista general del perfil norte de la Unidad ACH 1X-7 (Fotografías por E. Arredondo).

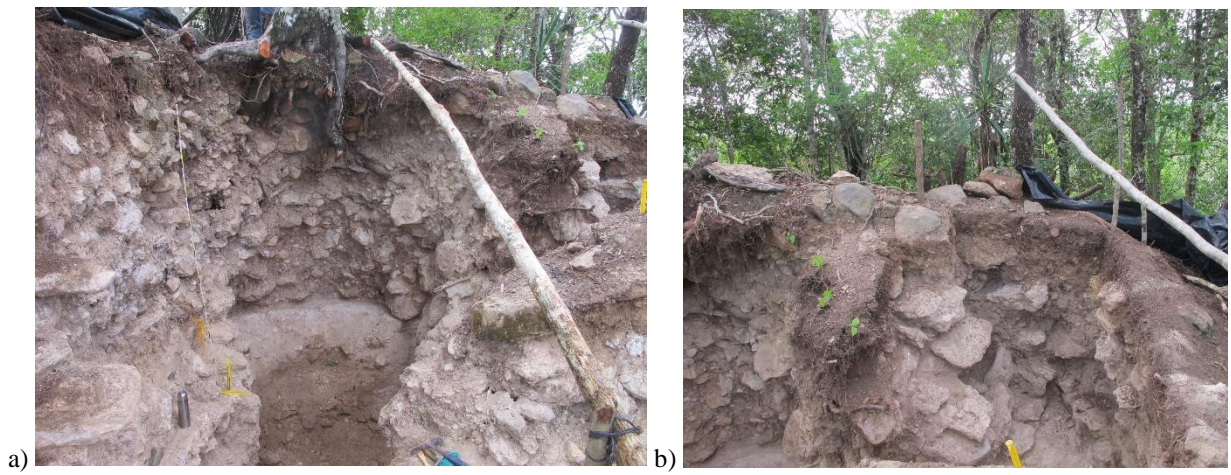


Figura 9.90 Vista general del perfil este de la Unidad ACH 1X-7 (a) y de las unidades ACH 1G-8 y ACH 1G-9 (b) (Fotografías por E. Arredondo).

Conclusiones

Luego de las intervenciones de la Temporada 2016, la concepción de la Estructura 5C-01 se ha ampliado. Si bien aún es difícil conocer a cabalidad toda la secuencia constructiva, la limpieza sistemática de los saqueos ha sido de lo más productiva y en este punto se puede plantear la necesidad de excavaciones puntuales en ciertos sectores para resolver algunas de las dudas al respecto. Lamentablemente, el mal estado de la estructura, debido a la intensa actividad vandálica, pone en riesgo la integridad de la misma y es necesario actuar junto a un programa de consolidación desde la base misma del edificio.

A continuación se hará un intento de descripción de las diferentes fases constructivas del edificio, bajo el entendido que aún es necesario tener los resultados finales del análisis de la cerámica, así como los datos de las alturas y profundidades tomados por el equipo topográfico y que aportarán información importante respecto a la correlación de algunos cuerpos estructurales.

Secuencia constructiva de la Estructura 5C-01

En términos generales la Estructura 5C-01 muestra tres grandes fases constructivas, en donde la última fase estaría representada por el montículo actual, que representa aparentemente un solo momento de construcción final. Por debajo, se logró diferenciar dos grandes fases, ambas con varios momentos constructivos, siendo la de mayor volumen la segunda. Es posible, sin embargo, hablar de dos grandes momentos, los cuales unirían la segunda y tercera etapa, pero se ha dejado esta última por separado en vista que aparentemente canceló todas las anteriores.

Primera Fase

La construcción de lo que sería la Estructura 5C-01 inició con la preparación del terreno por medio de capas de barro oscuro y tierra sobre la roca madre o caliza. Si bien Acuña notó la presencia de estas capas (*Ibid.*: 334-335) es importante señalar que, por las características de las capas de estuco observadas en los perfiles de saqueo, éstas representan capas de estabilización y de locomoción constructiva, más no algún tipo de construcción formal. No obstante, hay que dejar siempre la posibilidad de la existencia de alguna construcción más temprana de menores dimensiones, aunque por el momento no existe ninguna prueba de ello.

Luego de esta preparación de la superficie sur de la meseta, daría inicio la construcción de la gran plataforma, de al menos dos grandes terrazas, denominada 5C-01-sub8. Esta plataforma mostraría varios momentos constructivos durante su uso, iniciando con una plataforma baja al este. Se cree que desde este momento el edificio en su conjunto estaría mostrando una disposición triádica, aunque por el momento la limitada excavación no permite tener pruebas claras sobre este punto. Sin embargo, el comportamiento general de la plataforma y sus edificios añadidos durante esta fase parecen así mostrarlo. La construcción de la Estructura *Sip* (5C-01-sub4) se comporta como otros edificios reportados para el área maya dentro de construcciones triádicas contemporáneas. La Acrópolis Norte en Tikal y el Grupo H Sur de Uaxactun son algunos ejemplos. En ellas, la colocación de un cuarto edificio con doble jamba hace el efecto de “filtro” en cuanto al acceso a un espacio ritual más reservado. La asociación que realiza Acuña (2013: 336) en cuanto al surgimiento del poder sagrado en el sitio parece correcta.

Durante esta fase se ve una constante modificación del espacio, siempre orientado al poder religioso y político, y es posible que desde ya existiera una versión más temprana del Edificio Cacao. Las modificaciones continuaron hasta alcanzar la construcción del Edificio Bulto. Para entonces, esta edificación denota la relevancia de los símbolos de poder para la creciente comunidad de El Achiotal, enmarcada en el canon observado para las Tierras Bajas Centrales del Petén. Con seguridad la versión piramidal de Cacao está presente para este momento y despliega en su fachada el arte monumental expresado por medio del gran mascarón monumental que representa una *Deidad Ave Principal*.

La cronología mostrada por la cerámica recuperada por Acuña (2013) indica que la gran plataforma 5C-01-su8 y sus últimas modificaciones fueron utilizadas durante o hasta el período terminal del Preclásico Tardío, coincidiendo bien con el comportamiento observado en los sitios antes mencionados.

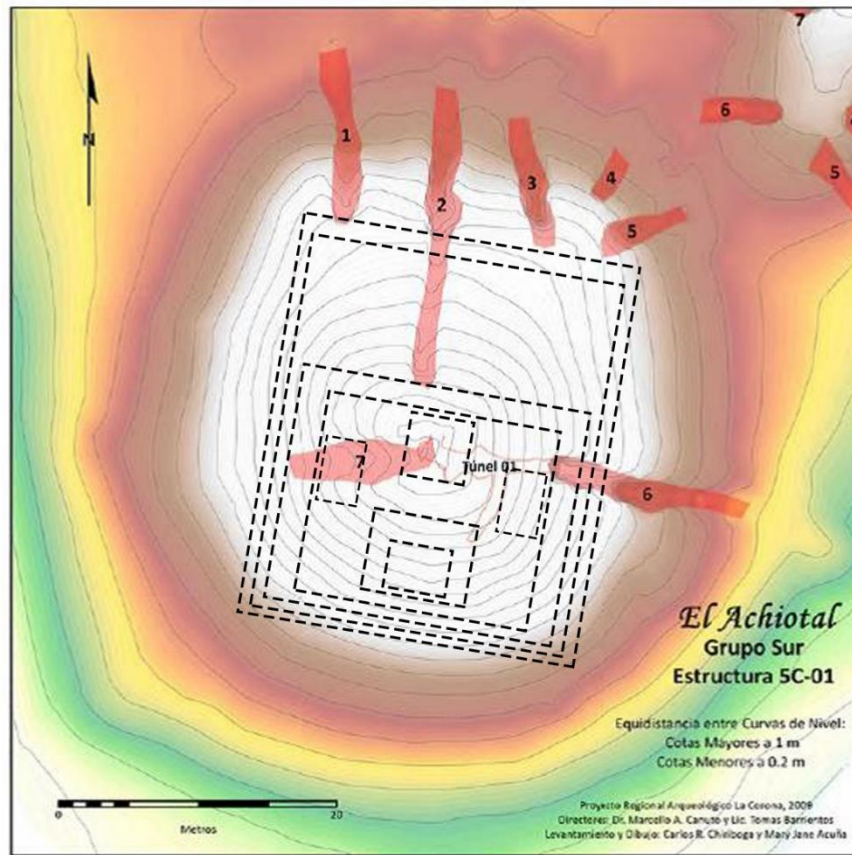


Figura 9.91 Reconstrucción hipotética de la primera fase constructiva completa (Dibujo E. Arredondo).

Segunda Fase

La segunda fase constructiva daría inicio con la clausura de la fase anterior, por medio de una capa de estuco (*Piso Beleb*) que cubre parcialmente a Bulto y Cacao. No se cree que esta capa constituya algún piso de locomoción final, pues cubre parcialmente (a la mitad) al mascarón monumental de Cacao, un comportamiento que no corresponde a lo visto en el área maya, al menos no en nuestra experiencia. Además, este piso procuró no tocar al mascarón. Esta capa constituye entonces una clausura de los edificios, así como una capa de sostén para la aplicación de material de relleno de la siguiente etapa de construcción.

Esta fase tuvo un despliegue volumétrico notable. Corresponde con la construcción de una nueva escalinata de acceso visible en el Saqueo #2, por sobre el Túnel inferior y asociada preliminarmente con los mascarones #2 y #3. Aquí se encuentra el primer problema de correlación de rasgos arquitectónicos, pues esta escalinata se pierde en el perfil y no se logró asociarla con claridad a otros rasgos. Uno de éstos sería la gran plataforma con rocas quemadas descritas en el

Túnel superior del mismo saqueo. Esta gran plataforma cubre el sector sobre Bulto y Cacao y al momento no ha revelado ningún edificio asociada a ella, aunque es posible que cubriera el cuerpo piramidal de Cacao dejando su parte más alta al descubierto. Esto se observa en los ejemplos descritos antes para Uaxactun y Tikal, nuevamente con una coincidencia temporal con El Achiotal. La posibilidad es tentadora más no comprobable por el momento. Por alguna razón, esta nueva construcción fue cubierta por una nueva, lo cual plantea la posibilidad de tomar en cuenta la curvatura del Piso Belej. ¿Se debe a un hundimiento provocado por el gran peso de la gran plataforma? ¿Pudo haber motivado esto la edificación de la nueva construcción sobre ella?

En todo caso, con la siguiente ampliación sobre la gran plataforma con rocas quemadas, el edificio iniciaría una expansión notable hacia el norte. En realidad, con la construcción inicial de esta fase su expansión era ya hacia esta dirección, aparentemente dejando el lado sur sin ampliaciones. La fachada norte se vería ampliada por dos plataformas, una coincidente con la observada unos metros debajo de los mascarones y otra debajo directamente de éstos.

Posteriormente, los mascarones serían cubiertos por una nueva extensión la cual daría sostén a las dos pequeñas estructuras colocadas al centro y por sobre el eje de la Estructura 5C-01. Posiblemente la escalinata principal de la estructura se vería ampliada y se constituiría en una escalinata notablemente ancha. De esta forma, en el primer caso, habría una construcción que al finalizar la primera sección de su escalinata principal, tendría una estructura a manera de plataforma, quizás para la exposición de objetos sagrados, y una estructura piramidal hacia el sur. Poco tiempo después a esta plataforma se le sobrepondría un edificio con un cuarto (Estructura Banca). El cuarto tendría al centro una banca, la cual pudo utilizarse, nuevamente, para la exposición de objetos sagrados o para el asiento de personas.

En la parte sur del edificio, sobre la plataforma con rocas quemadas, se levantaría un cuerpo piramidal que tendría una escalinata de acceso cortada por el Saqueo #2. En el perfil se pudieron ver claramente los escalones que ascienden, incluso pareciera que existieron dos escalinatas superpuestas, pero al momento es difícil discernir si se trata de dos momentos constructivos diferentes. La cima de la plataforma piramidal parece alcanzar la parte superior del saqueo y se pierde de vista en este punto. Sin embargo, en el Saqueo #7, un piso parece representar esta superficie. El Piso #2 de dicho saqueo (ACH 1X-7) parece coincidir en el dibujo de perfil con la altura máxima de la plataforma. Sobre ella y hacia el sur se construiría otra plataforma baja en talud (ver descripción en ACH 1X-7).

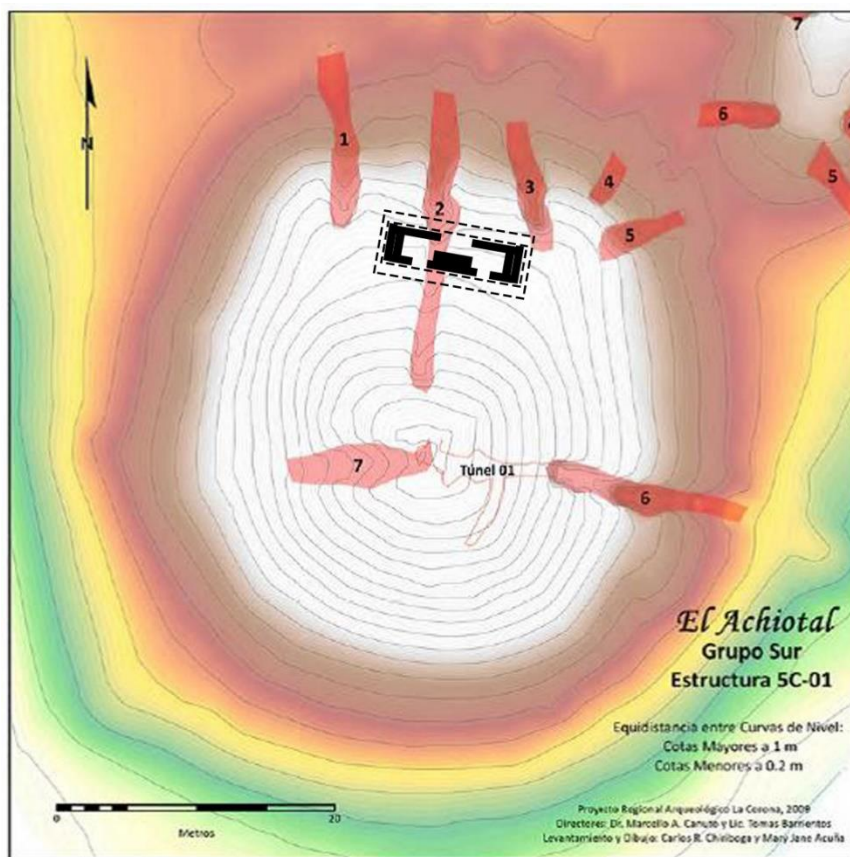


Figura 9.92 Estructura Banca, parte final de la Segunda Fase Constructiva, reconstrucción hipotética (Dibujo E. Arredondo).

Tercera fase

La última fase de construcción estaría datada por la Ofrenda #17, que clausura el pequeño edificio con cuarto y banca central, y la ofrenda dedicatoria al nuevo edificio (Ofrenda #7). Ambas ofrendas están datadas para el Clásico Temprano (250 - 550 d.C.), por lo que se puede decir que la fase anterior debe estar localizada en la transición del Preclásico Tardío al Clásico Temprano, quizás en la etapa terminal del primero. Lamentablemente no se tiene el análisis final de la ofrenda colocada en la banca de la pequeña estructura (Ofrenda #17) y que podría afinar su fechamiento.

Esta nueva etapa de construcción da inicio, como se mencionó, con la clausura del cuarto con banca central y la parte sur del edificio vería la construcción de una gran plataforma piramidal. Sobre su cima, se construiría lo que aparenta ser otra plataforma baja hacia el sur. Sobre el piso que la cubre se colocaría tiempo después una ofrenda de cinco vasijas (ofrendas #18 a #22), clausurando su uso y se levantaría otro cuerpo constructivo que añadiría más altura al edificio

final. Sobre éste, al parecer se realizó otra construcción, pero aún no se sabe si es sólo una plataforma o se trató ya de un cuarto.

Hacia el norte, la nueva ampliación parece haber construido una nueva escalinata de acceso sobre el eje. Esta arrancaría desde un nuevo piso de plaza (Piso #1, ACH 1G-4), que cubriría a un piso más profundo asociado con la Estructura 5C-01-sub8. Hay que mencionar que esta escalinata pudo haber sido construida durante la segunda fase y quizás continuó en funcionamiento desde entonces. La excavación no mostró evidencia de ninguna escalinata anterior, excepto la asociada con la Estructura 5C-01-sub8.

De esta forma el edificio adquirió su forma actual, la de un basamento amplio, con una plataforma que deja un espacio antes del arranque de un edificio piramidal hacia el sur.

Hay que remarcar que en términos generales, los grandes momentos constructivos dieron paso a extensiones de las plataformas hacia el norte y no constituyeron una cobertura total del edificio, por su cercanía con la depresión al sur, muy marcada, lo cual implicaría un esfuerzo constructivo considerable. Esto podría explicar la cercanía de Cacao con el final de la estructura que lo cubre, a diferencia de todas las demás secuencias. Esta misma cercanía al borde de la meseta podría quizás explicar la falla constructiva notada en las últimas secuencias, específicamente en la posible fractura observada en el Saqueo #7. De esa forma, las escalinatas centrales habrían estado en uso constante, mientras las plataformas a sus costados eran ampliadas varias veces.

Finalmente y luego de su vida activa, el edificio sería abandonado y comenzaría un proceso de derrumbe. Sin embargo, los habitantes de El Achiotal continuaron visitando el edificio, al menos durante el Clásico Temprano, colocando algunas ofrendas sobre la antigua ubicación del edificio con banca central. Por el momento, no se cuenta con evidencia que apoye la propuesta de interrupción de la construcción durante éste último momento (ver Acuña 2013: 361-362). El arranque de la escalinata asociada a la clausura de la estructura con banca, está aún en su lugar y continúa hacia arriba. Igualmente el arranque de lo que se supone es la escalinata baja, la cual se asienta sobre un piso de estuco. Sin embargo, no se descarta aún la posibilidad de destrucción de esta etapa, en cuanto faltan muchos sillares o bloques. Pero como mencionamos antes, es posible que éstos se reutilizaran en otras construcciones, durante un periodo de abandono o etapa final de ocupación.

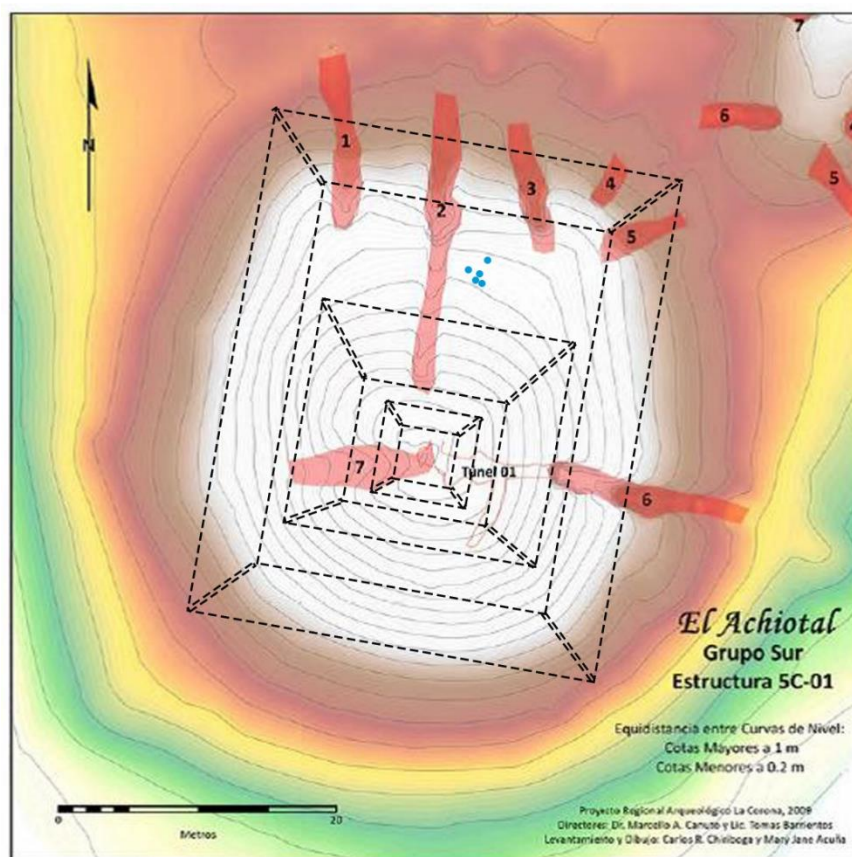


Figura 9.93 Reconstrucción hipotética de la tercera fase constructiva completa y la ubicación de las ofrendas post-abandono. La base no fue completamente rectangular, por lo que esta reconstrucción es únicamente con fines ilustrativos (Dibujo E. Arredondo).

Identificación funcional y semántica de la Estructura 5C-01 a través del tiempo

Con el descubrimiento de la Estructura Cacao, hoy se puede afirmar que desde su inicio, la Estructura 5C-01 tuvo un carácter ritual y político expresado por medio de una disposición triádica (Figuras 9.94 y 9.95). El proceso de adiciones estructurales muestra un comportamiento similar al de otros complejos como este en las Tierras Bajas del centro de Petén. En algún momento del Preclásico Tardío, hacia su fase terminal, la construcción del Edificio Bulto remarcó la importancia de las insignias de poder contenidas en el complejo, ya que su arte monumental encaja bien con el idioma político que se conoce para este período.

Hacia la transición del Preclásico Tardío al Clásico Temprano, el edificio muestra uno de sus momentos más importantes. El edificio Bulto fue enterrado y en su lugar se construyó una pequeña plataforma que posiblemente continuó con la tradición de exponer los símbolos de poder

contenidos en los bultos sagrados. Sin embargo, muy poco tiempo después, un edificio cubrió esta plataforma y se colocó una banca central, la cual podría indicar la transición del poder, contenida en los bultos, hacia la figura del *Ajaw*. Esto es nuevamente coincidente con lo que se observa en toda el área maya. Durante el período Clásico, aparecerían las dinastías y el poder fue representado por la figura de un gobernante. Un ejemplo similar al de esta estructura, en cuanto al plano arquitectónico refiere, es el edificio 5D-26 de la Acrópolis central de Tikal, que luego de varias fases, pasó a contener una banca que en ese caso parece más bien convertirse en un trono utilizado para momentos públicos rituales.

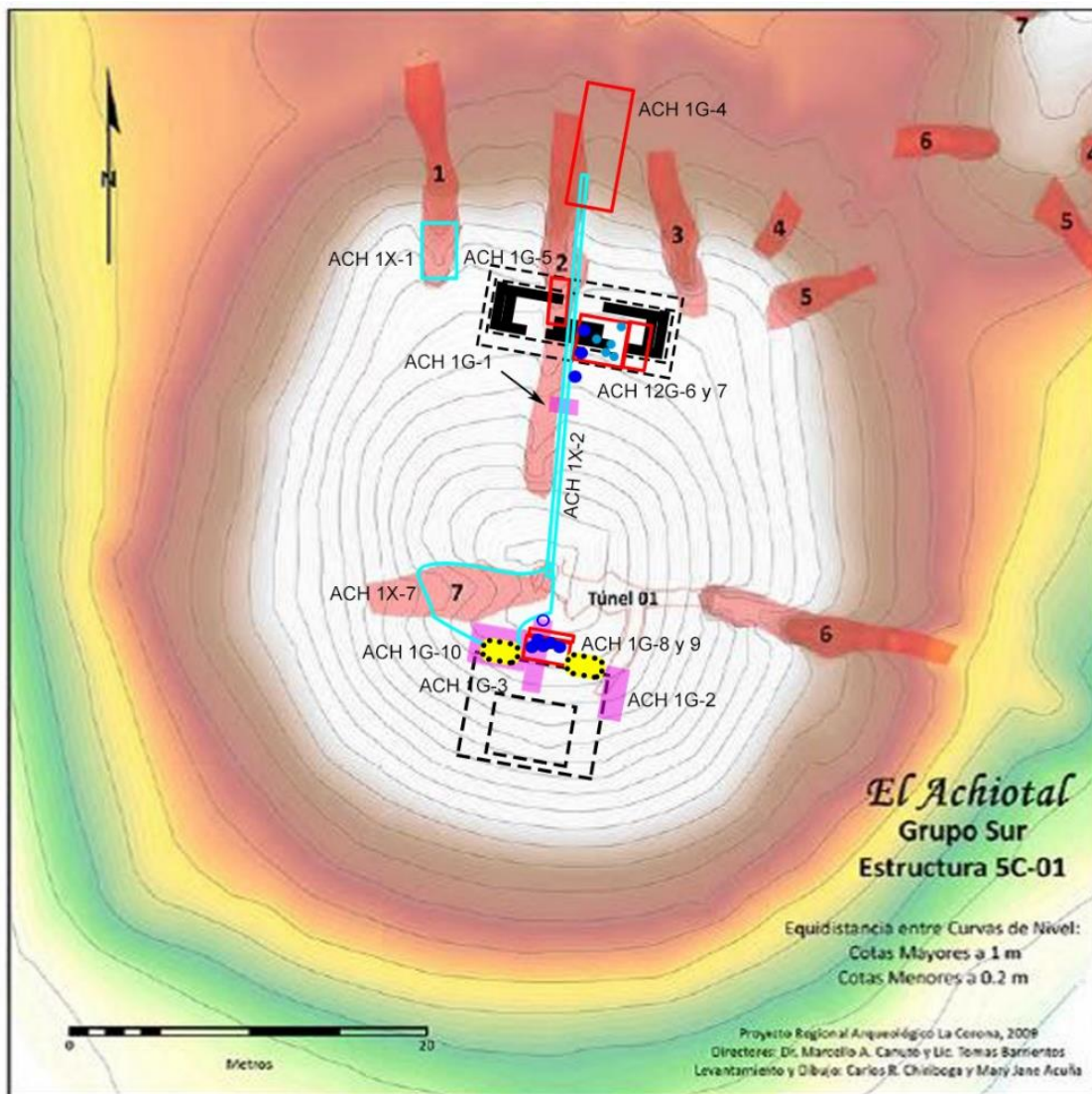


Figura 9.94 Sobreposición de las excavaciones y hallazgos de la Temporada 2016 (Dibujo E. Arredondo).

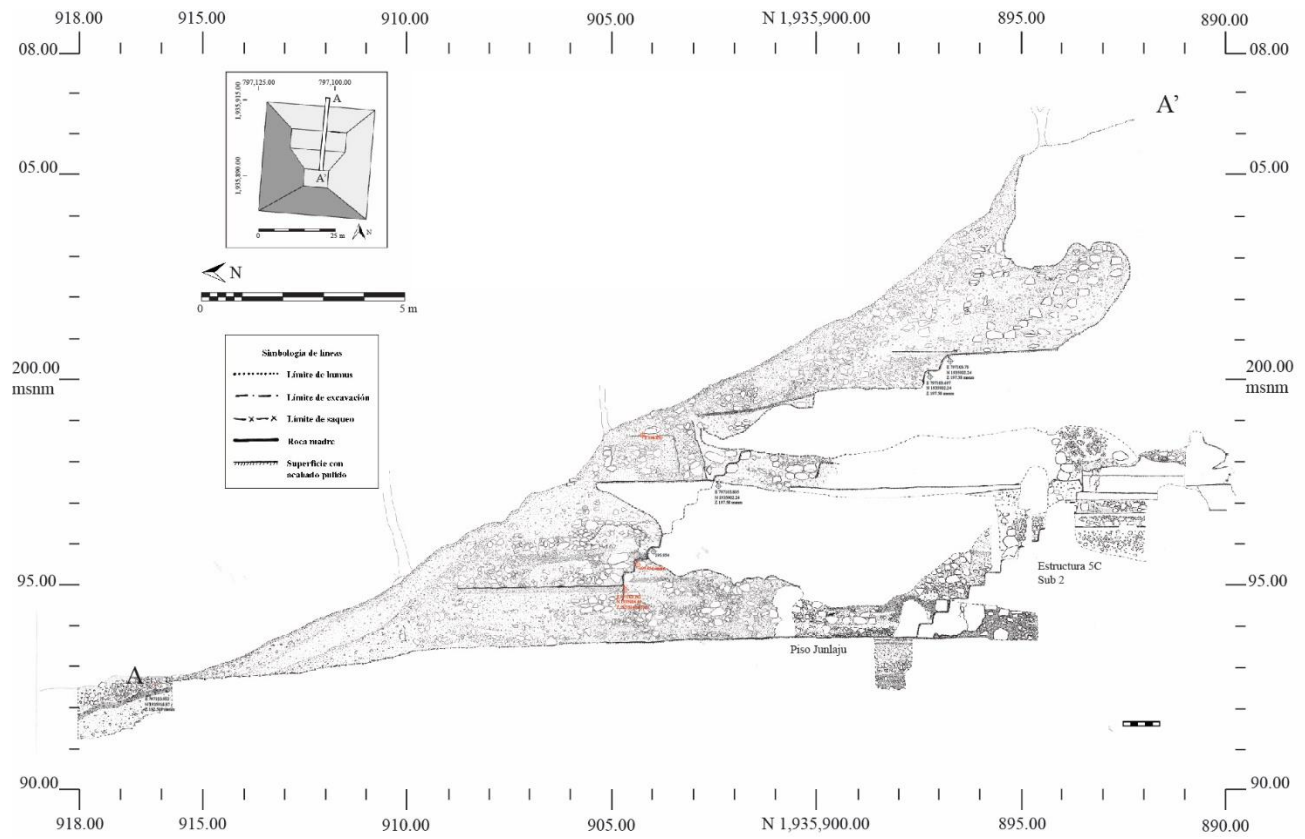


Figura 9.95 Perfil este de la Estructura 5C-01 (Dibujo J. Ajin/ M. Acuña; Calco A. Coronado; Digitalización J. González).

Siempre durante el Clásico Temprano, el edificio mostró un nuevo y final cambio. El cuarto con banca fue clausurado, aunque no olvidado, como se indica por las ofrendas posteriores colocadas sobre él. El edificio se convirtió en una construcción piramidal y parece integrarse a un nuevo plano tripartito, pero esta vez con la participación de las estructuras 5C-02 y 5C-08. Probablemente, este cambio se relacione con la última fase constructiva de la Estructura 4C-11, la cual fue ampliada, alcanzando su máxima extensión para este punto y siendo quizás, la sede residencial del gobernante.

OPERACIÓN ACH3: EXCAVACIONES EN LA ESTRUCTURA 5C-08 DE EL ACHIOTAL

Luke Auld-Thomas

Introducción

La Estructura 5C-08 es un edificio monumental que define el lado este del Grupo Sur del sitio El Achiotal (Figura 10.1). Este consiste de un cuerpo central que se eleva 7 m sobre el piso de la plaza y esta flanqueado por dos alas rectangulares, más pequeñas; junto con las estructuras 5C-01 y 5C-02 forman un arreglo tríadico. La estructura se encuentra severamente dañada por los saqueos realizados en décadas anteriores; un total de 10 trincheras de saqueo penetran el edificio en todos sus lados. En 2015 las excavaciones conducidas por el equipo del PRALC descubrieron una estela del Clásico Temprano resguardada en un recinto en la base del eje central de este edificio (Auld-Thomas *et al.* 2016; Barrientos *et al.* 2016). Este recinto presenta dos renovaciones en el transcurso de dos siglos, antes que la estela fuera finalmente enterrada por un gran depósito de cerámica Tepeu 1 (Clásico Tardío).

Durante la Temporada 2015 las excavaciones realizadas en la sección sur de 5C-08 identificaron un edificio circular, que se encontraba parcialmente expuesto por las trincheras de saqueo, enterrado bajo el ala sur de 5C-08. Este edificio, denominado Estructura Pet, fue cuidadosamente enterrado por los mismos mayas. Fue notable por su excelente estado de preservación, aunque las excavaciones no entraron a su interior (Auld-Thomas *et al.* 2016).

Las excavaciones de la Temporada 2016 iniciaron con dos objetivos: 1) explorar el interior de la Estructura Pet y clarificar su relación estratigráfica con el resto de la Estructura 5C-08; y 2) investigar la historia constructiva de 5C-08 a lo largo de su eje central y tras el recinto de la estela.

Metodología y Nomenclatura

Las excavaciones en la Estructura 5C-08 fueron designadas como Operación ACH 3, con sub-operaciones dirigidas a secciones específicas del edificio; éstas recibieron una designación de letras correlativas, empezando con A. Las trincheras de saqueo, siguiendo el sistema implementado en el sitio, reciben su propio código de sub-operación, LT, seguido por el número correlativo. Con excepción de las trincheras de saqueo, cada sub-operación fue dividida en varias unidades, nuevamente siguiendo números correlativos según fueron excavadas. Cada rasgo cultural, estrato o

cambio en el color o textura del relleno fueron identificados como lotes distintos, con un número empezando con 1 y procediendo en el orden en el que fueron encontrados. Los rasgos arquitectónicos fueron identificados con nombres, sin estar directamente relacionados a sus características, en Ch'olano Común y/o Jeroglífico. Luego de finalizadas las excavaciones, estos lotes fueron agrupados en niveles que reflejan su relación estratigráfica en donde estas pudieron establecerse.

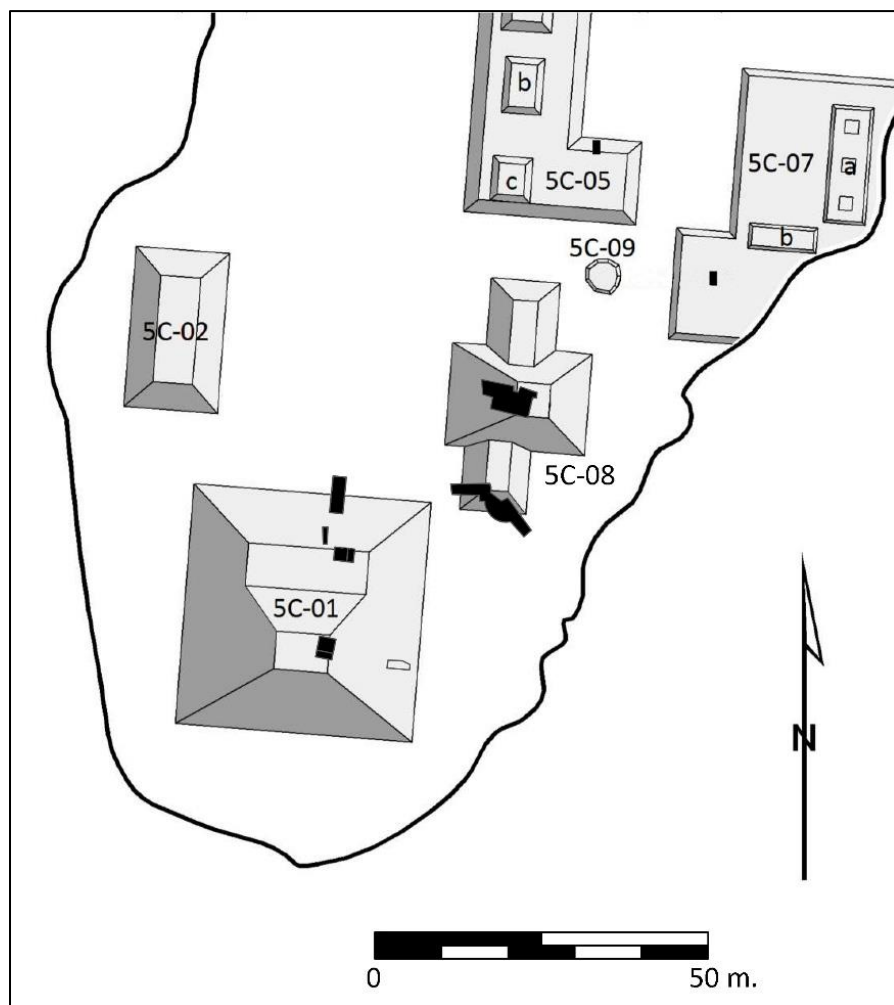


Figura 10.1 Localización de las excavaciones de la Temporada de campo 2016.
(Plano por C. Chiriboga modificada por E. Bustamante, L. Auld-Thomas y P. Estrada).

Sub-operación ACH 3A (Luke Auld-Thomas)

Esa sub-operación fue una trinchera excavada a lo largo del eje central de la Estructura 5C-08, empezando en el muro posterior del recinto de la estela y extendiéndose hasta la cima del

montículo. La excavación fue dividida en siete unidades, cada una de 2 x 2 m. Una pequeña extensión de la Unidad ACH3A-5, que midió 0.3 x 0.6 m, fue denominada como ACH3A-5a, y fue excavada en la cima del montículo y solo encontró un lote de materiales. Todas las unidades utilizaron el mismo *datum*, el cual fue colocado en la cima de la estructura. La parte inferior de esta sub-operación, conformada por las unidades ACH 3A-1 y ACH 3A-2, fueron trazadas sobre una trinchera de saqueo muy superficial, ACH3-LT-3, la cual apenas penetraba más allá del estrato de humus y fue limpiada durante la Temporada de campo 2015. Todos los lotes, niveles, y fases arquitectónicas se encuentran detallados en la Tabla 10.1.

Unidad ACH 3A-1

La Unidad ACH3A-1, de 2 x 2 m, se ubicó inmediatamente al este del recinto de la estela y fue contigua a la Unidad ACH 3O-1, la cual fue excavada durante la Temporada de campo 2015. La Unidad ACH 3A-1 alcanzó una profundidad máxima de 6.17 m bajo el nivel del *datum*, consistentes en 6 lotes que comprenden 5 niveles.

El nivel 1 fue el material de superficie y el humus, el cual se extendió desde la superficie hasta 0.1 m bajo la superficie y consistió de un solo lote. Este material se encontró altamente alterado, puesto que incluye la trinchera de saqueo ACH 3-LT3, la cual fue limpiada durante la Temporada de campo 2015 (Figura 10.2). Como resultado, no se recuperó material de este nivel.



Figura 10.2 Unidades ACH 3A-1 y ACH 3A-2, Nivel 1. Nótese la trinchera de saqueo poco profunda en el centro de las unidades (Fotografía por L. Auld-Thomas)

El nivel 2 consistió de un subsuelo café-rojizo (Lote ACH 3A-1-2) y la fase final de la Estructura 5C-08, que se encontraba muy erosionada. Bajo el subsuelo, a 5.20 m bajo el nivel del *datum*, se encontró una matriz color gris de mayor densidad y con abundantes piedras grandes (Lote ACH 3A-1-3). Esta cambió a aproximadamente 5.60 m de profundidad a una matriz café grisácea de similar densidad pero con menor cantidad de piedras grandes y mucha mayor cantidad de piedras pequeñas de mampostería (Lote ACH 3A-1-4). Este último estrato cubría los escalones de la Estructura *Chahuk* (Figura 3.10), a una profundidad máxima de 6.17 m bajo el nivel del *datum*. Se hallaron 207 fragmentos de cerámica, 5 artefactos de piedra trabajada y 2 muestras de carbón provenientes de este nivel.

El nivel 3 consistió solamente de una capa de estuco deteriorado, encontrada a 4.82 m bajo el nivel del *datum*, la cual fue visible solamente en el extremo este de la unidad y continuó en la Unidad ACH 3A-2. A esta capa de estuco se le denominó como Piso *Yaxun*.



Figura 10.3 Escalinata de la Estructura *Chahuk*. La terraza a la derecha superior es la Estructura *Tokal*, y el rasgo de mampostería en la parte inferior es el muro posterior del recinto de la estela (Fotografía por L. Auld-Thomas).

El nivel 4 corresponde al muro de mampostería del recinto de la estela, el cual se extiende desde 4.64 m hasta 6.17 m bajo el nivel del *datum*. Este muro fue construido con piedra tallada de alta calidad en el interior del recinto de la estela, pero la porción expuesta por la Unidad ACH 3A-1 no presentaba una superficie acabada. Esto indica que el recinto de la estela no tenía una fachada posterior. En su lugar, este muro fue construido adosado a un estrato de relleno arquitectónico, correspondiente al nivel 2 (Lotes ACH 3A-1-3 y ACH 3A-1-4).

El nivel 5 corresponde a la escalinata de la Estructura *Chahuk*, la cual es la misma escalinata descubierta bajo el recinto de la estela, en la Unidad ACH 3O-1 de la Temporada de campo 2015 (Auld-Thomas *et al.* 2016). El muro posterior de este recinto (nivel 4) descansa sobre un escalón a 6.17 m bajo el nivel del *datum*; esta escalinata asciende hasta una elevación máxima de 4.53 m bajo el nivel del *datum* (en la Unidad ACH 3A-2).

Unidad ACH 3A-2

La Unidad ACH 3A-2 fue un pozo de 2 x 2 m localizado inmediatamente al este de la Unidad ACH 3A-1, subiendo sobre la ladera de 5C-08 y a lo largo del eje central. Esta unidad produjo 18 lotes agrupados en 8 niveles estratigráficos, alcanzando una profundidad máxima de 5.24 m bajo el nivel del *datum*.

El nivel 1, humus, se extendió desde la superficie hasta 0.1 m bajo la superficie. Se recuperaron 14 fragmentos de cerámica de este nivel (Lote ACH 3A-2-1).

El nivel dos consistió de un subsuelo café-rojizo mezclado con piedras, tanto de relleno como de construcción; interpretado como el derrumbe del edificio. Este nivel consistió de un solo lote (ACH 3A-2-2) y alcanzó una profundidad máxima de 4.8 m. Se recolectaron 133 fragmentos de cerámica y 5 artefactos líticos provenientes de este nivel.

El nivel 3 corresponde a una ofrenda (Ofrenda 6) colocada dentro de un corte en el Piso *Mo'* (Figura 10.4). La Ofrenda 6 consistió de tres vasijas: un cuenco pequeño (ACH-V011) colocado labio a labio con otro cuenco más grande (ACH-V012), cuya base descansaba sobre un plato (ACH-V013). La ofrenda fue colocada en el eje central de la estructura, con la parte superior de ACH-V011 a 2.66 m bajo el nivel del *datum* y la base de ACH-V013 a 2.86 m bajo el nivel del *datum*. Esta ofrenda se encontró colocada sobre la superficie de estuco del escalón superior de la Estructura *Mus'* (Nivel 5). No se recuperó ningún artefacto de la matriz encontrada dentro de las vasijas. Se recuperó un fragmento de carbón de la matriz que rodeaba las vasijas, aunque no queda claro si esta matriz es contemporánea con la ofrenda o si pertenece a la matriz de la nivelación del piso donde la

ofrenda fue colocada. Caroline Parris, ceramista del Proyecto, identificó las tres vasijas como Águila Naranja, típicas de los escondites del Clásico Temprano (Figuras 10.5, 10.6 y 10.7)



Figura 10.4 Ofrenda 6 *in situ*. A la izquierda, vista en planta que muestra el corte en el Piso Mo'. A la derecha, detalle de las vasijas (Fotografías por L. Auld-Thomas).



Figura 10.5 Vasija ACH-V011 de la Ofrenda 6 (Fotografía por C. Parris)



Figura 10.6 Vasija ACH-V012 de la Ofrenda 6 (Fotografía por C. Parris)

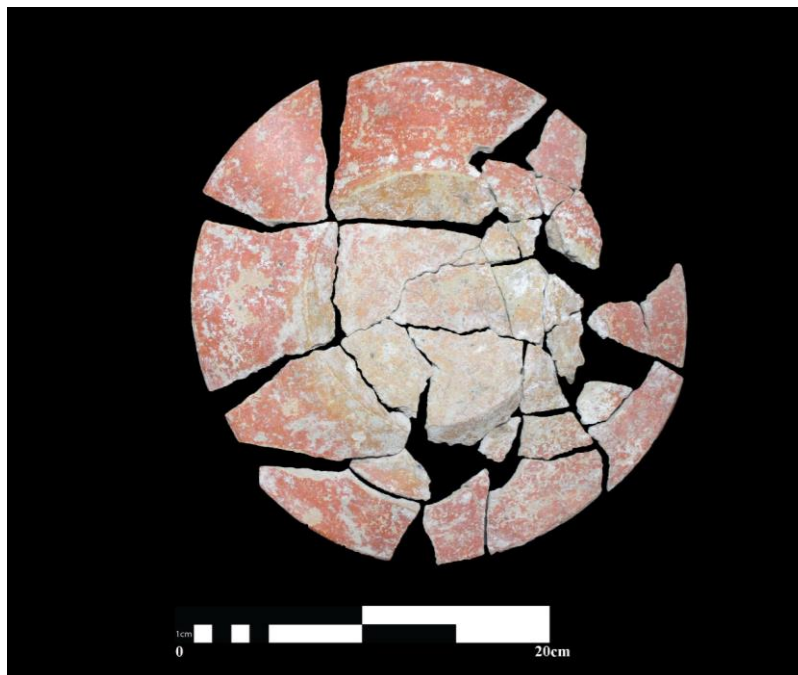


Figura 10.7 Vasija ACH-V013 de la Ofrenda 6 (Fotografía por C. Parris)

El nivel 4 corresponde a un estrato de estuco deteriorado, posiblemente al piso de la fase final y contemporáneo al Piso *Mo'*, el cual había sido cortado para acomodar la Ofrenda 6. Este estrato de estuco se encontró disparejo pero tiene una elevación promedio de 2.64 m bajo el nivel del *datum*. La matriz bajo este piso (Lote ACH 3A-2-5) produjo 30 fragmentos de cerámica y una muestra de carbón.

El nivel 5 corresponde a la arquitectura designada como Estructura *Mus*, junto con una ofrenda terminal (Ofrenda 9), colocada en un corte en la fase arquitectónica anterior y posiblemente simultánea con la construcción de la Estructura *Mus*. La Estructura *Mus* consiste en una superficie de estuco muy deteriorado a 3.42 m bajo el nivel del *datum*, designado como Piso *K'uk'*, sobre el cual se encontró una balaustrada de mampostería adjunta a dos escalones en su lado sur. Un rasgo equivalente y simétrico fue identificado en la Unidad ACH 3A-7, adjunto a los mismos escalones, confirmando la interpretación de este rasgo como una escalinata que se encuentra enmarcada por dos balaustradas cuadrangulares. La Estructura *Mus* fue cubierta por el Piso *Mo'*, el cual estratigráficamente es posterior (Figura 10.8).



Figura 10.8 Estructura *Mus*. A la derecha se observa una balaustrada, la escalinata y el Piso *K'uk'*. La flecha de norte descansa en la Estructura *Tokal* y la escalinata estucada a la izquierda pertenece a la Estructura *Chahuk*. La mampostería en el extremo izquierdo es el muro posterior del recinto de la estela. (Fotografía por L. Auld-Thomas)

La superficie de la balaustrada se encontró a 2.64 m bajo el nivel del *datum*, mientras que el piso en su base, denominado Piso *K'uk'*, fue encontrado a 3.42 m bajo el nivel del *datum*. Un pequeño lote de relleno arquitectónico (ACH 3A-2-10), excavado bajo la balaustrada y el Piso *K'uk'*, presentó 26 fragmentos de cerámica.

Un registro fue excavado entre los escalones de la Estructura *Mus*, con el objetivo de recolectar más información cronológica, sin embargo, este intento se vio frustrado por la aparente ausencia de la arquitectura de la fase precedente (Estructura *Tokal*) bajo los escalones, suscitando dudas sobre la integridad cronológica de este relleno (ACH 3A-2-17). El registro se extendió hasta 4.44 m bajo el nivel del datum, donde se encontró la Estructura *Ik'*.

La Ofrenda 9 fue encontrada en un corte precediendo a los escalones de la Estructura *Tokal* (nivel 6) presuntamente al mismo tiempo que era construida la Estructura *Mus* y por lo tanto designada como parte del nivel 5 (Figura 10.9). Es importante notar que la Ofrenda 9 no se encuentra localizada en el eje central de 5C-08, definido por el recinto de la estela; en cambio se encuentra aproximadamente a 0.4 m al sur del eje, y a una posición equidistante entre las balaustradas de la Estructura *Mus*, lo que representaría un cambio en el eje central del edificio durante esta fase.



Figura 10.9: Ofrenda 9 *in situ* (Fotografía por L. Auld-Thomas).

La ofrenda consistió en dos cuencos Águila Naranja idénticos, de 0.35 m de diámetro, colocados labio a labio (Figuras 10.10 y 10.11). El cuenco superior de la ofrenda (ACH-V021) estuvo a 4.14 m bajo el nivel del datum. La base de la ofrenda se encontró a 4.40 m bajo el nivel del datum. El cuenco superior se encontró quebrado mientras que el cuenco inferior estaba intacto. Se recolectó la matriz encontrada entre ambos platos como muestra de sedimentos, aunque no se encontraron macro artefactos. Las vasijas en esta ofrenda datan para el Clásico Temprano, lo que sugiere preliminarmente que la Estructura *Mus* fue construida para este período.



Figura 10.10 Vasija ACH-V021 de la Ofrenda 9 (Fotografía por C. Parris)



Figura 10.11 Vasija ACH-V022 de la Ofrenda 9 (Fotografía por C. Parris)

El nivel 6 se trata de la arquitectura designada como Estructura *Tokal*, que consiste de tres escalones pobremente preservados que se elevan desde una aparente terraza o piso a 4.82 m bajo el nivel del *datum*, designado como Piso *Yaxun*. El escalón superior alcanzó un nivel de 3.72 m bajo el nivel del *datum*. El estuco que alguna vez cubrió esta escalinata se encontró muy deteriorado, inclusive grandes depósitos de estuco amarillento y denso lavado de la superficie fueron encontrados sobre el Piso *Yaxun*.

Un rasgo interesante de esta fase es la presencia de un bloque de piedra, de 0.3 m de ancho, 0.24 m de alto, y 0.08 m de grosor, dispuesto verticalmente de forma deliberada en el eje central del edificio, sobre el primer escalón de la escalinata de la Estructura *Tokal* (Figura 10.12). En un principio se sospechó que este rasgo pudo haber marcado la presencia de un entierro u otro elemento bajo la escalinata, sin embargo luego de un detallado registro bajo la escalinata no se halló elemento alguno. Los escalones se encuentran inmediatamente sobre la escalinata de la Estructura *Chahuk* (nivel 8), por lo que el significado de este bloque en pie aún resulta enigmático.

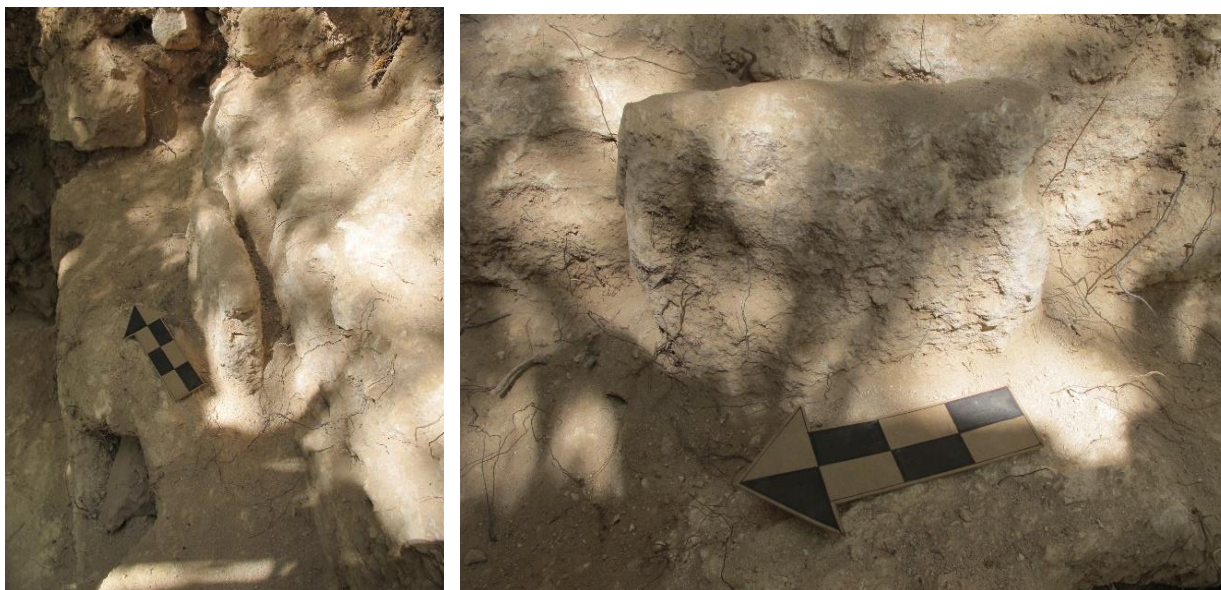


Figura 10.12 Bloque en pie, Estructura *Tokal* (Fotografía por L. Auld-Thomas).

Es importante notar que la construcción de *Tokal* parece haber requerido que parte de la estructura anterior, *Tzatz Ik'*, tuviera que ser cortada. Durante la remoción de *Tokal* se descubrieron los restos de un piso a la misma profundidad que la terraza *Tzatz Ik'*, a 4.46 m bajo el nivel del *datum* e inmediatamente bajo el primer escalón de *Tokal*.

El nivel 7 se trata también de arquitectura, designada como la Estructura *Tzatz Ik'*. Esta fase se encuentra representada por la superficie bien estucada de una terraza a 4.46 m bajo el nivel del *datum*, con un escalón que se eleva desde la terraza hasta una altura de 4.1 m bajo el nivel del *datum* en el extremo este del área excavada. Los remanentes de un piso de estuco, precisamente a la misma elevación que la terraza *Tzatz Ik'*, se encontraron inmediatamente sobre el escalón expuesto de la escalinata de la Estructura *Chauk*. Estos restos son tomados como evidencia que la terraza *Tzatz Ik'* originalmente se extendía aún más al oeste y que fue cortada al momento que *Tokal* fue construida. El nivel corresponde a la arquitectura de la estructura designada como *Chahuk*. Esta fase se encuentra representada por una escalinata muy bien preservada, que se extiende bajo el recinto de la estela hasta al menos 4.52 m bajo el nivel del *datum*, donde ésta fue cubierta por la terraza *Tzatz Ik'*.

Unidades ACH 3A-3, ACH 3A-4, ACH 3A-5 y ACH 3A-6

Estas unidades se describen juntas debido a la estratigrafía superficial que comparten. Todas las unidades fueron de 2 x 2 m y contiguas; y se localizaron al este de ACH 3A-2. Para un resumen de los lotes ver la Tabla 10.1. La interpretación de los rasgos arquitectónicos descubiertos en estas unidades aún presenta problema dado la pobre preservación y el hecho que muchos de los rasgos se extienden más allá de los límites de las excavaciones excavadas esta temporada.

El nivel 1 fue humus y se extiende desde la superficie hasta 0.1 m bajo la superficie. Se recuperaron 22 fragmentos de cerámica y un fragmento de obsidiana en este nivel, ambos en el lote ACH3A-6-1.

El nivel 2 fue un subsuelo café rojizo mezclado con piedras grandes y piedras talladas, interpretado como parte del derrumbe del edificio. Este nivel alcanzó una profundidad máxima de 2.64 m, sobre el Piso *Mo'*. Se recuperaron 1,192 fragmentos de cerámica, 32 fragmentos de obsidiana y 9 fragmentos de pedernal, todo perteneciente a los lotes ACH 3A-3-2, ACH 3A-4-2, ACH 3A-5-2 y ACH 3A-6-2.

El nivel 3 fue arquitectura, designada como Estructura *Ha'al*. Los restos consisten en un piso (Piso *Mo'*) y un muro hecho con piedras finamente talladas del que aún se conservan tres hiladas de mampostería. El punto más alto del muro es a 2.1 m bajo el nivel del *datum* y descansa sobre el piso *Mo'* a 2.64 m bajo el nivel del *datum*. El Piso *Mo'* se encuentra adherido pero no cubre el escalón más bajo en el grupo rasgos arquitectónicos designados como Estructura *K'in* (nivel 4). El muro parece tener una forma de L y corre norte-sur a través de toda el área excavada, pero dobla al este

en el extremo sur de la excavación. Esta última porción del muro topa con los rasgos arquitectónicos en el nivel 4 pero no fue posible determinar si se integra a éstos (estratigráficamente contemporáneo) o simplemente se sobrepone a ellos (más tardío). Sin embargo, dada la relación de este muro con el Piso *Mo'*, se ha asignado a una fase posterior. El muro claramente continúa hacia el norte, más allá del área excavada en esta temporada, y seguramente también sigue hacia el sur.

El nivel 4 se trató también de arquitectura, designada como Estructura *K'in*. Esta fase se encuentra representada por una serie de posibles escalones o cuerpos arquitectónicos de altura y profundidad irregular, y rasgos de mampostería cuadrangular adosados a un posible muro que se eleva desde el escalón inferior. Estos rasgos son difíciles de interpretar, dado que ambos presentan un pobre estado de preservación y el hecho que sus dimensiones horizontales (al igual que el muro perteneciente a la Estructura *Ha'al*) se extiende más allá del área excavada. La parte superior del rasgo cuadrangular estuvo a 1.66 m sobre el nivel del *datum* y su base estuvo sobre el escalón inferior a 2.6 m bajo el nivel del *datum*. Su mampostería también se sobrepone al segundo escalón y aparentemente se junta con el tercero, aunque esta última relación quedó menos que clara. En cualquier caso, todos estos rasgos parecen pertenecer a un solo episodio constructivo. Las excavaciones no penetraron más allá de esta arquitectura (Figura 10.13).



Figura 10.13 Estructuras *Ha'al* (adelante) y *K'in* (atrás) (Fotografías y fotomontaje por L. Auld-Thomas)

Unidad ACH3A-7

La Unidad ACH 3A-7 fue una excavación de 2 x 2 m localizada inmediatamente al sur de la Unidad ACH 3A-22 y al oeste de la Unidad ACH 3A-4. Esta unidad alcanzó una profundidad máxima de 3.4 m y produjo 4 lotes, los cuales fueron agrupados en 3 niveles estratigráficos.

El nivel 1 fue humus, que se extendió desde la superficie hasta 0.1 m bajo la superficie. Este nivel solo contuvo 1 lote que produjo 58 fragmentos de cerámica. Un gran árbol de guaya, muerto recientemente, también se encontraba en esta unidad y fue removido hasta las raíces; la presencia de este árbol sin duda produjo disturbios significativos en los restos superficiales y enterrados a poca profundidad.

El nivel 2 se trata de un subsuelo café rojizo mezclado con un gran número de piedras, extendiéndose hasta una profundidad máxima de 3.4 m bajo nivel del *datum*. Este nivel contuvo solo un lote, el cual produjo 31 fragmentos de cerámica. Además, tras la remoción del árbol de guaya, se descubrieron los restos de tres vasijas, dos rotas y una intacta, en el área de las raíces del árbol. La vasija intacta fue designada como Ofrenda 23 y no queda claro si las otras dos vasijas originalmente comprendían una ofrenda aparte o si eran parte de la misma. Por el bien de “separar” en vez de “agrupar” cosas que originalmente pudieron haber estado separadas, estas dos vasijas fueron consideradas juntas como la Ofrenda 25.

La Ofrenda 23 fue descubierta mezclada con el relleno (ACH 3A-7-2) en la zona de las raíces del árbol de guaya a una profundidad de 2.6 m (Figura 10.14). Esta consiste de una vasija miniatura intacta (ACH-V038) cuyo borde presentó un diámetro de 0.03 m; el tipo es indeterminado (Figura 10.15).

La Ofrenda 25 consistió de los fragmentos de dos vasijas que se encontraron parcialmente (ACH-V041 y ACH-V042). Ambas vasijas fueron cuencos Águila Naranja de paredes cóncavas, típicos del Clásico Temprano (Figuras 10.16 y 10.17). Se recuperó 50% de ACH-V041 y el 47% de ACH-V042.

El nivel 3 fue arquitectura perteneciente a la Estructura *Mus*, y comprendió un piso de estuco (Piso K'uk') a 3.4 m bajo el nivel del datum; una balaustrada cuadrangular (simétrica con la expuesta en ACH 3A-2); y un muro sobresaliente o alineamiento de piedras trabajadas que se extiende al sur de la balaustrada. La mampostería se encontró conservada en su mayor parte, aunque el Piso *Mo'* que cubría el rasgo simétrico en ACH 3A-2 no se encontró aquí, sin duda destruido por las raíces del árbol de guaya que se encontró en esta unidad.



Figura 10.14 Ofrenda 23 *in situ*. Las piedras a la izquierda corresponden al muro norte-sur de la Estructura *Ha'al* (Fotografía por L. Auld-Thomas)



Figura 10.15 Vasija ACH-V038 de la Ofrenda 23 (Fotografía por C. Parris)



Figura 10.16 Vasija ACH-V041, de la Ofrenda 25 (Fotografía por C. Parris)

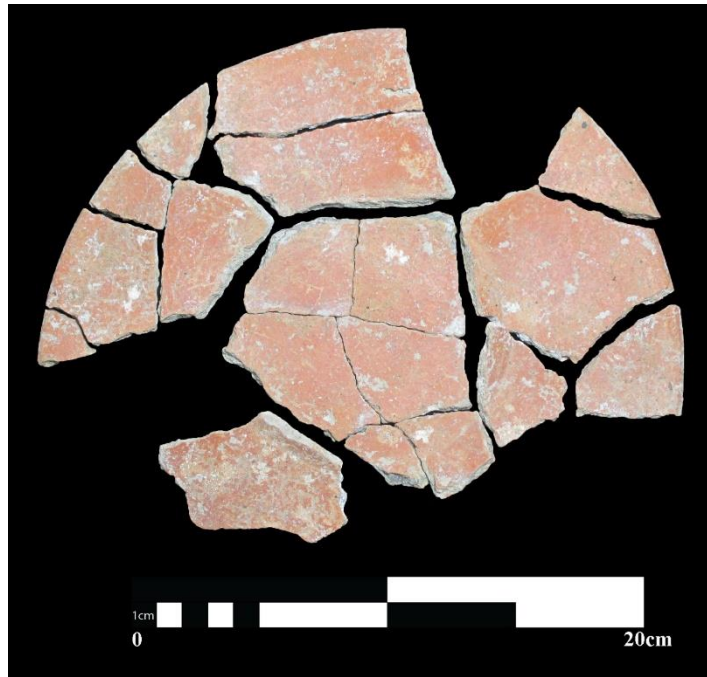


Figura 10.17 Vasija ACH-C042 de la Ofrenda 25 (Fotografía por C. Parris)

Fase (Pisos)	Datación preliminar	Unidad: Nivel	Lotes
Ha'al (Mo')	<i>Clásico</i>	ACH3A-2: Nivel 4 ACH3A-3, -4, -5, -6: Nivel 3	ACH3A-2-3, ACH3A-2-5, ACH3A-2-8, ACH3A-3-3, ACH3A-3-4, ACH3A-4-3, ACH3A-4-4
K'in	<i>Clásico</i>	ACH3A-3, -4, -5, -6: Nivel 4	ACH3A-3-5, ACH3A-4-5, ACH3A-5-3, ACH3A-6-3
Mus (K'uk')	<i>Clásico Temprano</i>	ACH3A-2: Nivel 5 ACH3A-7: Nivel 3	ACH3A-2-6, ACH3A-2-9, ACH3A-2-10, ACH3A-2-11,

			ACH3A-2-12, ACH3A-2-16, ACH3A-7-3, ACH3A-7-4
Tokal (Yaxun)	<i>Clásico Temprano</i>	ACH3A-2: Nivel 6	ACH3A-2-13, ACH3A-2-14, ACH3A-2-15
Tzatz Ik'	<i>Desconocido</i>	ACH3A-2: Nivel 7	ACH3A-2-18
Chahuk	<i>Preclásico Tardío</i>	ACH3A-2: Nivel 8	ACH3A-1-5

Tabla 10.1 Resumen de niveles y lotes (Tabla por L. Auld-Thomas)

Interpretaciones de la Sub-operación ACH 3A

La fase constructiva más temprana, Estructura *Chahuk*, precede la construcción del recinto de la estela; por lo que puede ser del Preclásico Tardío o inclusive de fechas muy tempranas en el Clásico Temprano, tal como lo sugiere el estilo de la mampostería y el estuco (Figuras 10.18, 10.19 y 10.20). Una renovación de la escalinata de este edificio se designó como Estructura *Tzatz Ik'*. Esta fase incluye una terraza o descanso a 4.46 m bajo el nivel del *datum*, la cual pareciera que originalmente se extendía más hacia el oeste, antes de ser cortada durante la construcción de la Estructura *Tokal*. Esta última estructura presentó el arranque de una escalinata pobremente preservada que partía de una aparente terraza (Piso *Yaxun*) a 4.82 m bajo el nivel del *datum*, con una piedra parada colocada en el escalón más bajo y en el eje central del edificio. Es incierto si las estructuras *Tokal* o *Tzatz Ik'* fueron construidas en una fase contemporánea a la construcción del recinto de la estela, aunque *Tokal* parece el candidato más probable, dada la elevación de la terraza en la que fue construida, que al ser proyectada pareciera topar con la bóveda del recinto. La terraza pudo haber topado con la cámara de la estela e inclusive haber topado con el mismo arranque de la bóveda, minimizando el peso de la misma.

La Estructura *Tokal* fue enterrada por la Estructura *Mus*, probablemente durante el período Clásico Temprano, puesto que la Ofrenda 9 –consistente de dos cuencos Águila Naranja colocados

labio a labio- fue colocada dentro de un corte en *Tokal*, lo que concuerda con la construcción de la Estructura *Mus*. La construcción de esta última fase cambió el eje central del edificio aproximadamente 0.4 m al sur, con la Ofrenda 9 colocada en el nuevo eje; aunque la orientación angular se mantuvo igual. *Mus* consistió de una terraza (Piso *K'uk'*), con una escalinata central de 1.2 m de ancho y flanqueada por dos balaustradas rectangulares que se elevan en la cima de la plataforma.

La relación estratigráfica entre las sub-estructuras *Mus*, *Ha'al* y *K'in* no es clara. La Estructura *Ha'al* parece ser la última, ya que su Piso *Mo'*, se localiza sobre el escalón superior de la Estructura *Mus* por unos 0.15 m y topa con el escalón más bajo de la Estructura *K'in*. Ese escalón parece continuar bajo el Piso *Mo'* y puede conectarse con algún componente no descubierto de la Estructura *Mus*, talvez una terraza que se extiende del escalón más elevado de esa fase. Sin embargo por ahora, ante la falta de buena evidencia, estos rasgos se tratarán preliminarmente de forma separada.

Los restos arquitectónicos designados como *Ha'al* y *K'in* no parecen alinearse con el eje central del edificio. De hecho, el muro de *Ha'al* de mampostería de piedras finamente cortadas accede a la cima del montículo a través de las escalinatas tempranas (*Chahu*, *Tzatz Ik'*, *Tokal*, y *Mus*). Una posible explicación de esta discrepancia es que *Ha'al* representa una reocupación tardía, posiblemente residencial, en la cima de la Estructura 5C-08, que reutilizó las piedras finamente cortadas, que antes pudieron pertenecer a un edificio del Clásico Temprano.

Una observación interesante que emerge de la Operación ACH 3A es que se observa una secuencia constructiva aglutinada y continua de renovaciones del Preclásico y Clásico Temprano en la escalinata central de la Estructura 5C-08. Vale la pena notar que la fase más temprana documentada, *Chahuk*, muestra poca evidencia de deterioro o desgaste anterior a que el edificio fuera enterrado por la construcción del recinto de la estela y *Tokal* (estructuras posiblemente contemporáneas). De hecho, probablemente sufrió una renovación menor o expansión (*Tzatz Ik'*) entre ambas fases. Esto argumenta en contra de un hiato constructivo al final del Preclásico Tardío, sugiriendo que la continuidad ocupacional e institucional en El Achiotal del Preclásico Tardío hasta el Clásico Temprano, con un posible abandono o una disminución dramática en la inversión de construcción monumental durante la transición al Clásico Tardío.

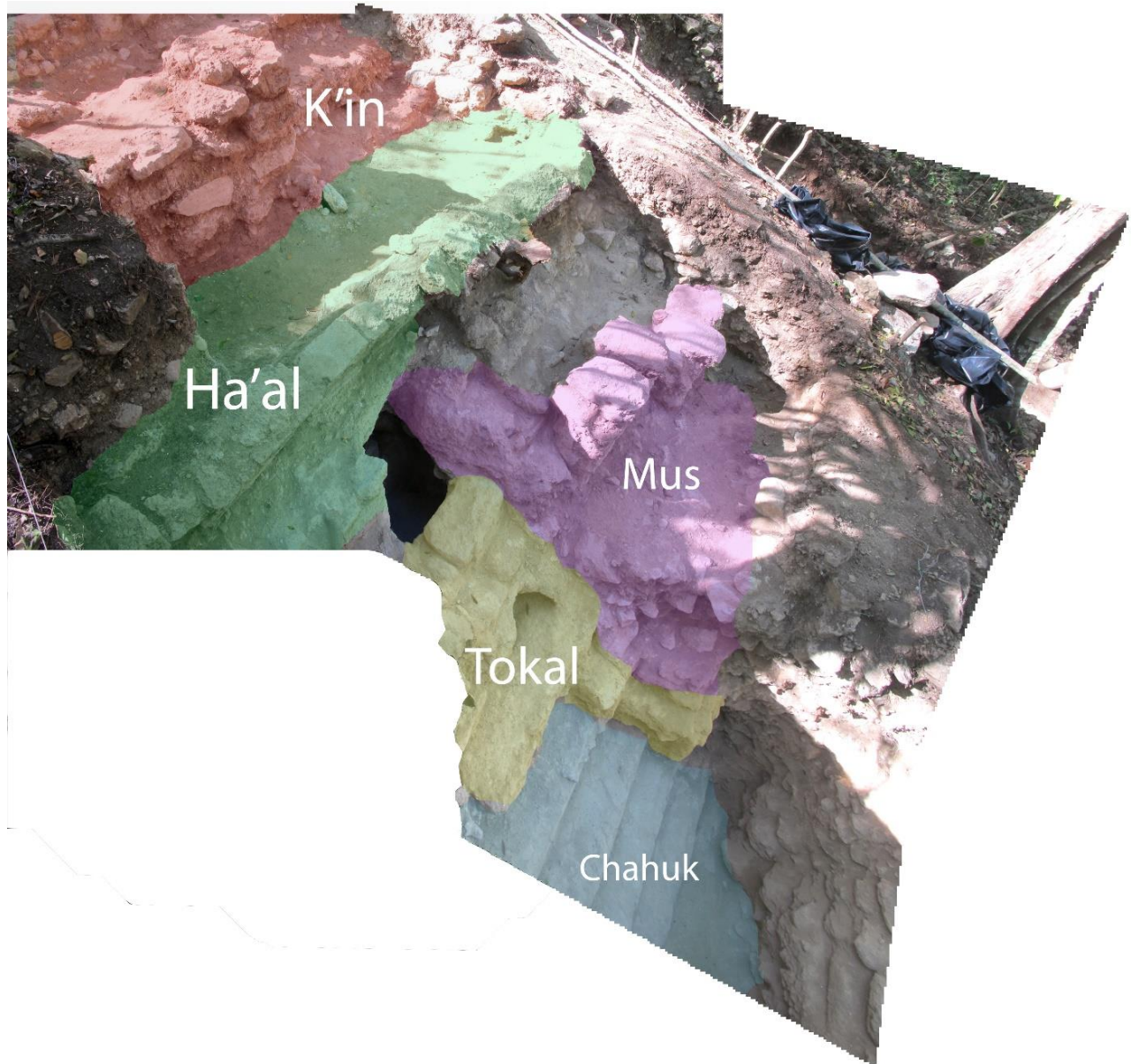


Figura 10.18 Fases arquitectónicas de la Estructura 5C-08, identificadas en la Operación ACH 3A (Fotografías y fotomontaje por L. Auld-Thomas)

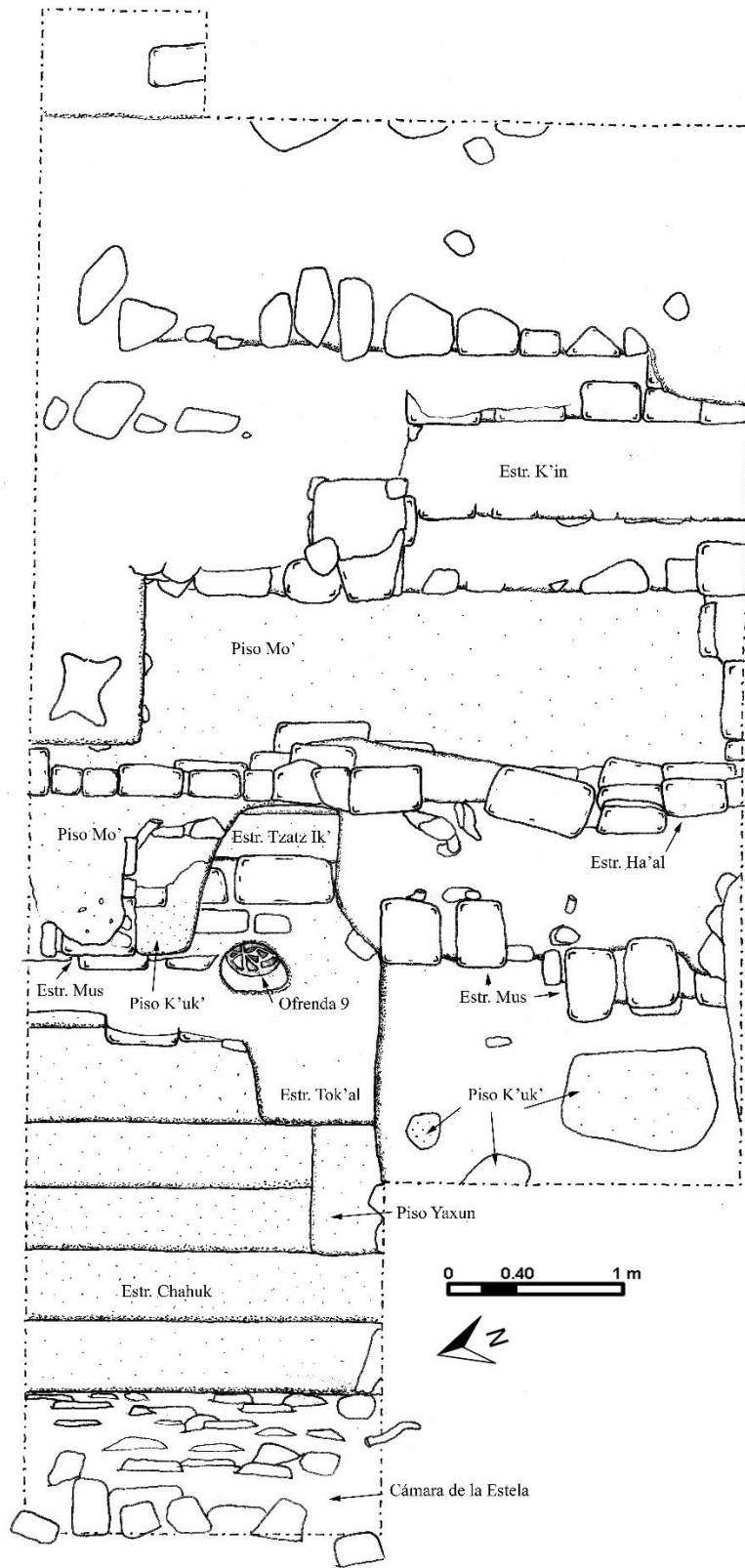


Figura 10.19 Planta final de la Sub-operación ACH 3A (Dibujo por L. Auld-Thomas)

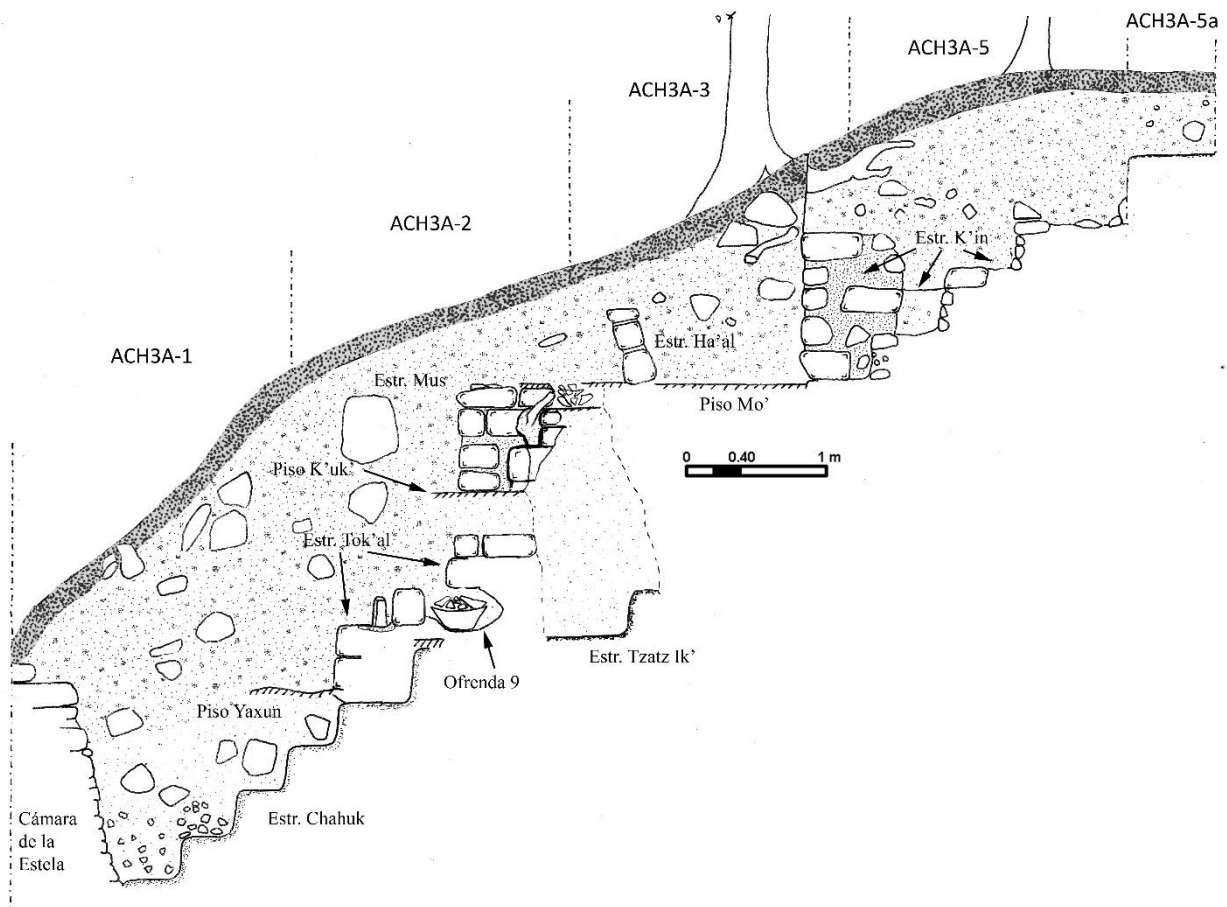


Figura 10.20 Perfil norte de la Sub-operación ACH 3A (Dibujo por L. Auld-Thomas)

Sub-Operación ACH 3LT-2 (Pablo Estrada)

La Sub-operación ACH 3LT-2 se localizó al oeste de la Estructura 5C-08, aproximadamente a 10 m al norte de la unidad ACH 3LT-1 (Auld-Thomas *et al.* 2015). La limpieza dio continuidad a la intervención realizada por Mauro Montejo en la Temporada 2015, quién por la limitante de tiempo no concluyó con la remoción de la totalidad del derrumbe y del relleno de saqueo. La unidad concluyó con unas dimensiones de 5.4 m de largo por 1.55 m de ancho y una altura máxima de 4.84 m; y en los perfiles se logró determinar la presencia de dos pisos estucados y dos cistas, así como una adicional dentro de un túnel (Figuras 10.21 y 10.22). Los lotes, por proveer de contextos alterados y transgredir los estratos culturales, no fueron agrupados en niveles.

Lote ACH 3LT-2-1: consistió en el relleno de saqueo y derrumbe localizado en la parte oeste de la unidad. En él se localizaron 228 tiestos cerámicos y una pieza cerámica parcialmente completa. Su dimensión fue de 2.10 m de largo por 1.85 m de alto.

Lote ACH 3LT-2-2: comprendió el relleno de saqueo proveniente del túnel y se logró recuperar dos tiestos cerámicos. Las proporciones del lote son 1.80 m de largo por 1.55 m de alto.

Lote ACH 3LT-2-3: este lote consistió en el relleno de saqueo de la cista localizada dentro del túnel. De este lote se recuperaron 2 tiestos cerámicos y constó de 0.70 m de largo por 1.55 m de alto.

Lote ACH 3LT-2-4: corresponde al perfil norte de la unidad, el cual requirió la remoción de 0.3 m de tierra para la limpieza del perfil, con la finalidad de determinar la existencia de fases constructivas en la unidad. En él se logró extraer 84 tiestos cerámicos y determinar la existencia de dos fases constructivas, una localizada a 1.3 m y otra a 3.2 m sobre el nivel del suelo.

Lote ACH 3LT-2-5: perfil sur de la unidad, el cual cumple con la misma finalidad que el lote 4. El lote requirió la extracción de 0.45 m de tierra para su limpieza, donde se recuperaron 117 tiestos cerámicos y una vasija parcialmente completa. Asimismo, se determinaron dos fases constructivas.

Realizada la excavación se determinaron los siguientes niveles estratigráficos:

Nivel 1: corresponde al humus, el cual constó de una profundidad que oscilo de 0.14 a 0.4 m.

Nivel 2: tierra de color café con piedras pequeñas, con una profundidad de entre 0.26 a 0.39 m.

Nivel 3: consiste en tierra fina de color café claro con piedras de diversas proporciones. Se localizó a una profundidad que varía entre 0.1 y 1.2 m.

Nivel 4: relleno constructivo, conformado por tierra blanca con piedras de diversas proporciones. Tuvo una profundidad de 0.7 a 3.3 m.

Nivel 5: tierra de color negra, ubicada en el oeste de la unidad, a una profundidad que varía entre 0.2 y 0.8 m.

La limpieza de la unidad logró determinar la existencia de dos fases constructivas en la estructura, una de ellas a 3.2 m de profundidad (2.79 m respecto al *datum*), coincidiendo con un piso en la Unidad ACH 3LT-3, lo que podría significar la continuidad del mismo (Auld-Thomas *et al.* 2015 comunicación personal). Asimismo, se realizó la investigación de la tercera cista, localizada dentro del túnel, la cual presentaba escaso material cultural, posiblemente por el saqueo que la unidad presentaba.



Figura 10.21 Perfil norte de la Unidad ACH 3LT-2 de la Estructura 5C-08, donde se observan las fases constructivas (Fotografía por P. Estrada)

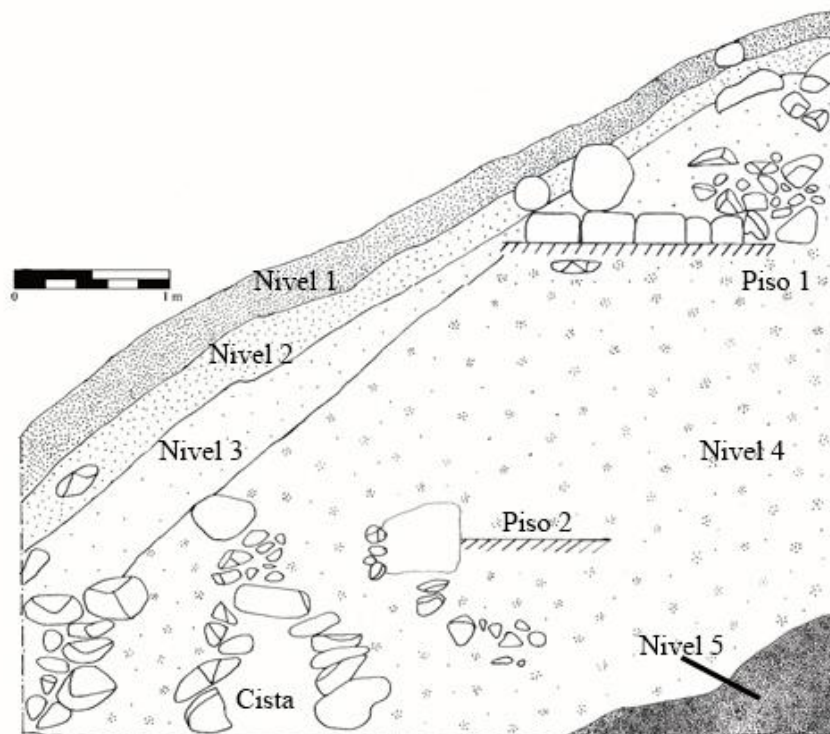


Figura 10.22 Perfil norte de la Unidad ACH 3LT-2 de la Estructura 5C-08. (Dibujo por P. Estrada)

Sub-operación ACH 3LT-10 (Pablo Estrada)

La Trinchera de Saqueo 10 penetró la parte posterior del ala sur de la Estructura 5C-08. Una inspección de la trinchera previa a su limpieza mostró lo que parecían ser los restos del muro posterior este de la Estructura *Pet*, visible en los dos perfiles. Por esta razón, ambos perfiles de la trinchera fueron limpiados previamente a realizar una excavación controlada enfocada en *Pet*. Luego de limpiar el colapso, el perfil sur de ACH 3LT-10 fue incluido en las excavaciones controladas de ACH 3B-1. No se asignaron niveles a la Sub-operación ACH 3LT-10 puesto que se asumió que todo el material estaba mezclado.

El Lote ACH 3LT-10-1A fue una mezcla de tierra removida por los saqueadores y el colapso subsecuente. Este lote se extendió hasta la roca madre a una profundidad de 5.24 m bajo el nivel del *datum*. Se recuperaron 30 fragmentos de cerámica, dentro de los cuales se encontró una vasija efigie fragmentada (Figura 10.23). Este tipo de vasijas fueron comunes durante el período Clásico (C. Parris comunicación personal).

El Lote ACH 3LT-10-2 fue asignado a lo que se pensó que era una ofrenda descubierta en la superficie adyacente al perfil norte de la trinchera, cerca de la cima del montículo. Este rasgo fue descubierto mientras se removía la capa de humus de los lados de la trinchera. Fue designado como Ofrenda 8.



Figura 10.23 Ofrenda 8 *in situ* (Fotografía por P. Estrada)

La Ofrenda 8 consistió de 2 vasijas. La primera fue un cuenco tetrápode con tapa, de 0.21 m de diámetro, perteneciente al grupo cerámico Dos Arroyos (la tapa y la base recibieron números de vasija separados: ACH-V018 y ACH-V019 respectivamente) (Figuras 10.24 y 10.25). La segunda vasija fue un cuenco grande, de paredes divergentes tipo Águila Naranja (ACH-V020) colocado boca abajo sobre el tetrápode con tapa (Figura 10.26). Las tres vasijas fueron encontradas rotas. Se recuperó el 75% del cuenco con paredes divergentes; mientras que solo se recuperó el 60% del cuenco tetrápode y su tapa. La fecha para estas vasijas es seguramente para el Clásico Temprano, y el tetrápode muestra similares modales a las vasijas de los complejos Tzakol I y Tzakol II (C. Parris comunicación personal).



Figura 10.24 Vasija ACH-V018 de la Ofrenda 8 (Fotografía por C. Parris)



Figura 10.25 Vasija ACH-V019 de la Ofrenda 8 (Fotografía por C. Parris)



Figura 10.26 Vasija ACH-V020 de la Ofrenda 8 (Fotografía por C. Parris)

Las circunstancias alrededor de la deposición de la Ofrenda 8 son inciertas. Inicialmente se pensó que se trataba de un depósito antiguo intencional; sin embargo, la ceramista del proyecto Caroline Parris, notó que la preservación del tratamiento de superficie en el tetrápode con tapadera es inusualmente buena para una vasija que se dejó en la superficie por más de 1,500 años. Por esta razón ahora se piensa que estas vasijas pudieron haber sido encontradas por los saqueadores y se rompieron luego tras ser dejadas en la superficie. No obstante, este escenario no se adecua del todo bien a la colocación del cuenco *Águila Naranja* sobre el tetrápode (lo cual pudo haber contribuido al buen estado de conservación), así como no explica las porciones perdidas de cada vasija. Por el momento, a pesar de lo problemático que pueda ser, la explicación más probable que queda es que la Ofrenda 8 se trata efectivamente de una ofrenda dejada en la superficie.

Luego de la limpieza, se pudieron observar claramente varios rasgos en el perfil norte de la trinchera. El muro posterior (o este) de la Estructura *Pet* fue claramente visible, con una superestructura sobre una plataforma de mampostería de 1.12 m de alto. El muro de la superestructura presento estuco en ambas caras, mientras que la plataforma solo presentó estuco en su cara exterior. El piso del cuarto interior presenta estuco de excelente calidad muy bien conservado (Figura 10.27). El relleno del cuarto en sí fue hecho con *sascab* duro color amarillo-blanquecino, en el cual se encontró incrustados una gran cantidad de estuco modelado y pintado (Figura 10.28). Probablemente estos se tratan de los fragmentos de un Mascarón.



Figura 10.27. Perfil norte de la Sub-operación ACH-LT10 (Fotografía por L. Auld-Thomas)



Figura 10.28 Detalle de fragmentos de estuco pintado y modelado encontrados en el relleno de *sascab* (Fotografía por L. Auld-Thomas)

Pareciera que la Estructura *Pet* fue rellena por completo y enterrada por la fase posterior de la Estructura 5C-08, aunque en esta trinchera no se pudieron observar restos de arquitectura tardía. De hecho, la porción este de la Estructura *Pet* solo se conservó hasta una altura de 0.45 m, indicando que hubo una destrucción significativa de este edificio a causa del clima y la erosión. Un piso bien terminado (Piso *Kuy*) con tres capas de bandas blancas, cafés y grises fue visible en el

interior de la plataforma, a 0.52 m bajo el piso de *Pet* y a una elevación de 4.12 m bajo el *datum*, pero no se extiende hasta el exterior de la plataforma en su lado este. Es posible que este fue cortado concurrentemente con la construcción de *Pet*. Este piso enterrado es problemático puesto que está a la misma elevación del piso de plaza documentado en el exterior de la fachada oeste de *Pet* durante la Temporada 2015, aunque el relleno bajo ellos es diferente. Si no se penetra la fachada de *Pet* será difícil resolver esta relación confusa.

Sub-operación ACH 3B (Luke Auld-Thomas)

Esta Sub-operación fue excavada en el lado sur de la Estructura 5C-08 con el objetivo global de explorar el interior de la Estructura *Pet*, cuya fachada fue parcialmente expuesta por la trinchera de saqueo ACH 3LT-1 y la excavación controlada ACH 3S-1 durante la Temporada 2015. La sub-operación consistió de una sola unidad, ACH 3B-1. Todos los lotes, niveles, y fases arquitectónicas se resumen en la Tabla 10.2.

Unidad ACH 3B-1

La Unidad ACH 3B-1 empezó como una trinchera de 1 x 2 m localizada sobre la puerta de la Estructura *Pet*, antes de extenderse para exponer todo el interior de la estructura. Las dimensiones finales fueron de 5 x 3 m, y alcanzó una profundidad de 5.24 m hasta la roca madre. La excavación produjo un total de 13 lotes, los cuales fueron agrupados en 5 niveles estratigráficos.

El nivel 1 corresponde a humus, extendiéndose desde la superficie hasta 0.1 m bajo la superficie.

Este nivel consistió de un solo lote, ACH3B-1-1, del cual se recuperaron 9 fragmentos de cerámica.

El nivel 2 fue un subsuelo café rojizo que se extiende desde 0.1 hasta 3.15 m bajo el nivel de la superficie, en el extremo este de la excavación, donde el colapso del edificio había comprometido la mayor parte de la Estructura *Pet* y su relleno. Este nivel consistió de dos lotes (ACH 3B-1-2 y ACH 3B1-5), los cuales produjeron 51 fragmentos de cerámica y 3 fragmentos de pedernal.

El nivel 3 fue un piso parcialmente conservado a 1.72 m bajo el nivel del *datum*. Este se encuentra sobre la jamba norte de la Estructura *Pet*, junto con el relleno de nivelación del piso y el relleno de la propia estructura. El piso, designado como Piso *Tz'unun*, solo se encontró preservado en la esquina noroeste de ACH 3B-1, sobre la jamba norte de *Pet* y extendiéndose aproximadamente hasta 1 m al este (Figura 10.29). Los restos de este piso pudieron identificarse por un cambio en el color del relleno, aproximadamente 2 m más al este. Bajo este piso, empezando a 1.78 m y continuando hasta 1.84 m, se encontró una matriz gris claro (ACH 3B-1-6) probablemente representando el sub-piso

original. Este piso presentaba una preservación irregular, en parches. Empezando a 2 m y continuando hasta los 3.6 m, aunque con una profundidad mínima variable por la pendiente del montículo y la penetración del subsuelo café rojizo, se encontró una matriz densa de *sascab* blanco-amarillento con abundantes fragmentos de estuco modelado pintados en rojo y blanco (ACH3B-1-8).



Figura 10.29 Piso *Tz'unun* (Fotografía por L. Auld-Thomas)

Un muro de contención de construcción burda cortó Pet al medio en un eje norte sur; y el relleno de *sascab* fue el mismo en ambos lados del muro. El lote de este relleno produjo 122 fragmentos de cerámica, con abundantes fragmentos de Sierra Rojo y un fragmento de Sacluc Negro sobre Naranja. También un fragmento de obsidiana y una sección tubular de lo que posiblemente es una estalactita o estalactita.

Los fragmentos de estuco incrustados en el relleno de *sascab* de *Pet* son notorios por ser similares en estilo a los de los murales y mascarones documentados en la Estructura 5C-01 por Acuña entre 2009 y 2011 y por Arredondo durante la Temporada 2016. En ambos casos los fragmentos y las decoraciones de 5C-01 se encuentran pintados en rojo oscuro sobre blanco o blanco crema y sin delineado. De hecho, Acuña notó que la armazón de un mascarón fue destrozada

en la plataforma basal de la Estructura 5C-01sub-8, la cual es Preclásico Tardío. Resulta interesante especular que los fragmentos de estuco resultante de la destrucción del mascarón concurrente con la renovación de la Estructura 5C--01 fueron utilizados para rellenar la Estructura *Pet*, la cual se encuentra a pocos metros al noreste. Sin embargo, establecer dicha contemporaneidad para ambos eventos requerirá de una inspección meticulosa de los materiales cerámicos recuperados de ACH 3B-1-8. Una inspección preliminar indica que las fechas se acercan al final del Preclásico Tardío (Figura 10.30).



Figura 10.30 Detalle de fragmentos de estuco modelado recobrados del relleno de la Estructura *Pet*. Se aumentó el contraste para mostrar la pintura rojo sobre crema (compárese con la Figura 10.28) (Fotografía por L. Auld-Thomas)

El nivel 4 fue arquitectura, siendo la superestructura, plataforma y relleno de plataforma de la Estructura *Pet*. El edificio presentó una sola fase constructiva. La plataforma basal fue de 5 m de diámetro y de 1.2 m de altura, y los muros de la superestructura se encuentran justo al límite de la plataforma. Los muros son de 1.4 m de altura al nivel de las jambas, donde se preservó su altura original con estuco sobre la cima (Figura 10.31). Se observa una depresión superficial a largo de la cima de la superestructura en el lado exterior, posiblemente para una armazón o soporte de un techo percedero. El piso dentro de la Estructura *Pet* se encontró bien preservado a una profundidad de 3.6 m y pudieron discernirse residuos de pintura negra y roja en algunas secciones. El piso fue de 0.12 m de ancho y se encuentra sobre un relleno de matriz color café oscuro con cerca de 20% de

piedras trabajadas. Aunque se excavó un registro en este relleno, originalmente expuesto por la Trinchera de saqueo ACH 3LT-10, no se recuperaron artefactos (Figura 10.32).



Figura 10.31 Estructura *Pet* (Fotografía por L. Auld-Thomas)



Figura 10.32 Estructura *Pet* (Fotografía por L. Auld-Thomas)

El nivel 5 es el más bajo de la arquitectura y su relación exacta con la Estructura *Pet* se mantiene algo problemática. El nivel consistió de un piso de estuco bien acabado (Piso *Kuy*) a 4.12 m bajo el *datum*, y atrás de una capa de relleno rocoso (por lo menos 80% de pedrín y algunas piedras grandes) que se colocó sobre la roca madre a una profundidad de 5.24 m (Figuras 10.33 y 10.36). Un registro fue excavado dentro de una porción no perturbada en este relleno (Lote ACH 3B-1-12), donde se recuperó un tiesto cerámico. El piso *Kuy* no se extendió hasta el extremo este de la plataforma basal de la Estructura *Pet*, lo que ha llevado a suponer que este fue cortado cuando *Pet* fue construida (Figuras 10.34 y 10.35). Sin embargo, su elevación es la misma que la del piso que colinda con el exterior de la plataforma basal de *Pet* en su lado oeste, documentado en ACH 3LT-1 en la Temporada 2015. Por lo tanto es posible que este represente un piso de plaza temprano el cual fue modificado con la construcción de *Pet*. Sin embargo las excavaciones tendrían que penetrar la fachada oeste de *Pet* si se desea resolver este problema.



Figura 10.33 Piso *Kuy*, mostrando las capas de estuco (Fotografía por L. Auld-Thomas)



Figura 10.34 Piso *Kuy*, nótese que el piso no se extiende hasta el exterior de la plataforma
(Fotografía por L. Auld-Thomas)

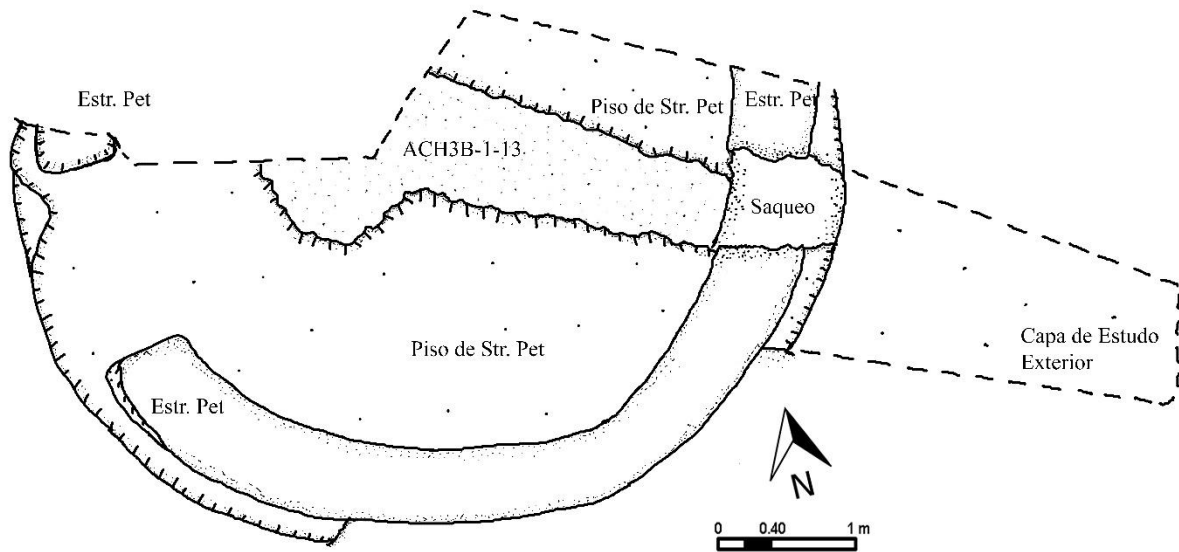


Figura 10.35 Planta final de la Sub-operación ACH 3B (Dibujo por J. Ajín y L. Auld-Thomas)

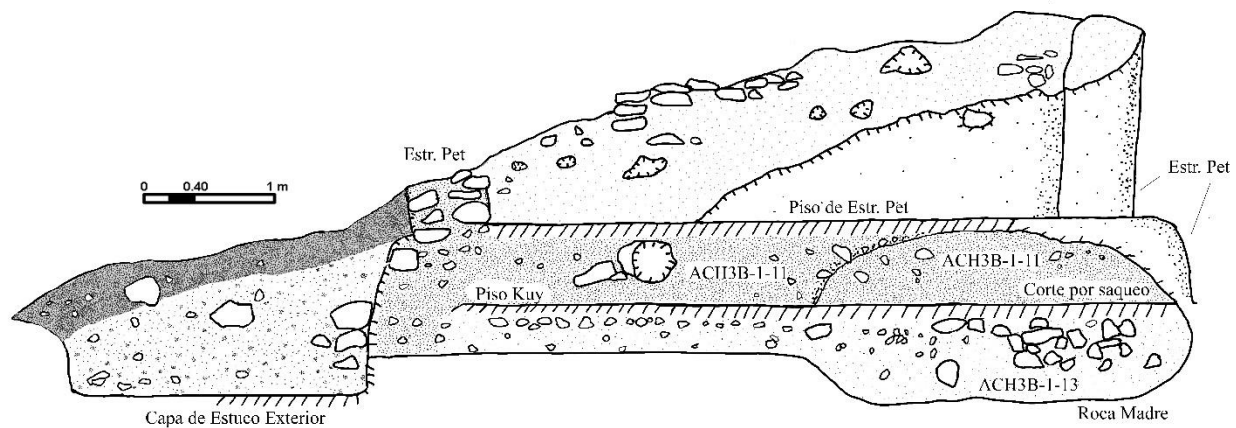


Figura 10.36 Perfil sur de la Sub-operación ACH 3B (Dibujo por J. Ajín y L. Auld-Thomas)

Fase/(Piso)	Fechas	Unidad: Nivel	Lotes
(Tz'unun)	<i>Preclásico</i> <i>Terminal</i>	ACH3B-1: Nivel 3	ACH3B-1-3, ACH3B-1-6, ACH3B-1-8, ACH3B-1-9
Pet	<i>Preclásico</i> <i>Terminal</i>	ACH3B-1: Nivel 4	ACH3B-1-7, ACH3B-1-10, ACH3B-1-11
(Kuy)	<i>Preclásico</i> <i>Terminal</i>	ACH3B-1: Nivel 5	ACH3B-1-12, ACH3B-1-13

Tabla 10.2 Resumen de niveles y lotes de la Sub-operación ACH 3B

Consideraciones Finales

Las excavaciones en la Estructura 5C-08 documentaron múltiples fases constructivas que surgen en el Preclásico Tardío y Clásico Temprano. En la Sub-operación ACH 3A, las excavaciones revelaron cuatro escalinatas construidas en el Clásico Temprano y probablemente en el Preclásico Tardío, junto con la renovación de la cima del montículo que pudo haber sido poco tiempo después. Durante la limpieza de la trinchera de saqueo ACH 3LT-2 se documentó una tumba bien construida, probablemente fechada para el Clásico Temprano, basándonos en la comparación estratigráfica con la Sub-operación ACH 3A. Las sub-operaciones ACH 3LT-3 y ACH 3B expusieron un edificio

circular del Preclásico Tardío, denominado Estructura *Pet*, que fue rellenado con fragmentos de cerámica muy tardía del Preclásico Tardío, fragmentos de estuco modelado y la subsecuente incorporación en la Estructura 5C-08. Estas excavaciones documentaron una historia constructiva robusta entre el Preclásico Tardío y el Clásico Temprano en la Estructura 5C-08, sin indicaciones de un hiato o interrupción.

CAPÍTULO XI

EXCAVACIONES DE SONDEO EN LAS ESTRUCTURAS 5C-05 Y 5C-06 (OPERACIÓN ACH99-12 Y ACH99-13)

Pablo José Estrada Muralles

Introducción

A partir del miércoles 15 de junio hasta domingo 19 de junio del presente año, se realizaron excavaciones de sondeo de 2 x 1 m en las Estructura 5C-05 y 5C-06 del grupo sur del Achiotal (Figura 11.1). Estas estructuras nunca habían sido investigadas, sin embargo, fueron halladas y mapeadas por C. Chiriboga en la temporada 2009 (Acuña y Chiriboga 2010). El objetivo de los pozos de sondeo fue determinar las fases constructivas y la cronología de las estructuras, por ello las excavaciones finalizaron hasta alcanzar la roca madre. La metodología empleada para la excavación consistió en niveles culturales.

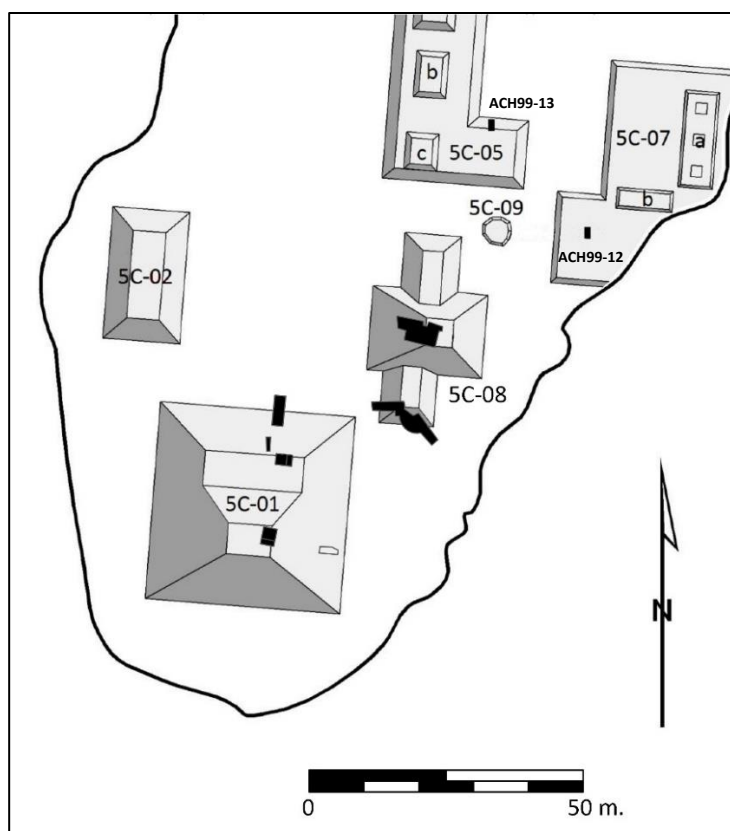


Figura 11.1 Grupo Sur, mostrando la localización de las excavaciones realizadas (Plano por C. Chiriboga modificada por E. Bustamante, L. Auld-Thomas y P. Estrada).

ACH99-12

La Estructura 5C-06 es una plataforma rectangular adosada a la Estructura 05-07, sus dimensiones son 14.40m. de N-S por 5.80m. de E-O y una consta de una altura máxima de 0.50m. Conforme a los objetivos de la excavación se optó por establecer la unidad en el eje central de la plataforma con una orientación 350 grados azimuth. La profundidad máxima alcanzada fue de 0.93m. y se determinaron 10 lotes en 6 estratos (Figura 11.2).

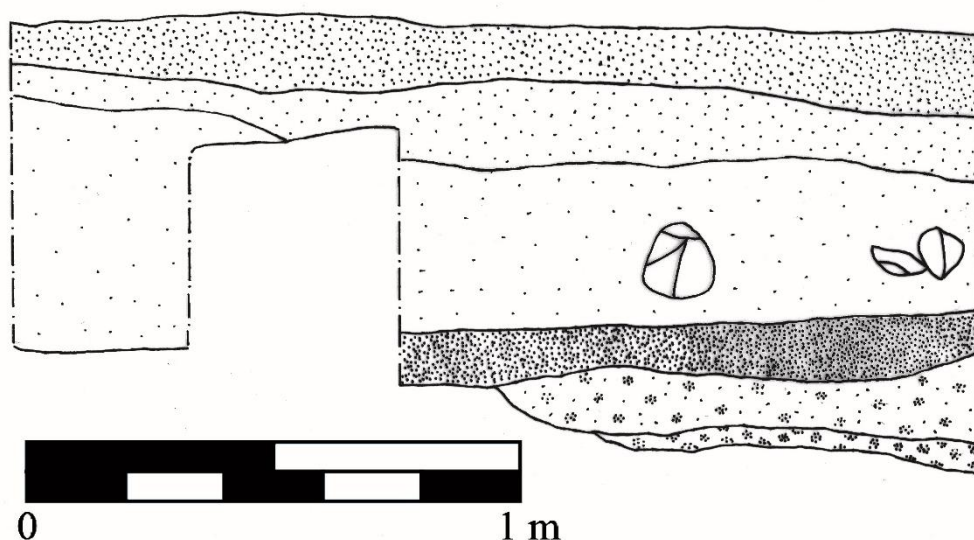


Figura 11.2 Perfil este de la unidad ACH99-12 en la Estructura 5C-06 (Dibujo por P. Estrada)

Nivel 1: corresponde al lote ACH3-LT2-1 y consiste en el humus. Este nivel alcanzó una profundidad de entre 0.13 a 0.20 m. Se recuperaron 39 fragmentos de cerámica.

Nivel 2: compuesto por un estrato de tierra de color café. Del nivel se extrajeron 76 fragmentos de cerámica y posee una profundidad que oscila de 0.19 a 0.33 m.

Nivel 3: estrato conformado por tierra de color café con piedras de grandes proporciones. En el nivel se localizó una aglomeración de piedras y más tarde se determinó la existencia de un muro que dividía la unidad de este a oeste, por lo que la unidad fue dividida en dos lotes, el lado sur fue designado como lote 3 y el lado norte es el lote 4. Asimismo, el lote 5 presentó las mismas características, este se encontraba conformado por una cista adosada al muro del lado sur, con una orientación este a oeste, en ella se recolectaron fragmentos óseos en mal estado de conservación (Figura 11.3). El procedimiento para la recolección de la osamenta fue excavar paulatinamente 0.05m. hasta concluir con su remoción. Seguidamente se

procedió a remover las piedras localizadas al norte de la cista (lote 6) y al norte del muro (lote 7). Cabe destacar que el muro únicamente se encuentra presente en este nivel. Se hallaron 232 fragmentos de cerámica, tres fragmentos de obsidiana y se tomó una muestra de suelo. Alcanzó una profundidad de 0.22. a 0.37m.

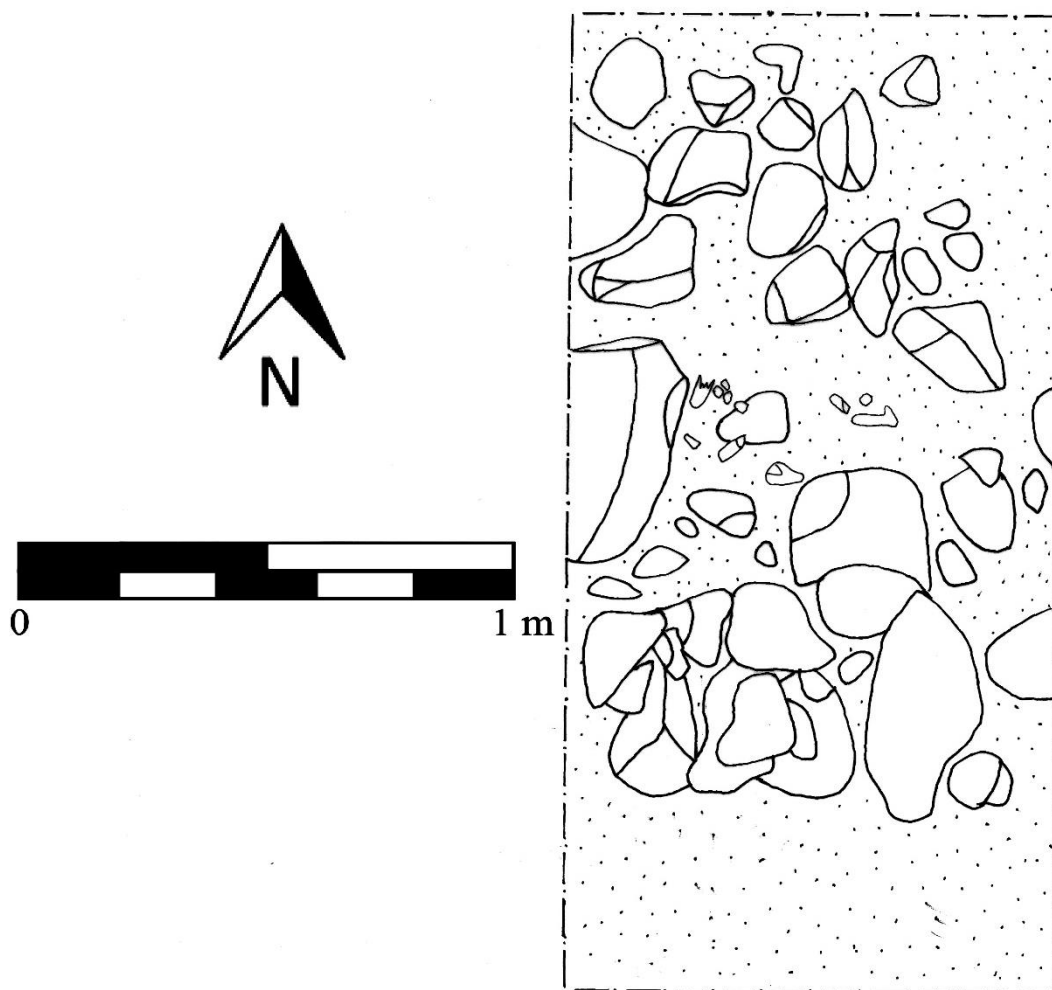


Figura 11.3 Planta de la unidad ACH99-12 en la Estructura 5C-06 en donde se observan los restos óseos encontrados (Dibujo por P. Estrada).

Nivel 4: formado por una capa de piedrín compacta con caliza. Su profundidad varía de 0.09 a 0.14m. y en él no se encontró material cultural. Posiblemente este estrato corresponde a un piso deteriorado.

Nivel 5: consiste en tierra de color café conteniendo grandes cantidades de caliza. Se recolectó 154 fragmentos de cerámica y dos fragmentos de obsidiana y la profundidad que presenta oscila entre 0.10. a 0.19m.

Nivel 6: se encuentra por tierra de color café rojiza y tuvo una profundidad de entre 0.03 a 0.06m. El nivel contenía catorce fragmentos de cerámica.

Discusión

La excavación reveló la presencia una cista, adosada a un muro, en ella se recolectaron fragmentos óseos en mal estado de conservación. Debido a esto no se pudo establecer con certeza que los restos correspondan a una persona. Esperamos que el análisis de laboratorio pueda determinarlo. Asimismo, se determinó que el nivel 4 podría tratarse de un piso mal estado de preservación.

ACH99-13

La Estructura 5C-05 consiste en una plataforma en forma de L, la cual contiene 3 estructuras. Se ubicada al noroeste del Grupo Sur, sus dimensiones son 60.10 m de N-S por 25.60 m. de E-O y consta de una altura de un metro. El pozo de sondeo se ubicó sobre el eje central de la Estructura en la sección oeste del lado sur de la plataforma, con una orientación de 350 grados azimut. El pozo alcanzó una profundidad máxima de 1.25m y en él se definieron siete lotes (Figura 11.4).

Nivel 1: conformado por el lote ACH99-13-1, corresponde al estrato orgánico conocido como humus. Alcanzó una profundidad de entre 0.12. a 0.14 m., y en él se recolectaron 12 fragmentos de cerámica.

Nivel 2: consiste en tierra de color café, con una profundidad que varía 0.04m. a 0.14m. De este nivel se recuperó 26 fragmentos de cerámica.

Nivel 3: corresponde a un nivel de tierra de color café claro con piedras de grandes proporciones. Posee una profundidad de 0.38 a 0.64 m., y en él se logró extraer 54 fragmentos de cerámica, tres fragmentos de obsidiana y uno de pedernal.

Nivel 4: localizado en el sureste de la unidad, se encontraba compuesto por una capa de pedrín compacto con caliza. Presentó una profundidad de 0.04 m. y contuvo seis fragmentos de cerámica y un fragmento de obsidiana.

Nivel 5: piso estucado, en el sureste de la unidad que tuvo una profundidad de 0.05 m., se dejó un testigo de 0.40 m. del mismo. Diez fragmentos de cerámica fueron hallados sobre el piso.

Nivel 6: formado por tierra de color café con fragmentos de piedra caliza. La profundidad de este nivel oscila entre 0.20 y 0.38 m., de este nivel se recolectaron 26 fragmentos de cerámica.

Nivel 7: estrato constituido por tierra de color café rojiza que concluyó al llegar a la roca madre. Su profundidad varía entre 0.13 y 0.23 m. y contenía siete fragmentos de cerámica.

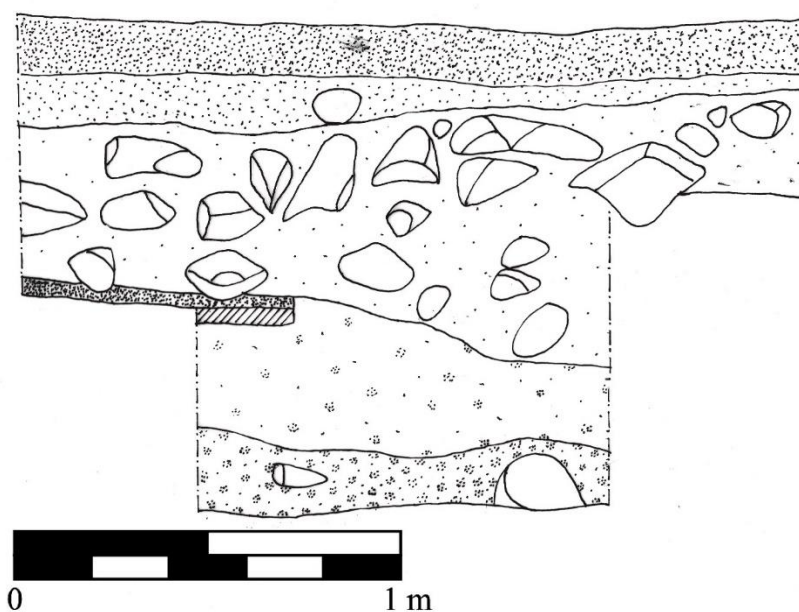


Figura 11.4 Perfil Oeste de la unidad ACH99-13 en la Estructura 5C-05 (Dibujo por P. Estrada)

Discusión

La excavación reveló un piso estucado, determinando que la estructura consta preliminarmente de una única fase constructiva.

CAPÍTULO XII

ANÁLISIS DE ISÓTOPOS ESTABLES: REDES DE MIGRACIÓN EN LA CORONA MUESTRAS EXPORTADAS EN 2013 Y 2014

Erin Patterson y Carolyn Freiwald

Introducción

Este informe presenta los resultados del análisis de isótopos estables de estroncio, oxígeno y carbón aplicado a muestras de dientes humanos del sitio de La Corona y un sitio satélite, La Cariba. Trece muestras fueron exportadas a los Estados Unidos en agosto de 2013, y nueve muestras adicionales fueron exportadas en agosto de 2014, con la autorización de la Dirección General del Patrimonio Cultural y Natural del Ministerio de Cultura y Deportes, bajo la Resolución Administrativa DAJ-325-2013 y DAJ-215-2014. Los isótopos estables fueron analizados con el fin de entender los orígenes de las personas que residen en el área de La Corona.

La muestra consistió en individuos de ambos sexos, de distintas edades y estatus sociales diferentes, tanto del área central como del área circundante al sitio. También se incluyeron tres muestras tomadas de contextos distintos a entierros, por ejemplo, de escondites, y solamente se consideraron adultos con dientes permanentes con esmalte preservado de un nivel bueno a óptimo. El análisis de la mayoría de los esqueletos de La Corona fue realizado por Erin Patterson.

Principios de Análisis de Isótopos Estables

Los análisis isotópicos se utilizan para identificar los orígenes de los individuos enterrados en un sitio en particular. Los elementos químicos como estroncio, oxígeno y carbón se incorporan a los tejidos del cuerpo, reflejando la composición química de las principales fuentes de comida y agua de un individuo.

Los isótopos del estroncio (Sr) en la región Maya varían de acuerdo a la región geológica (Figura 12.1), por lo que los individuos tienen diferentes valores $^{86}\text{Sr}/^{87}\text{Sr}$ si consumieron alimentos cultivados en las tierras bajas volcánicas de la Costa Pacífica de Guatemala (0.704 - 0.705 $^{86}\text{Sr}/^{87}\text{Sr}$), en la piedra caliza marina que forma las Tierras Bajas del Sur (0.707 - 0.708 $^{86}\text{Sr}/^{87}\text{Sr}$), en la región norte de la Península Yucatán (~0.708 - 0.709 $^{86}\text{Sr}/^{87}\text{Sr}$), o en las formaciones de granito de las Montañas Mayas de Belice (> 0.711 $^{86}\text{Sr}/^{87}\text{Sr}$) (Cornec 2008, Freiwald 2011, Hodell *et al.* 2004, Price *et al.* 2008). Estos datos permiten identificar movimientos

de poblaciones a larga distancia y en algunas partes de las Tierras Bajas Mayas, se está empezando a entender la composición isotópica de la geología, de tal forma que permita identificar movimientos locales.

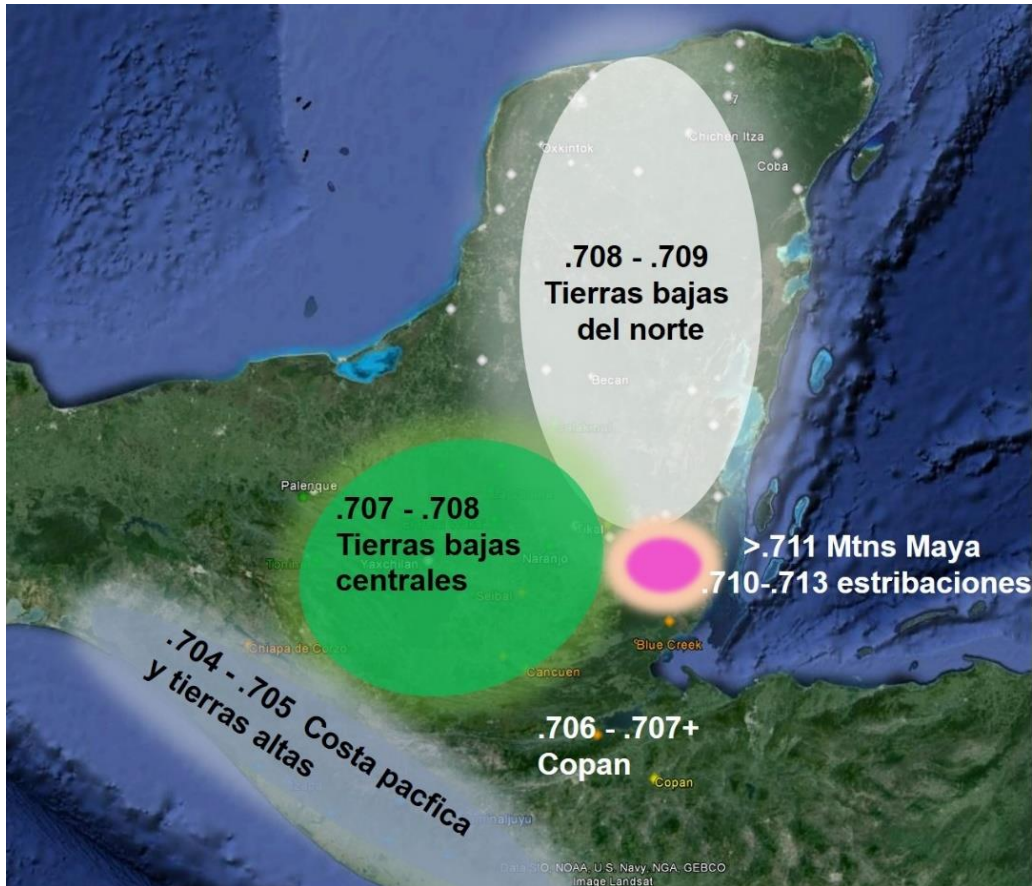


Figura 12.1. Valores de $^{86}\text{Sr}/^{87}\text{Sr}$ en la región Maya (Dibujo por E. Patterson)

Hay menos variabilidad regional en los isótopos de oxígeno (O), pero los valores de $^{18}\text{O}/^{16}\text{O}$ en las poblaciones de la Costa Pacífica y Tierras Altas de Guatemala deberían ser más bajos que los otros lugares en la región Maya, mientras que los valores del Petén Central deberían ser más altos (Lachniet y Patterson 2009, Marfía *et al.* 2004, Price *et al.* 2010). Esto puede permitir la identificación de movimientos de población en áreas de las Tierras Bajas que tienen valores similares de isótopos de estroncio. Los valores de isótopos de carbón también varían regionalmente en las Tierras Bajas Mayas, y pueden ser usados en conjunto con los valores de isótopos de oxígeno y estroncio para identificar orígenes no locales para los individuos que presenten dietas anómalas (Freiwald 2011, Gerry y Krueger 1997).

El análisis de elementos en el esmalte de los dientes se usa con menos frecuencia, aunque las huellas pueden variar a un nivel local, permitiendo la diferenciación de residentes de un sitio a otro aun cuando los valores isotópicos de oxígeno y estroncio sean similares (Burton et al. 2003). Adicionalmente, los elementos bario y estroncio parecen más relacionados a donde vivió la gente Maya, y pueden servir como marcadores importantes de la migración (Wright 1999).

Métodos

La Dra. Carolyn Freiwald preparó las muestras en el laboratorio de bioarqueología de la Universidad de Mississippi, y se procesaron en el Laboratorio T. Douglas Price de Química Arqueológica (LARCH) de la Universidad de Wisconsin. Las muestras de estroncio fueron procesadas en el Departamento de Ciencias Geológicas de la Universidad de North Carolina bajo la supervisión del Dr. Paul Fullagar, y las muestras de carbón y oxígeno se procesaron en el Laboratorio de Isótopos de Medio Ambiente de la Universidad de Arizona, bajo la dirección del Dr. David Dettman.

Aproximadamente 30 mg del esmalte de un diente provee información sobre el origen de un individuo – donde adquirió la mayor parte de su alimento – así como de la dieta en su niñez. Los dientes se limpiaron primero con agua ionizada ultra purificada para remover contaminantes en la superficie. Después, la superficie del diente a ser muestreada fue limpiada mecánicamente usando un torno dental con abrojo de carburo. Posteriormente se removió una pequeña astilla de esmalte dental y el abrojo se usó nuevamente para remover cualquier dentina u otro contaminante. Para cada muestra, se midió aproximadamente 5 mg de esmalte para obtener los valores del estroncio. Los otros 5 mg se pulverizaron en un mortero de ágata para obtener los valores de carbón y oxígeno. Los restantes 20 mg se usaron para el análisis de elementos. Este es un proceso destructivo, pero sólo un pequeño pedazo de esmalte se eliminó.

Resultados

Se presentan los resultados de 15 individuos enterrados en el sitio La Corona. La mayoría estaban enterrados en sepulturas, pero tres muestras provienen de depósitos con huesos humanos sin sepulturas. También algunos individuos tuvieron muestras múltiples, lo que resultó en un total de 21 muestras. En general, la mayoría de los individuos resultaron con valores consistentes con un origen local en las Tierras Bajas Centrales, con un promedio de $0.70790 + .0001 \text{ }^{87}\text{Sr}/^{86}\text{Sr}$.

La Figura 12.2 muestra todas las medidas del estroncio de La Corona. En total, dos personas tienen valores que no son locales, o los que son fuera del rango de dos desviaciones estándares del promedio. Se usó esta medida para definir el rango 'local' e identificar valores que no son locales, por lo que se interpretaron estos valores diferentes como migración.

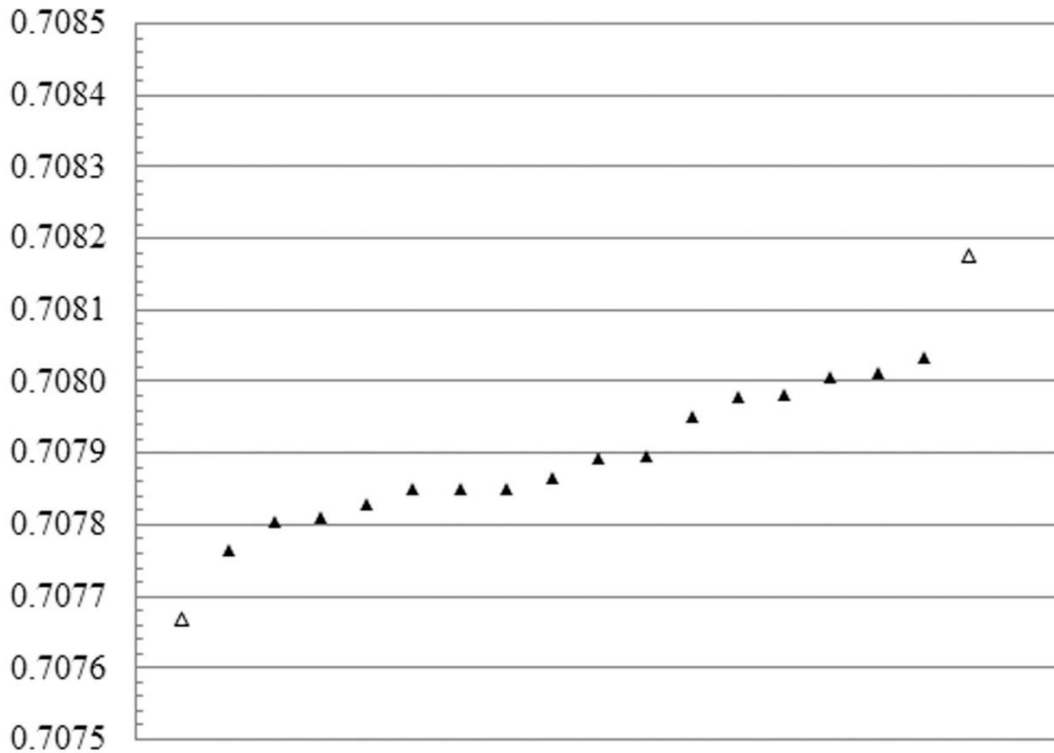


Figura 12.2 Valores $^{86}\text{Sr}/^{87}\text{Sr}$ de La Corona (Gráfica por E. Patterson)

La primera persona no local es del Entierro 3, que contenía un individuo enterrado durante el periodo Clásico Tardío. En entierro estaba ubicado en la Estructura 13Q-3 en el Grupo Principal y contenía los restos de un adulto joven con un valor del estroncio más alto que la señal local, 0.70818 $^{87}\text{Sr}/^{86}\text{Sr}$. Se interpreta este entierro como una persona de estatus alto por la ubicación del sepulcro y objetos funerarios. Además, es probable que los mayas removieron la cabeza, dejando el resto del cuerpo y unos dientes (Patterson 2012).

La segunda señal no local provino de la Ofrenda 2 de la Estructura 13R-10 (Lote CR16C-23-8-13), que contenía unos huesos asociados con un plato. El valor, 0.70767 $^{87}\text{Sr}/^{86}\text{Sr}$, es más bajo de lo normal para La Corona. Los huesos en el depósito incluyen el cráneo, unos dientes, costillas, vértebras y partes del esqueleto axial y de los hombros, pero también unas falanges o

dedos. El mínimo número de individuos es uno, aunque no se puede decir si los huesos vienen de un solo individuo. Unos huesos si se identificaron de una persona vieja por la artritis observada por Patterson en las vértebras cervical y torácico, así como el desgaste de los dientes (Patterson y Kate 2015). Es interesante también que los dos incisivos maxilares tuvieron inclusiones circulares en la superficie labial tipo patrón "V-1". Uno todavía contuvo la inclusión circular de jade.

El individuo del Entierro 1 de La Cariba, tuvo el valor 0.708322 $^{87}\text{Sr}/^{86}\text{Sr}$ de la primer molar. Esa señal es más alta que el promedio y dos desviaciones estándares de La Corona, un sitio muy cercano. Este entierro consiste en los restos de tres individuos: una mujer adulta-joven, un niño de entre 3 y 5 años, y un infante completamente formado (Patterson y Kate 2015) y fue encontrado en la Estructura A-5, el recinto más al este del Grupo A. Probablemente el entierro se encontraba asociado con la fase terminal de la arquitectura, la cual ha sido fechada para el Clásico Tardío (Chatelain 2015). El arqueólogo David Chatelain no encontró ningún indicio de arquitectura de tumba o bienes que acompañarán al entierro, aunque puede ser que el entierro haya tenido un recubrimiento de estuco con una capa de carbón sobre él.

Es importante aclarar cómo se definen los valores de isótopos "locales" en este estudio. Para el estroncio, el Área Maya tiene varias regiones grandes con valores similares (Figura 12.1). Basado en la evidencia epigráfica, se espera que algunos de los individuos de la élite no nacieron en La Corona, aunque la mayoría de los individuos de élite en este estudio mostraron valores de isótopos locales. Dadas las amplias regiones definidas por las firmas de estroncio, estos resultados no excluyen la migración desde Calakmul a La Corona.

Los valores del estroncio y carbón revelaron otras diferencias, pero no hay una correlación fuerte entre estos valores y los del estroncio. La Figura 12.3 muestra una relación moderadamente fuerte ($r = -0.18$) entre el estroncio y el carbón. El carbón representa comidas como el maíz o el tipo de proteína (plantas o carne, marina o terrestre), materiales usados para preparar la comida y donde se adquirieron. El rango de los valores es de -6.87 a -1.48 $^{13}\text{C}/^{12}\text{C}$, con un promedio del -3.37 ± 2.16 . Solo dos personas tienen valores afuera de las dos desviaciones estándares del promedio, y el esmalte de un diente en la ofrenda CR 32D-74-6 muestra el consumo de menos maíz que otras personas enterradas en La Corona. En general hubo mucha variabilidad en las muestras de carbón, pero se puede atribuir estas diferencias a otros procesos culturales, como género, estatus o edad, tanto como los procesos de fraccionamiento de isótopos del carbón.

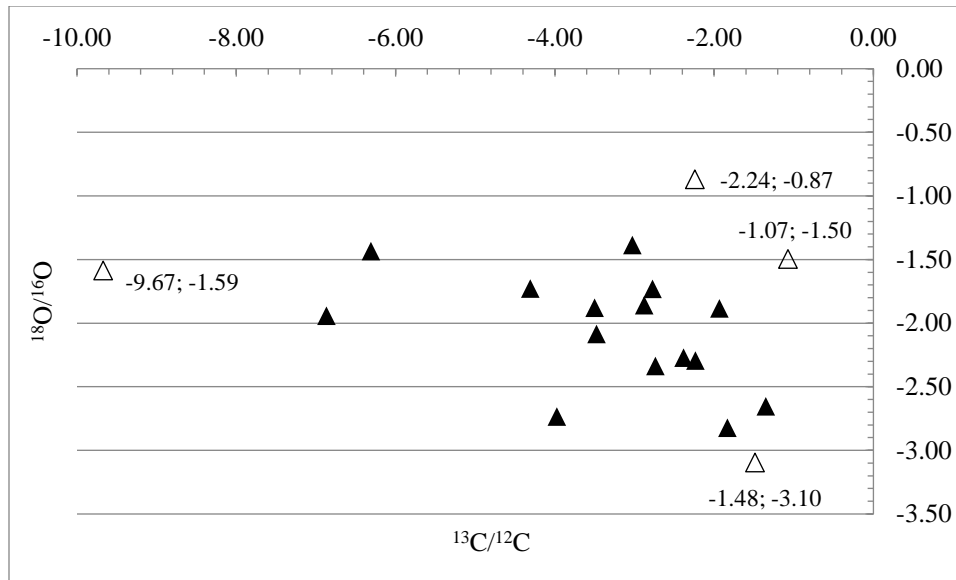


Figura 12.3 Valores $^{18}\text{O}/^{16}\text{O}$ y $^{13}\text{C}/^{12}\text{C}$, con los valores de individuos no locales (incluso el estroncio) (Gráfica por E. Patterson)

El oxígeno también reveló a otras personas que no caben en la muestra, o sea que tenían fuentes de agua diferentes que la mayoría de la gente de La Corona. El promedio de -2.01 ± -1.08 resulta de 18 muestras con valores de -3.10 a -0.87 $^{18}\text{O}/^{16}\text{O}$. Se pueden describir los dos valores extremos (-3.10 y -0.87 $^{18}\text{O}/^{16}\text{O}$) como no locales. El valor bajo viene del individuo con la señal demasiado baja de estroncio ($.70767$ $^{87}\text{Sr}/^{86}\text{Sr}$), la ofrenda ya descrita del lote CR16C-23-8-13. El valor alto también tiene un valor de estroncio muy bajo ($.70776$ $^{87}\text{Sr}/^{86}\text{Sr}$). Es posible que esta diferencia indica orígenes diferentes, pero el primer valor viene de un premolar y el segundo del Entierro 6 viene de la tercera muela. Estos dientes están sujetos a procesos diferentes de fraccionamiento isotópico, así como prácticas culturales durante la infancia y adolescencia. Como no hubo ninguna correlación entre los isotopos, se analizó entonces cada prueba por aparte. En conclusión, se definieron cuatro individuos (dos entierros y dos cuerpos asociados con depósitos no funerarios) que parecen no locales y con orígenes diferentes que el resto de la población en este estudio.

También se está en proceso de analizar los resultados de los elementos bario y estroncio, porque parece que tienen señales diferentes en los sitios del Petén, donde las señales isotópicas del estroncio y oxígeno son muy parecidas. Wright (1999) mostró que estos elementos representan la fuente de la mayoría de la comida y que puede ser posible diferenciar poblaciones en las Tierras Bajas Centrales de Guatemala. Por ejemplo, los valores de Actuncan, Belice, un sitio cerca de la

frontera moderna con Guatemala, forman un grupo distinto de los valores de la gente de El Perú - Waka'. Los valores de La Corona también son más bajos que los de la gente de El Perú, aunque no son completamente distintos. También hay individuos con una dieta diferente de niñez (Figura 12.4), los cuales no forman parte del mismo grupo de La Corona, y caben mejor con la mayoría de la gente de El Perú, aunque en este momento no es posible hablar de posibles orígenes.

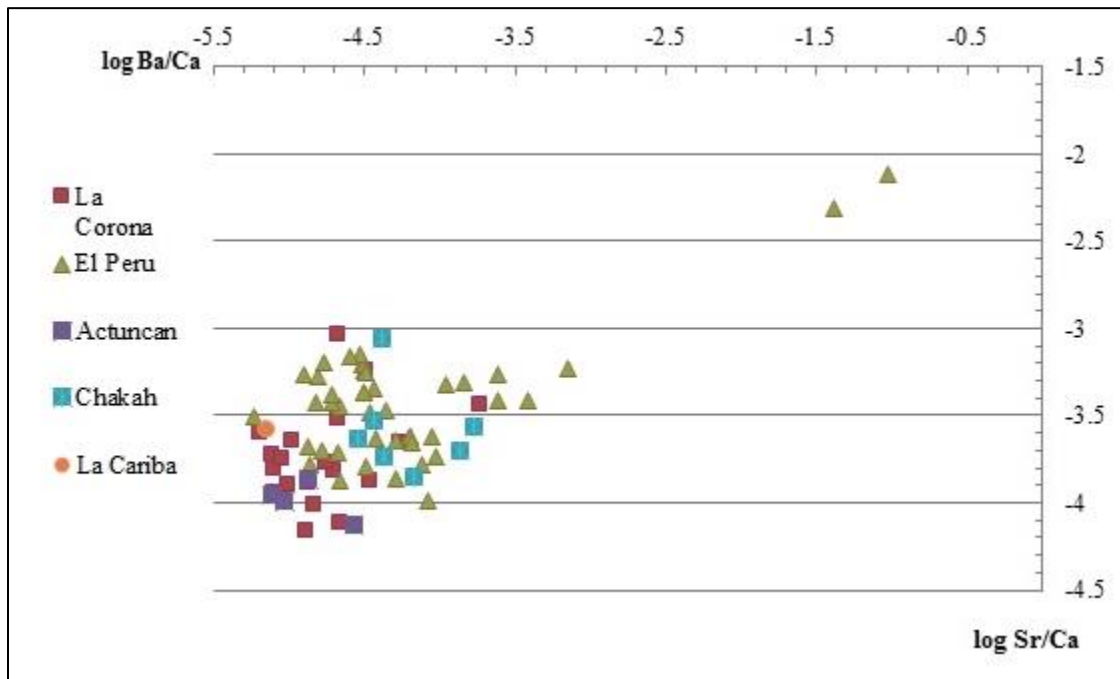


Figura 11.4 Valores del estroncio y bario de la región y del sitio Actuncan, Belice, mostrando separación de valores (Gráfica por E. Patterson)

Conclusión

Se definen algunas personas con orígenes no locales, que tienen valores de más de dos desviaciones estándares del promedio. ¿De dónde venían estas personas no locales? No hay evidencia de migración de la Costa Pacífica o las Tierras Altas, de regiones como Copán, del Valle de México o de las Montañas Mayas, porque estos valores son muy diferentes a los del Petén. Por lo tanto, se encuentran valores parecidos a los 'no locales' de La Corona en el Petén, aunque los valores en el rango de $0.7083 \text{ }^{87}\text{Sr}/^{86}\text{Sr}$ son más comunes en Belice o la costa y la región de Yucatán. Los valores más bajos se encuentran justamente al sur, no muy lejos del sitio, aunque no es posible.

Hay dos valores de estroncio de los 15 individuos en este estudio de La Corona – el trece por ciento – que no son valores locales. El individuo de La Cariba también tiene un valor alto que parece no local de la región, sin embargo, hasta que se tenga más información del sitio (pruebas de más individuos, por ejemplo), no se puede interpretar el valor como local o no local. Hay que tener en cuenta que el tamaño de la muestra es pequeño y este resultado es similar a algunos estudios y más bajo que otros. Por ejemplo, Wright (2005) encontró que menos del 10% de 83 muestras de Tikal representa migración de larga distancia. Además, el amplio rango de los valores 'locales' probablemente resulta de movimiento dentro de la región. En el Valle de Belice, más del 20% de la gente se mudó por lo menos una vez, y en Copán, el porcentaje de migración puede alcanzar a los 40% o más (Miller 2015, Price *et al.* 2014).

¿Por qué parece que hay relativamente pocos movimientos cuando los glifos describen tantos intercambios de gente entre familias reales? (p.e. Guenter 2005, Schele y Grube 1994, Stuart *et al.* 2015, Martin 2008, Love 2011, Pérez Robles y Navarro-Farr 2013, Guenter 2014, Acuña 2014) Es de notar que casi cada centro descrito en los glifos en esta región, Calakmul, La Corona, El Perú y Tikal, tiene casi el mismo promedio de $^{87}\text{Sr}/^{86}\text{Sr}$. Es decir que el movimiento entre estas ciudades es invisible. Entonces, la definición de 'local' en este estudio significa toda la región. Los isótopos del estroncio no pueden diferenciar entre sitios dentro de la región, pero se ve que unas muestras elementales sugieren que hay movimiento entre estas ciudades, pero se necesitan pruebas arqueológicas y escritas en forma de iconografía o glifos para interpretar más allá los números de estudios biogeoquímicos.

No obstante, este estudio reporta unos descubrimientos importantes. Primero, casi solo hay movimiento adentro de la región mencionada en los glifos y ninguna migración de las Tierras Altas, la Costa Pacífica, la región de Copán, las Montañas Mayas, o lugares más lejos como el Valle de México. No es posible decir exactamente de dónde venía la migración, ya que es imposible identificar una ciudad cuando hay varios lugares con señales isotópicas idénticas, por lo que todavía falta información en partes de las Tierras Bajas y en Mesoamérica.

CAPÍTULO XIII

ANÁLISIS DE LOS RESTOS HUMANOS HALLADOS EN LA CORONA Y EL ACHIOTAL, TEMPORADA DE CAMPO 2015

Erin Patterson

Introducción

Todos los restos fueron analizados por la autora. Los huesos fueron evaluados siguiendo los estándares descritos por Buikstra y Ubelaker (1994). La autora participó en la excavación del Entierro 20 junto con Rubén Morales y Alejandro González. Los otros contextos fueron excavados por los arqueólogos a cargo de las operaciones respectivas. El Entierro 20 de la Corona eleva el total de entierros encontrados en sitios bajo el PRALC a 21, siendo identificados 23 individuos en total. Los huesos aislados fueron encontrados en los sitios de La Corona y El Achiotal, no se hallaron huesos en el sitio de La Cariba en esa temporada.

Operación CR20 (La Corona)

Los huesos de esta operación fueron recuperados en el Palacio, Estructura 13Q-4. La mayoría de los huesos fueron excavados por Eduardo Bustamante, en caso contrario se indicará la excepción.

CR20G-9-6, Entierro 20

Este entierro fue encontrado en las excavaciones de la Estructura 13Q-4G del Palacio. La excavación fue efectuada por Rubén Morales y Erin Patterson. Este individuo fue dispuesto en una posición supina extendida con los brazos a los lados, tobillos cruzados, y la cabeza al norte (Figura 13.1). No hubo rasgos arquitectónicos o bienes materiales asociados al entierro. En base a los rasgos del cráneo y la pelvis, probablemente se trate de un hombre. La fusión de las suturas craneales, la superficie auricular, la observación de las superficies de las articulaciones, y la sección proximal de las costillas del esternón sugieren que este individuo había alcanzado una edad media al momento de su muerte. El cráneo se encuentra deformado en un estilo tabular erecto. Varios de los dientes anteriores de la mandíbula se encuentran rellenados.

Leves rasgos de artritis fueron observados en la pelvis. También se observó una leve hiperostosis porosa en los parietales. Todos los dientes se encuentran presentes (Tabla 13.1), aunque la corona del primer molar maxilar derecho fue consumida por una lesión de caries y el hueso alveolar presenta reabsorción. Dos de las raíces de estos dientes fueron recuperadas, por lo que estas debieron estar adheridas al tejido suave al momento de la muerte. La carie causó un absceso al hueso alveolar que rodeaba el diente. La porosidad en esta área es extensiva; la patología se extiende hasta la cavidad de la carie y al lado posterior del maxilar derecho. La remodelación indica que esta infección se encontraba en proceso de sanación al momento de la muerte. Otros dos dientes también presentan caries; y a mayoría de los dientes presentan cálculos.

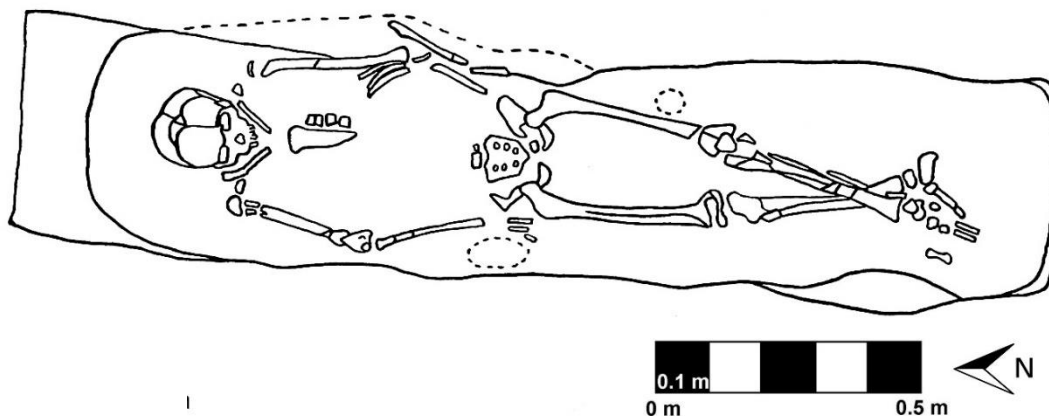


Figura 13.1. Entierro 20 de La Corona, planta (Dibujo por E. Patterson, Calco por D. Chatelain)

CR200-1-3: Frente a fachada oeste de Estructura 13Q-40. Los huesos de este contexto en general se encuentran muy erosionados. La excepción es un metatarso cuyo hueso cortical se encuentra en muy buena condición. Un inventario de estos huesos puede ser encontrado en la Tabla 13.2.

CR200-2a-3: varios fragmentos de hueso fueron recuperados, incluyendo costillas y un radio (Tabla 13.2).

CR200-3. Sección sur de cuarto 1: Este contexto contiene mayormente costillas y una clavícula parcial (Tabla 13.2).

CR200-3-2: derrumbe: los huesos de este contexto incluyen un húmero y varios fragmentos de hueso largo (Tabla 13.2).

CR200-3-3: en este contexto se encontró la diáfisis de una tibia (Tabla 13.2). el hueso muestra periostitis activa en la sección lateral del segmento proximal.

CR210-2-2: a pie de la fachada oeste del palacio: Un canino maxilar derecho fue descubierto en este contexto (Tabla 13.2). Presenta una condición excelente, muestra hipoplasia linear en el esmalte y rastros de algunos cálculos.

Operación ACH3 (El Achiotal)

Este contexto fue excavado por Luke Auld-Thomas y Mauro Montejo. Un inventario de los huesos puede ser encontrado en la Tabla 13-3.

ACH30-1-8: sección posterior de la estela: este contexto en la Estructura 5C-08 presentó un solo fragmento de hueso quemado. No fue posible determinar si el hueso era humano o no-humano.

ACH30-1-28, Ofrenda 5: Los huesos de la Ofrenda 5 de la Estructura 5C-08 fueron encontrados dentro de un escondite con dos platos, del Clásico Temprano (C. Parris comunicación personal 2015), dispuestos labio con labio. Los restos se encuentran muy erosionados, lo que inhibe la examinación. Los huesos de este ensamble incluyen: fragmentos de fémur, humero, cráneo, mandíbula, y vertebras; así como varios fragmentos de huesos largos. También se encontraron 30 dientes y fragmentos de dientes los cuales incluyen dientes de leche como permanentes, algunos de los cuales se encuentran completos mientras otros aún están en formación. Esto indica que el número mínimo de individuos e este contexto es de 2.

ACH-LT2-2. Este contexto probablemente se trate de los restos de una tumba saqueada (Auld-Thomas 2016: ver capítulo VIII de informe de temporada 2015). Los huesos largos probablemente corresponden a un fémur humano.

Leyenda

Lado	I (izquierdo) D (derecho) A (ambos) LM (línea media) ? (lado desconocido)
Segmento	EP (epífisis proximal) P $\frac{1}{3}$ (tercio proximal de diáfisis) M $\frac{1}{3}$ (tercio medial de diáfisis) D $\frac{1}{3}$ (tercio distal de diáfisis) ED (epífisis distal) C (cuerpo vertebral o centrum) AN (arco neural)
Integridad	1 (75-100% completo) 2 (25-75% completo) 3 (menos de 25% completo)
Dientes	di/I (incisivo) dc/C (canino) P (premolar) dm/M (molar)

Tabla 13.1. Inventario Dental, La Corona Entierro 20

	Derecho								Izquierdo							
	M3	M2	M1	P2	P1	C	I2	I1	I1	I2	C	P1	P2	M1	M2	M3
Maxilar	X	X	X	X	X	X	X	X	X	X	X	X	X	X	X	X
Mandíbular	X	X	X	X	X	X	X	X	X	X	X	X	X	X	X	X

Tabla 13.2. Inventario, Operación CR20 (La Corona)

Lote	Ubicación	Hueso	Lado	Integridad	Cantidad	Notas
CR200-1-3	frente a fachada oeste, jamba norte, cuarto 3, sobre piso	fragmento de costilla			1	
CR200-1-3	frente a fachada oeste, jamba norte, cuarto 3, sobre piso	fragmentos de huesos largos			20	principalmente de tibia
CR200-1-3	frente a fachada oeste, jamba norte, cuarto 3, sobre piso	pelvis	?	3	1	
CR200-1-3	frente a fachada oeste, jamba norte, cuarto 3, sobre piso	cuarto metatarso	I	1	1	excelente preservación
CR200-1-3	frente a fachada oeste, jamba norte, cuarto 3, sobre piso	fragmentos no identificados			14	

CR200-2a-3	sobre piso	fragmentos de costilla			2	
CR200-2a-3	sobre piso	radio		P ^{1/3} :3,M ^{1/3} :1,D ^{1/3} :3	3	los fragmentos encajan juntos
CR200-2a-3	sobre piso	fragmentos no identificados			19	
CR200-3	sección sur cuarto 1	clavícula	D	2	1	
CR200-3	sección sur cuarto 1	fragmentos de costilla	D		3	
CR200-3	sección sur cuarto 1	fragment de costilla	I		1	
CR200-3	sección sur cuarto 1	fragmentos de costilla			11	
CR200-3	sección sur cuarto 1	fragmentos no identificados			28	
CR200-3-2	derrumbe	húmero	?	P ^{1/3} :3,M ^{1/3} :1,D ^{1/3} :3	2	los fragmentos encajan juntos
CR200-3-2	derrumbe	fragmento de hueso largo			1	probablemente tibia
CR200-3-2	derrumbe	fragmento de huesos largos			17	
CR200-3-2	derrumbe	fragmentos no identificados			9	
CR200-3-3		tibia	D?	P ^{1/3} :3,M ^{1/3} :1,D ^{1/3} :2	1	periostitis activo
CR210-2-2	a pie de la fachada oeste del palacio	C ¹	D	1		

Tabla 13.3. Inventario, Operación ACH3 (El Achiotal)

Lote	Ubicación	Bolsa	Hueso	Lado	Integridad	Cantidad	Notas
ACH30-1-8	Estr. 5C-08, detrás de estela		fragmento no identificado			1	quemado
ACH30-1-28	Estr. 5C-08, Ofrenda 5	mandíbula	fragmentos de mandíbula			5	
ACH30-1-28	Estr. 5C-08, Ofrenda 5	mandíbula	fragmentos no identificados			21	
ACH30-1-28	Estr. 5C-08, Ofrenda 5	fémur	fémur	?	P ^{1/3} :2,M ^{1/3} :2	2	
ACH30-1-28	Estr. 5C-08, Ofrenda 5	fémur	fragmentos de huesos largos			4	

ACH30-1-28	Estr. 5C-08, Ofrenda 5	fémur	fragmentos no identificados			15	
ACH30-1-28	Estr. 5C-08, Ofrenda 5	tibia y fíbula (derecha)	peroné?	?		3	
ACH30-1-28	Estr. 5C-08, Ofrenda 5	tibia y fíbula (derecha)	fragmentos de huesos largos			20	
ACH30-1-28	Estr. 5C-08, Ofrenda 5	tibia y fíbula (derecha)	fragmentos no identificados			20	
ACH30-1-28	Estr. 5C-08, Ofrenda 5	pelvis	fragmentos no identificados			14	
ACH30-1-28	Estr. 5C-08, Ofrenda 5	húmero	húmero	?	M ^{1/3} :2,D ^{1/3} :2	1	
ACH30-1-28	Estr. 5C-08, Ofrenda 5	húmero?	fragmentos de huesos largos			3	húmero o fémur; los fragmentos encajan juntos
ACH30-1-28	Estr. 5C-08, Ofrenda 5	húmero?	fragmentos no identificados			2	
ACH30-1-28	Estr. 5C-08, Ofrenda 5	ulna?	fragmentos de huesos largos			2	cúbito o radio
ACH30-1-28	Estr. 5C-08, Ofrenda 5	fragmento #1	fragmentos de huesos largos			57	
ACH30-1-28	Estr. 5C-08, Ofrenda 5	fragmento #1	fragmentos de cráneo			10	
ACH30-1-28	Estr. 5C-08, Ofrenda 5	fragmento #1	fragmentos de vértebras			5	
ACH30-1-28	Estr. 5C-08, Ofrenda 5	fragmento #1	omóplato?	?	3	1	
ACH30-1-28	Estr. 5C-08, Ofrenda 5	fragmento #1	fragmentos no identificados			100+	
ACH30-1-28	Estr. 5C-08, Ofrenda 5	fragmento #2	fragmentos de huesos largos			29	
ACH30-1-28	Estr. 5C-08, Ofrenda 5	fragmento #2	fragmentos no identificados			100+	
ACH30-1-28	Estr. 5C-08, Ofrenda 5	dientes	fragmentos no identificados			7	
ACH30-1-28	Estr. 5C-08, Ofrenda 5	diente	raíces de dientes			5	
ACH30-1-28	Estr. 5C-08, Ofrenda 5	diente	dm ¹	D		1	

ACH30-1-28	Estr. 5C-08, Ofrenda 5	diente	di ²	D		1	
ACH30-1-28	Estr. 5C-08, Ofrenda 5	diente	C ¹	D		1	
ACH30-1-28	Estr. 5C-08, Ofrenda 5	diente	C ¹	I		1	
ACH30-1-28	Estr. 5C-08, Ofrenda 5	diente	P ¹	D?		1	
ACH30-1-28	Estr. 5C-08, Ofrenda 5	diente	P ²	I		1	
ACH30-1-28	Estr. 5C-08, Ofrenda 5	diente	P ¹	I?		1	
ACH30-1-28	Estr. 5C-08, Ofrenda 5	diente	C ¹	I		1	
ACH30-1-28	Estr. 5C-08, Ofrenda 5	diente	C ¹	?		1	probablemente limado
ACH30-1-28	Estr. 5C-08, Ofrenda 5	diente	I	?		1	
ACH30-1-28	Str. 5C-08, Ofrenda 5	diente	I ₁	I		1	
ACH30-1-28	Estr. 5C-08, Ofrenda 5	diente	I ₂	I		1	
ACH30-1-28	Estr. 5C-08, Ofrenda 5	diente	I ²	D		1	
ACH30-1-28	Estr. 5C-08, Ofrenda 5	diente	I ¹	I?		1	probablemente limado
ACH30-1-28	Estr. 5C-08, Ofrenda 5	diente	I ²	I		1	
ACH30-1-28	Estr. 5C-08, Ofrenda 5	diente	di ²	I		1	
ACH30-1-28	Estr. 5C-08, Ofrenda 5	diente	I ¹	I?		1	probablemente limado
ACH30-1-28	Estr. 5C-08, Ofrenda 5	diente	M ³	D		1	
ACH30-1-28	Estr. 5C-08, Ofrenda 5	diente	M ¹	D		1	
ACH30-1-28	Estr. 5C-08, Ofrenda 5	diente	M ¹	I		1	
ACH30-1-28	Estr. 5C-08, Ofrenda 5	diente	M ₁	D		1	

ACH30-1-28	Estr. 5C-08, Ofrenda 5	diente	M ₂	D		2	carie grande
ACH30-1-28	Estr. 5C-08, Ofrenda 5	diente	M ₁	I		1	
ACH30-1-28	Estr. 5C-08, Ofrenda 5	diente	M ₂	I		1	
ACH30-1-28	Estr. 5C-08, Ofrenda 5	diente	M ₂	?		1	
ACH-LT-2-2			fragmentos de huesos largos			2	probablemente fémur humano

CAPÍTULO XIV

ANÁLISIS DE RESTOS ÓSEOS DE FAUNA: TEMPORADAS 2015 Y 2016

Diana Fridberg

Introducción

Este informe presenta los resultados del análisis de 434 huesos de fauna recuperados en las excavaciones en La Corona, como parte de las temporadas de campo de 2015 y 2016. El análisis está resumido en la Tabla 14.1

No. Catálogo	Operación	Sub-operación	Unidad	Nivel	Lote	# Especímenes	Parte del cuerpo	Derecha / Izq.	Clase	Tamaño	Orden	Familia	Especie	Cortes	Quemado	Roido	Trabajado
1280	11	C	4	4	11	1	Coracoides	I	A		Galliformes	Phasianidae	Meleagris ocellata				
1281	11	C	4	4	11	1	Hueso largo		A		-	-	-				
1282	11	C	4	4	11	1	Falange 1		M	G	Artiodactyla	Cervidae	Odocoileus virginianus				
1283	11	C	4	4	11	1	Calcáneo	I	M	G	Artiodactyla	Cervidae	Odocoileus virginianus				
1284	11	C	4	4	11	1	Falange 1		M	G	Artiodactyla	Cervidae	Odocoileus virginianus				
1285	11	C	4	4	11	1	Pelvis	D	M	G	Artiodactyla	Cervidae	Odocoileus virginianus				
1286	11	C	4	4	11	1	Cúbito	D	M	G	Artiodactyla	Cervidae	Odocoileus virginianus				
1287	11	C	4	4	11	1	Falange 2		M	G	Artiodactyla	Cervidae	Odocoileus virginianus				
1288	11	C	4	4	11	1	Diente- Molar	D	M	G	Artiodactyla	Cervidae	Odocoileus virginianus				
1289	11	C	4	4	11	1	Tibia	D	M	G	Artiodactyla	Cervidae	Odocoileus virginianus				
1290	11	C	4	4	11	1	Tibia	D	M	G	Artiodactyla	Cervidae	Odocoileus virginianus				
1291	11	C	4	4	11	1	Fémur	D	M	G	Artiodactyla	Cervidae	Odocoileus virginianus				
1292	11	C	4	4	11	1	Vertebra- Lumbar		M	G	Artiodactyla	Cervidae	Odocoileus virginianus				
1293	11	C	4	4	11	1	Vertebra- Torácica		M	G	Artiodactyla	Cervidae	Odocoileus virginianus				
1294	11	C	4	4	11	1	Vertebra- Torácica		M	G	Artiodactyla	Cervidae	Odocoileus virginianus				
1295	11	C	4	4	11	1	Vertebra- Lumbar		M	G	Artiodactyla	Cervidae	Odocoileus virginianus	1			
1296	11	C	4	4	11	1	PID				-	-	-				
1297	11	C	4	4	11	1	PID		M	M/G	-	-	-		1		
1298	11	C	4	4	11	1	Vertebra- Lumbar		M	G	-	-	cf. Odocoileus virginianus				
1299	11	C	4	4	11	7	Hueso largo		M	G	-	-	-				
1300	11	C	4	4	11	1	Hueso largo		M	G	-	-	-				
1301	11	C	4	4	11	1	Hueso largo		M	G	-	-	-				
1302	11	C	4	4	11	4	Axial/Plano		M	G	-	-	-				
1303	11	C	4	4	11	9	Costilla		M	G	-	-	-				
1304	11	C	4	4	11	1	NID		M	G	-	-	-				
1305	11	C	4	4	10	1	Falange 3		M	G	Artiodactyla	Cervidae	Odocoileus virginianus				
1306	11	C	4	4	10	1	Falange 1		M	G	Artiodactyla	Cervidae	Mazama sp.				
1307	11	C	4	4	10	1	Falange 2		M	G	Artiodactyla	Cervidae	Odocoileus virginianus				

1308	11	C	4	4	10	1	Falange 2		M	G	Artiodactyla	Cervidae	Odocoileus virginianus				
1309	11	C	4	4	10	1	Falange 1		M	G	Artiodactyla	Cervidae	Odocoileus virginianus		1		
1310	11	C	4	4	10	1	Falange 1		M	G	Artiodactyla	Cervidae	Odocoileus virginianus				
1311	11	C	4	4	10	1	Falange 1		M	G	Artiodactyla	Cervidae	Odocoileus virginianus				
1312	11	C	4	4	10	1	Falange 1		M	G	Artiodactyla	Cervidae	Odocoileus virginianus				
1313	11	C	4	4	10	1	Falange 1		M	G	Artiodactyla	Cervidae	Odocoileus virginianus				
1314	11	C	4	4	10	1	Falange 1		M	G	Artiodactyla	Cervidae	Odocoileus virginianus			1	
1315	11	C	4	4	10	1	Falange 1		M	G	Artiodactyla	Cervidae	Odocoileus virginianus				
1316	11	C	4	4	10	1	Falange 1		M	G	Artiodactyla	Cervidae	Odocoileus virginianus				
1317	11	C	4	4	10	1	Falange 1		M	G	Artiodactyla	Cervidae	Odocoileus virginianus				
1318	11	C	4	4	10	1	Falange 1		M	G	Artiodactyla	Cervidae	Odocoileus virginianus				
1319	11	C	4	4	10	1	Carpal- Cubital	I	M	G	Artiodactyla	Cervidae	Odocoileus virginianus				
1320	11	C	4	4	10	1	Carpal- Cubital	I	M	G	Artiodactyla	Cervidae	Odocoileus virginianus				
1321	11	C	4	4	10	1	Astrágalo	I	M	G	Artiodactyla	Cervidae	Odocoileus virginianus				
1322	11	C	4	4	10	1	Calcáneo	I	M	G	Artiodactyla	Cervidae	Odocoileus virginianus			1	
1323	11	C	4	4	10	1	Tibia	I	M	G	Artiodactyla	Cervidae	Odocoileus virginianus				
1324	11	C	4	4	10	1	Rótula	I	M	G	Artiodactyla	Cervidae	Odocoileus virginianus			1	
1325	11	C	4	4	10	1	Rótula	D	M	G	-	-	cf. Odocoileus virginianus				
1326	11	C	4	4	10	1	Cúbito	I	M	G	Artiodactyla	Cervidae	Odocoileus virginianus				
1327	11	C	4	4	10	1	Cúbito	I	M	G	Artiodactyla	Cervidae	Odocoileus virginianus				
1328	11	C	4	4	10	1	Mandíbula c/dientes	D	M	G	Artiodactyla	Cervidae	Odocoileus virginianus				
1329	11	C	4	4	10	1	Diente- Molar	I	M	G	Artiodactyla	Cervidae	Odocoileus virginianus				
1330	11	C	4	4	10	1	Diente- Premolar		M	G	Artiodactyla	Cervidae	Odocoileus virginianus				
1331	11	C	4	4	10	1	Pelvis	I	M	G	Artiodactyla	Cervidae	Odocoileus virginianus				
1332	11	C	4	4	10	1	Pelvis	I	M	G	Artiodactyla	Cervidae	Odocoileus virginianus			1	
1333	11	C	4	4	10	1	Diente		M	G	Artiodactyla	Cervidae	Odocoileus virginianus				
1334	11	C	4	4	10	1	Diente		M	G	Artiodactyla	Cervidae	Odocoileus virginianus				
1335	11	C	4	4	10	1	Diente		M	G	Artiodactyla	Cervidae	Odocoileus virginianus				
1336	11	C	4	4	10	1	Tibia	D	M	G	Artiodactyla	Cervidae	Odocoileus virginianus				
1337	11	C	4	4	10	1	Metapodial		M	G	Artiodactyla	Cervidae	Odocoileus virginianus				
1338	11	C	4	4	10	1	Escápula	I	M	G	Artiodactyla	Cervidae	Odocoileus virginianus			1	
1339	11	C	4	4	10	1	Pelvis		M	G	-	-	-			1	
1340	11	C	4	4	10	1	Vertebra- Lumbar		M	G	Artiodactyla	Cervidae	Odocoileus virginianus				

1341	11	C	4	4	10	1	Vertebra- Torácica		M	G	Artiodactyla	Cervidae	Odocoileus virginianus				
1342	11	C	4	4	10	1	Vertebra- Torácica		M	G	Artiodactyla	Cervidae	Odocoileus virginianus				
1343	11	C	4	4	10	1	Vertebra- Lumbar		M	G	Artiodactyla	Cervidae	Odocoileus virginianus				
1344	11	C	4	4	10	5	Vertebra- no esp.		M	G	-	-	-				
1345	11	C	4	4	10	1	Vertebra- Caudal		M	G	-	-	-				
1346	11	C	4	4	10	2	Costilla		M	G	-	-	-			2	
1347	11	C	4	4	10	5	Costilla		M	G	-	-	-				
1348	11	C	4	4	10	1	Metapodial		M	G	Artiodactyla	Cervidae	Odocoileus virginianus			1	
1349	11	C	4	4	10	1	Cúbito		A		-	-	-				
1350	11	C	4	4	10	1	Fémur	D	A		-	-	-				
1351	11	C	4	4	10	1	Fémur	I	A		-	-	-				
1352	11	C	4	4	10	1	Húmero	I	A		-	-	-				
1353	11	C	4	4	10	1	Pelvis	I	M	P	Rodentia	Geomyidae	cf. Orthogeomys sp.				
1354	11	C	4	4	10	1	Húmero				-	-	-				
1355	11	C	4	4	10	1	Vertebra- Caudal				-	-	-				
1356	11	C	4	4	10	1	Fémur	D	M	G	Artiodactyla	Cervidae	Odocoileus virginianus				
1357	11	C	4	4	10	1	Tibia	D	M	G	-	-	cf. Odocoileus virginianus				
1358	11	C	4	4	10	1	Sacro		M	G	-	-	cf. Odocoileus virginianus			1	
1359	11	C	4	4	10	3	Vertebra- no esp.		M	G	-	-	-				
1360	11	C	4	4	10	1	Vertebra- no esp.		M	G	-	-	-				
1361	11	C	4	4	10	1	Tarso metatarso	I	A		-	-	-				
1362	11	C	4	4	10	1	Hueso largo		A		-	-	-				
1363	11	C	4	4	10	1	PID				-	-	-				
1364	11	C	4	4	10	1	Cráneo		M	G	-	-	-				
1365	11	C	4	4	10	1	Vertebra- Tronco		F		-	-	-				
1366	11	C	4	4	10	1	Vertebra- no esp.		M	G	-	-	-			1	
1367	11	C	4	4	10	1	Cráneo		M	G	-	-	cf. Odocoileus virginianus				
1368	11	C	4	4	10	1	Mandíbula (no dientes)		M	G	-	-	cf. Odocoileus virginianus			1	
1369	11	C	4	4	10	1	PID		M	G	-	-	-			1	
1370	11	C	4	4	10	1	Vertebra- no esp.		M	G	-	-	-				
1371	11	C	4	4	10	1	Calcáneo	I	M	G	Artiodactyla	Cervidae	Odocoileus virginianus				

1372	11	C	4	4	10	1	Diente		M	G	Artiodactyla	Cervidae	Odocoileus virginianus		1		
1373	11	C	4	4	10	1	PID		M	G	-	-	-				
1374	11	C	4	4	10	1	PID		M	G	-	-	-		1		
1375	11	C	4	4	10	1	Asta		M	G	Artiodactyla	Cervidae	Odocoileus virginianus		1		
1376	11	C	4	4	10	1	Vertebra- no esp.		M	G	-	-	-		1		
1377	11	C	4	4	10	1	PID		M	G	-	-	-		1		
1378	11	C	4	4	10	1	Axial/Flat		M	G	-	-	-		1		
1379	11	C	4	4	10	1	Axial/Flat		M	G	-	-	-		1		
1380	11	C	4	4	10	1	PID		M	G	-	-	-		1		
1381	11	C	4	4	10	3	Costilla		M	G	-	-	-		3		
1382	11	C	4	4	10	2	Costilla		M	M/G	-	-	-		2		
1383	11	C	4	4	10	1	Costilla		M	G	-	-	-	0			
1384	11	C	4	4	10	3	Axial/ Plano		M	G	-	-	-		2		
1385	11	C	4	4	10	9	Hueso largo		M	G	-	-	-		9		
1386	11	C	4	4	10	2	Costilla		M	M/G	-	-	-				
1387	11	C	4	4	10	24	Costilla		M	G	-	-	-				
1388	11	C	4	4	10	3	NID		F		-	-	-				
1389	11	C	4	4	10	3	NID		NT		-	-	-				
1390	11	C	4	4	10	12	Axial/Plano		M	G	-	-	-				
1391	11	C	4	4	10	16	Hueso largo		M	G	-	-	-				
1392	11	C	4	4	10	41	NID		M	M/G	-	-	-				
1393	11	C	4	4	10	25	NID		M	G	-	-	-		25		
1394	11	C	4	4	10	1	NID		NT		-	-	-		1		
1395	11	C	4	5	12EXT	1	Calcáneo		M	G	Artiodactyla	Cervidae	Odocoileus virginianus				
1396	11	C	4	5	12EXT	1	Vertebra- no esp.	I	M	G	-	-	-				
1397	11	C	4	5	12EXT	1	Costilla		M	G	-	-	-				
1398	11	C	4	5	12EXT	2	Hueso largo		M	G	-	-	-				
1399	11	C	4	5	12	1	Mandíbula c/dientes		M	G	Artiodactyla	Cervidae	Odocoileus virginianus				
1400	11	C	4	5	12	1	Rótula	I	M	G	Artiodactyla	Cervidae	Odocoileus virginianus				
1401	117	A	3	2	3	1	Hueso largo		M	G	-	-	-		1		
1402	120	A	3	-	4	1	Hueso largo		M	G	-	-	-	1			1
1403	120	A	3	-	4	1	Hueso largo		M	G	-	-	-	1			1
1404	120	A	3	-	4	1	Hueso largo		M	G	-	-	-				
1405	120	A	3	-	5	1	Metapodial		M	M	Artiodactyla	Cervidae	Mazama sp.				

1406	120	A	4	-	5	1	Falange 2		M	G	Artiodactyla	Cervidae	Odocoileus virginianus				
1407	120	A	6	-	3	1	Hueso largo		M	G	-	-	-				
1408	120	A	6	-	3	12	NID		M	M/G	-	-	-				
1409	120	A	6	-	4	1	Hueso largo		NT		-	-	-				
1410	120	A	7	-	2	1	Hueso largo		M	G	-	-	-				
1411	120	A	7	-	5	1	Hueso largo		A		-	cf. Galliformes	-				
1412	120	A	7	-	5	1	Pelvis	D	M	G	Artiodactyla	Cervidae	Odocoileus virginianus				
1413	120	A	7	-	5	1	Metapodial		M	G	Artiodactyla	Cervidae	Odocoileus virginianus				
1414	120	A	7	-	5	1	NID		M	G	-	-	-				
1415	116	A	1/3	-	6	1	Falange 1		M	G	Artiodactyla	Cervidae	Odocoileus virginianus				
1416	116	A	1/3	-	6	1	Radio	D	M	G	Artiodactyla	Cervidae	Odocoileus virginianus				
1417	116	A	1/3	-	6	1	Húmero	I	M	G	Artiodactyla	Cervidae	Odocoileus virginianus				
1418	116	A	1/3	-	6	1	Navícula cuboides	I	M	G	Artiodactyla	Cervidae	Odocoileus virginianus				
1419	116	A	1/3	-	6	1	Navícula cuboides	I	M	G	Artiodactyla	Cervidae	Odocoileus virginianus				
1420	116	A	1/3	-	6	1	Pelvis	I	M	G	Artiodactyla	Cervidae	Odocoileus virginianus				
1421	116	A	1/3	-	6	8	Axial/Flat		M	G	-	-	-				
1422	116	A	1/3	-	6	2	Cráneo		M	M/G	-	-	-				
1423	116	A	1/3	-	6	1	NID		M	G	-	-	-			1	
1424	116	A	1/3	-	6	1	Diente		M		-	-	-				
1425	116	A	1/3	-	6	3	PID		M	G	-	-	-				
1426	11	C	4	5	12	1	Astrágalo	D	M	G	Artiodactyla	Cervidae	Odocoileus virginianus				
1427	11	C	4	5	12	1	Astrágalo	D	M	G	Artiodactyla	Cervidae	Odocoileus virginianus				
1428	11	C	4	5	12	1	Falange 1		M	G	Artiodactyla	Cervidae	Odocoileus virginianus				
1429	11	C	4	5	12	1	Falange 1		M	G	Artiodactyla	Cervidae	Odocoileus virginianus				
1430	11	C	4	5	12	1	Coracoides	I	A		Galliformes	Phasianidae	Meleagris ocellata				
1431	11	C	4	5	12	4	Plastrón		R		Testudines	-	-				
1432	11	C	4	5	12	1	Carapacho/Plastrón		R		Testudines	-	-				
1433	11	C	4	5	12	1	Tibia	D	M	G	Artiodactyla	Cervidae	Odocoileus virginianus				
1434	11	C	4	5	12	1	Fémur	D	M	G	Artiodactyla	Cervidae	Odocoileus virginianus				
1435	11	C	4	5	12	1	Vertebra- Lumbar		M	G	Artiodactyla	Cervidae	Odocoileus virginianus				
1436	11	C	4	5	12	1	Calcáneo	I	M	G	Artiodactyla	Cervidae	Odocoileus virginianus			1	
1437	11	C	4	5	12	1	Pelvis	D	M	G	Artiodactyla	Cervidae	Odocoileus virginianus			1	
1438	11	C	4	5	12	1	Tibio tarso	I	A		Galliformes	Phasianidae	cf. Meleagris ocellata				
1439	11	C	4	5	12	1	PID		NT		-	-	-				

1440	11	C	4	5	12	1	Costilla		M	G	-	-	-				
1441	11	C	4	5	12	1	Falange 2		M	G	Artiodactyla	Cervidae	Odocoileus virginianus			1	
1442	11	C	4	5	12	1	Tibia	D	M	G	Artiodactyla	Cervidae	Odocoileus virginianus				
1443	11	C	4	5	12	1	Metatarso		M	M/G	Artiodactyla	Cervidae	-				
1444	11	C	4	5	12	1	Fémur	I	M	G	Artiodactyla	Cervidae	Odocoileus virginianus				
1445	11	C	4	5	12	10	Hueso largo		M	G	-	-	-				
1446	11	C	4	5	12	1	PID		NT		-	-	-				
1447	11	C	4	5	12	6	NID		M	G	-	-	-				
1448	117	A	3	4	6	1	Falange 1		M	G	Artiodactyla	Cervidae	Odocoileus virginianus			1	
1449	120	A	3	-	4	1	Metacarpo		M	G	Artiodactyla	Cervidae	Odocoileus virginianus	1			1
1450	120	A	3	-	4	1	Metapodial		M	G	Artiodactyla	Cervidae	Odocoileus virginianus				
1451	116	A	1/3	-	7	8	Hueso largo		M	G	-	-	-				
1452	116	A	1/3	-	7	31	NID		M	M/G	-	-	-				
1453	116	A	1/3	-	5	1	Carapacho/Plastrón		R		Testudines	-	-				
1454	116	A	1/3	-	4	2	Carapacho/Plastrón		R		Testudines	-	-				
1455	116	A	1/3	-	4	1	Axial/Flat		M		-	-	-				
1456	116	A	1/3	-	4	2	NID		M	G	-	-	-				
1457	116	A	1	-	3	1	PID		M	G	-	-	-				
1458	116	A	1	-	3	4	NID		M	G	-	-	-				
1459	116	A	1	-	4	1	PID		M	G	-	-	-				
1460	116	A	2	-	2	1	Carapacho/Plastrón		R		Testudines	-	-			1	
1461	116	A	2	-	2	1	Hueso largo		M	G	-	-	-				
1462	116	A	2	-	2	1	Cúbito		M	G	Artiodactyla	Cervidae	Odocoileus virginianus				
1463	116	A	2	-	4	2	Hueso largo		M	G	-	-	-				
1464	116	A	2	-	4	1	Hueso largo		M	G	-	-	-			1	
1465	116	A	2	-	4	1	Costilla		M	G	-	-	-				
1466	116	A	2	-	4	16	NID		M	M/G	-	-	-				
1467	116	A	3	-	2	1	NID		M	G	-	-	-				
1468	116	A	2	-	5	1	Falange 1		M	G	Artiodactyla	Cervidae	Odocoileus virginianus				
1469	116	A	2	-	5	1	Fémur	D	M	M	-	-	-				
1470	116	A	2	-	5	1	Astrágalo	I	M	G	Artiodactyla	Cervidae	Odocoileus virginianus	1			
1471	116	A	2	-	5	1	Húmero		M	G	-	-	cf. Odocoileus virginianus				
1472	116	A	2	-	5	1	Fémur	D	M	G	Artiodactyla	Cervidae	Odocoileus virginianus				
1473	116	A	2	-	5	1	Fémur	D	M	G	Artiodactyla	Cervidae	Odocoileus virginianus				

1538	20	O	1	1	7	1	Hueso largo		M	G	-	-	-							1
1539	20	O	1	1	7	1	Mandíbula (no dientes)	I	M	M	Carnivora	Canidae	Canis familiaris							
1540	20	O	1	1	7	1	Vertebra- Atlas		M	M	Carnivora	Canidae	Canis familiaris							
1541	20	O	1	1	7	1	Vertebra- Torácica		M	M	Carnivora	Canidae	Canis familiaris							
1542	20	O	1	1	7	1	Vertebra- Cervical		M	M	Carnivora	Canidae	Canis familiaris							
1543	20	O	1	1	7	1	Radio	I	M	M	Carnivora	Canidae	Canis familiaris							
1544	20	O	1	1	7	1	Maxilar (no dientes)	D	M	M	Carnivora	Canidae	Canis familiaris							
1545	20	O	1	1	7	1	Maxilar (no dientes)		M	M/G	-	-	-							
1546	20	O	1	1	7	1	Diente		M	G	Artiodactyla	Cervidae	Odocoileus virginianus							
1547	20	O	1	1	7	1	Diente- Molar	D	M	G	Artiodactyla	Cervidae	Odocoileus virginianus							
1548	20	O	1	1	7	1	Metapodial		M	M	-	-	cf. Canis familiaris							
1549	20	O	1	1	7	1	Escápula		M	M/G	-	-	-							
1550	20	O	1	1	7	1	Escápula		M	G	-	-	cf. Odocoileus virginianus							
1551	20	O	1	1	7	1	PID		M	M	-	-	-							
1552	20	O	1	1	7	1	Fémur		M	G	-	-	cf. Odocoileus virginianus							1
1553	20	O	1	1	7	1	Hueso largo		M	G	-	-	-							
1554	20	O	1	1	7	1	Hueso largo		M	M	-	-	-							
1555	20	O	1	1	7	1	Fémur	I	M	G	Artiodactyla	Cervidae	Odocoileus virginianus							
1556	20	O	1	1	7	1	Costilla		M	M	-	-	-							
1557	20	O	1	1	7	2	Costilla		M	M	-	-	-							
1558	20	O	1	1	7	3	Costilla		M	G	-	-	-							
1559	20	O	1	1	7	3	Hueso largo		M	M/G	-	-	-							
1560	20	O	1	1	7	2	Vertebra- no esp.		M	M/G	-	-	-							
1561	20	O	1	1	7	10	Cráneo		M	M/G	-	-	-							
1562	20	O	1	1	7	7	Axial/Flat		M	M/G	-	-	-							
1563	20	O	1	1	7	141	NID		M	M/G	-	-	-							
1564	20	O	1	1	7	8	PID		M	M/G	-	-	-							
1565	20	O	1	1	7	1	Cráneo		M	M/G	-	-	-							
1566	20	O	1	1	8	1	Asta		M	M/G	Artiodactyla	Cervidae	-							
1567	20	O	1	1	8	1	Cúbito	I	A		-	-	-							

1568	20	O	1	1	8	1	Fémur	I	M	M	Carnivora	Canidae	Canis familiaris					
1569	20	O	1	1	8	1	Vertebra- Torácica		M	G	-	-	cf. Odocoileus virginianus					
1570	20	O	1	1	8	1	Húmero	D	A		-	-	-					
1571	20	O	1	1	8	1	Hueso largo		M	G	-	-	-			1		1
1572	20	O	1	1	8	1	Cúbito	I	M	M	Carnivora	Canidae	Canis familiaris					
1573	20	O	1	1	8	1	Mandíbula (no dientes)	D	M	M	Carnivora	Canidae	Canis familiaris					
1574	20	O	1	1	8	1	Cráneo	D	M	G	Artiodactyla	Cervidae	Odocoileus virginianus					
1575	20	O	1	1	8	1	Cráneo	D	M	G	Artiodactyla	Cervidae	Odocoileus virginianus					
1576	20	O	1	1	8	1	Vertebra- Caudal		M	M	-	-	-					
1577	20	O	1	1	8	1	Tibia	I	M	P	Rodentia	-	cf. Orthogeomys hispidus					
1578	20	O	1	1	8	1	Pelvis	I	M	P	Rodentia	-	cf. Orthogeomys hispidus					
1579	20	O	1	1	8	2	Carapacho		R		Testudines	-	-					
1580	20	O	1	1	8	1	Hueso largo		M	G	-	-	-					1
1581	20	O	1	1	8	1	Rótula		M	G	Artiodactyla	Cervidae	Odocoileus virginianus					
1582	20	O	1	1	8	1	PID		NT		-	-	-					
1583	20	O	1	1	8	1	Hueso largo		M	M	-	-	-					
1584	20	O	1	1	8	1	Costilla		M	M	-	-	-					
1585	20	O	1	1	8	1	Hueso largo		M	G	-	-	-					
1586	20	O	1	1	8	1	Vertebra- no esp.		M	M/G	-	-	-					
1587	20	O	1	1	8	3	Cráneo		M	M/G	-	-	-					
1588	20	O	1	1	8	7	Axial/Flat		M	M/G	-	-	-					
1589	20	O	1	1	8	39	NID		NT		-	-	-					
1590	20	O	1	1	7	1	Hueso largo		M	G	-	-	-					
1591	22	-	1	2	2	2	Carapacho		R		Testudines	-	-					
1592	22	-	1	2	2	1	Fémur	D	M	M	Carnivora	Canidae	Canis familiaris					
1593	22	-	1	2	2	1	Vertebra- Torácica		M	M	Carnivora	Canidae	Canis familiaris					
1594	22	-	1	2	2	1	Costilla		M	M	-	-	-				1	
1595	22	-	1	2	2	3	NID		M	G	-	-	-					
1596	22	-	1	2	3	1	Tibia	D	M	G	Artiodactyla	Cervidae	Odocoileus virginianus			1		
1597	22	-	1	2	3	1	Calcáneo	I	M	G	Artiodactyla	Cervidae	Odocoileus virginianus					
1598	22	-	1	2	3	1	Astrágalo		M	M	Artiodactyla	Cervidae	Mazama sp.					

1599	22	-	1	2	3	1	Falange 1		M	G	-	-	-				
1600	22	-	1	2	3	1	Falange 1		M	G	-	-	-				
1601	22	-	1	2	3	1	Pelvis	D	M	G	Artiodactyla	Cervidae	Odocoileus virginianus				
1602	22	-	1	2	3	1	Pelvis	D	M	G	Artiodactyla	Cervidae	Odocoileus virginianus				
1603	22	-	1	2	3	2	Costilla		M	G	-	-	-				
1604	22	-	1	2	3	1	Pelvis	I	M	G	Artiodactyla	Cervidae	Odocoileus virginianus				
1605	22	-	1	2	3	1	Asta		M	M/G	Artiodactyla	Cervidae	-			1	
1606	22	-	1	2	3	1	Vertebra- Lumbar		M	G	Artiodactyla	Cervidae	Odocoileus virginianus				
1607	22	-	1	2	3	1	Asta		M	M/G	Artiodactyla	Cervidae	-				
1608	22	-	1	2	3	1	Vertebra- Lumbar		M	G	Artiodactyla	Cervidae	Odocoileus virginianus				
1609	22	-	1	2	3	1	Vertebra- no esp.		M	G	-	-	-				
1610	22	-	1	2	3	4	Costilla		M	G	-	-	-				
1611	22	-	1	2	3	1	Radio	I	M	G	Artiodactyla	Cervidae	Odocoileus virginianus				
1612	22	-	1	2	3	1	Radio	I	M	G	Artiodactyla	Cervidae	Odocoileus virginianus			1	
1613	22	-	1	2	3	1	Húmero	I	M	G	Artiodactyla	Cervidae	Odocoileus virginianus	0			
1614	22	-	1	2	3	1	Tibia	D	M	G	Artiodactyla	Cervidae	Odocoileus virginianus	1			
1615	22	-	1	2	3	1	Fémur	I	M	G	Artiodactyla	Cervidae	Odocoileus virginianus				
1616	22	-	1	2	3	1	Fémur	D	M	G	Artiodactyla	Cervidae	Odocoileus virginianus				
1617	22	-	1	2	3	1	Fémur	D	M	G	Artiodactyla	Cervidae	Odocoileus virginianus				
1618	22	-	1	2	3	1	Radio	D	M	G	Artiodactyla	Cervidae	Odocoileus virginianus				
1619	22	-	1	2	3	1	Radio	D	M	G	Artiodactyla	Cervidae	Odocoileus virginianus				
1620	22	-	1	2	3	1	Hueso largo		M	G	-	-	-				
1621	22	-	1	2	3	1	Cúbito	D	M	G	Artiodactyla	Cervidae	Odocoileus virginianus	0			
1622	22	-	1	2	3	1	Hueso largo		M	M/G	-	-	-				
1623	22	-	1	2	3	1	PID		M	G	-	-	-				
1624	22	-	1	2	3	1	Axial/Flat		M	G	-	-	-				
1625	22	-	1	2	3	16	Hueso largo		M	G	-	-	-				
1626	22	-	1	2	3	2	Axial/Flat		M	M/G	-	-	-				
1627	22	-	1	2	3	25	NID		M	M/G	-	-	-				
1628	22	-	1	2	4	1	Falange 3		M	G	Artiodactyla	-	cf. Odocoileus virginianus				
1629	22	-	1	2	4	1	Falange 2		M	G	Artiodactyla	Cervidae	Odocoileus virginianus				
1630	22	-	1	2	4	2	Costilla		NT		-	-	-				
1631	22	-	1	2	4	1	Diente- Molar	D	M	G	Artiodactyla	Cervidae	Odocoileus virginianus				
1632	22	-	1	2	5	1	Falange 1		M	G	Artiodactyla	Cervidae	Odocoileus virginianus				

1633	22	-	1	2	5	1	Falange 2		M	G	Artiodactyla	Cervidae	Odocoileus virginianus					
1634	22	-	1	2	5 Ext	1	Metatarso		M	M/G	Artiodactyla	Cervidae	-					
1635	22	-	1	2	5 Ext	1	Falange 1		M	G	Artiodactyla	Cervidae	Odocoileus virginianus					
1636	22	-	1	2	5 Ext	1	Metapodial		M	M/G	Artiodactyla	Cervidae	-					
1637	22	-	1	2	5 Ext	2	Hueso largo		M	G	-	-	-				2	
1638	22	-	1	2	5 Ext	1	Hueso largo		M	G	-	-	-					
1639	22	-	1	2	5 Ext	2	Axial/Flat		NT		-	-	-				2	
1640	22	-	2	2	2	1	Carapacho/Plastrón		R		Testudines	-	-					
1641	22	-	2	2	2	1	Axial/Flat		NT		-	-	-				1	
1642	22	-	2	2	2	1	Fémur	D	M	P	-	-	-					
1643	22	-	2	2	2	1	Coracoides	D	A		Galliformes	Phasianidae	-					
1644	22	-	2	2	2	1	Vertebra- Lumbar		M	G	Artiodactyla	Cervidae	Odocoileus virginianus					
1645	22	-	2	2	2	1	Vertebra- Lumbar		M	G	-	-	cf. Odocoileus virginianus					
1646	22	-	2	2	2	1	Falange 1		M	G	Artiodactyla	Cervidae	Odocoileus virginianus					
1647	22	-	2	2	2	1	Calcáneo	I	M	G	Artiodactyla	Cervidae	Odocoileus virginianus					
1648	22	-	2	2	2	1	Vertebra- no esp.		M	G	-	-	-					
1649	22	-	2	2	2	1	Costilla		M	G	-	-	-					
1650	22	-	2	2	2	1	Hueso largo		M	G	-	-	-					
1651	22	-	2	2	2	1	Metatarso		M	G	Artiodactyla	Cervidae	Odocoileus virginianus					
1652	22	-	2	2	2	1	Hueso largo		M	G	-	-	-					
1653	22	-	2	2	2	2	Cráneo		M	M/G	-	-	-					
1654	22	-	2	2	2	1	PID		M	G	-	-	-					
1655	22	-	2	2	2	6	Hueso largo		M	G	-	-	-					
1656	22	-	2	2	2	3	NID		M	M/G	-	-	-					
1657	22	-	2	2	2	1	Hueso largo		M	G	-	-	-					
1658	22	-	2	2	2 EXT 1	1	Mandíbula c/dientes	D	M	G	Artiodactyla	Cervidae	Odocoileus virginianus					
1659	22	-	2	2	2 EXT 1	1	Húmero	I	M	G	Artiodactyla	Cervidae	Odocoileus virginianus					
1660	22	-	2	2	2 EXT 1	1	Metapodial		M	G	Artiodactyla	Cervidae	Odocoileus virginianus					1
1661	22	-	2	2	2 EXT 1	1	Fémur	D	M	G	Artiodactyla	Cervidae	Odocoileus virginianus					1
1662	22	-	2	2	2 EXT 1	1	Vertebra- Torácica		M	G	Artiodactyla	Cervidae	Odocoileus virginianus					

1663	22	-	2	2	2 EXT 1	2	Hueso largo		M	G	-	-	-				
1664	22	-	2	2	2 EXT 1	1	NID		M	G	-	-	-				
1665	22	-	2	2	2 EXT 1	1	PID		NT		-	-	-				1
1666	22	-	2	2	2 EXT 2	1	PID		NT		-	-	-				1
1667	22	-	2	2	2 EXT 2	1	Tibia	D	M	G	Artiodactyla	Cervidae	Odocoileus virginianus				
1668	22	-	2	2	2 EXT 2	1	Astrágalo	D	M	G	Artiodactyla	Cervidae	Odocoileus virginianus				
1669	22	-	2	2	2 EXT 2	1	Pelvis	I	M	G	Artiodactyla	Cervidae	Odocoileus virginianus				
1670	22	-	2	2	2 EXT 2	1	Metatarso	I	M	G	Artiodactyla	Cervidae	Odocoileus virginianus				
1671	22	-	2	2	2 EXT 2	1	Metapodial		M	M	Carnivora	Canidae	Canis familiaris				
1672	22	-	2	2	2 EXT 2	1	Fémur	D	M	G	Artiodactyla	Cervidae	Odocoileus virginianus				
1673	22	-	2	2	2 EXT 2	1	Costilla		M	M/G	-	-	-				
1674	22	-	2	2	2 EXT 2	1	Fémur	D	M	G	Artiodactyla	Cervidae	Odocoileus virginianus				
1675	22	-	2	2	2 EXT 2	1	Vertebra- no esp.		M	G	-	-	-				
1676	22	-	2	2	2 EXT 2	2	Axial/Flat		M	G	-	-	-				
1677	22	-	2	2	2 EXT 2	1	Hueso largo		M	G	-	-	-				
1678	22	-	2	2	2 EXT 2	1	NID		M	G	-	-	-				
1679	22	-	2	2	3	1	Calcáneo	D	M	G	Artiodactyla	Cervidae	Odocoileus virginianus				
1680	22	-	2	2	3	1	Astrágalo	I	M	G	Artiodactyla	Cervidae	Odocoileus virginianus				
1681	22	-	2	2	3	1	Tibia	I	M	M	Artiodactyla	Cervidae	Mazama sp.	1			1
1682	22	-	2	2	3	1	Tibia	D	M	G	Artiodactyla	Cervidae	Odocoileus virginianus				
1683	22	-	2	2	3	1	Tibia	D	M	G	Artiodactyla	Cervidae	Odocoileus virginianus			1	

1684	22	-	2	2	3	1	Tibia	D	M	G	Artiodactyla	Cervidae	Odocoileus virginianus				
1685	22	-	2	2	3	1	Fémur	D	M	G	Artiodactyla	Cervidae	Odocoileus virginianus				
1686	22	-	2	2	3	1	Vertebra- Lumbar		M	G	Artiodactyla	Cervidae	Odocoileus virginianus				
1687	22	-	2	2	3	1	Pelvis	D	M	G	Artiodactyla	Cervidae	Odocoileus virginianus				
1688	22	-	2	2	3	1	Pelvis	I	M	G	Artiodactyla	Cervidae	Odocoileus virginianus				
1689	22	-	2	2	3	1	Pelvis	I	M	G	Artiodactyla	Cervidae	Odocoileus virginianus				
1690	22	-	2	2	3	1	Húmero	I	M	G	Artiodactyla	Cervidae	Odocoileus virginianus				
1691	22	-	2	2	3	1	Tibia	D	M	G	Artiodactyla	Cervidae	Odocoileus virginianus				
1692	22	-	2	2	3	1	PID		M	G	-	-	-			1	
1693	22	-	2	2	3	1	Tibia	D	M	G	Artiodactyla	Cervidae	Odocoileus virginianus	1			
1694	22	-	2	2	3	1	Mandíbula (no dientes)		M	M	-	-	-				
1695	22	-	2	2	3	1	Metatarso	I	M	M/G	Artiodactyla	Cervidae	cf. Odocoileus virginianus				
1696	22	-	2	2	3	1	PID				-	-	-				
1697	22	-	2	2	3	5	Metapodial		M	M/G	Artiodactyla	Cervidae	-				
1698	22	-	2	2	3	1	Fémur	I	M	G	Artiodactyla	Cervidae	Odocoileus virginianus				
1699	22	-	2	2	3	1	Fémur	I	M	G	Artiodactyla	Cervidae	Odocoileus virginianus				
1700	22	-	2	2	3	1	Costilla		M	M/G	-	-	-				
1701	22	-	2	2	3	2	Costilla		M	G	-	-	-				
1702	22	-	2	2	3	2	Hueso largo		M	G	-	-	-			2	
1703	22	-	2	2	3	7	PID		M	M/G	-	-	-				
1704	22	-	2	2	3	3	Axial/Flat		M	M/G	-	-	-				
1705	22	-	2	2	3	28	Hueso largo		M	G	-	-	-				
1706	22	-	2	2	3	23	NID		M	M/G	-	-	-				
1707	22	-	1	3	6	1	Calcáneo	I	M	G	Artiodactyla	Cervidae	Odocoileus virginianus				
1708	22	-	1	3	6	1	Metatarso	D	M	G	Artiodactyla	Cervidae	Odocoileus virginianus				
1709	22	-	1	3	6	1	Vertebra- no esp.		M	G	-	-	-				
1710	22	-	1	3	6	1	Calcáneo		M	G	Artiodactyla	Cervidae	Odocoileus virginianus				
1711	22	-	1	3	6	1	Costilla		M	M/G	-	-	-				
1712	22	-	1	3	6	1	Hueso largo		M	G	-	-	-			1	
1713	22	-	1	3	6	1	NID		M	G	-	-	-			1	

CAPÍTULO XV

CARACTERIZACIÓN DE ENTOMOFAUNA, MASTOFAUNA Y LISTADO DE ESPECIES EN EL SITIO ARQUEOLÓGICO LA CORONA, TEMPORADA DE CAMPO 2016

Reynhold Gelera, Daniel Juárez y Camilo Rivera

Introducción

El sitio arqueológico La Corona se encuentra al norte de la República de Guatemala, en el municipio de San Andrés en el departamento de Petén. El sitio abarca área del Parque Nacional Laguna del Tigre, la Zona de Manejo Especial de Laguna del Tigre y el Corredor Biológico, todo parte de la Reserva de la Biósfera Maya (RBM). El sitio se define por condiciones climáticas promedio representados por 25° C de temperatura y entre 1,400 y 1,530 mm de precipitación anuales (Schulze y Whitacre 1999).

El objetivo de este estudio fue ampliar el conocimiento que se tiene con respecto a la fauna tanto de invertebrados como de vertebrados en el sitio arqueológico la Corona, así como conocer la calidad de los cuerpos de agua adyacentes al sitio y relacionarlo a largo plazo con factores de cambio climático. Así mismo este estudio es de suma importancia ya que permitió ayudar a los estudiantes tanto en sus destrezas de campo y ecología, así como de trabajo en equipo.

Los objetivos del estudio consistieron en realizar un inventario preliminar de la mastofauna y entomofauna asociados al bosque bajo en La Corona, Petén, así como caracterizar algunos parámetros físico-químicos de la aguada permanente “La Curvada”.

Trabajo de campo

Análisis de agua

Se obtuvo agua de 5 puntos en la aguada que no presenta sequías a lo largo del año (Laguna “Curvada”), una muestra de un arroyo en las cercanías del campamento y una muestra de la aguada "El Jabirú", donde se extrae agua para consumo humano. Se utilizaron botellas de plástico, las cuales se lavaron previamente con agua destilada. A la hora de tomar la muestra se lavó 3 veces con el agua del punto de muestreo y finalmente se obtuvo un aproximado de 200 ml de agua. Se realizaron pruebas preliminares de concentración de nitratos y nitritos utilizando un HATCH. Los programas utilizados se encuentran en el manual.

Trampas para mariposas

Se usaron 7 trampas Van Someren-Rydon con cebo a base de banano desecho y cerveza en estado de putrefacción de mínimo 5 días. Adicional, al momento de montar las trampas se agregó aproximadamente 15 ml de bebida energizante. Las trampas se amarraron con rafia a la rama de un árbol, se elevaron a diferentes alturas y se aseguraron a una parte baja del tronco. Cada individuo colectado fue fotografiado y luego identificado.

Trampa de luz

Se utilizó el tipo de trampa de luz de manta blanca con foco de luz de mercurio. La trampa fue colocada por tres días durante dos horas por noche, de 7-9pm cerca del campamento, cerca de una aguada. Se fotografió todos los insectos grandes, aproximadamente >5mm, para su posterior identificación.

Mastofauna

Se realizó la captura de Chiropteros y muestreo directo de mamíferos medianos y grandes en el sitio arqueológico La Corona, utilizando cuatro redes de niebla de 4 m, una trampa arpa modelo G6 y siete cámaras trampa a manera de registrar las especies que componen el sitio de muestreo. Las redes de niebla y la trampa arpan se colocaron en senderos dentro del área de bosque (Figura 15.1). A los murciélagos capturados se les tomaron medidas morfométricas para poder identificarlos hasta especie, utilizando la clave de campo *Identificación de los Murciélagos de México* de Medellín, Arita y Sánchez (2007) y la guía *A field guide to the mammals of Central America and Southeast México* de Reid (1997). Por último, se fotografiaron y se liberaron.

Así mismo, para determinar la composición de especies de mamíferos medianos y grandes en el sitio arqueológico La Corona, se realizó un muestreo directo utilizando trampas cámara, las cuáles son sensibles al movimiento y registran toda actividad desde su instalación. Las cámaras se instalaron en diferentes puntos durante el muestreo para abarcar la mayor área posible; estas cámaras fueron instaladas y dejadas un día para que registrara la actividad de los mamíferos presentes en el sitio.

Se realizó la georreferenciación de todos los puntos de muestreo, incluyendo los puntos de calidad de agua, trampas Van Somerer, redes de niebla, cámaras trampa y trampa arpa. El mapa con dichos puntos se muestra en la Figura 15.1.

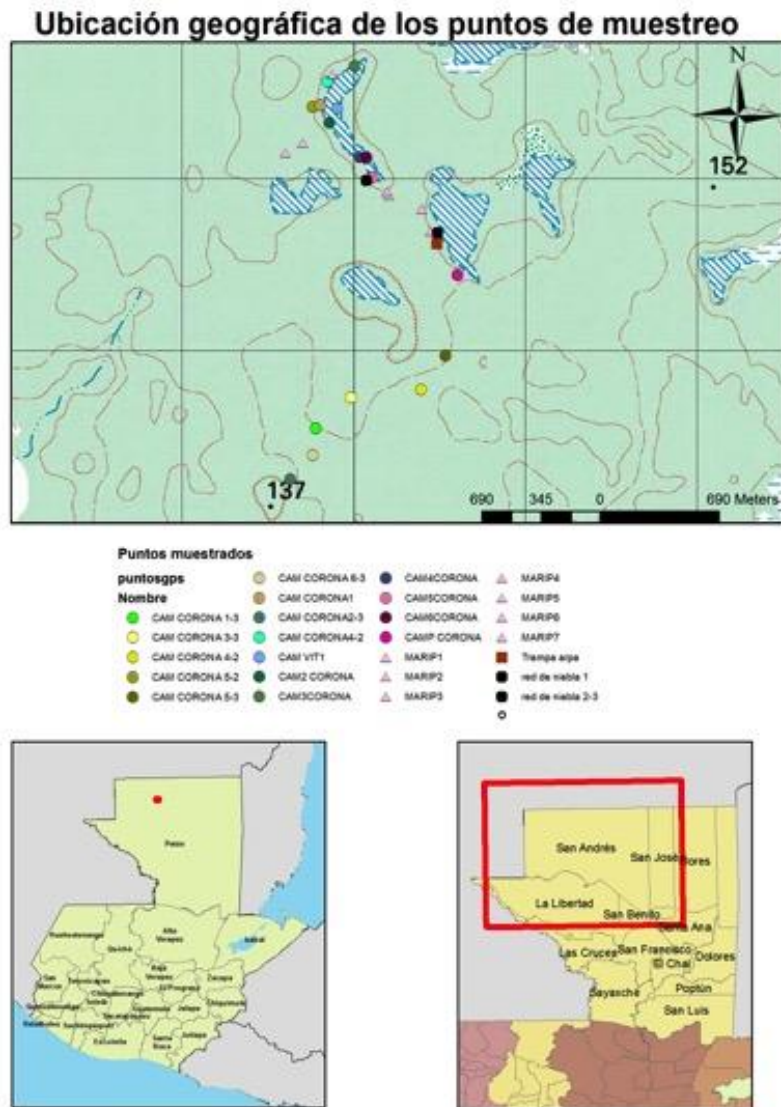


Figura 15.1 Ubicación geográfica de los puntos de muestreo

Resultados

Análisis de agua

Para el cuerpo de agua principal “La Curvada” (*) los nitritos presentan un rango de 0-0.018mg/L y como promedio 0.007mg/L. En cuanto a nitritos, el rango es 0.3-5.5mg/L con un promedio de 1.84mg/L, los cuales se encuentran dentro de los estándares básicos (USEPA 1987). Para ver los demás cuerpos de agua ver Tabla 15.1. Debido a falta de recursos no se pudo realizar pruebas de sulfatos y fosfatos, siendo este último uno de los parámetros más importantes para definir el estado del agua. Por lo que se recomienda su realización y una caracterización más detallada de las demás aguadas en la zona. También se recomienda utilizar lanchas en las aguadas para poder obtener resultados más detallados de cada aguada.

Punto	Nitrito (mg/L)	Nitrato (mg/L)
Cam 2*	0.003	5.5
Cam4*	0	1.8
Aguada 1*	0.014	0.8
Aguada 2*	0	0.8
Aguada 3*	0.018	0.3
Pozo en Uso	0.017	0.5
Rio	0.018	0.6
Niveles Estándar	0.3mg/L	4-9mg/L

Tabla 15.1 Resultados de calidad de agua en cuerpos de agua principales.
(*) Puntos tomados de la aguada más importante, “La Curvada”

Entomofauna

Se registró en fotografía 124 especies, 52 familias y 10 órdenes. Entre los órdenes más abundantes se registró a Lepidóptera con 50 especies y Coleóptera con 28 especies. Para Lepidóptera las familias más importantes son Nymphalidae con seis especies y Saturniidae con siete especies. Para Coleóptera la familia más abundante fue Scarabaeidae con 11 especies. Todas las demás especies están listadas en Tabla 15.4. Se esperaba coleccionar una alta densidad de lepidópteros tanto nocturnos y diurnos en las trampas Van Somerer Rydon y en la trampa de luz, pero debido a las fuertes lluvias el cebo en las trampas Van Somerer Rydon se lavó afectando el muestreo.

Por otro lado, se cree que la luna pudo haber afectado la fenología no solo de lepidópteros sino de los demás insectos presentes en este bosque, lo que impidió que se lograra observar más diversidad de entomofauna. Por otra parte, se conoce que pueden existir errores de muestreo a lo largo del año por lo que sería necesario hacer un muestreo en todas las épocas del año. Entre esto los fuegos parecen tener un impacto en la diversidad y también puede fluctuar su riqueza (Moranz *et al.* 2014), por lo que se recomienda un sondeo a lo largo del año. Entre las especies destacadas se pueden mencionar *Photographium epidaus*, *Rothschildia lebeau*, *Macropoides crassipes*, *Fulgora laternaria* y *Tropidacris cristata*.

Mastofauna

Se registró tanto mamíferos medianos y grandes como microquirópteros. De las 6 especies de microquirópteros reportados en este estudio la mayoría pertenecen al gremio trófico

frugívoro a excepción de *Bauerus dubiaquercus* y *Myotis sp.*, que pertenecen al gremio trófico de insectívoros. Al igual que el estudio de McCracken *et al.* (2008), se registraron en mayoría especies pertenecientes a la familia Phyllostomidae debido al método de captura. Las redes de niebla, debido a su poca altura, por lo general, capturan chiropteros pertenecientes al gremio frugívoros. Ahora bien, utilizando el otro método de captura, trampa arpa, se capturaron los únicos murciélagos insectívoros en este estudio. Las especies de murciélagos se encuentran listados en el Tabla 15.2.

Anexo		Especie
1	Phyllostomidae Phyllostominae	Chropterus aureus
2	Phyllostomidae Stenodermatinae	Vampyressa thylene
3	Phyllostomidae Stenodermatinae	Uroderma bilobatum
4	Phyllostomidae Stenodermatinae	Artibeus watsoni
5	Vespertilionidae	Bauerus dubiaquercus
6	Vespertilionidae	Myotis sp

Tabla 15.2 Especies de murciélagos encontradas en el sitio

Mediante el uso de cámaras trampa se logró detectar la presencia de ocelote (*Leopardus pardalis*), jaguar (*Panthera onca*), tacuazín (*Didelphys virginiana*), venado (*Odocoileus virginianus*) y pizote (*Nasua narica*). La presencia de ocelote y jaguar determina que el sitio Arqueológico La Corona en definitiva es muy importante debido a que sirve como corredor para estas especies, por lo que es importante conservar el bosque ya que así se conservara todo el ecosistema y demás especies registradas en este estudio como el mono araña (*Ateles geoffroyi*) y mono aullador (*Alouatta palliata*). Para ver otras especies registradas ver Tabla 15.3.

Nombre común	Especie	Método de captura
Gavilan	<i>Buteo nitidus</i>	Cámara trampa
Ameiva	<i>Ameiva sp.</i>	Cámara trampa
Tapa caminos	<i>Caprimulgus sp.</i>	redes de niebla
Culebra rayada	<i>Coniophanes imperialis</i>	Directo
Rana de árbol yucateca	<i>Tripurion petasatus</i>	Directo
Rana Woo	<i>Rhinophrynus dorsalis</i>	Directo
Rana de Vaillant	<i>Lithobates vaillanti</i>	Directo

Tabla 15.3 Otras especies encontradas en el sitio arqueológico La Corona




Se esperaba encontrar bastantes resultados en las aguadas con las cámaras trampa, pero debido a la época lluviosa, la cual ofrece más disponibilidad de agua, porque los animales presentan más en el área. Otro factor importante fue la luna llena, que crea una disminución de la actividad nocturna. Para mamíferos se recomienda planear una gira evitando luna llena, para poder obtener mejores resultados tanto en murciélagos como en la cámara trampa. Además, un monitoreo de actividad animal alrededor de las aguada para estudiar su importancia, principalmente en la época seca, donde sea una fuente importante de agua.






Tabla 15.4 Listado de especies identificadas de entomofauna.




Orden/Familia	Especie
Orthoptera Romaleidae	<i>Tropidacris cristata</i>
Lepidoptera Nymphalidae	<i>Siderone galanthis</i> <i>Smyrna blomfieldia</i> <i>Anarthia jathropae</i>
Lepidoptera Erebidae	<i>Spilosoma sp.</i>
Lepidoptera Yponomeutidae	<i>Atteva sp.</i>
Lepidoptera Saturniidae	<i>Arsenura armida</i> <i>Citheronia sp.</i>

		<i>Copaxa multifenestrata</i>
		<i>Eacles imperialis</i>
		<i>Rothschildia lebeau</i>
Lepidoptera		
	Noctuidae	<i>Ascalapha odorata</i>
Lepidoptera		
	Papilionidae	<i>Photographium epidaus</i>
Lepidoptera		
	Crambidae	<i>Cydalima</i> sp.
Hymenoptera		
	Vespidae	<i>Apoica</i> sp.
Hymenoptera		
	Formicidae	<i>Atta</i> sp.
Hemiptera		
	Belostomatidae	<i>Abedus</i> sp.
Hemiptera		
	Fulgoridae	<i>Fulgora laternaria</i>
Coleoptera		
	Scarabaeidae	<i>Cyclocephala</i> sp.
		<i>Amithao erythropus</i>
		<i>Dyscinetus</i> sp.
		<i>Enemna edimyum</i>
		<i>Gymnetis</i> sp.
		<i>Stenocrates eniocanoi</i>
		<i>Phyllophaga</i> sp. 1
		<i>Phyllophaga</i> sp. 2
		<i>Phyllophaga rugipennis</i>
		<i>Pelinnota punctata</i>
		<i>Macropoides crassipes</i>
Coleoptera		
	Hydrophilidae	<i>Hydrophilus</i> sp.
Coleoptera		
	Passalidae	<i>Passalus punctiger</i>
		<i>Odontotaenius stratopunctatus</i>
Coleoptera		
	Cerambycidae	<i>Lagocheirus</i> sp.
Blattaria		
	Blaberidae	<i>Panchlora</i> sp.

Tabla 15.5 Listado de especies de mamíferos encontrados en el sitio arqueológico La Corona
(Fotografías por Reynhold Gelera y Gabriela Palomo)

Especies	Estado de conservación (IUCN)	Fotografía
<i>Chropterus aureus</i>	Menor preocupación (LC)	
<i>Vampyressa thyone</i>	Menor preocupación (LC)	
<i>Uroderma bilobatum</i>	Menor preocupación (LC)	

<i>Artibeus watsoni</i>	Menor preocupación (LC)	
<i>Bauerus dubiaquercus</i>	Casi amenazado (NT)	
<i>Myotis sp</i>	-	
<i>Leopardus pardalis</i>	Menor preocupación (LC)	
<i>Panthera onca</i>	Casi amenazado (NT)	

<p><i>Didelphys virginiana</i></p>	<p>No listado</p>	
<p><i>Odocoileus virginianus</i></p>	<p>Menor preocupación (LC)</p>	
<p><i>Nasua narica</i></p>	<p>Menor preocupación (LC)</p>	

SÍNTESIS Y CONCLUSIONES DE LA TEMPORADA DE CAMPO 2016

Marcello Canuto, Tomás Barrientos y Eduardo Bustamante

Síntesis de la Temporada 2016

Los trabajos efectuados en 2016 fueron mayormente de campo, ya que consistieron en una extensión del convenio anterior, que abarcó desde mayo a agosto. La temporada de excavaciones fue desarrollada entre el 11 de mayo y el 1 de julio del año en curso, la cual consistió en 52 días de trabajo repartidos en 2 planes de trabajo de 22 días cada uno más 8 días de preparación y cierre de campamento.

El proyecto PRALC contó esta temporada con la dirección de los doctores Tomas Barrientos y Marcello Canuto, así como la participación de 10 profesionales guatemaltecos, 5 arqueólogos extranjeros (todos estudiantes de nivel Doctorado de la Universidad de Tulane) y 5 estudiantes de la Universidad del Valle de Guatemala. También se contó con la participación de 62 técnicos en excavación y dibujo, 12 personas a cargo de la logística y 4 vigilantes.

Durante la temporada de campo, el Proyecto PRALC realizó excavaciones en cuatro sitios localizados dentro del área de trabajo del proyecto: La Corona, La Cariba, El Jobillo y El Achiotal. Los trabajos realizados en La Corona se enfocaron en tres áreas de trabajo: Estructura 13Q-4 o Palacio (ver capítulos 2, 3 y 4), Estructura 13Q-3 (ver Capítulo 5) y el Grupo Coronitas (ver Capítulo 6). En el sitio de La Cariba las excavaciones se centraron en las estructuras A-1, A-3 y B-1 (ver Capítulo 7); y en El Jobillo se realizaron pozos de sondeo en los grupos de patio y el registro de saqueos recientes (ver Capítulo 8). Los trabajos arqueológicos en El Achiotal se centraron en las trincheras y túneles de saqueo de la Estructura 5C-01 (Capítulo 9) y la continuación de la excavación del edificio 5C-08 (ver Capítulo 10). También se realizó una fase inicial del trabajo de identificación de especies animales por parte de estudiantes de biología de la Universidad del Valle de Guatemala (Capítulo 15).

Los trabajos en el laboratorio se limitaron a un análisis muy preliminar de la cerámica a cargo de Caroline Parris, así como la presentación de resultados finales de análisis isotópicos de restos óseos humanos (Capítulo 11) y del análisis de huesos de fauna (Capítulo 12).

Nuevas interpretaciones sobre la relación entre *K'aanul* y La Corona

Un elemento sumamente importante en el desarrollo de la corte real de La Corona fue su asociación con el gran reino *K'aanul*, el cual estuvo basado en los centros de Dzibanché y Calakmul. La alianza entre La Corona y *K'aanul* se fundó y se mantuvo porque los reyes de *K'aanul* enviaron a tres princesas a La Corona para casarse con los reyes locales (Martin 2008). También los reyes de *K'aanul* visitaron a la corte real de La Corona en muchas ocasiones, y fue común que los gobernantes de La Corona viajaran a la capital *K'aanul* (Canuto y Barrientos 2013; Stuart *et al.* 2015).

A pesar de las relaciones estrechas de parentesco y visitas frecuentes entre las dos ramas de esta familia real, los hijos de los reyes de La Corona pasaban mucho tiempo, o quizás, se criaban en Calakmul, posiblemente conociendo a sus futuras esposas durante sus estancias la corte real de *K'aanul*. Tan fuerte era este control hegemónico sobre La Corona que sus gobernantes nunca tuvieron la libertad de presentarse como reyes “típicos” de una ciudad Maya clásica. A lo largo de toda la alianza con *K'aanul*, los reyes de La Corona nunca usaron un glifo emblema. Tuvieron el uso de otro título, *Sak Wahyis*, que significa algo como “alma pura” y que se relaciona estrechamente con los súbditos de *K'aanul*.

Además de eso, los reyes de La Corona parecen haberse distanciado de los papeles bélicos de los cuales otros reyes Mayas solían jactarse. En el copioso registro de arte político en La Corona, no existe un texto ni una imagen de un rey de La Corona despeñando un papel guerrero; los textos no registran si lograron cautivos, si entraron en guerra, si conquistaron enemigos, o si sacrificaron prisioneros. Los textos de La Corona describen a los reyes realizando actividades exclusivamente más delicadas, como la celebración de bodas, invocación a antepasados, dedicación de estructuras, entierro de sus padres, recepción de nuevas insignias de poder, viajes a Calakmul, y construcción de templos y rituales. De hecho, los retratos de la familia real de La Corona los pintan en contextos sumamente palaciegos, recibiendo tributo, sentados en tronos con sus mascotas, quemando incienso y también bailando.

Lo que se puede inferir en cuanto a los textos y arte político de La Corona es un sutil registro de dominio hegemónico de *K'aanul* en el gobierno de La Corona. Ósea, el control no era solo una subordinación efímera de un individuo por otro, sino *K'aanul* intentaba una manipulación sistemática del gobierno para institucionalizar la desigualdad política a nivel regional.

La importancia del palacio en La Corona

Las investigaciones del palacio en La Corona han logrado mostrar con más detalle empírico las estrategias implícitas en la evidencia jeroglífica e iconográfica. Las excavaciones en el palacio real de La Corona han revelado cinco fases constructivas (Figura 16.1) que corresponden desde finales del Clásico Temprano (i.e., Tzakol 3: 500-600 d.C.) hasta el fin del Clásico Tardío (i.e., Tepeu 3: 700-830 d.C.).

<i>Kaanal</i> princesses	Arrival date (AD)	La Corona ruler	Dates of reign (AD)	Construction phase	Ceramic complex	Date of phase
Ix ? Naah Ek'	520	"Vulture"	(544)	Canario	Tzakol 3	500-600
Ix Ox Kan		Sak Maas	625-655	Cocochoan	Tzakol 3-Tepeu 1	600-640
		K'uk' Ajaw	655-658			
Ix Wak Chan? Ajaw		Chak Nahb Chan	658-667	Colibri	Tepeu 1	640-670
Ix Tz'ib Winik	679	'Kinich? Yook	667-689	Halcón I	Tepeu 1-2	670-690
		Chak Ak' Paat Kuy	689-?	Halcón I/II	Tepeu 1-2	690-720
Ix Ti' Kan	721	Janahb/Yajawte' K'inich	(721)(746)	Halcón II	Tepeu 2	720-750
	?	?	?	Tucán	Tepeu 2	750-830
Ix Kaloomte' (Mut)	791-797	"Late king"	?		Tepeu 2	750-830
		?	?	Abandonment	Tepeu 3	830

Figura 16.1 Secuencia arquitectónica, dinástica y cerámica de La Corona (Tabla por M. Lamoureux-St-Hilaire y E. Bustamante)

La fundación arquitectónica del palacio en La Corona se relaciona al principio de la colaboración entre los gobernantes del sitio y el Reino *K'aanul*. En otras palabras, proponemos que el estado *K'aanul* controlaba la institución gubernamental de La Corona desde el siglo sexto. Además, se pueden correlacionar fases importantes de la construcción del palacio con la sucesión de los gobernantes de La Corona, quienes tuvieron necesidades políticas y económicas que incrementaron en complejidad durante la historia del sitio.

La fase más temprana del palacio, nombrada Canario, se relaciona con la llegada de la primera princesa del Reino *K'aanul*, Señora *Ix ? Naah Ek'* en 520 d.C., durante el reinado del rey conocido como "Buitre." Los datos sugieren que el concepto propio de un palacio en La Corona se vincula estrechamente con la presencia e influencia *K'aanul* en el sitio.

La segunda fase, nombrada Coccochan, y sus complejos cerámicos Tzakol 3 y Tepeu 1 se relaciona con el gobernante *Sak Maas* (625-655 d.C). Esta fase representa un crecimiento notable en el palacio. Al inicio de esta fase, el palacio consistía en cuatro estructuras que conformaban un patio cuadrangular, de apariencia habitacional. Sin embargo, cada estructura, a pesar de estar en un mismo espacio, presenta dimensiones y características arquitectónicas distintas, sugiriendo que tuvieron distintas funciones. A mediados del siglo séptimo, las estructuras norte y oeste de este patio sufrieron una serie de modificaciones que sugieren un cambio de función habitacional a función administrativa de este patio. De hecho, al final de esta fase, se construyeron otras estructuras al oeste y norte para crear el nuevo grupo noroeste, que suplió las necesidades habitacionales antes suplidias por el patio Coccochan (Figura 16.2)

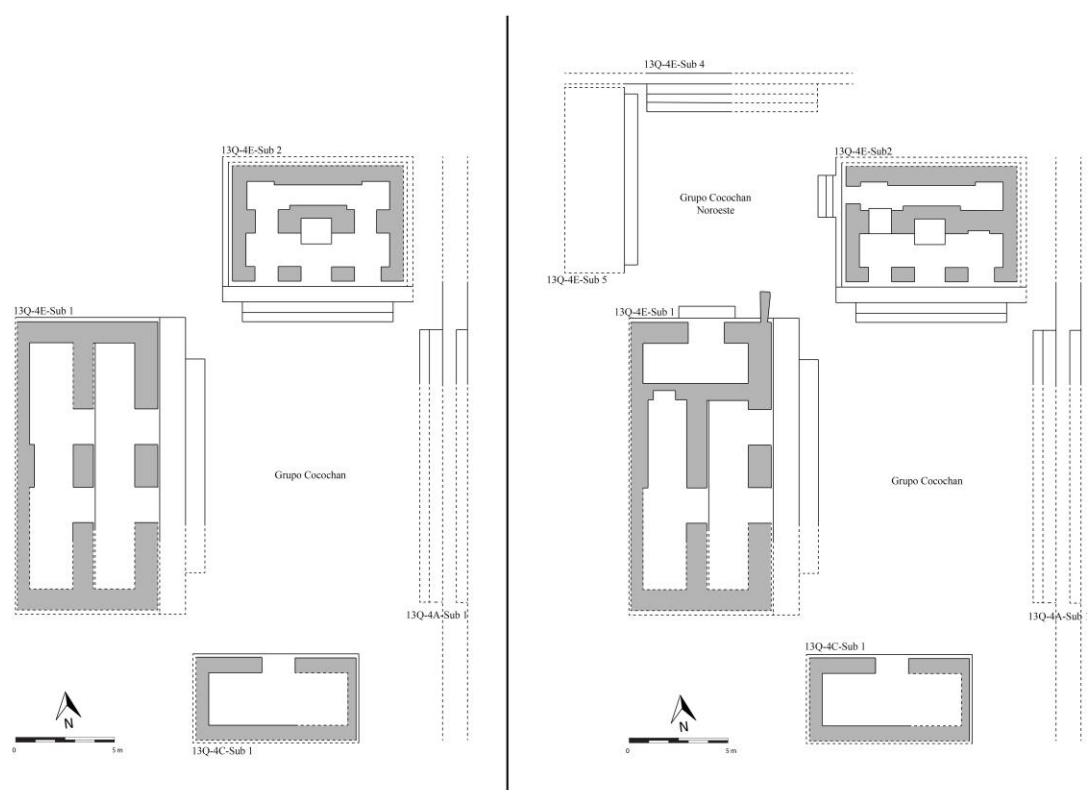


Figura 16.2 Idealización de las subfases Coccochan-I (Derecha) y Coccochan-II (Izquierda)
(Dibujo por E. Bustamatne)

La tercera fase, nombrada Colibrí, está asociada con el complejo cerámico Tepeu 1 (Caroline Parris, comunicación personal, 2015) y con el reino del gobernante *Chak Nahb Chan*, quien gobernó entre el 658 y el 667 d.C. En esta fase, el patio Coccochan se convirtió de un espacio residencial a uno administrativo, culminando con la construcción de una plataforma elevada y publica. El patio hundido al noroeste siguió habitacional y privado.

La siguiente fase, nombrada Halcón, es relacionada con los gobernantes *K'inich ? Yook*, su hermano *Chak Ak' Paat Kuy* y su hijo *Yajawte 'Kinich*, fechada de 667 a ca. 740 d.C. Durante esta fase llegaron la segunda princesa *K'aanul, Ix Tz'ib Winik* en 679 d.C., y la tercera princesa *Ix Ti' Kan*, en 721 d.C. Se construyeron muchos edificios de mampostería con bóvedas, incluyendo la Estructura 13Q-4E, que cambió por completo los patrones de asentamiento, acceso y visibilidad del palacio. Se reconoce que como conjunto, los edificios de esta fase tenían funciones distintas, incluyendo administrativas, residenciales, de almacenamiento, o de producción. Considerando este patrón y el hecho que la circulación alrededor de los varios patios estaba estrechamente controlada, se puede inferir que la corte real se estaba haciendo más compleja y especializada (Figuras 14.3 y 14.4).

La quinta y última fase constructiva, nombrada Tucán, corresponde al 750 d.C. hasta el abandono del sitio en el inicio de noveno siglo d.C. No hubo gran construcción en esta fase, sino múltiples cambios en la visibilidad y el acceso al patio norte para aumentar su privacidad (Lamoureux-St-Hilaire y Morales 2016) y la cancelación de varios edificios, los cuales fueron desmantelados parcialmente y rellenados. Es notable que hay indicaciones que durante esta fase un gobernante desconocido de La Corona reubicó paneles jeroglíficos que trataban de la historia de la dinastía Corona y *K'aanul* a dentro de su corte.

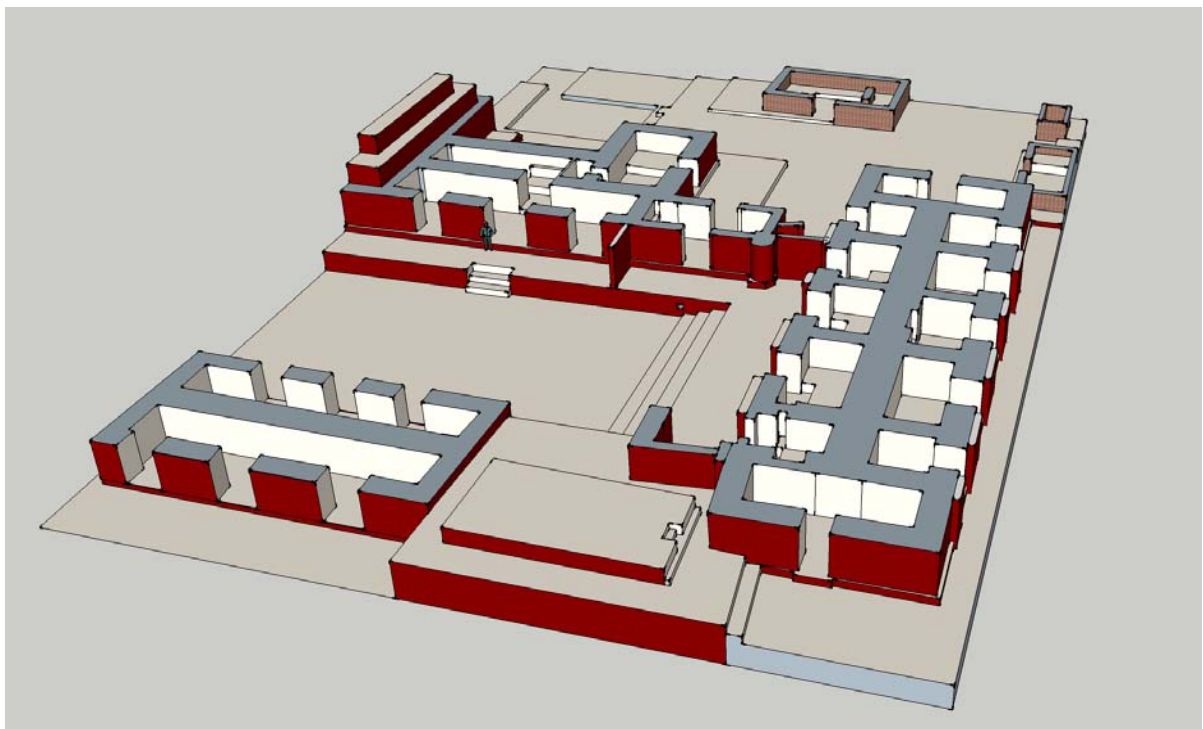


Figura 16.3 Reconstrucción de la sección norte del palacio de La Corona durante la fase Halcón/Tucán (Dibujo por M. Lamoureux-St-Hilaire)

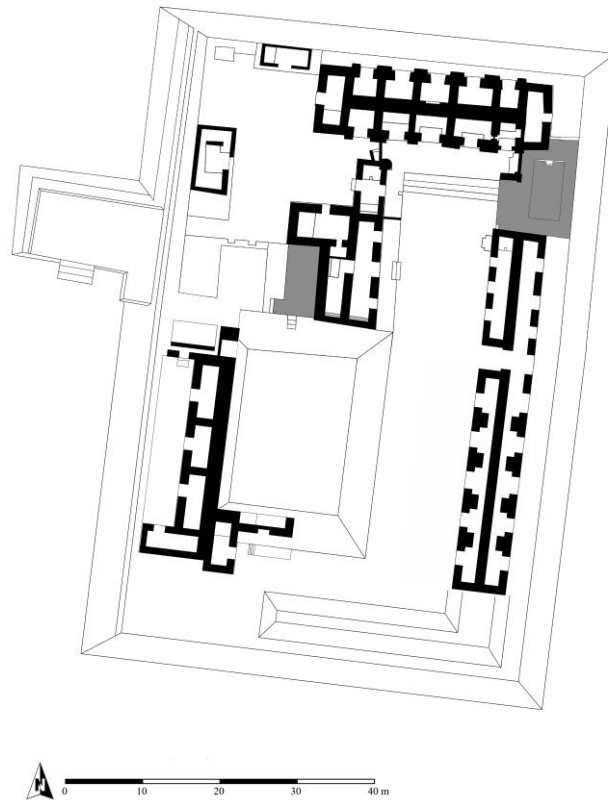


Figura 16.4 Plan del Palacio durante la Fase Tucán (Mapa por y M. Lamoureux-St-Hilaire y E. Bustamante)

Aunque el palacio real continuó políticamente activo después de 750 d.C., La Corona sufrió una gran decaída en construcción arquitectónica y dedicación de monumentos a mediados del octavo siglo d.C. Estos cambios notables en el palacio de La Corona coinciden con la disminución de la influencia política de *K'aanul* en el sur de las Tierras Bajas Mayas. El titubeo arquitectónico en La Corona se podría entonces interpretar como la reacción al colapso de un sistema político regional en el cual desempeñaba un rol crítico y vigorosamente celebrado.

La disminución del espacio usado en el palacio es un índice de una contracción de actividades llevadas a cabo en ese conjunto, lo que reflejaría un gobierno local reducido y menos complejo, que habría resultado del declive de *K'aanul* y su política de centralización regional. El hecho de que en la fase Tucán hay una cuidadosa cancelación de edificios élites y se recolocan paneles jeroglíficos elogiando un legado *K'aanul*, sugiere que los gobernantes en La Corona durante esta última fase estaban atestiguando la simplificación de su carga política, aunque este proceso también los dejaba más independientes que antes. Como el palacio se hizo más privado, así el gobierno se hizo más pequeño y parroquial.

Estos datos sugieren que *K'aanul* tuvo un rol importante en la corte real de La Corona. *K'aanul* logró cambios importantes en los gobiernos de sus sitios secundarios como La Corona, y su retiro de esos lugares conllevó cambios notorios en los mismos. Estos patrones nos hacen entender que la existencia de edificios y espacios típicos de entes políticamente autónomos no necesariamente implica soberanía. Las apariencias pueden disimular ciertas realidades, especialmente cuando se trata de un sistema hegemónico que estuvo acaparando y sometiendo paulatinamente a los sistemas locales. La “corte real” como institución de poder con espacios arquitectónicos asociados no fue una innovación del estado *K'aanul*; sin embargo, *K'aanul* manipuló esta institución de poder para crear y mantener sus relaciones jerárquicas regionales. Esta manipulación se percibe en la manera en que se constituyeron las cortes reales de sus “aliados.”

El Gobierno en La Corona y el control hegemónico de *K'aanul*

Los modelos tradicionales del gobierno maya del período Clásico se han enfocado en el carácter ritual/espiritual del gobernante – del rey divino. Además, estos modelos han acentuado las estrategias de legitimización del poder, en lugar del ejercicio del poder. Por el hecho que se ha enfatizado tanto el aspecto teatral y ritual del sistema político Maya y no tanto los aspectos de funcionamiento cotidiano, se crea la impresión que el arte de gobernar constituía exclusivamente arte y no gobierno.

En el modelo de ciudades-estados de los Mayas clásicos, la paradigmática omisión de aspiraciones hegemónicas entre los gobernantes es insostenible, tanto teórica como empíricamente. El enfoque reciente en el impacto regional del reino *K'aanul* ha demostrado cómo un reino Maya Clásico extendió su control sobre un gran territorio y una red de otros reinos a lo largo de las Tierras Bajas Mayas entre los siglos seis y ocho después de Cristo. Sin dudas, *K'aanul* fue la red hegemónica más dominante y exitosa del período Clásico Tardío (Figura 16.4)

Los académicos han demostrado que las relaciones de *K'aanul* fueron más estables, geográficamente extensivas, e indispensables para el desarrollo de un dominio regional. Si se consideran éstas como manifestaciones de un proceso hegemónico, entonces debemos reconocer que las formas en que los Mayas Clásicos conformaron estos sistemas complejos fueron bastante particulares y no necesariamente comparables superficialmente con otros.



Figura 16.5 Posible área de control e influencia del Reino *K'auul*
(Figura por M. Canuto y T. Barrientos, modificada de S. Martin)

De hecho, estudios comparativos de dichos sistemas a través del mundo antiguo (p.e. Morris y Scheidel 2009) enfatizan la variedad de formas que estos sistemas pueden tomar. Pero estos mismos estudios reconocen que la creación de paisajes políticos "no simplemente se articula a la producción y aplicación de relaciones de autoridad ...sino también en el fomento de una percepción duradera de relaciones geopolíticas" (Smith 2003: 135-136). El método más efectivo para lograr esas percepciones duraderas es a través del establecimiento de centros secundarios o satélites cargados con la administración física del paisaje en cuestión. Es decir, se necesita sondear hasta qué punto *K'auul* pudo adaptar, de un rango de formaciones sociopolíticas diferentes, un conjunto más homogéneo de valores políticos e identidades ideológicas.

Considerando el impacto de *K'auul* en La Corona, hay que evitar la trampa del "centrismo estatal" (Goldstone y Haldon 2009:21) que asume que los estados hegemónicos representan un proceso de centralización desarrollada. El hecho de no descubrir evidencia de sistemas de centralización extrema no necesariamente niega la existencia de tal sistema

político. Es importante apreciar que aún los imperios más grandes del antiguo mundo incorporaban autonomía infraestructural al nivel local. Por lo tanto, los estados hegemónicos se aprecian mejor como redes de relaciones pre-existentes, las cuales estaban a su vez basadas en sistemas tradicionales de manejo.

De hecho, en vez de ser evidencia de independencia, el manejo local de recursos podría evidenciar la existencia de sistemas particulares de organización socio-económica que estaban en el proceso de unirse, estandarizarse, e incorporarse por un estado hegemónico. No se puede considerar el estado hegemónico como una pirámide de derechos y privilegios siempre más exclusivos. En realidad, estaban al centro de una constelación de nudos administrativamente autónomos con los cuales el estado “central” mantenía relaciones de beneficio mutuo.

K'aanul, como todas las hegemonías, no fue el resultado de “nuevas” estructuras políticas que innovó completamente *ex nihil*. Al contrario, *K'aanul* siempre se apoyó en sistemas estructurales y adaptaciones procesuales pre-existentes, como por ejemplo las estrategias de subsistencia, sistemas calendáricos, derechos y privilegios de linaje y parentesco, comunidades socio-económicas, prácticas y creencias religiosas, y cortes reales— que quedaron siempre vigentes y significativos en su “nuevo sistema.” Lo especial de *K'aanul* no es la invención de un nuevo sistema político, sino la incorporación de varios sistemas tradicionalmente autónomos. O sea, para modelar *K'aanul* es imprescindible entender la manipulación de una acumulación de procesos de formación política: poder sin asimilación, control sin manejo directo, y otras tácticas que les ayudó a formar una estructura hegemónica de bajo costo.

Consecuentemente, para entender la entidad política de *K'aanul* se tiene que empezar con su desarrollo, estrategias de mantenimiento, mecanismos coactivos, tácticas de asimilación cultural, y su impacto en las economías locales y regionales. Tenemos que enfocarnos en los mecanismos por los cuales se establecieron y mantuvieron las relaciones jerárquicas, los efectos locales y regionales de estas relaciones políticas y los efectos del desglose de estas afiliaciones. En otras palabras, tenemos que indagar como se ejerció el poder político y el impacto que este poder tuvo en las dinámicas regionales entre estados dominantes y subordinados.

BIBLIOGRAFÍA

Acuña, Mary Jeane

- 2007 CR-ES: Excavaciones de Sondeo en los Grupos A, B, y C de La Corona. En *Proyecto Arqueológico El Perú-Waka': Informe No. 4, Temporada 2006*. (Ed. H. Escobedo y D. Freidel). Pp 457-478. Guatemala
- 2013 *Art, Ideology, and Politics at El Achiotal: A Late Preclassic Frontier Site in Northwestern Petén, Guatemala*. Tesis de Doctorado, Escuela de Artes y Ciencias de la Universidad de Washington, St. Louis., Missouri.
- 2014 Royal alliances. En *Archaeology at El Perú Waka': Ancient Maya Performances of Ritual, Memory, and Power*, editado por Olivia C. Navarro-Farr y Michelle Rich, pp.53-65. University of Arizona Press, Tucson.

Acuña, Mary Jeane y Carlos Chiriboga

- 2010 Investigaciones en El Achiotal. En *Proyecto Regional Arqueológico La Corona: Informe Final Temporada 2009*, editado por T. Barrientos, M. Canuto y M. Acuña, pp. 201-247. Instituto de Antropología e Historia, Guatemala.

Arnauld, Charlotte; Veronique Breuil-Martínez y Erick Ponciano

- 2004 *La Joyanca: Antigua Ciudad Maya del Noroeste de Petén*. Guatemala: Centro Francés de Estudios Mexicanos y Centroamericanos CEMCA.

Arredondo Leiva, Ernesto y Alejandro Gillot Vassaux

- 1998a PN 24 B: Excavaciones de sondeo en el Área Habitacional de la Plaza del Grupo Oeste. En *Proyecto Arqueológico Piedras Negras, Informe Preliminar No. 2, Segunda temporada, 1998*, editado por H. Escobedo y S. Houston, p.p.135-142. Universidad de Brigham Young y Universidad del Valle de Guatemala, Guatemala.

Auld-Thomas, Luke, Mauro Montejo y Caroline A Parris

- 2015 Investigaciones Arqueológicas en El Achiotal, Temporada 2015. En *Proyecto Regional Arqueológico La Corona: Informe Final Temporada 2015*, editado por T. Barrientos, M. Canuto y E. Bustamante, pp. 189-252. Instituto de Antropología e Historia, Guatemala.

Bardawill Laurence

- 1976 The Principal Bird Deity in Maya Art – An Iconographic Study of Form and Meaning. En *Proceedings of the Segunda Mesa Redonda de Palenque, 1974*, editado por M. G. Robertson, pp.: 195-209. Precolumbian Art Research, The Robert Louis Stevenson School, California.

Baron, Joanne

- 2008 Excavaciones en Estructura 13R-3. En *Proyecto Regional Arqueológico La Corona No. 1, Temporada 2008*, editado por M. A. Canuto y T. Barrientos Q. Yale University y Universidad del Valle, New Haven y Guatemala.
- 2010 Operación CR12: Excavaciones en la Estructura 13R-3, Grupo Coronitas, La Corona. En *Proyecto Regional Arqueológico La Corona, Temporada 2009*, Editado por Marcello Canuto y Tomas Barrientos, pp. 135-158. Instituto de Antropología e Historia, Guatemala.
- 2011 Operaciones CR12, CR14 y CR15: Excavaciones en las estructuras 13R-3, 13R-4 y 13R-2 del Grupo Coronitas. En *Proyecto Regional Arqueológico La Corona:*

- Informe Final, Temporada 2010*, Editado por Tomas Barrientos, Marcello Canuto y Mary Jeane Acuña, pp. 249-276. Instituto de Antropología e Historia, Guatemala
- 2012 Operaciones CR14, CR15 y CR17: Excavaciones en el Grupo Coronitas, Estructuras 13R-2, 13R-3, 13R-4 y 13R-5. En *Proyecto Regional Arqueológico La Corona: Informe Final, Temporada 2011*, Editado por Tomas Barrientos, Marcello Canuto y Jocelyne Ponce, pp. 231-264. Instituto de Antropología e Historia, Guatemala.
- 2013a Operaciones CR15A, CR15B y CR17B: Excavaciones en el Grupo Coronitas, Estructuras 13R-2, 13R-3 y 13R-5, Temporada 2012. En *Proyecto Arqueológico La Corona: Informe Final, Temporada 2012*, editado por Tomas Barrientos, Marcello Canuto, y Jocelyne Ponce, pp. 109-124. Instituto de Antropología e Historia, Guatemala.
- 2013b *Patrons of La Corona: Deities and power in a Classic Maya community*. Tesis de Doctorado, Universidad de Pennsylvania, Philadelphia.

Barrientos, Tomas

- 2014 *The Royal Palace of Cancuen: The Structure of Lowland Maya Architecture and Politics at the end of the Late Classic Period*. Tesis de Doctorado, Área de Antropología, Vanderbilt University, Nashville.

Barrientos, Tomás, Marcello Canuto y Mary Jeane Acuña

- 2011 *Proyecto Arqueológico La Corona: Informe final temporada 2010*. 449 pp.

Barrientos, Tomas; Marcello Canuto, David Stuart, Luke Auld-Thomas y Maxime Lamoureux-St-Hilaire

- 2016 Memoria social escrita en piedra: cambios y reconfiguraciones del discurso político en las tierras bajas durante el período Clásico En *XXX Simposio de Investigaciones Arqueológicas en Guatemala, Vol. 1*. (editado por B. Arroyo, L. Méndez y G. Ajú) pp 311-328. IDAEH, Asociación Tikal. Guatemala, Guatemala.

Benavides, Antonio

- 2005 Campeche Archaeology at the turn of the century. En *Anthropological Notebooks XI*. Pp 13-30. Slovene Anthropological Society

Buikstra, Jane y Douglas Ubelaker.

- 1994 *Standars for data colletion from human skeletal remains*. 272 pp. Fayetteville: Arkansas Archeological Survey Research Series No. 44.

Burton, James H., T. Douglas Price, L. Cahue, y Lori E. Wright

- 2003 *The use of barium and strontium abundances in human skeletal tissues to determine their geographic origins*. International Journal of Osteoarchaeology 13(1-2): 88-95.

Bustamante, Eduardo

- 2015a Operaciones CR-20A, CR-20C, CR20-E, CR-20P y CR-20R: Excavaciones en el sector Sur y Túneles en el Palacio de La Corona. En *PRALC Informe final Temporada 2015* (editado por T. Barrientos, M. Canuto y E. Bustamante), pp. 37-52. PRALC, Guatemala.

- 2015b Operaciones CR200 y CR210: Excavaciones en la Fachada Oeste del Palacio de La Corona (Estructura 13Q-4). En *PRALC Informe final Temporada 2014* (editado por T. Barrientos, M. Canuto y E. Bustamante), pp. 53-72. PRALC, Guatemala.
- 2016 Operación CR-200, sección oeste del palacio. En *PRALC Informe final Temporada 2015*. (editado por T. Barrientos, M. Canuto y E. Bustamante). PRALC, Guatemala.

Cagnato, Clarissa

- 2013 Investigación de Chultunes en El Jobillo. En *PRALC Informe final Temporada 2012*. (editado por T. Barrientos, M. Canuto y J. Ponce). Pp 289-296 PRALC, Guatemala
- 2014 Resultados de Análisis Paleobotánicos de Muestras Macrobotánicas. En *PRALC Informe final Temporada 2012*. Pp 179-190(editado por T. Barrientos, M. Canuto y J. Ponce). PRALC, Guatemala

Cano Ennio y Jack Schuster

- 2009 *Beetles as indicators for conservation in central america. Tropical Biology and Conservation Management* Vol. 1. EOLSS.

Consejo Nacional de Áreas Protegidas (CONAP)

- 2001 *Plan Maestro de la Reserva de la Biósfera Maya*. CONAP, The Nature Conservancy y USAID, Guatemala. 101 pp.
- 2006 *Plan Maestro: 2007-2011. Parque Nacional Laguna del Tigre y Biotopo Laguna del Tigre-Río Escondido*. CONAP, Critical Ecosystem Partnership Fund y Wildlife Conservation Society, Guatemala. 169 pp

Canuto, Marcello

- 2007 CR-01: Excavaciones en la Estructura C-5 del Grupo C de La Corona. En *Proyecto Arqueológico El Perú-Waka': Informe No. 4 Temporada 2006*. (Ed. H. Escobedo y D. Freidel) pp 431-456. Southern Methodist University

Canuto, Marcello A. y Tomás Barrientos Q.

- 2009 *Informe Final Temporada 2008*. PRALC. Guatemala, Guatemala
www.mari.tulane.edu/PRALC-Infomefinal2008.pdf
- 2010 *Informe Final Temporada 2009*. PRALC. Guatemala Guatemala
www.mari.tulane.edu/PRALC-Infomefinal2009.pdf
- 2013 The Importance of La Corona. *La Corona Notes* 1(1), Mesoweb.
www.mesoweb.com/LaCorona/LaCoronaNotes01.pdf

Canuto, Marcello; Tomas Barrientos y Mary Jeane Acuña

2012. Proyecto Regional Arqueológico La Corona. Resultados Generales y Conclusiones de la Temporada 2011. En *Informe Final. Temporada 2011*. (Ed. T. Barrientos, M. Canuto y M. Acuña) pp 407-438. PRALC. Guatemala, Guatemala

Canuto, Marcello; Stanley Gunter; Evangelia Tsesmeli y Damien Marken

- 2006 El Reconocimiento de La Corona, 2005. En *Proyecto Arqueológico El Perú-Waka': Informe No 3, Temporada 2005*. (Ed. H. Escobedo y D. Freidel) pp 455-468. Southern Methodist University.

Chatelain, David

2015 Investigaciones Arqueológicas en La Cariba, Temporada 2014. En *Proyecto Regional Arqueológico La Corona: Informe Final Temporada 2014*, editado por Tomás Barrientos Q., Marcello A. Canuto, y Eduardo Bustamante, pp. 373-400. Instituto de Antropología e Historia, Guatemala.

Chatelain, David, Maxime Lamoureux St-Hilaire, y Evan Parker

2013 Investigación Arqueológica en La Cariba. En *Proyecto Regional Arqueológico La Corona: Informe Final Temporada 2012*, editado por Tomás Barrientos Q., Marcello A. Canuto, y Jocelyne Ponce, pp. 47-56. Instituto de Antropología e Historia, Guatemala.

Cornec, Jean H.

2008 *Geology Map of Belize*. Jcornec@aol.com.

Delvendahl, Kai

2010 *Las sedes del poder: evidencia arqueológica e iconográfica de los conjuntos palacios mayas del clásico tardío*. Ediciones de la Universidad Autónoma de Yucatán, Mérida.

Desailly-Chanson, Yann

2010 Capítulo V. Operaciones CR33 y CR35: Excavaciones en las estructuras 13Q-3 y 13Q-5. En *Proyecto Regional Arqueológico La Corona: Informe Final Temporada 2009*, editado por M. Canuto y T. Barrientos, pp. 99-133. Instituto de Antropología e Historia, Guatemala.

2011 Capítulo VIII. Operación CR33 y CR35: excavaciones en las estructuras 13Q-3 Y 13Q-5. En *Proyecto Regional Arqueológico La Corona: Informe Final Temporada 201*, editado por T. Barrientos, M. Canuto y M. Acuña, pp. 265-278. Instituto de Antropología e Historia, Guatemala.

2012 Capítulo VIII. Operación CR33: Excavación del Entierro 3, Estructuras 13Q-3. En *Proyecto Regional Arqueológico La Corona: Informe Final Temporada 2011*, editado por T. Barrientos, M. Canuto y J. Ponce, pp. 99-133. Instituto de Antropología e Historia, Guatemala.

Fitzsimmons, James

2006 *Kings of Jaguar Hill: Monuments and Caches at Zapote Bobal (2005)*. FAMSI

Foias, Antonia E.

2013 *Ancient Maya Political Dynamics*. University Press of Florida, Tallahassee.

Freidel, David y Héctor Escobedo

2004 Proyecto Arqueológico El Perú-Waka': Informe No. 1, Temporada 2003
<http://www.mesoweb.com/resources/informes/Waka2003.html>

2005 Proyecto Arqueológico El Perú-Waka': Informe No. 2, Temporada 2004
<http://www.mesoweb.com/resources/informes/Waka2004.html>

2006 Proyecto Arqueológico El Perú-Waka': Informe No. 3, Temporada 2005
<http://www.mesoweb.com/resources/informes/Waka2005.html>

2007 Proyecto Arqueológico El Perú-Waka': Informe No. 4, Temporada 2006
<http://www.mesoweb.com/resources/informes/Waka2006.html>

- Freidel, David y Linda Schele
1988 *Kingship in the Late Preclassic Maya Lowlands: The Instruments and Places of Ritual Power*. *American Anthropologist* 90(3): 547-567.
- Freiwald, Carolyn
2011 *Maya Migration Networks: Reconstructing Population Movement in the Upper Belize River Valley during the Late and Terminal Classic*. Tesis doctoral, Departamento de Anthropología, Universidad de Wisconsin-Madison.
- Gerry, John P. y Harold W. Krueger
1997 Regional Diversity in Classic Maya Diets. En *Bones of the Maya: Studies of Ancient Skeletons*, editado por Stephen L. Whittington and David M. Reed, pp. 196-207. Smithsonian, Washington D.C.
- Goldstone, Jack y John F. Haldon
2009 *Ancient States, Empires, and Exploitation: Problems and Perspectives*. En *The Dynamics of Ancient Empires*, (editado por Ian Morris y Walter Scheidel), pp. 3-29. Oxford University Press, Oxford.
- Grube, Nikolai
2007 *Trabajos de Exploración en Uxul (Campeche)*. Institut für Altamerikanistik und Ethnologie der Universität Bonn.
- Guirola, Ana Cristina, y Olga Slowing
2013 Operación CR32: Excavaciones en la Estructura 13Q-2, Temporada 2012. En *Proyecto Regional Arqueológico La Corona: Informe Final Temporada 2012*, editado por Tomás Barrientos Q., Marcello A. Canuto, y Jocelyne Ponce, pp. 79-108. Instituto de Antropología e Historia, Guatemala.
- Guenther, Stanley
2005 *La Corona find sheds light on Site Q mystery*. *The PARI Journal* 6(2): 14-16.
2014 The epigraphy of El Perú-Waka'. En *Archaeology at El Perú Waka': Ancient Maya Performances of Ritual, Memory, and Power*, editado por Olivia C. Navarro-Farr y Michelle Rich, pp.147-166. University of Arizona Press, Tucson.
- Guzmán, Rodrigo
2011 Reconocimiento Arqueológico y mapeo en La Corona. En *Proyecto Regional Arqueológico La Corona. Informe Final Temporada 2010*, editado por T. Barrientos, M. Canuto, y M. Acuña, pp. 127-150. Instituto de Antropología e Historia, Guatemala.
2012 Reconocimiento arqueológico y mapeo en El Jobillo. En *Proyecto Regional Arqueológico La Corona, Informe Final Temporada 2011*, editado por T. Barrientos, M. Canuto, y J. Ponce, pp. 109-122. Instituto de Antropología e Historia, Guatemala.
- Hodell, David A., Rhonda L. Quinn, Mark Brenner, y George D. Kamenov
2004 *Spatial Variation of Strontium Isotopes (⁸⁷Sr/⁸⁶Sr) in the Maya Region: A Tool for Tracking Ancient Human Migration*. *Journal of Archaeological Science* 31(5):585-601.

- Houston, Stephen D. and David Stuart
 1996 Of gods, glyphs and kings: divinity and rulership among the Classic Maya. *Antiquity* 70(268):289- 312.
- 2001 Peopling the Classic Maya Court. En *Royal Courts of the Ancient Maya, Volume I: Theory, Comparison, and Synthesis*, (editado por T. Inomata y S. D. Houston), pp. 54-83. Westview Press, Boulder.
- Inomata, Takeshi
 2001 The classic Maya palace as a Political Theater. En *Reconstruyendo la ciudad maya: el urbanismo en las sociedades Antiguas* (editado por A. Ciudad Ruiz, Ma. J. Iglesias Ponce de León y M. Martínez Martínez), pp. 341-362. Sociedad Española de Estudios Mayas, Madrid.
- 2006 Plazas, Performers, and Spectators: Political Theaters of the Classic Maya. *Current Anthropology* 47(5): 805-842.
- Inomata, T. y S. D. Houston, Eds.
 2001 *Royal Courts of the Ancient Maya Volume 1: Theory, Comparison, and Synthesis*. Boulder, Colorado, Westview Press.
- Jolon, M
 2005 *Proyecto: Recopilación de información sobre biodiversidad en Guatemala*. CONAP. InBio Costa Rica. Norwegian ministry of foreign affairs. Guatemala. 108 pp.
- Joralemon, Peter David
 1976 The Olmec Dragon: A Study in Pre-Columbian Iconography. En *Origins of Religious Art and Iconography in Preclassic Mesoamerica*, editado por H. B. Nichols, pp. 27-21. UCLA Latin American Center Publications, Los Angeles.
- Lachniet, Matthew S. y William P. Patterson
 2009 *Oxygen Isotope Values of Precipitation and Surface Waters in Northern Central America (Belize and Guatemala) Are Dominated by Temperature and Amount Effects*. *Earth and Planetary Science Letters* 284:435-446.
- Lamoureux-St-Hilaire, Maxime y Eduardo Bustamente Luna
 2016 Investigaciones de desarrollo y funcionalidad en el palacio real de La Corona. En *XXIX Simposio de Investigaciones Arqueológicas en Guatemala, 2015*, (editado por Bárbara Arroyo, Luis Méndez Salinas, y Lorena Paiz), Ministerio de Cultura y Deportes, Instituto de Antropología e Historia, Asociación Tikal, Guatemala.
- Lamoureux-St-Hilaire, Maxime y Ruben Morales Fuerte
 2016 La Tercera Temporada de Investigaciones en la Sección Norte del Palacio Real de La Corona. En *PRALC Informe final Temporada 2015* (editado por T. Barrientos y M. Canuto). PRALC, Guatemala.
- Lomov, B. et al.
 2006 *Are butterflies and moth's useful indicators for restoration monitoring? A pilot study in Sydney's Cumberland Plain Woodland*. *Ecological Management and Restoration* 7, Pp. 204–210.

Love, Bruce

2011 Registro de monumentos en el sitio La Corona. En *Proyecto Arqueológico La Corona: Informe Final Temporada 2014*, editado por Tomás Barrientos Q, Marcello Canuto, y J. Ponce, pp.105-176.

Marfia, A.M., V. Krishnamurthya, Eliot A. Atekwana, y W.F. Panton

2004 *Isotopic and Geochemical Evolution of Ground and Surface Waters in a Karst Dominated Geological Setting: A Case Study from Belize, Central America*. *Applied Geochemistry* 19:937-946.

Marken, Damien y Stanley Gunter

2007 Monumentos y Reconocimiento en La Corona: 2006. En *Proyecto Arqueológico El Perú-Waka: Informe No. 4, Temporada 2006*. (Ed. H. Escobedo y D. Freidel) pp 479-490. Southern Methodist University.

McAnany, Patricia y Shannon Plank

2001 Perspectives on Actors, Gender Roles, and Architecture at Classic Maya Courts and Households. En *Royal Courts of the Ancient Maya, Volume 1. Theory, Comparison, and Synthesis* (editado por T. Inomata y S. D. Houston), pp. 84-129 Westview Press

McCarthy, T.; J. Davis; J. Hill; J. Jones y G. Cruz.

1993 *Bats (Mammalia: Chiroptera) records, early collectors, and faunal lists of northern Central America*. *Annals of Carnegie Museum* 62(3): 191-228 pp.

McCracken, G.F., Gillam, E.H., Westbrook, J.K., Lee, Y., Jensen, M.L. y Balsley, B.B

2008 *Brazilian Free-tailed bats (Tadarida brasiliensis: Molossidae, Chiroptera) at high altitude: links to migratory insect populations. Integrative and Comparative Biology* 48(1):107-118.

McGeoch, M. et al.

2011 *Conservation and monitoring of invertebrates in terrestrial protected areas*. *Koedoe* 53. Pp. 1-14

Marken, Damien

2010 Programa de Mapeo PRALC 2009: Trabajos en la Zona Este y Oeste de La Corona y el Sitio La Cariba. En *Proyecto Arqueológico La Corona, Informe Final Temporada 2009*, editado por M. Canuto y T. Barrientos, pp. 25-38. Instituto de Antropología e Historia, Guatemala.

Martin, Simon

2005 Of Snakes and Bats: Shifting Identities at Calakmul. *The PARI Journal* 62:5-15.

2008 Wives and daughters on the Dallas Altar. *Mesoweb* articles:
mesoweb.com/article/martin/WivesyDaughters.pdf

Martin, Simon y Nikolai Grube

2008 *Chronicle of the Maya Kings and Queens* (segunda edición). Thames and Hudson, New York.

- Miller, Katherine
2015 *A bioarchaeological approach to diversity and complexity of ancient Maya society at Copan: results from new strontium and biodistance data*. 80th Annual Meeting of the Society for American Archaeology.
- Miller, Mary y Claudia Brittenham
2013 *The Spectacle of the Late Maya Court: Reflexions on the Murals of Bonampak*. University of Texas Press, Austin.
- Mora-Marín, David
2009 *The Ideology and Ritual of Early Maya Kingship: Evidence from Late Preclassic Rulership Titles*.
- Moranz, R., Fuhlendorf, S. y D. Engle
2014 *Making sense of a prairie butterfly paradox: The effects of grazing, time since fire, and sampling period on regal fritillary abundance*. *Biological Conservation* 173. Pp. 32–41.
- Morris, Ian y Walter Scheidel (editores)
2009 *The Dynamics of Ancient Empires*. Oxford University Press, Oxford.
- Navarro-Farr, Olivia y Michelle Rich
2015 *Archaeology at El Perú-Waka': Ancient Maya Performances of Ritual, Memory, and Power*. The University of Arizona Press, Tucson.
- Padilla, Liliana
2010 Operación CR 20: Excavaciones en el Palacio de La Corona. En *PRALC: Informe Final, Temporada 2009* (eds. M. Canuto y T. Barrientos), pp. 151-172. PRALC, Guatemala.
2012 Operación CR20: Excavaciones en el Palacio de La Corona, Temporada 2011. En *Informe Final: Temporada 2011*. (eds. T. Barrientos, M. Canuto y M. J. Acuña) pp 145-166. Instituto de Antropología e Historia, Guatemala.
- Parris, Caroline
2015. “Análisis preliminar de las vasijas completas, Temporada 2014”. En *Informe Final Temporada 2014*. (Editado por T. Barrientos, M. Canuto, E. Bustamante) pp 301-334. PRALC. Guatemala, Guatemala.
- Patterson, Erin
2012 Análisis de restos esqueléticos: Temporada 2011. En *Proyecto Arqueológico La Corona: Informe Final Temporada 2011*, editado por Tomás Barrientos Q, Marcello Canuto, y Jocelyne Ponce, pp.373-388.
- Patterson, Erin y Emily Kate
2015 Análisis preliminar de restos humanos de La Corona y La Cariba, temporadas de campo 2013 y 2014. En *Proyecto Arqueológico La Corona: Informe Final Temporada 2014*, editado por Tomás Barrientos Q, Marcello Canuto, y Eduardo Bustamante, pp.347-372.

- Pérez Robles, Griselda y Oliva Navarro-Farr
 2013 WK01: Excavaciones en M13-1 y el descubrimiento de la Estela 44. En *Proyecto Arqueológico El Perú-Waka', Informe No. 11, Temporada 2013*, editado por Juan Carlos Pérez Calderón y David Freidel, pp.3-26.
- Ponce, Jocelyne
 2013 Operación CR16: Excavaciones en la Estructura 13R-10, Temporada 2012. En *PRALC Informe Final: Temporada 2012* (editado por T. Barrientos, M. Canuto, y J. Ponce), pp. 141-186. PRALC, Guatemala.
- Ponce, Jocelyne, y Camilo Nájera
 2012 Operación CR16: Excavaciones en la Estructura 13R-10, Temporada 2011. En *Proyecto Regional Arqueológico La Corona: Informe Final Temporada 2011*, editado por Tomás Barrientos Q., Marcello A. Canuto, y Jocelyne Ponce, pp. 279-317. Instituto de Antropología e Historia, Guatemala.
- Price, T. Douglas, James H. Burton, Paul Fullagar, Lori Wright, Jane E. Buikstra, y Vera Tiesler
 2008 Strontium Isotopes and the Study of Human Mobility in Ancient Mesoamerica. En *Latin American Antiquity* 19(2):167-180.
- Price, T. Douglas, James H. Burton, Robert J. Sharer, Jane E. Buikstra, Lori E. Wright, Loa P. Traxler, y Katherine A. Miller
 2010 Kings and Commoners at Copán: Isotopic Evidence for Origins and Movement in the Classic Maya Period. En *Journal of Anthropological Archaeology* 29(1):15-32.
- Price, T. Douglas, Seiichi Nakamura, Shintaro Suzuki, James H. Burton, y Vera Tiesler
 2014 New isotope data on Maya mobility and enclaves at Classic Copan, Honduras. En *Journal of Anthropological Archeology* 36:32-47.
- Reid, Fiona A
 2009 *A field guide to the mammals of Central America and Southeast Mexico*. 2da edición. Oxford University Press. New York. 346 pp.
- Robichaux, Hubert R y Candace Pruett
 2005 Las inscripciones de Oxpemul. En *Los Investigadores de la Cultura Maya* 13 (1). Pp 29-43. Campeche: Universidad Autónoma de Campeche.
- Saul L
 1999 *Importance of Insects and Their Arthropods Relatives*. SaveNature.Org Fact Sheets. San Francisco.
- Schele, Linda y Nikolai Grube
 1994 Tlaloc-Venus Warfare: The Peten Wars 8.17.0.0.0-9.15.13.0.0. En *Notebook for the XVIIIth Maya Hieroglyphic Workshop at Texas*, editado por Timothy Albright, pp.79-165. University of Texas, Austin.

- Schulze, M. y D. Whitacre
1999 *A Classification and Ordination of the Tree Community of Tikal National Park, Petén, Guatemala*. *Bulletin of the Florida Museum of Natural History*, 41(3): 169-297.
- Schiffer, Michael
1985 Is There a “Pompeii Premise” in Archaeology? En *Journal of Anthropological Research* 41. Pp 18-41
- Sharer, Robert J. y Loa P. Traxler
2006 *The Ancient Maya* (sexta edición). Stanford University Press, Stanford.
- Smith, Adam T.
2003 *The Political Landscape: Constellations of Authority in Early Complex Polities*. Berkeley, University of California Press.
- Šprajc Ivan; William Folan y Raymundo González
2005 Las ruinas de Oxpemul, Campeche: su redescubrimiento después de 70 años en el olvido (1934-2004). En *Los Investigadores de la Cultura Maya*. Vol. 13 (1). Pp 19-27. Campeche, Universidad Autónoma de Campeche
- Stuart, David
2012. *Notes on a New Text from La Corona*.
<https://decipherment.wordpress.com/2012/06/30/notes-on-a-new-text-from-la-corona/>
- Stuart, David, Marcello Canuto, Tomas Barrientos, and Maxime Lamoureux-St-Hilaire
2015 *Preliminary Notes on Two Recently Discovered Inscriptions from La Corona, Guatemala*: <http://decipherment.wordpress.com>
- Summerville, K. y T. Crist
2008 *Structure and conservation of lepidopteran communities in managed forests of northeastern North America: A review*. *The Canadian Entomologist*. 140 (4): 475-49
- Syaripuddin, K., Sing, K. y J. Wilson
2015 Comparison of butterflies, bats and beetles as bioindicators based on four key criteria and DNA barcodes. En *Tropical Conservation Science* 8. Pp. 138– 149.
- Taube, Karl
1987 A Reresentation of the Principal Bird Deity in the Paris Codex. En *Research Reports on Ancient Maya Writing* 6: 1-10. Center for Maya Research, Washington, D.C.
- USEPA
1987 Estimated national occurrence and exposure to nitrate and nitrite in public drinking water supplies. United States Environmental Protection Agency Office of Drinking Water.
- Valle, L
1997 *Distribución Altitudinal de la Comunidad de Quirópteros en San Lorenzo, Zacapa, Reserva de la Biósfera Sierra de las Minas, Guatemala*. Tesis para el grado de Licenciatura. Universidad del Valle de Guatemala. Guatemala. 93 pp.

Velásquez, Erick

2008 Los Posibles Alcances Territoriales de la Influencia Política de Dzibanché durante el Clásico Temprano: Nuevas Alternativas para interpretar las Menciones Históricas sobre la Entidad Política de Kan. En *El territorio Maya: Memoria de la Quinta Mesa Redonda de Palenque*. (Ed. R. Liendo) pp 323-352. México: Instituto Nacional de Antropología e Historia

Wright Lori E.

1999 The elements of Maya diets: Alkaline earth baselines and paleodietary reconstruction in the Pasi6n region. En *Reconstructing Ancient Maya Diet*. editado por Christine D. White, pp.197-220. Salt Lake City, University of Utah Press.

2005 Identifying immigrants to Tikal, Guatemala: defining local variability in strontium isotope ratios of human tooth enamel. En *Journal of Archaeological Science* 32(4):555-566.

Zender, Marc

2004 *A study of ancient Maya priesthood*. Tesis de Doctorado, rea de Arqueologa, University of Calgary, Calgary.

ANEXO 1

**LISTADO DE MATERIALES ARQUEOLÓGICOS HALLADOS EN LA
TEMPORADA 2016**

En el siguiente inventario se da el número de bolsas de materiales recuperados por contextos de excavación.

La Corona

Estructura 13Q-3

SITIO	OPERACIÓN	UNIDAD	CERÁMICA
CR	33A	29	15
CR	33A	30	12
CR	33A	31	9
CR	33A	32	1
CR	33A	33	6
CR	33A	34	2
CR	33A	35	8
CR	33A	36	2
CR	33A	37	3
CR	33A		1
CR	33A	6	1
CR	33A	20-21	1
CR	33A	36	3
CR	33A	37	4
CR	33A	38	4
CR	33A	39	2
CR	33A	20	1
CR	35C	14	2
CR	35C	15	1

OPERACION	UNIDAD	HUESO	CONCHA	CARBON	FIGURILLA	OBSIDIANA	PEDERNAL
33	A	3	2	6	1	3	13

Estructura 13Q-4 (Palacio)

SITIO	OPERACIÓN	UNIDAD	CERÁMICA
CR	20	B1	4
CR	20	B3	4
CR	20	B4	4
CR	20	B5	4
CR	20	B6	4
CR	20	F9	9
CR	20	F9	5
CR	20	F9	9
CR	20	F9	3
CR	20	F10	3
CR	20	F10	4
CR	20	F11	3
CR	20	PU	15
CR	20	PN	15
CR	20	PO	20
CR	20	G12	2
CR	20	E13	1
CR	20	E14	4
CR	20	E15	3
CR	20	E15	6
CR	20	O8	4
CR	20	O8	13
CR	20	D2	3
CR	20	D3	3
CR	20	D5	4
CR	20	D6	4
CR	20	D7	2
CR	20	C2	1
CR	20	E14	2
CR	20	O8	1
CR	20	O4	2
CR	20	E11	1
CR	20	O7	3
CR	22	1	10
CR	22	1	8
CR	22	1	8
CR	22	2	7
CR	22	2	6
CR	22	2	10

OPERACION	UNIDAD	HUESO	CONCHA	CARBON	FIGURILLA	FRAG. POLICROMO	VASIJAS FRAG.	OBSIDIANA	PEDERNA
33	A	3	2	6	1			3	13
20	D1	1							
20	D2		1	1				4	1
20	D3	2	2		1			1	
20	D4								
20	D5	3				3			
20	D6	3	1			1		2	1
20	D7	1							
20	O8	4	2		1	1	2	2	2
20	E11	1							
20	E13	1	1	1	1			1	1
20	E14	2	1	4			1	5	1
20	E15	5	1					4	

OPERA	UNIDA	FIGURI	CONCH	ESPNA	CARBO	HUESO	OBSIDI	JADE	ALABA	PEDER	LITICA	PIRITA	CERAM	CARBO	MUEST	MALAC	RASPA	ESTUC
20	P O					1	1			1								
20	P N	1				1												
20	P H	1	1			1	1			1		1	1					
20	F 9	1	1	1	1	1	1	1	1	1	1							
20	F 10	1	1			1				1	1	1	1	1				
20	F 11					1												
22	1	1	1			1	1	1			1						1	
22	2	1	1			1	1	1		1						1		
20	B 3		1		1	1	1				1		1	1				
20	B 4				1	1				1	1					1		

20	B5		1			1	1			1								1
20	G12					1	1			1		1						

OPERACIÓN	MUESTRA TIERRA	Hueso F.	Cerámica
20	60		
20	60		
20	60		
20	42		
20	11	1	2

OPERACIÓN	UNIDAD	ENTIERRO	OFRENDA
20	E14	1	1

Operación	Unidad	BLOQUE GEROGLIFICO
20	Unidades varias	5

Grupo 13R-1

SITIO	OPERACIÓN	UNIDAD	CERÁMICA
CR	112A	1	10
CR	115A	1	7

La Cariba

Grupo A

SITIO	OPERACIÓN	UNIDAD	CERÁMICA
CAR	2A	1	18
CAR	2A	2	5
CAR	2A	12	3
CAR	2A	5	1
CAR	3A	2	3
CAR	3A	3	3
CAR	3A	1	8
CAR	14A	1	12
CAR	14A	2	1
CAR	14A	3	3
CAR	14A	4	3

CAR	14A	5	1
CAR	14A	6	3
CAR	14A	7	3
CAR	14A	8	3
CAR	14A	9	2
CAR	14A	10	5

Grupo B

SITIO	OPERACIÓN	UNIDAD	CERÁMICA
CAR	11B	27	4
CAR	11B	27	11
CAR	11B	1	1
CAR	11B	2	2
CAR	11B	3	2
CAR	11B	4	2
CAR	11B	5	2
CAR	11B	6	2
CAR	11B	7	2
CAR	11B	8	2
CAR	11B	9	2
CAR	11B	10	2
CAR	11B	11	2
CAR	11B	12	1
CAR	11B	13	1
CAR	11B	14	1
CAR	11B	15	2
CAR	11B	16	1
CAR	11B	17	1
CAR	11B	18	2
CAR	11B	19	1
CAR	11B	20	2
CAR	11B	21	2
CAR	11B	22	2
CAR	11B	23	2
CAR	11B	24	2
CAR	11B	25	2
CAR	11B	26	2

MATERIAL	SITIO	OPERACION	UNIDAD	CANTIDAD
Pedernal	CAR	11B	1	1
	CAR	11B	2	2
	CAR	11B	3	2
	CAR	11B	4	2
	CAR	11B	5	1
	CAR	11B	6	1
	CAR	11B	9	1
	CAR	11B	11	1
	CAR	11B	13	1
	CAR	11B	20	1
	CAR	11B	21	1
	CAR	11B	25	2
	CAR	11B	26	1
	CAR	11B	27	6
	CAR	2A	1	2
	CAR	2A	2	1
	CAR	2A	12	1
Figurilla	CAR	11B	9	1
	CAR	11B	10	1
	CAR	11B	21	1
	CAR	11B	22	1
	CAR	11B	27	8
	CAR	2A	2	1
	CAR	2A	12	1
Obsidiana	CAR	11B	3	1
	CAR	11B	4	1
	CAR	11B	5	1
	CAR	11B	6	1
	CAR	11B	13	1
	CAR	11B	19	1
	CAR	11B	20	1
	CAR	11B	22	1
	CAR	11B	23	1
	CAR	11B	24	1
	CAR	11B	25	1
	CAR	11B	27	5
	CAR	2A	1	2
	CAR	2A	2	1
Hueso fauna	CAR	11B	1	1
	CAR	11B	3	1
	CAR	11B	4	1
	CAR	11B	25	1
	CAR	11B	27	3
	CAR	2A	1	2

	CAR	2A	2	1
Concha	CAR	11B	20	1
	CAR	2A	1	1
	CAR	2A	2	1
Piedra tallada	CAR	11B	15	1
	CAR	11B	27	1
	CAR	2A	1	1
Muestra de tierra (pequeñas bolsas)	CAR	11B	1	1
	CAR	11B	2	1
	CAR	11B	3	1
	CAR	11B	4	1
	CAR	11B	5	1
	CAR	11B	6	1
	CAR	11B	7	1
	CAR	11B	8	1
	CAR	11B	9	1
	CAR	11B	10	1
	CAR	11B	11	1
	CAR	11B	12	1
	CAR	11B	13	1
	CAR	11B	14	1
	CAR	11B	15	1
	CAR	11B	16	1
	CAR	11B	17	1
	CAR	11B	18	1
	CAR	11B	19	1
	CAR	11B	20	1
	CAR	11B	21	1
	CAR	11B	22	1
	CAR	11B	23	1
	CAR	11B	24	1
	CAR	11B	25	1
	CAR	11B	26	1
	CAR	11B	27	1
Muestra de tierra caja	CAR	11B	27	13
Pedernal	CAR	3A	1	4
	CAR	3A	3	2
	CAR	14A	1	6
	CAR	14A	2	1
	CAR	14A	3	2
	CAR	14A	4	1
	CAR	14A	5	1
	CAR	14A	6	1
	CAR	14A	7	2

	CAR	14A	8	2
	CAR	14A	9	1
	CAR	14A	10	1
Obsidiana	CAR	3A	2	1
	CAR	14A	1	3
	CAR	14A	3	2
	CAR	14A	6	1
	CAR	14A	7	1
	CAR	14A	8	1
	CAR	14A	10	1
Hueso fauna	CAR	14A	2	1
	CAR	14A	3	1
	CAR	14A	6	1
	CAR	14A	7	1
	CAR	14A	8	2
	CAR	14A	10	1
	CAR	14A	1	1
Concha	CAR	3A	1	1
	CAR	14A	3	1
Figurilla	CAR	14A	7	1
	CAR	14A	10	1
Micelaneo	CAR	14A	10	1
	CAR	14A	2	1
	CAR	14A	6	1
Cuarzo	CAR	14A	8	1
Pirita	CAR	14A	6	1
Piedra de rio	CAR	14A	3	1

El Jobillo

SITIO	OPERACIÓN	CERÁMICA
JOB	03	4
JOB	08	7
JOB	15	7
JOB	28	6

El Achiotal

Estructura 5C-01

SITIO	OPERACIÓN	UNIDAD	CERÁMICA	HUESOS	CARBÓN
ACH	1G	1	1		
ACH	1G	2	3		1

ACH	1G	3	2	1	
ACH	1G	4	10		
ACH	1G	5	1		
ACH	1G	6	7		
ACH	1G	7	4		
ACH	1G	8	2		1
ACH	1G	9	2		
ACH	1G	10	0		1
ACH	1X	2	7		
ACH	1X	2	2		

SITIO	OPERACION	UNIDAD	LITICA	OBSIDIANA	JADE	CONCHA	FIGURILLAS
ACH	1G	3				1	
ACH	1G	4	1	2			
ACH	1G	5	1				
ACH	1G	6			2	1	
ACH	1G	7	1	1			1
ACH	1G	8	1				
ACH	1X	2		2	2		
ACH	1X	7				1	

SITIO	OPERACION	UNIDAD	OFRENDA	CERAMICA	VASIJAS	ESTUCCO
ACH	1X	2	7	6		
ACH	1G	6	10	2		
ACH	1G	6	11	2		
ACH	1G	6	13	1		
ACH	1G	6	14	4		
ACH	1G	6	15	1		
ACH	1G	6	16	1	1	
ACH	1G	7	17	1	1	1
ACH	1G	8 y 9	18	1		
ACH	1G	8 y 9	19	1		
ACH	1G	8 y 9	20	1		
ACH	1G	8 y 9	21	1		
ACH	1G	8 y 9	22	1		

Estructura 5C-08

SITIO	OPERACIÓN	UNIDAD	CERÁMICA	LÍTICA	OBSIDIANA
ACH	3A	1	4	2	
ACH	3A	2	6	3	1
ACH	3A	3	2	1	1
ACH	3A	4	3	1	2
ACH	3A	5	4	1	3
ACH	3A	6	2	2	2
ACH	3A	7	3		
ACH	3B	1	8	1	3
ACH	3LT	1	1		1
ACH	3LT	10	1	1	
ACH	3LT	2	5		

SITIO	OPERACION	UNIDAD	CARBON
ACH	3A	1	3
ACH	3A	2	2
ACH	3A	7	1
ACH	3B	1	2

SITIO	OPERACIÓN	UNIDAD	VASIA	CERÁMICA	LÍTICA	MISCLANEO	SEDIMENTO
ACH	3A	2	5				3
ACH	3A	5			1		
ACH	3A	7	1	1			
ACH	3B	1				1	
ACH	3LT	1		1			
ACH	3LT	10	2	1			
ACH	3O	1					1
ACH	3LT	2	1	1			
ACH	99	12					1

Área residencial

SITIO	OPERACIÓN	UNIDAD	CERÁMICA	LÍTICA	OBSIDIANA
ACH	99	12	8		2
ACH	99	13	7	1	1
ACH	100		1		

SITIO	OPERACION	UNIDAD	HUESOS
ACH	99	12	8